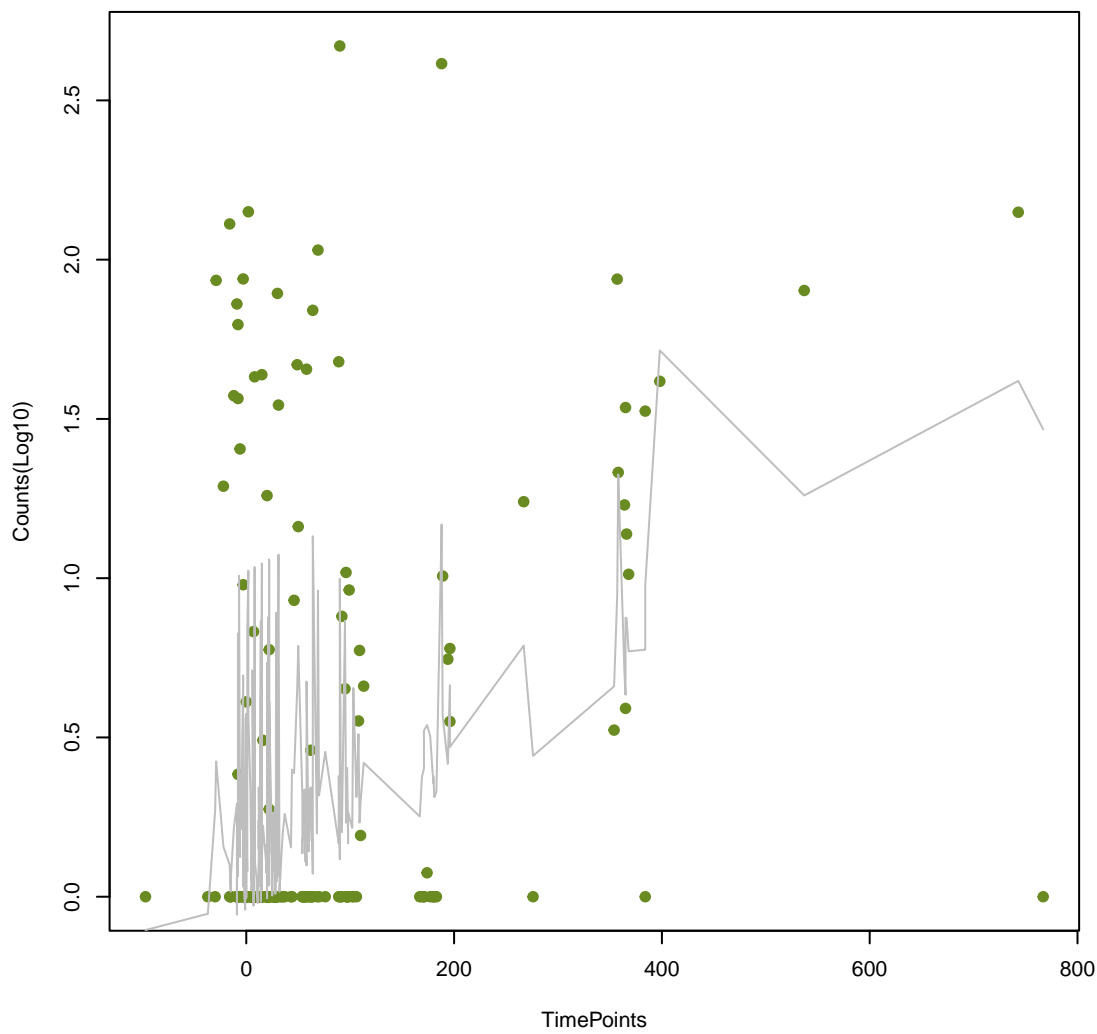
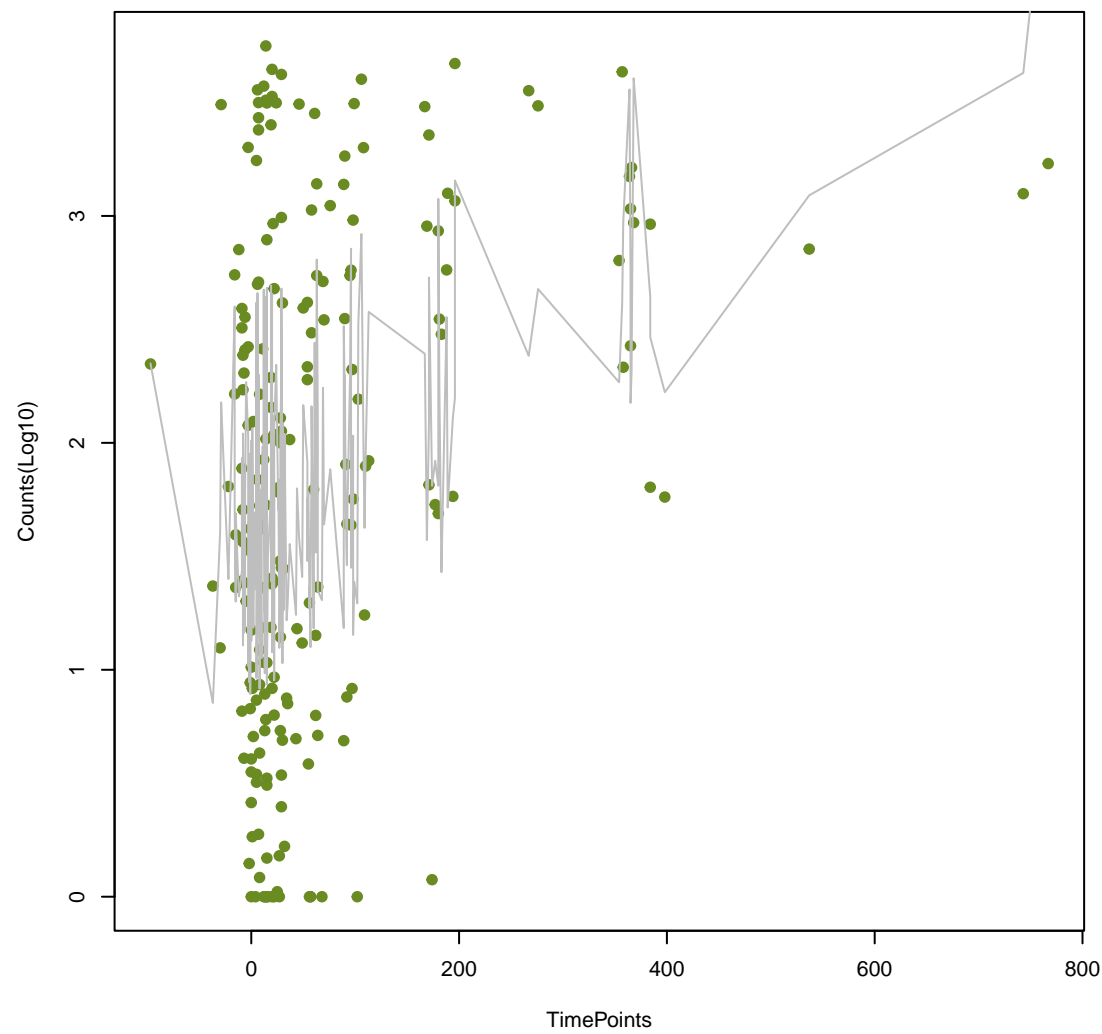


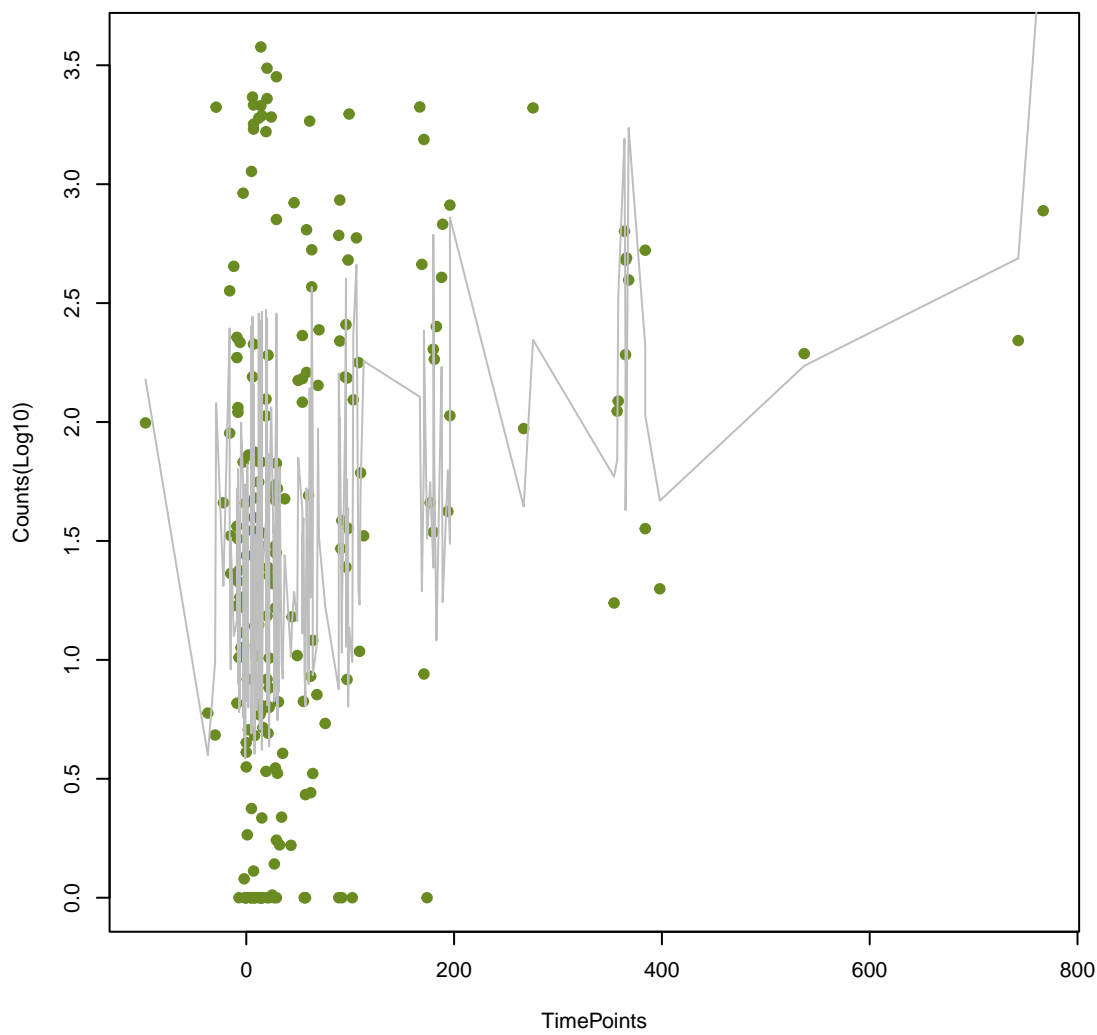
APH(2'')-IVa
ANOVA $P=3.06e-07$, adj. ANOVA- $P=9.16e-05$



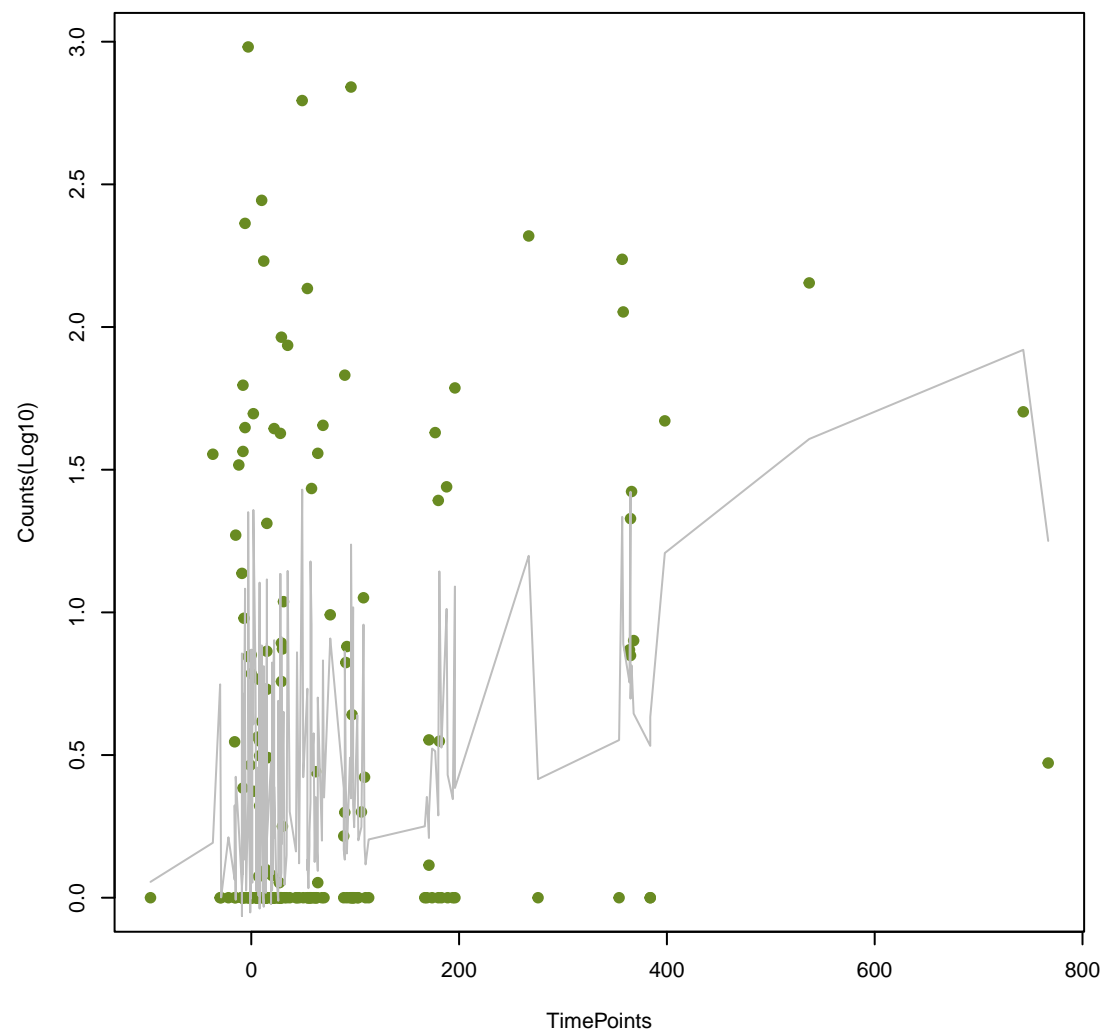
APH(3')-IIIa
ANOVA $P=2.76e-06$, adj. ANOVA- $P=0.000413$



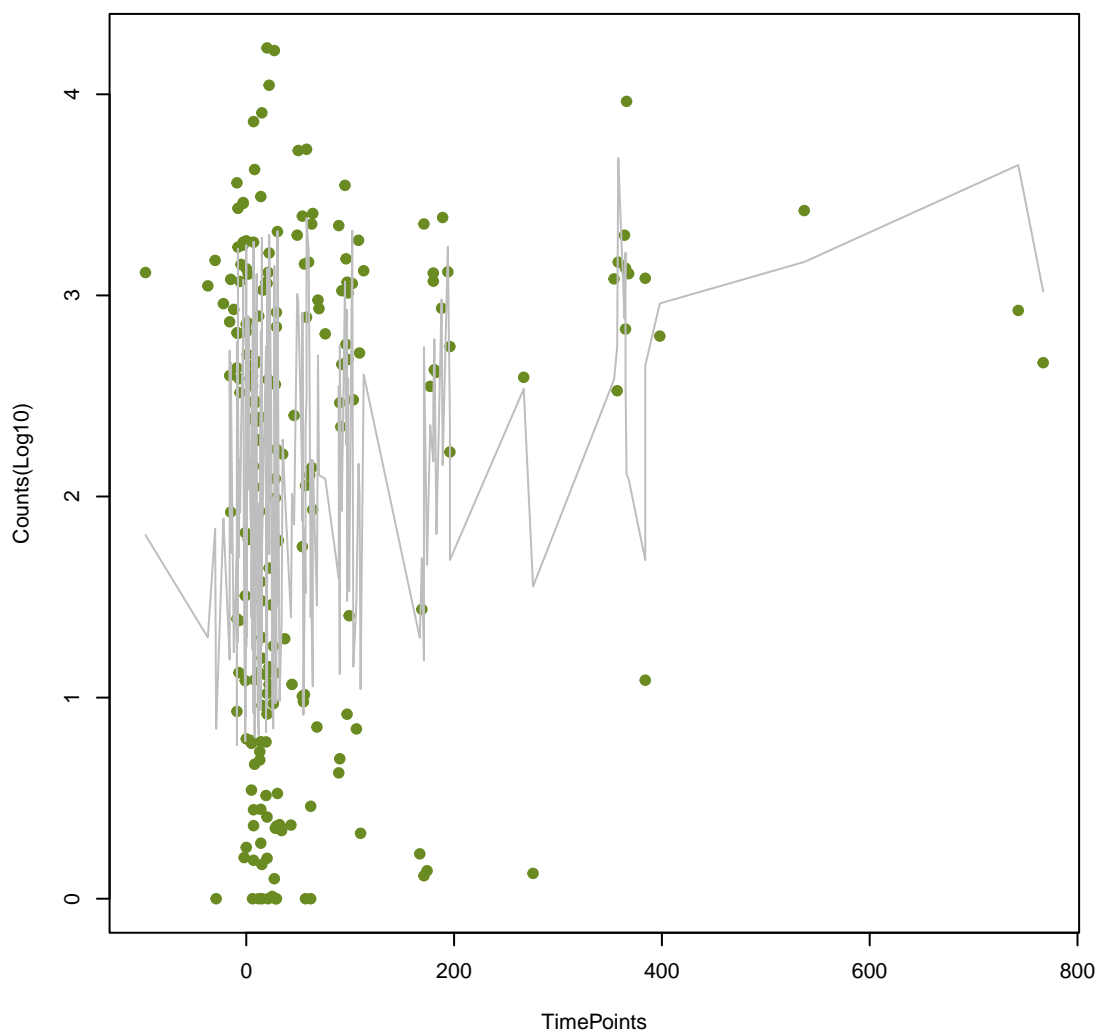
SAT-4
ANOVA $P=1.79e-05$, adj. ANOVA- $P=0.00179$



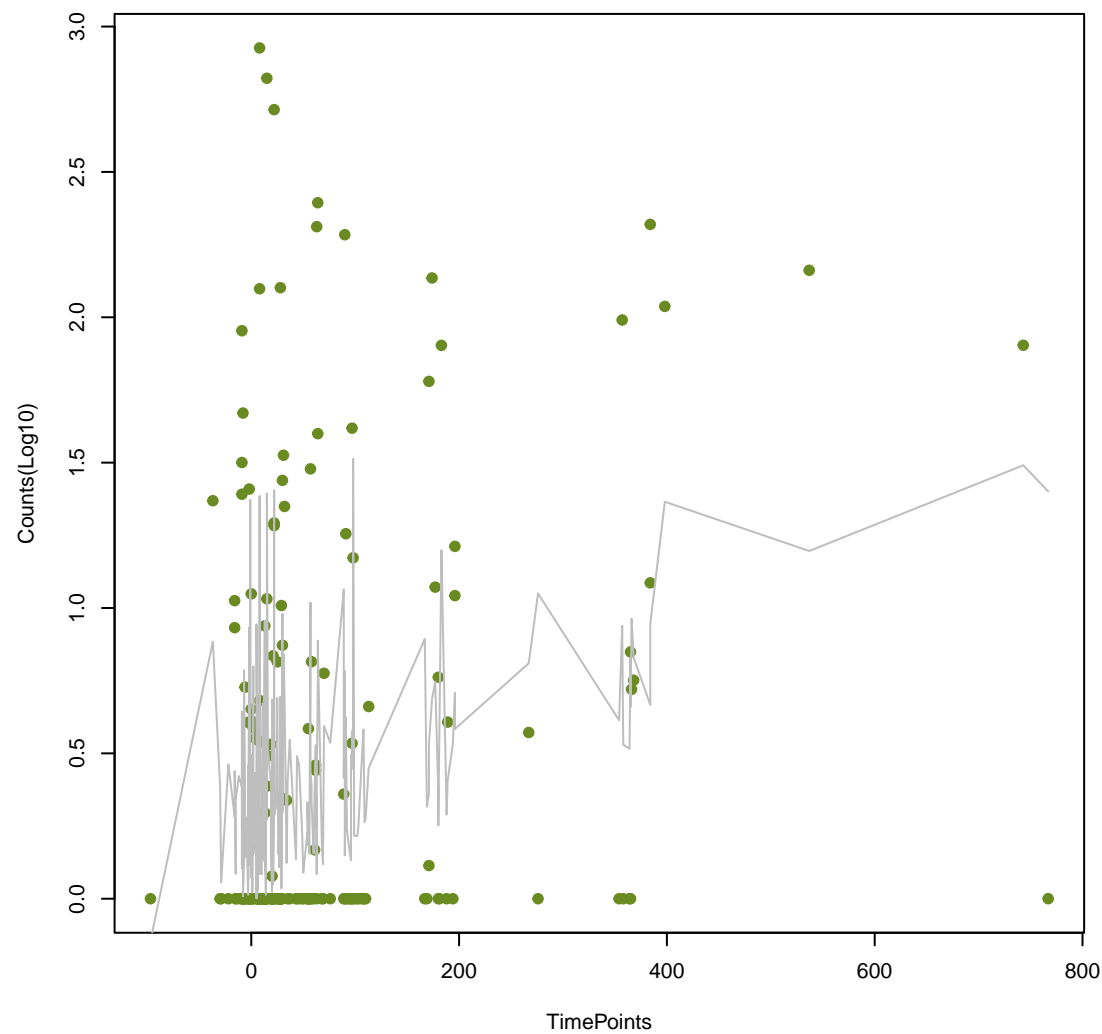
Erm(52)
ANOVA $P=4.66e-05$, adj. ANOVA- $P=0.00348$



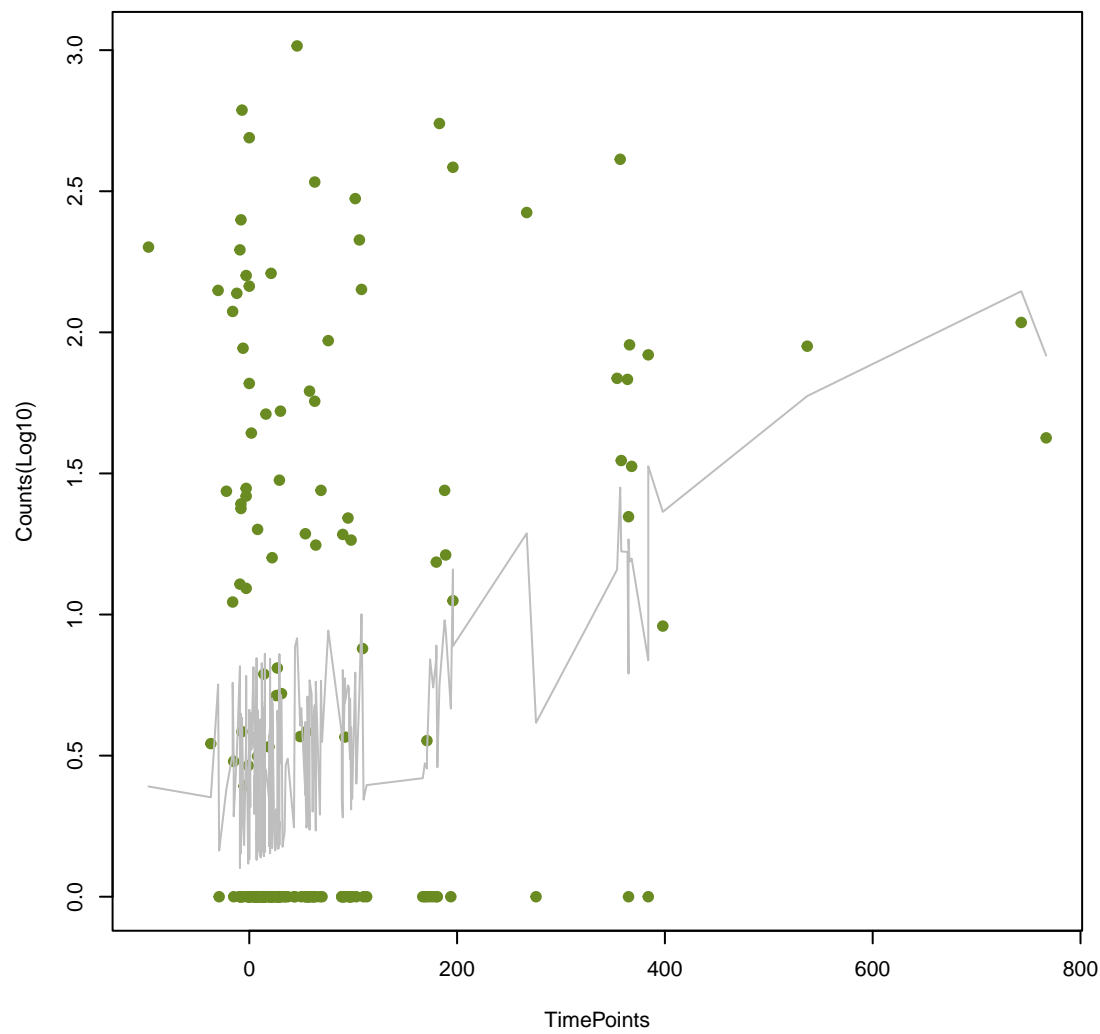
tet32
ANOVA $P=6.55e-05$, adj. ANOVA- $P=0.00392$



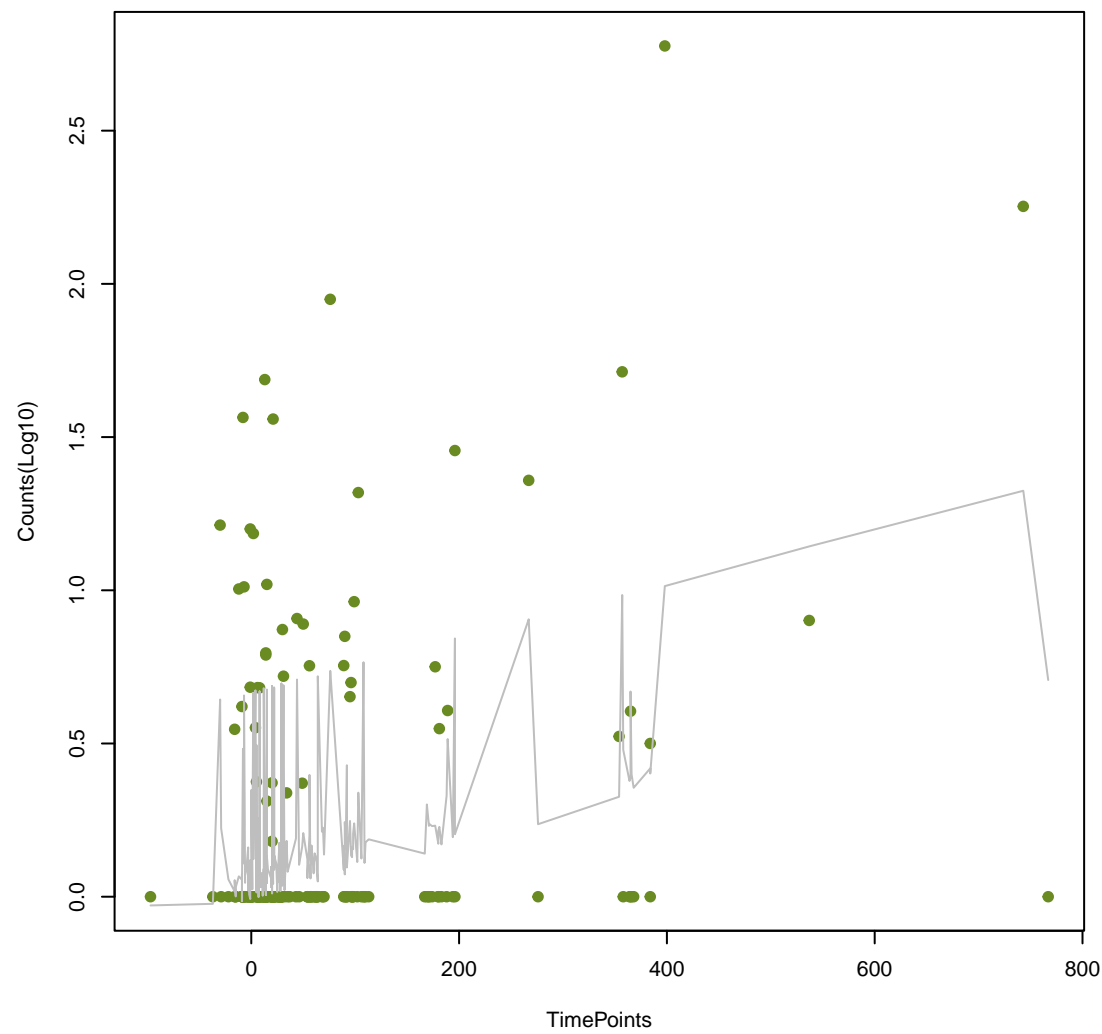
EcoI_ampC_BLA
ANOVA $P=0.00011$, adj. ANOVA- $P=0.00547$



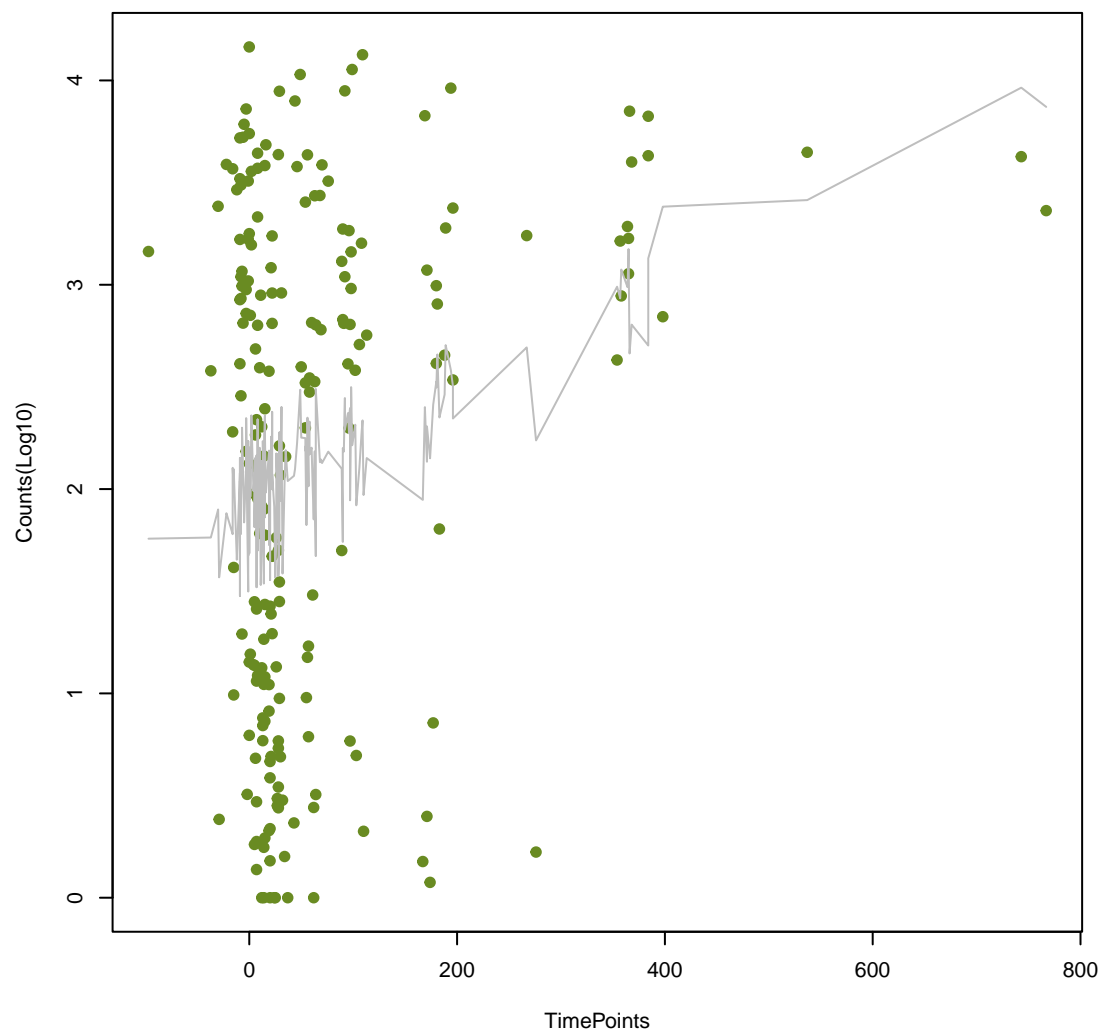
AAC(6')-Im
ANOVA P=0.00017, adj. ANOVA-P=0.00725



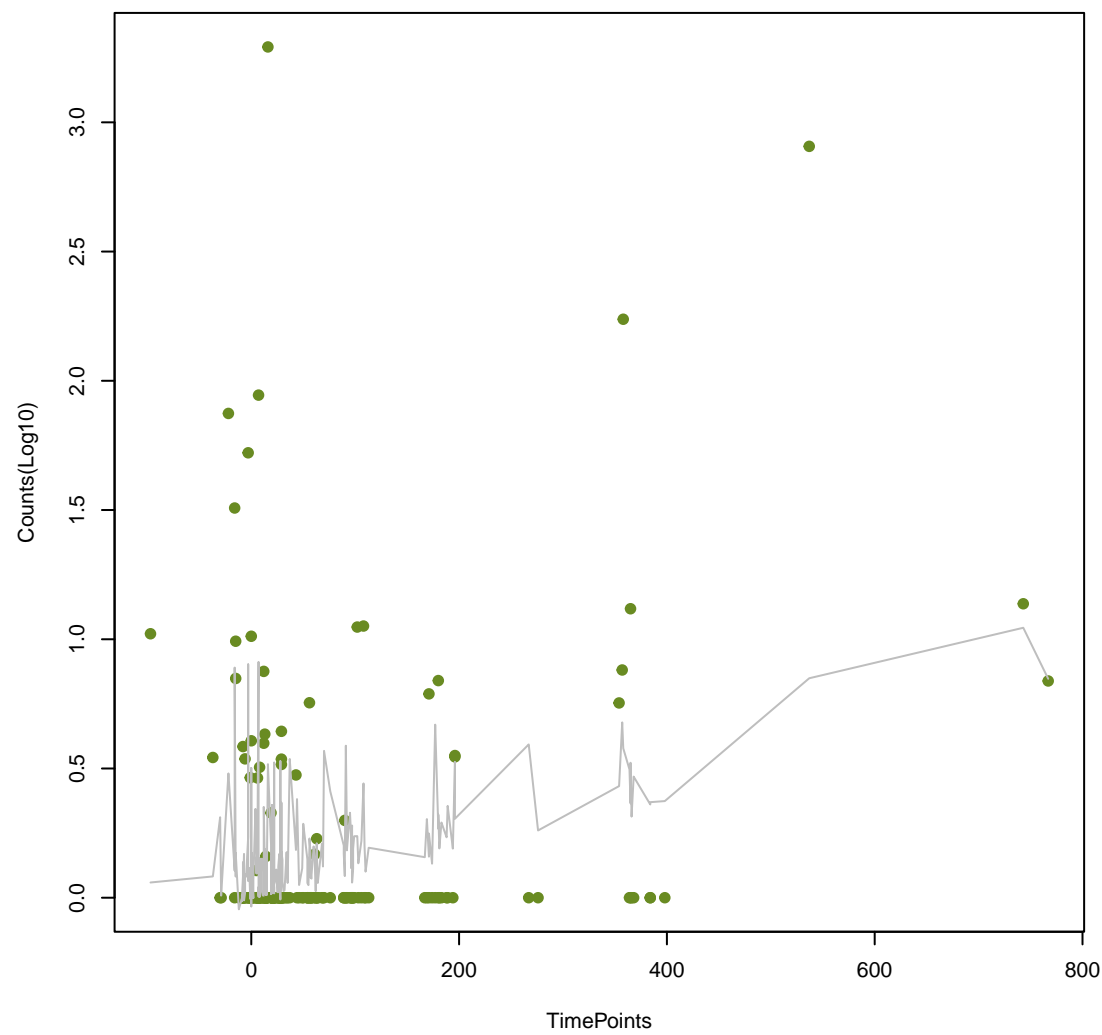
Spyo_ErmA_MLSb
ANOVA P=0.00022, adj. ANOVA-P=0.00822



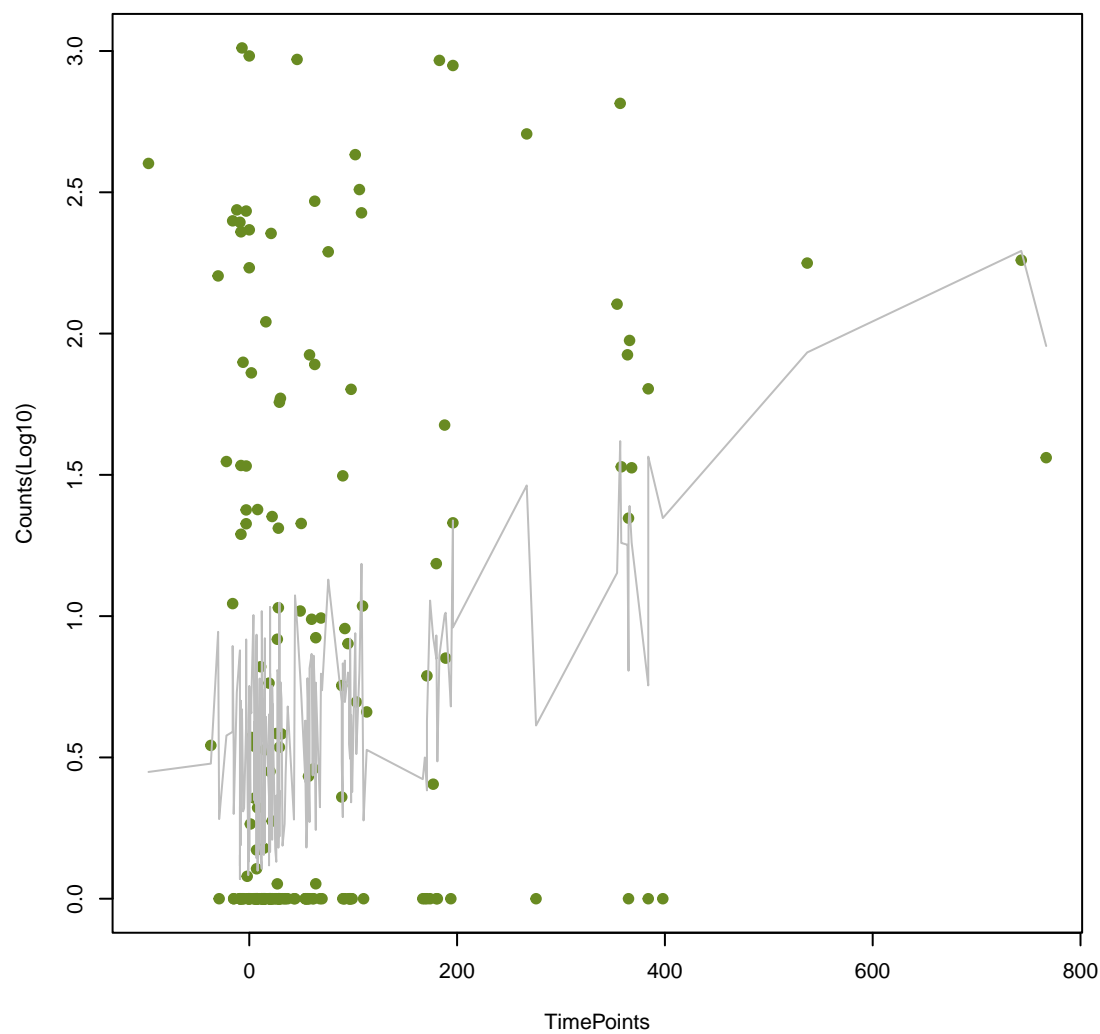
tet(40)
ANOVA P=0.000256, adj. ANOVA-P=0.00849



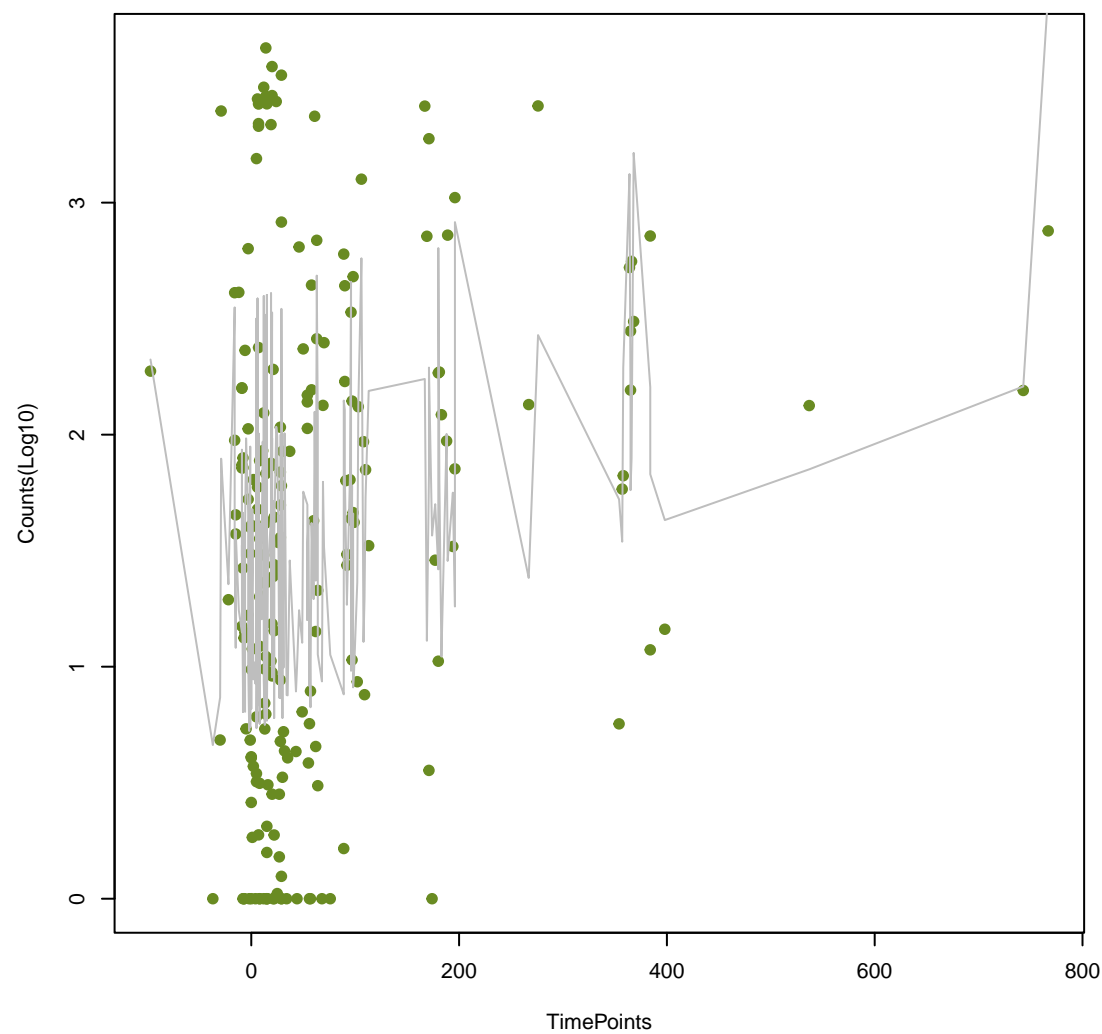
APH(2'')-If
ANOVA P=0.000301, adj. ANOVA-P=0.00899



APH(2'')-IIa
ANOVA P=0.000552, adj. ANOVA-P=0.0145

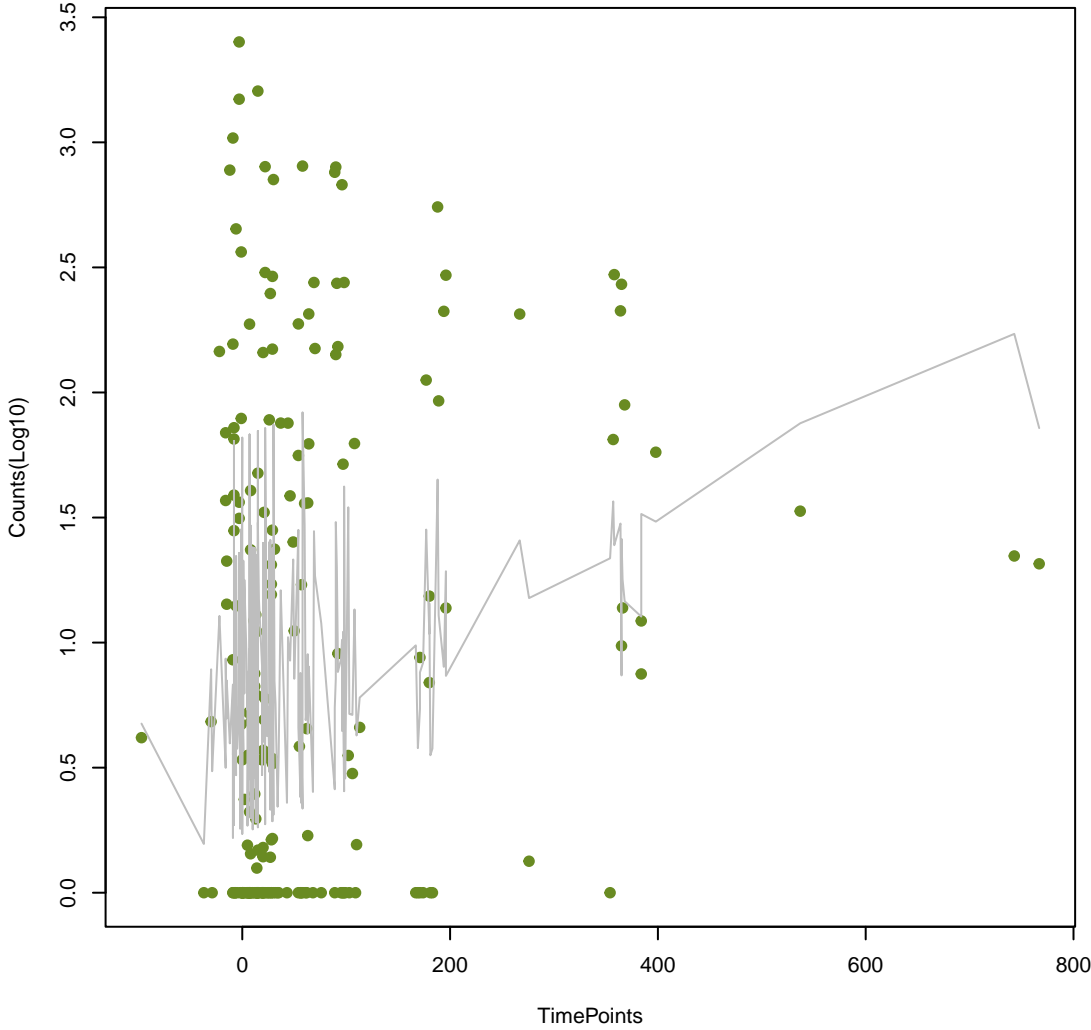


aad(6)
ANOVA P=0.00058, adj. ANOVA-P=0.0145



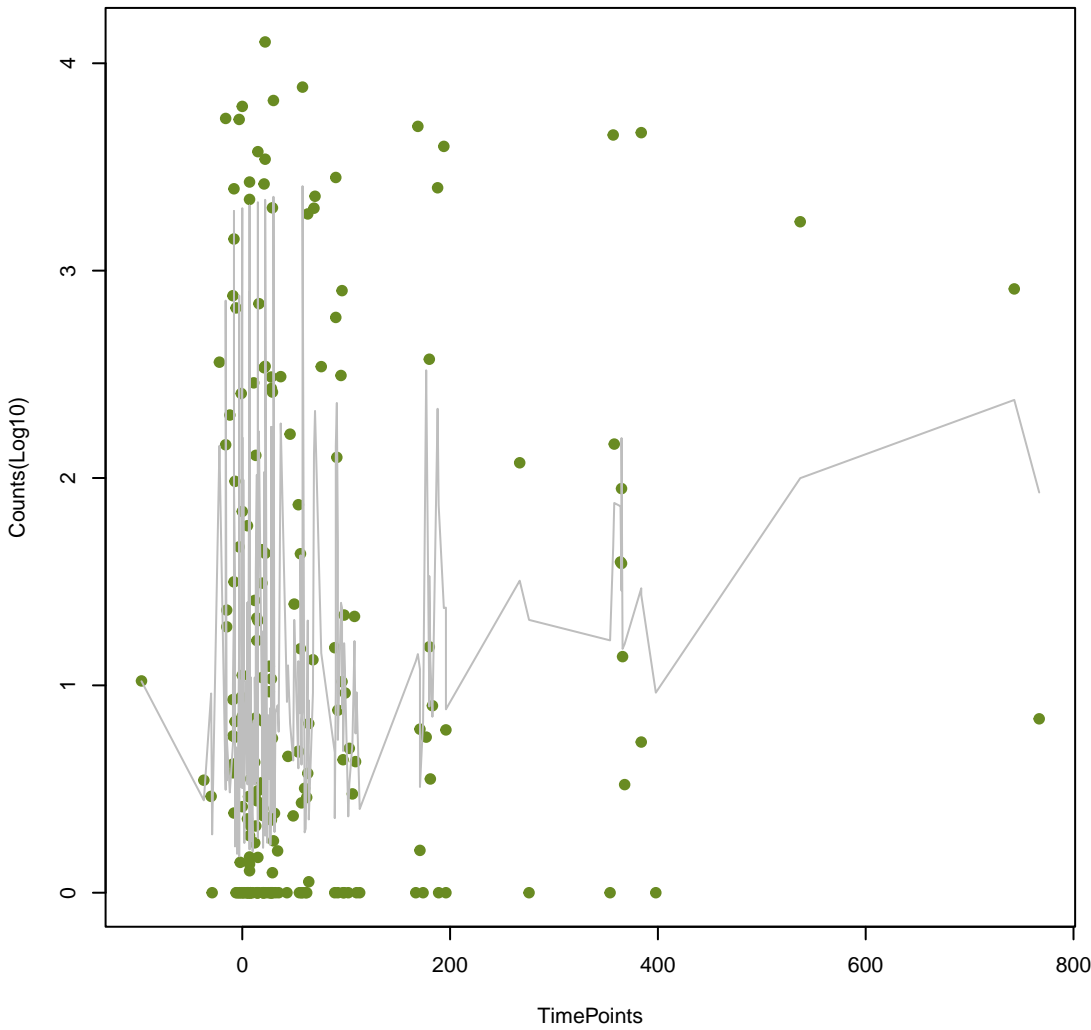
tet(44)

ANOVA P=0.00123, adj. ANOVA-P=0.0284



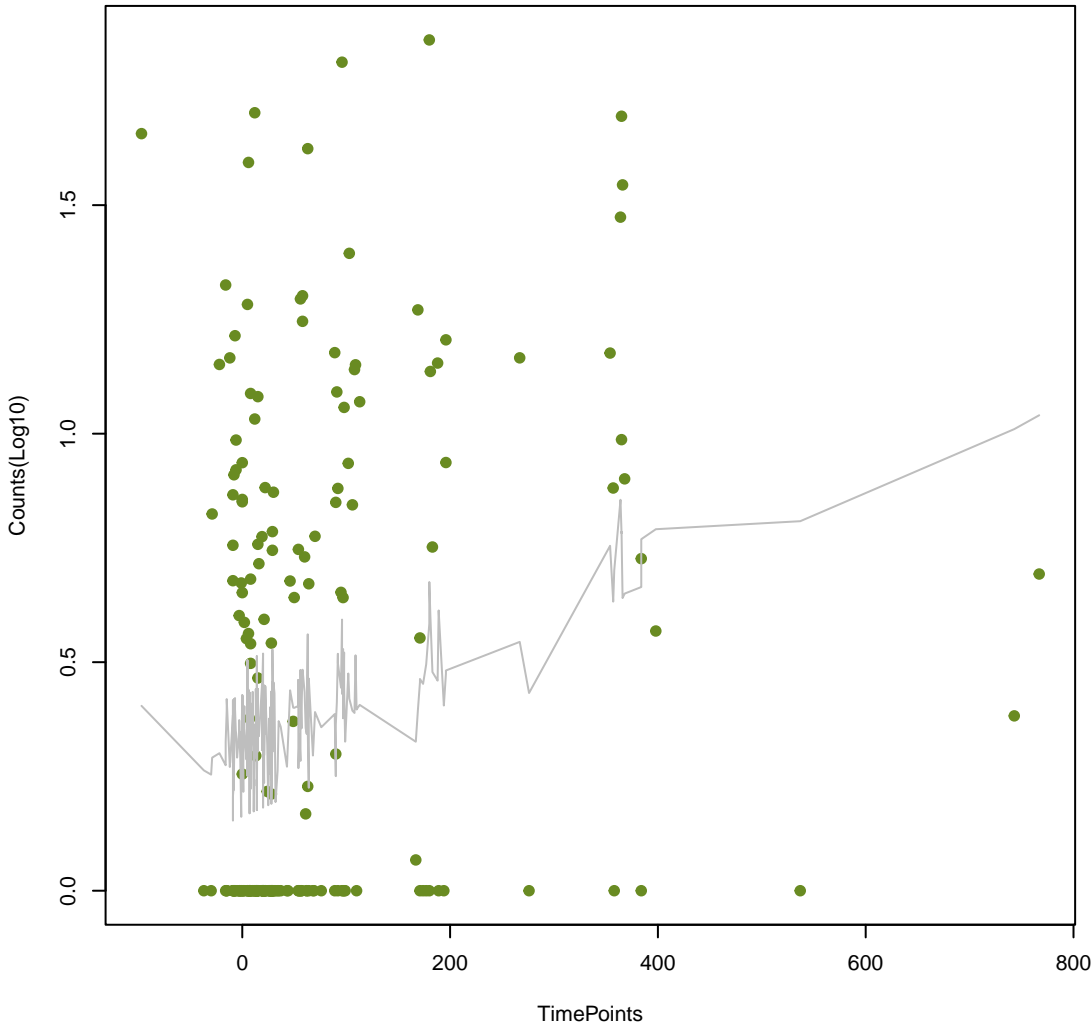
Bbif_ileS_MUP

ANOVA P=0.00133, adj. ANOVA-P=0.0284



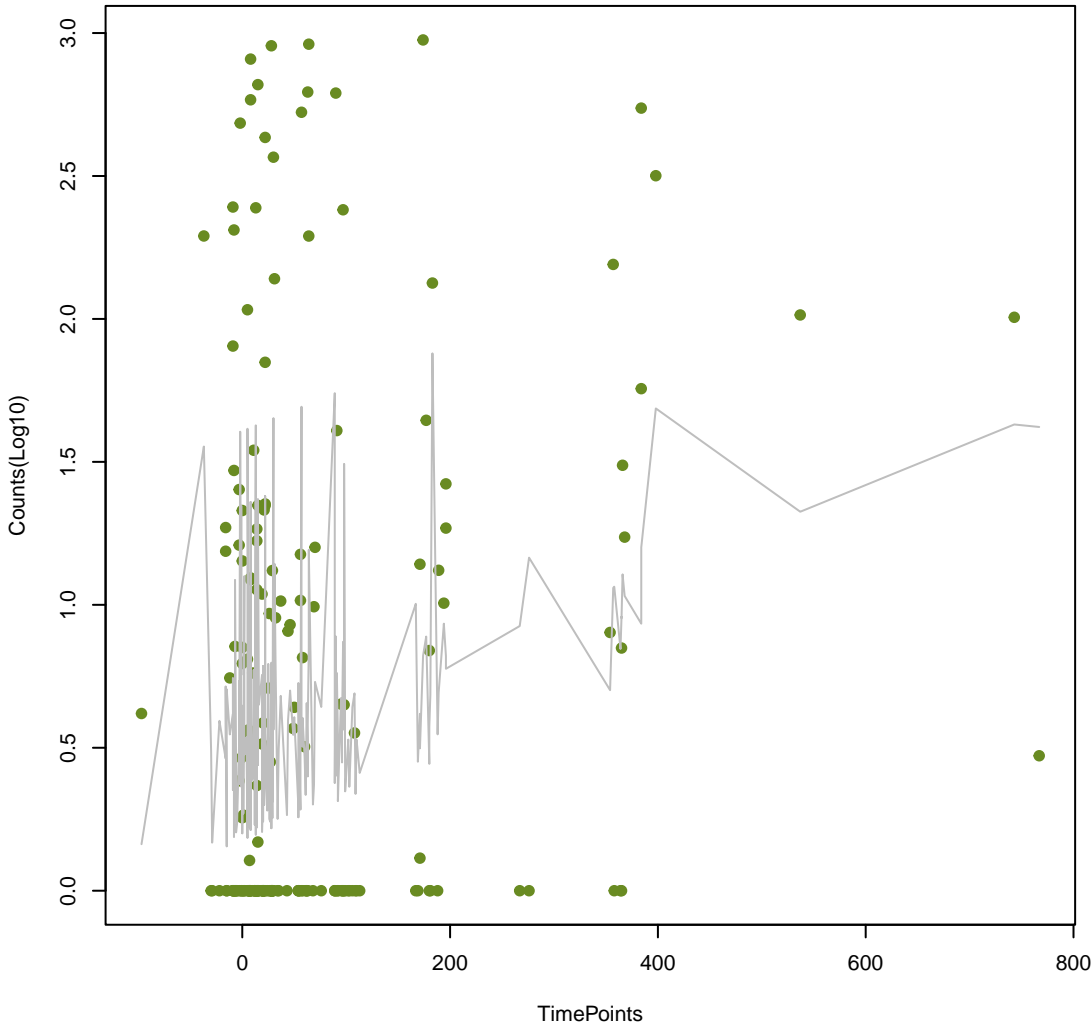
vanR_in_vanG_cl

ANOVA P=0.00142, adj. ANOVA-P=0.0284



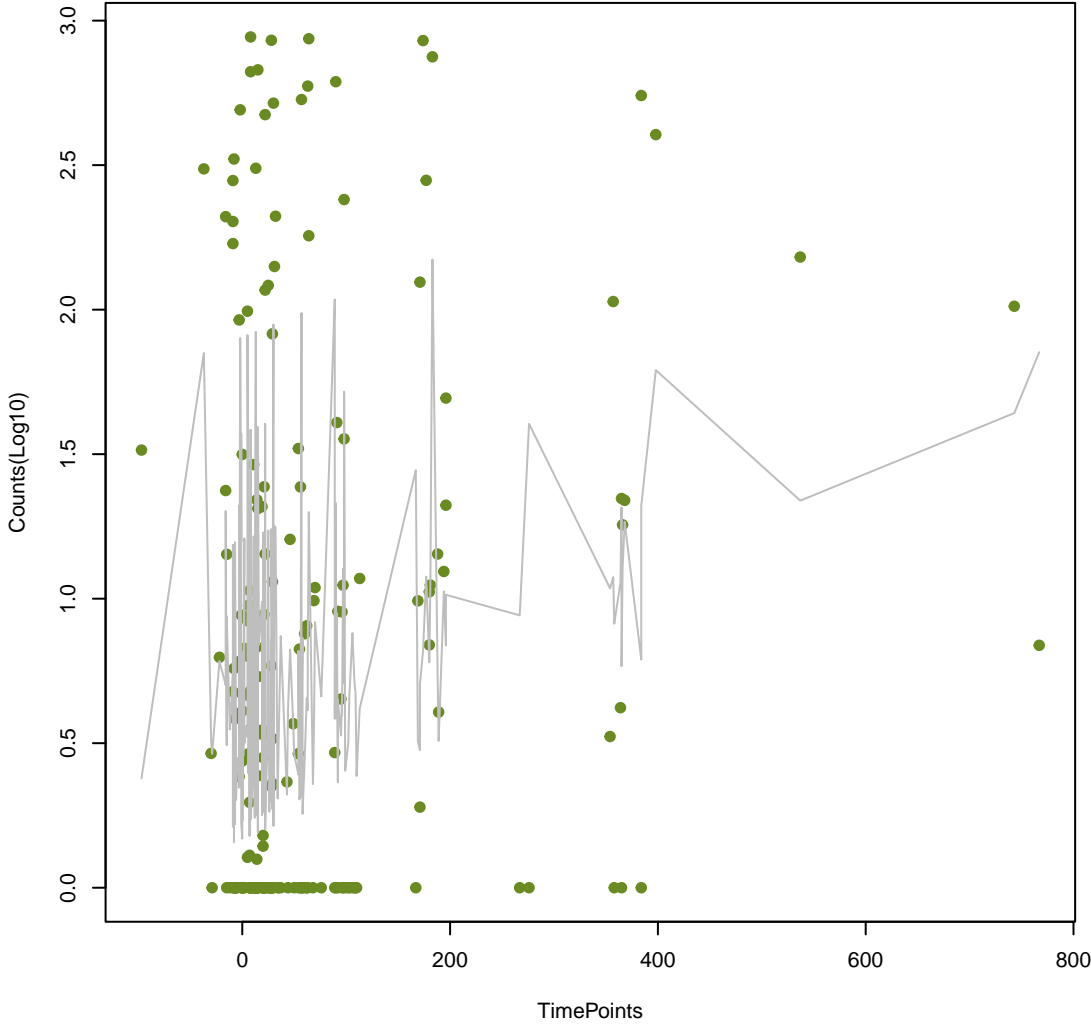
Ecol_ampC1_BLA

ANOVA P=0.00206, adj. ANOVA-P=0.038



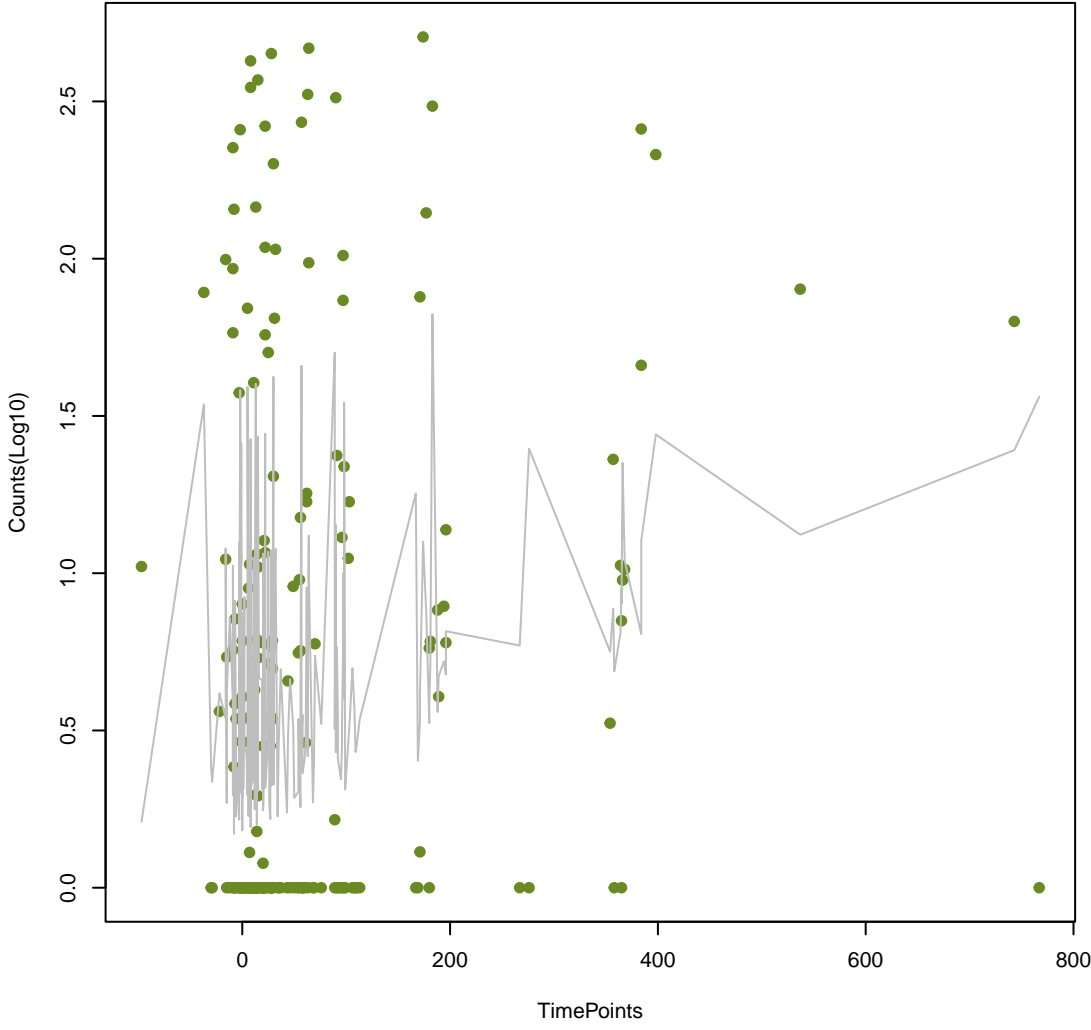
mdtE

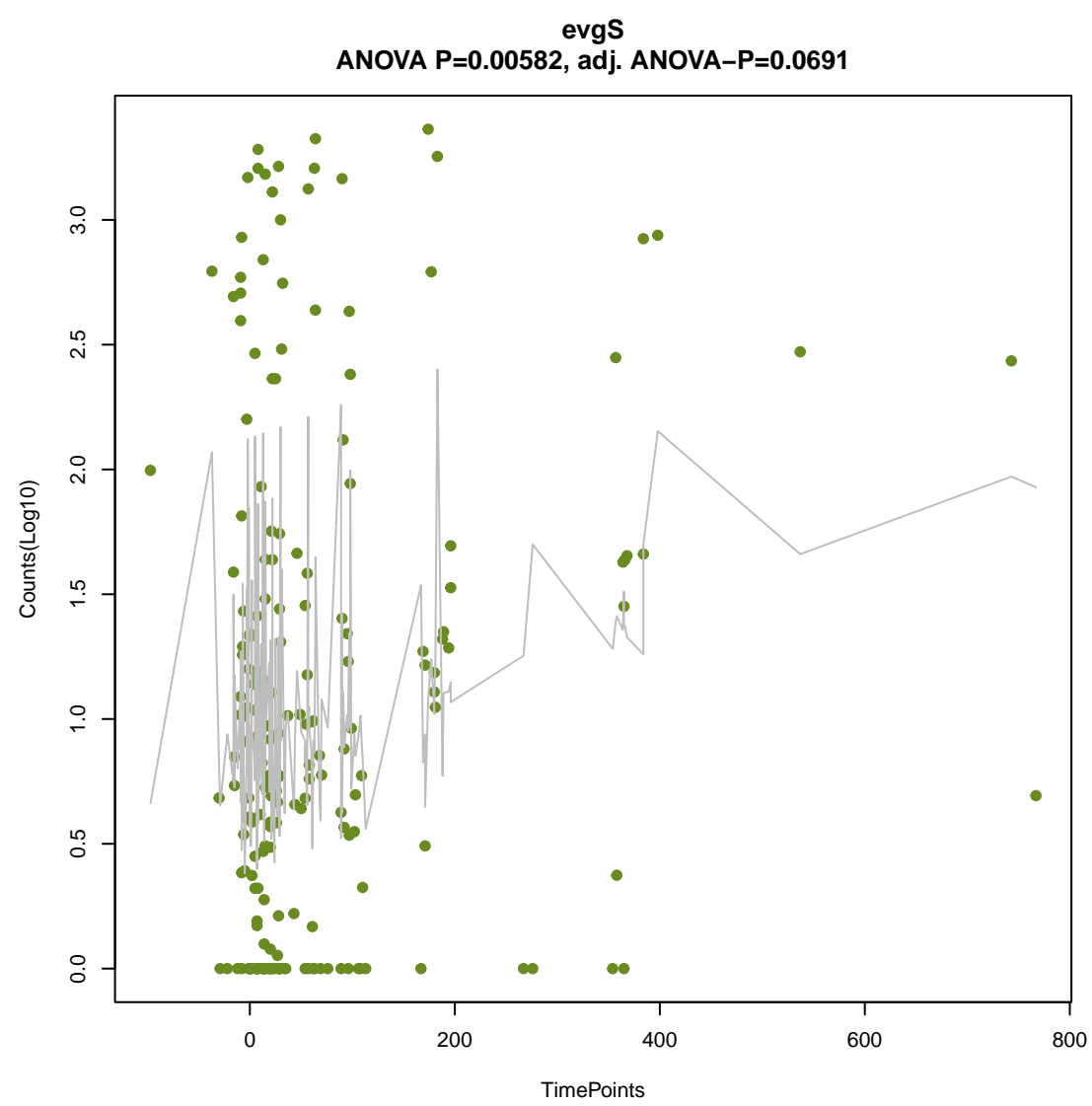
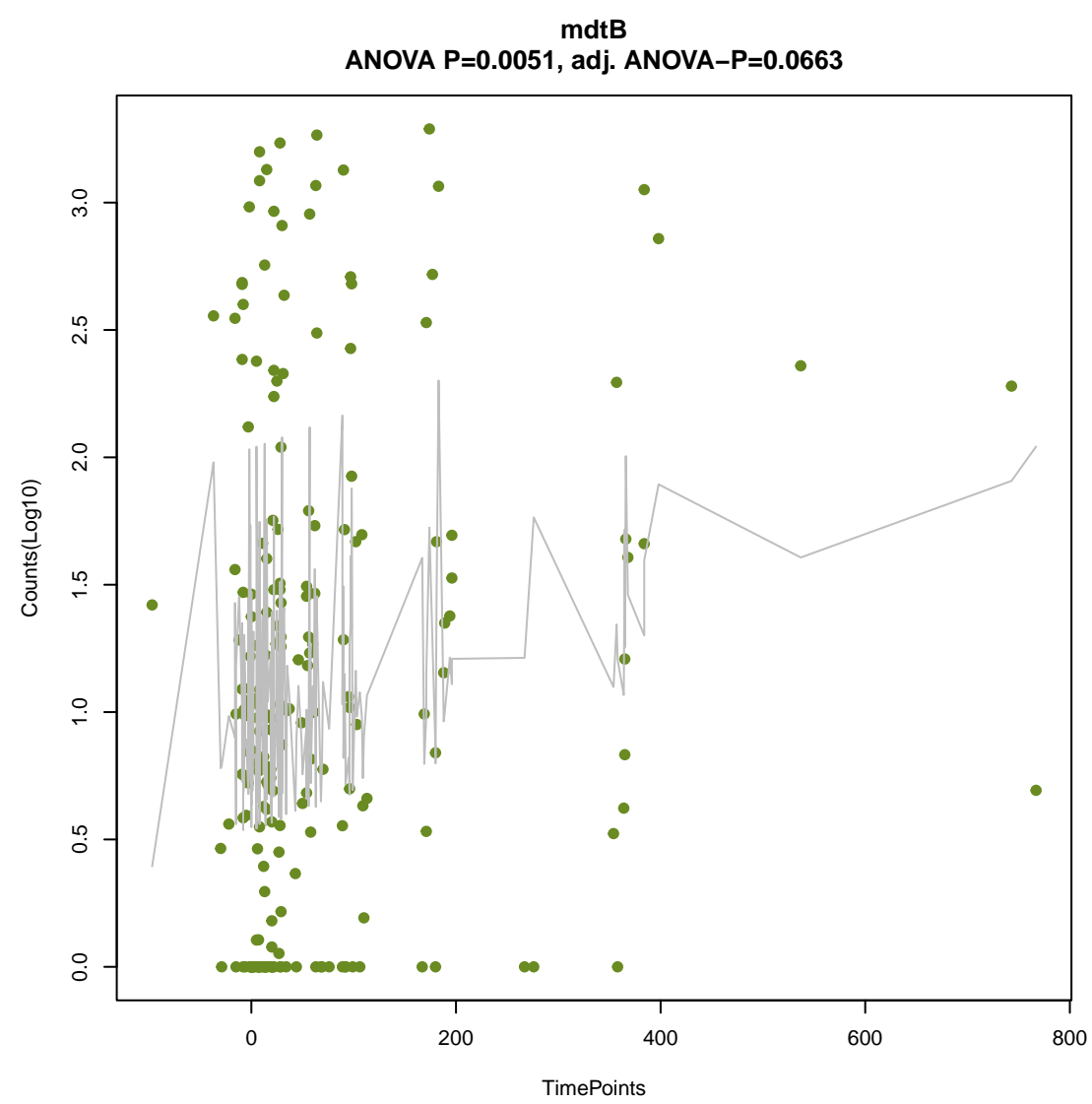
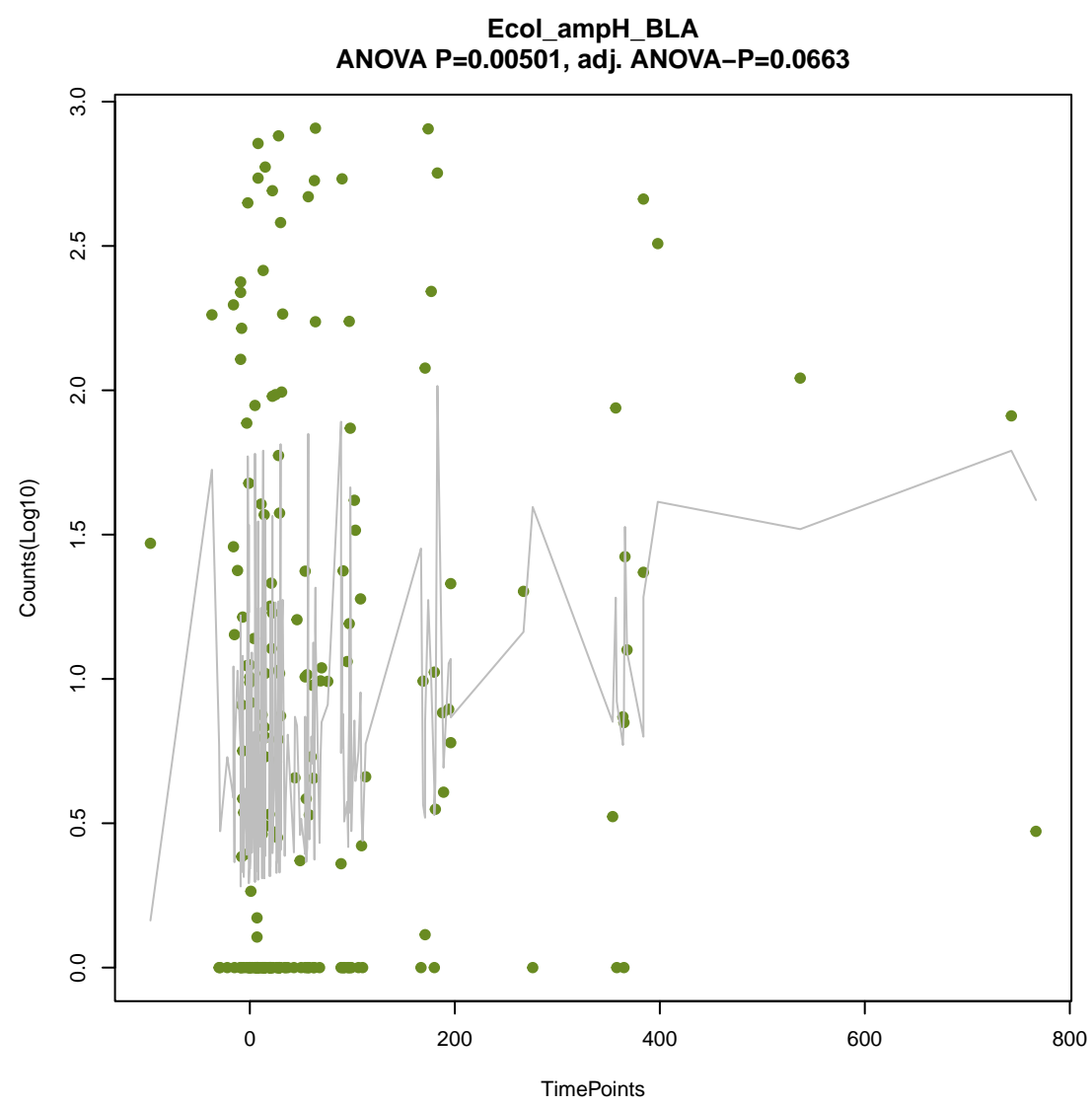
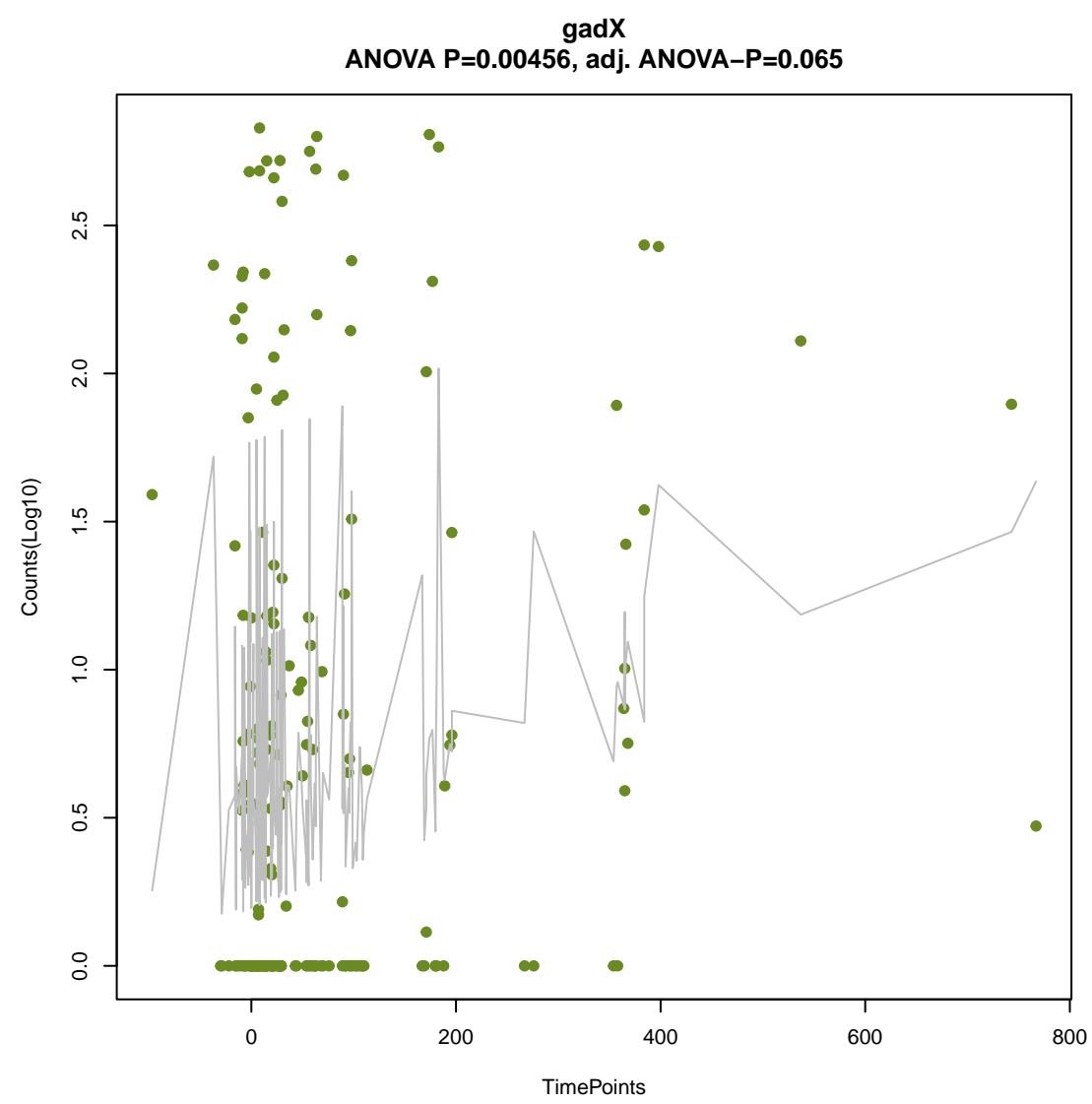
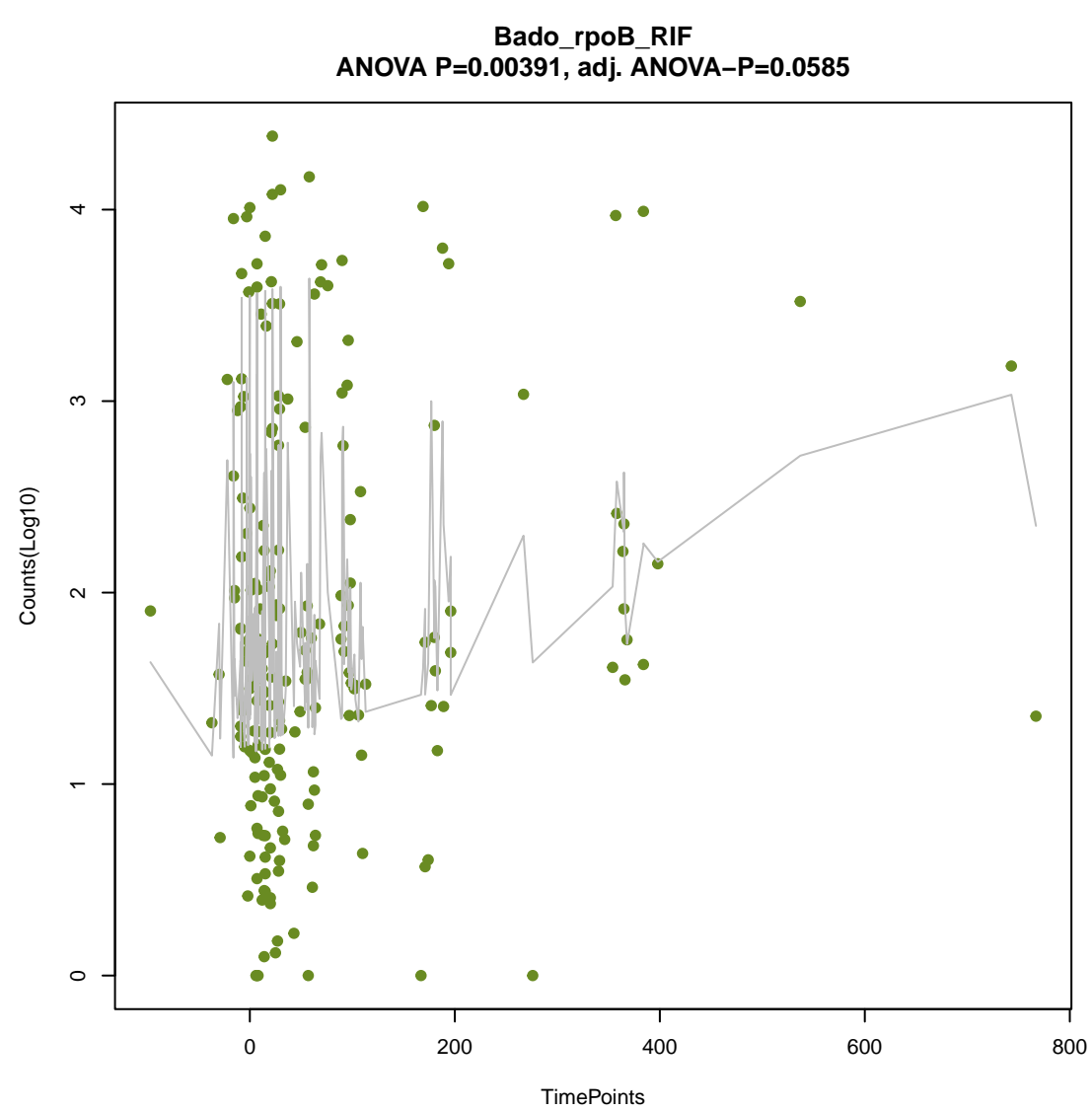
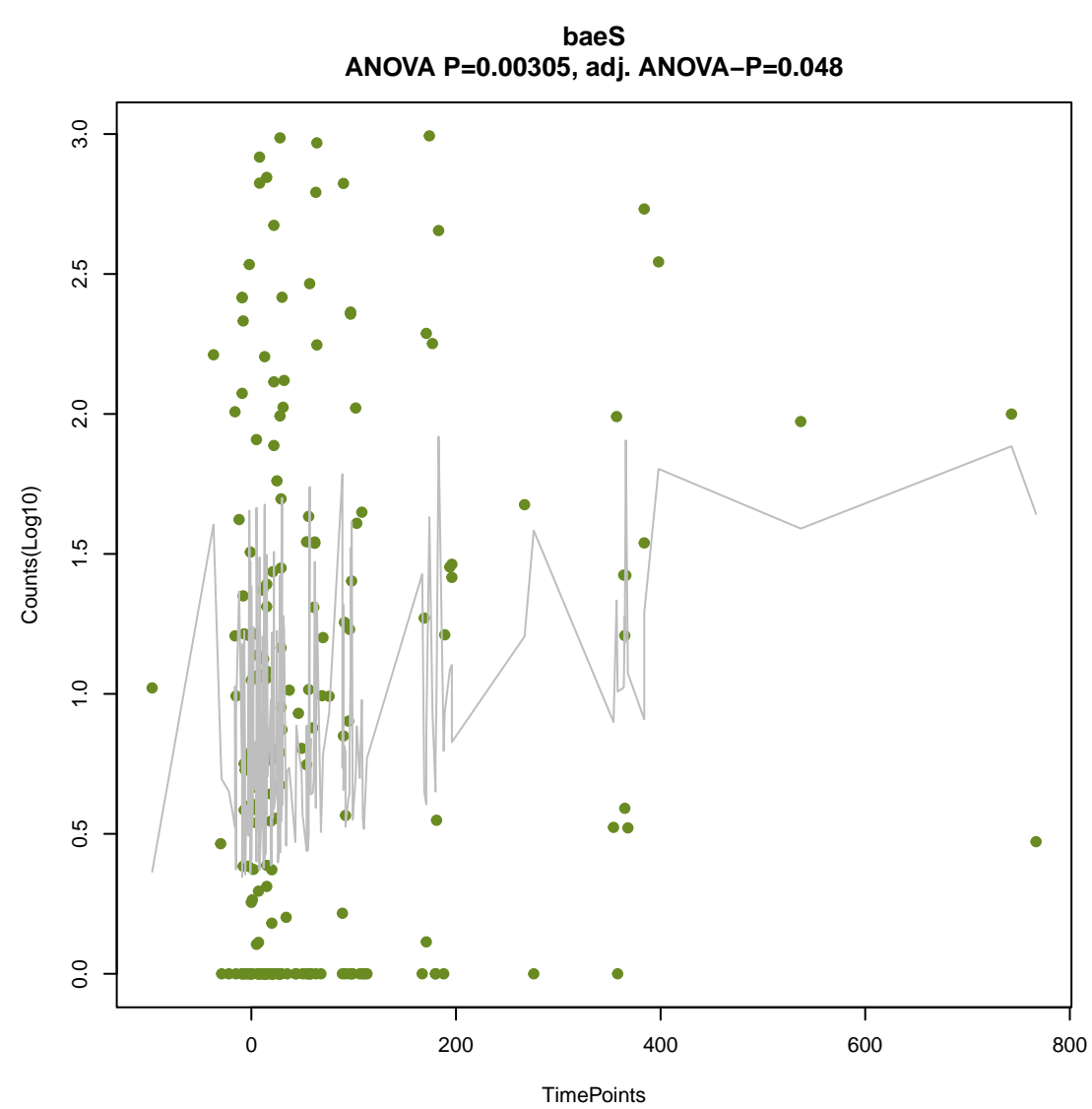
ANOVA P=0.00216, adj. ANOVA-P=0.038



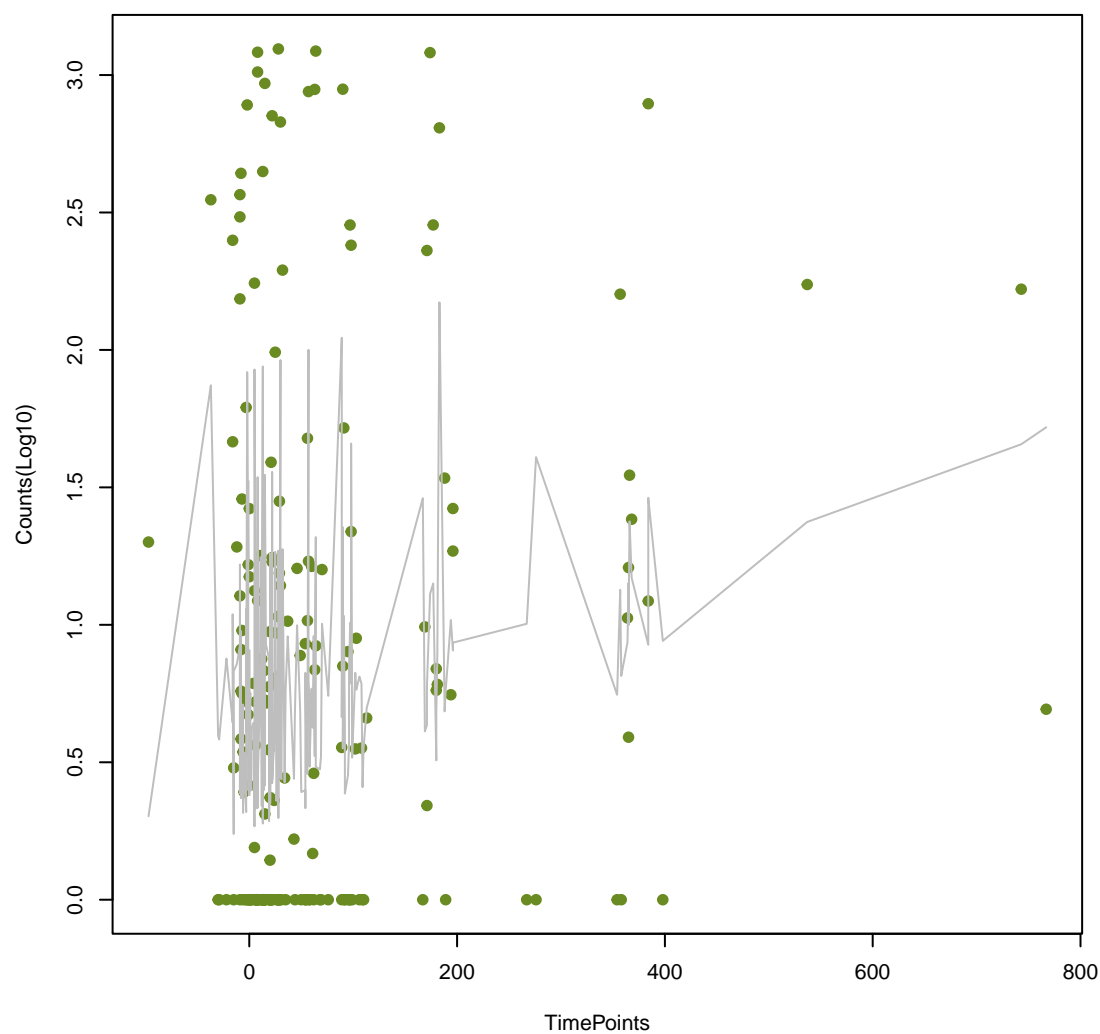
baeR

ANOVA P=0.00298, adj. ANOVA-P=0.048

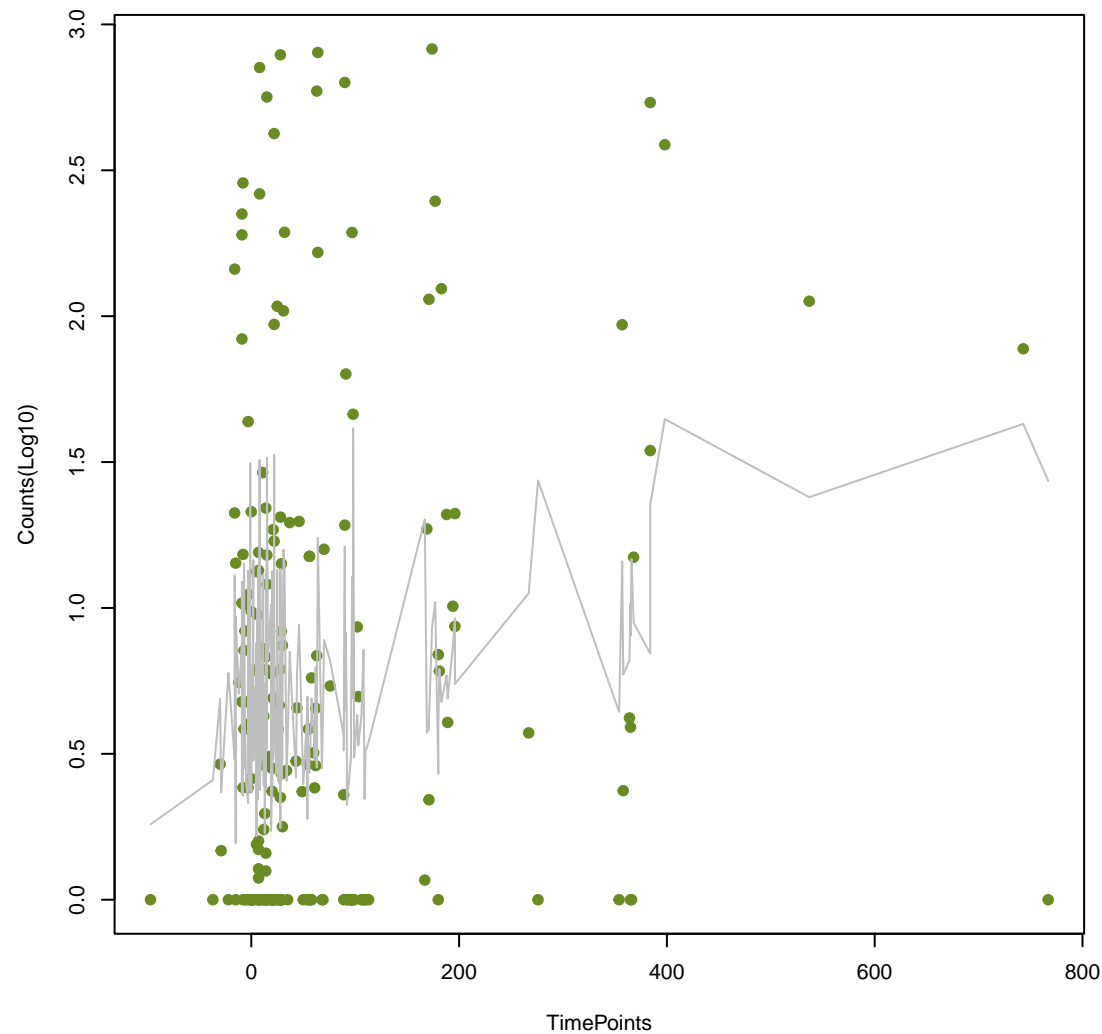




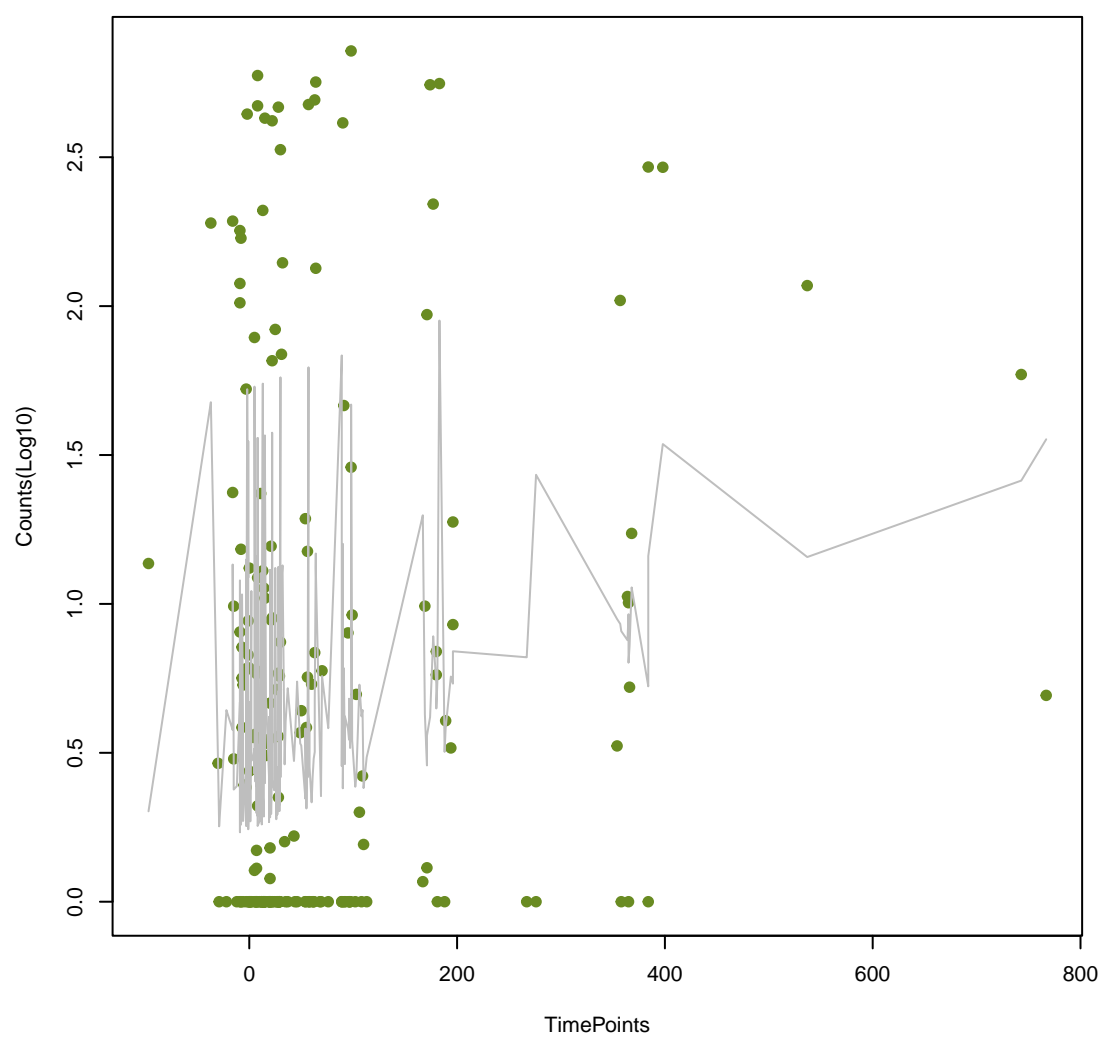
eptA
ANOVA P=0.00583, adj. ANOVA-P=0.0691



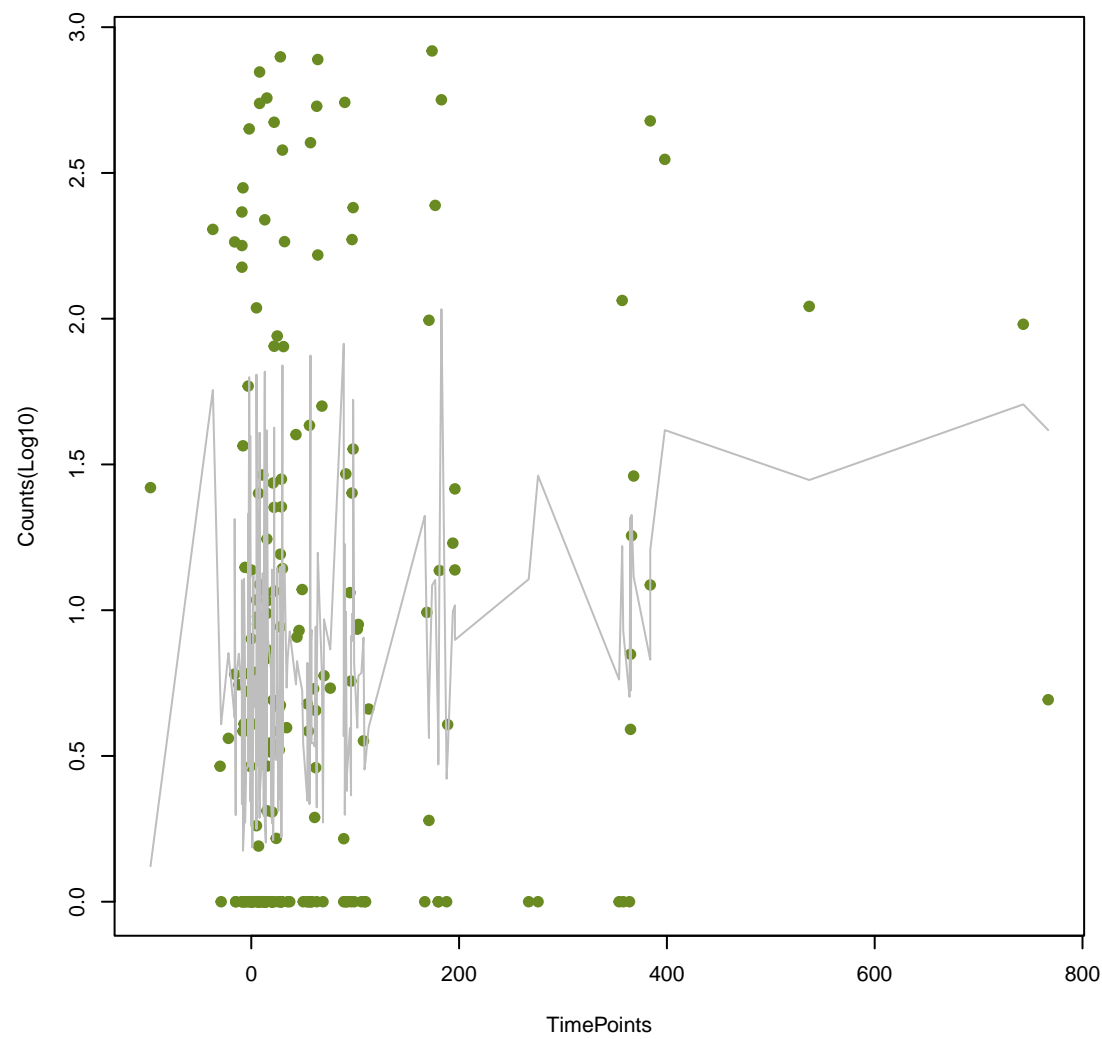
mdtM
ANOVA P=0.00642, adj. ANOVA-P=0.0691



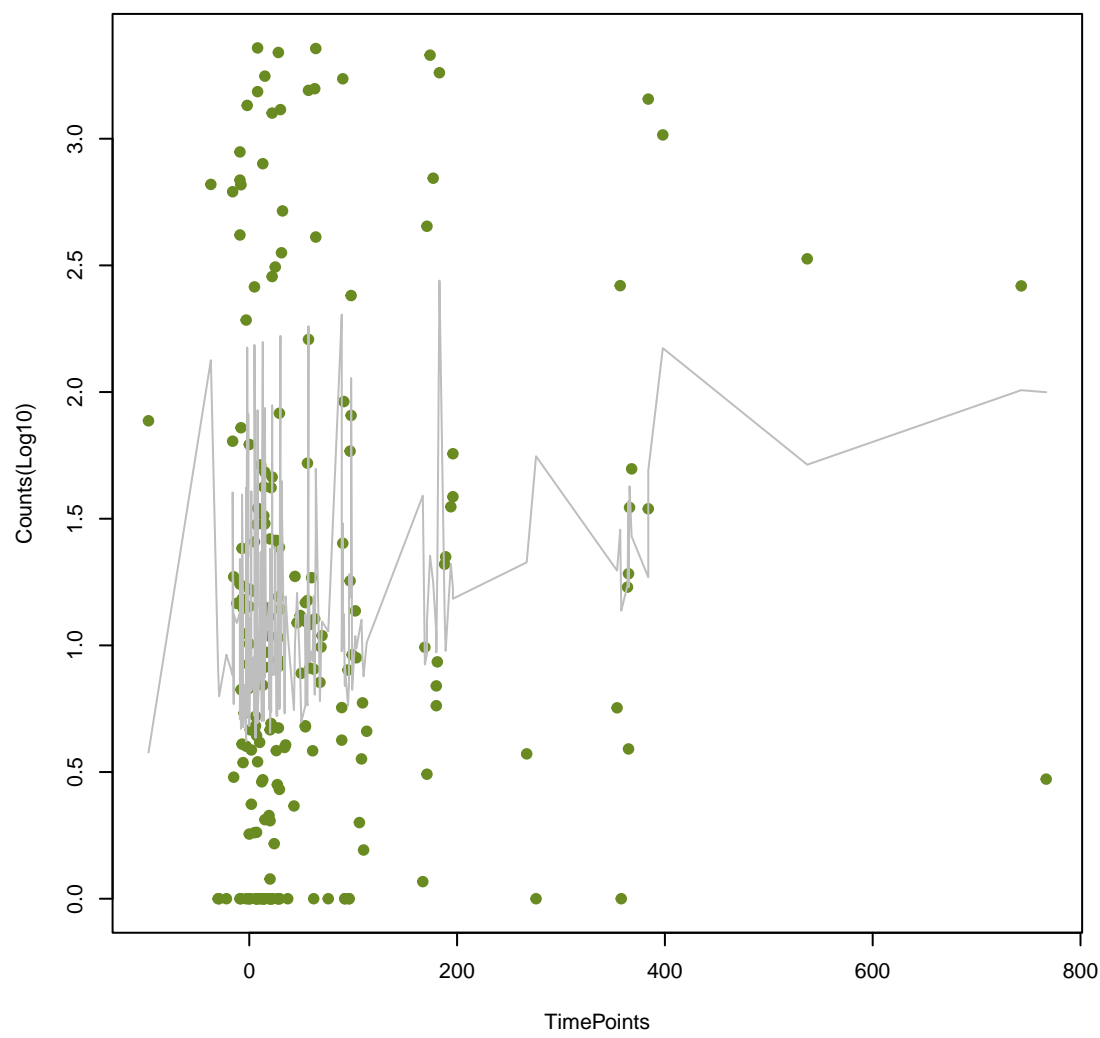
gadW
ANOVA P=0.00701, adj. ANOVA-P=0.0691



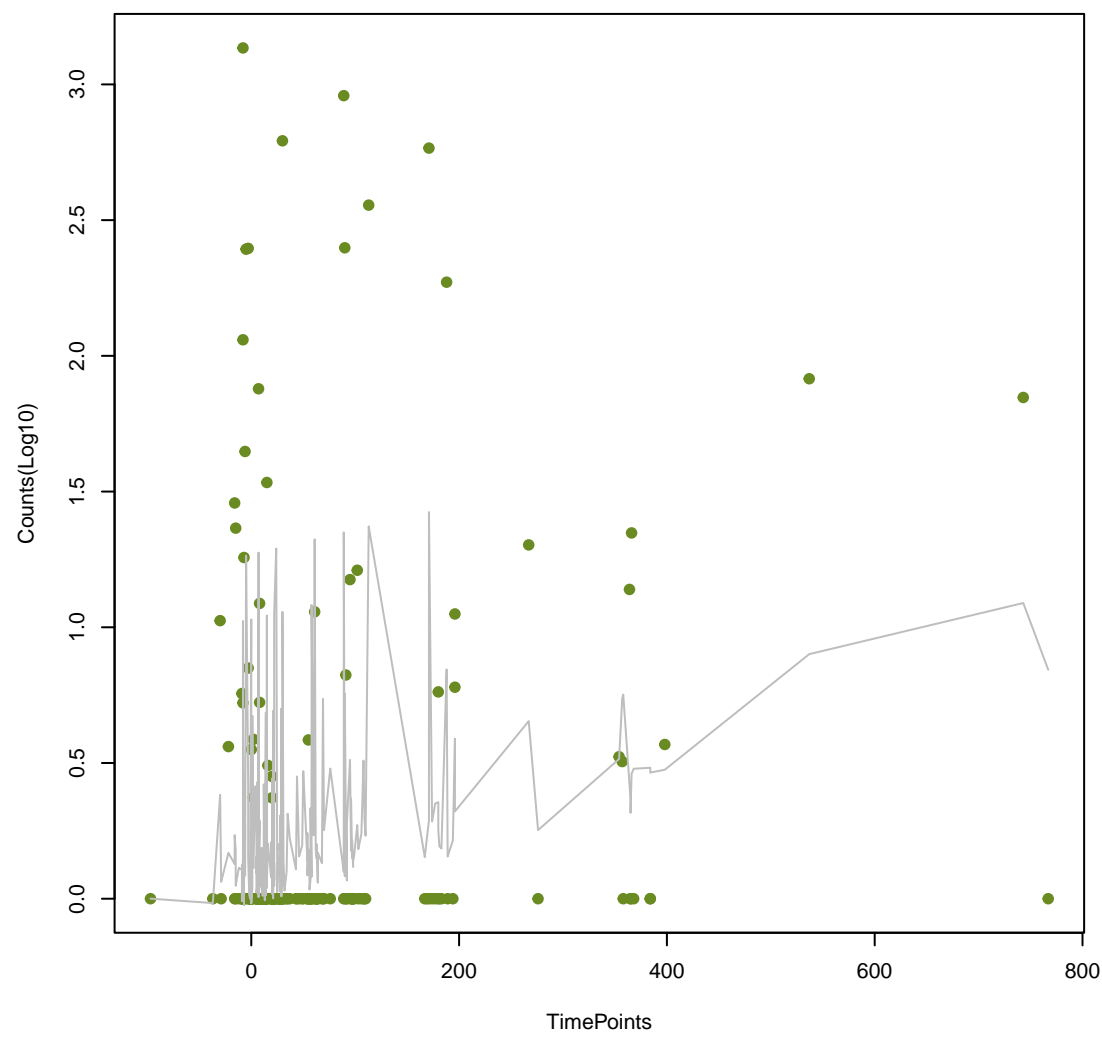
Ecol_mdfA
ANOVA P=0.00706, adj. ANOVA-P=0.0691

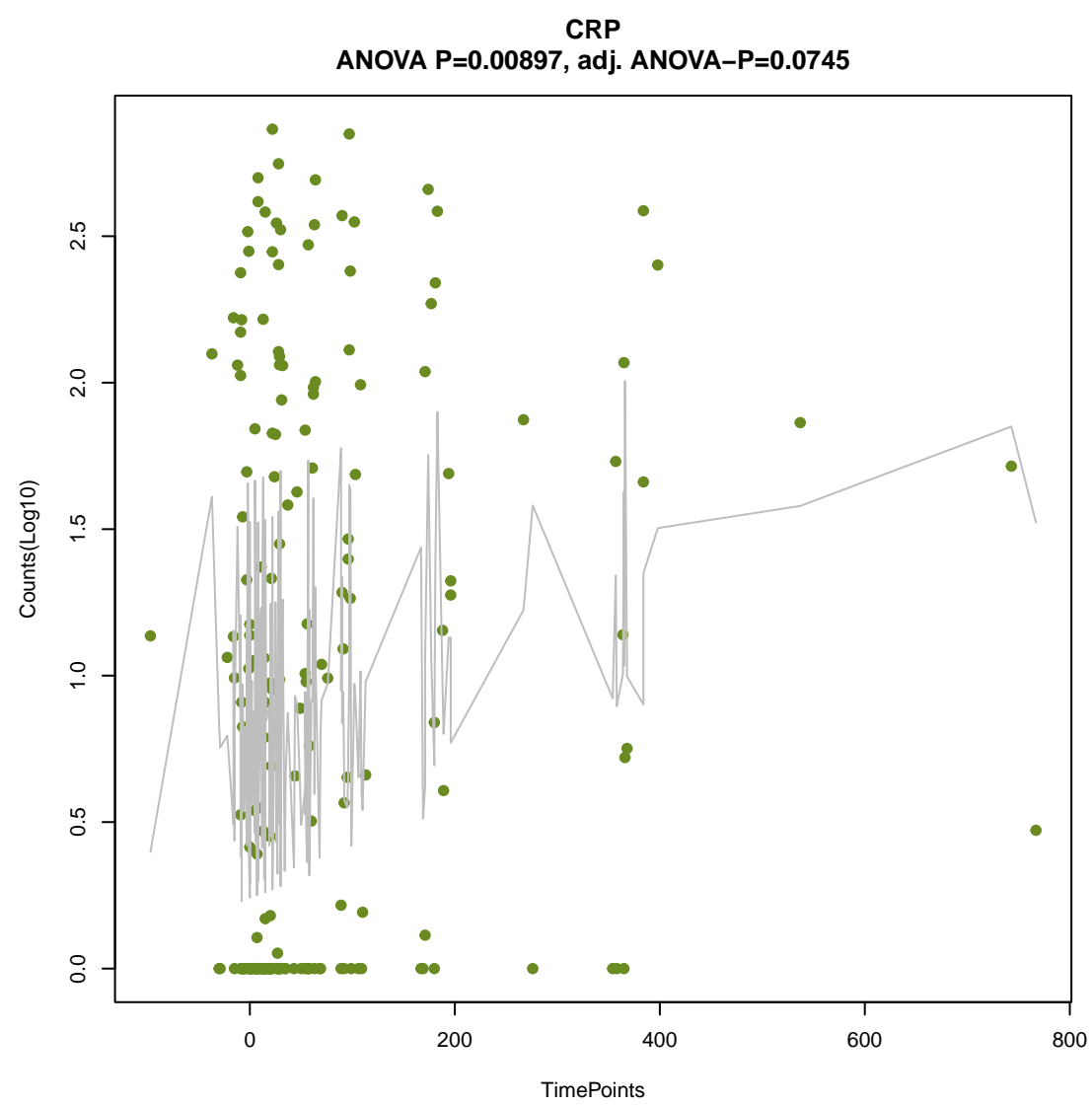
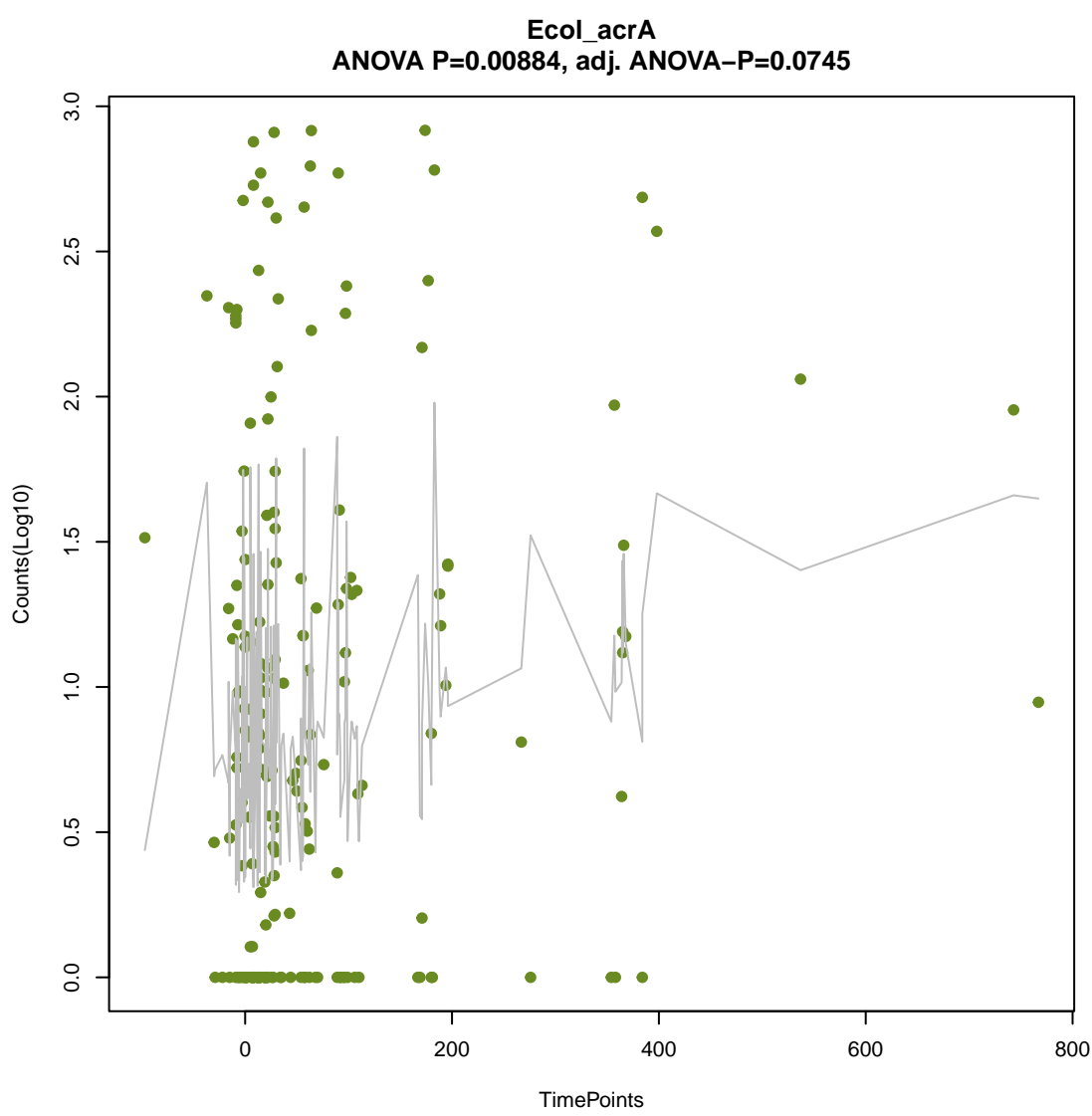
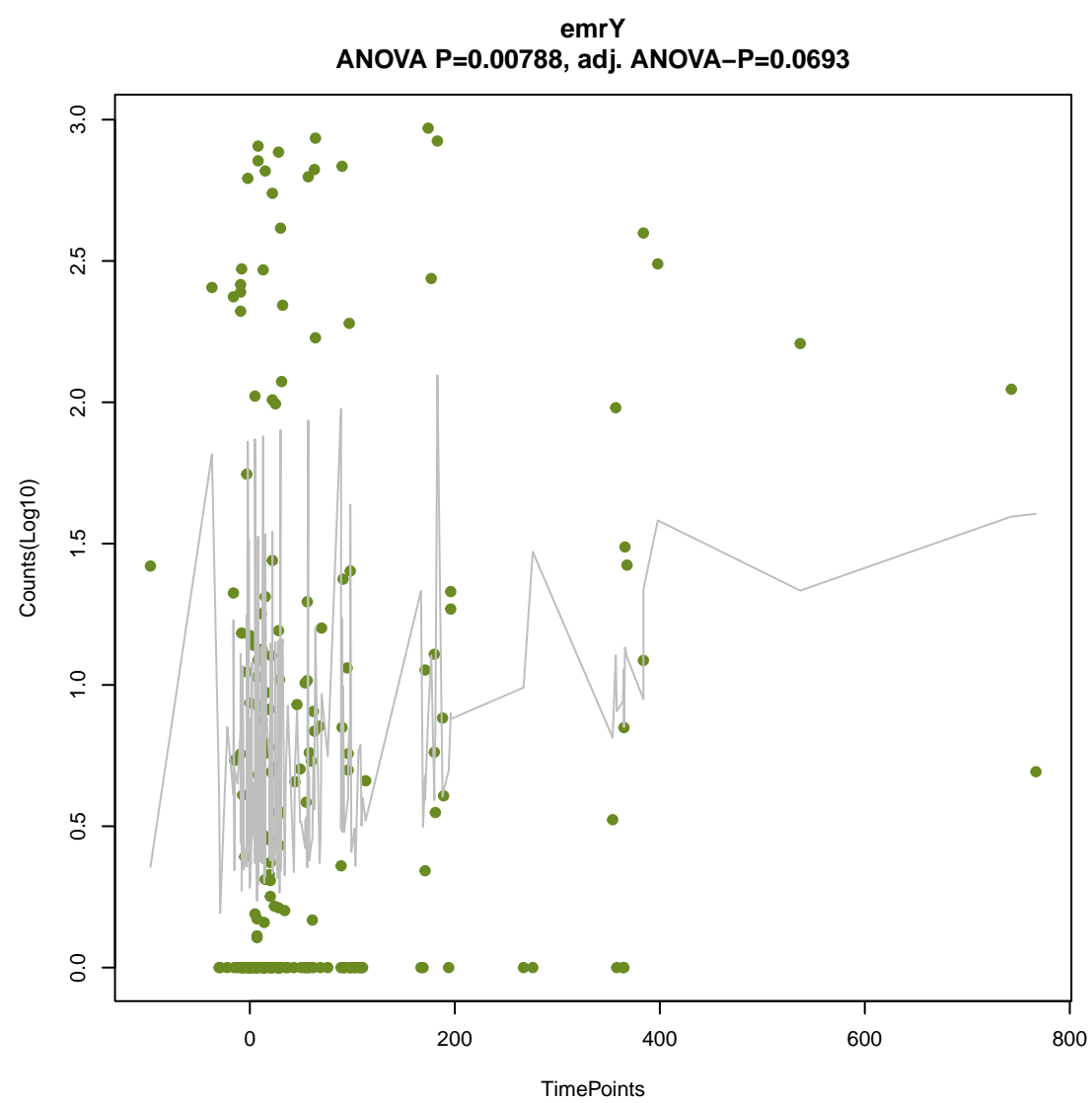
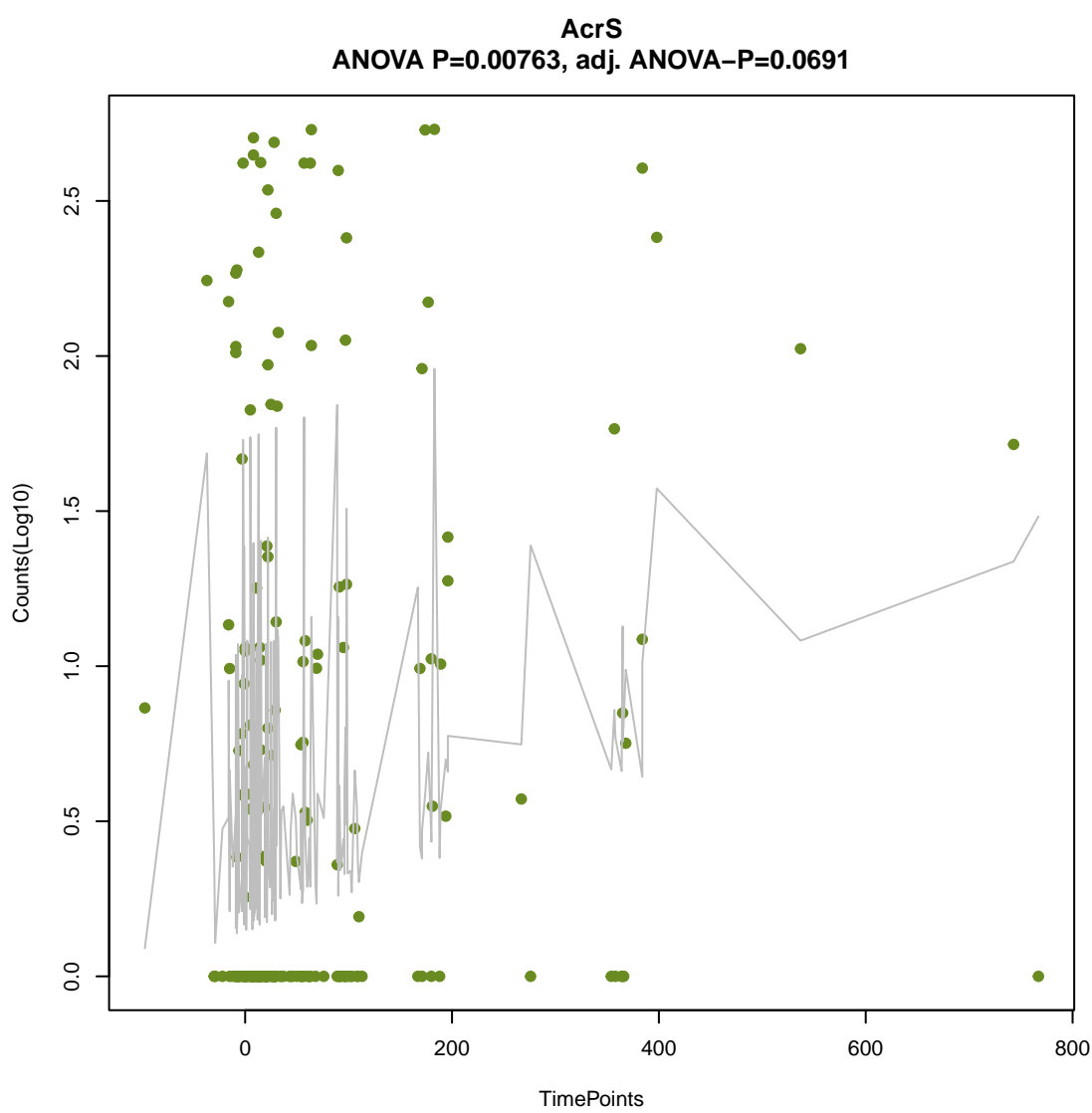
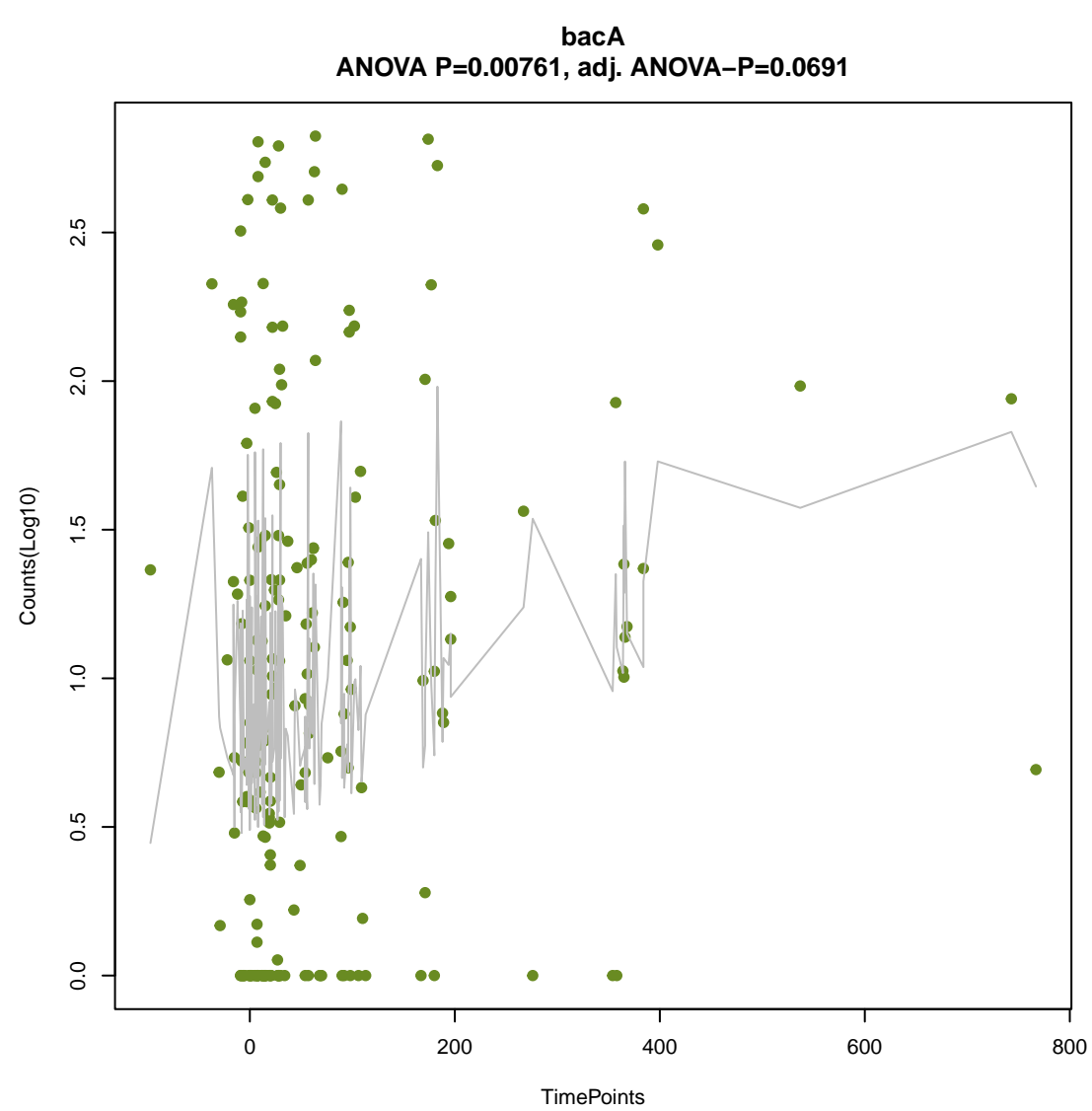
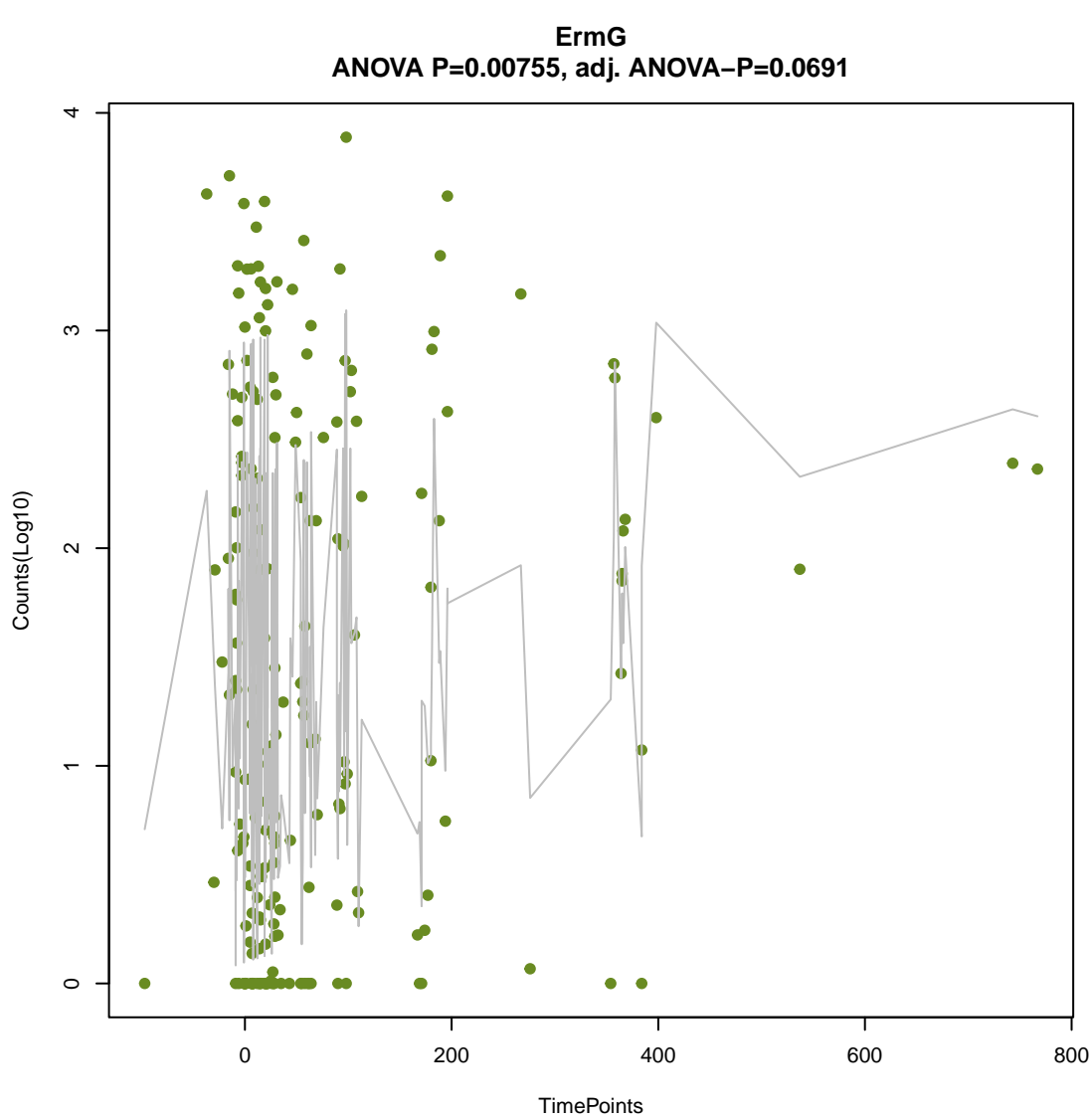


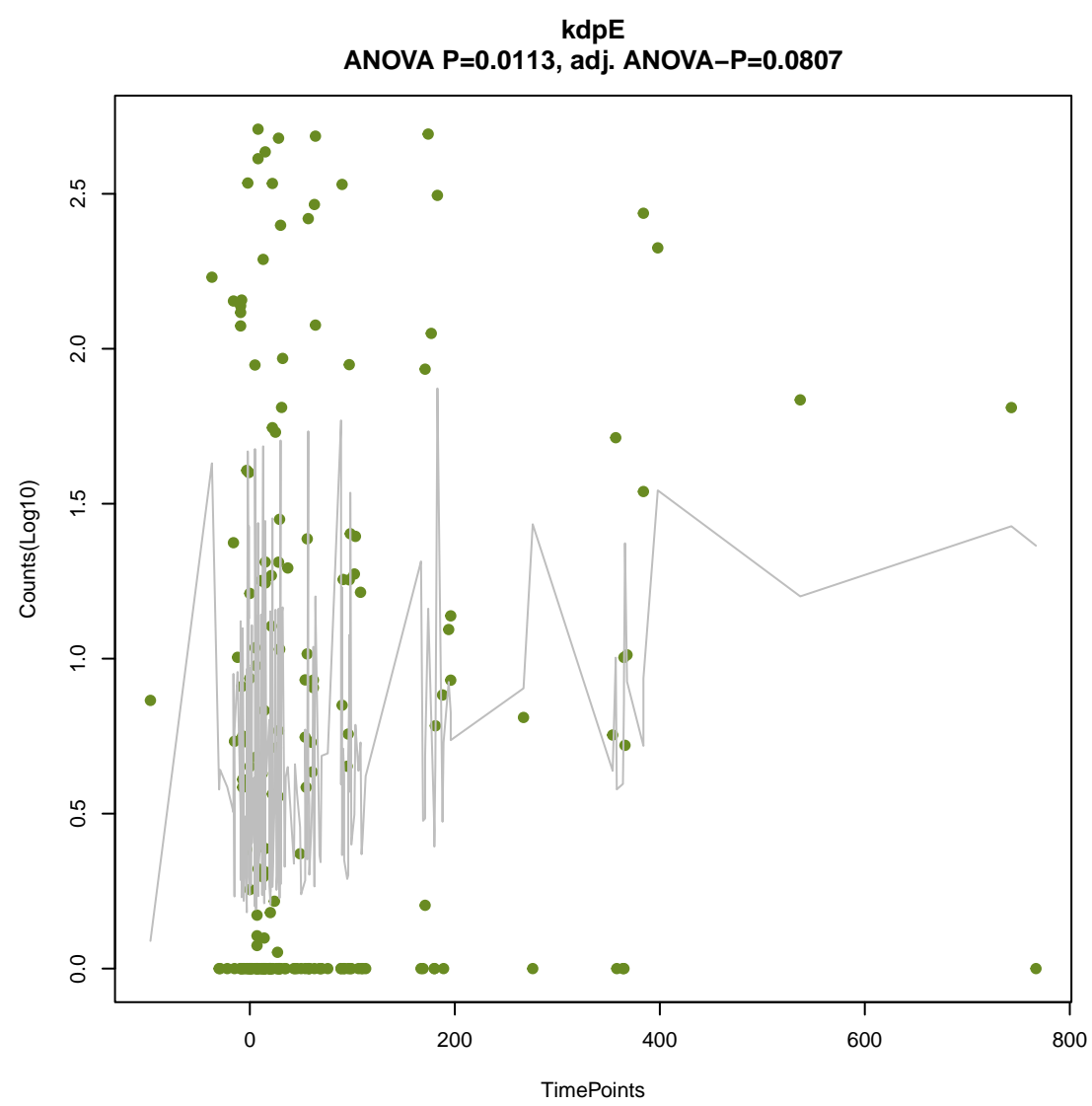
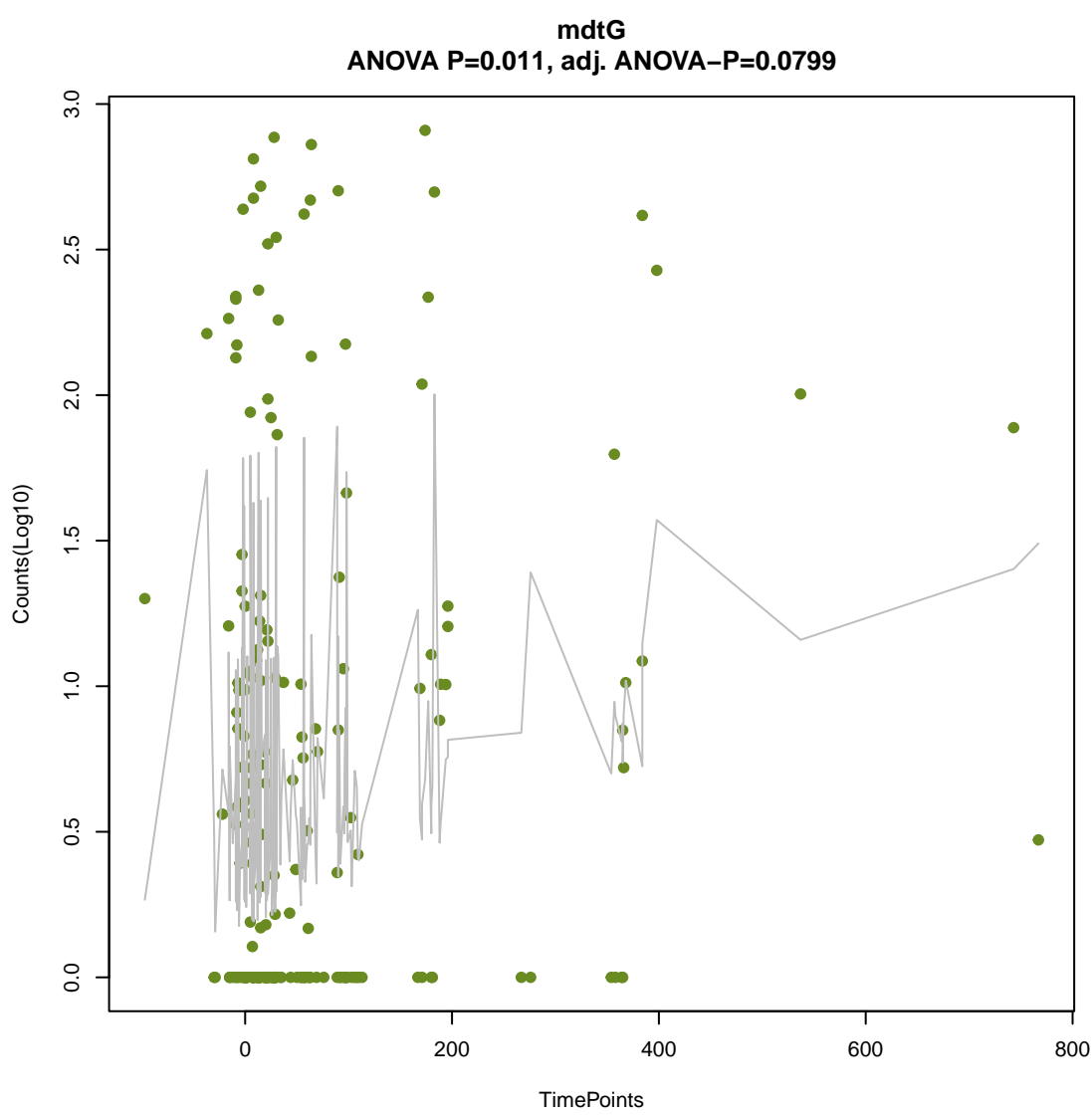
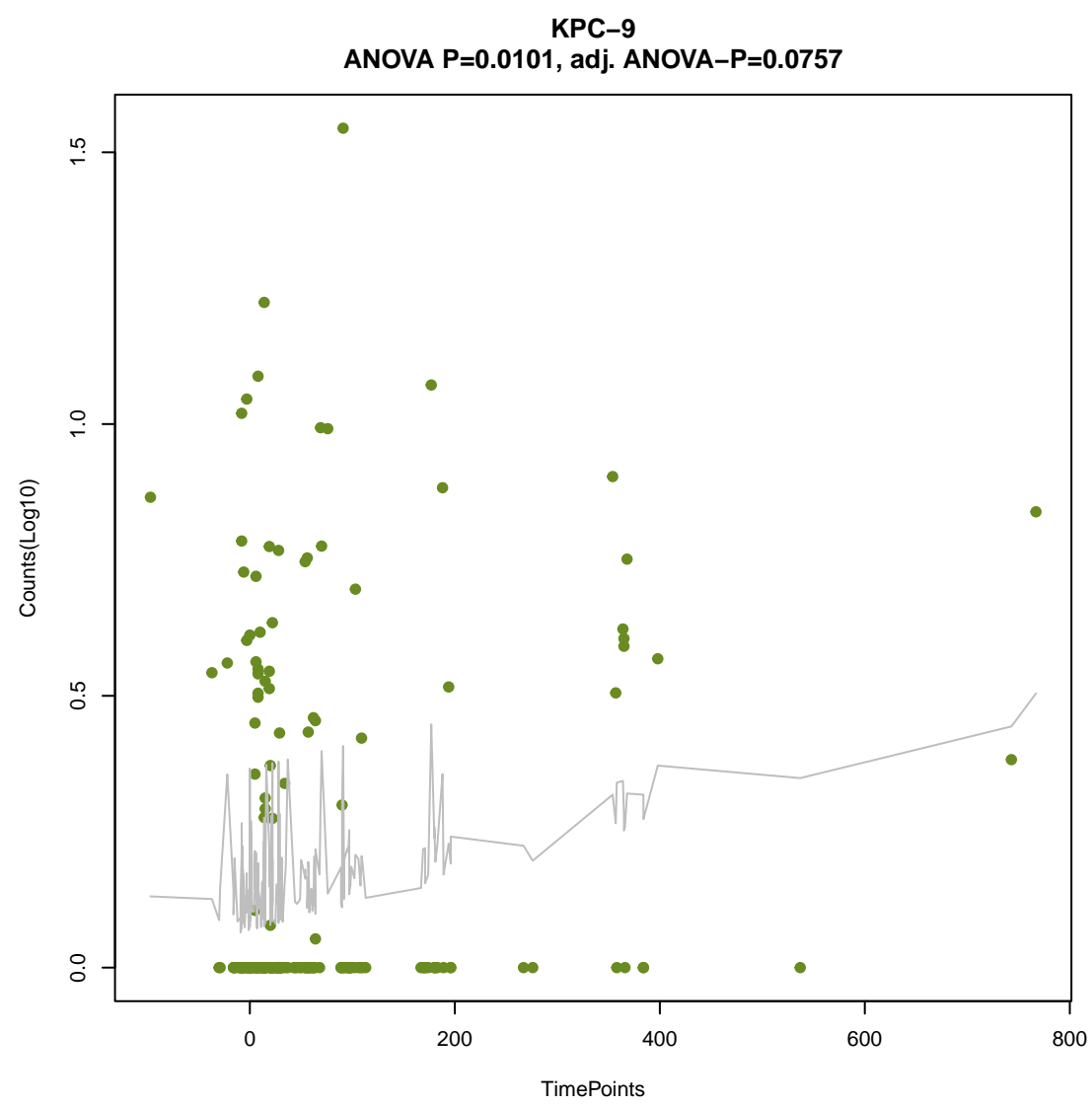
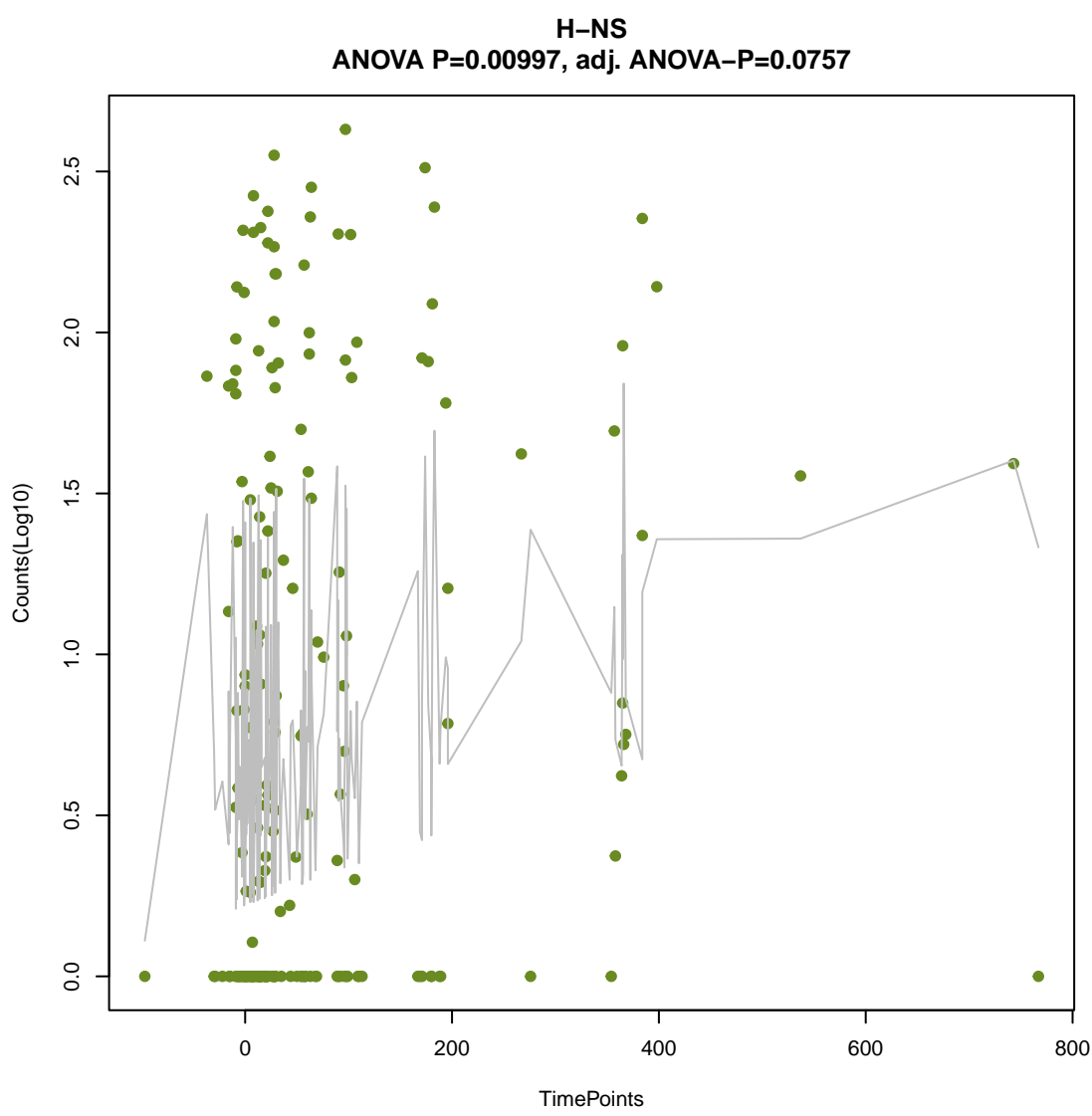
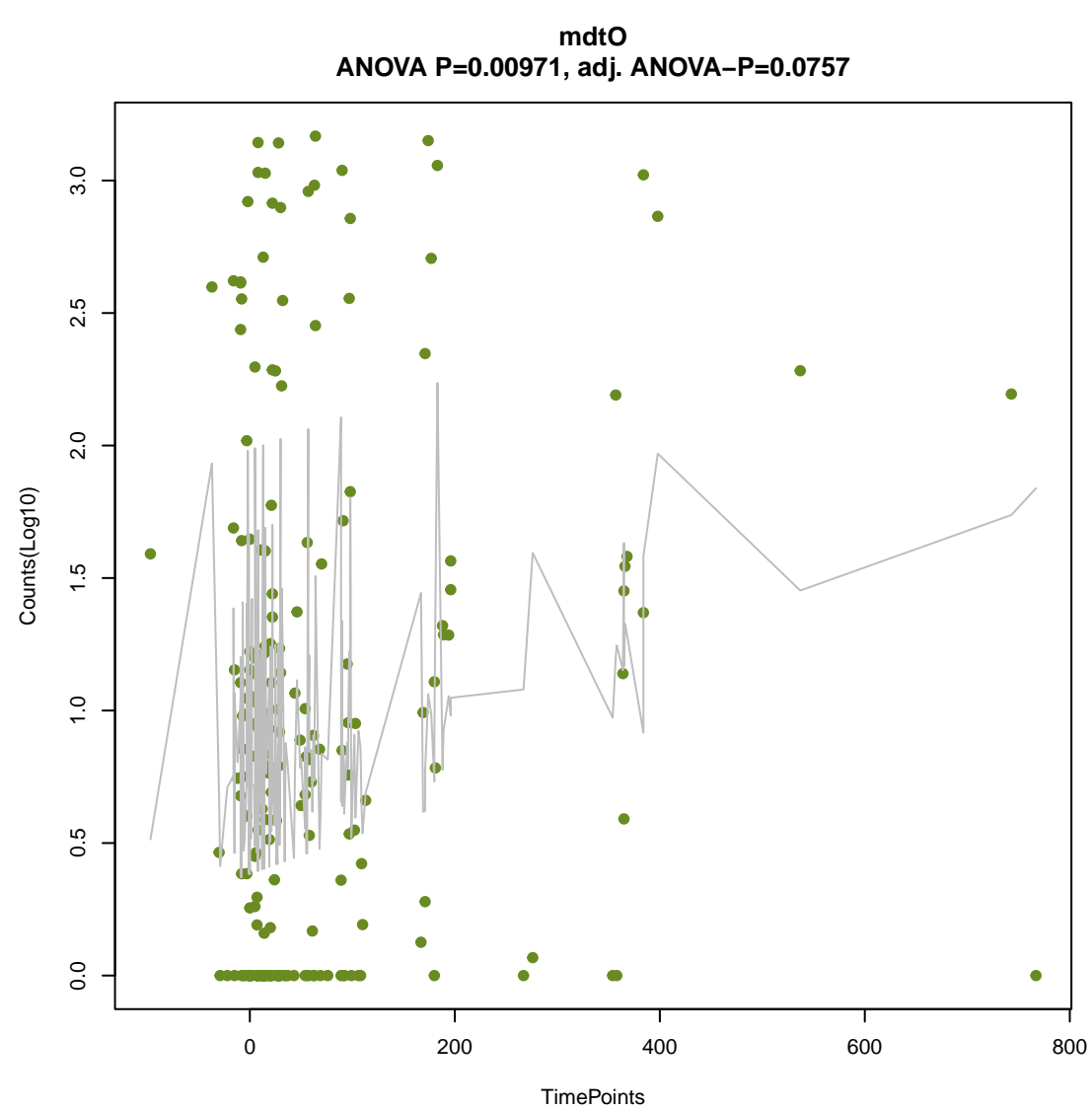
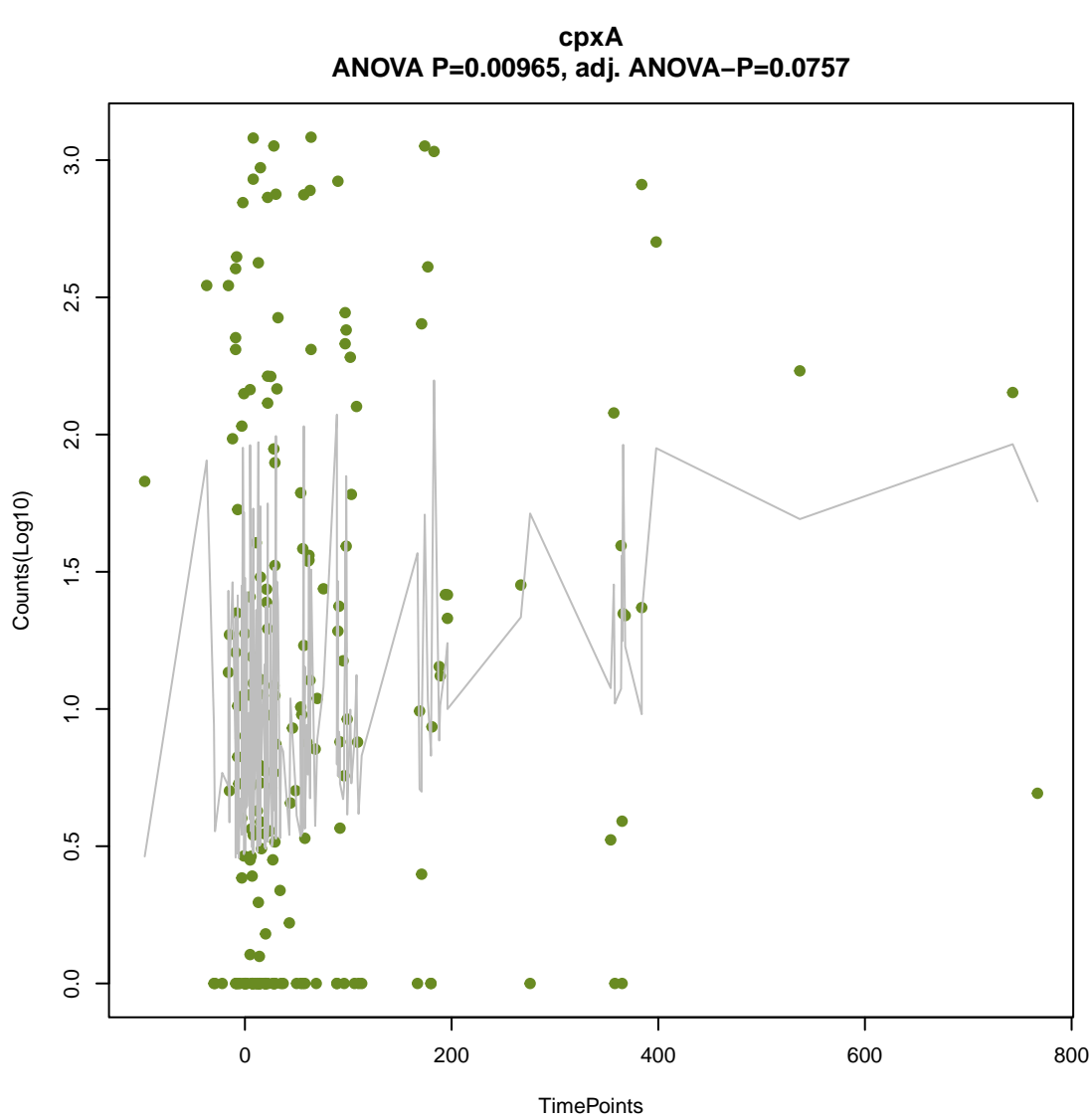
mdtF
ANOVA P=0.00729, adj. ANOVA-P=0.0691

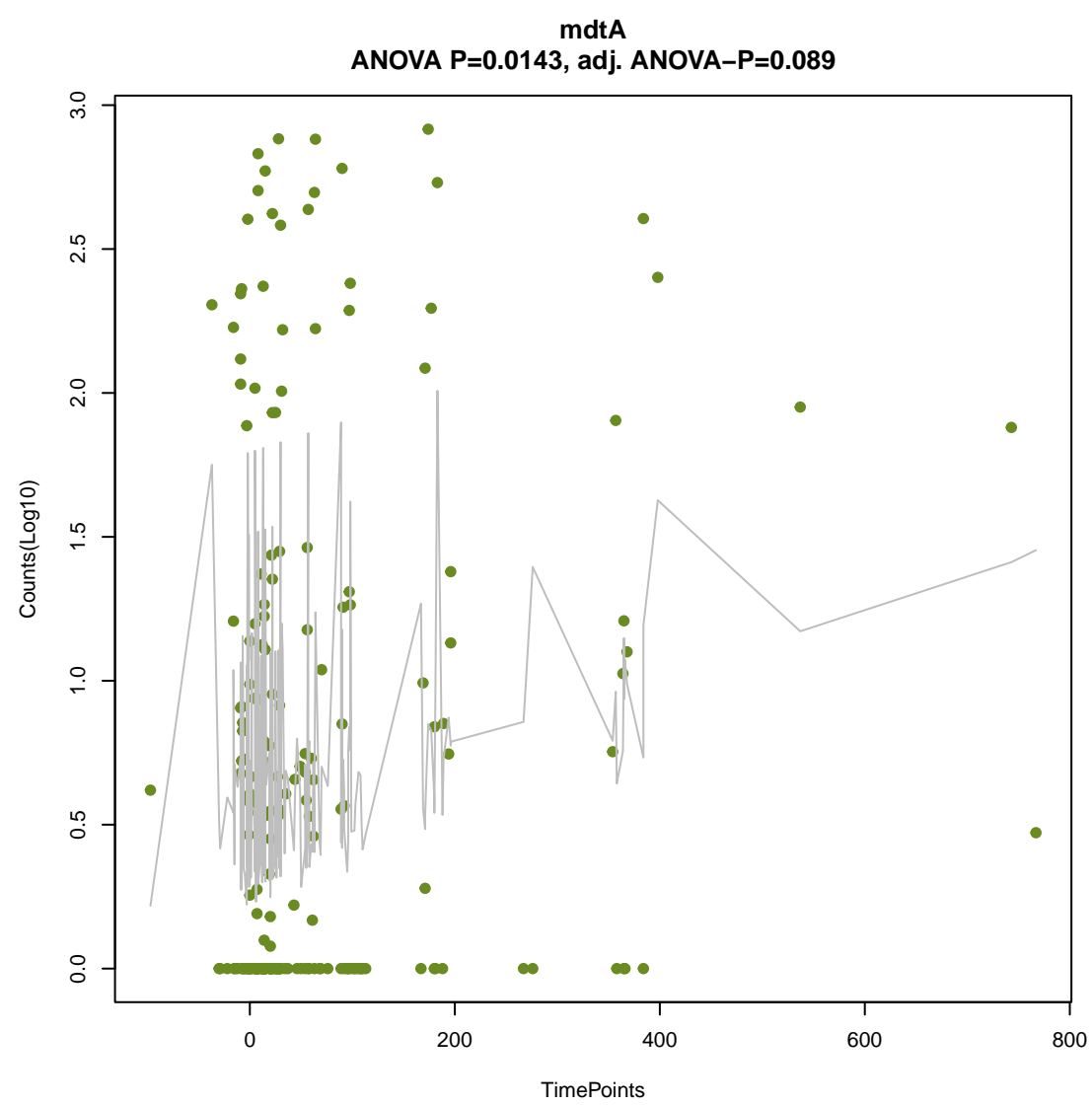
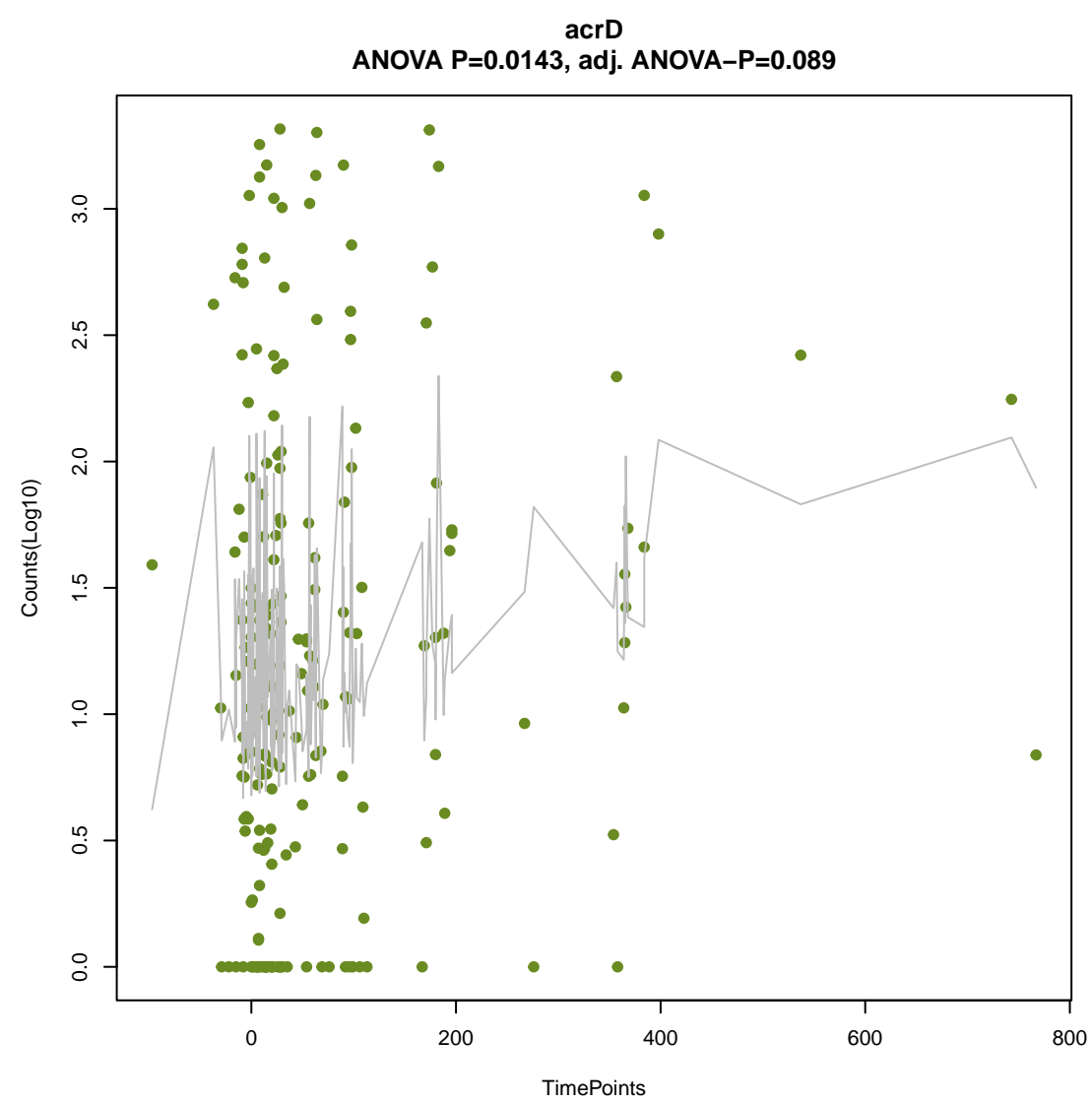
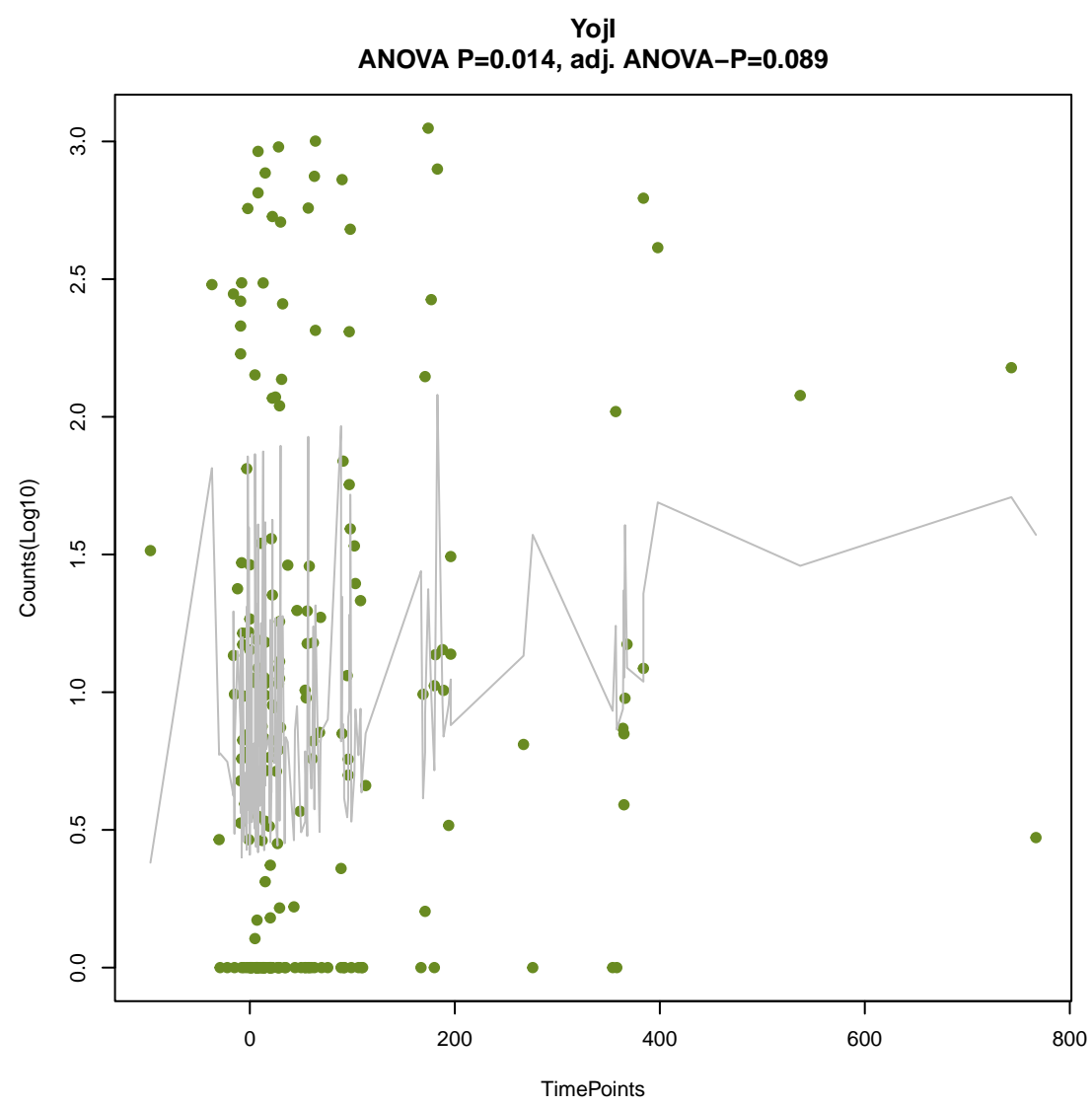
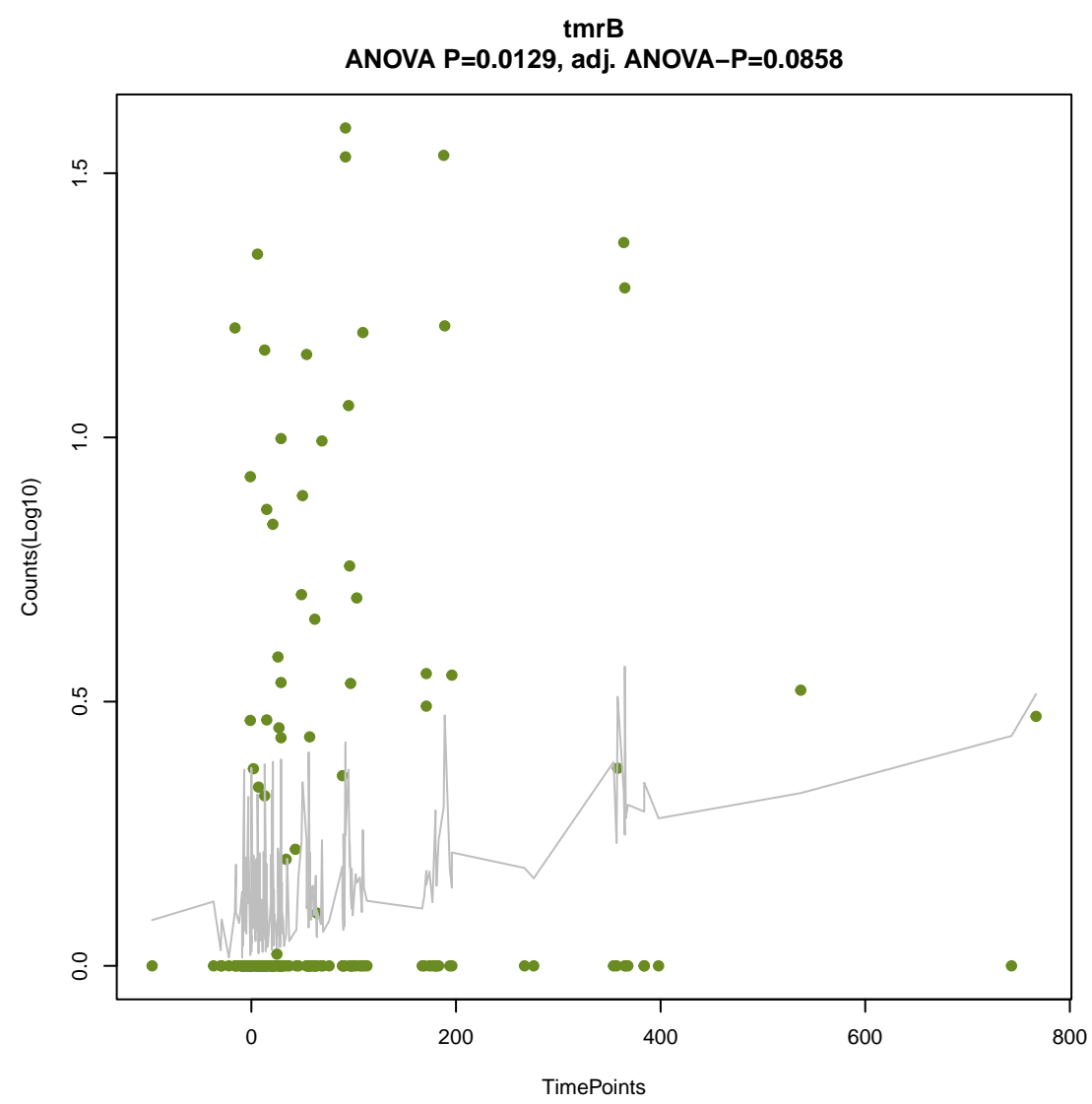
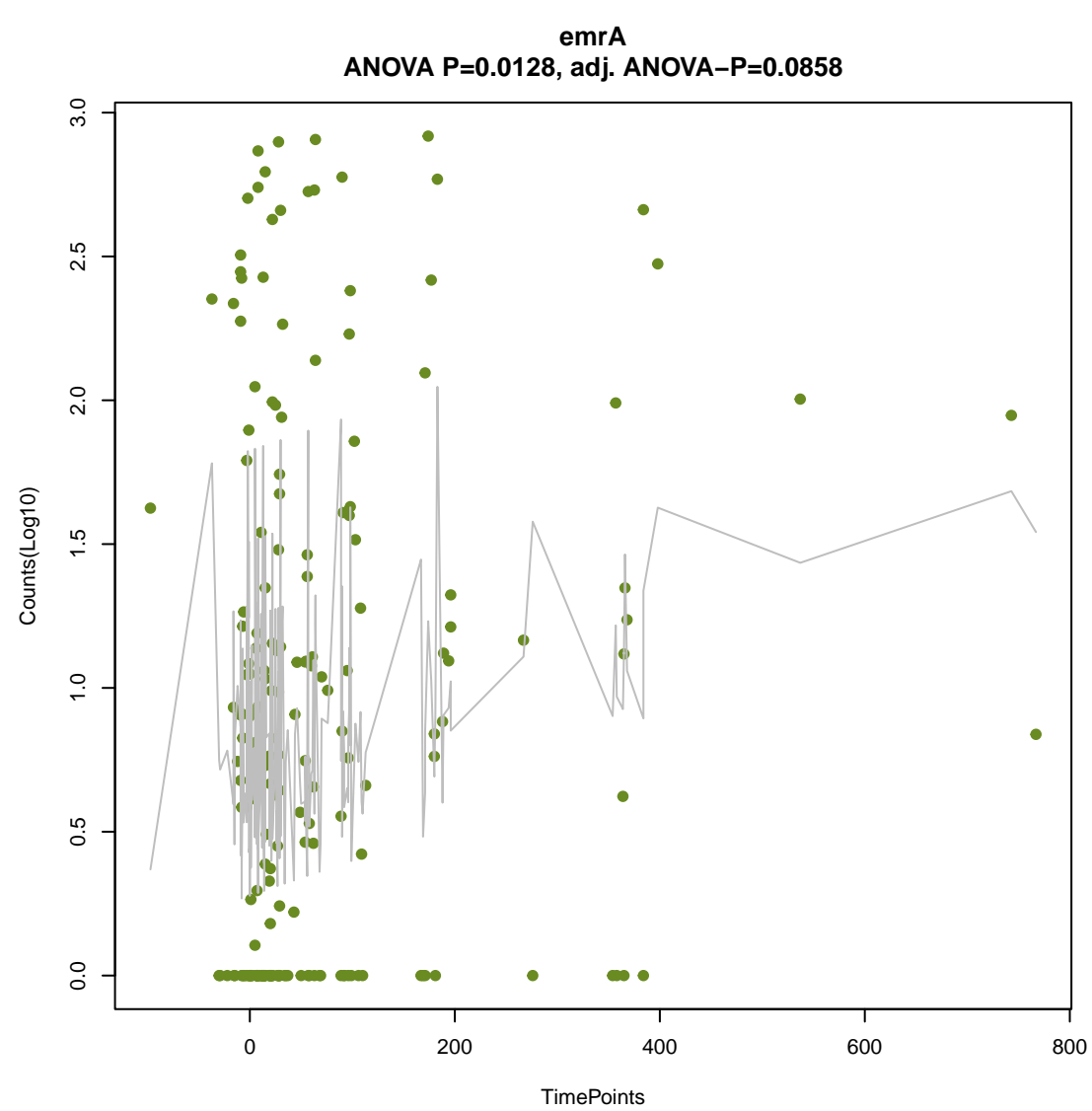
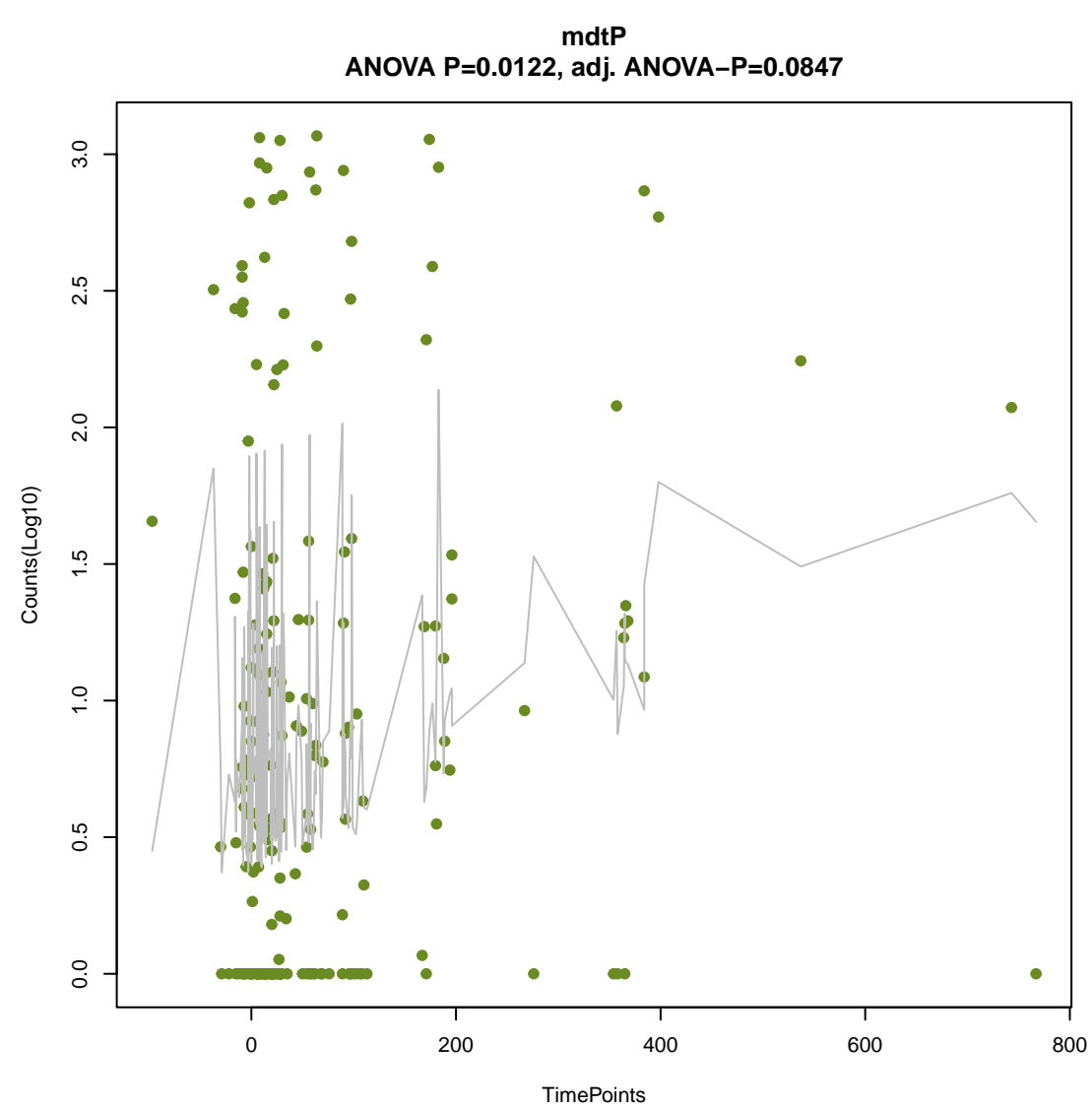


APH(2'')-Ig
ANOVA P=0.00731, adj. ANOVA-P=0.0691

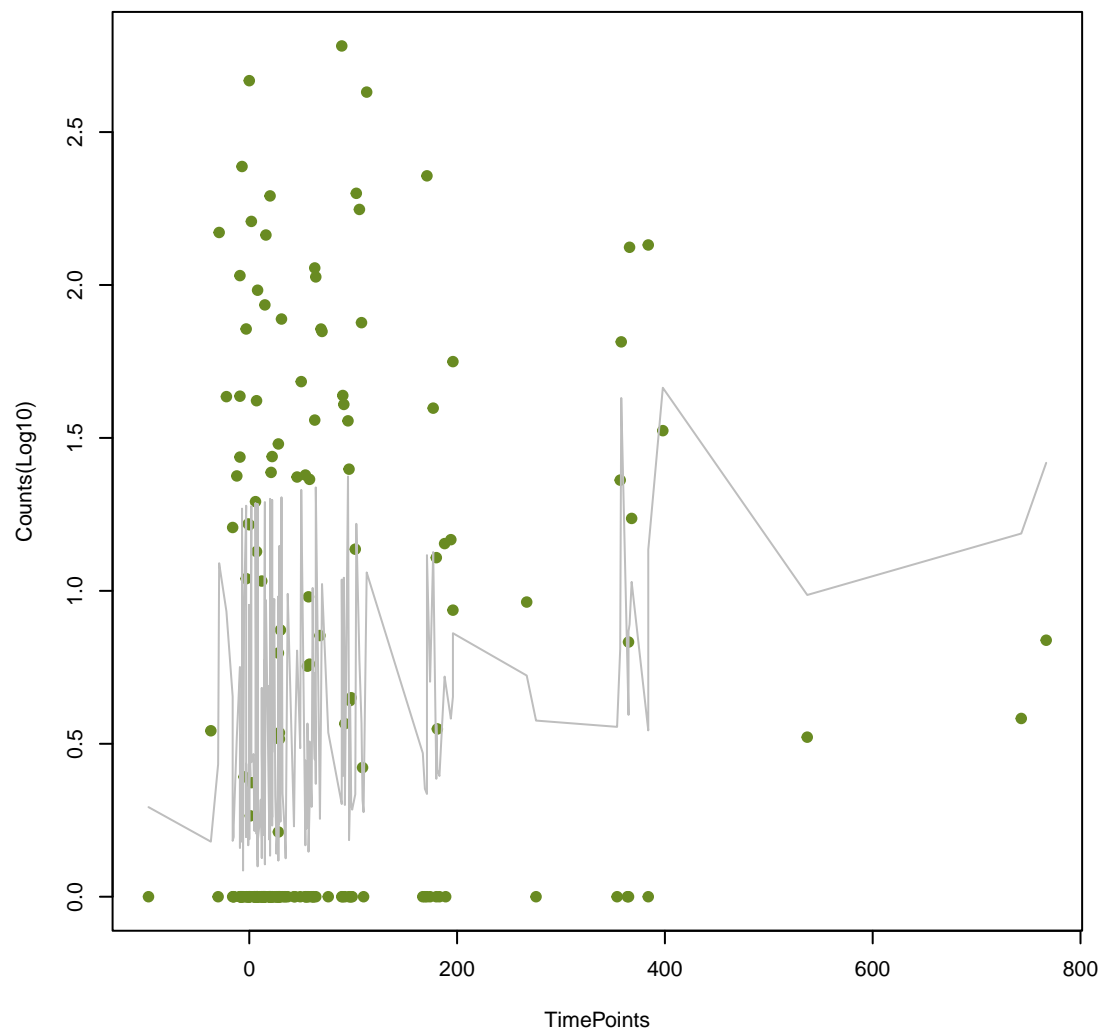




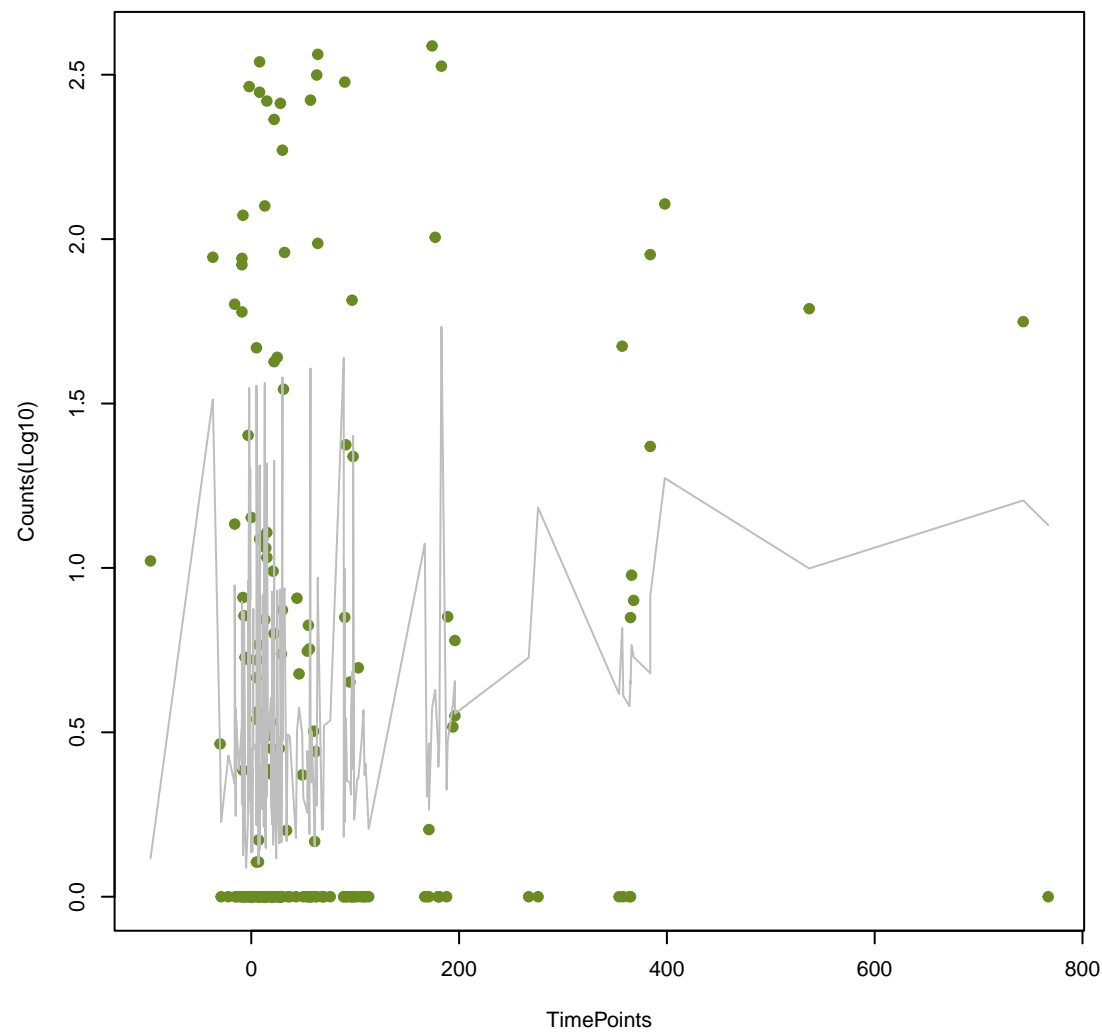




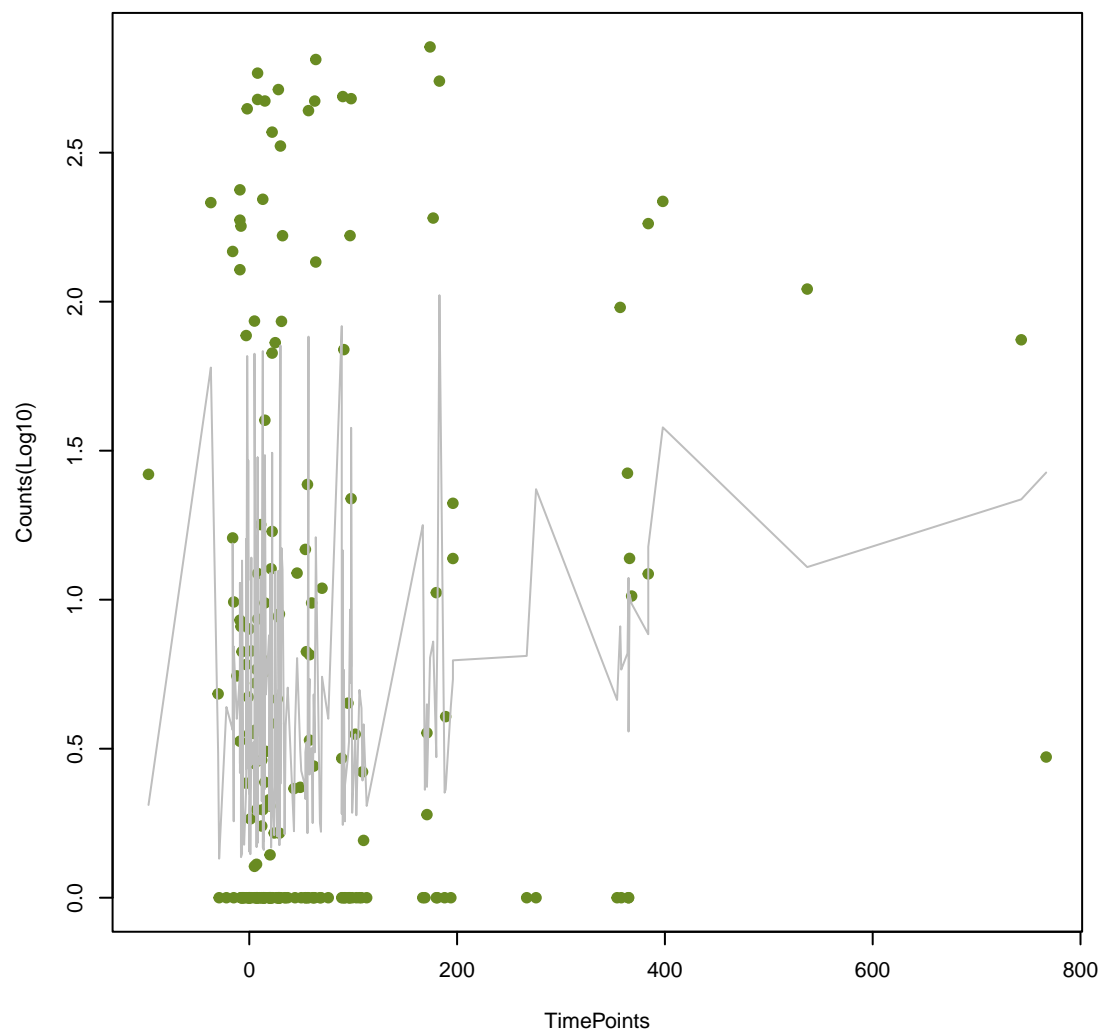
vanY_in_vanD_cl
ANOVA P=0.0166, adj. ANOVA-P=0.101



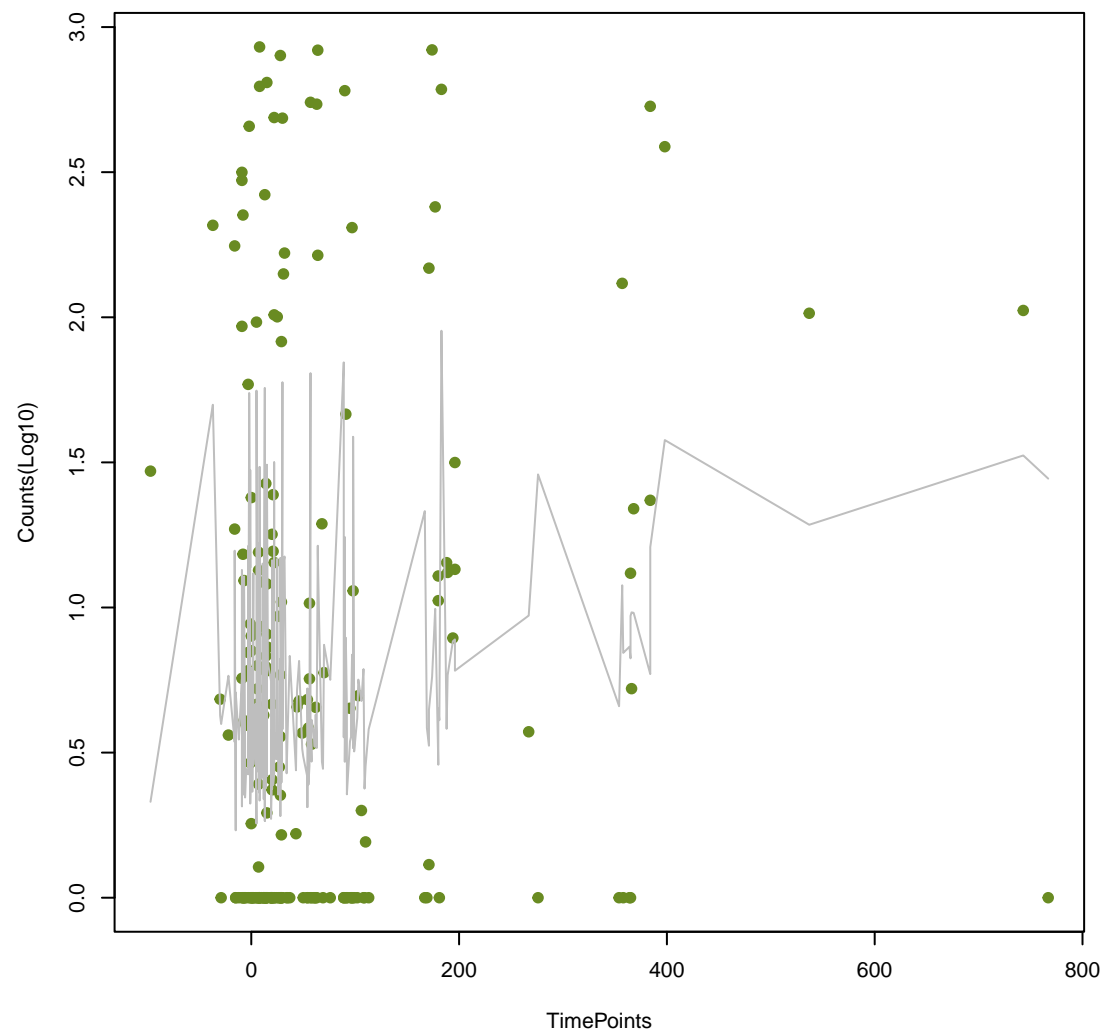
evgA
ANOVA P=0.0169, adj. ANOVA-P=0.101



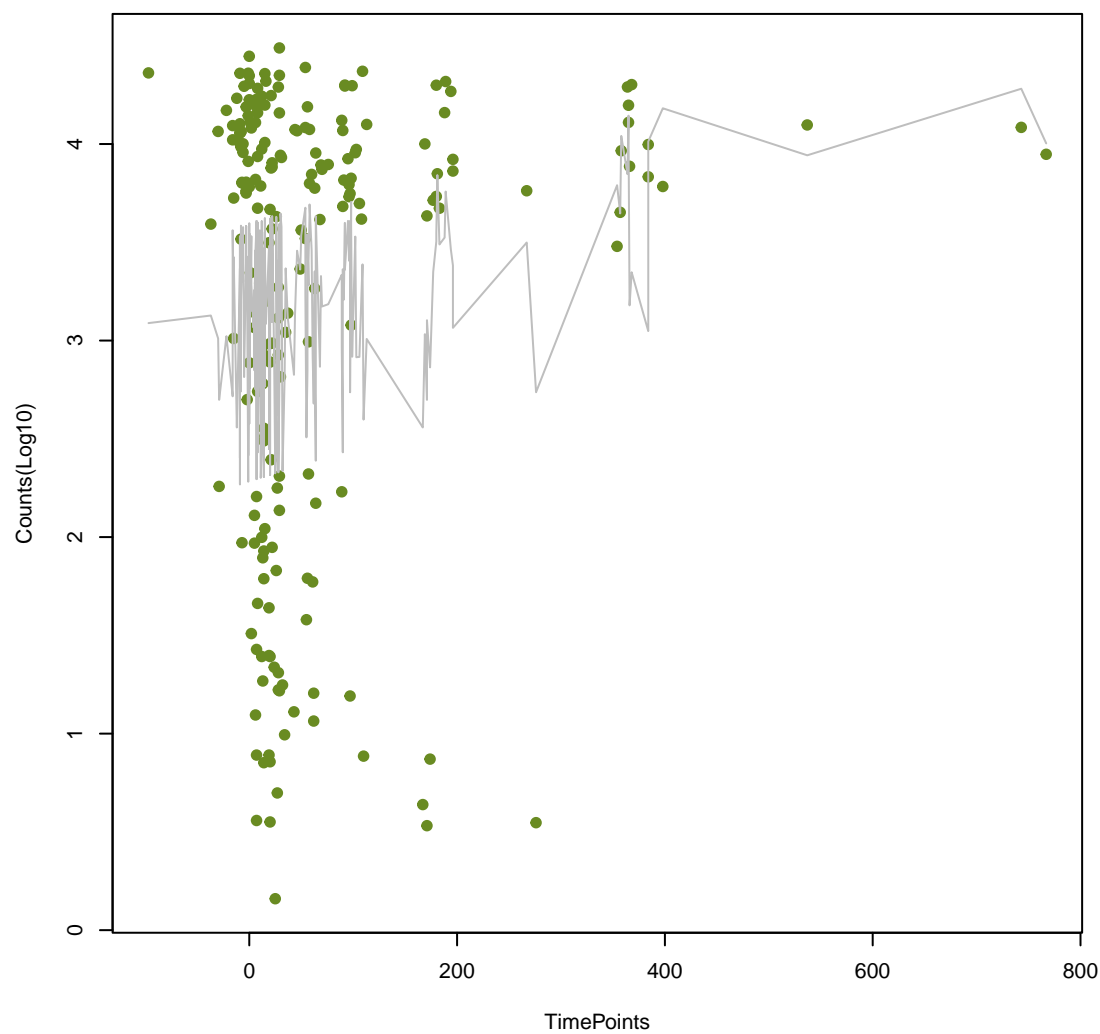
emrK
ANOVA P=0.0178, adj. ANOVA-P=0.104



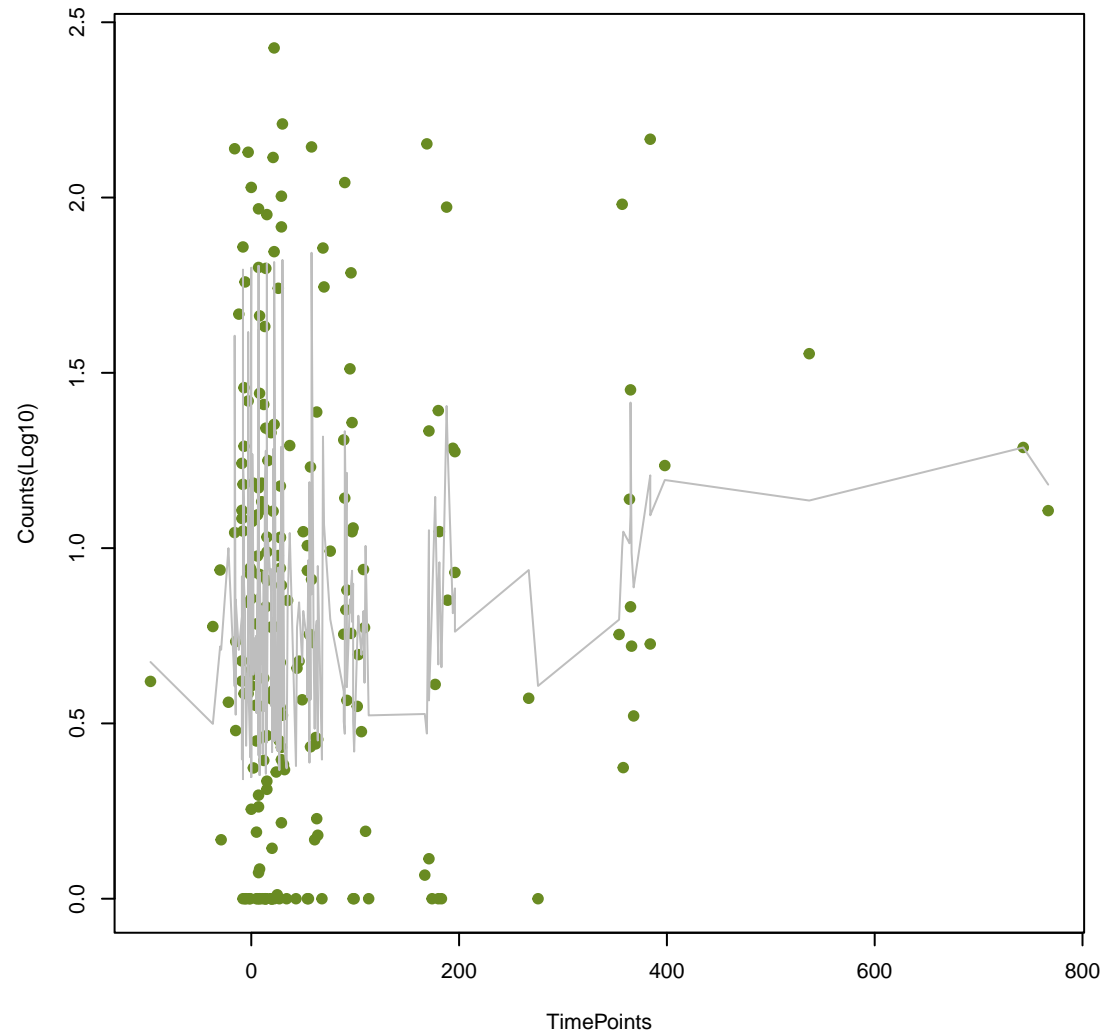
mdtN
ANOVA P=0.0185, adj. ANOVA-P=0.106



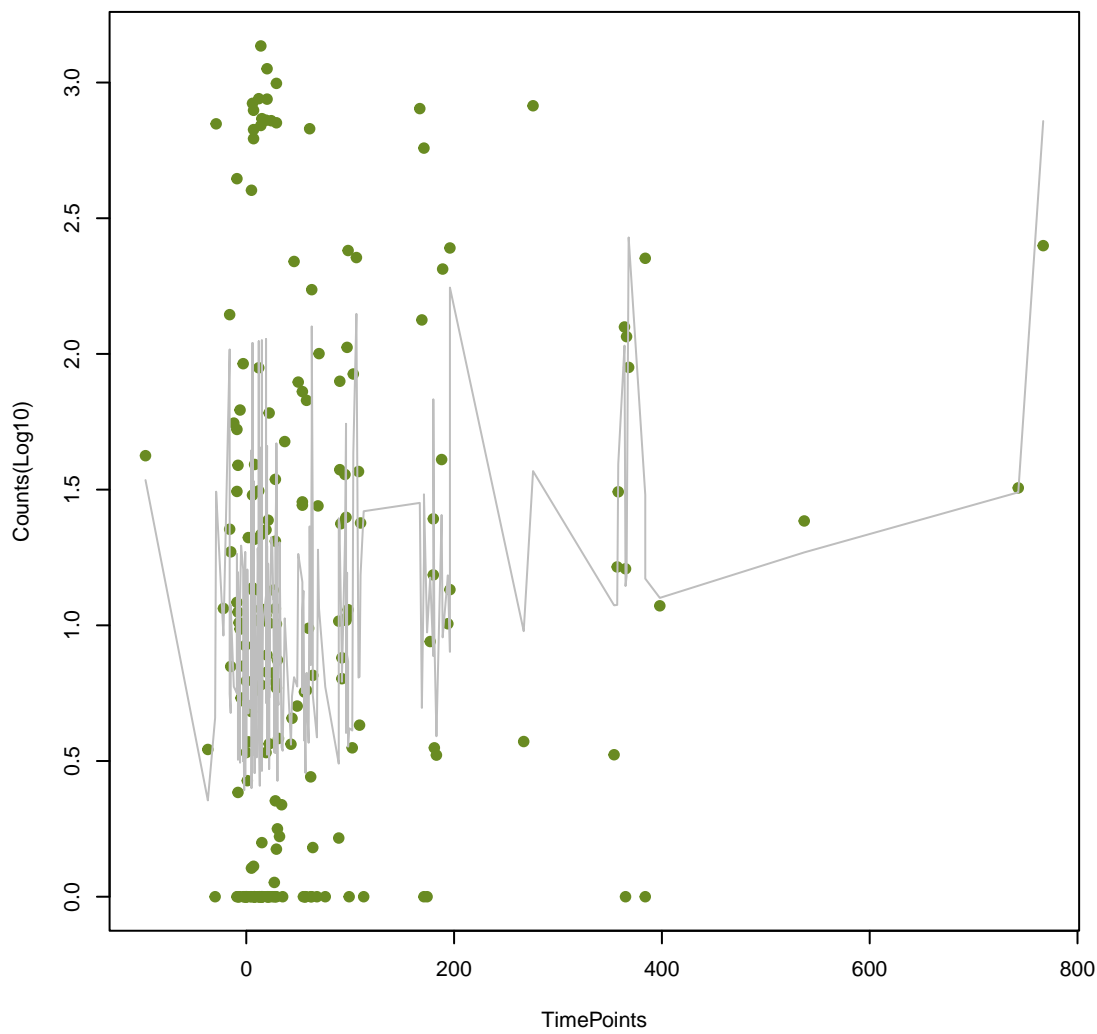
tetO
ANOVA P=0.0191, adj. ANOVA-P=0.108



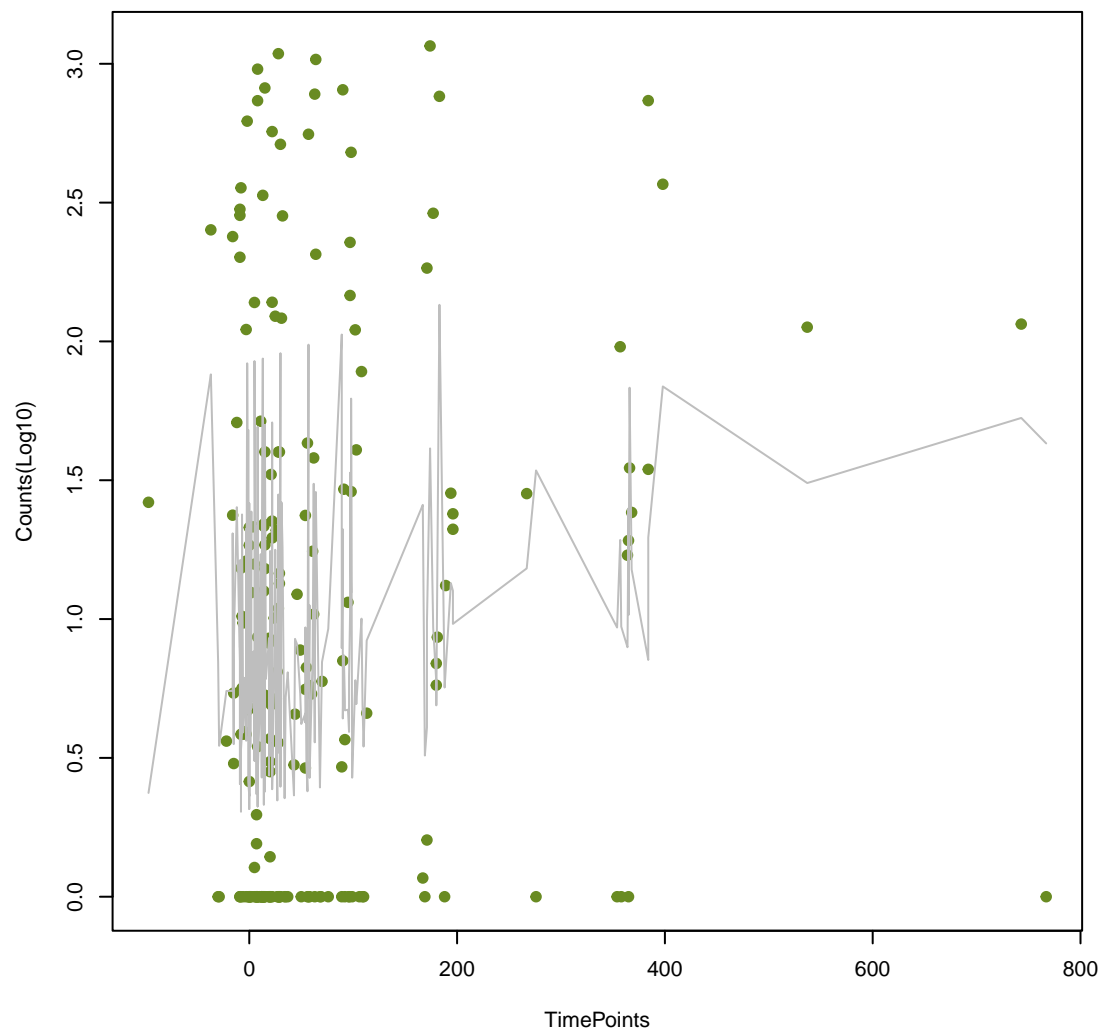
rpoB2
ANOVA P=0.0215, adj. ANOVA-P=0.119



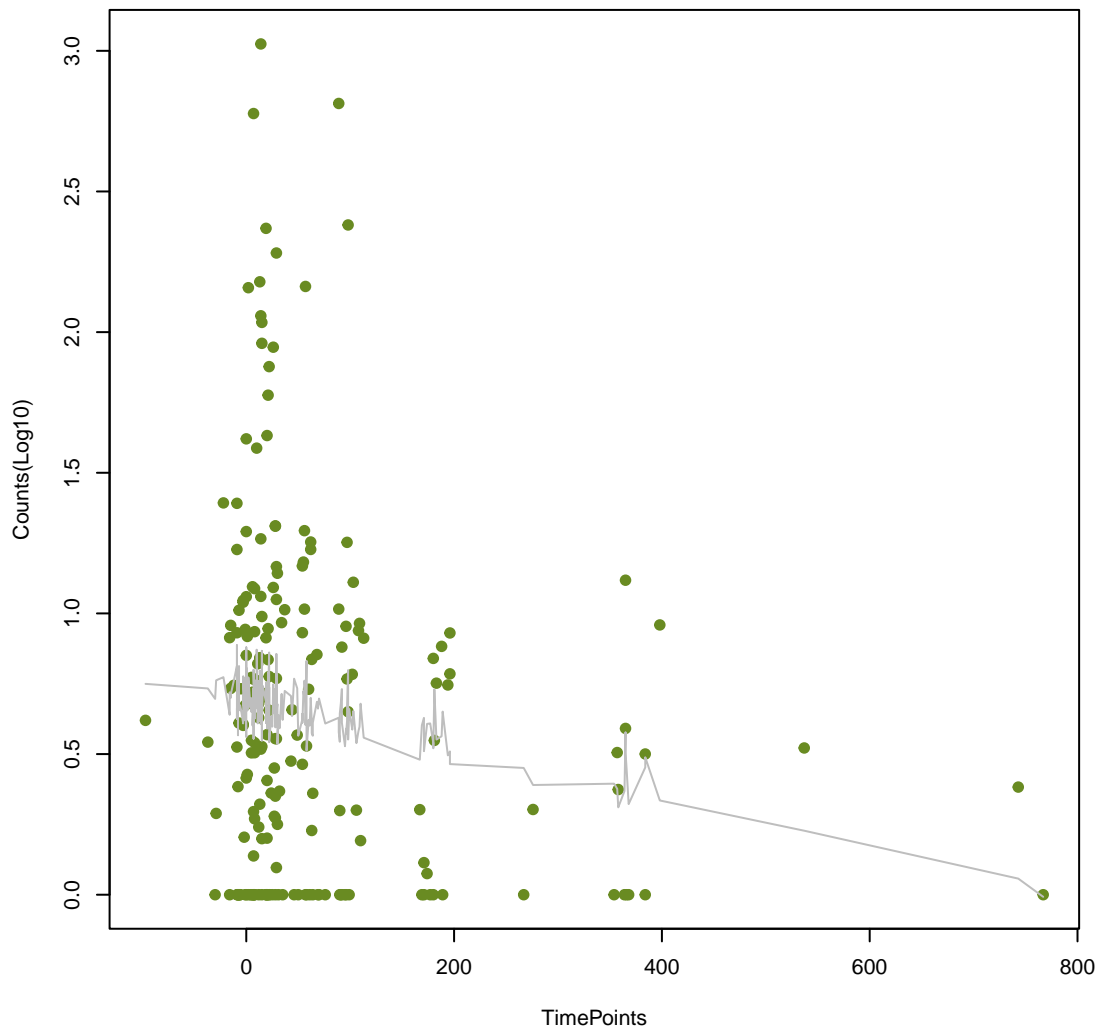
ANT(6)-la
ANOVA P=0.0223, adj. ANOVA-P=0.12



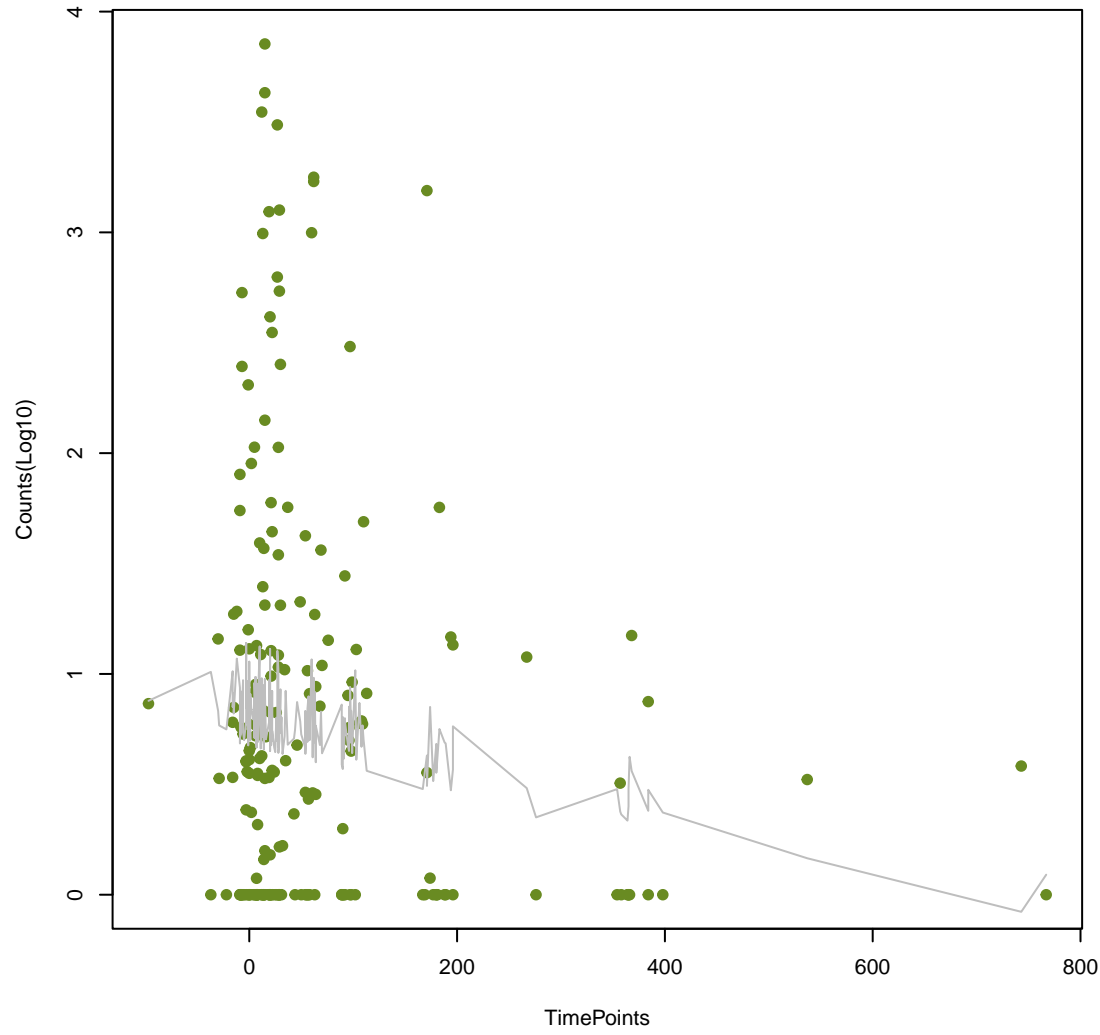
msbA
ANOVA P=0.0226, adj. ANOVA-P=0.12



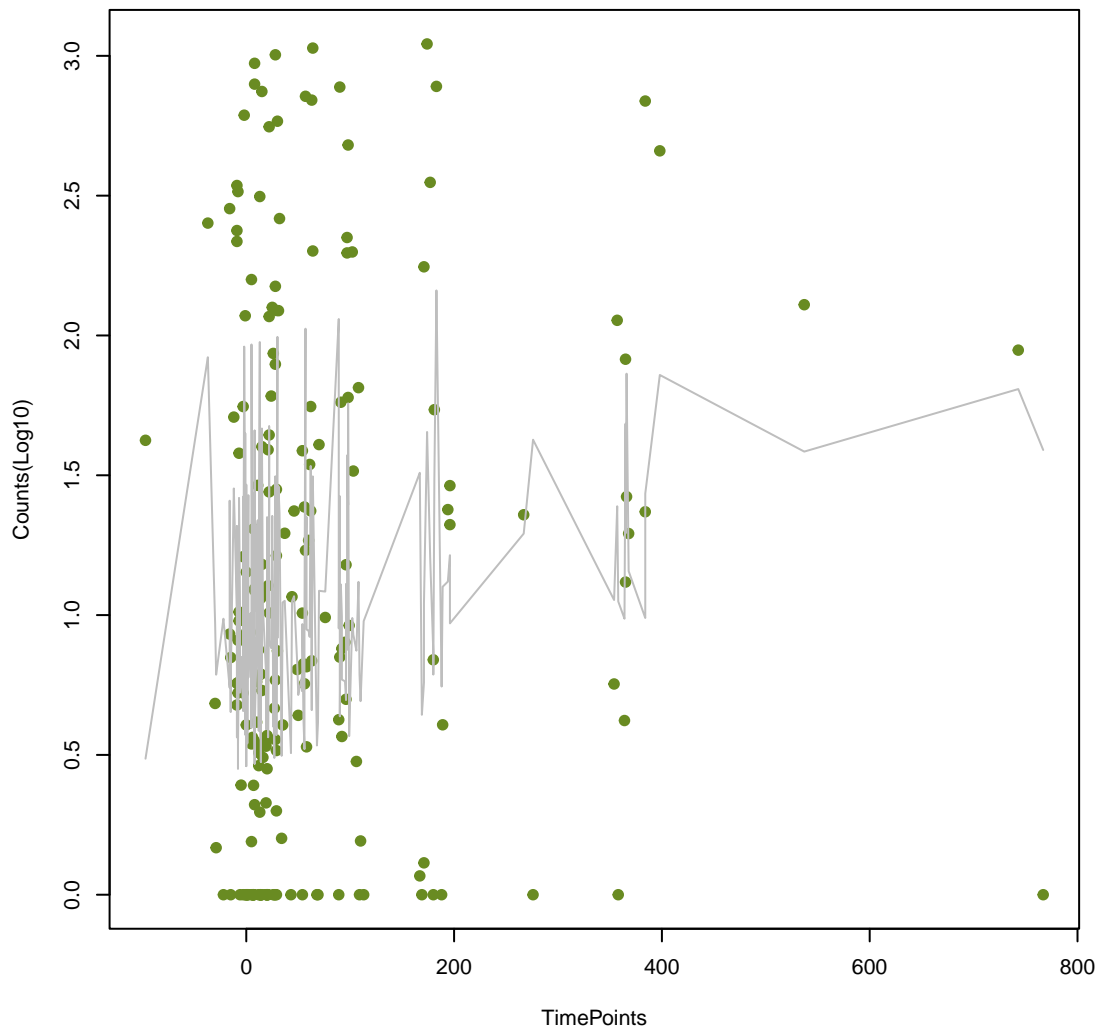
dfrB5
ANOVA P=0.023, adj. ANOVA-P=0.121



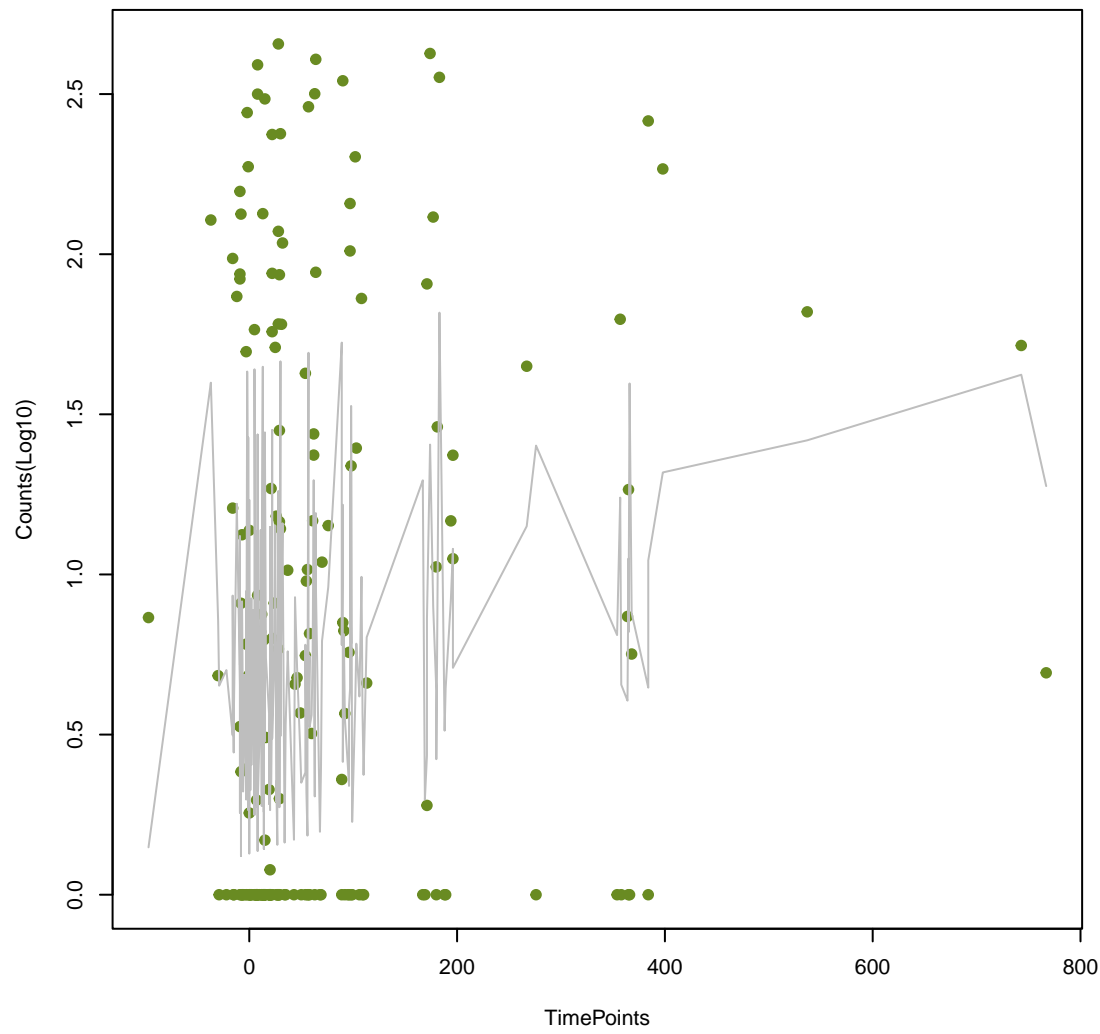
efrB
ANOVA P=0.0237, adj. ANOVA-P=0.122



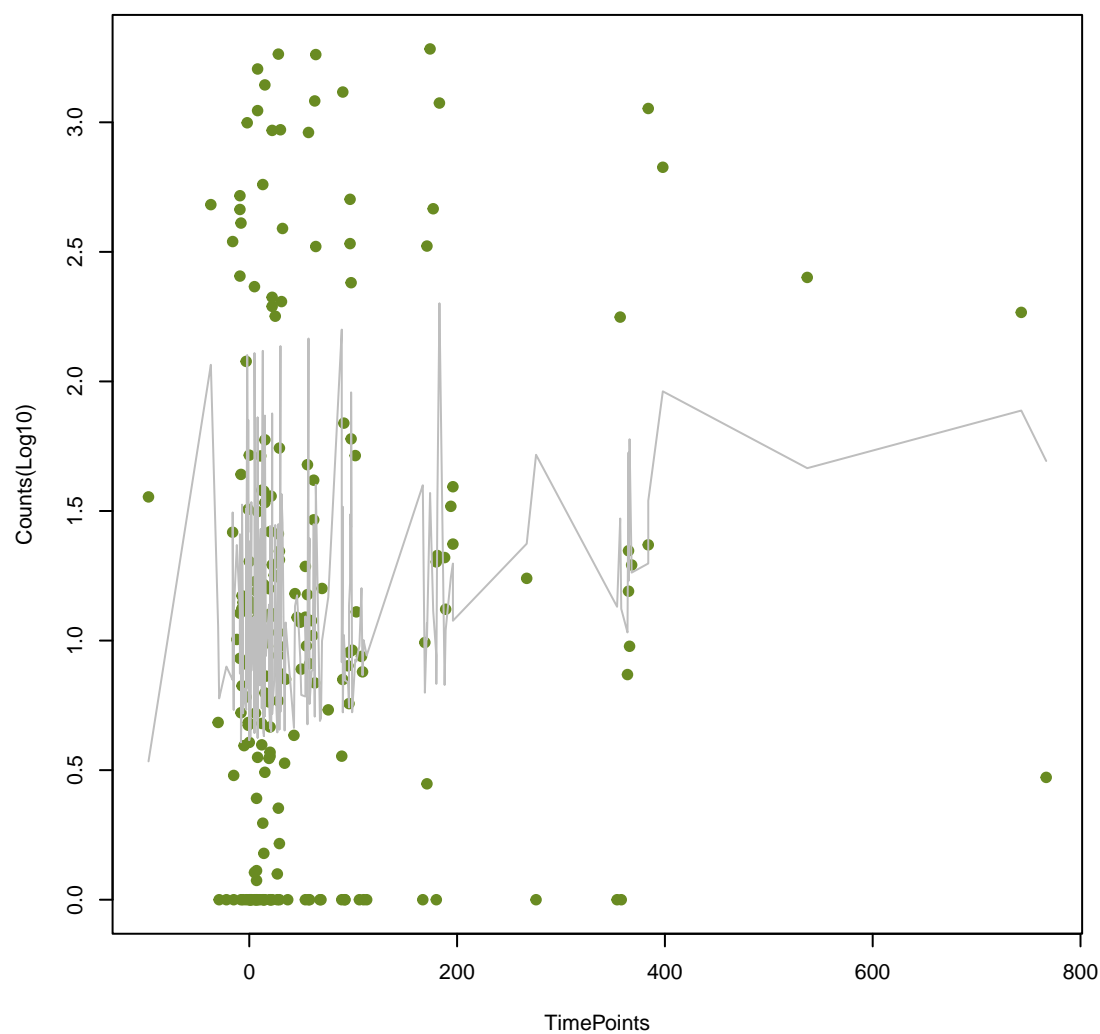
emrB
ANOVA P=0.0266, adj. ANOVA-P=0.135



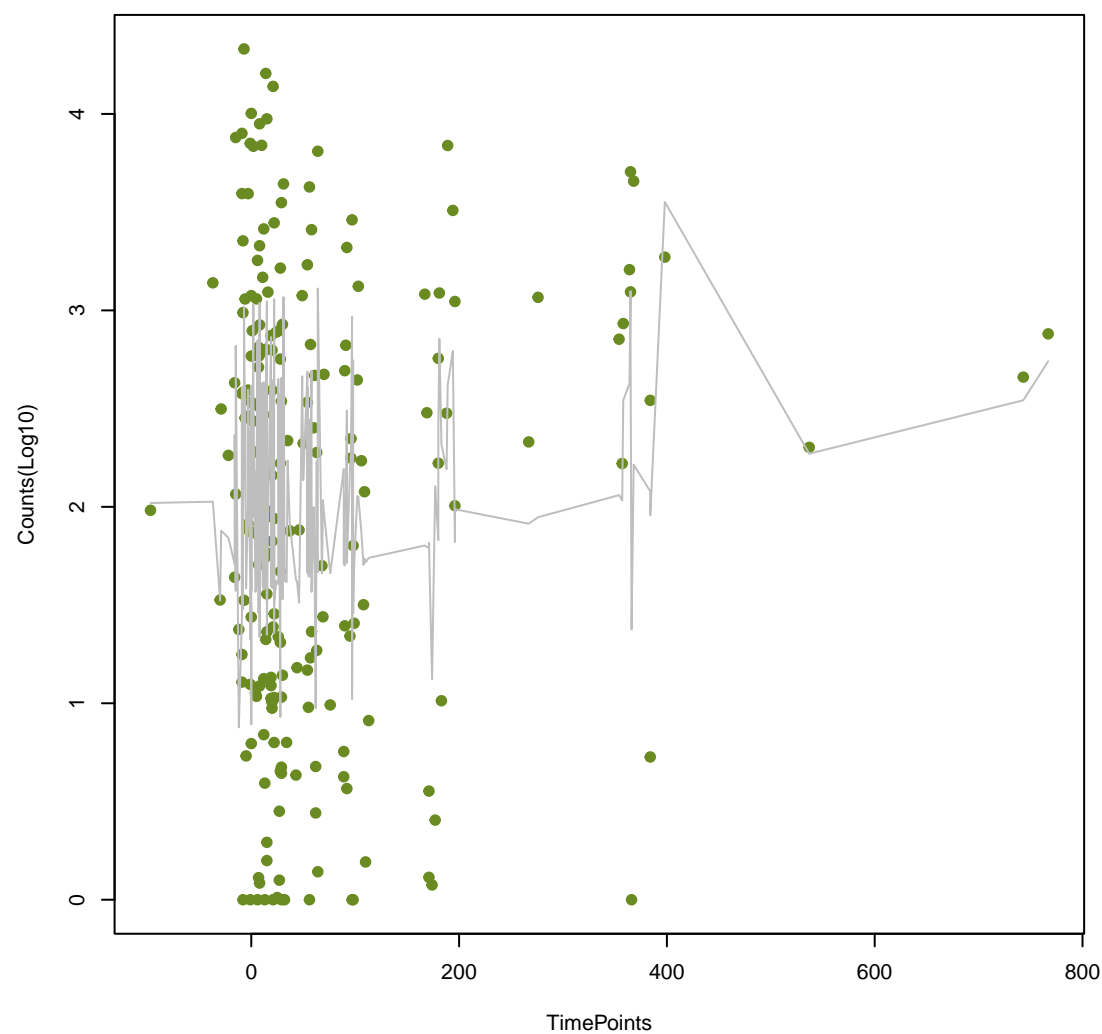
emrR
ANOVA P=0.0277, adj. ANOVA-P=0.138



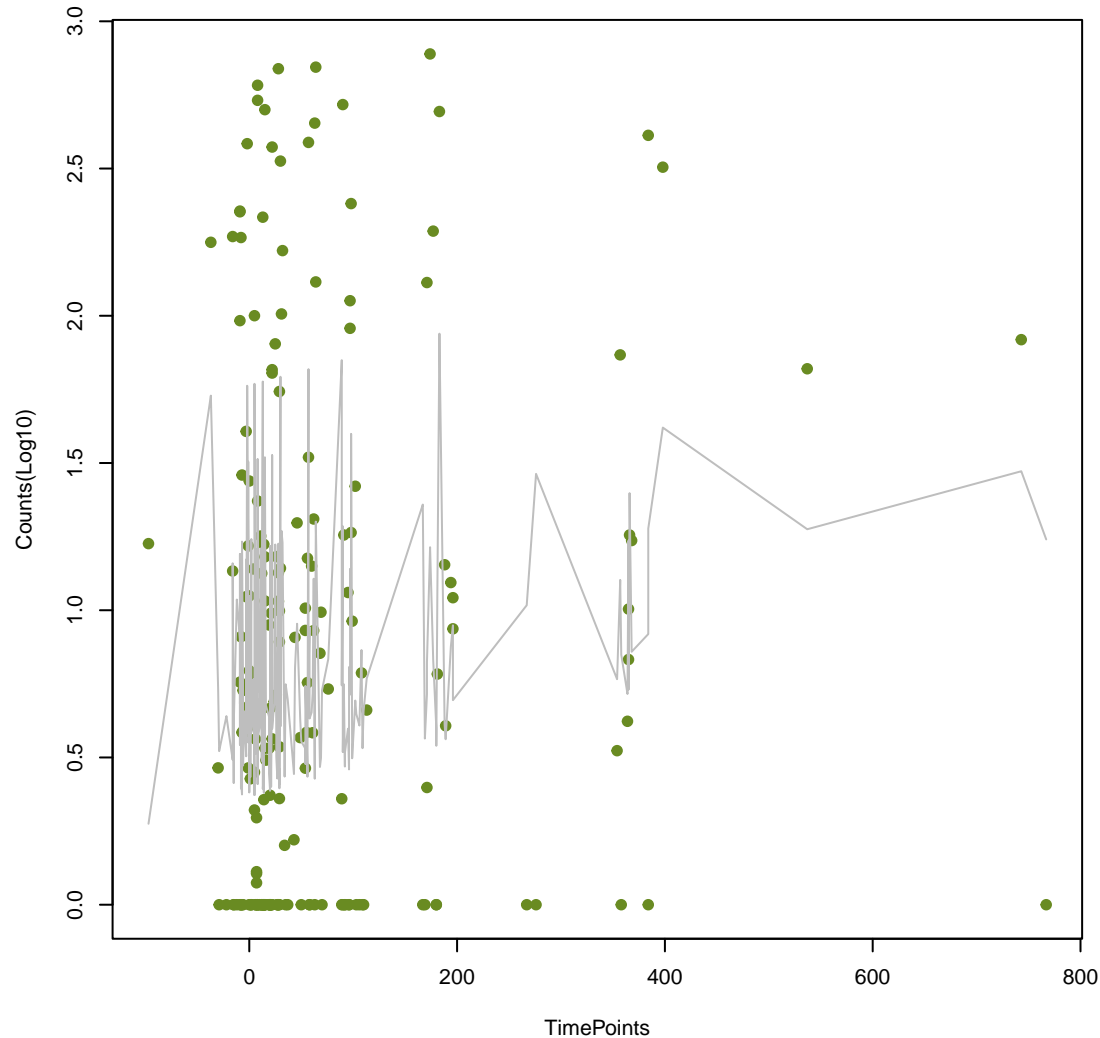
mdtC
ANOVA P=0.0334, adj. ANOVA-P=0.164



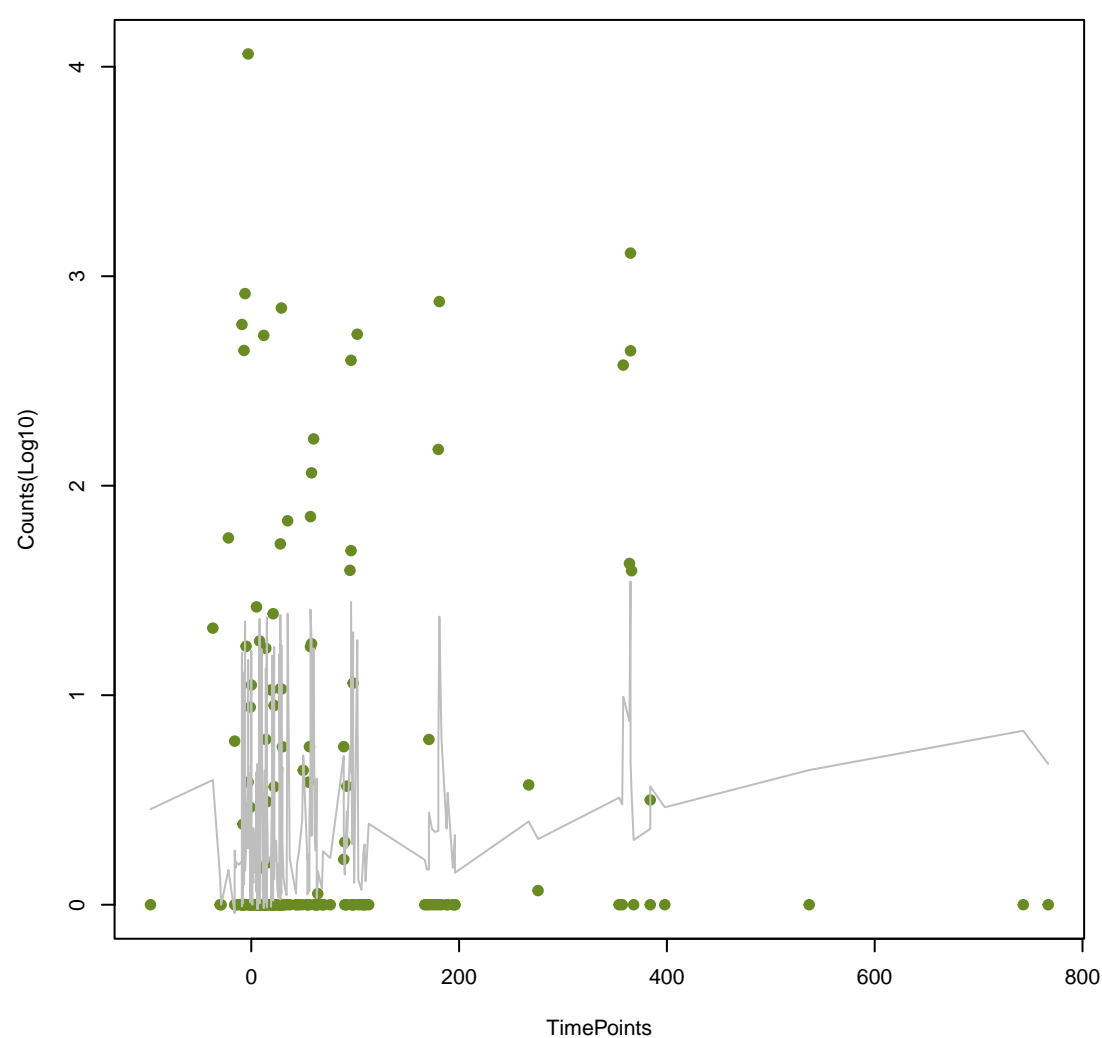
dfrF
ANOVA P=0.0387, adj. ANOVA-P=0.184



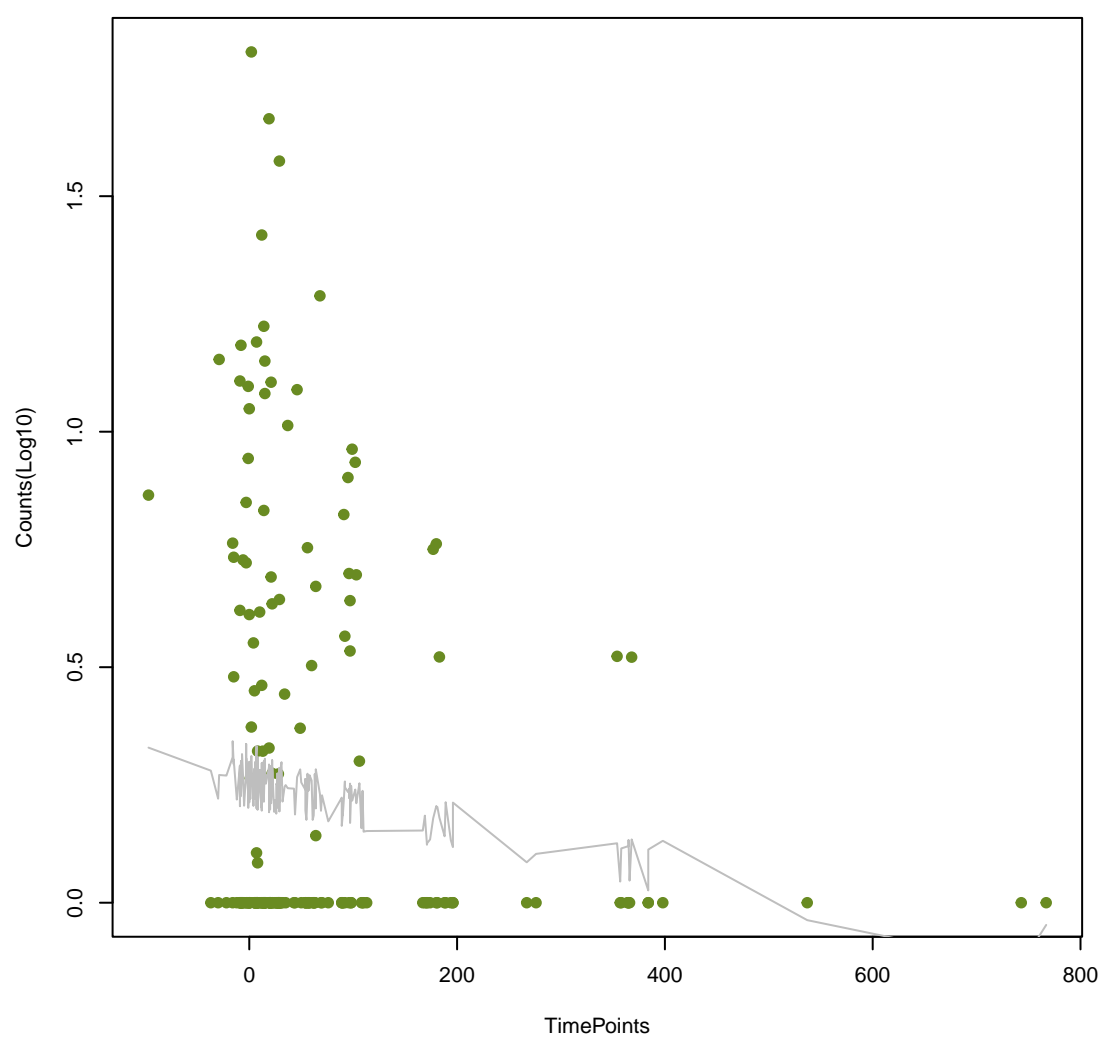
mdtH
ANOVA P=0.0387, adj. ANOVA-P=0.184



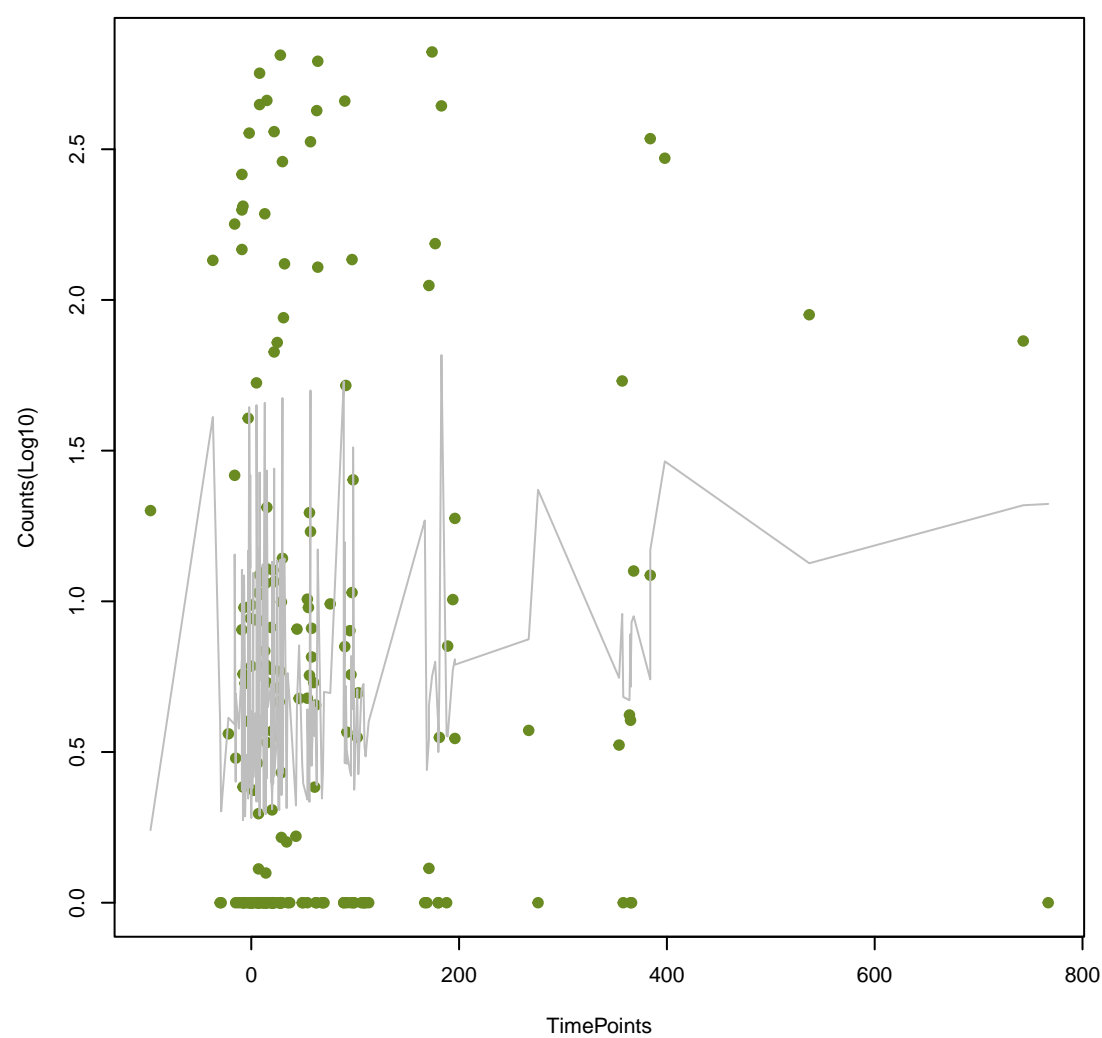
CcoI_ACT_CHL
ANOVA P=0.0397, adj. ANOVA-P=0.185



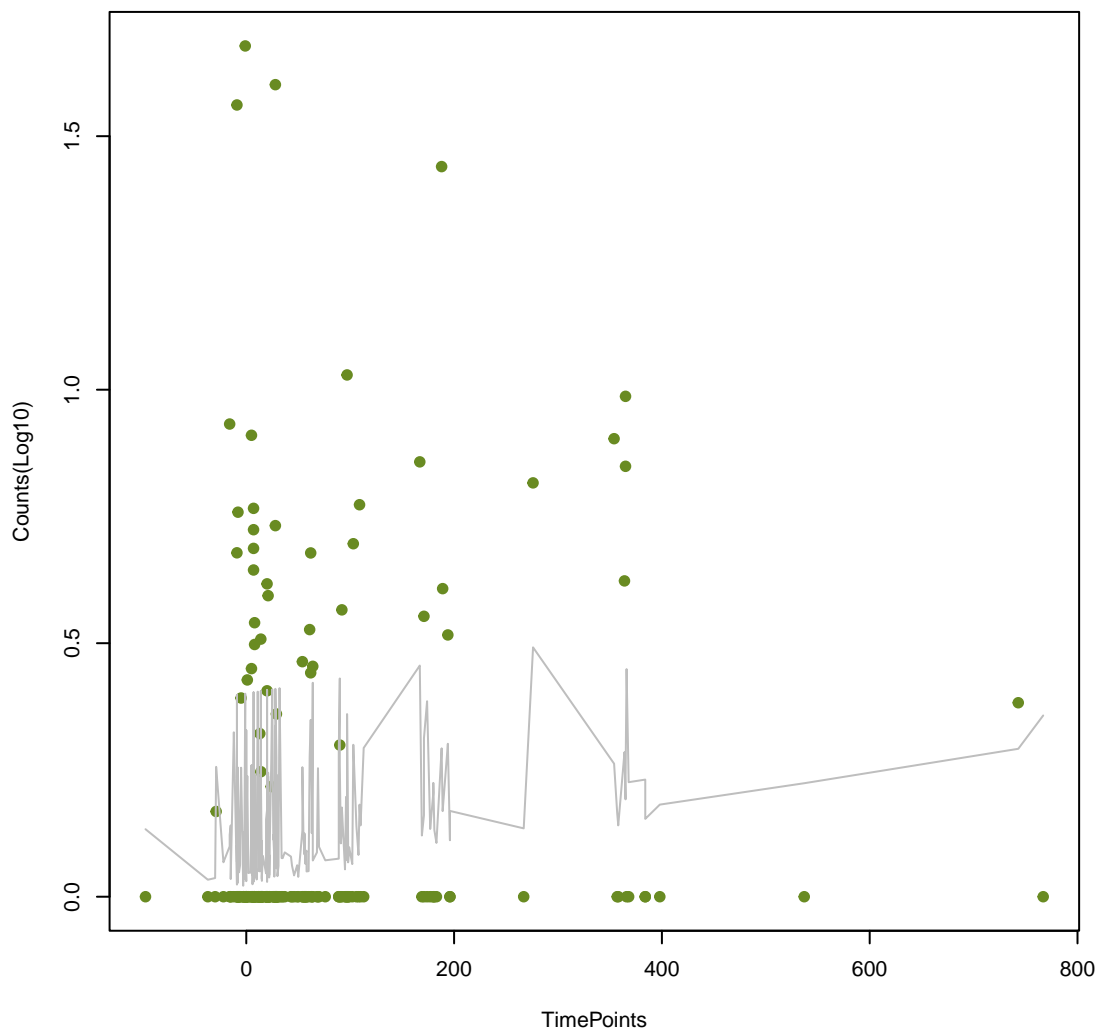
CDD-2
ANOVA P=0.0418, adj. ANOVA-P=0.192



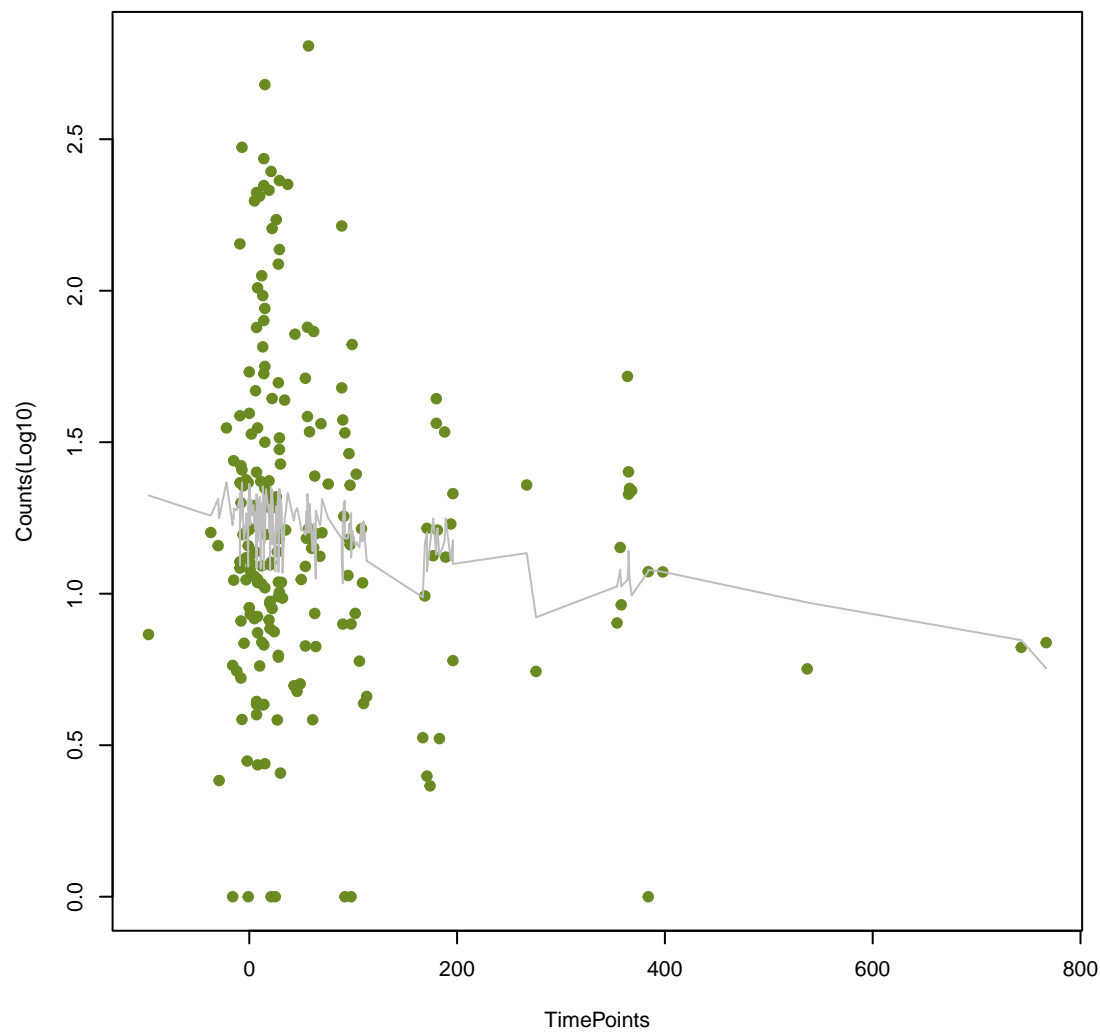
PmrF
ANOVA P=0.043, adj. ANOVA-P=0.195



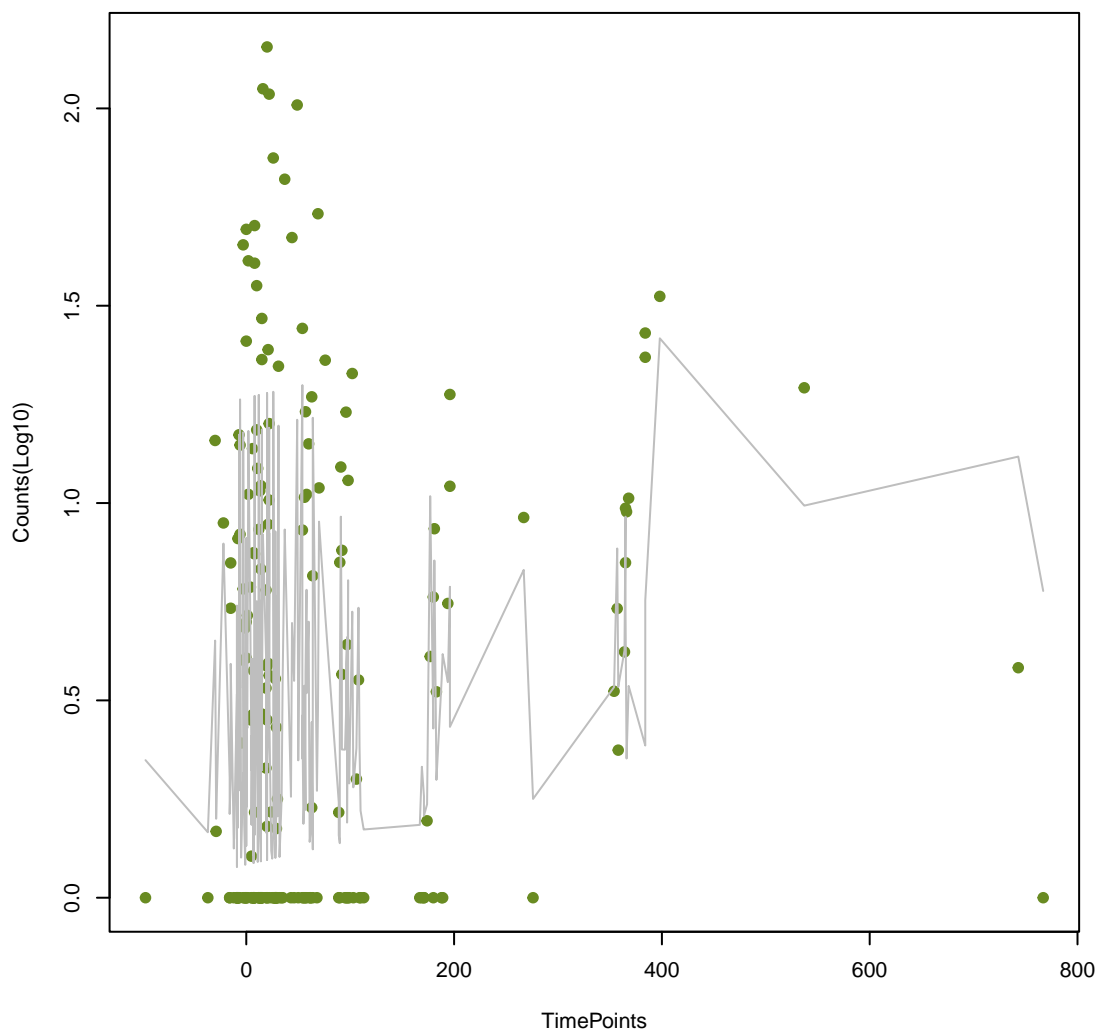
PDC-56
ANOVA P=0.0474, adj. ANOVA-P=0.208



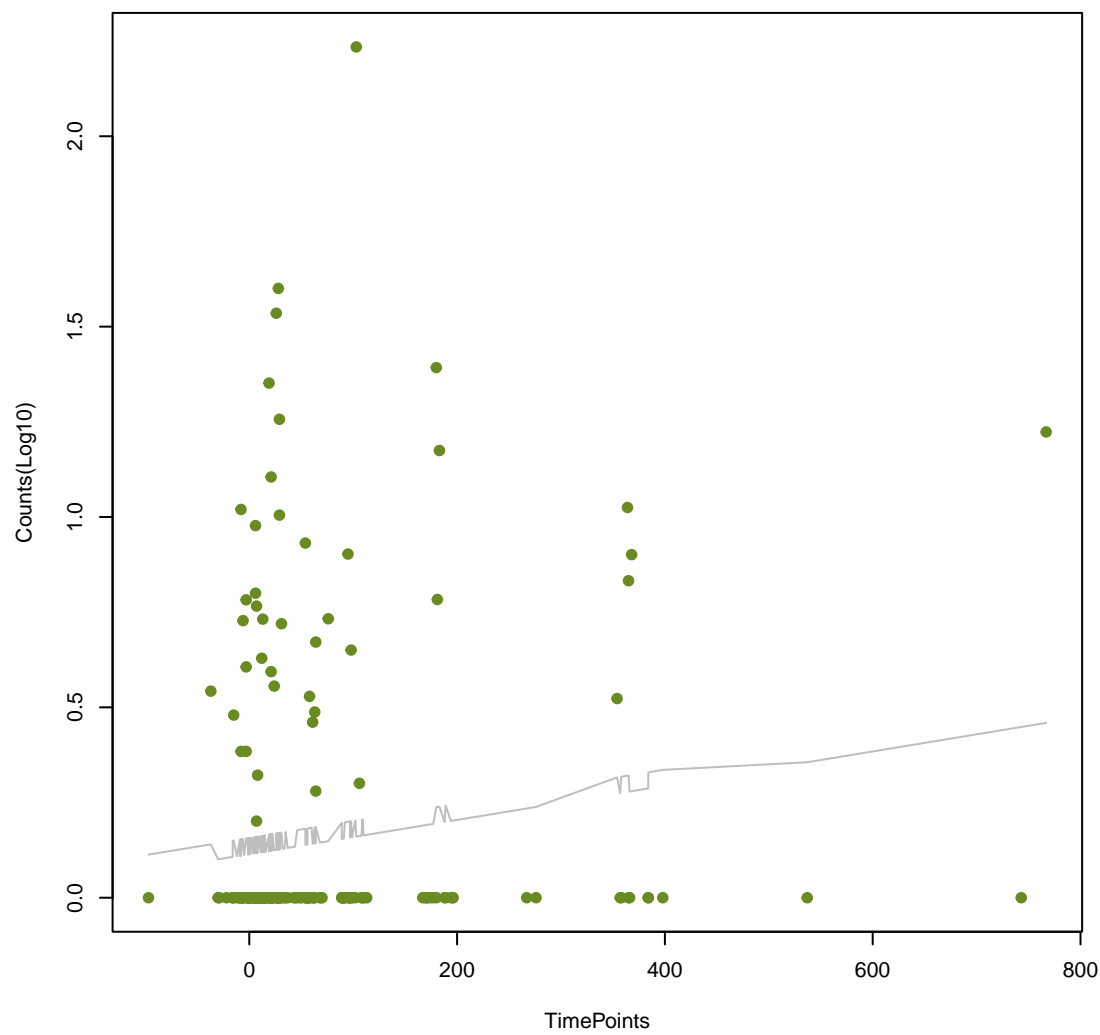
YajC
ANOVA P=0.0478, adj. ANOVA-P=0.208



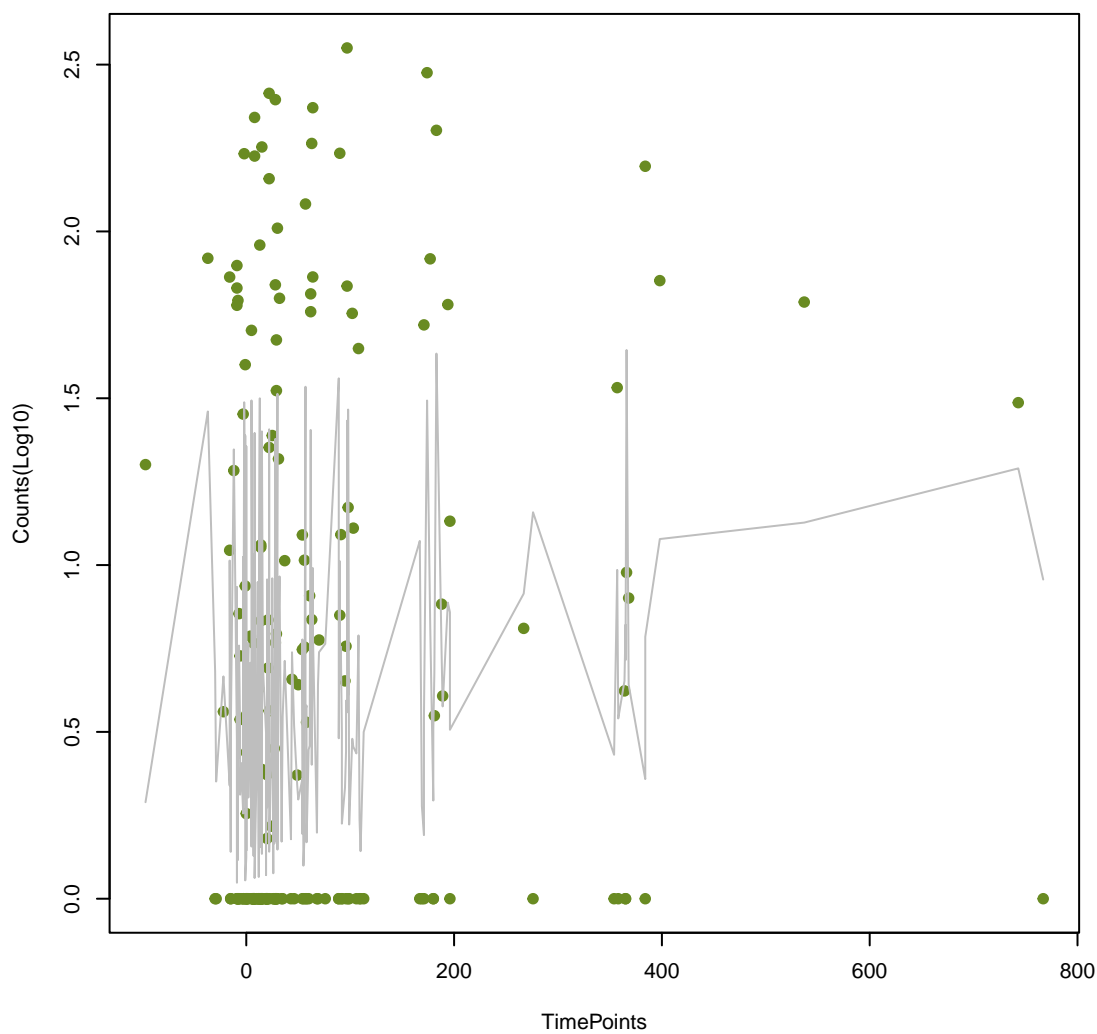
ErmX
ANOVA P=0.048, adj. ANOVA-P=0.208



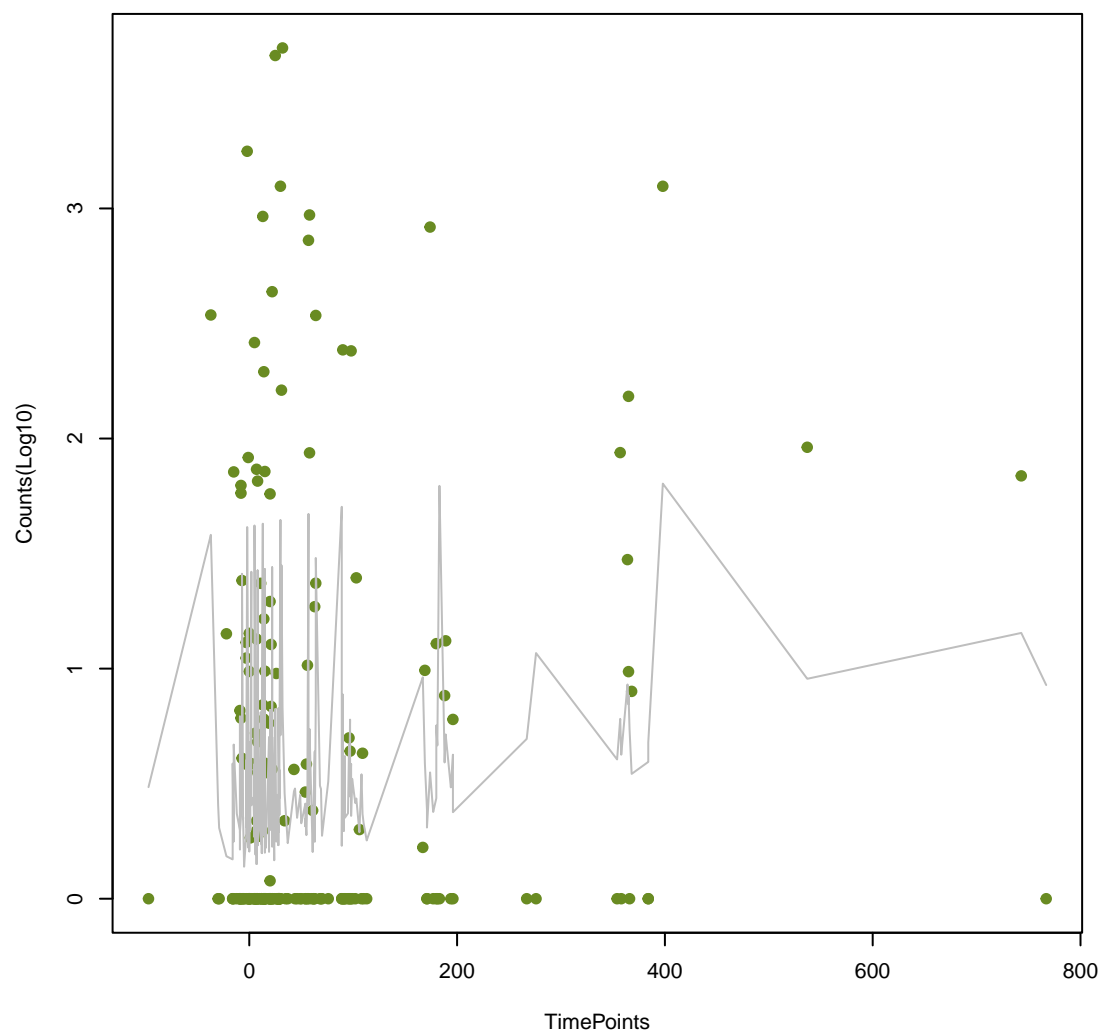
QnrB54
ANOVA P=0.0497, adj. ANOVA-P=0.21



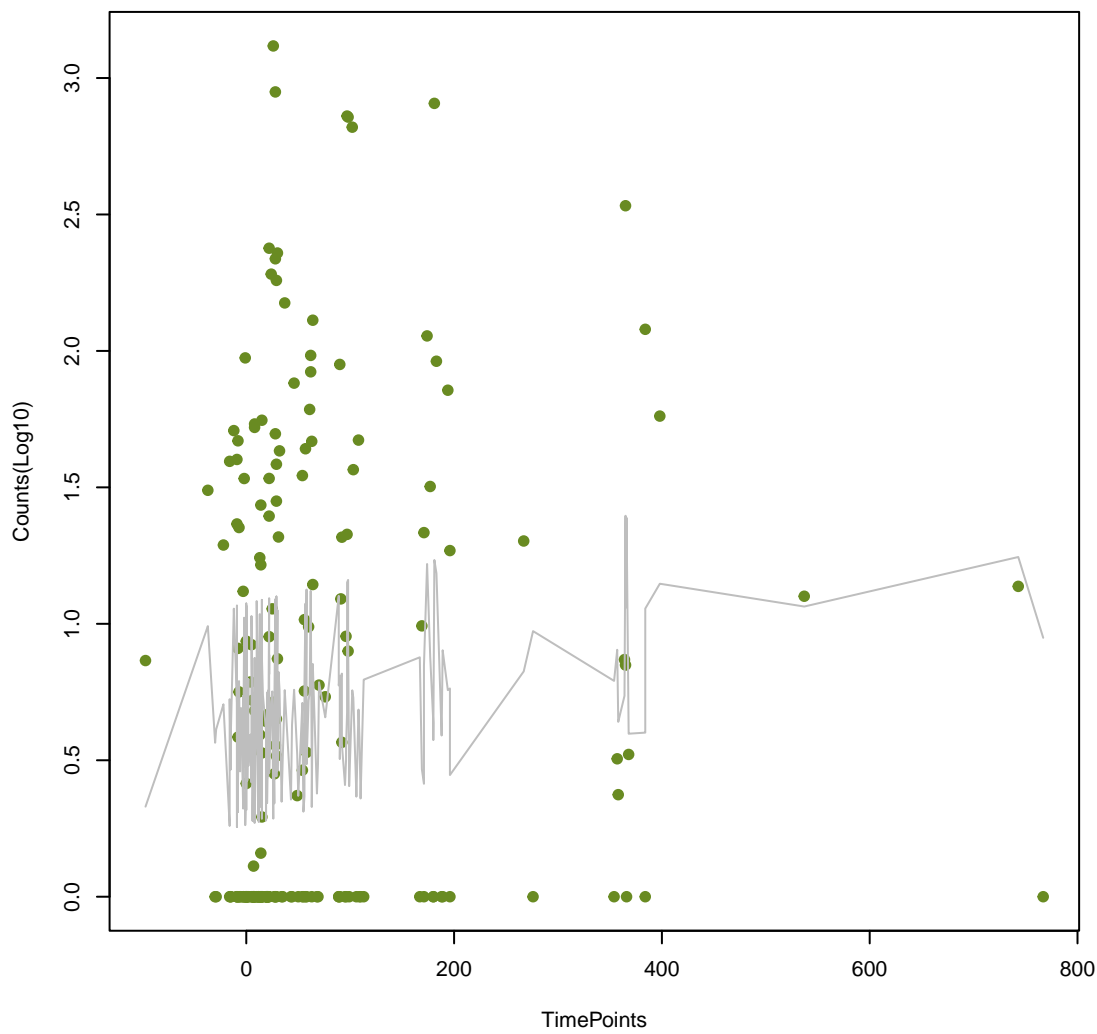
marA
ANOVA P=0.0498, adj. ANOVA-P=0.21



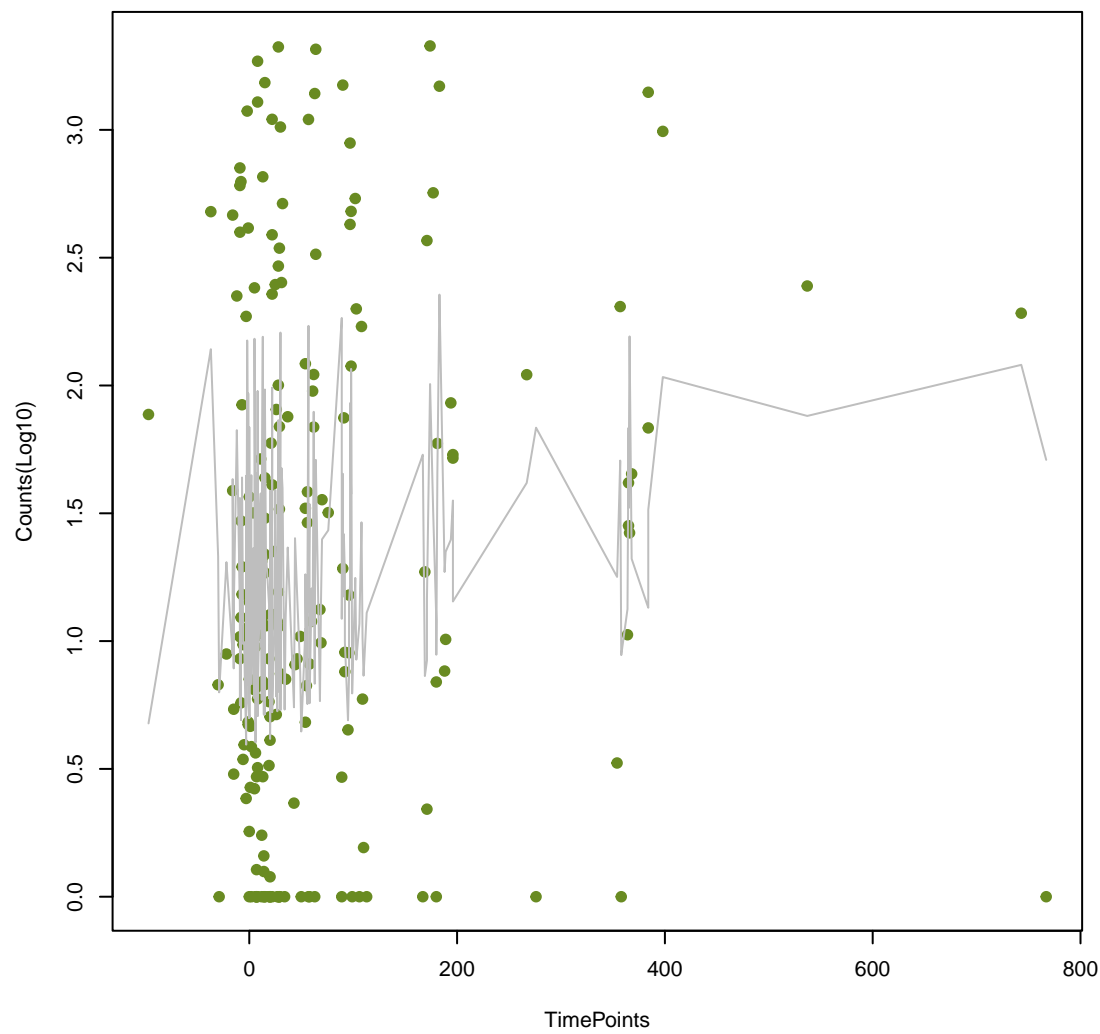
APH(6)-Id
ANOVA P=0.0513, adj. ANOVA-P=0.213



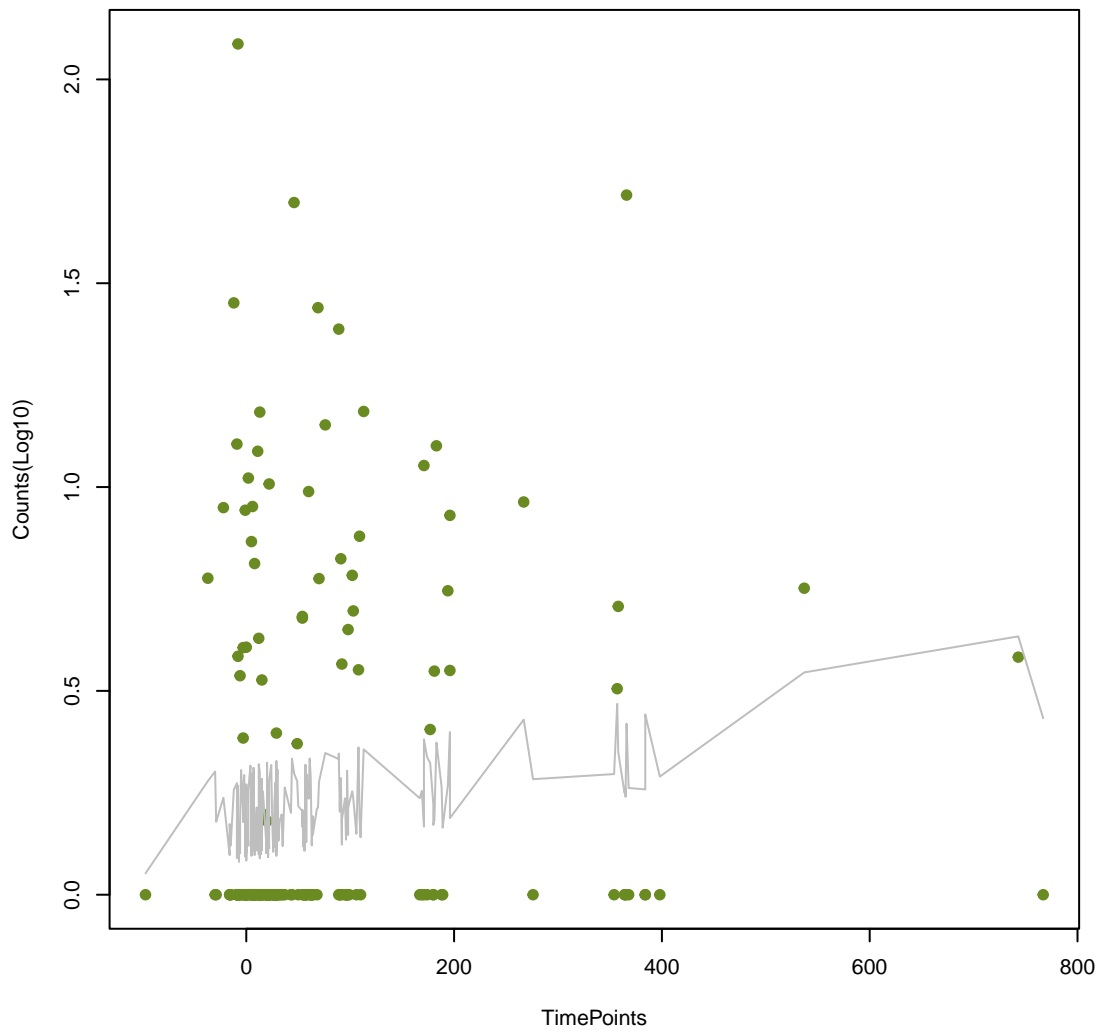
OmpA
ANOVA P=0.0628, adj. ANOVA-P=0.257



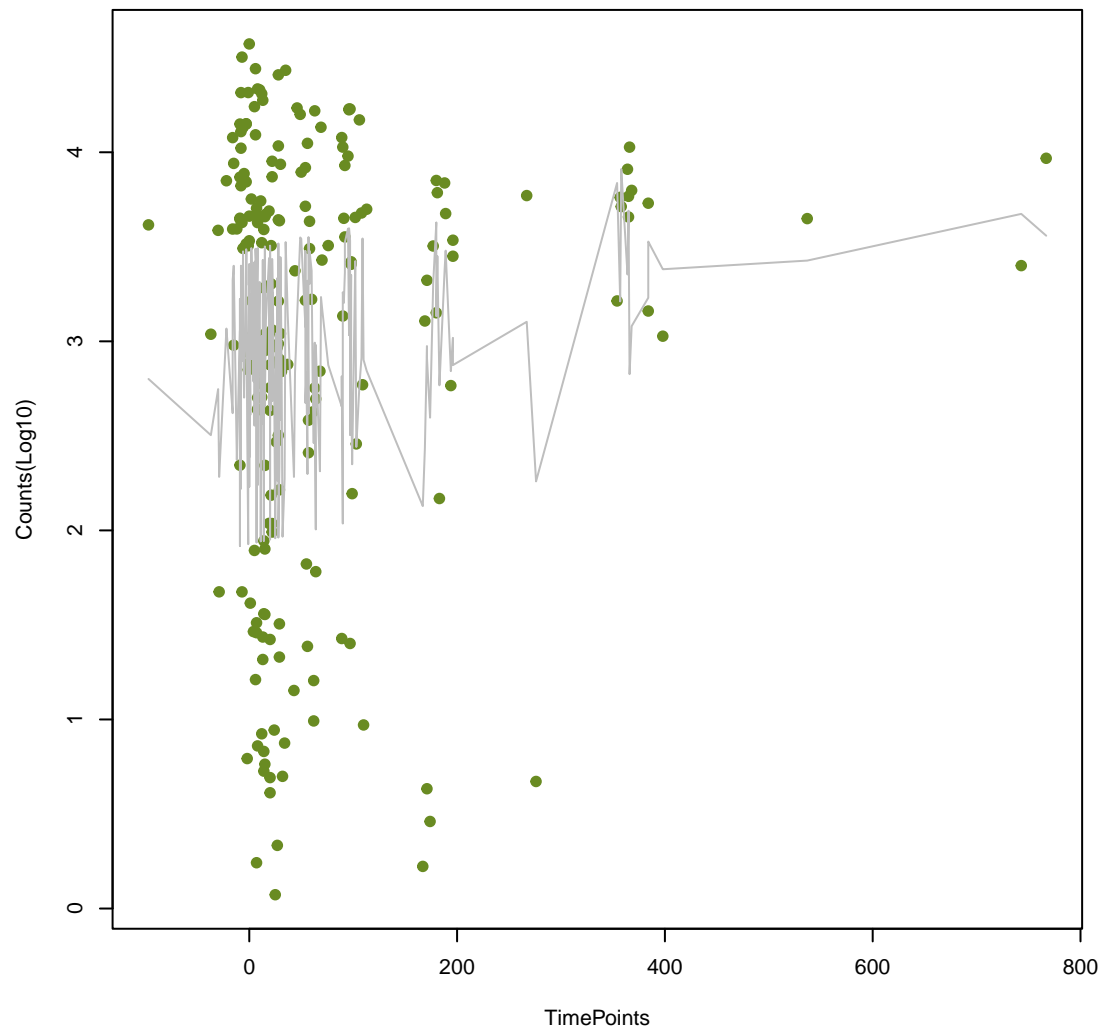
acrB
ANOVA P=0.0651, adj. ANOVA-P=0.263



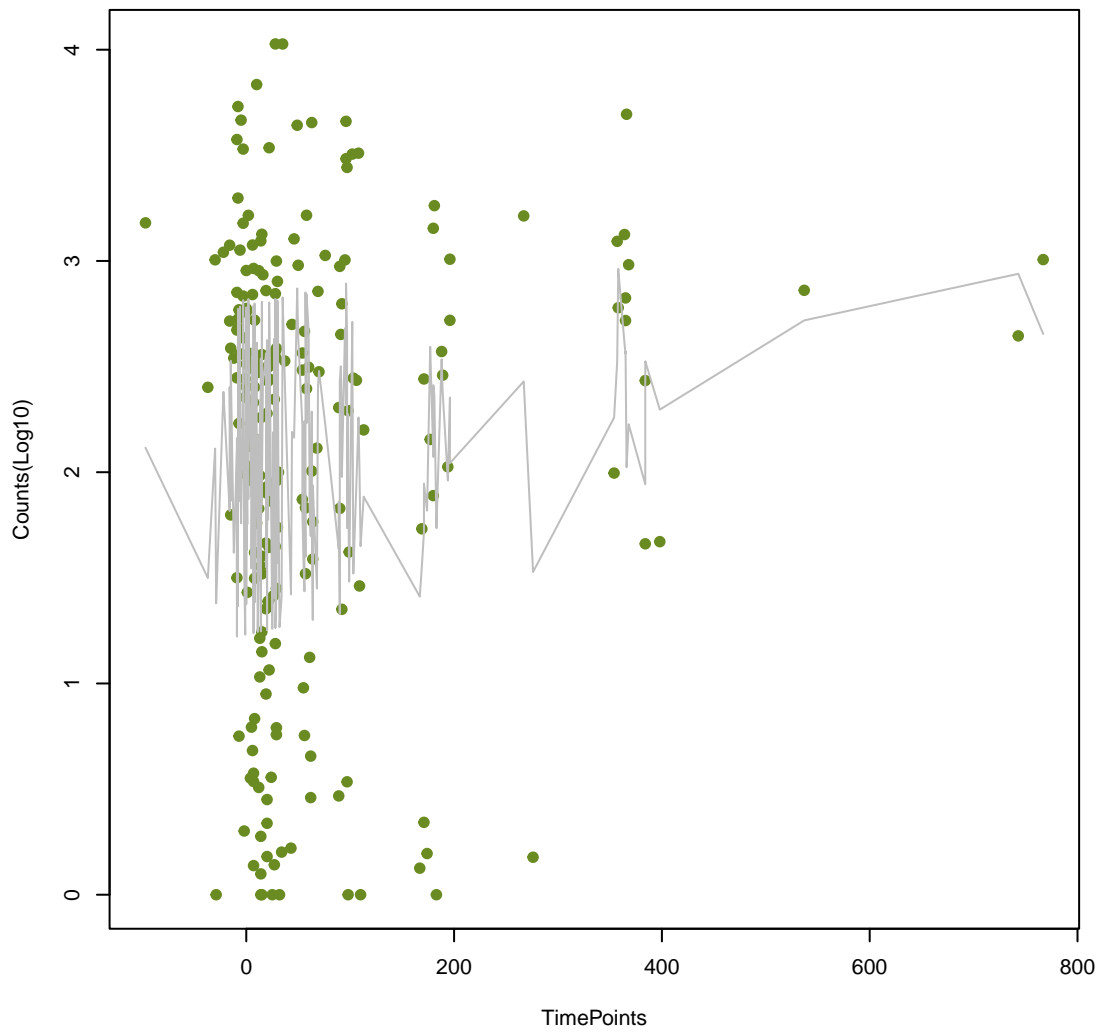
macA
ANOVA P=0.067, adj. ANOVA-P=0.267



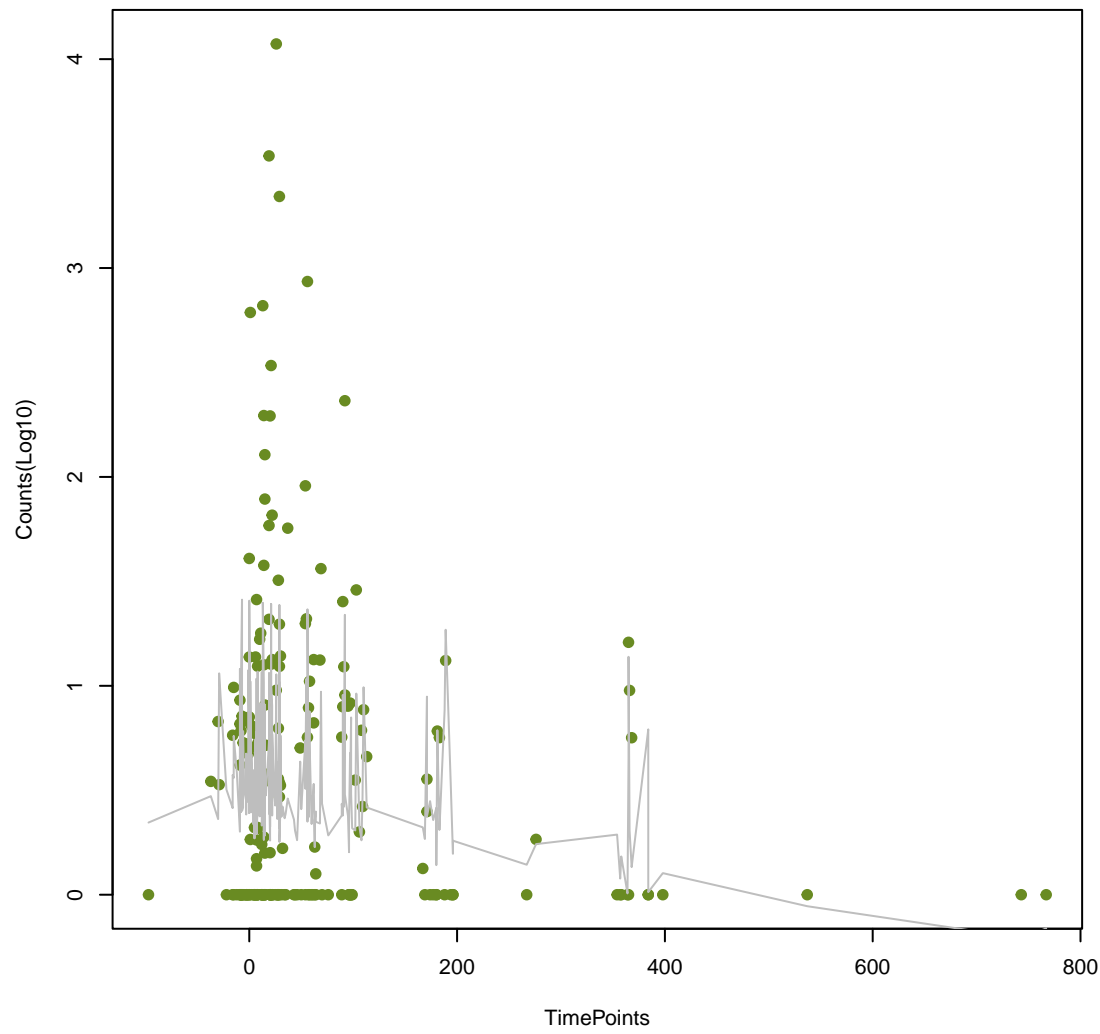
tetW
ANOVA P=0.0691, adj. ANOVA-P=0.272



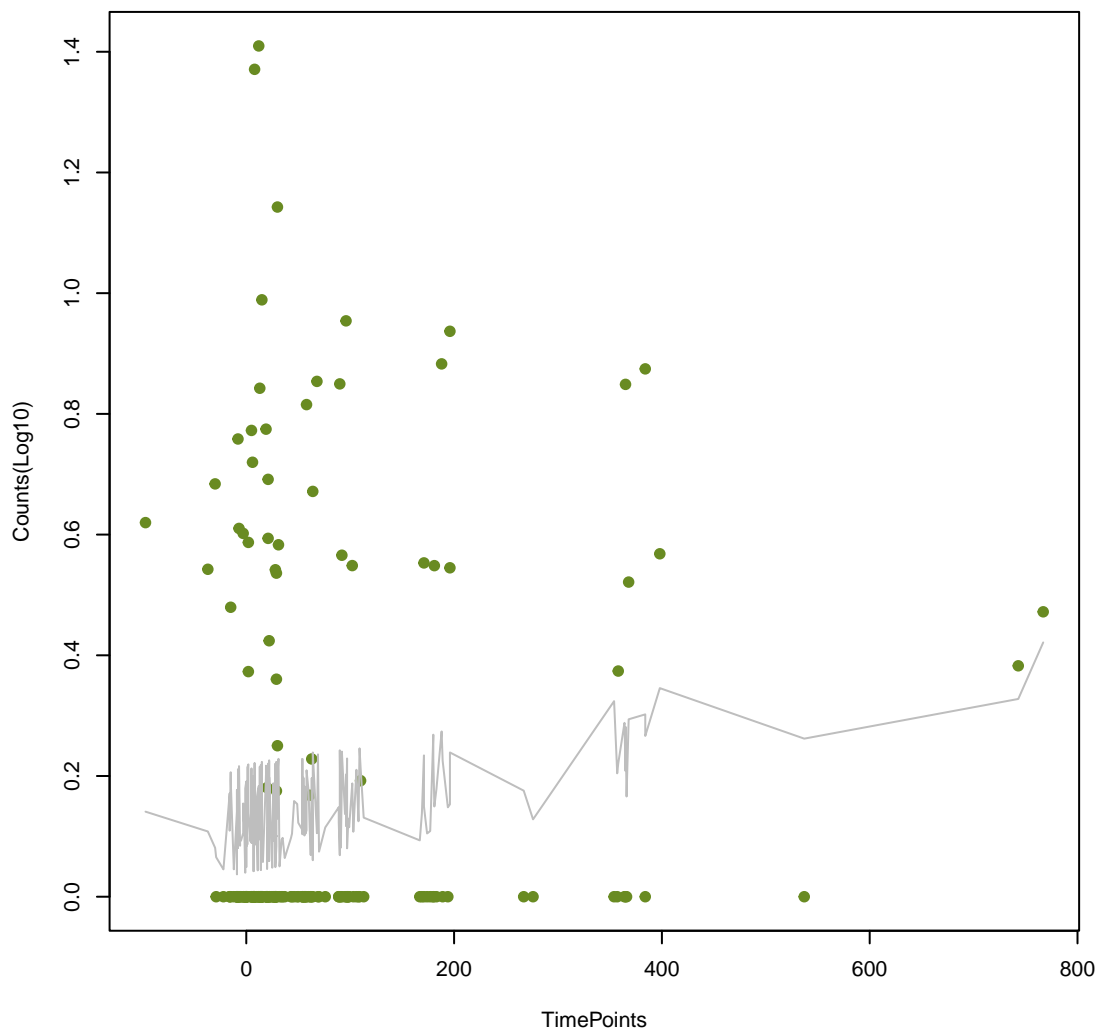
tet(W/N/W)
ANOVA P=0.0708, adj. ANOVA-P=0.273



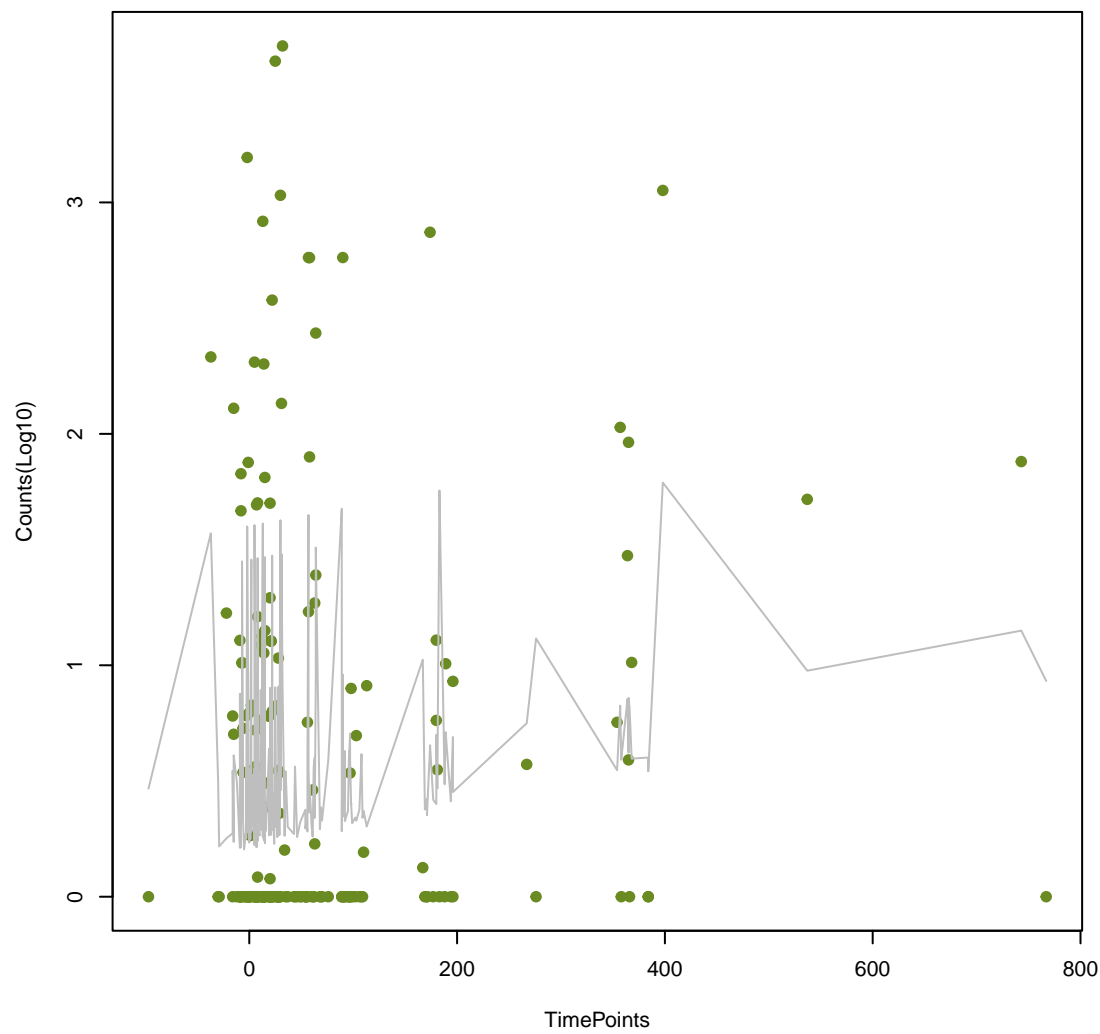
tetA(60)
ANOVA P=0.0712, adj. ANOVA-P=0.273



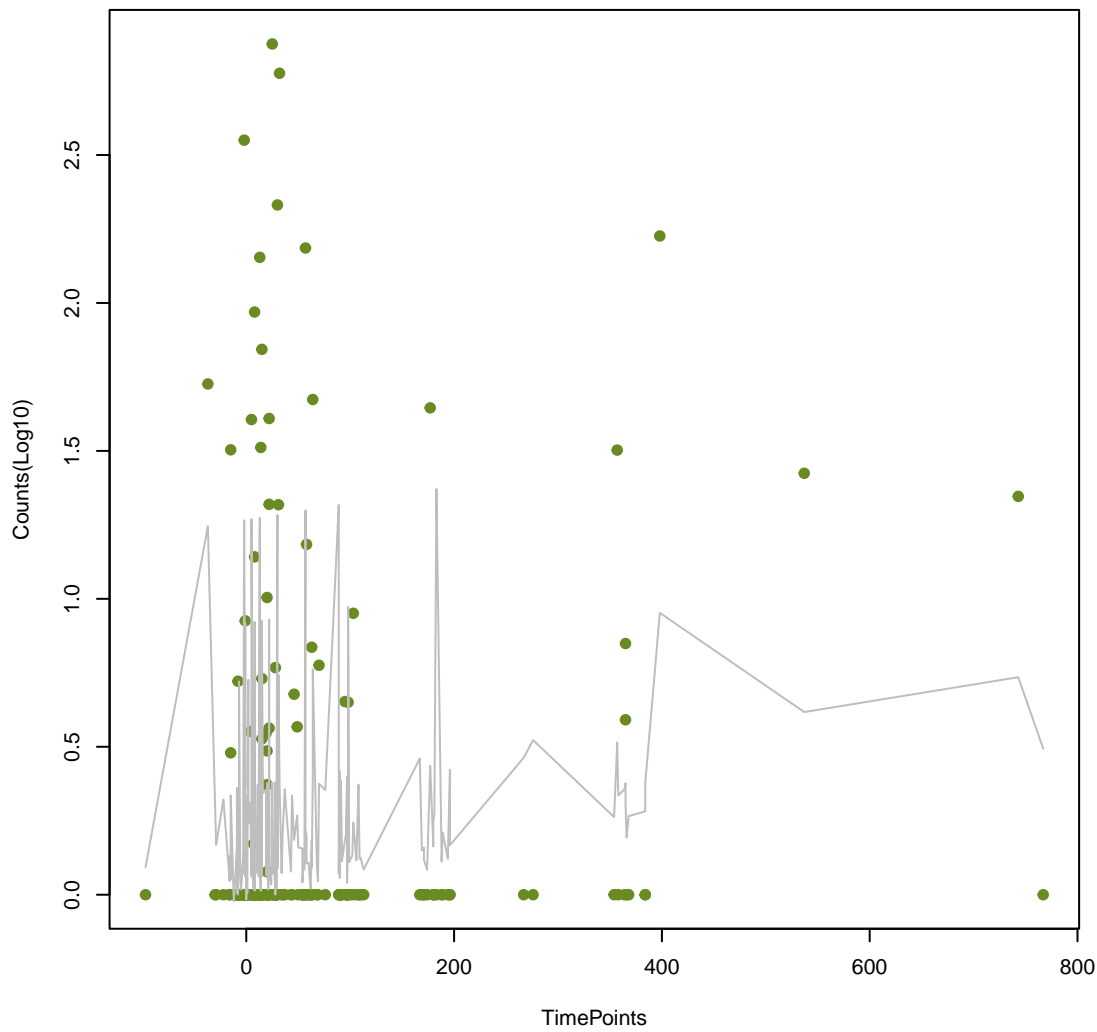
mecD
ANOVA P=0.0739, adj. ANOVA-P=0.28



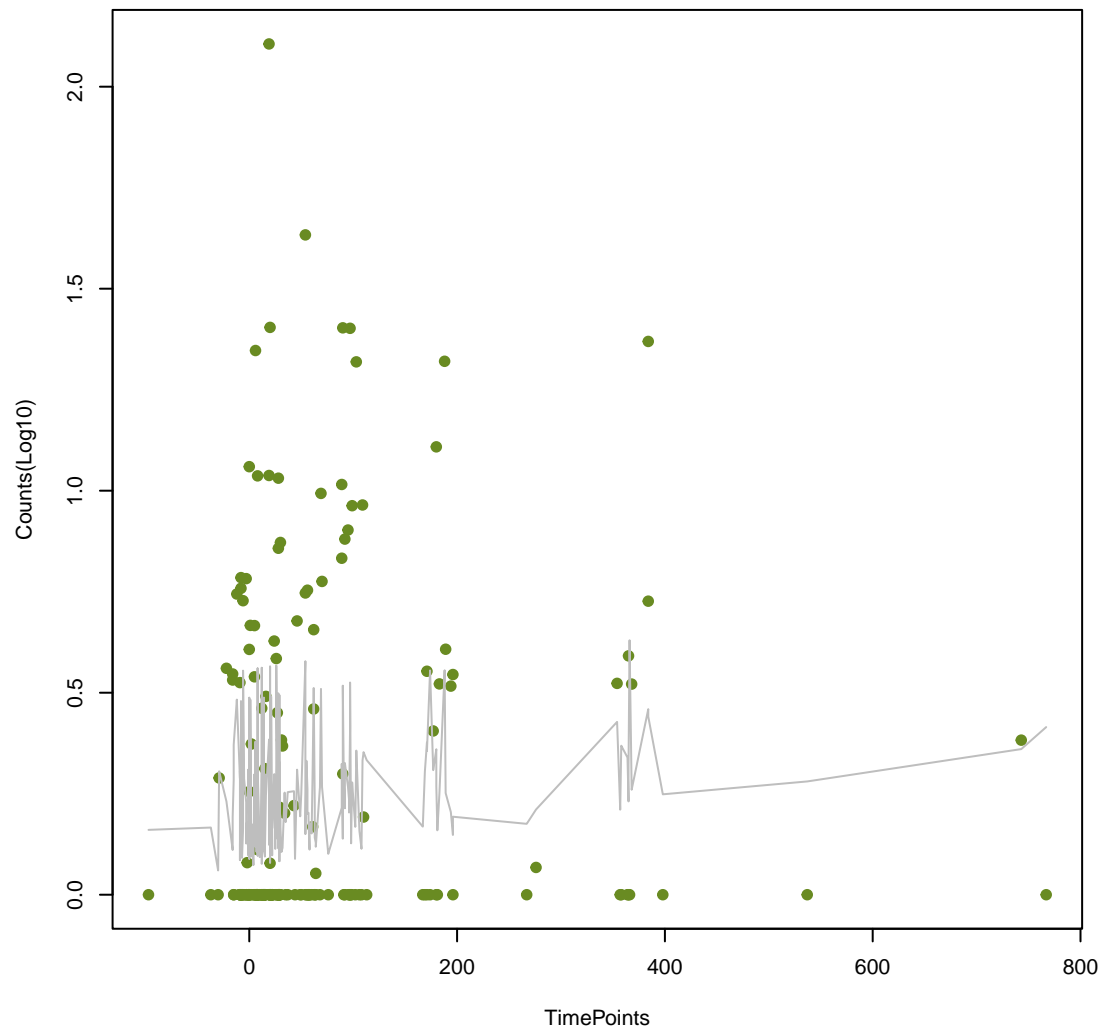
APH(3")-lb
ANOVA P=0.0762, adj. ANOVA-P=0.285



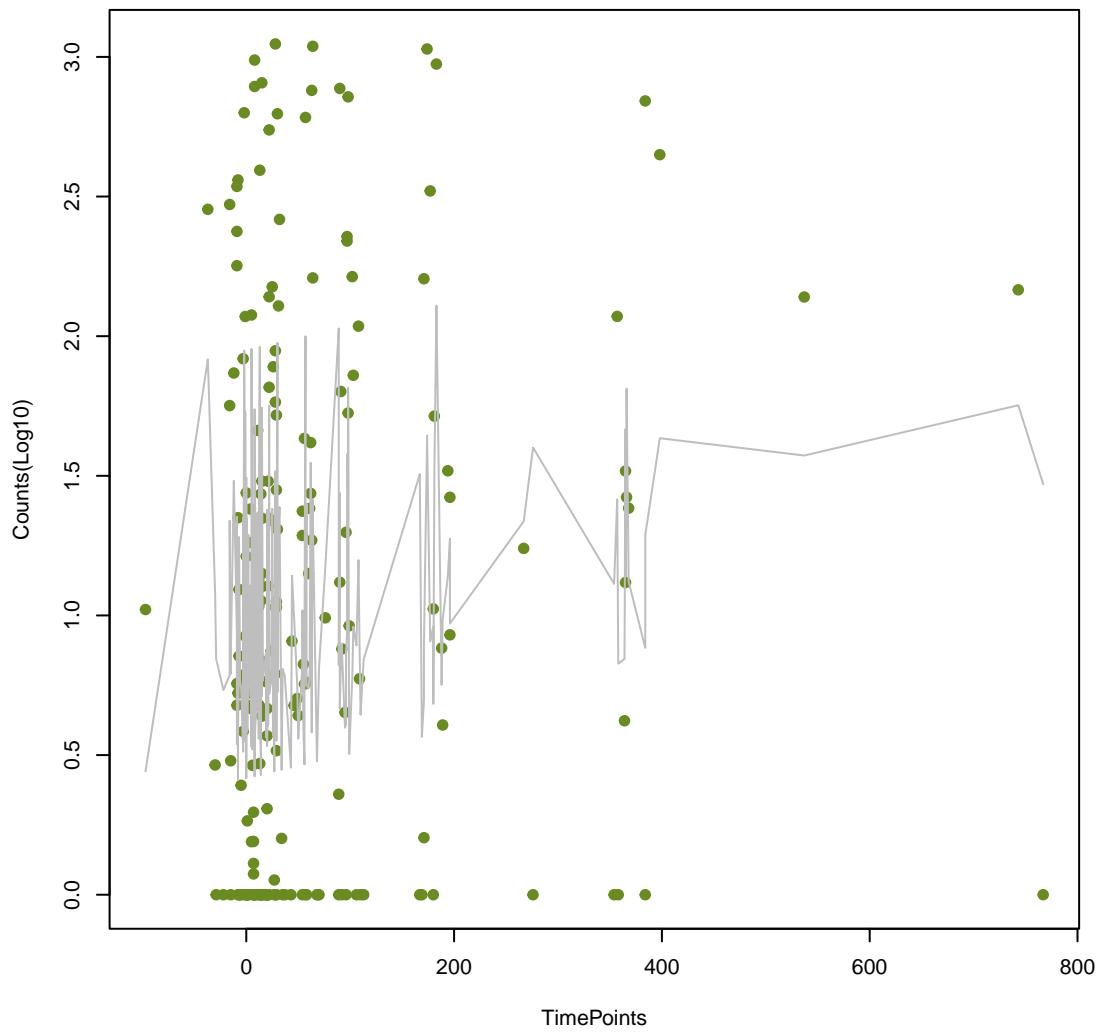
TEM-126
ANOVA P=0.0772, adj. ANOVA-P=0.285



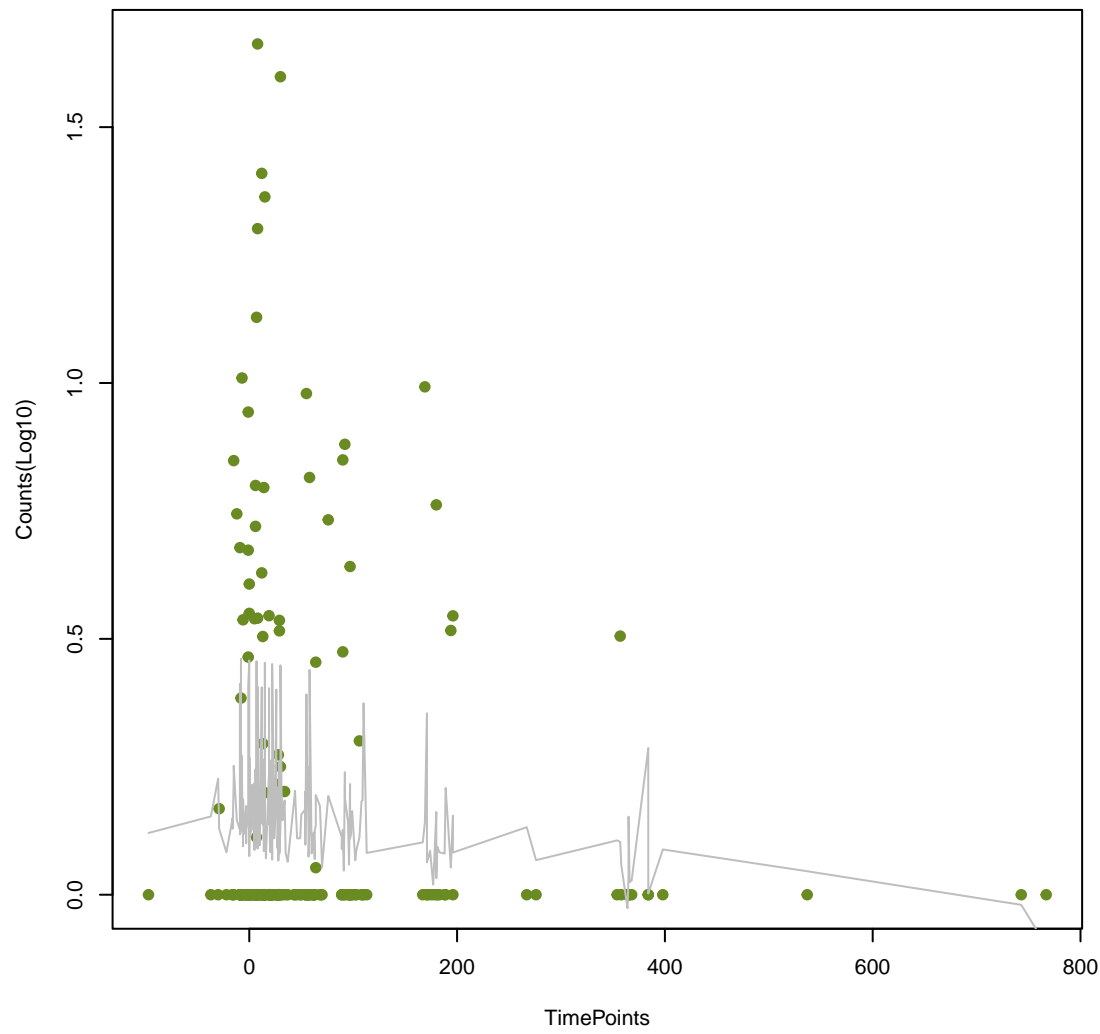
smeB
ANOVA P=0.0821, adj. ANOVA-P=0.299



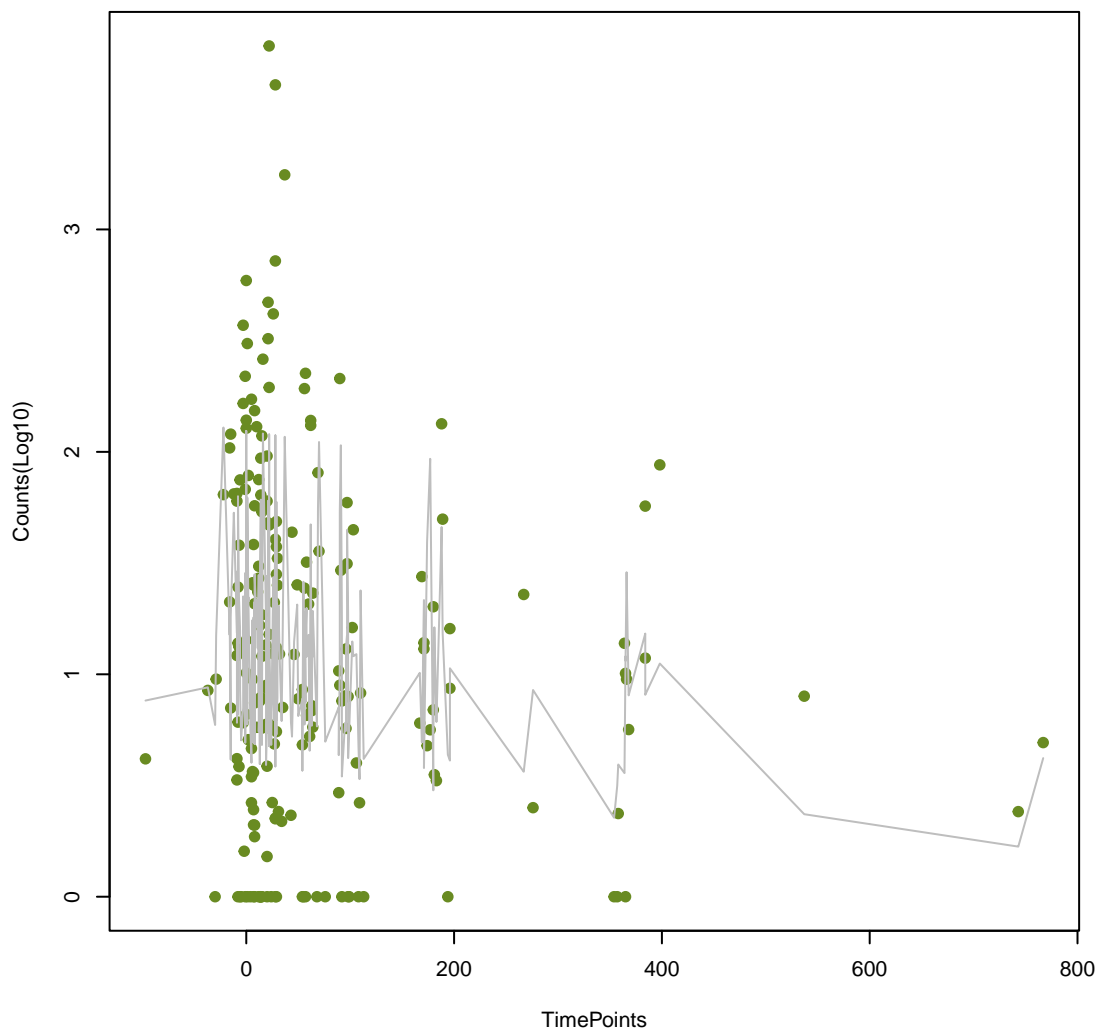
ToIC
ANOVA P=0.0842, adj. ANOVA-P=0.303



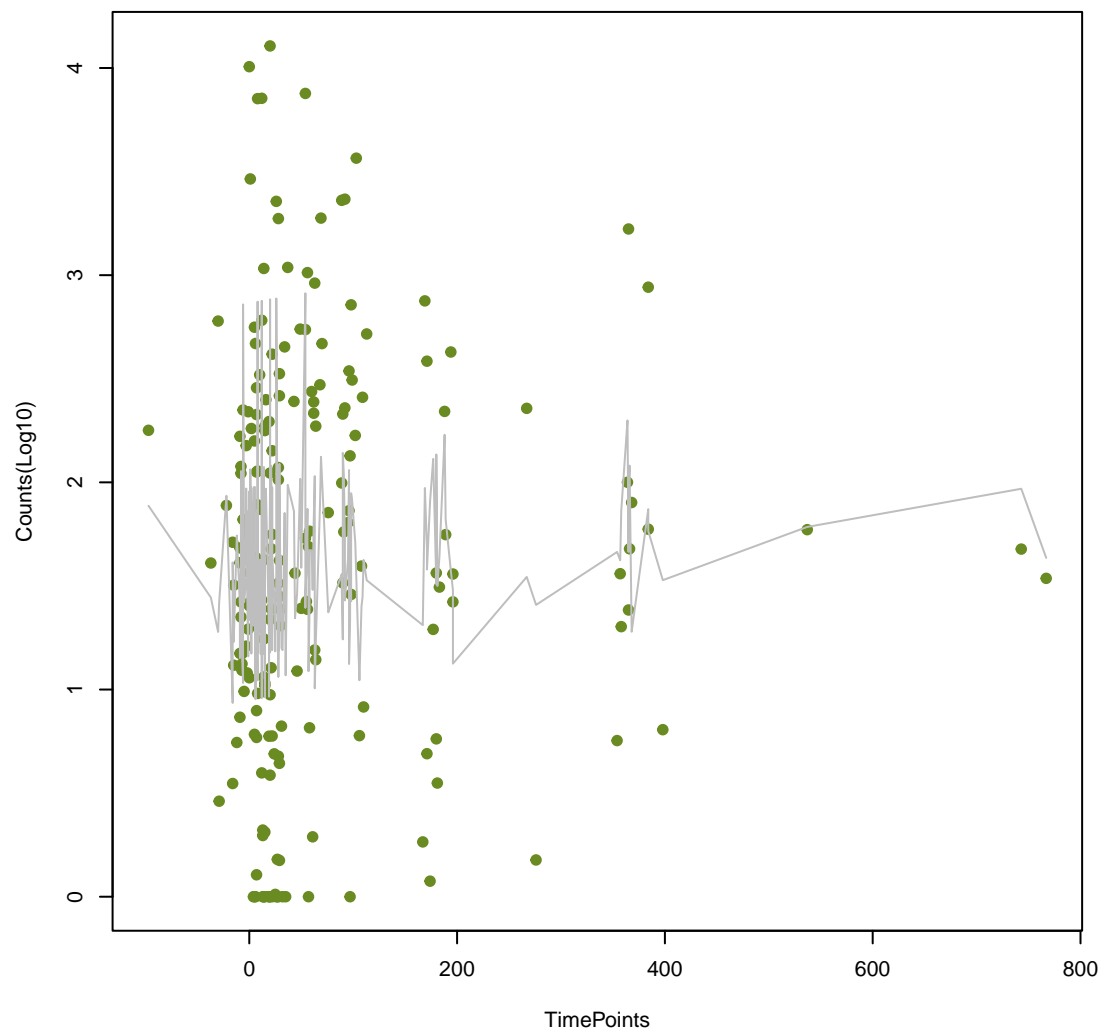
vanR_in_vanF_cl
ANOVA P=0.0886, adj. ANOVA-P=0.313



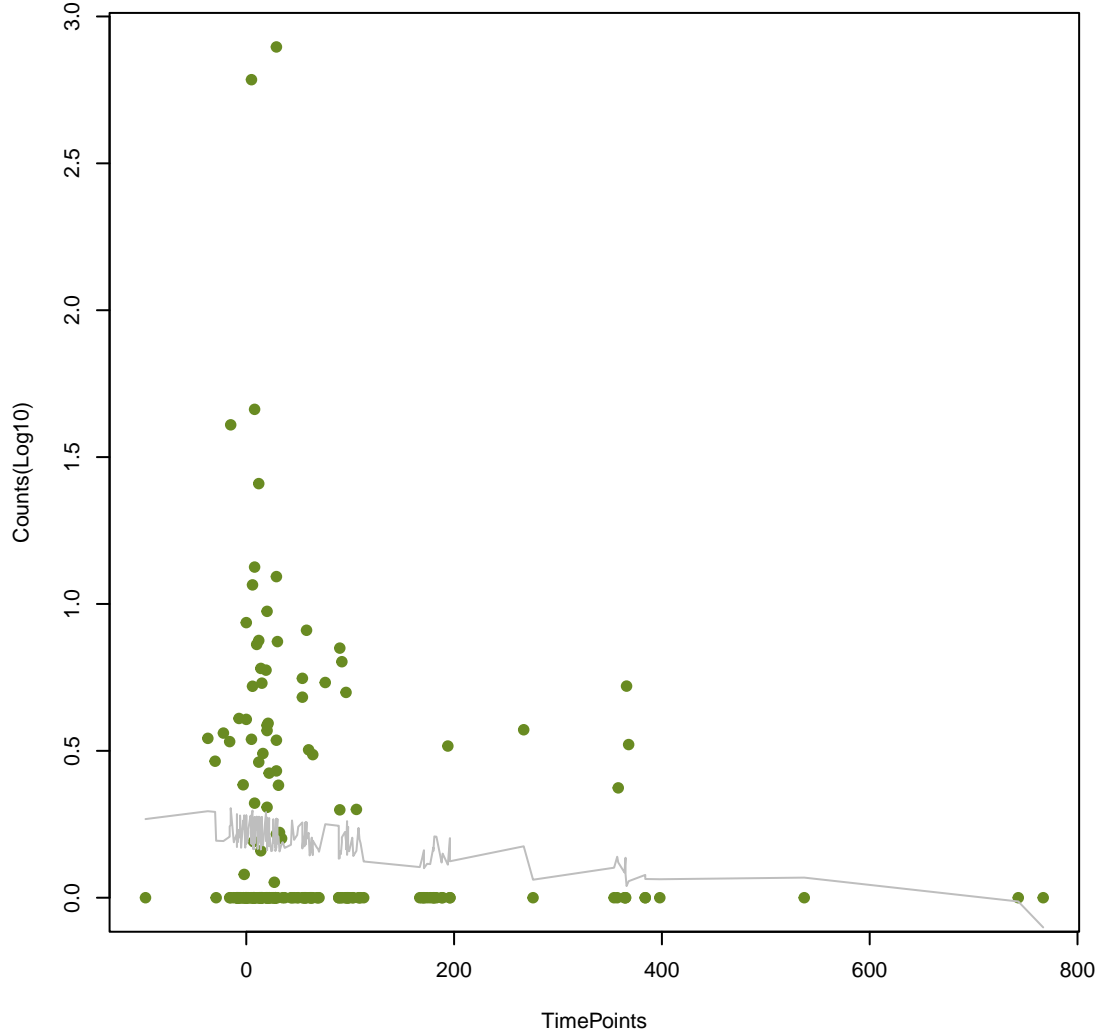
ImrD
ANOVA P=0.0891, adj. ANOVA-P=0.313



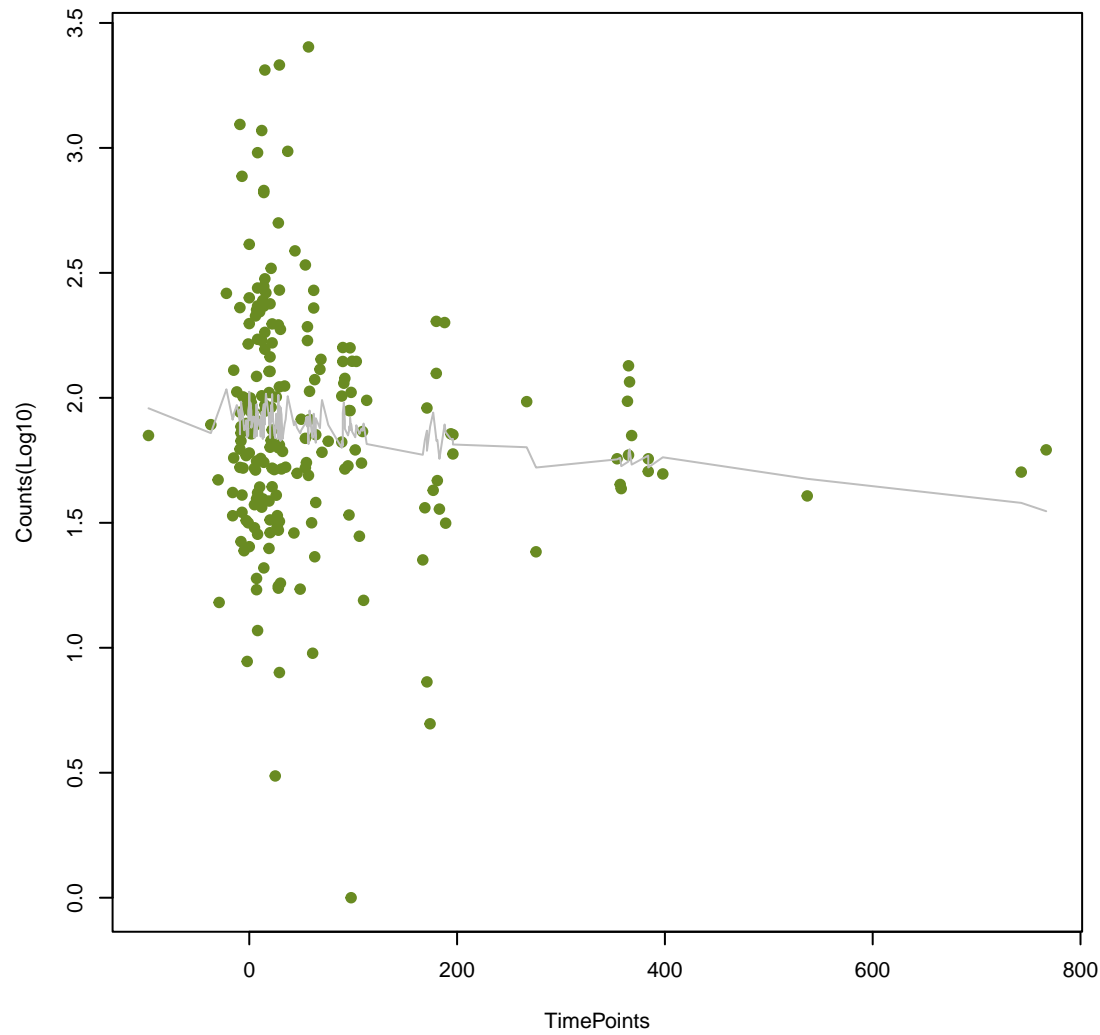
tetA(46)
ANOVA P=0.0901, adj. ANOVA-P=0.313



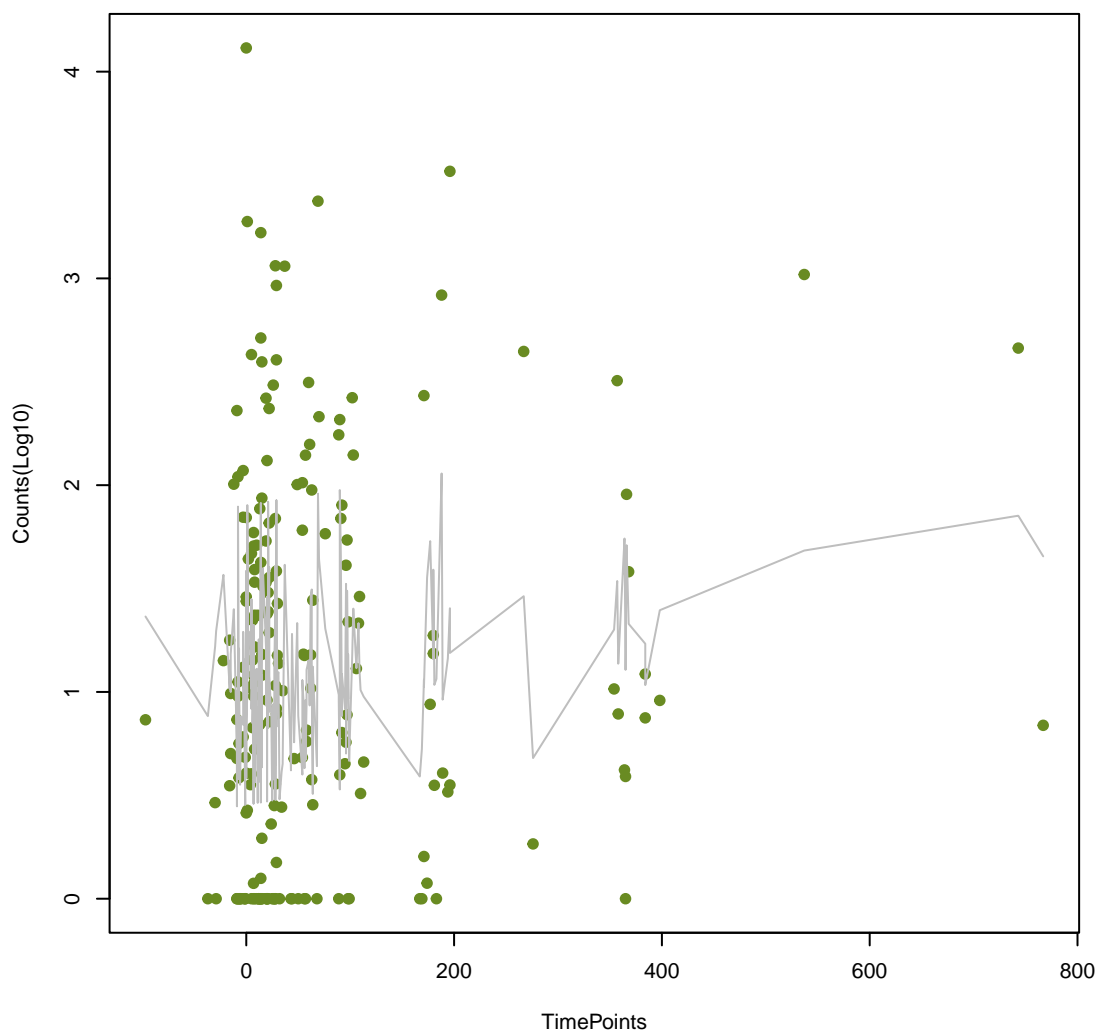
basS
ANOVA P=0.0913, adj. ANOVA-P=0.314



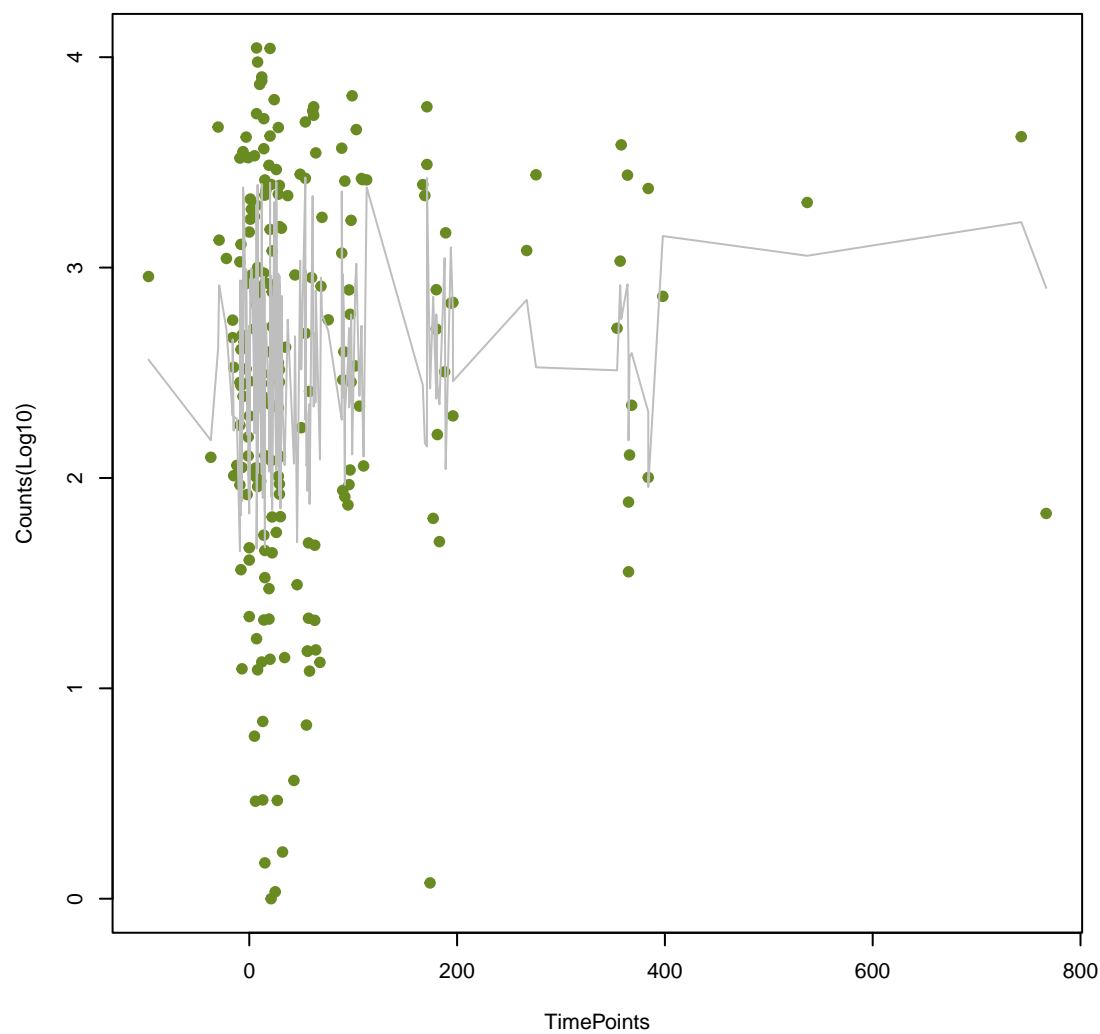
qacL
ANOVA P=0.093, adj. ANOVA-P=0.316



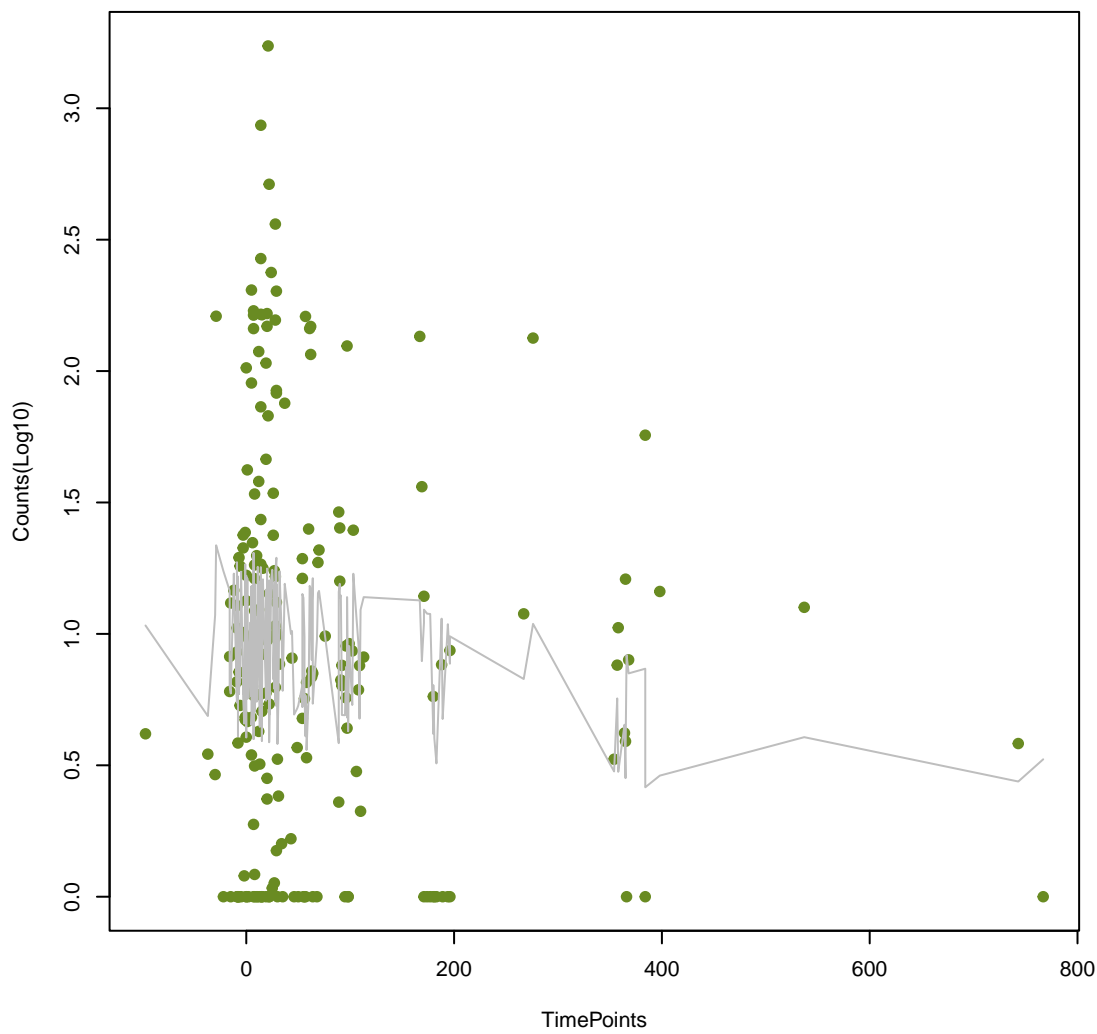
IsaC
ANOVA P=0.0946, adj. ANOVA-P=0.318



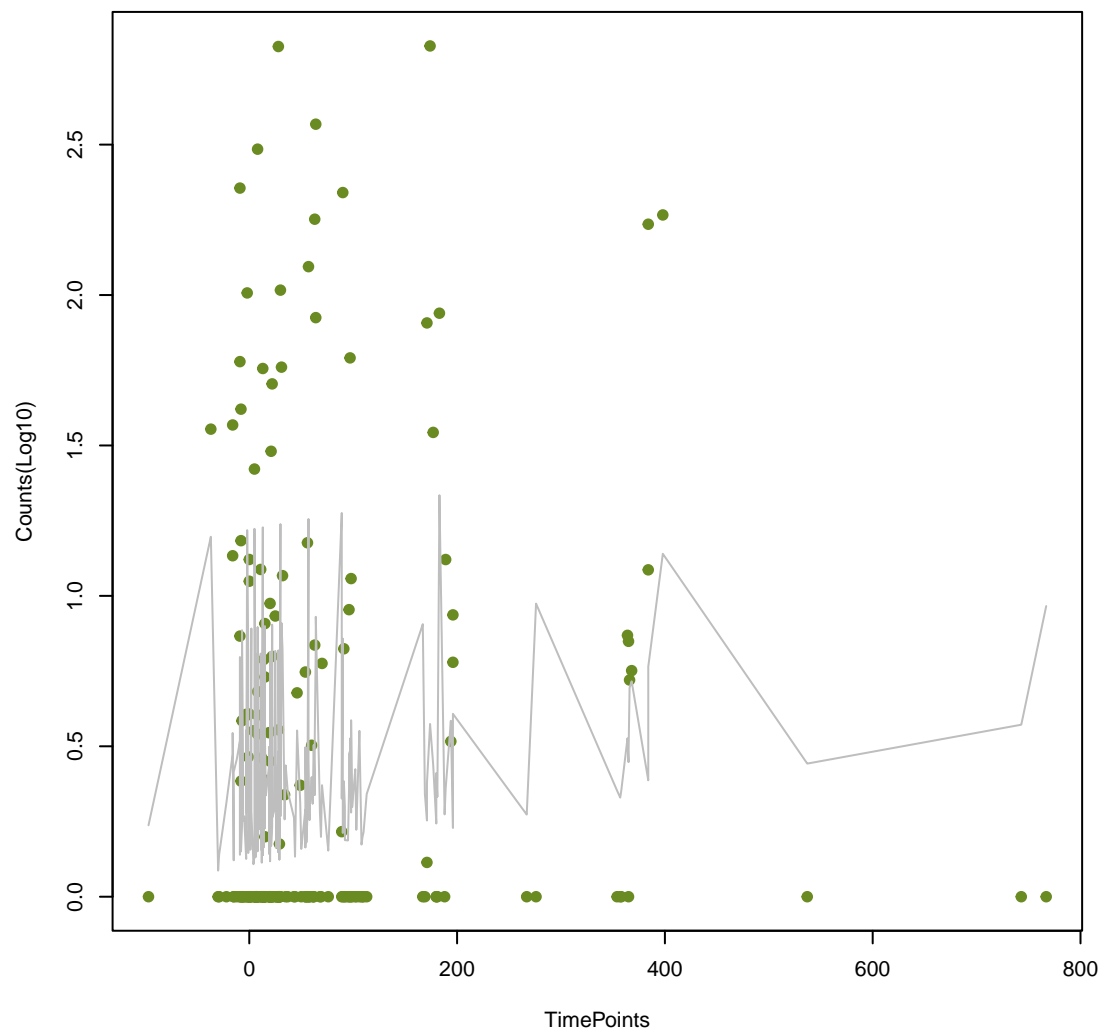
tetM
ANOVA P=0.0994, adj. ANOVA-P=0.33



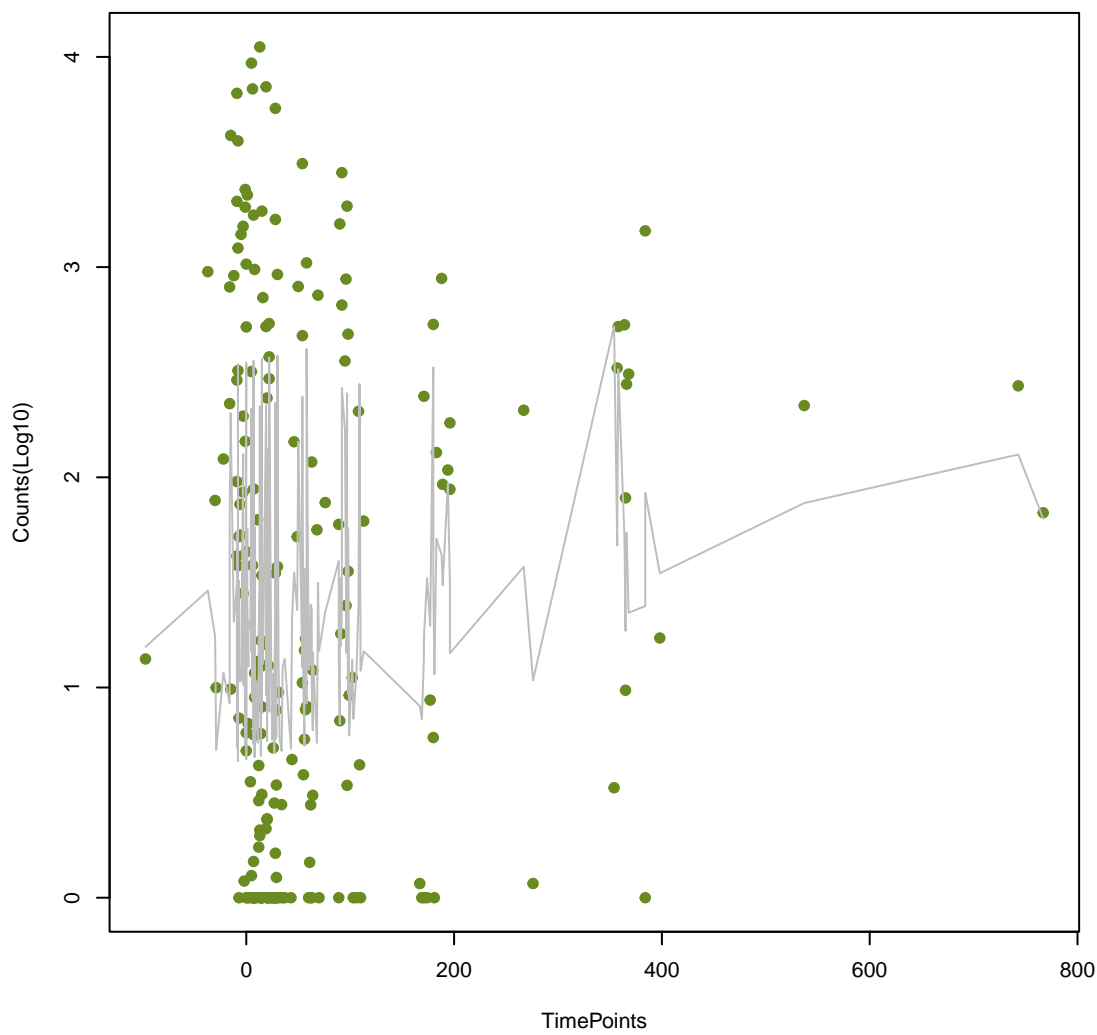
poxtA
ANOVA P=0.103, adj. ANOVA-P=0.337



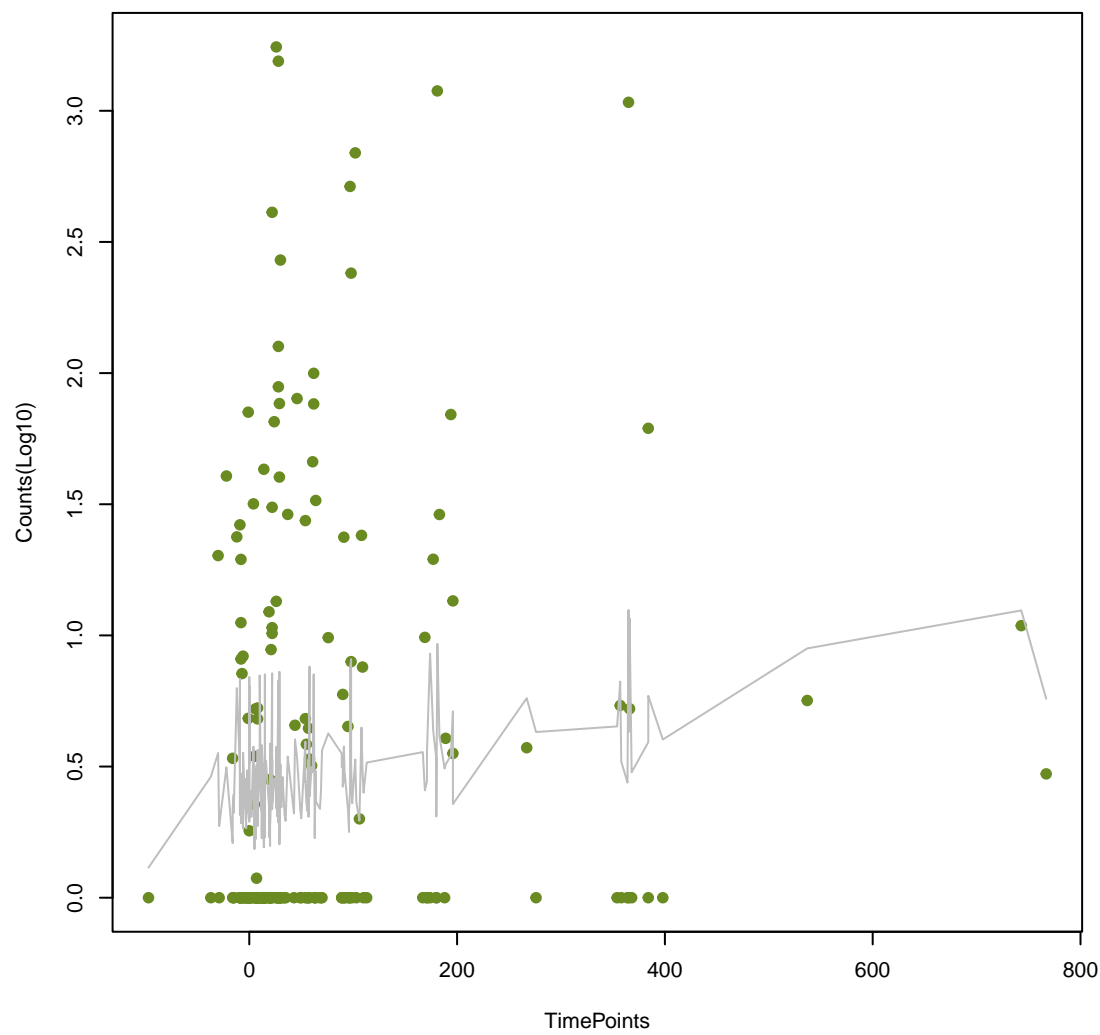
EC-13
ANOVA P=0.104, adj. ANOVA-P=0.337



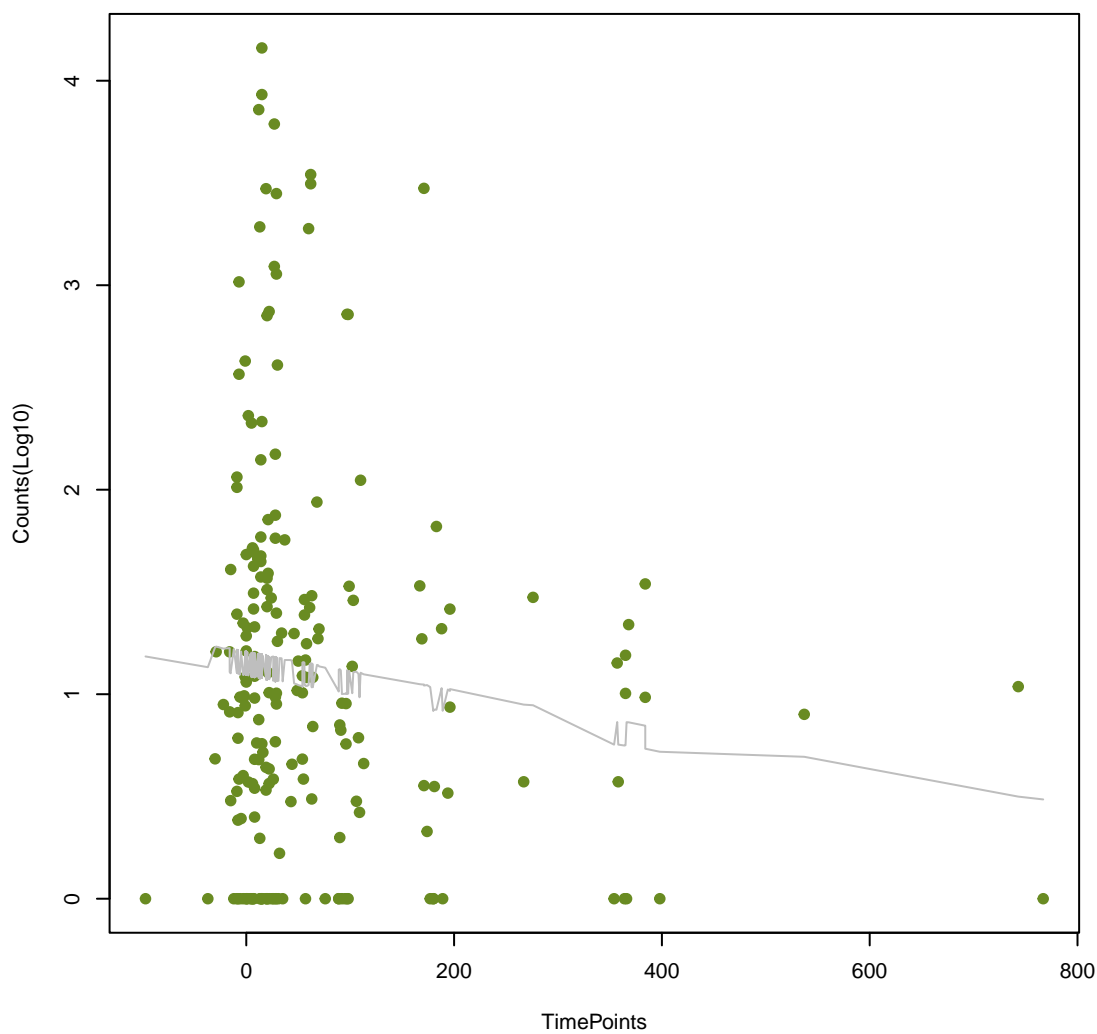
InuC
ANOVA P=0.106, adj. ANOVA-P=0.34



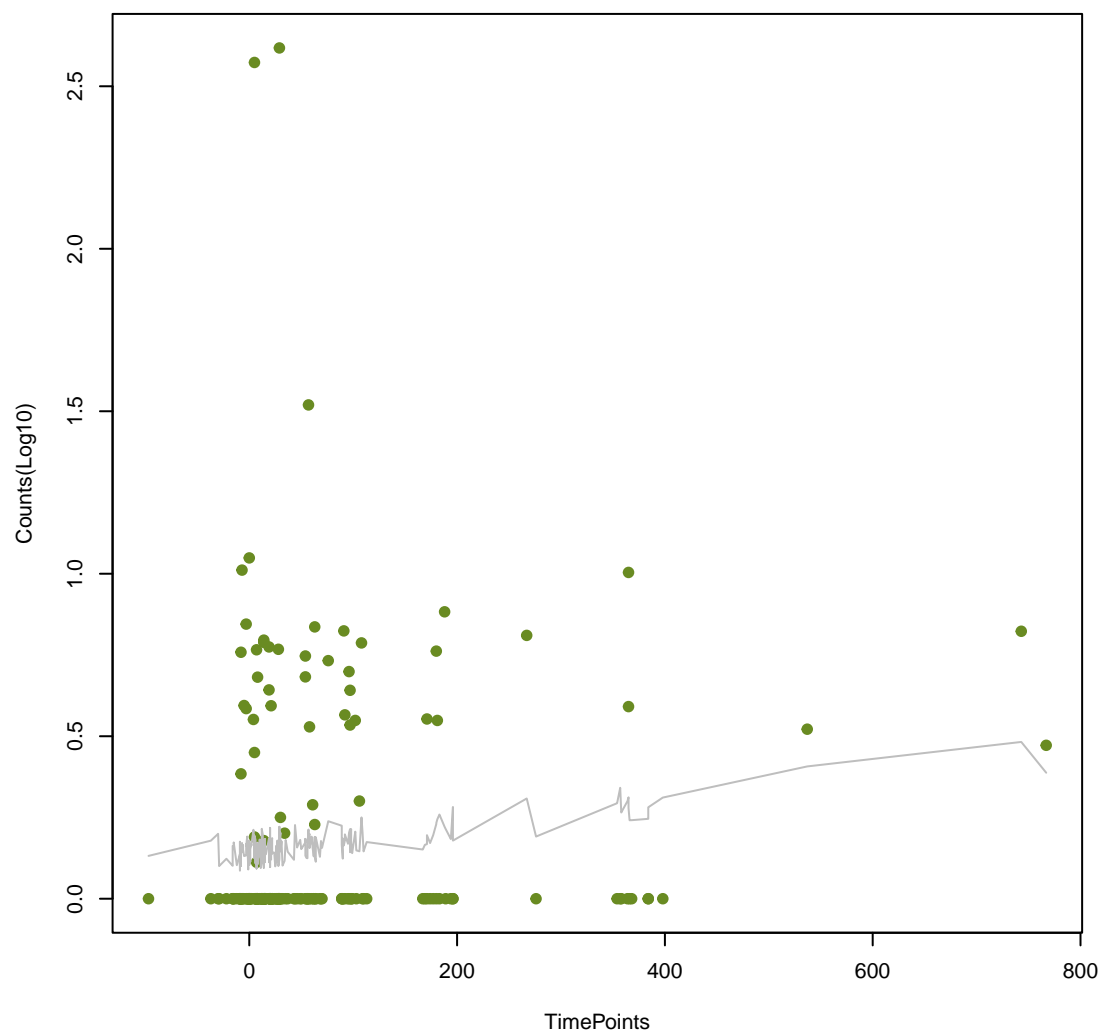
oqxA
ANOVA P=0.107, adj. ANOVA-P=0.34



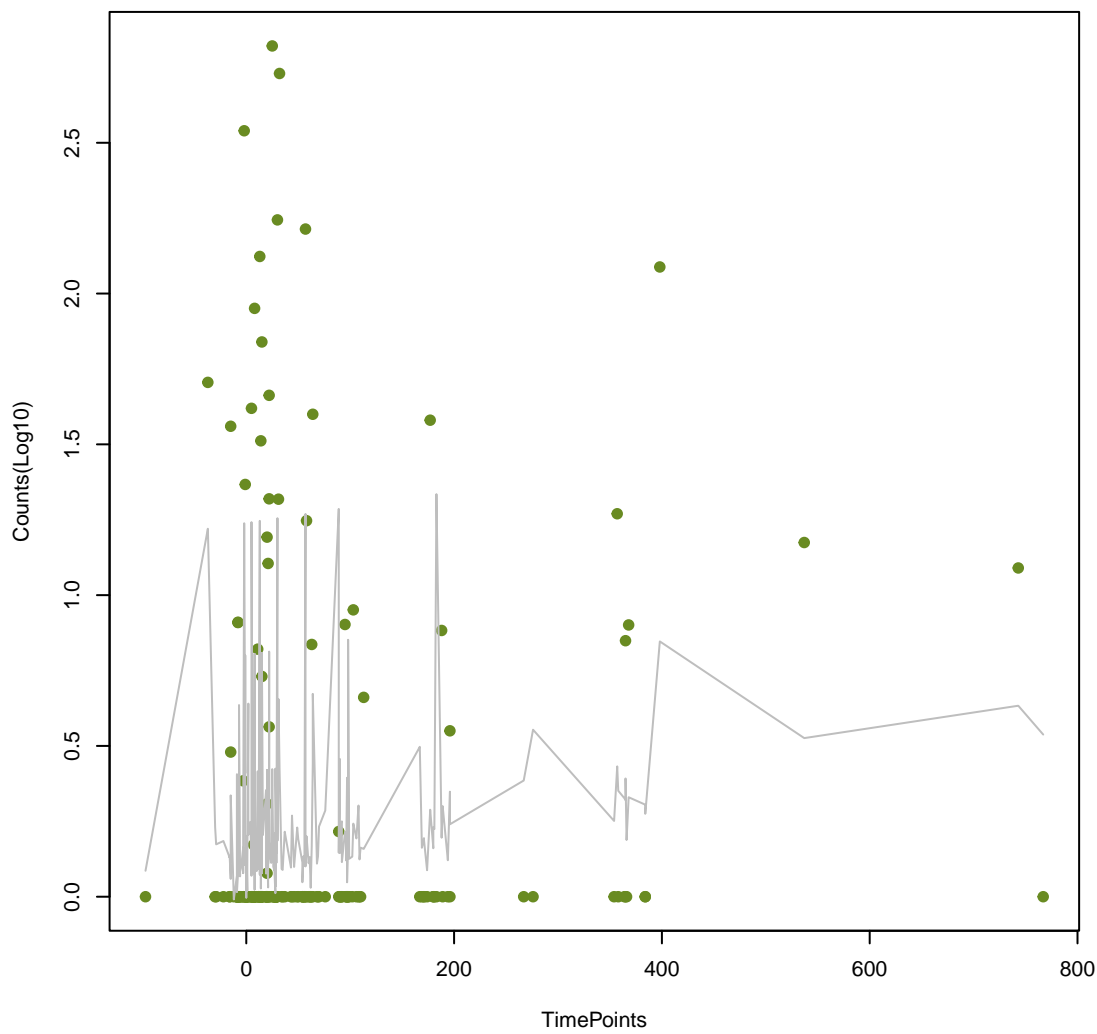
efrA
ANOVA P=0.108, adj. ANOVA-P=0.34



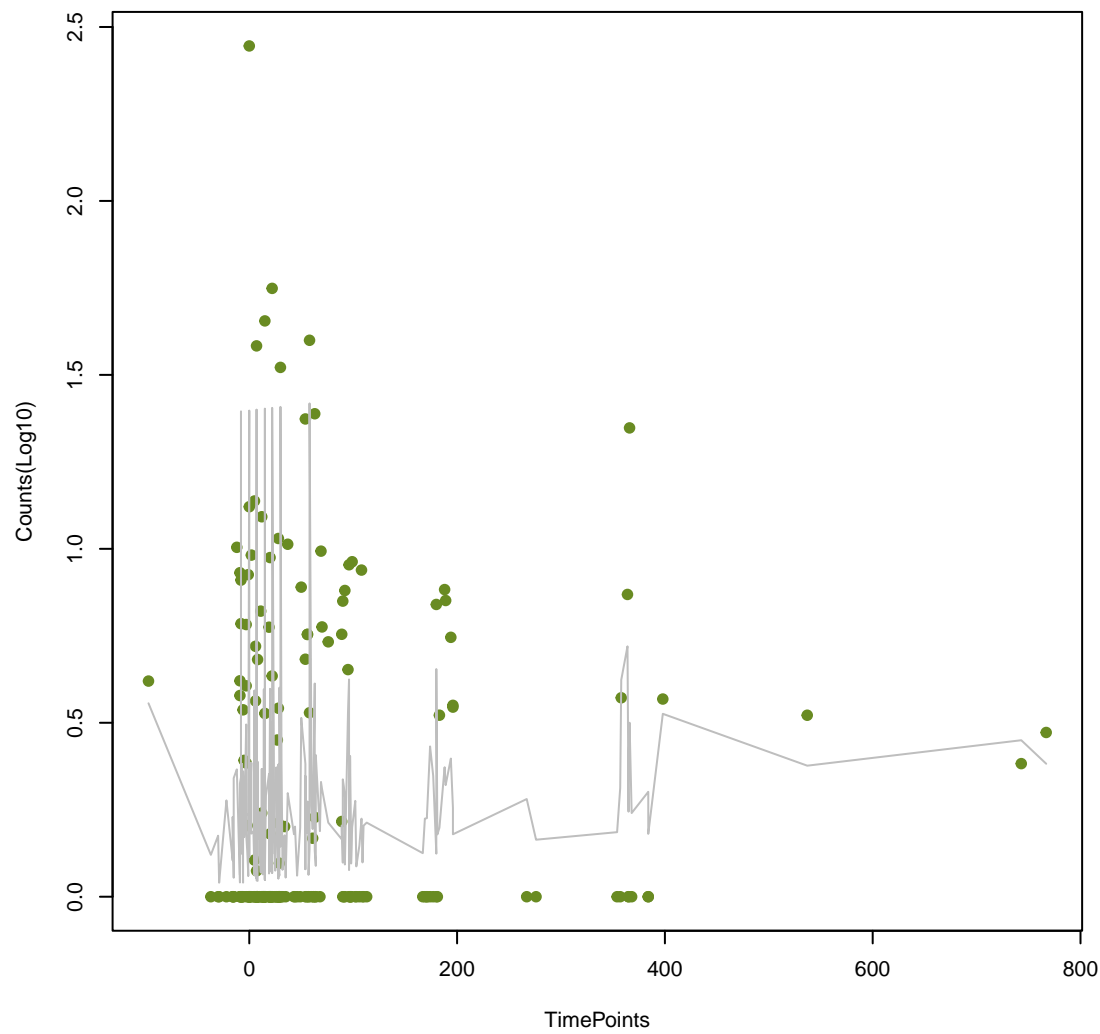
APH(3')-IIb
ANOVA P=0.11, adj. ANOVA-P=0.344



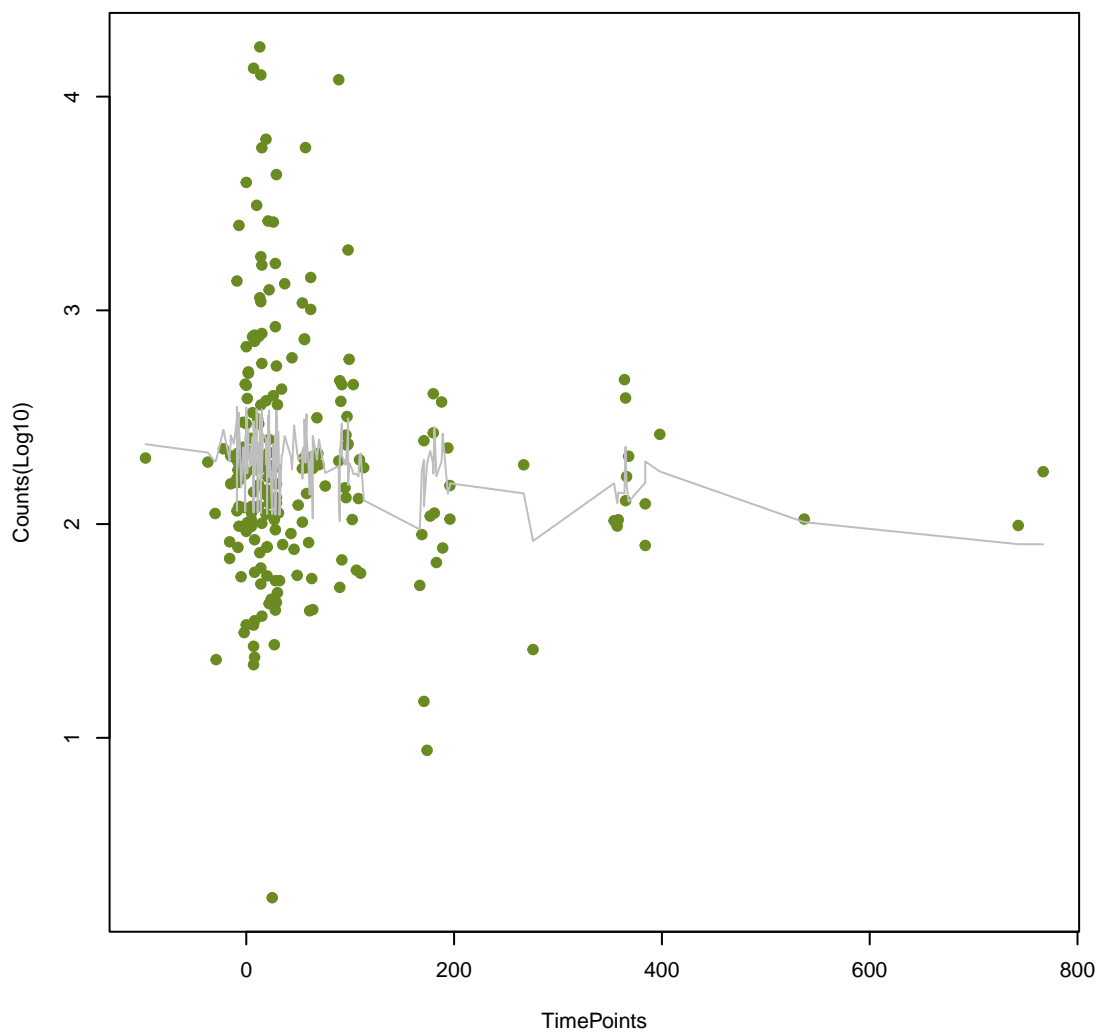
TEM-194
ANOVA P=0.113, adj. ANOVA-P=0.347



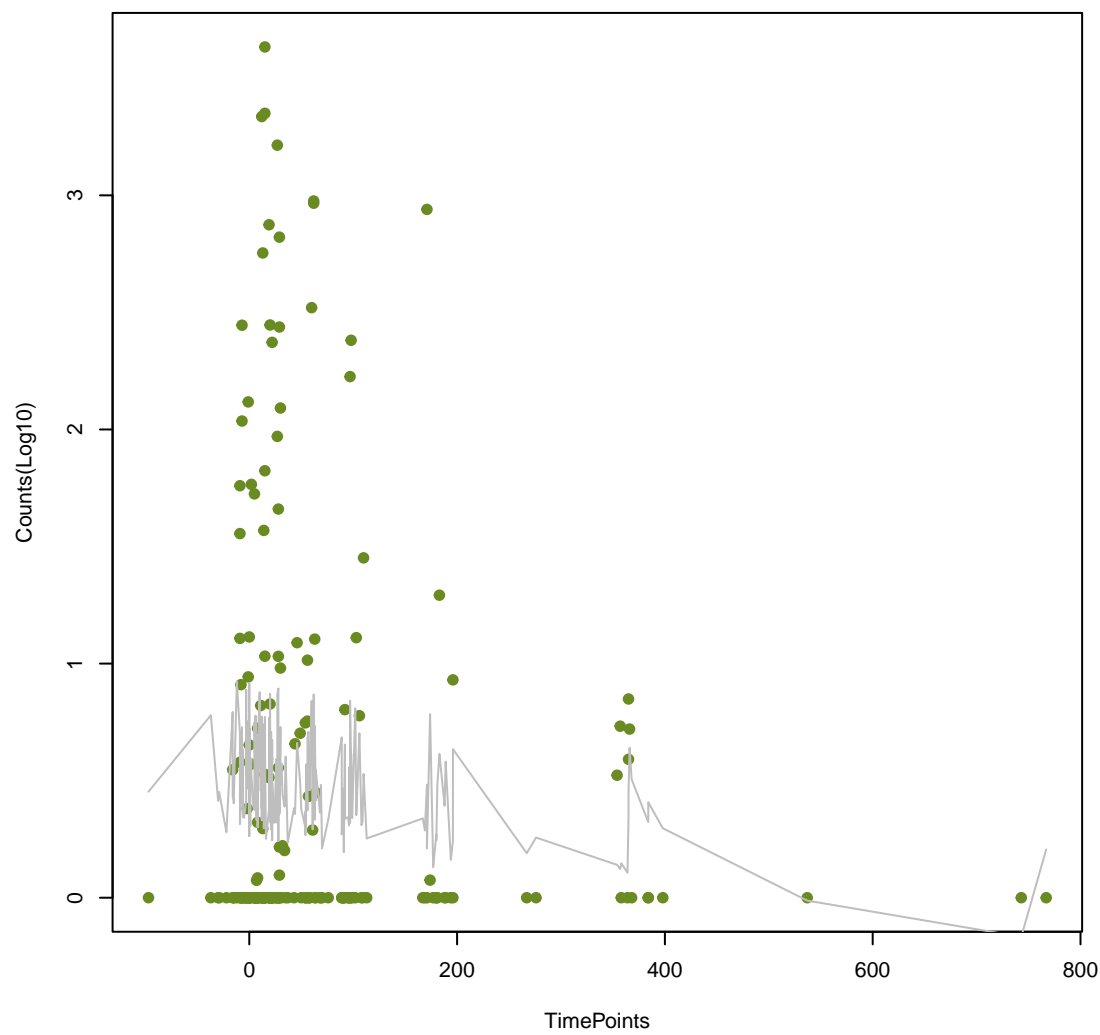
PEDO-2
ANOVA P=0.114, adj. ANOVA-P=0.348



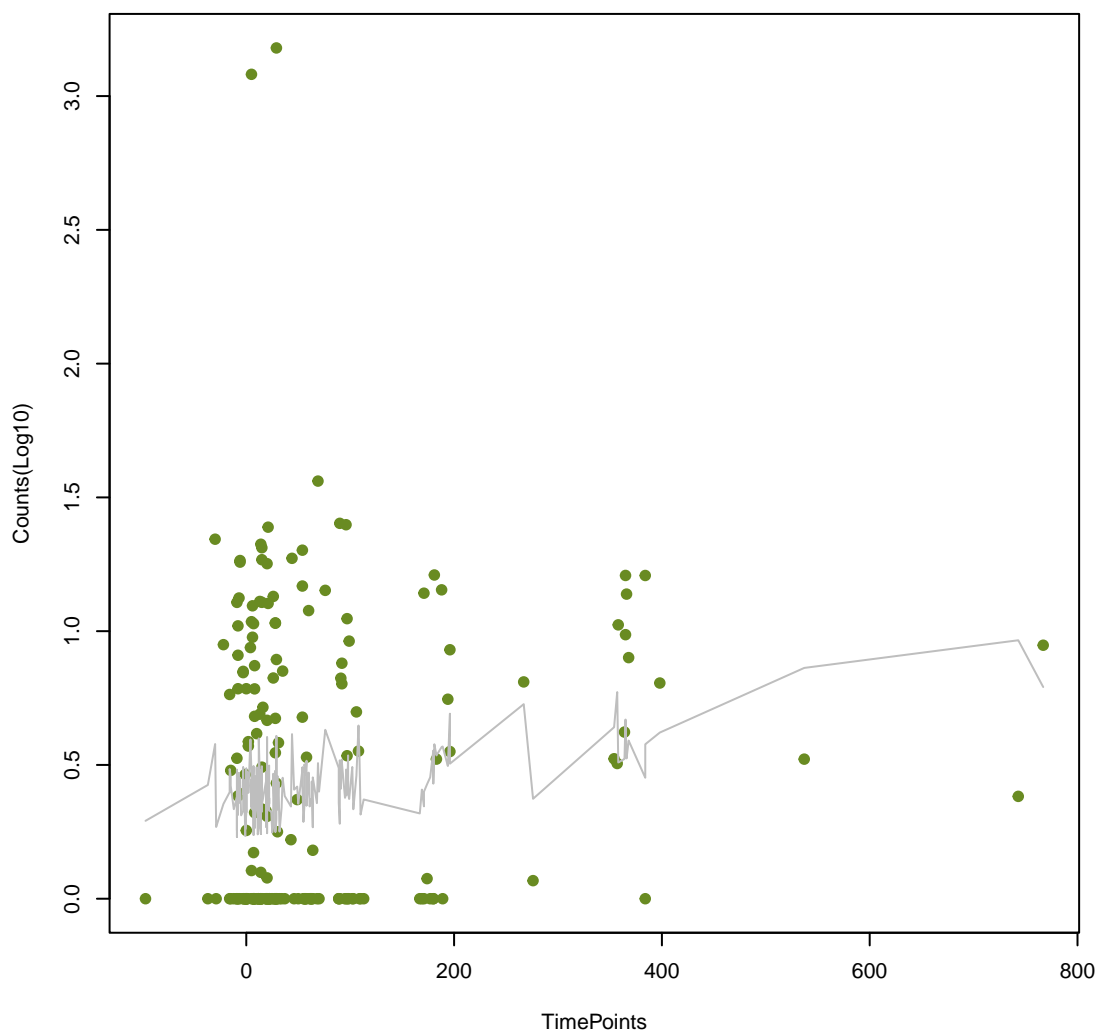
BRP(MBL)
ANOVA P=0.117, adj. ANOVA-P=0.352



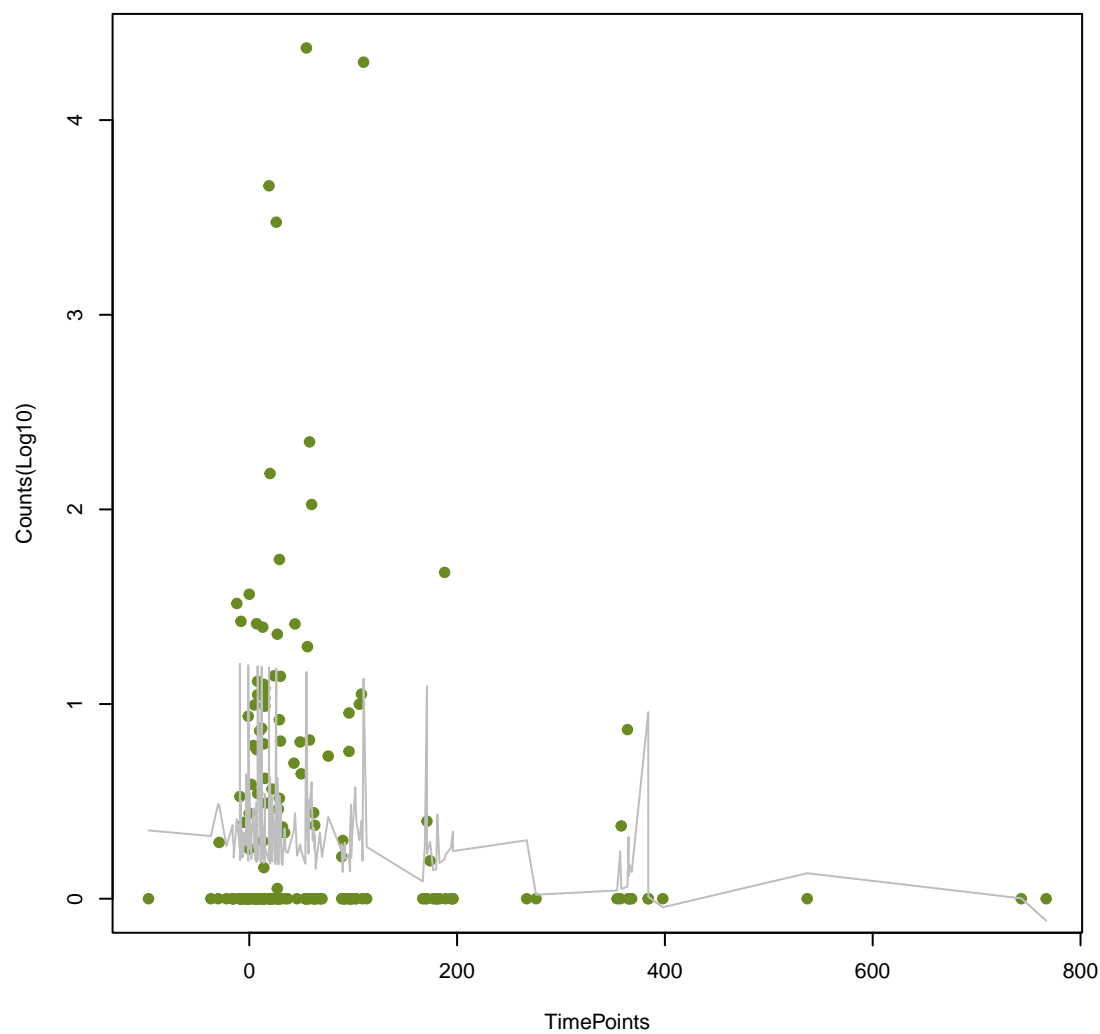
dfrE
ANOVA P=0.118, adj. ANOVA-P=0.352



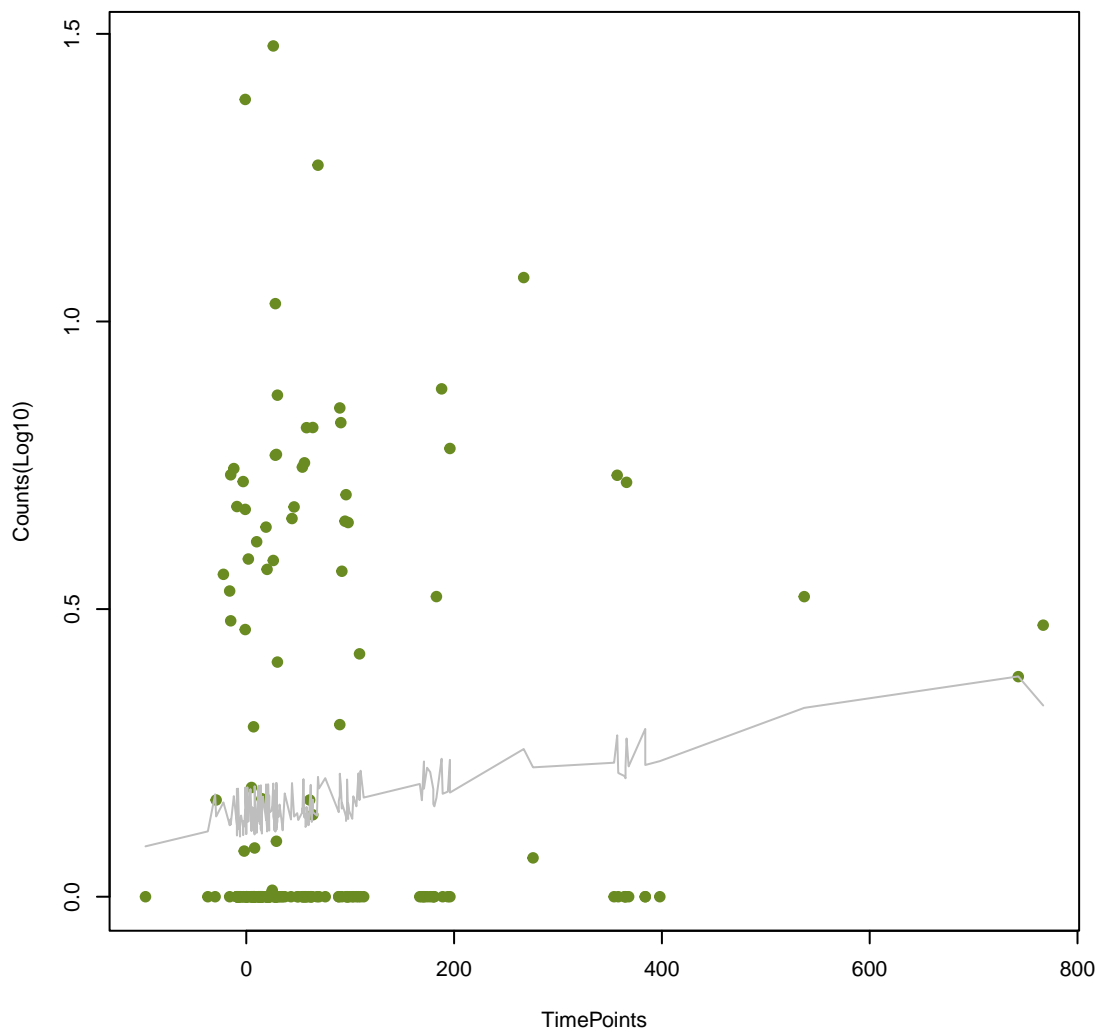
MexI
ANOVA P=0.119, adj. ANOVA-P=0.352



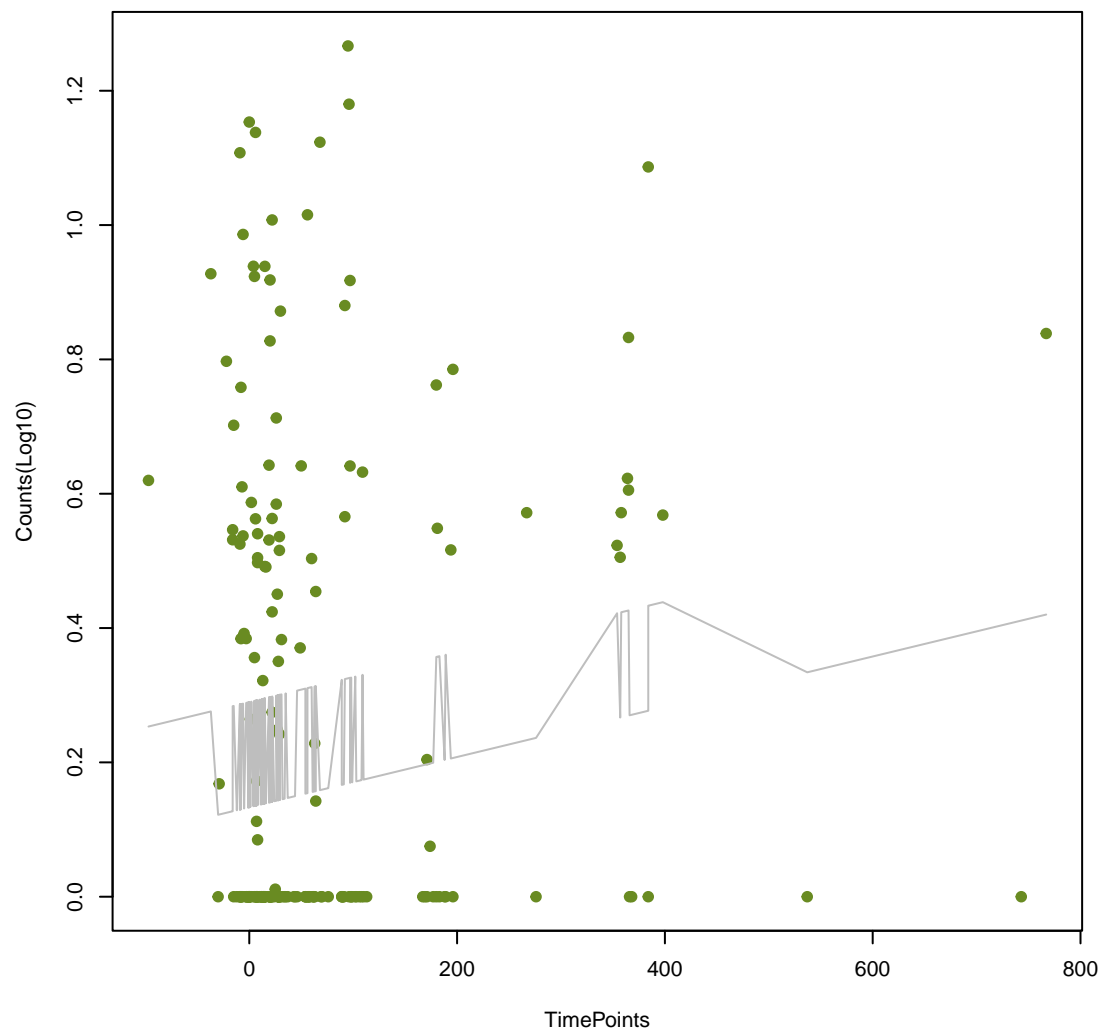
tet(K)
ANOVA P=0.123, adj. ANOVA-P=0.361



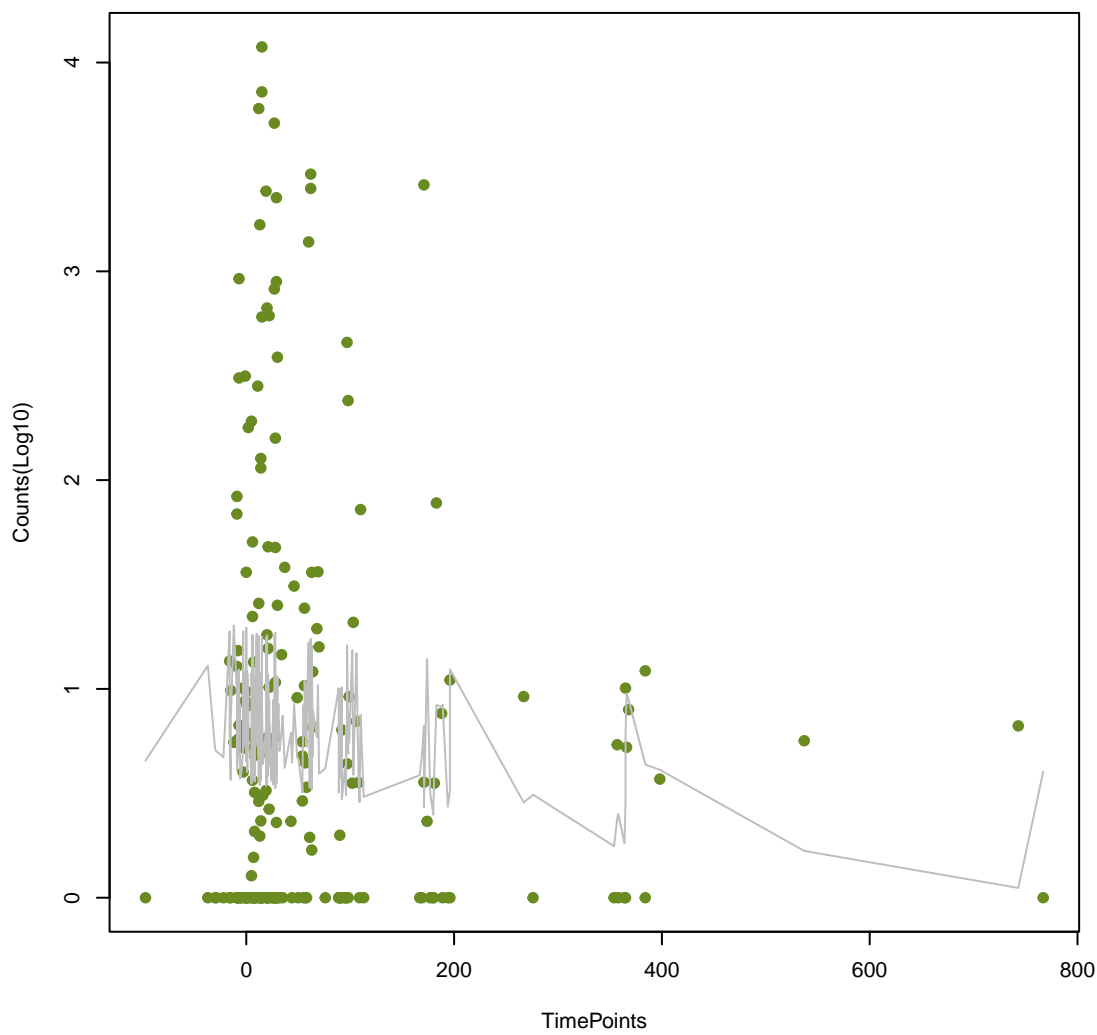
RSA-2
ANOVA P=0.125, adj. ANOVA-P=0.362



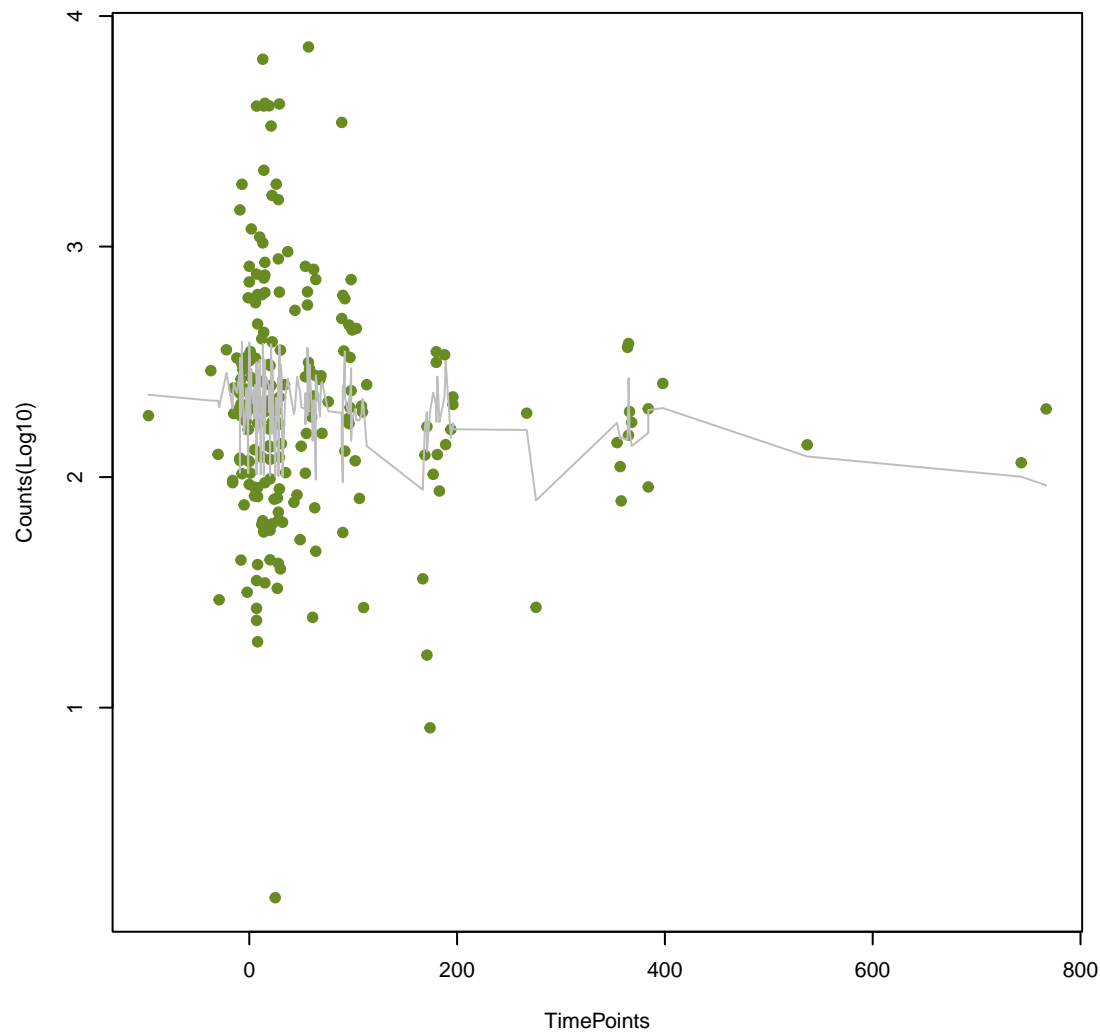
QnrS6
ANOVA P=0.128, adj. ANOVA-P=0.367



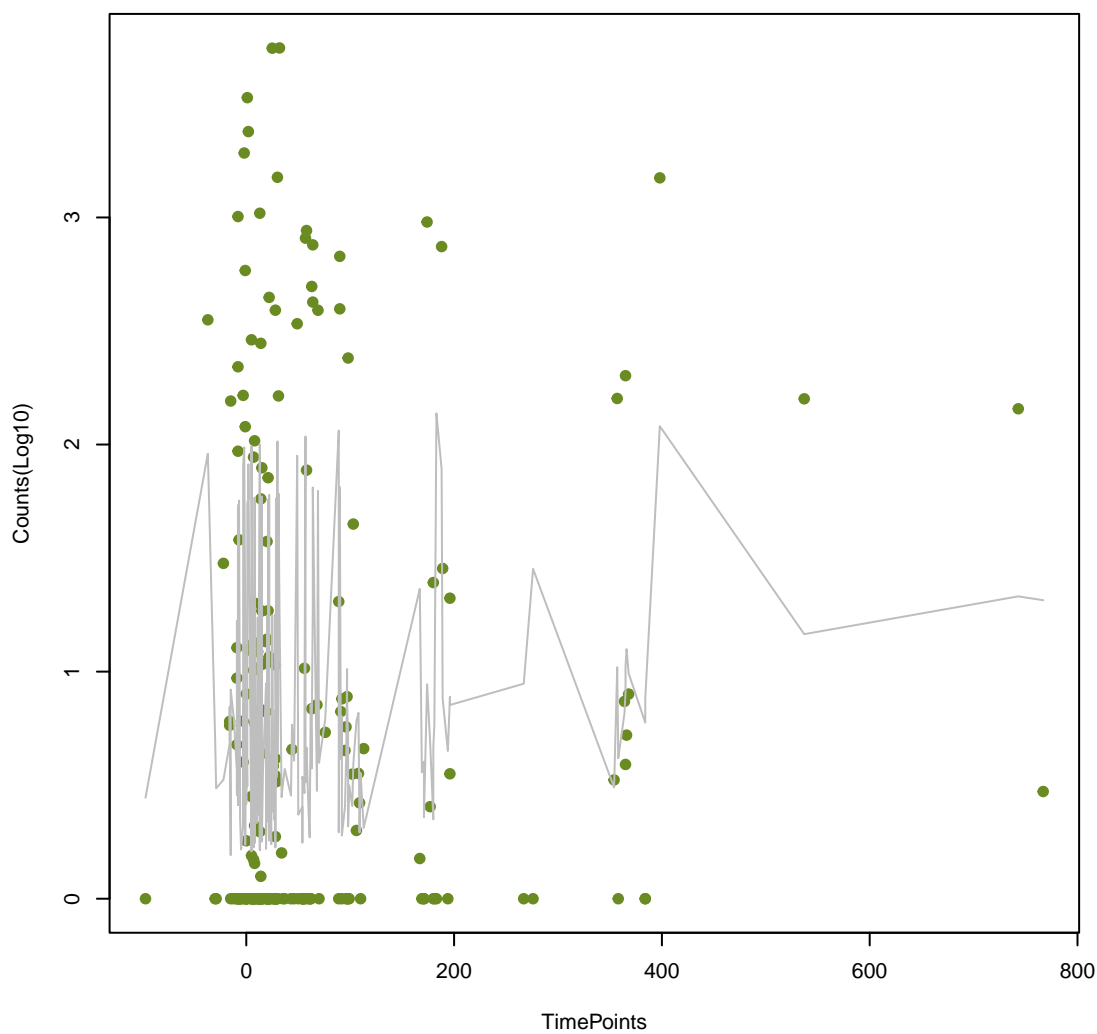
IsaA
ANOVA P=0.132, adj. ANOVA-P=0.371



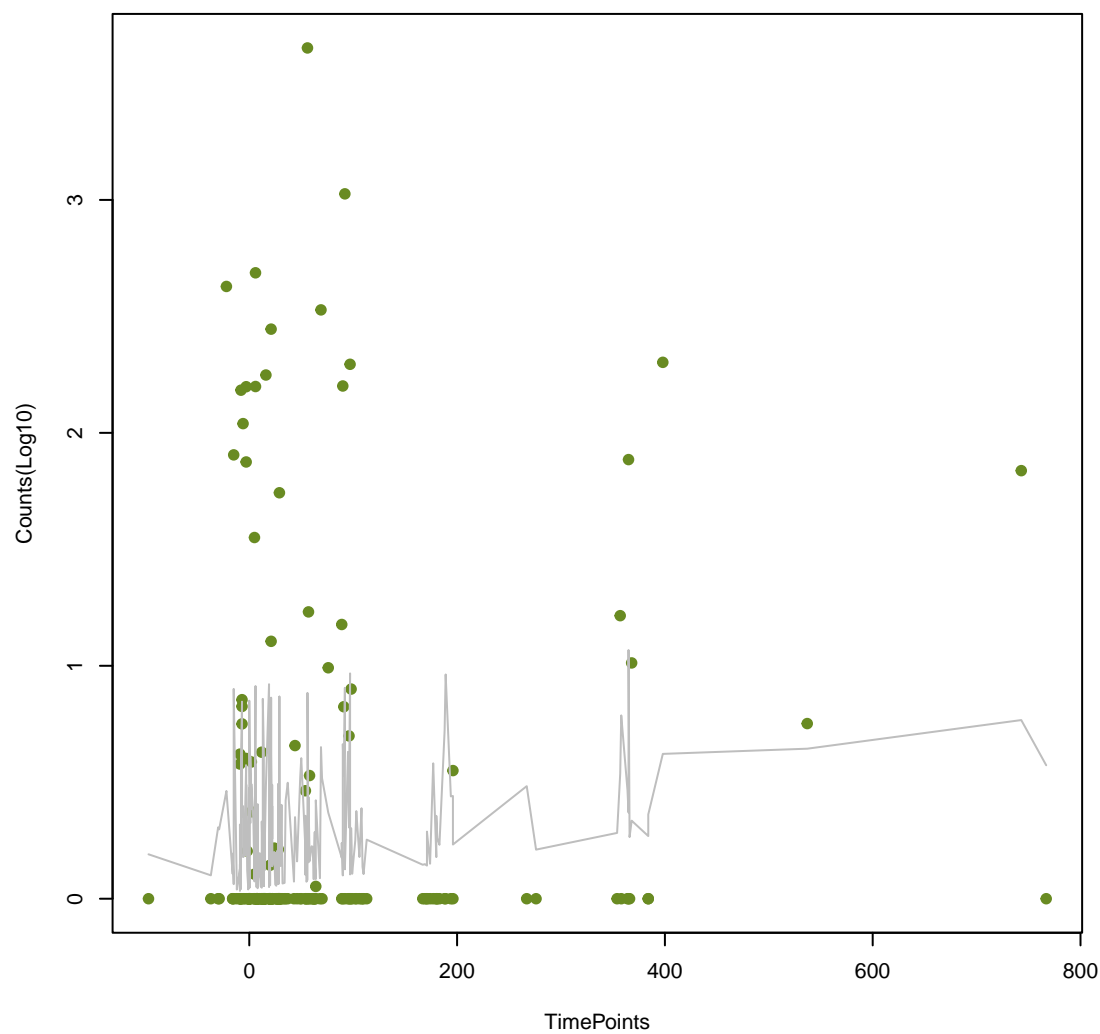
ArmR
ANOVA P=0.132, adj. ANOVA-P=0.371



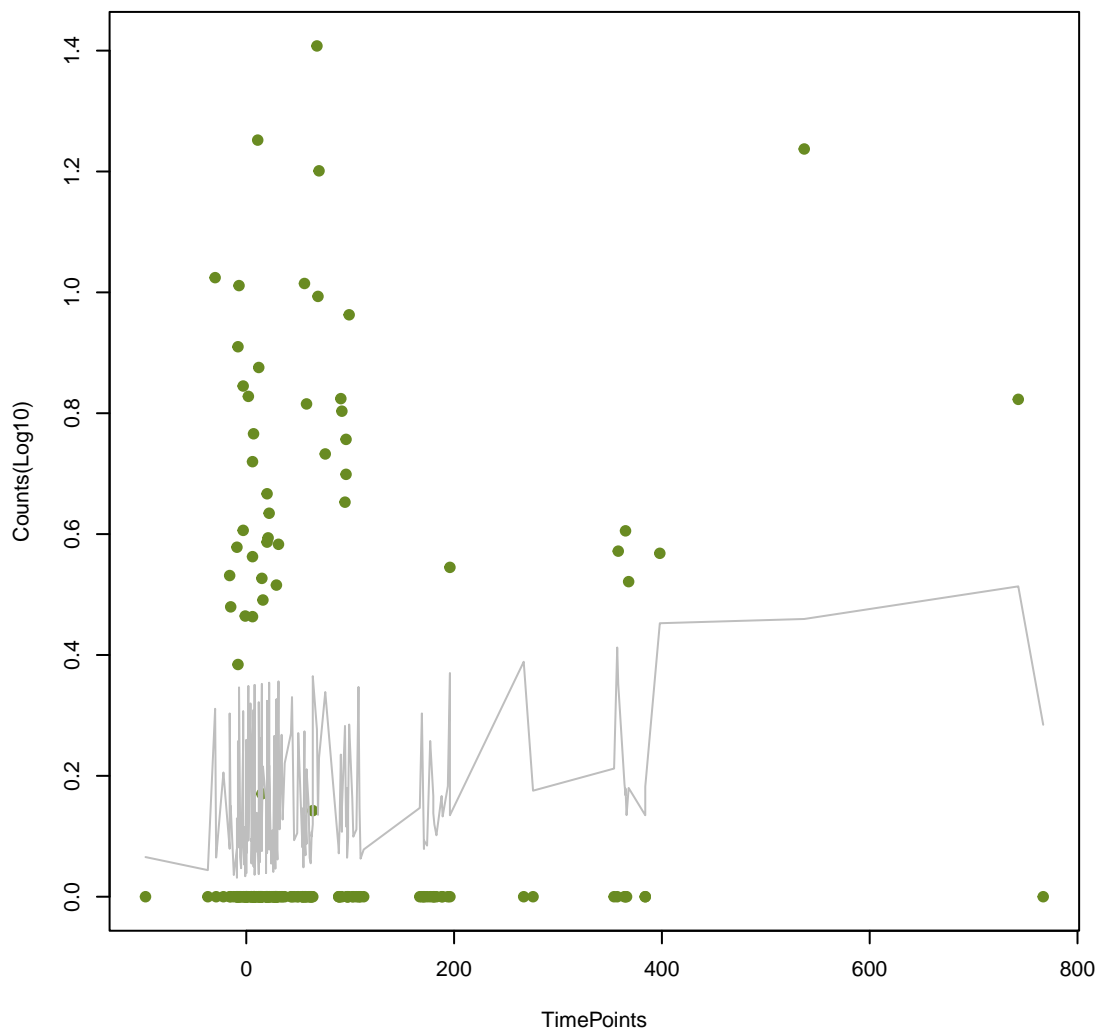
sul2
ANOVA P=0.133, adj. ANOVA-P=0.371



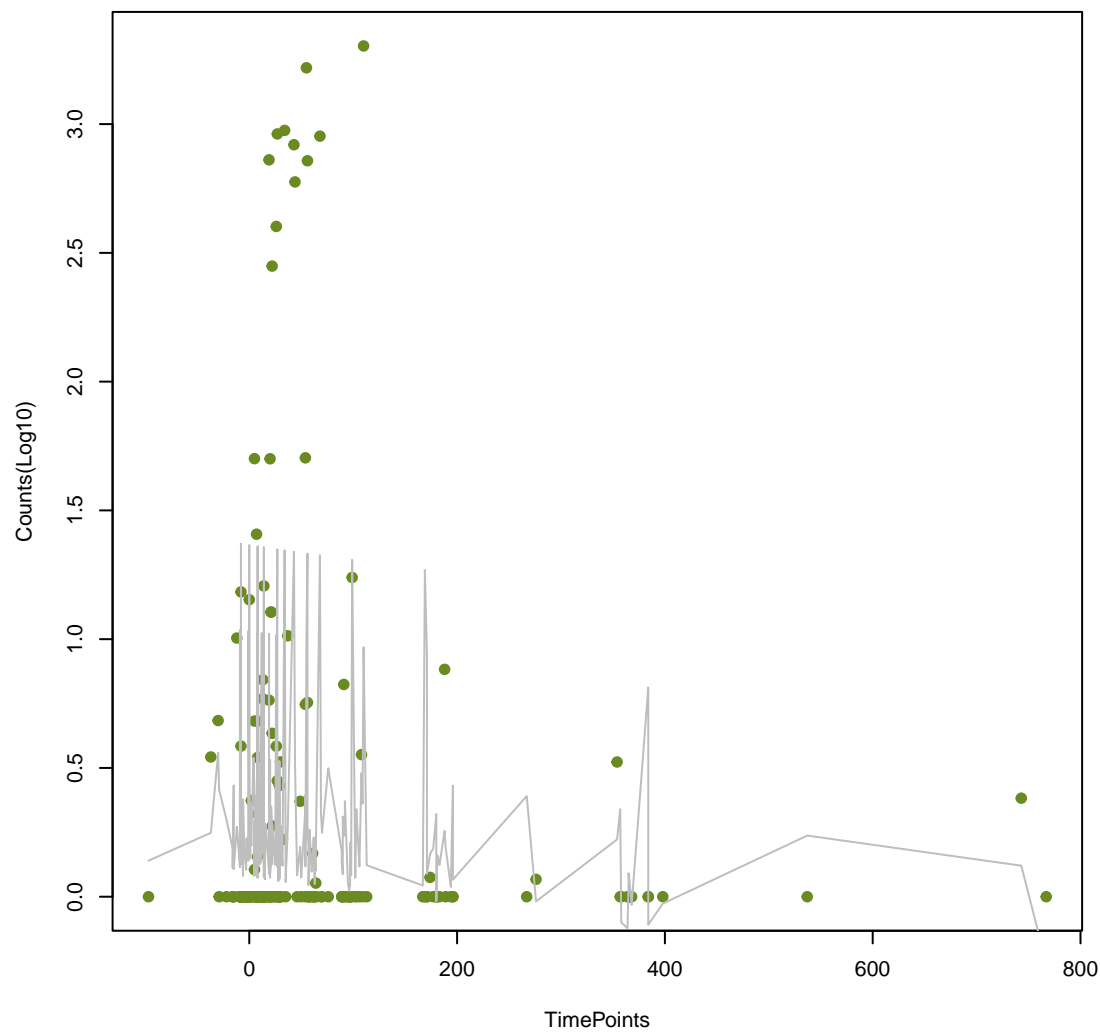
catS
ANOVA P=0.141, adj. ANOVA-P=0.391



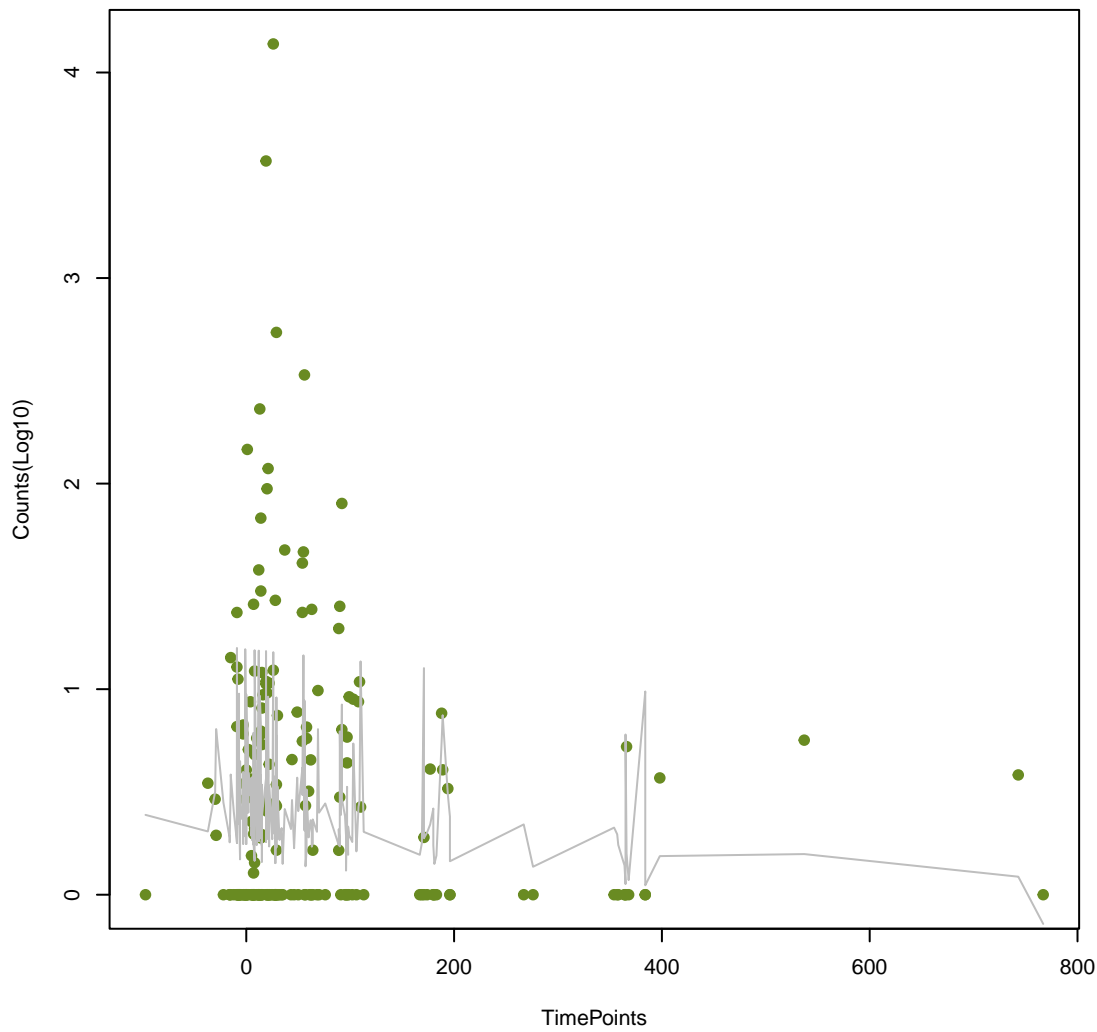
tet(H)
ANOVA P=0.152, adj. ANOVA-P=0.415



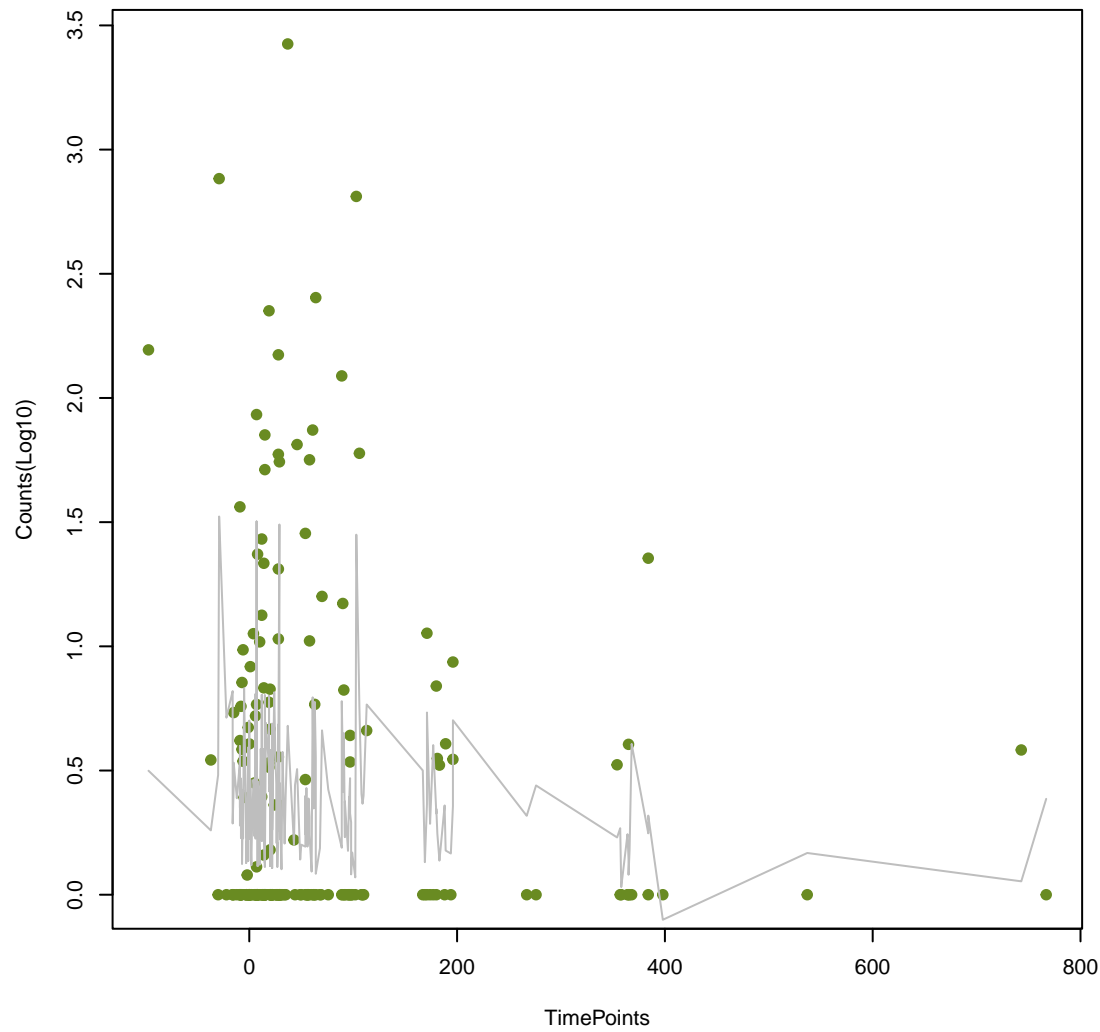
ANT(4')-Ib
ANOVA P=0.153, adj. ANOVA-P=0.415



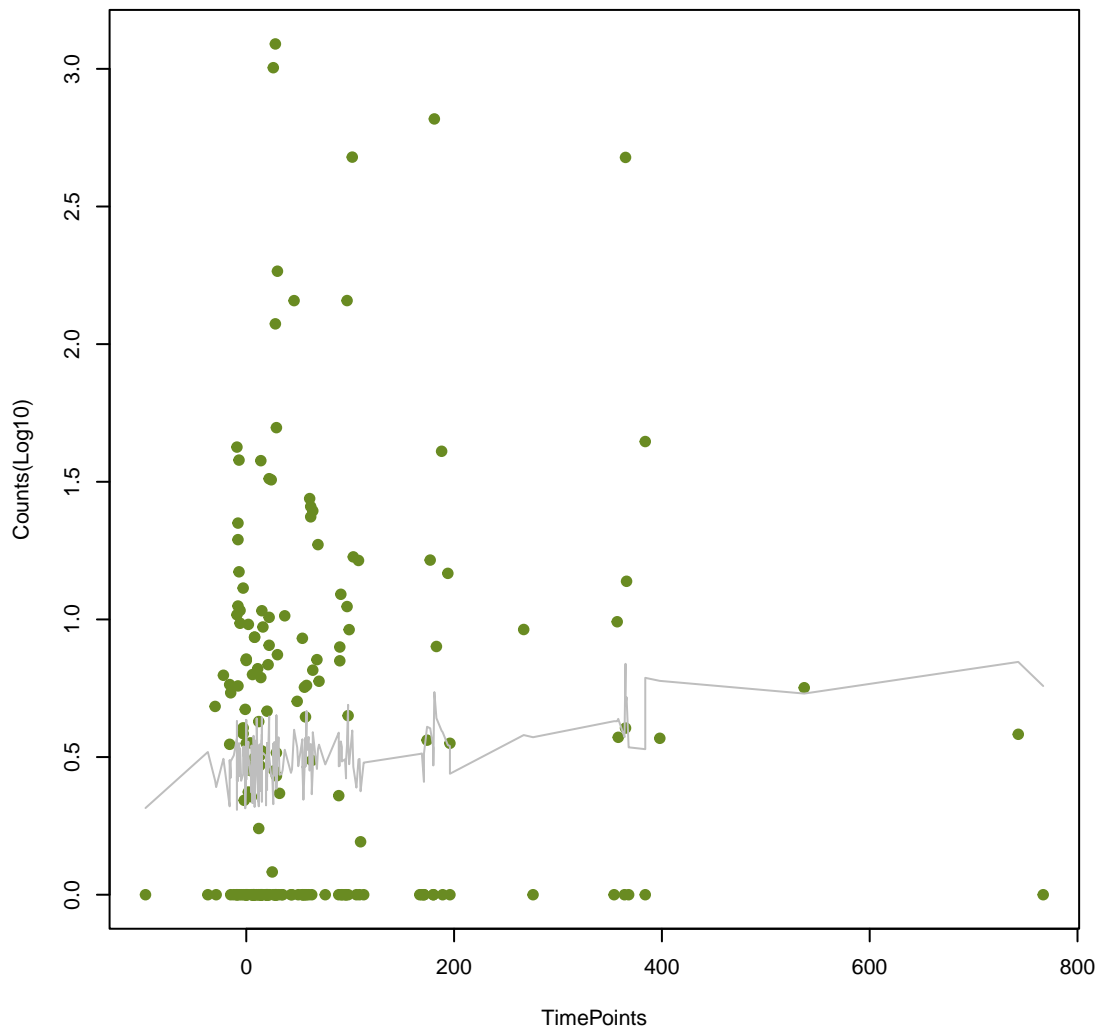
tetB(60)
ANOVA P=0.157, adj. ANOVA-P=0.423



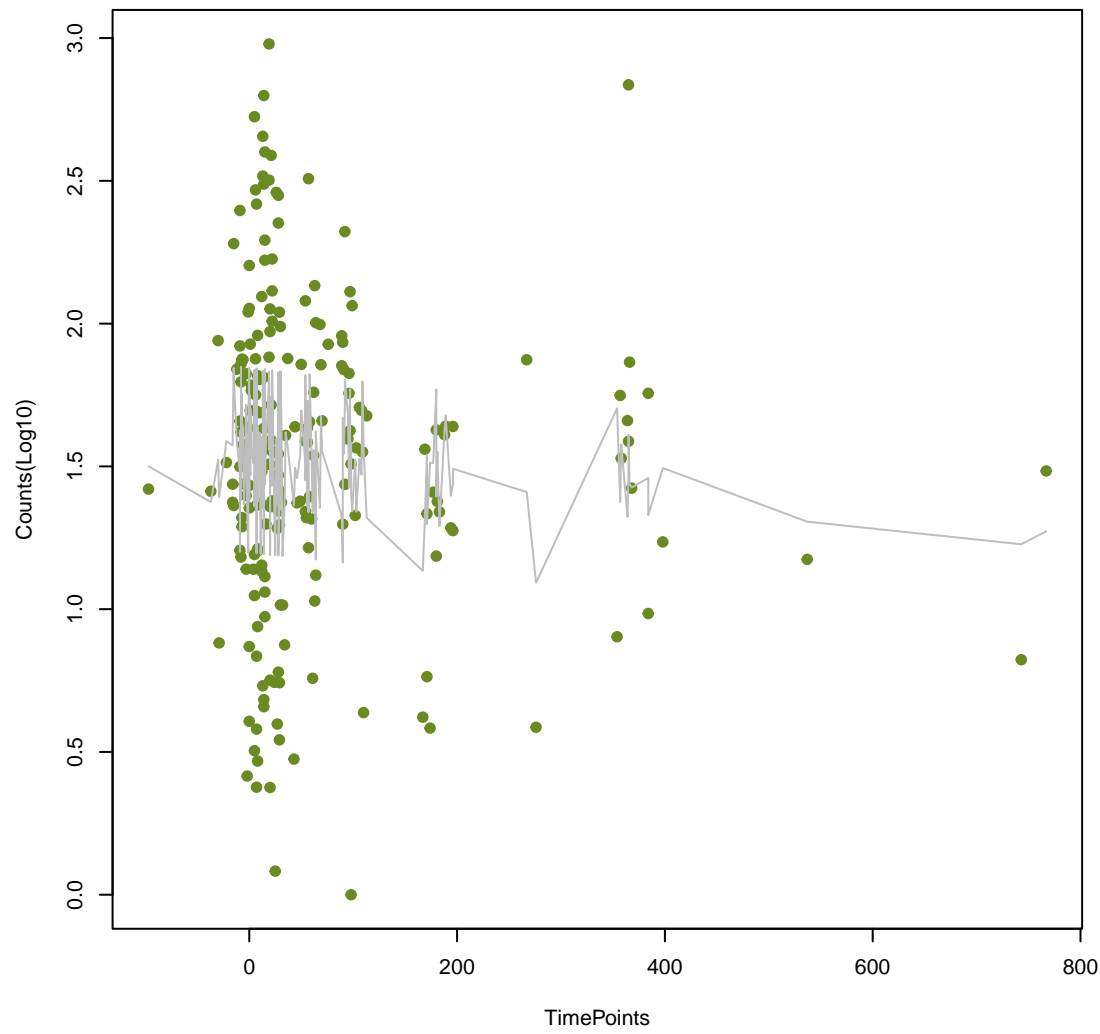
vanS_in_vanC_cl
ANOVA P=0.162, adj. ANOVA-P=0.432



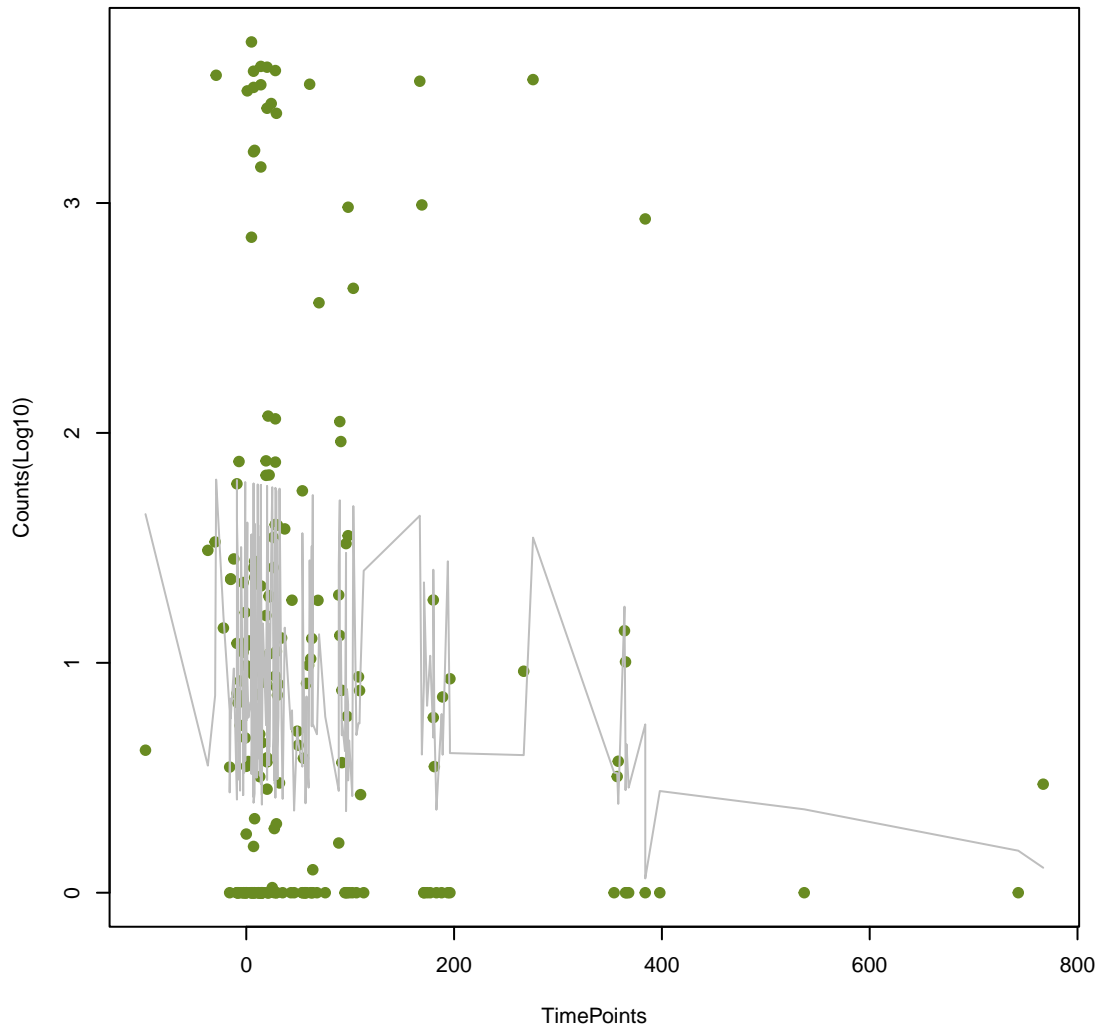
Kpne_OmpK37
ANOVA P=0.166, adj. ANOVA-P=0.438



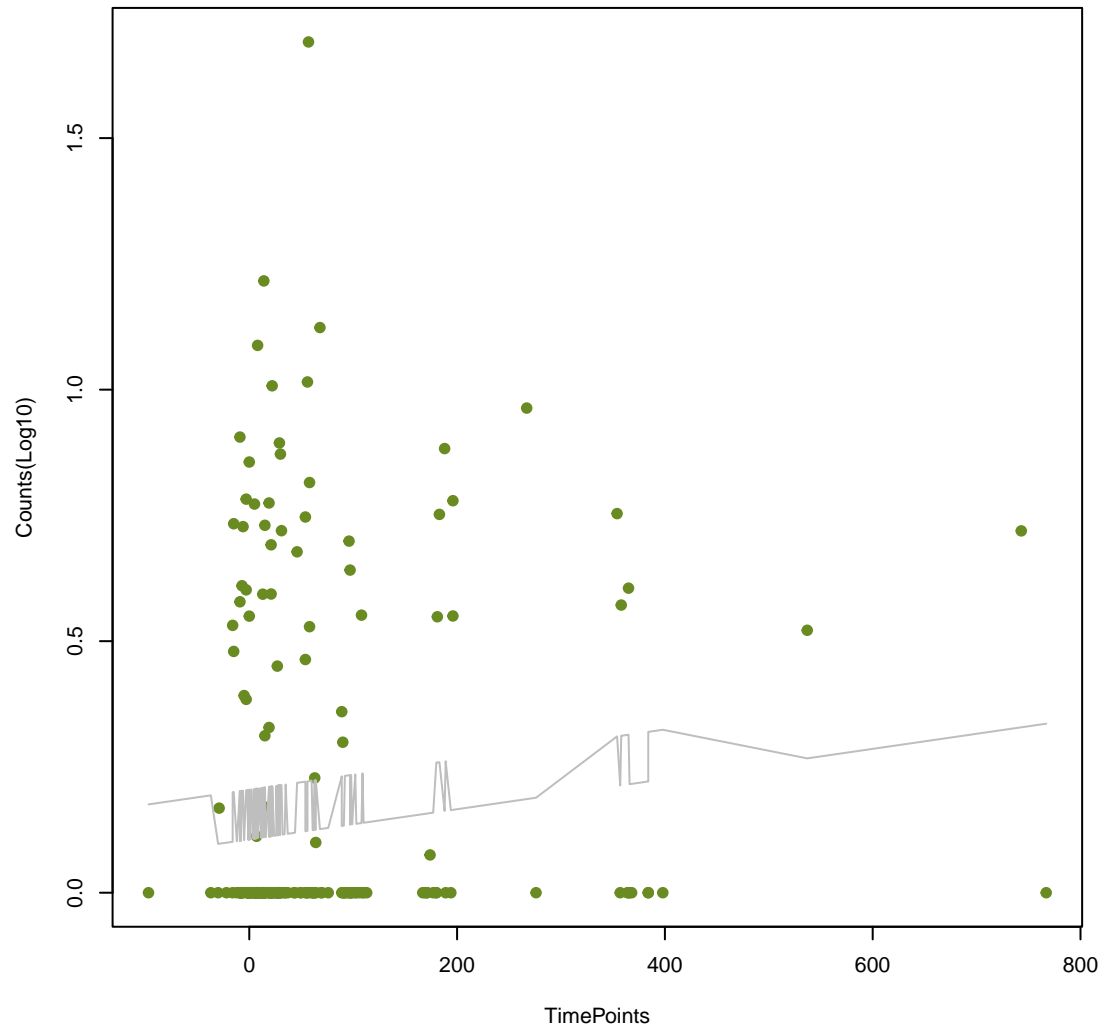
vanV_in_vanB_cl
ANOVA P=0.177, adj. ANOVA-P=0.463



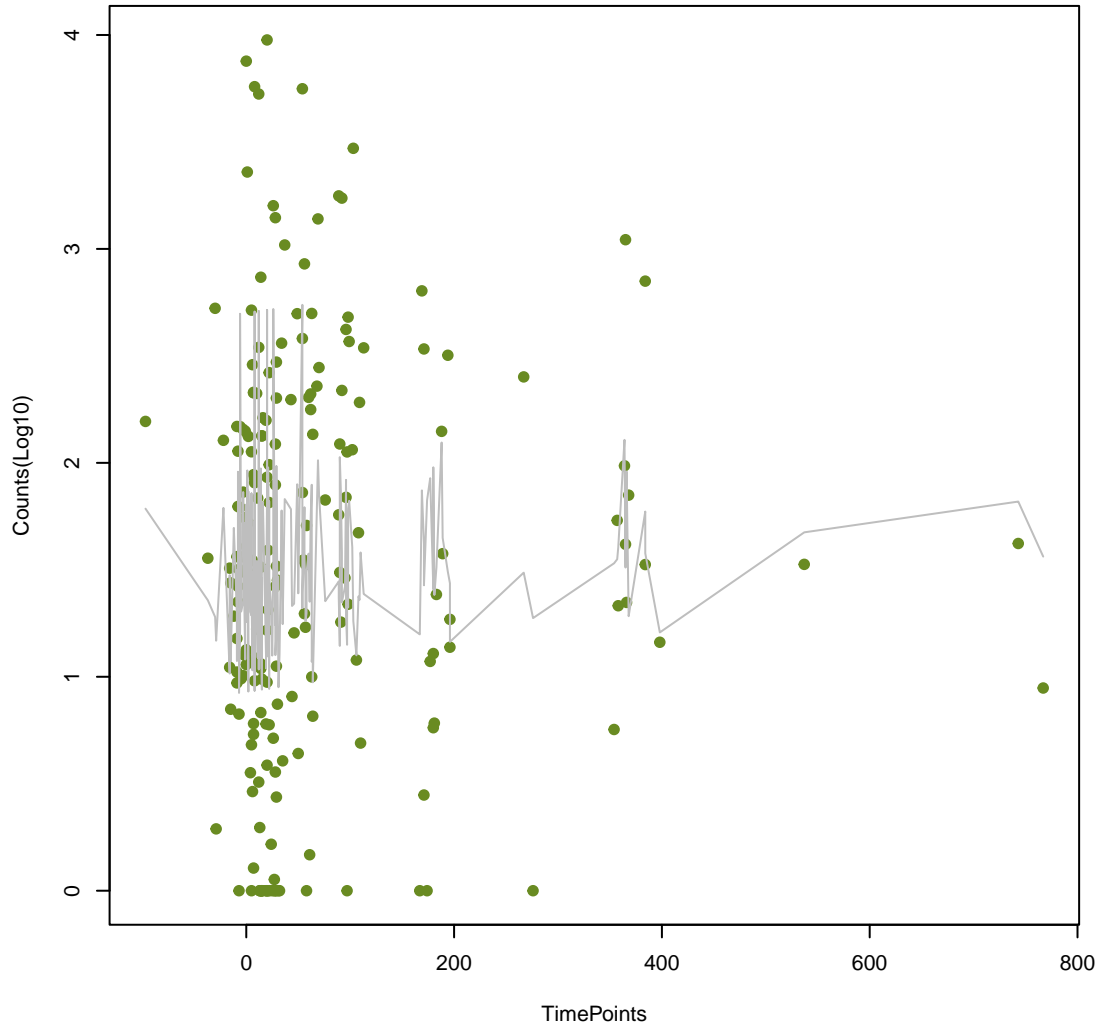
vanH_in_vanA_cl
ANOVA P=0.178, adj. ANOVA-P=0.463



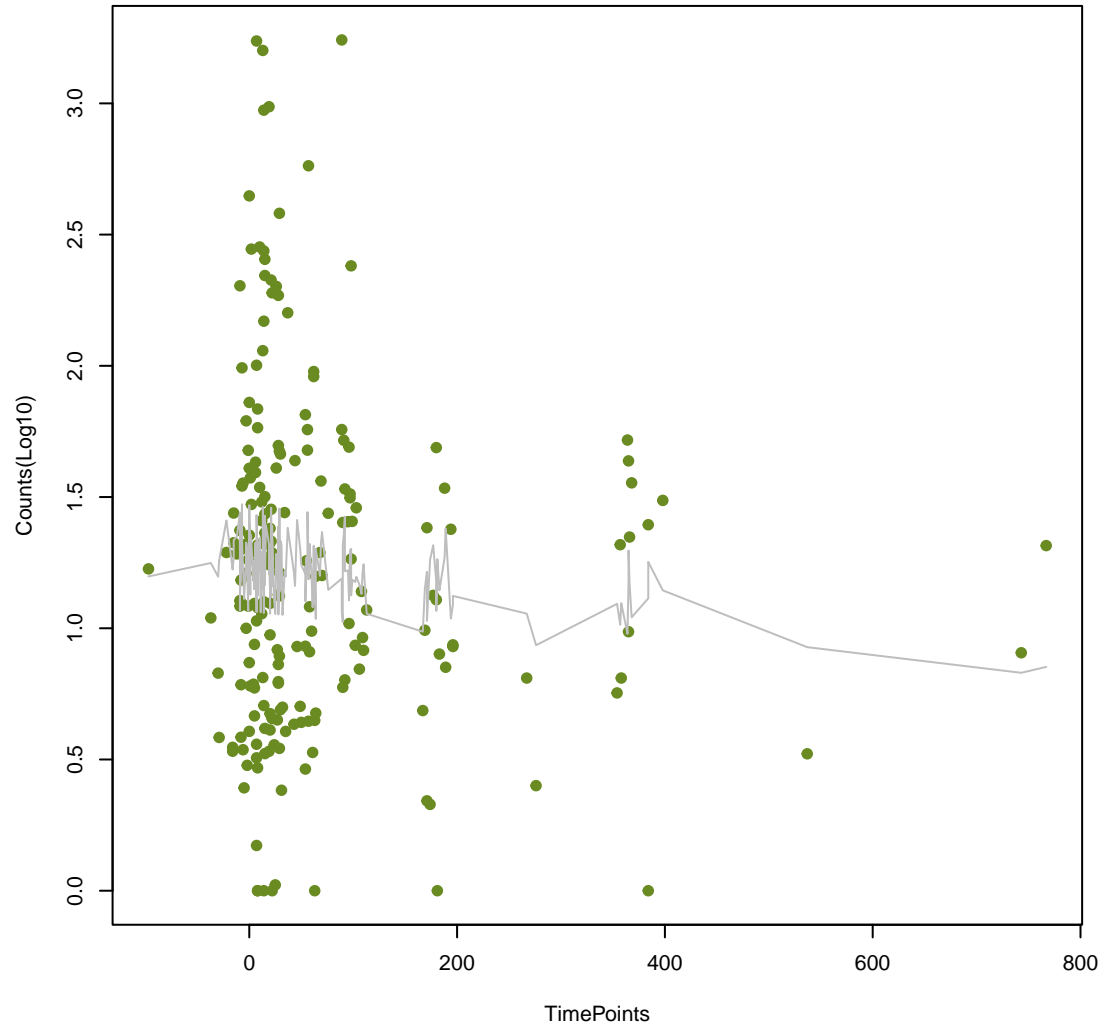
mecC
ANOVA P=0.18, adj. ANOVA-P=0.463



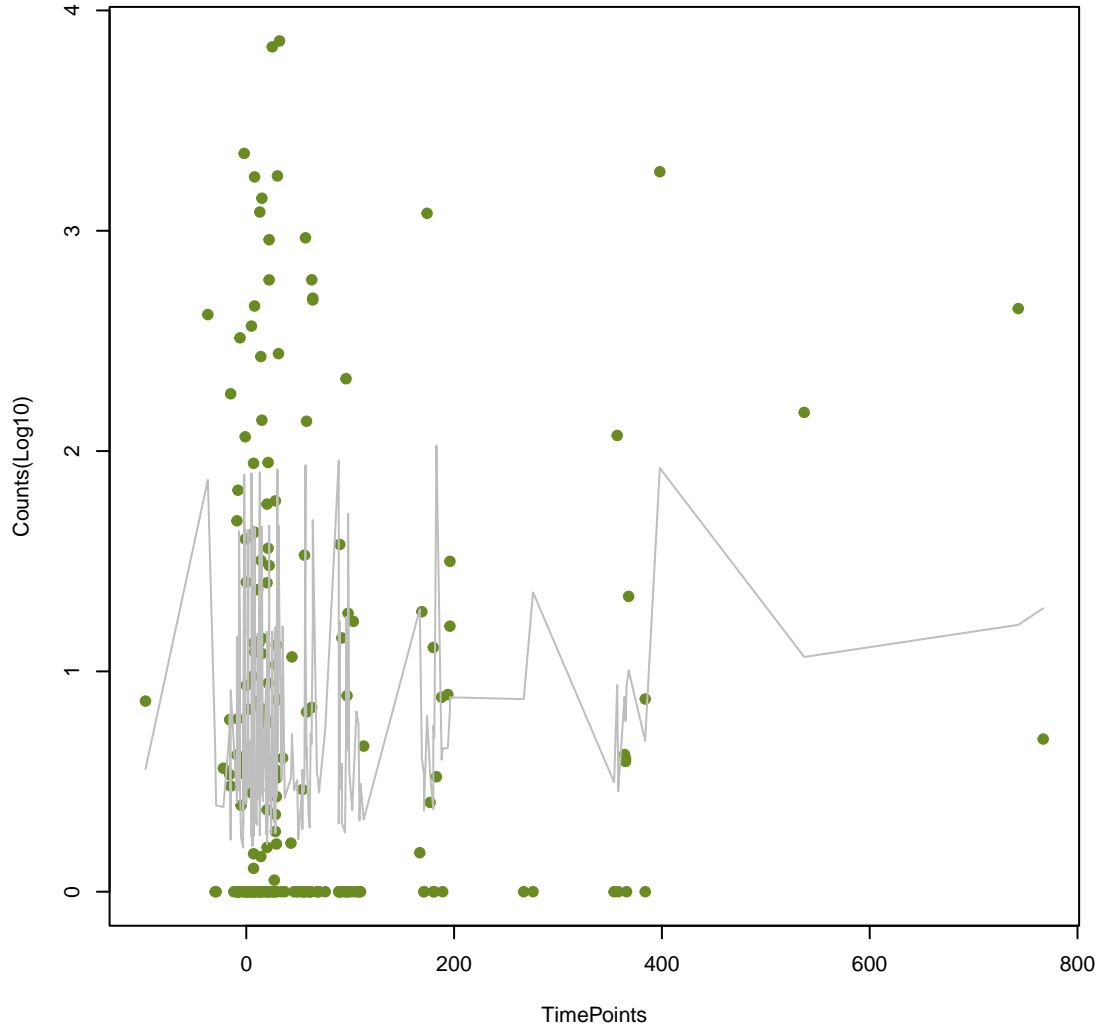
tetB(46)
ANOVA P=0.182, adj. ANOVA-P=0.466



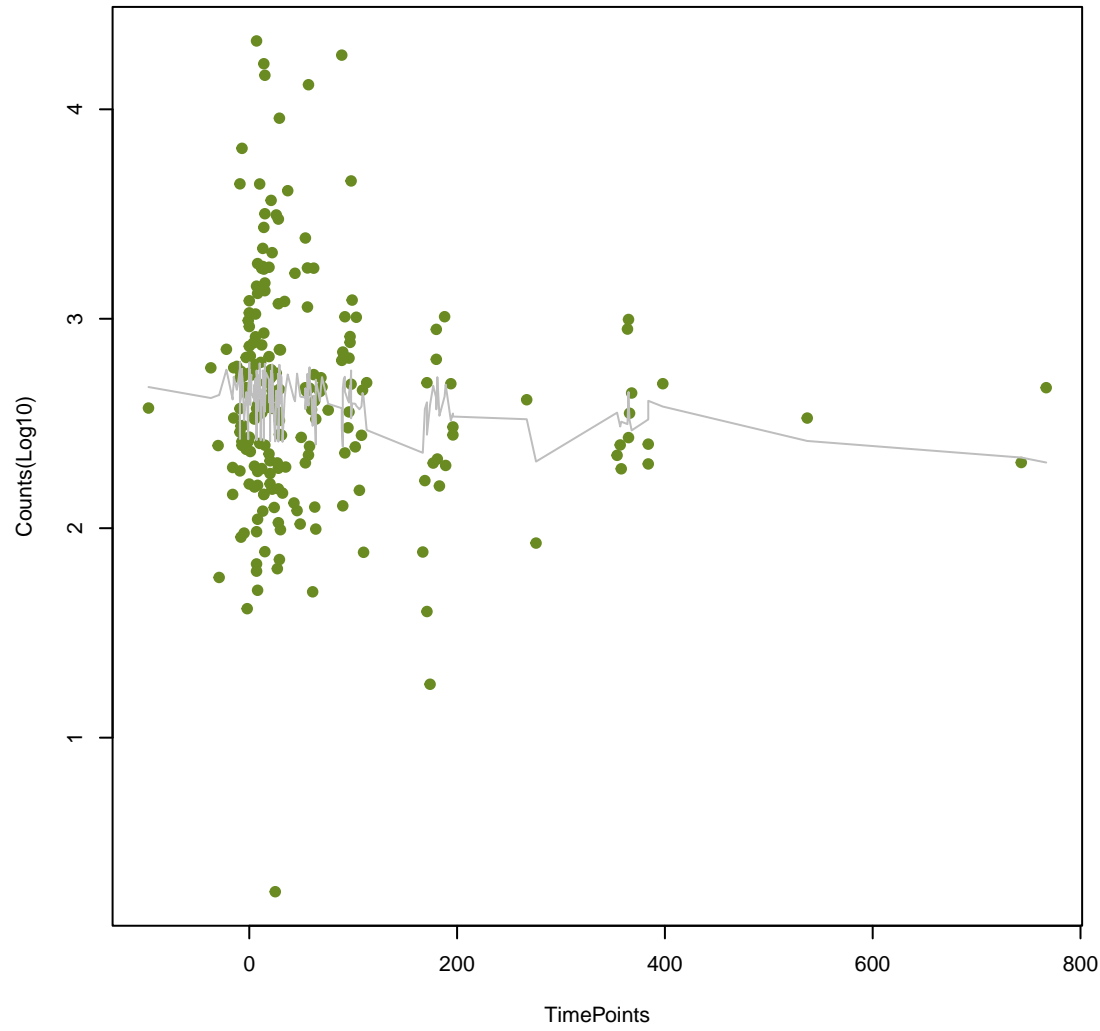
dfrB3
ANOVA P=0.184, adj. ANOVA-P=0.467



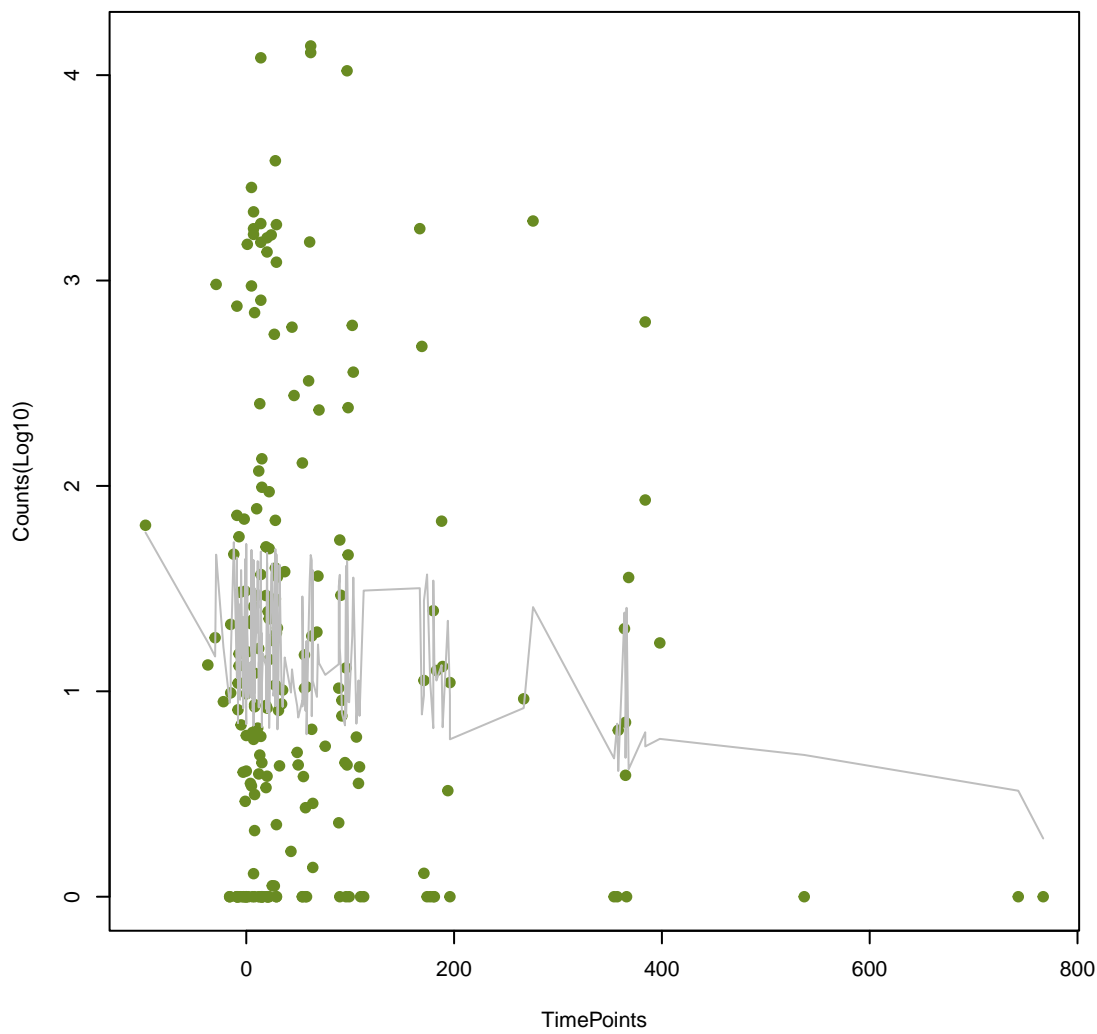
tet(A)
ANOVA P=0.187, adj. ANOVA-P=0.47



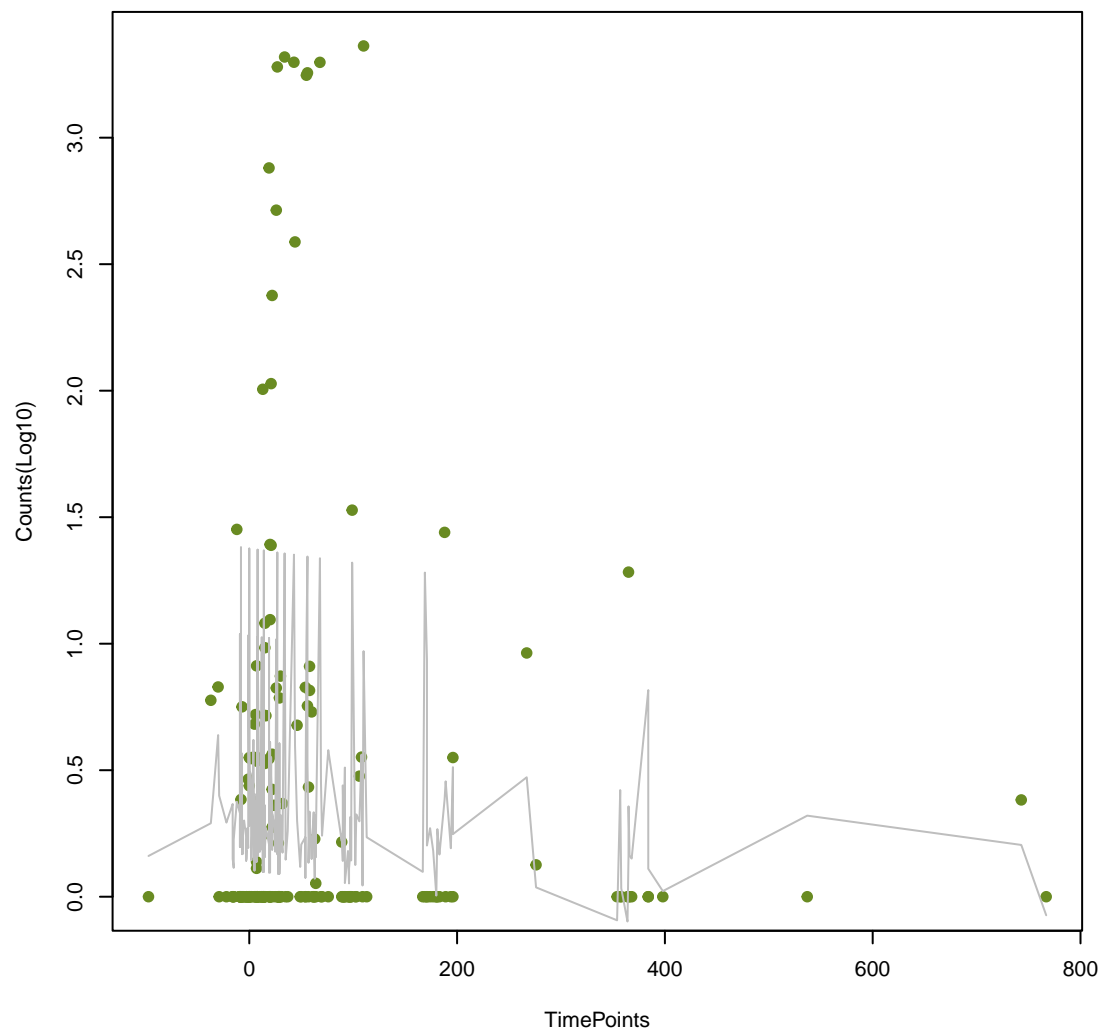
RbpA
ANOVA P=0.192, adj. ANOVA-P=0.478



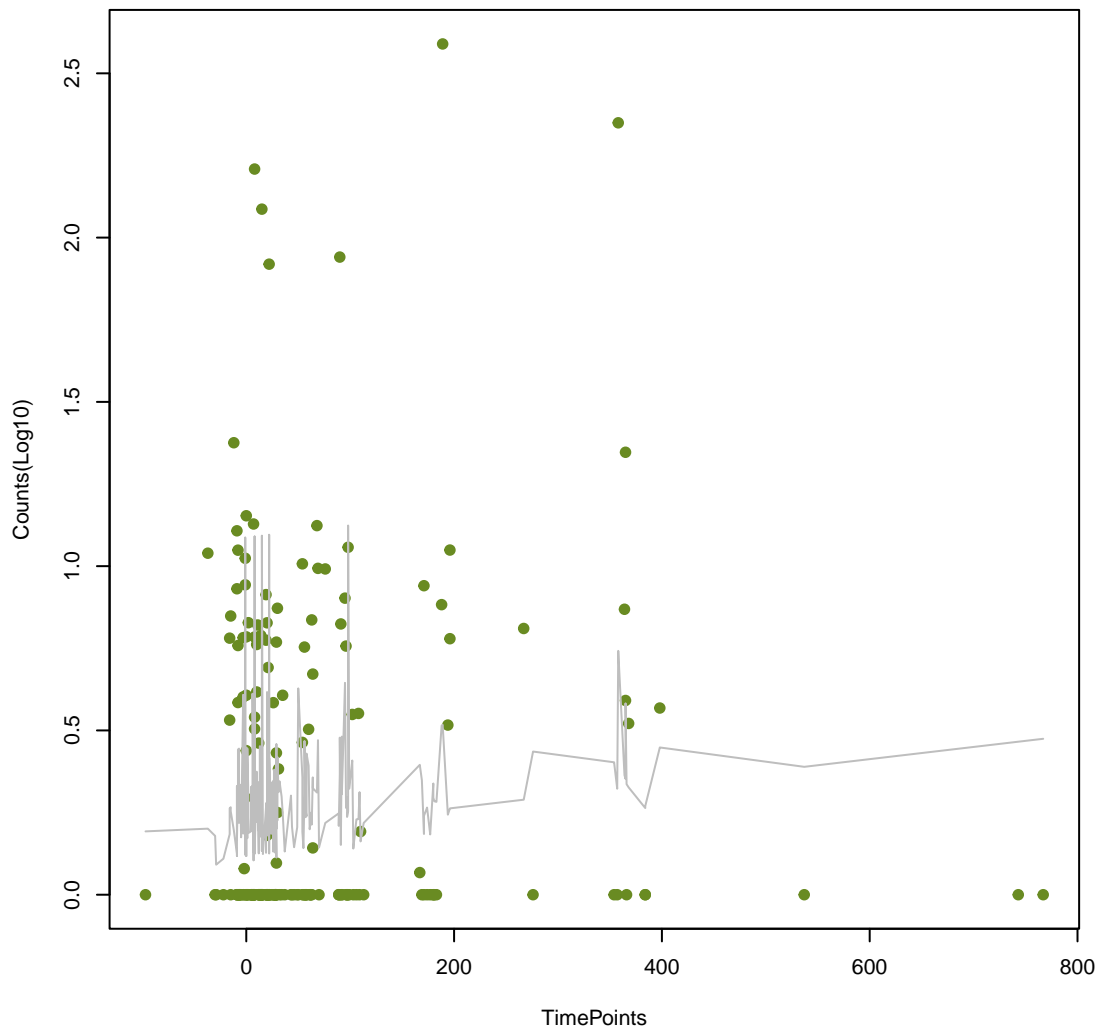
msrC
ANOVA P=0.198, adj. ANOVA-P=0.489



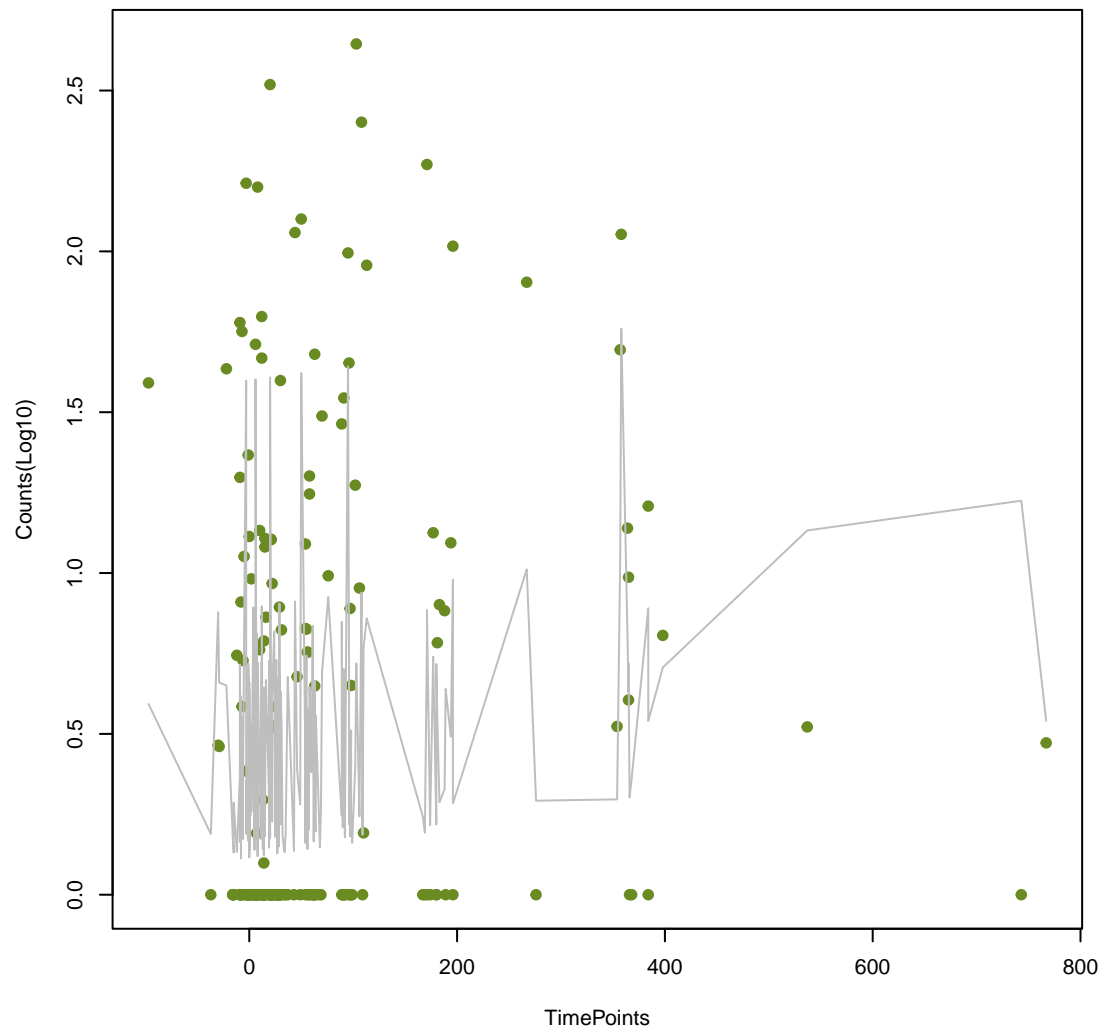
mecR1
ANOVA P=0.201, adj. ANOVA-P=0.492



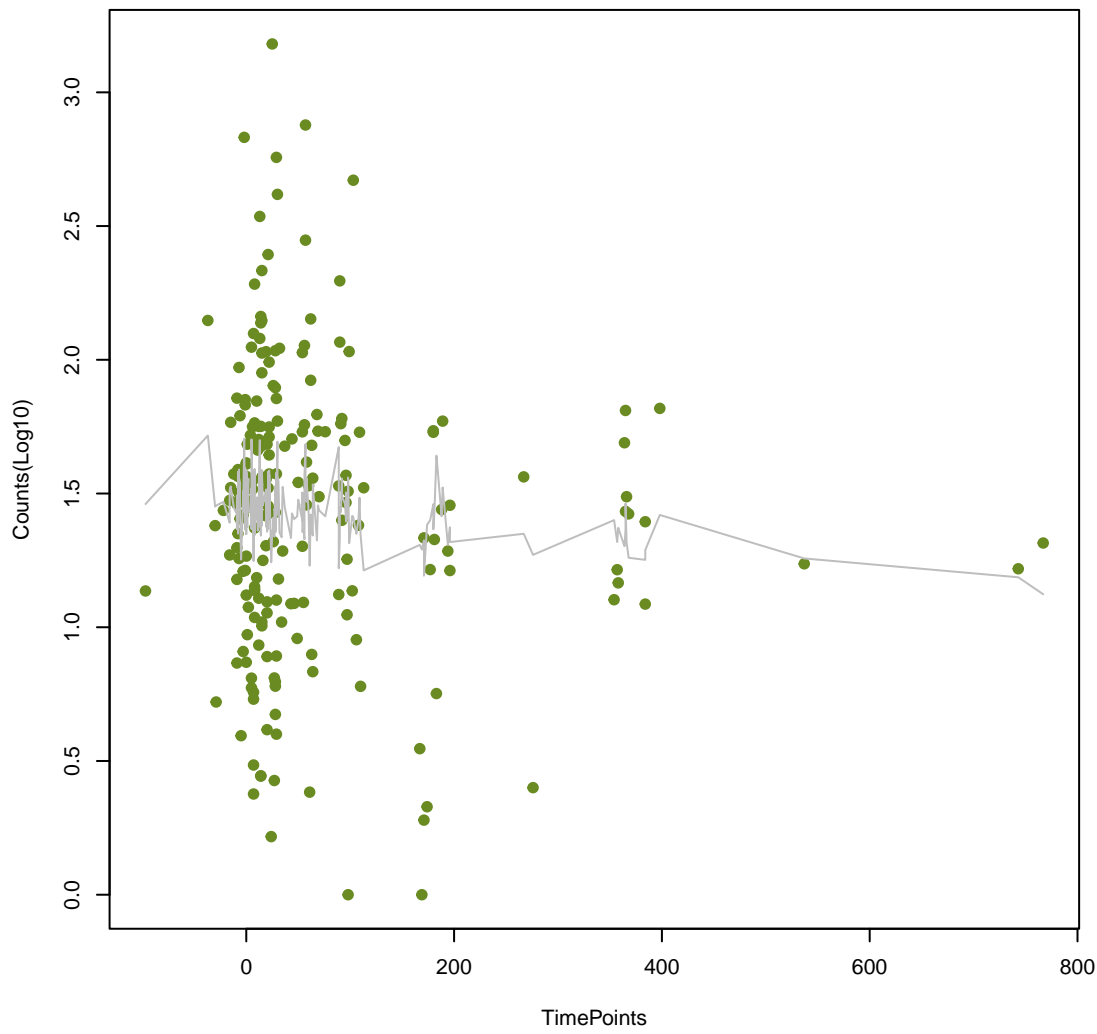
mef(B)
ANOVA P=0.204, adj. ANOVA-P=0.495



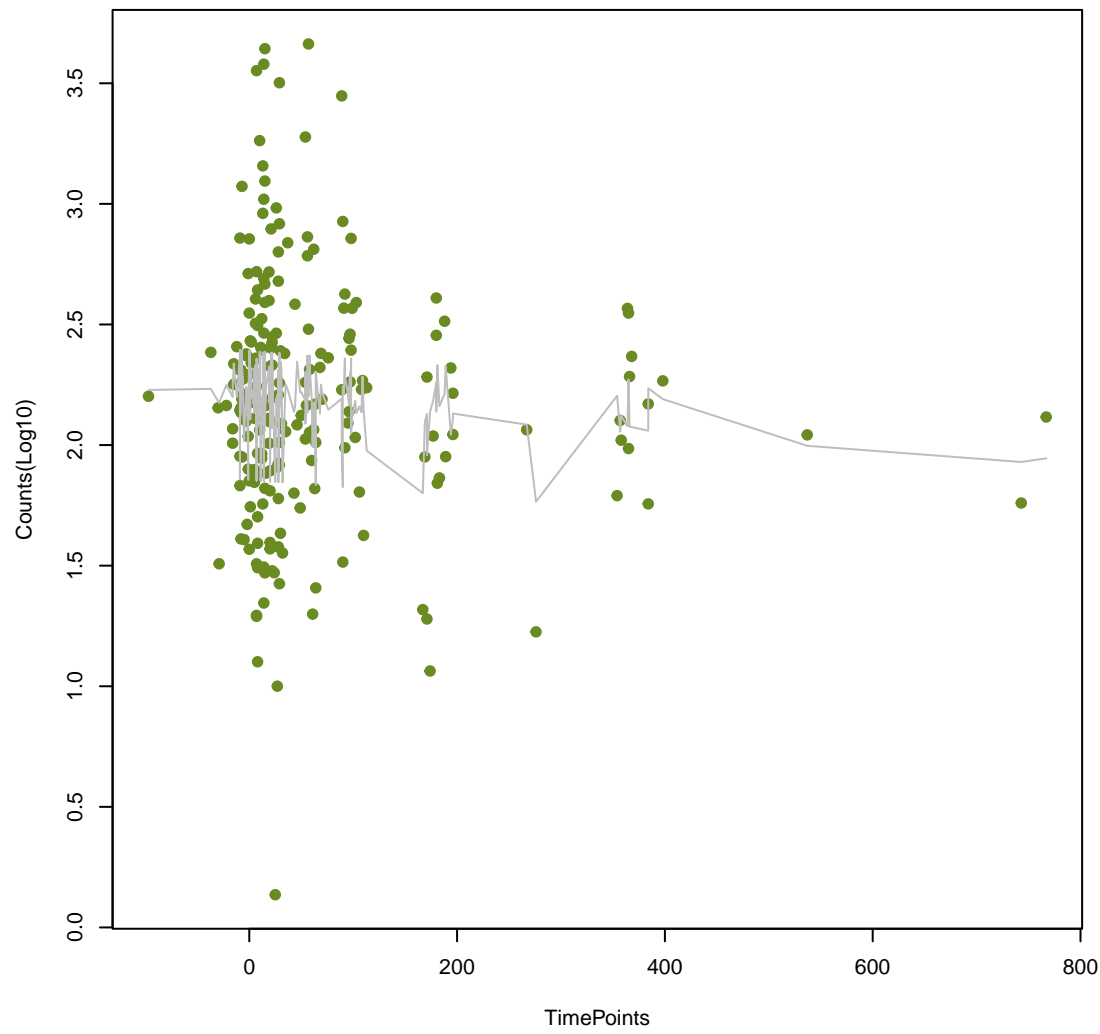
vanH_in_vanD_cl
ANOVA P=0.207, adj. ANOVA-P=0.5



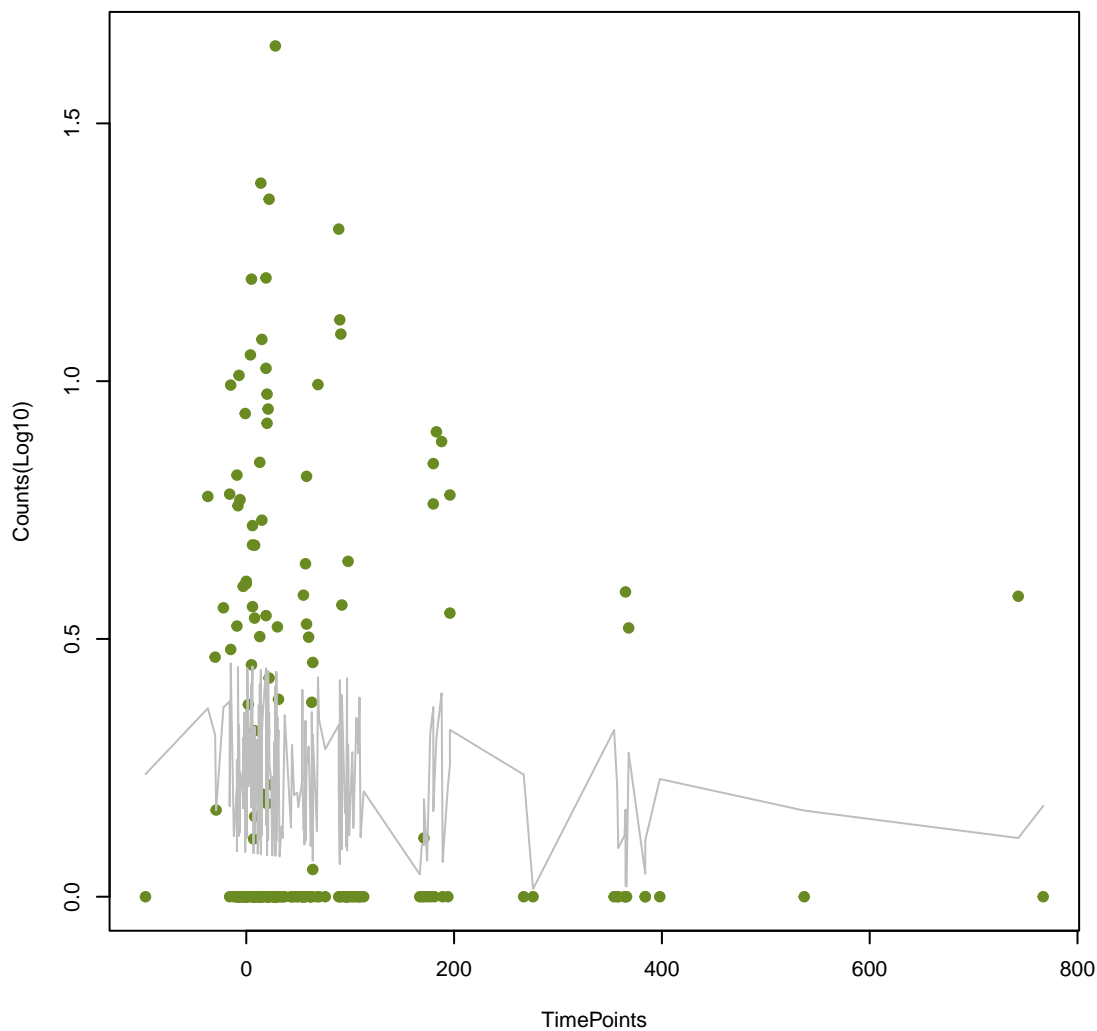
qacEdelta1
ANOVA P=0.216, adj. ANOVA-P=0.507



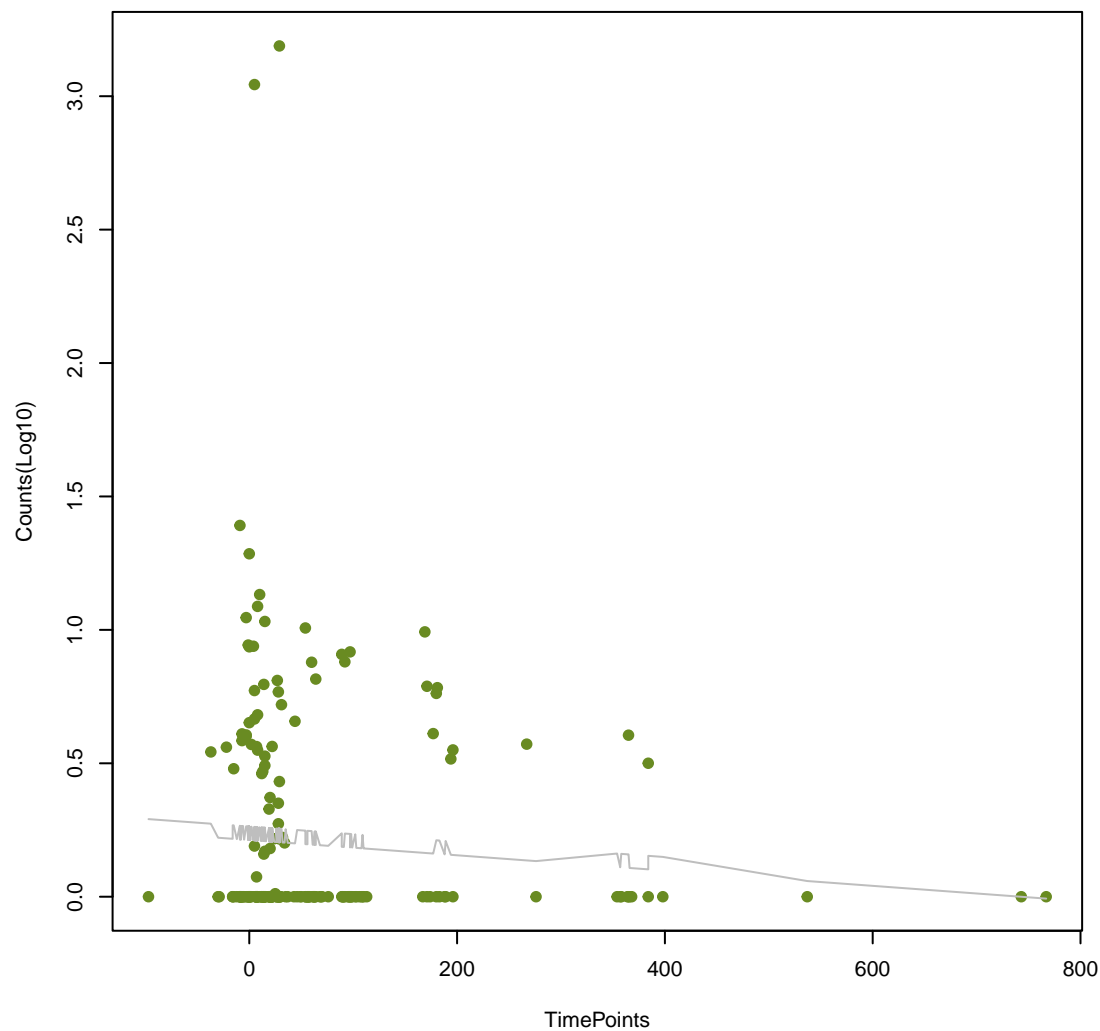
dfrB2
ANOVA P=0.218, adj. ANOVA-P=0.507



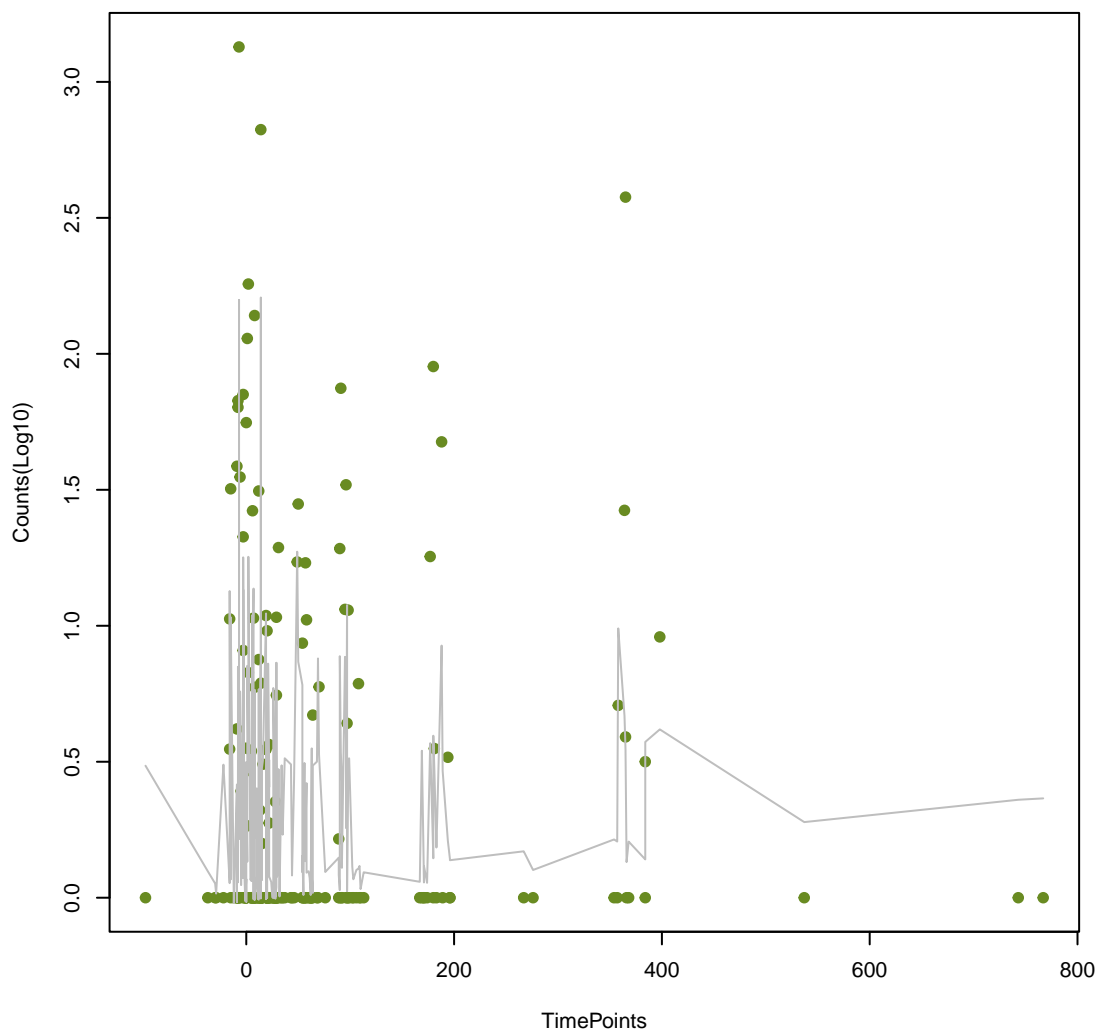
HERA-1
ANOVA P=0.219, adj. ANOVA-P=0.507



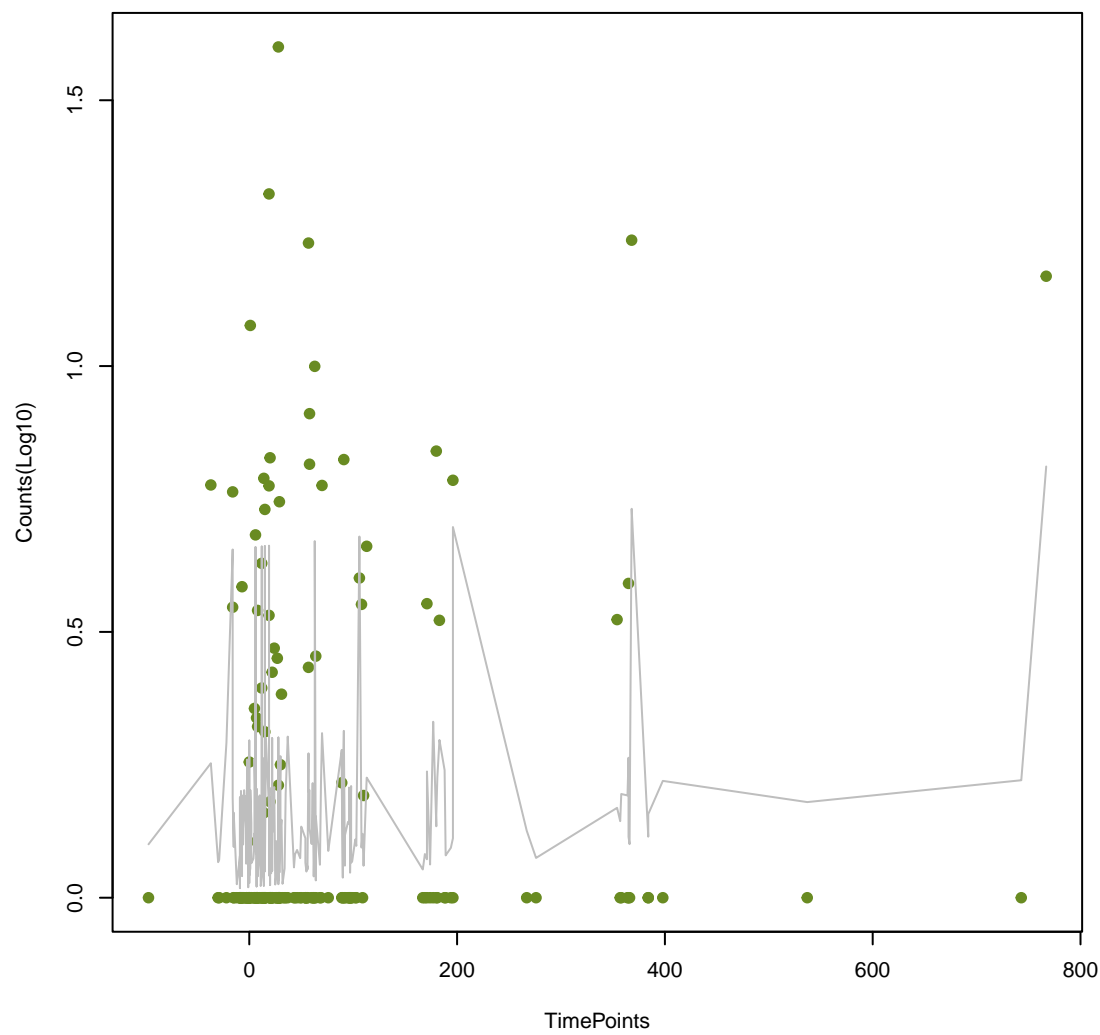
mexN
ANOVA P=0.221, adj. ANOVA-P=0.507



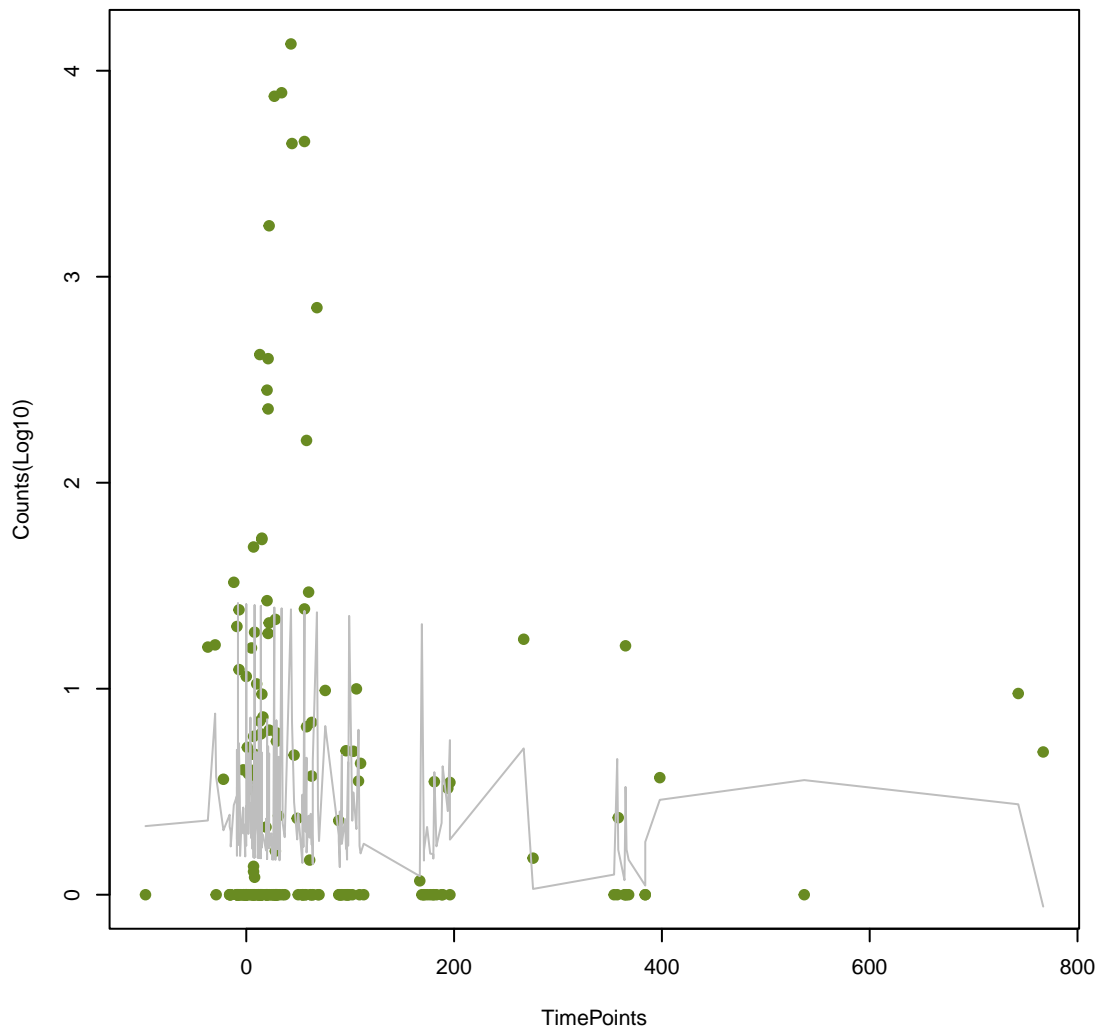
CfxA6
ANOVA P=0.221, adj. ANOVA-P=0.507



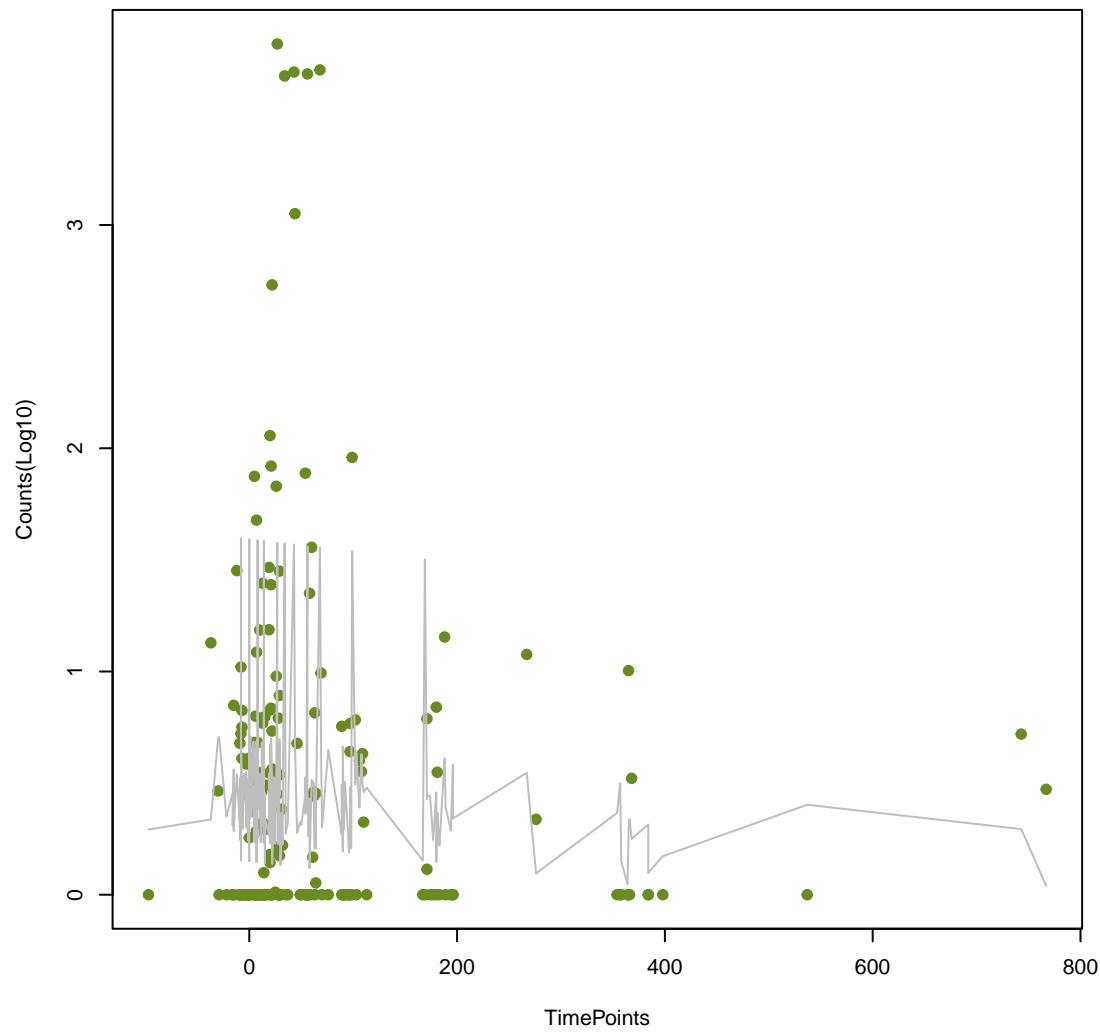
CARB-42
ANOVA P=0.222, adj. ANOVA-P=0.507



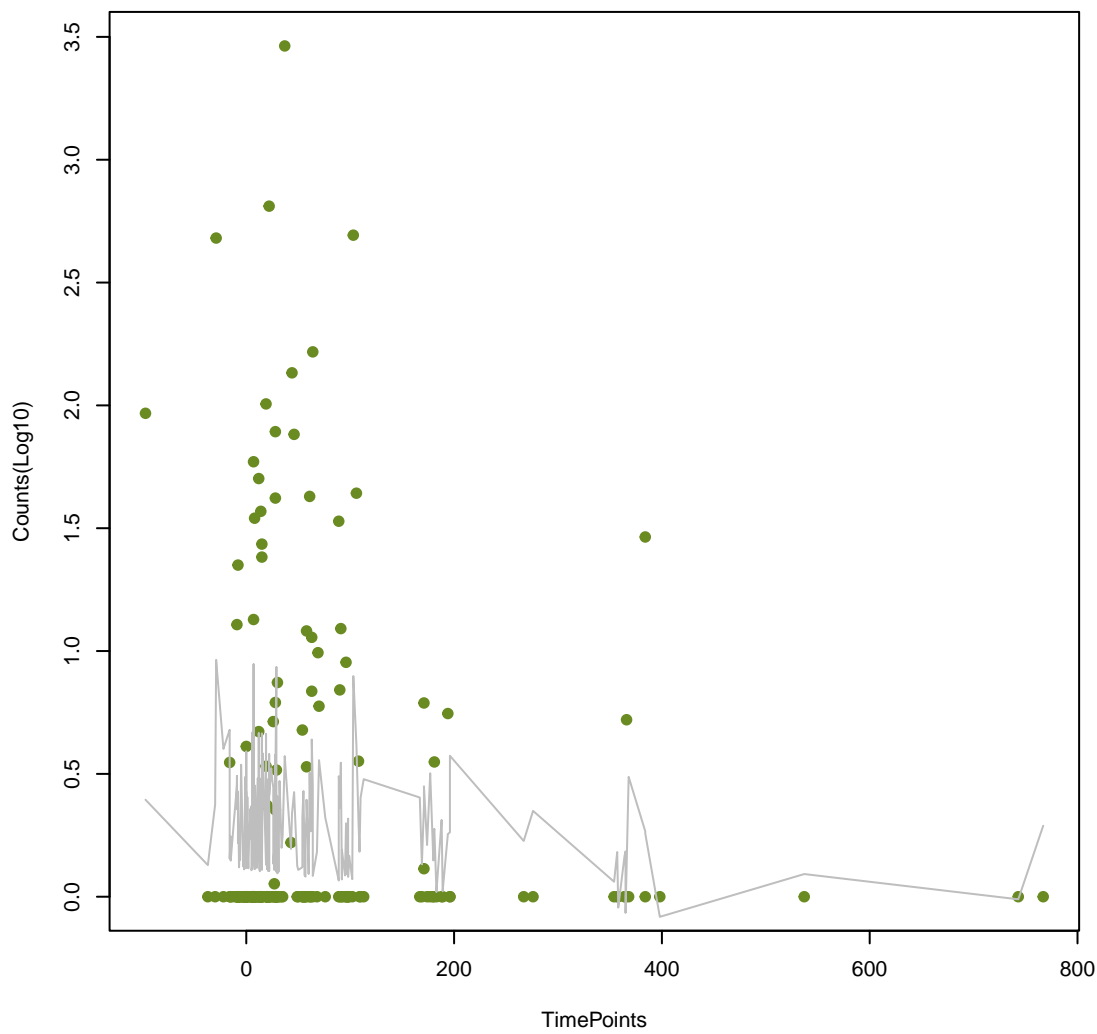
ErmC
ANOVA P=0.223, adj. ANOVA-P=0.507



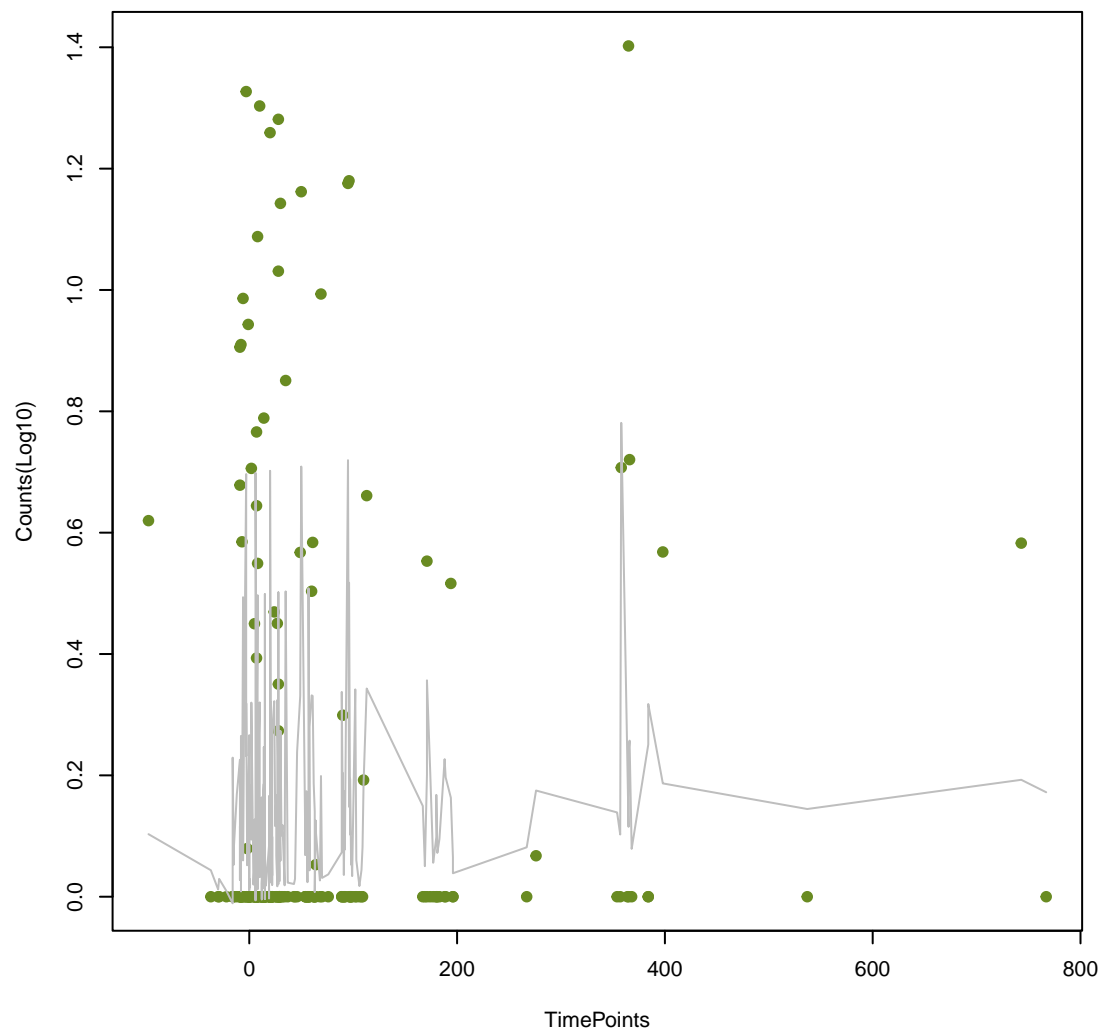
qacA
ANOVA P=0.225, adj. ANOVA-P=0.507



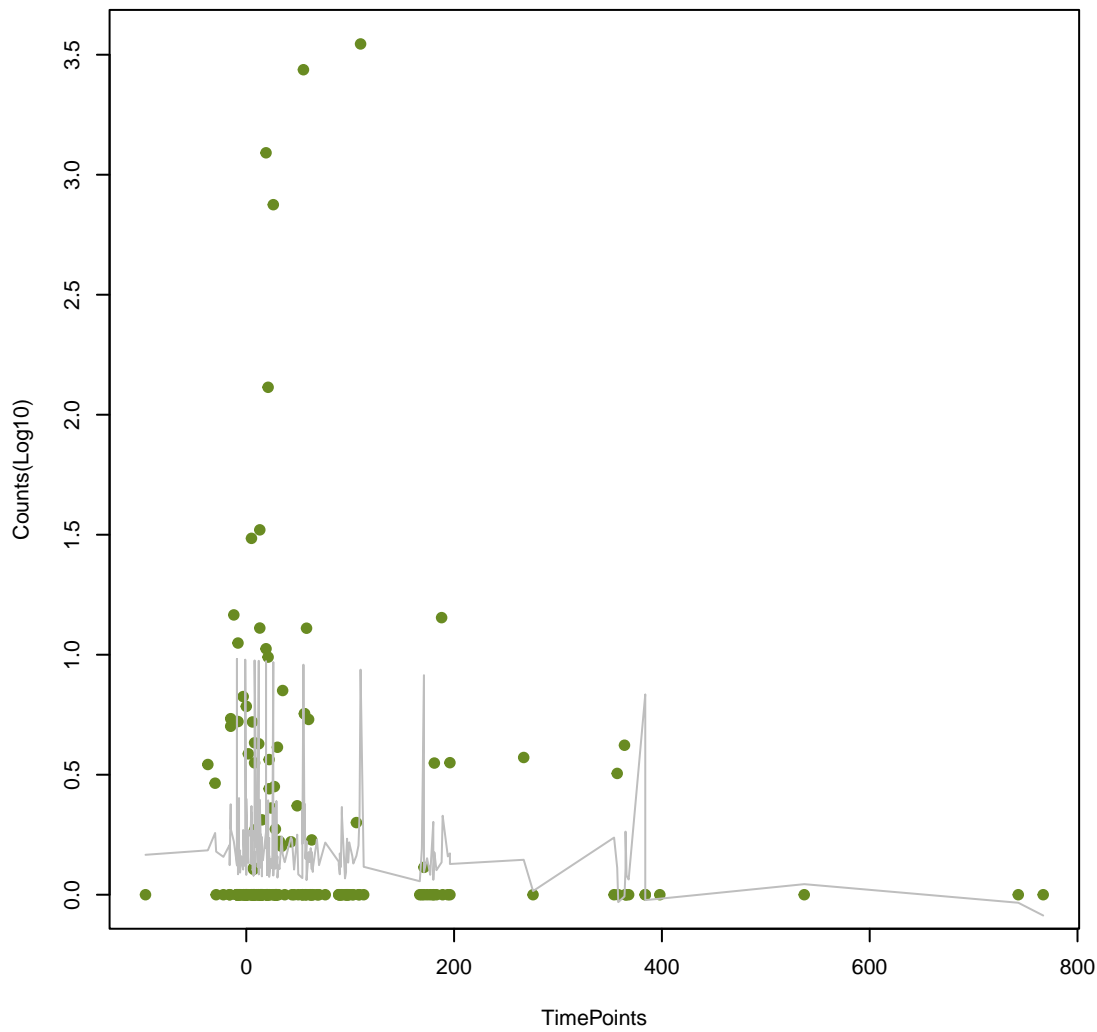
vanR_in_vanC_cl
ANOVA P=0.225, adj. ANOVA-P=0.507



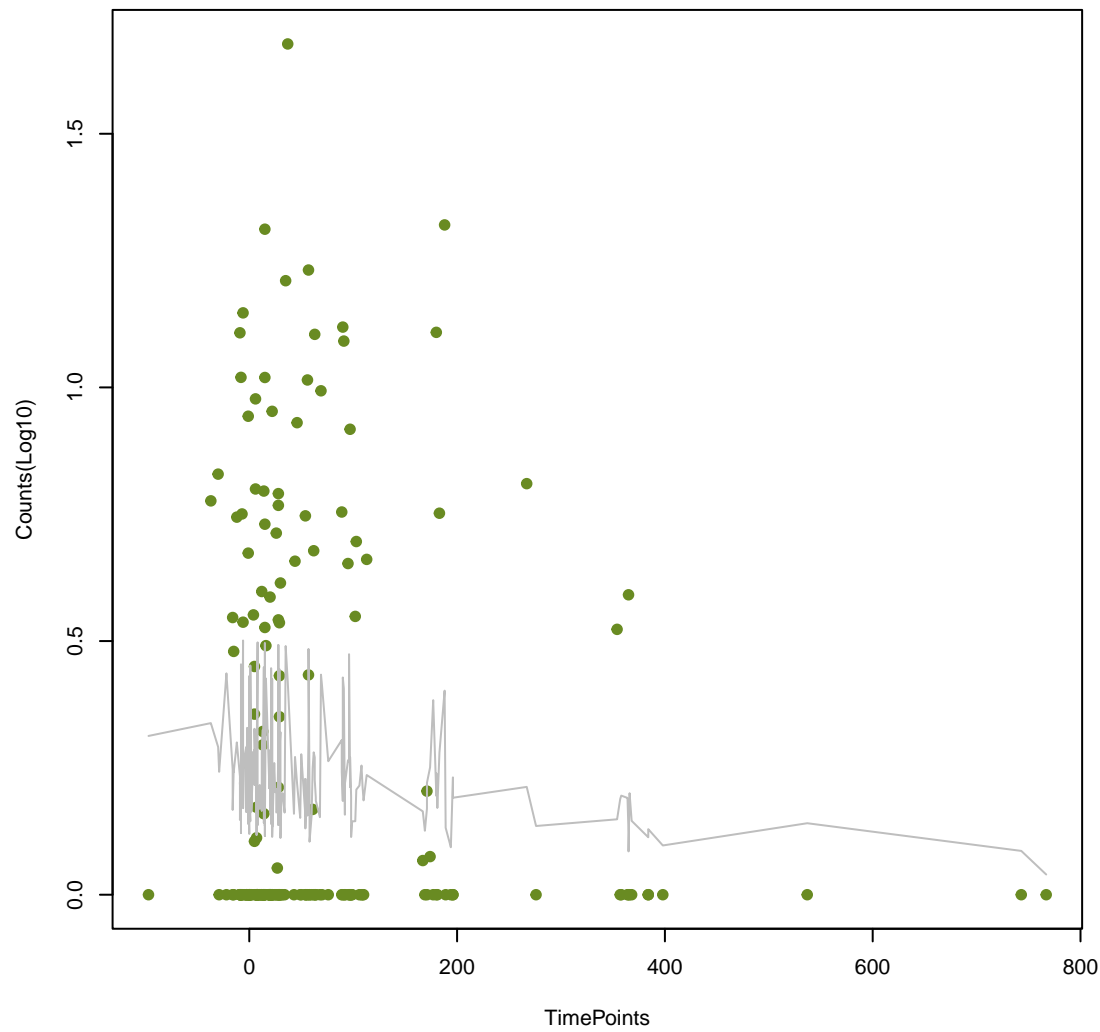
OXA-209
ANOVA P=0.228, adj. ANOVA-P=0.508



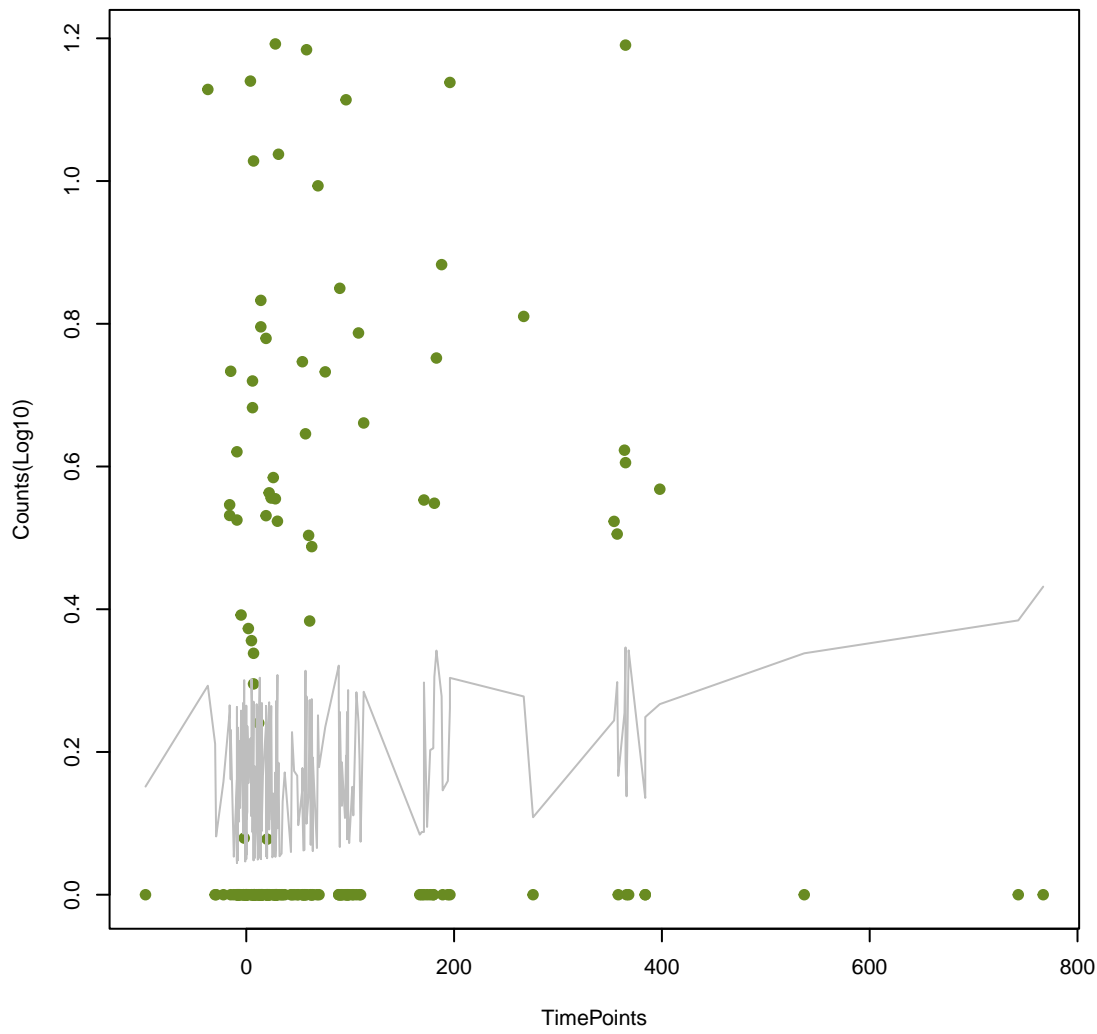
msrA
ANOVA P=0.23, adj. ANOVA-P=0.509



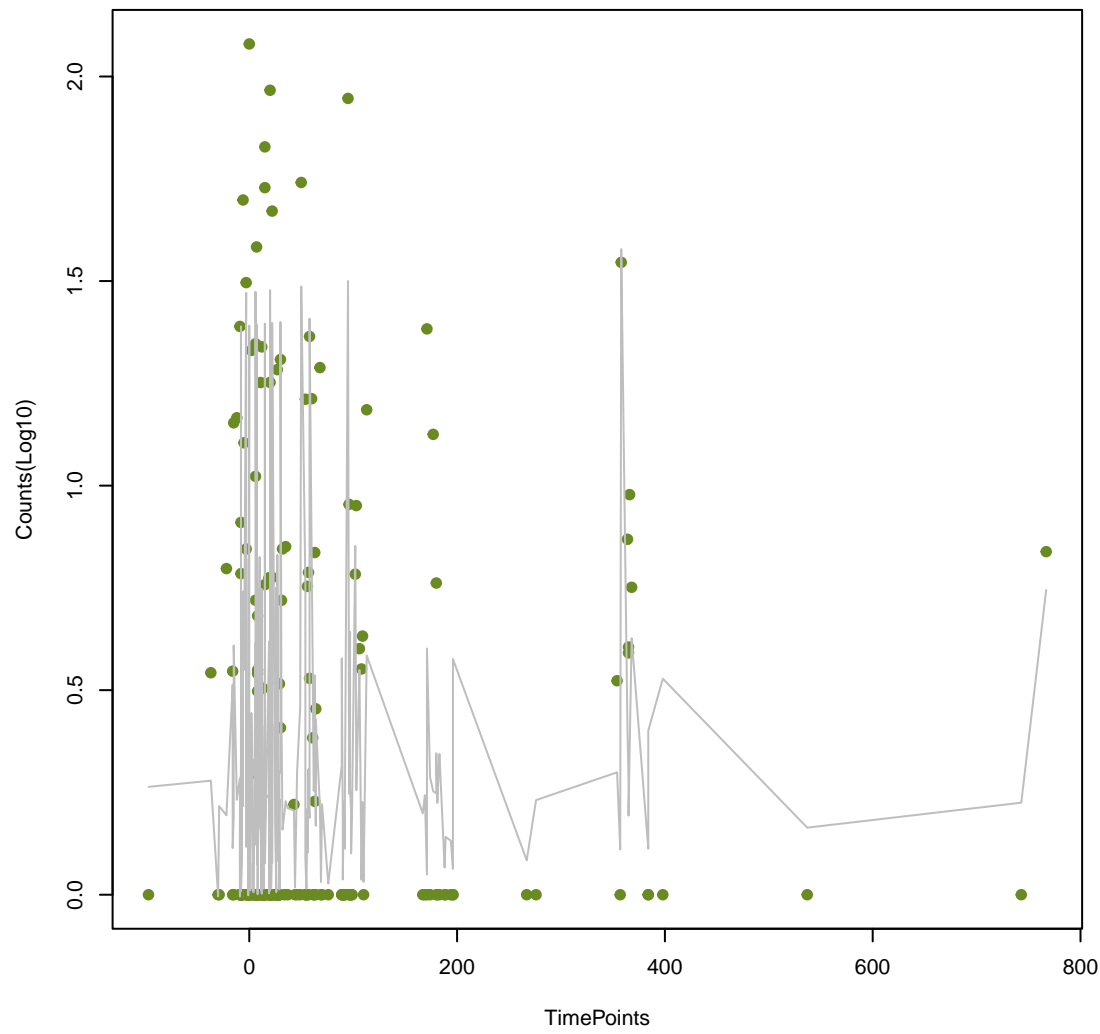
AxyY
ANOVA P=0.237, adj. ANOVA-P=0.518



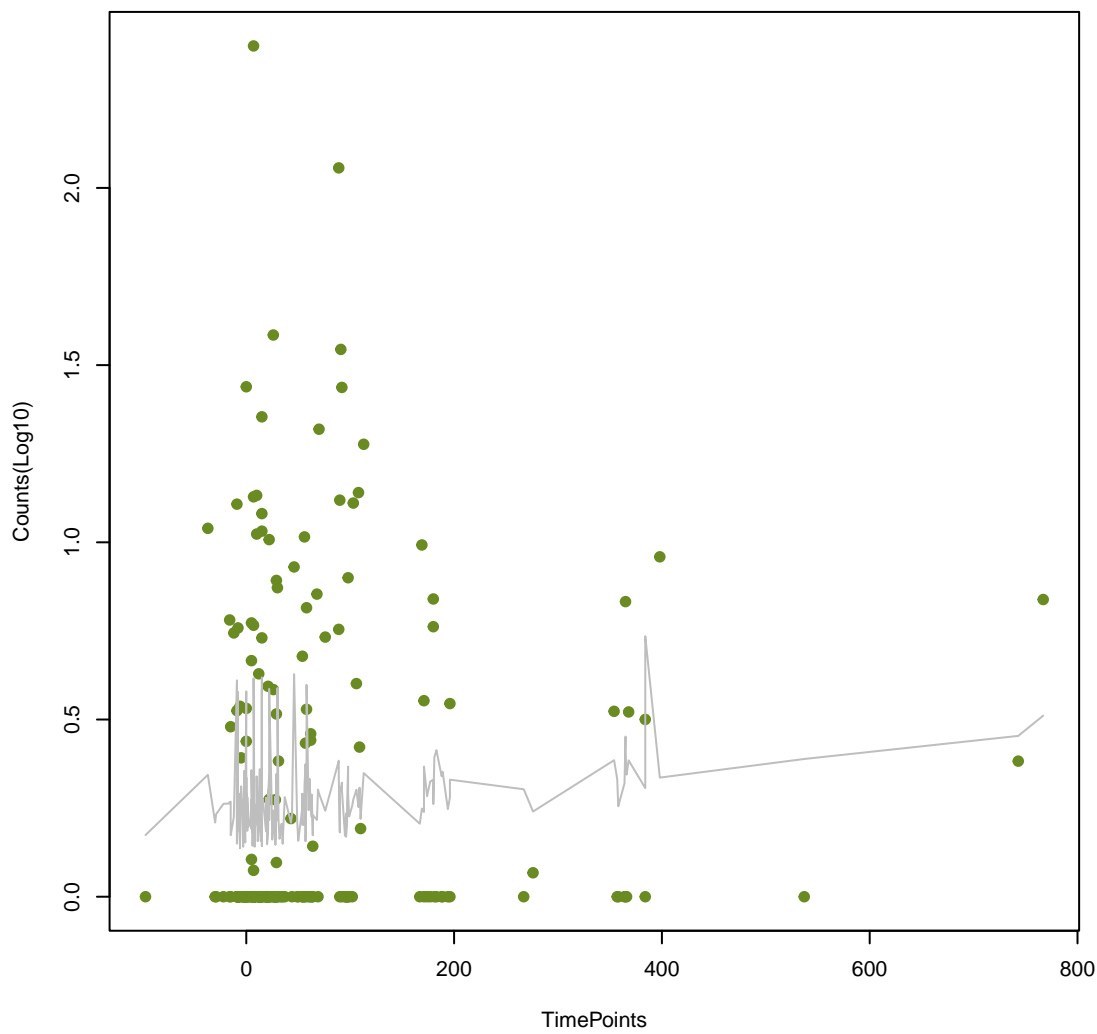
kamB
ANOVA P=0.239, adj. ANOVA-P=0.518



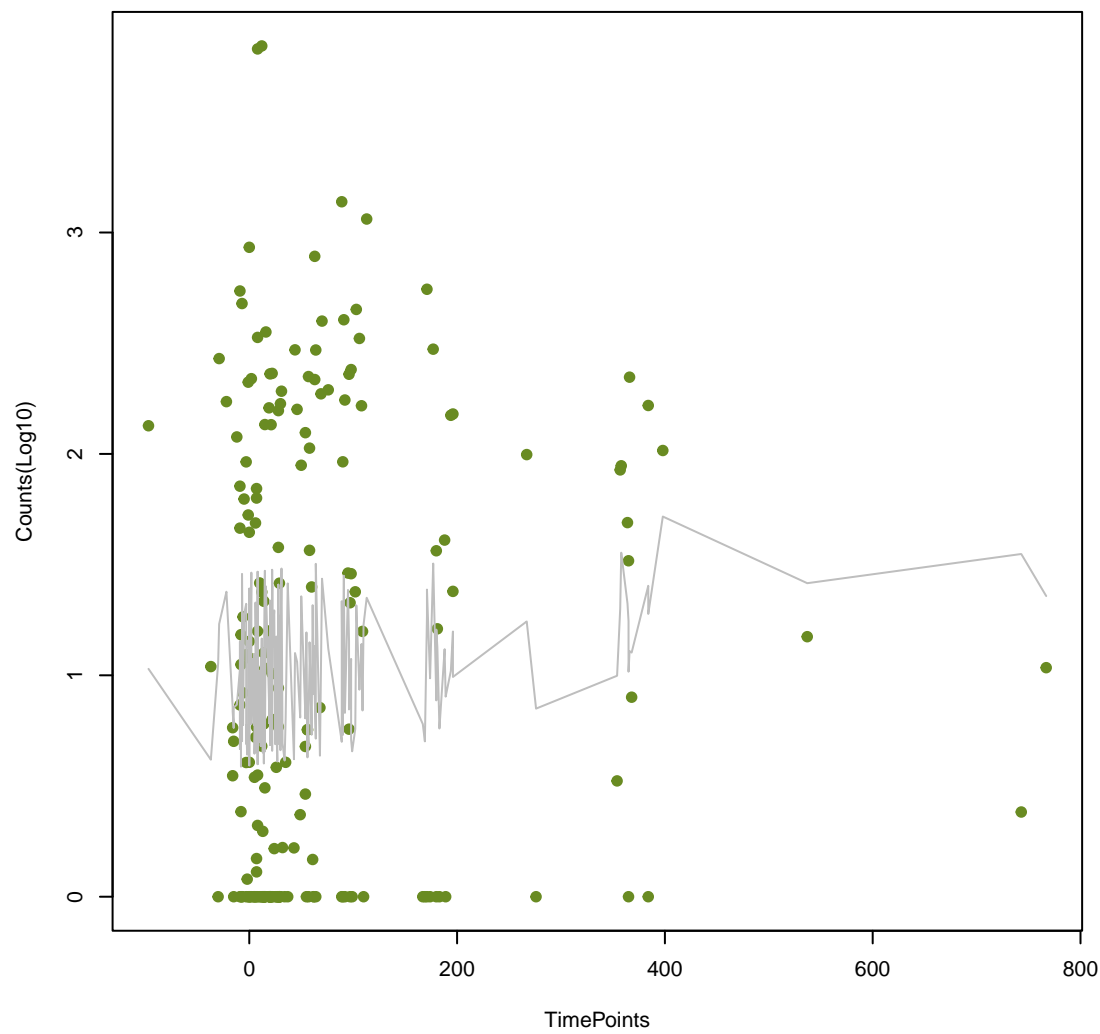
Tet(X3)
ANOVA P=0.241, adj. ANOVA-P=0.518



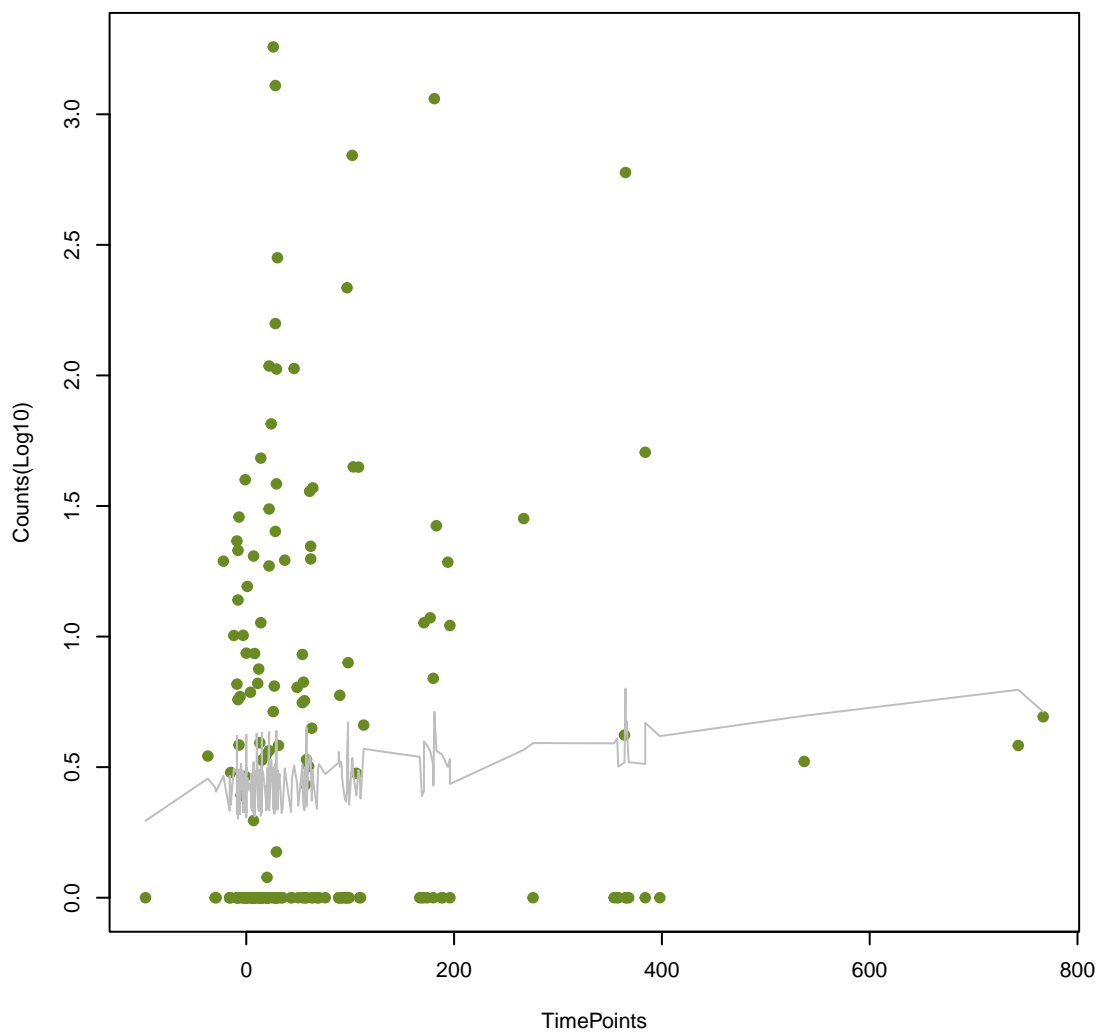
rphA
ANOVA P=0.241, adj. ANOVA-P=0.518



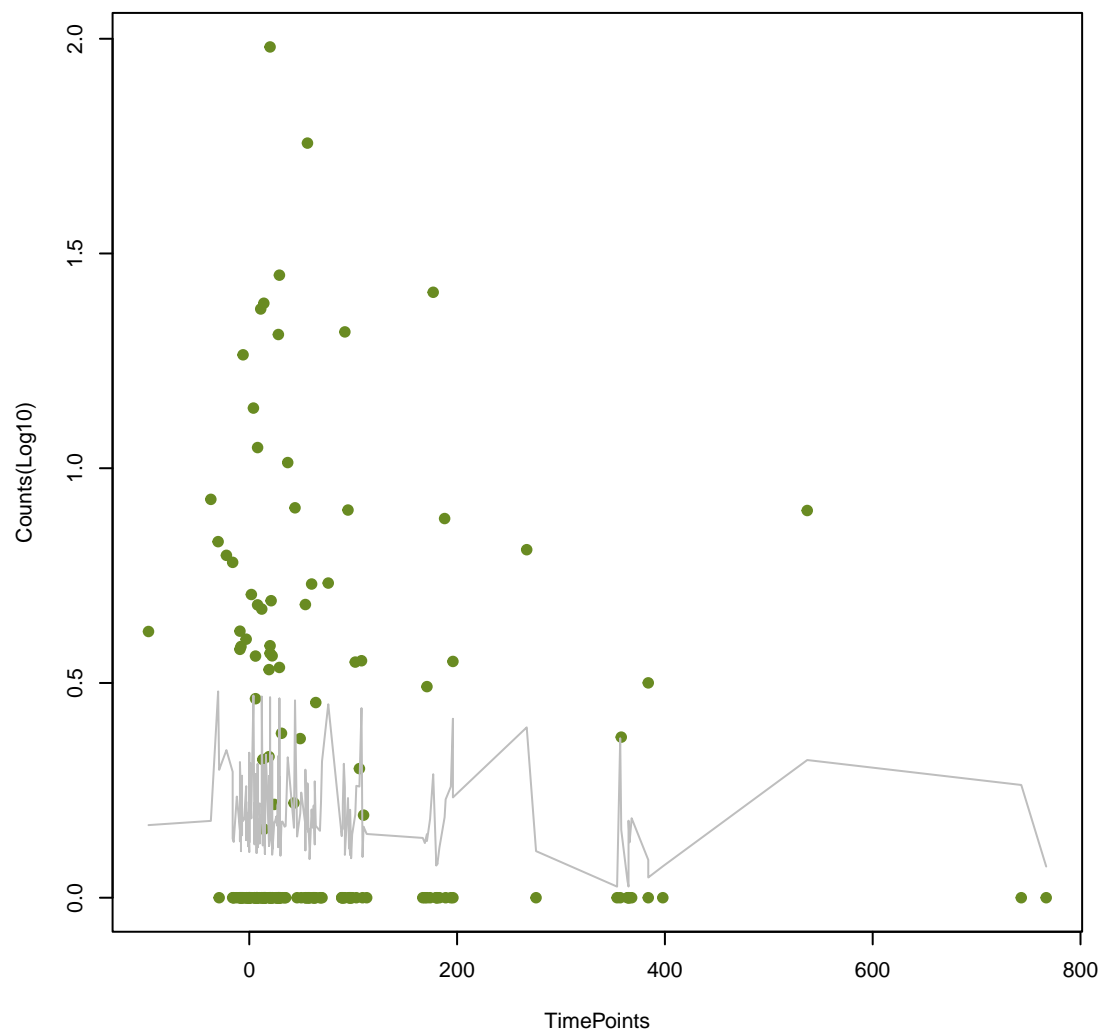
vanR_in_vanD_cl
ANOVA P=0.244, adj. ANOVA-P=0.522



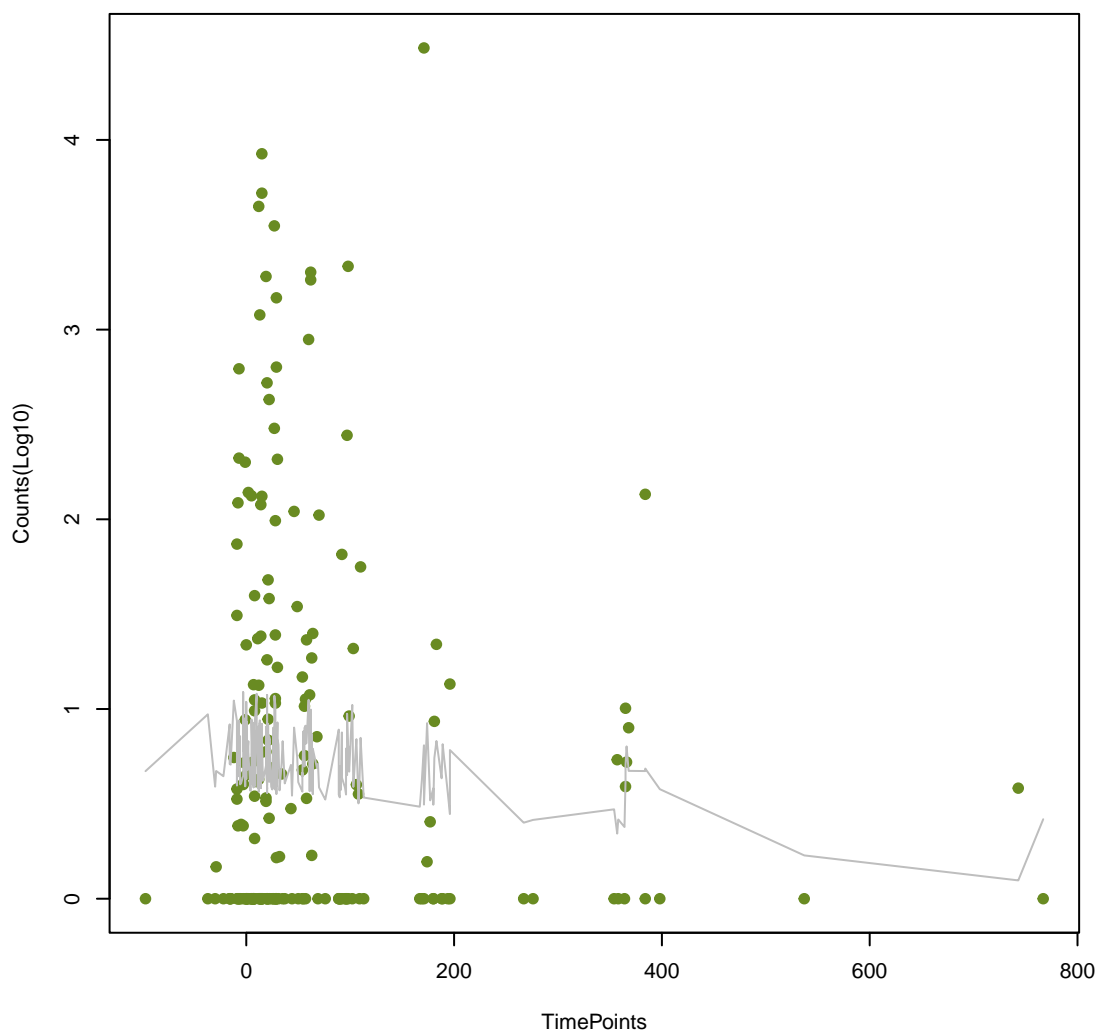
Kpne_acrA
ANOVA P=0.249, adj. ANOVA-P=0.523



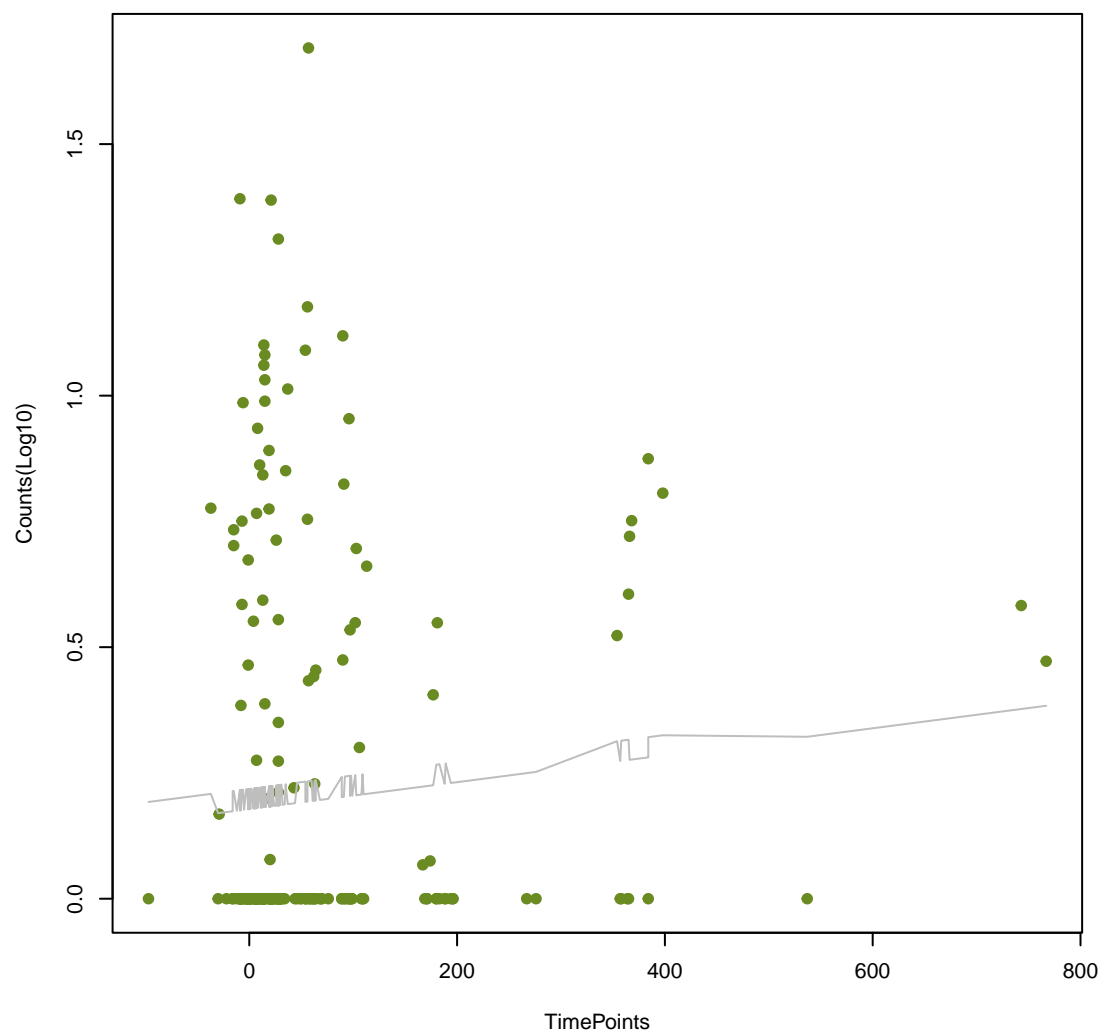
mphL
ANOVA P=0.251, adj. ANOVA-P=0.523



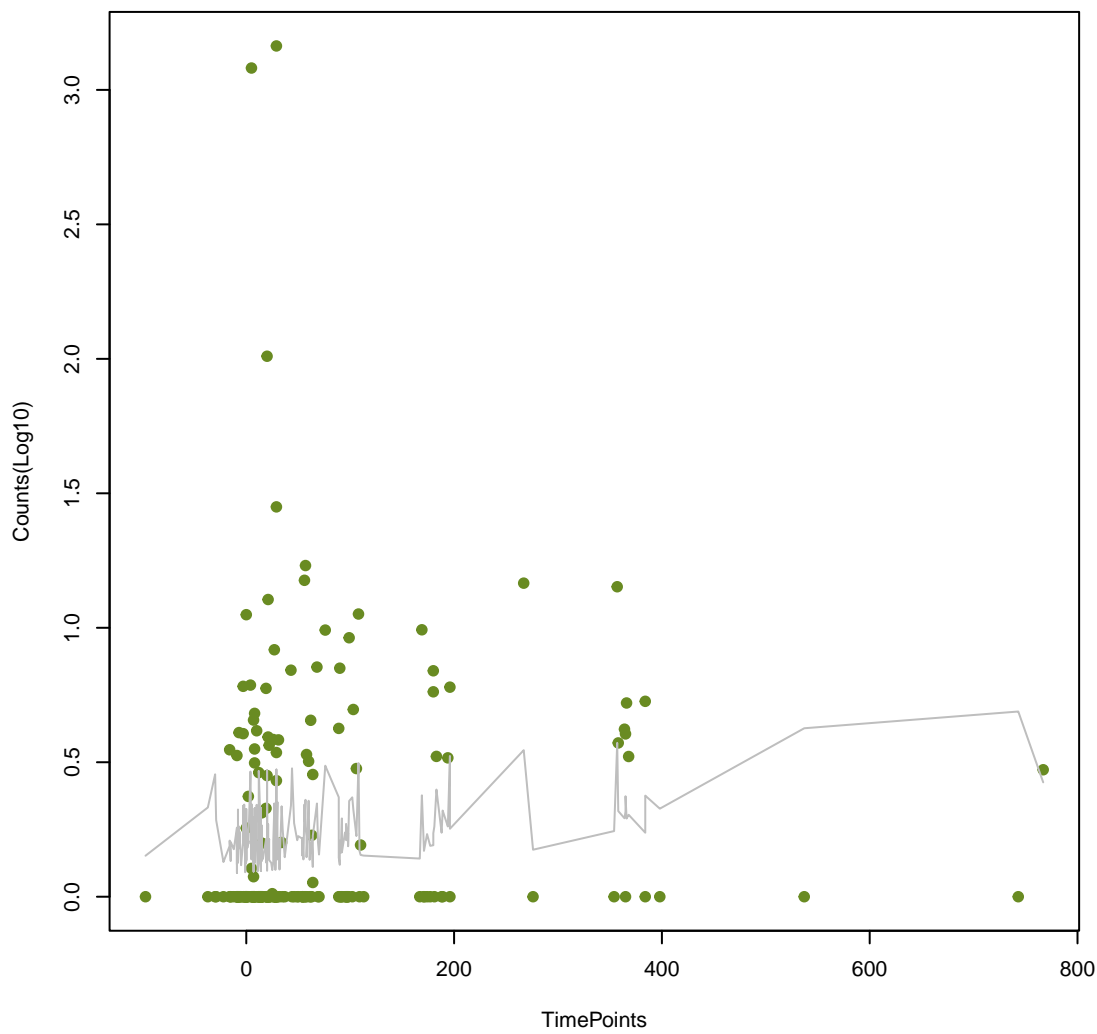
emeA
ANOVA P=0.252, adj. ANOVA-P=0.523



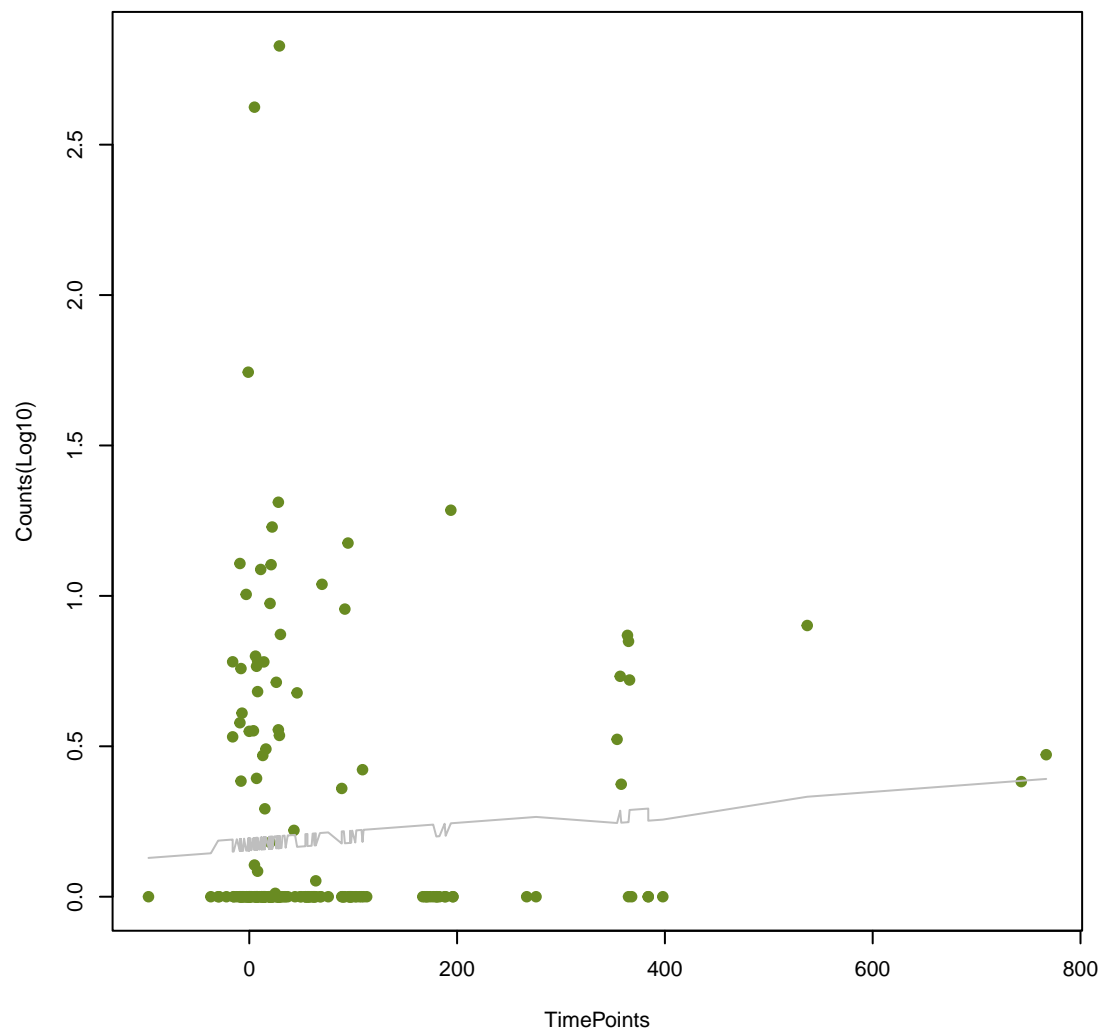
OKP-B-12
ANOVA P=0.252, adj. ANOVA-P=0.523



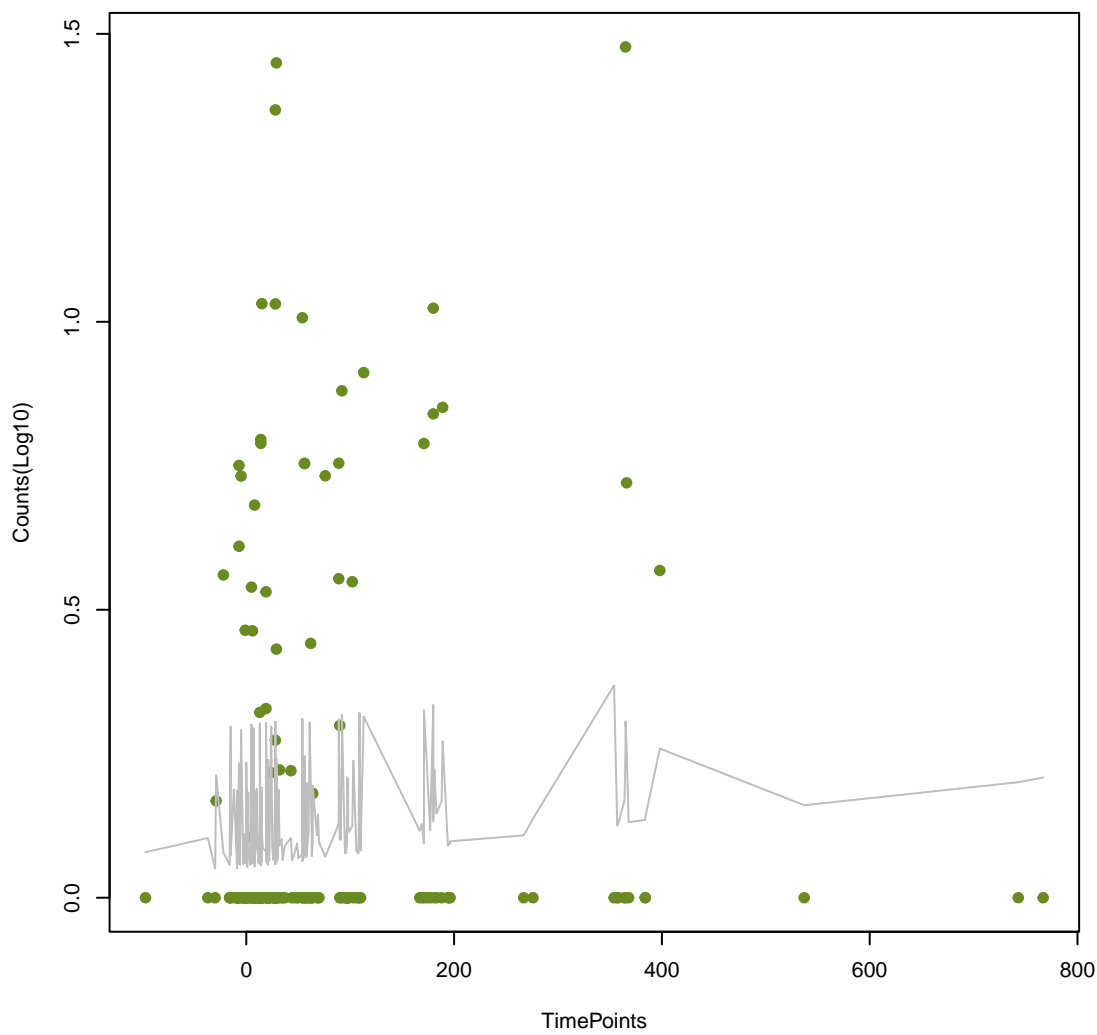
MexK
ANOVA P=0.254, adj. ANOVA-P=0.523



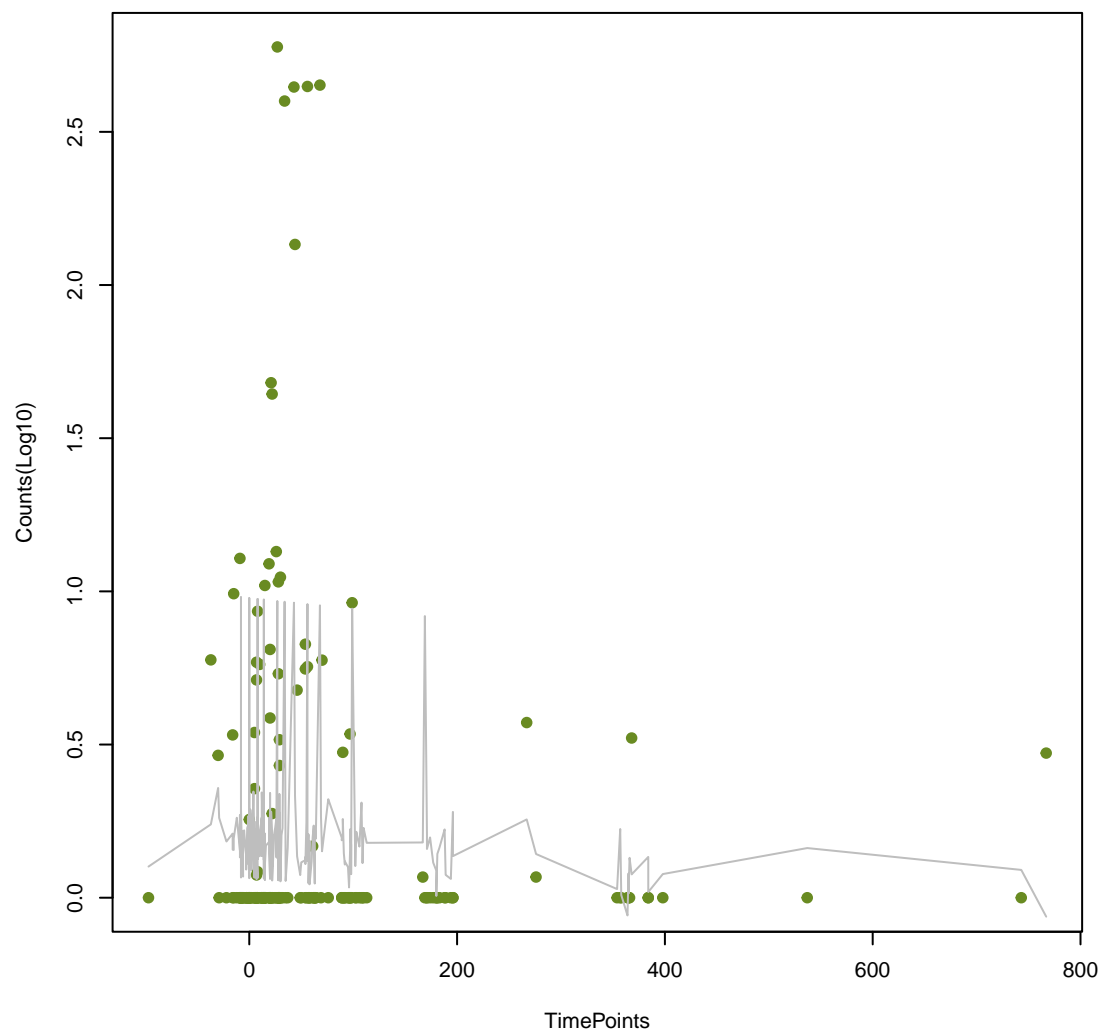
ParS
ANOVA P=0.261, adj. ANOVA-P=0.535



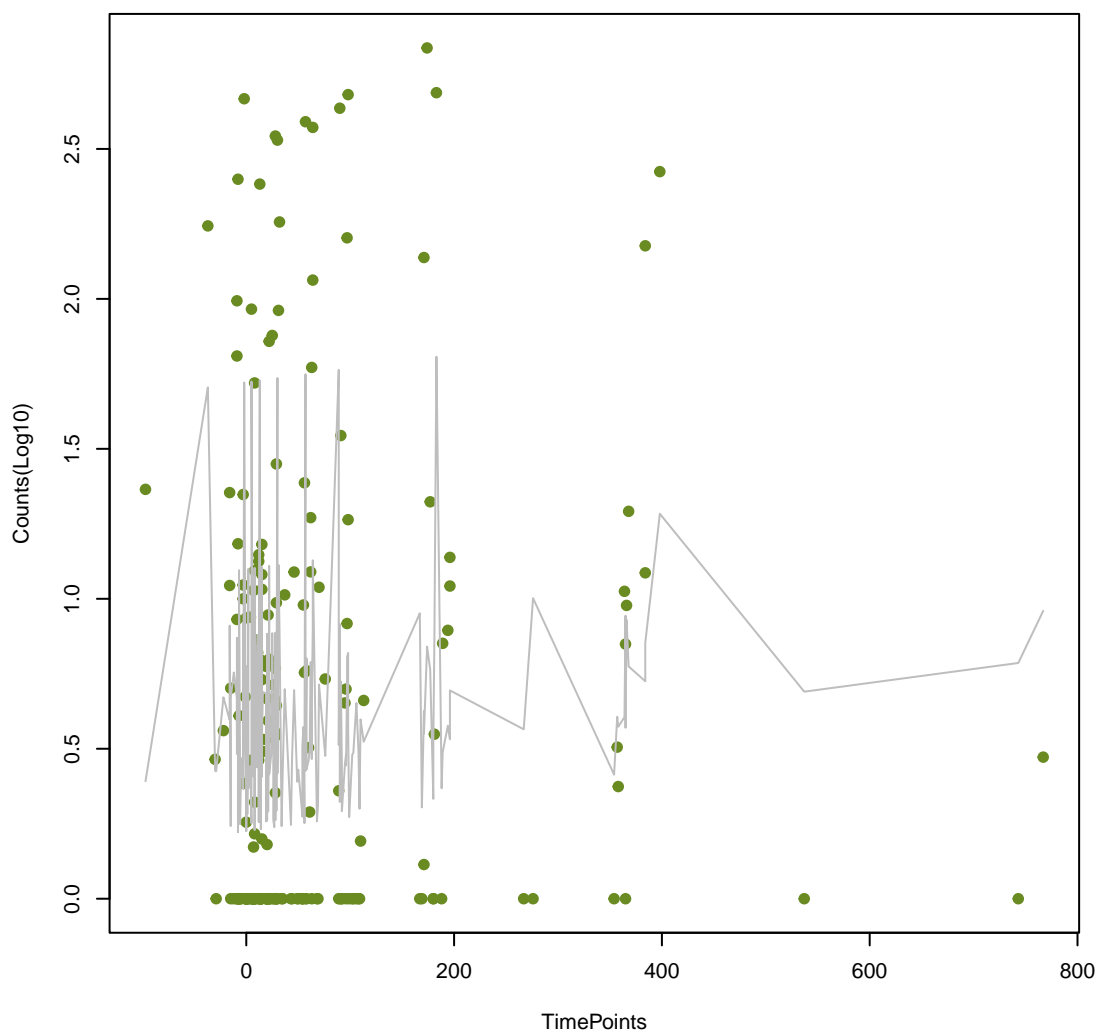
LEN-14
ANOVA P=0.265, adj. ANOVA-P=0.538



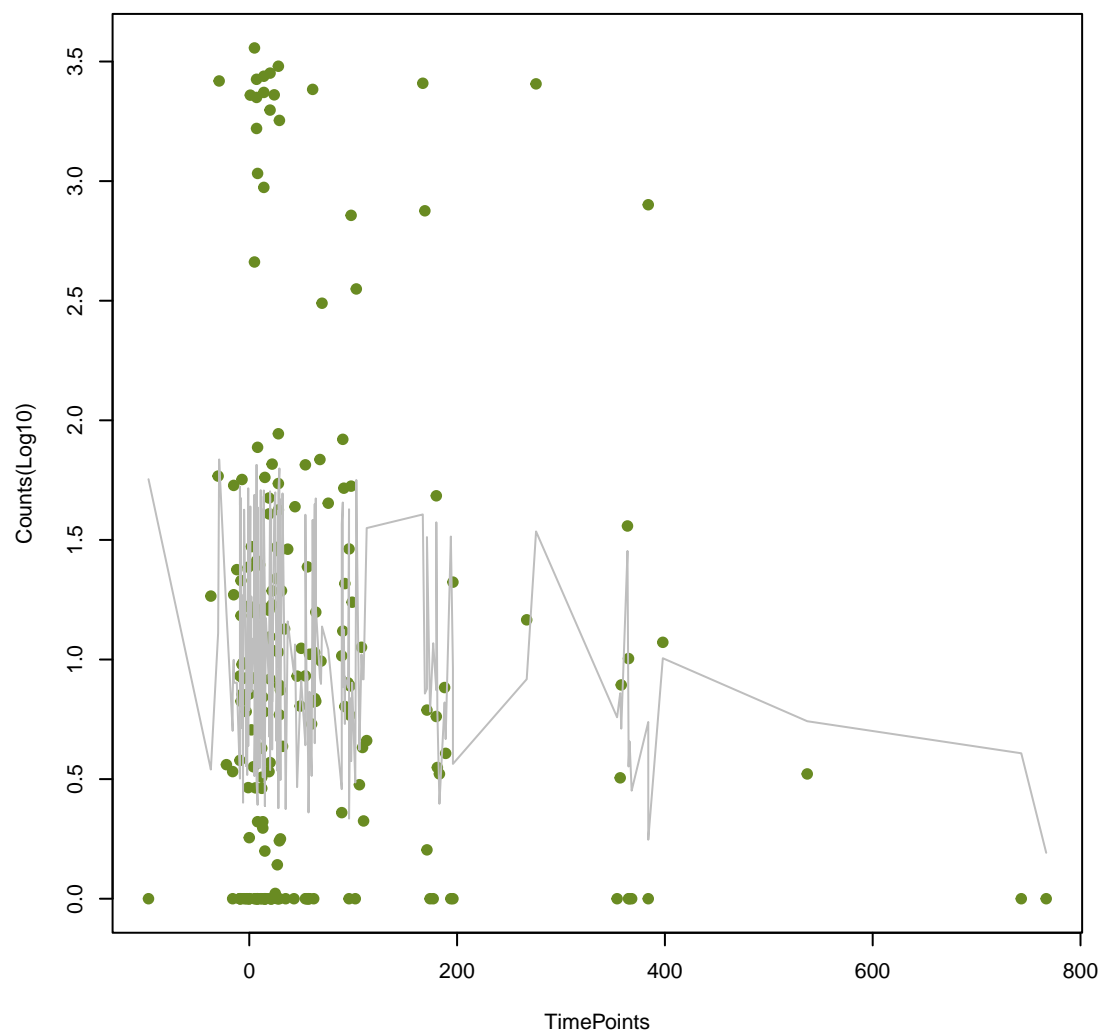
qacB
ANOVA P=0.266, adj. ANOVA-P=0.538



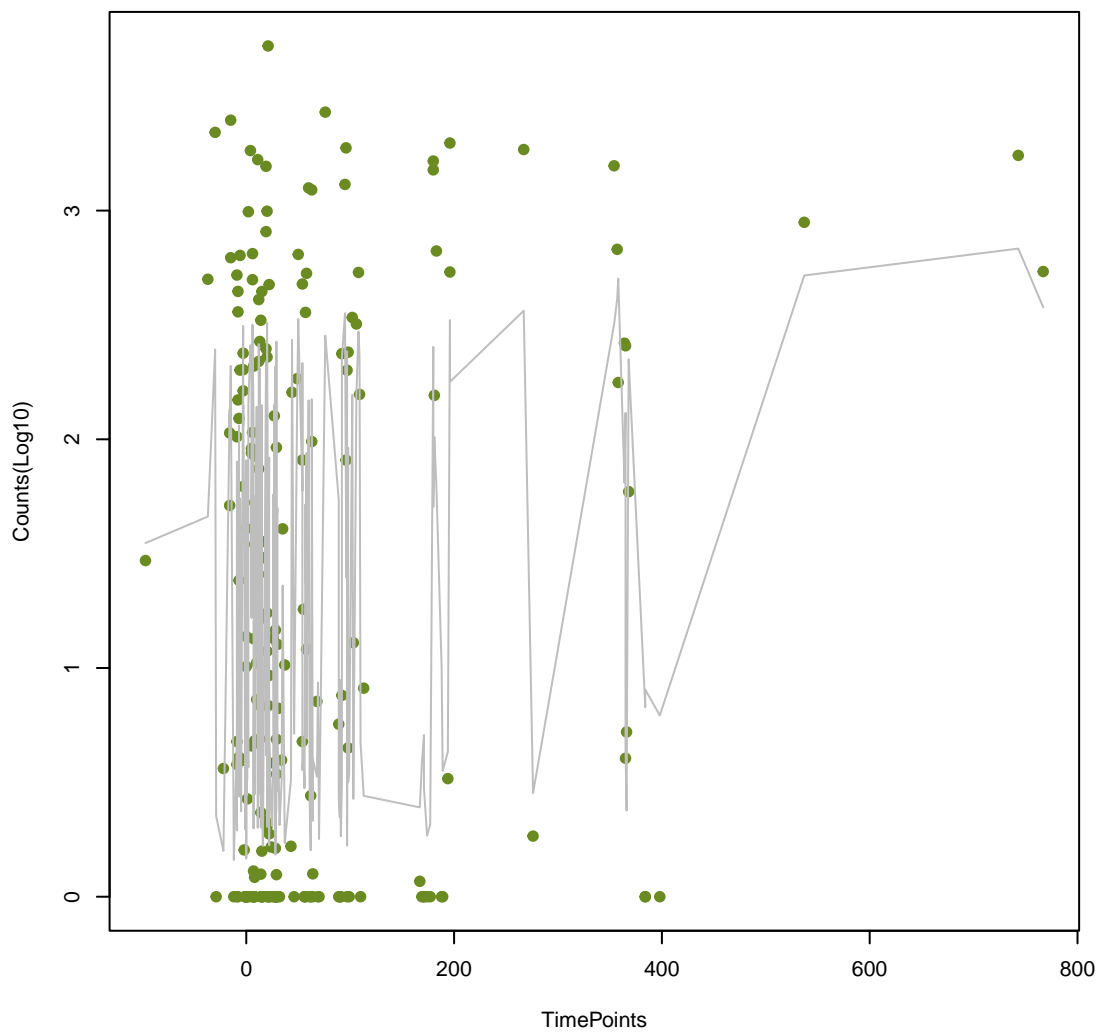
ugd
ANOVA P=0.268, adj. ANOVA-P=0.539



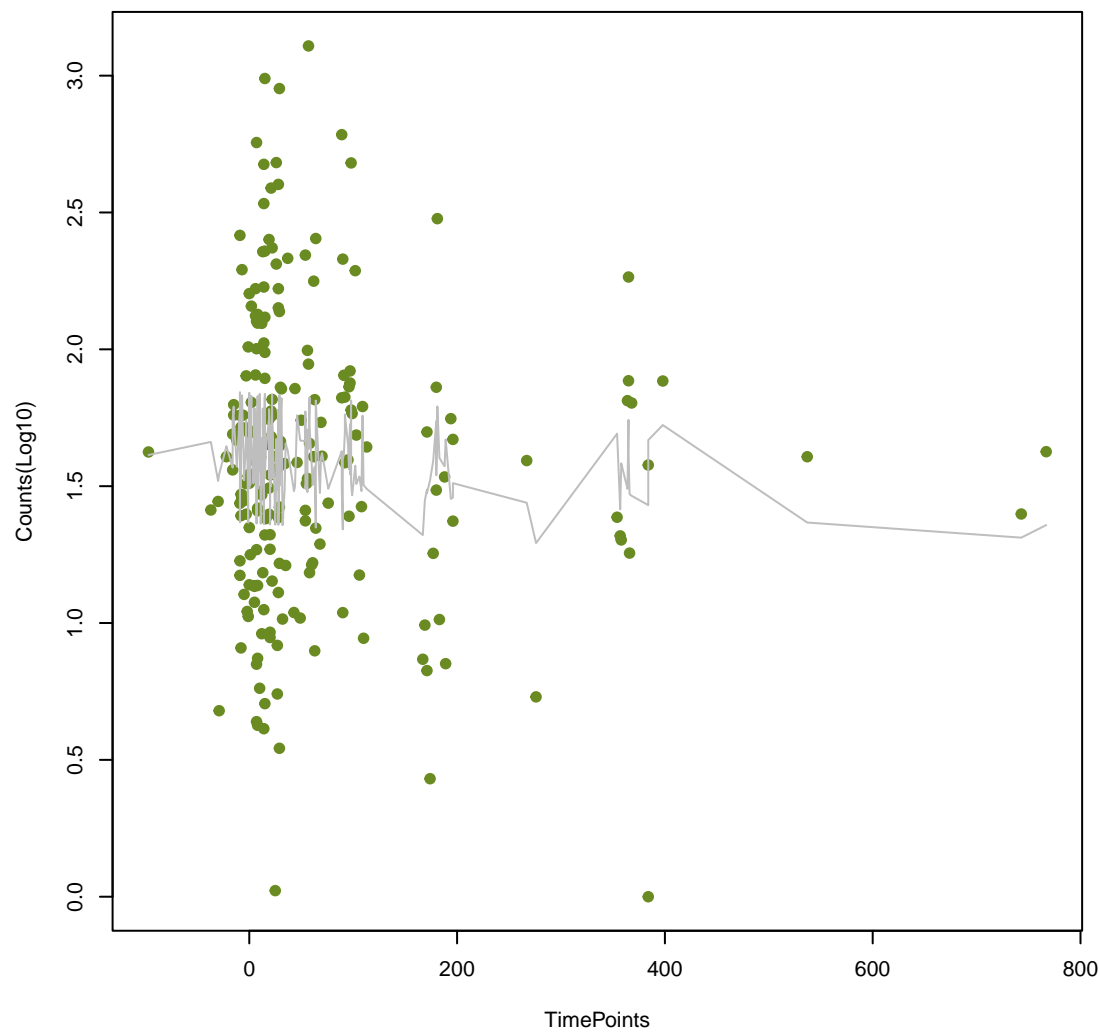
vanR_in_vanA_cl
ANOVA P=0.273, adj. ANOVA-P=0.544



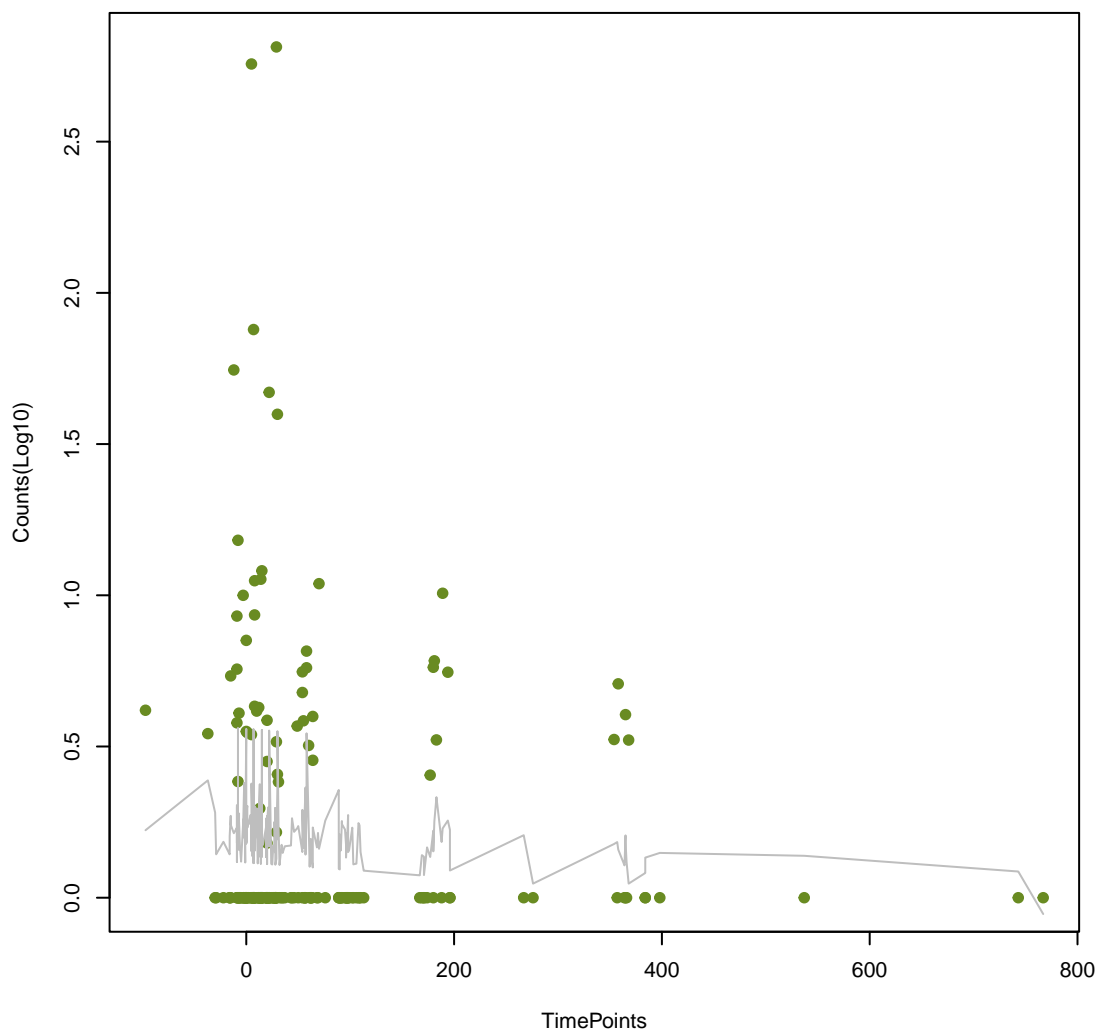
CblA-1
ANOVA P=0.276, adj. ANOVA-P=0.547



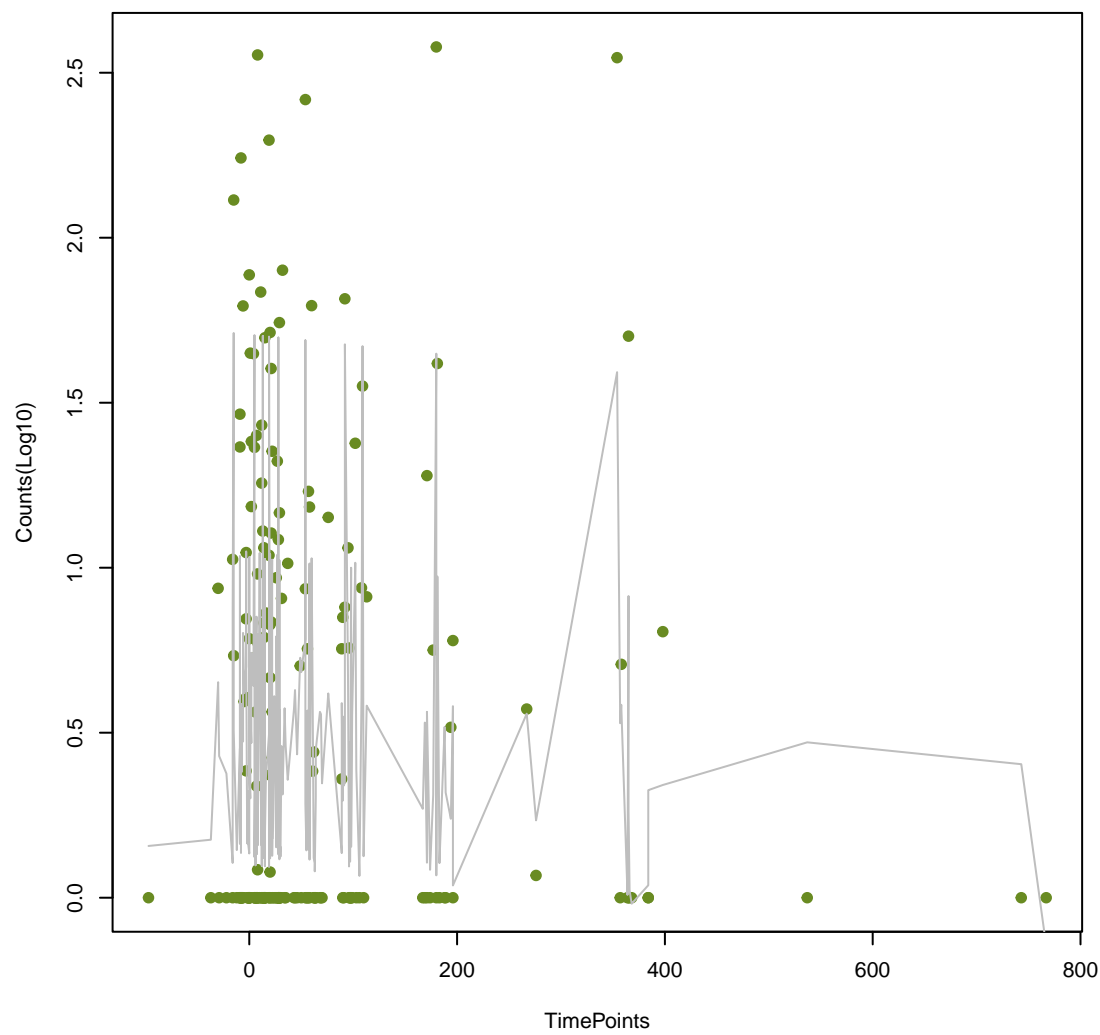
Kpne_KpnF
ANOVA P=0.289, adj. ANOVA-P=0.567



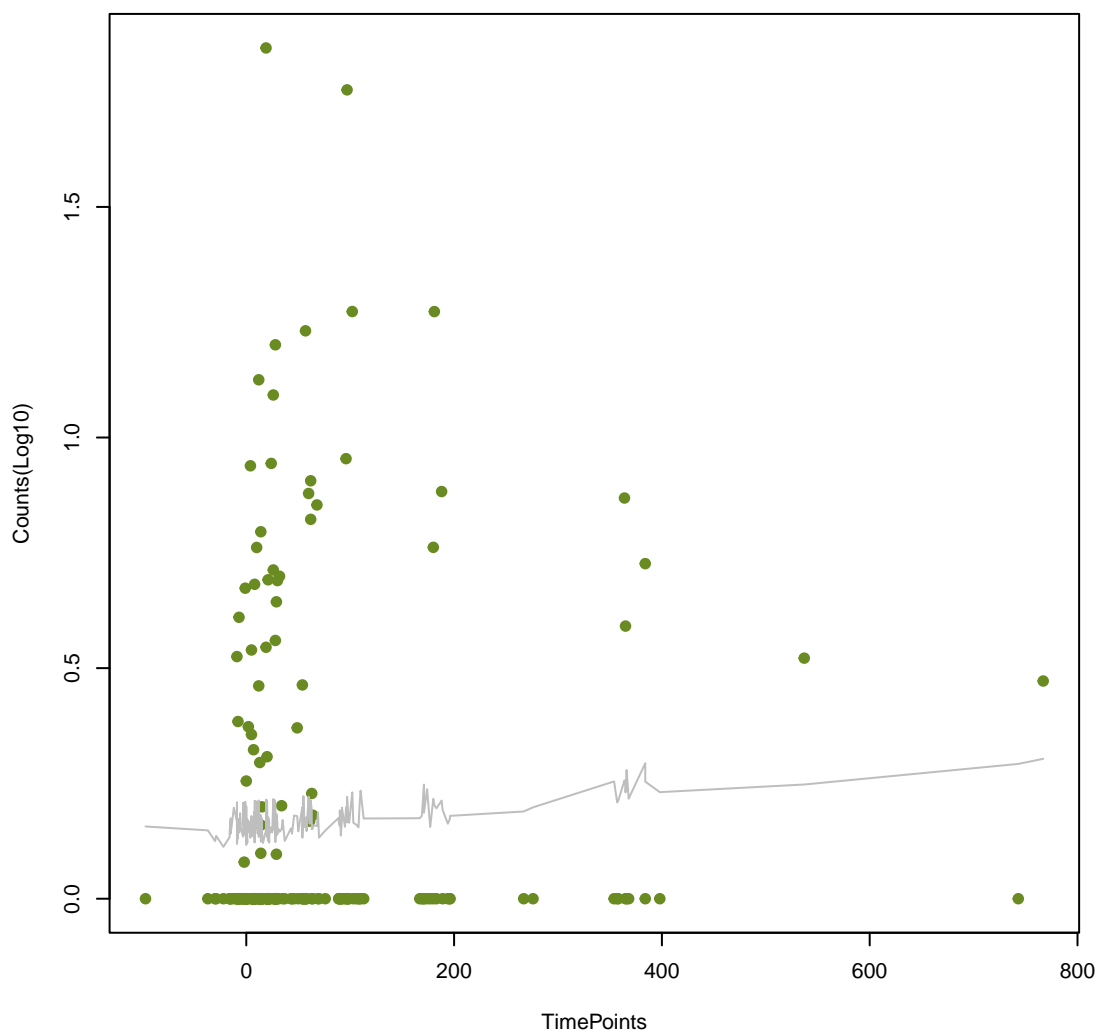
OprM
ANOVA P=0.29, adj. ANOVA-P=0.567



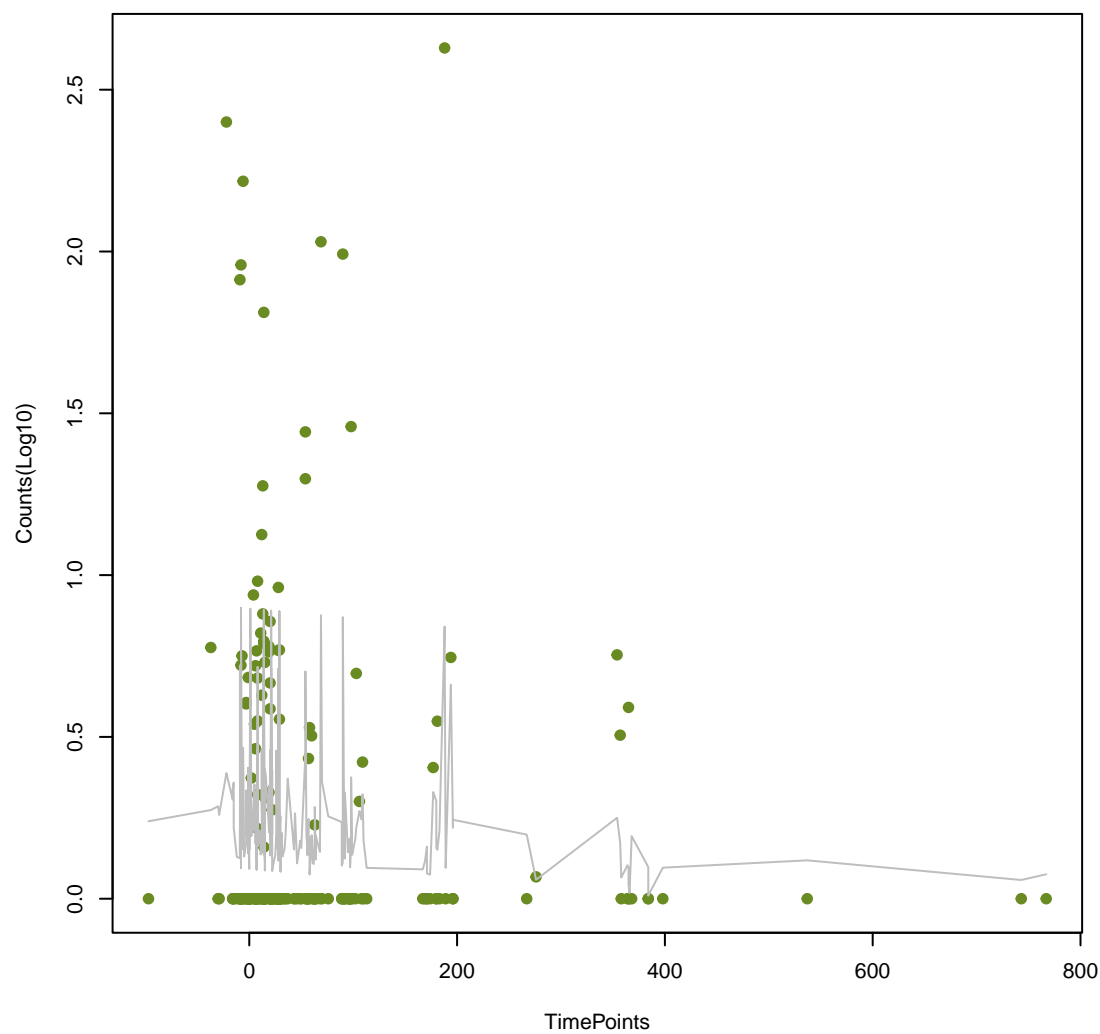
Erm(35)
ANOVA P=0.296, adj. ANOVA-P=0.574

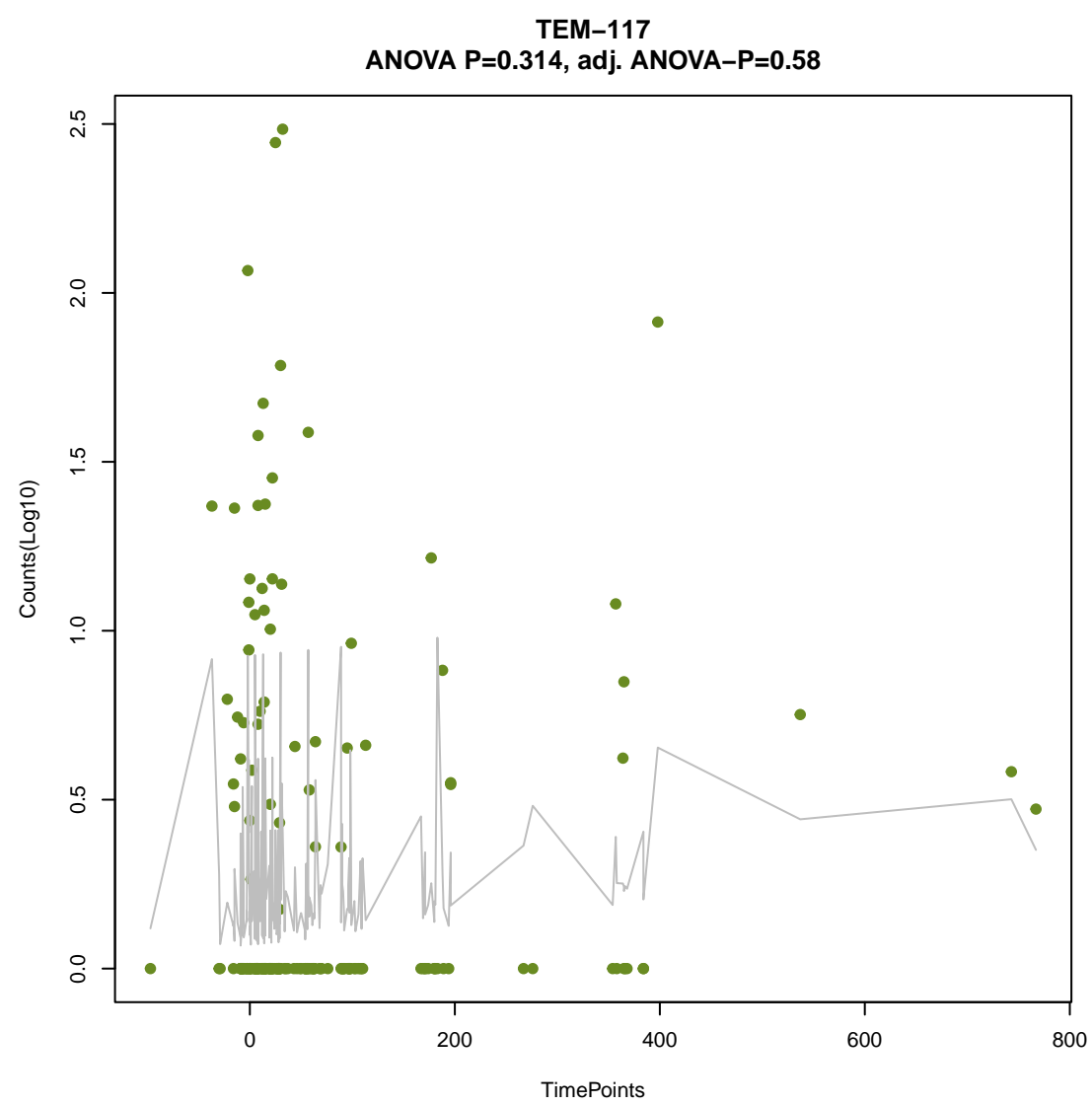
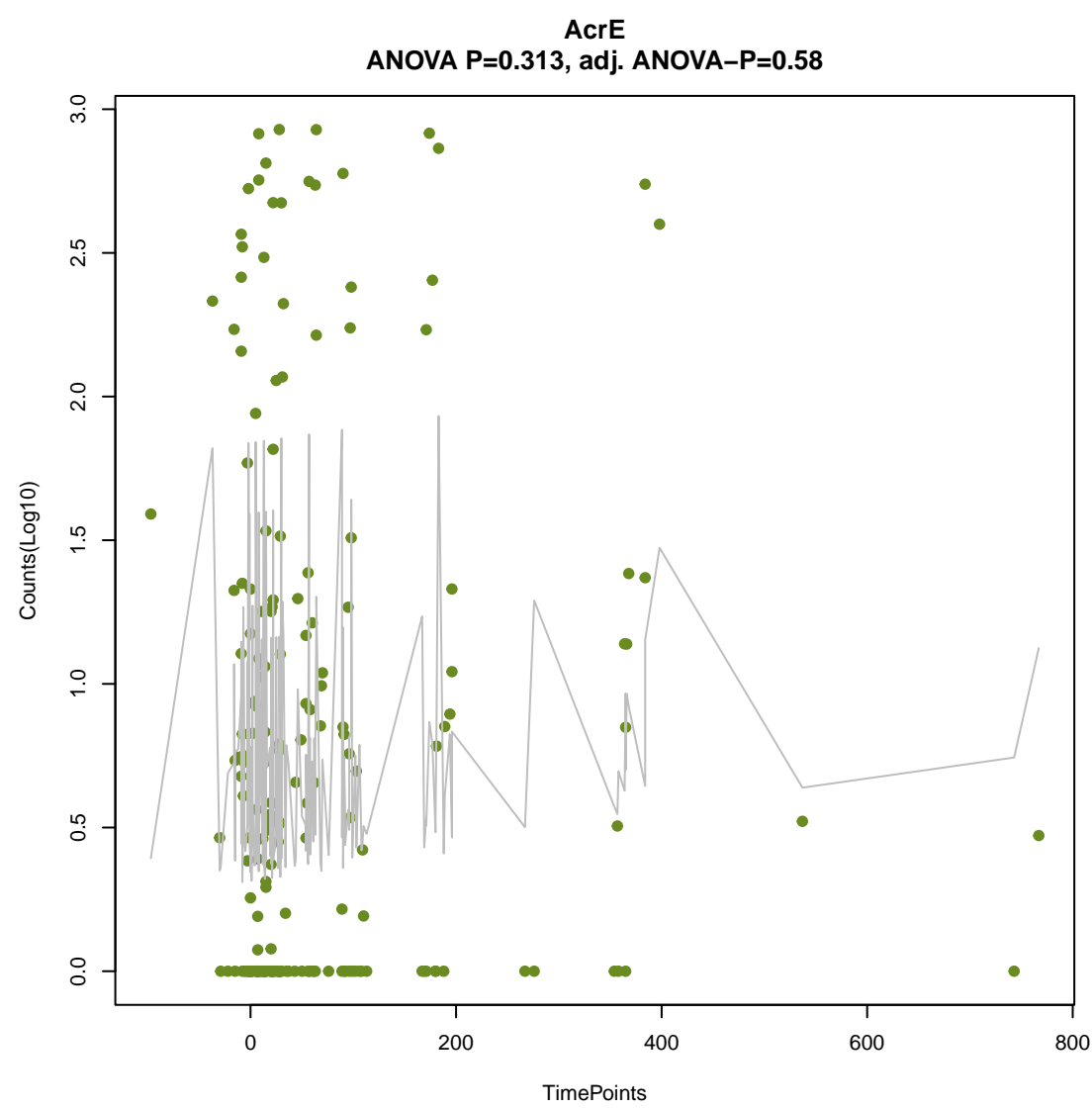
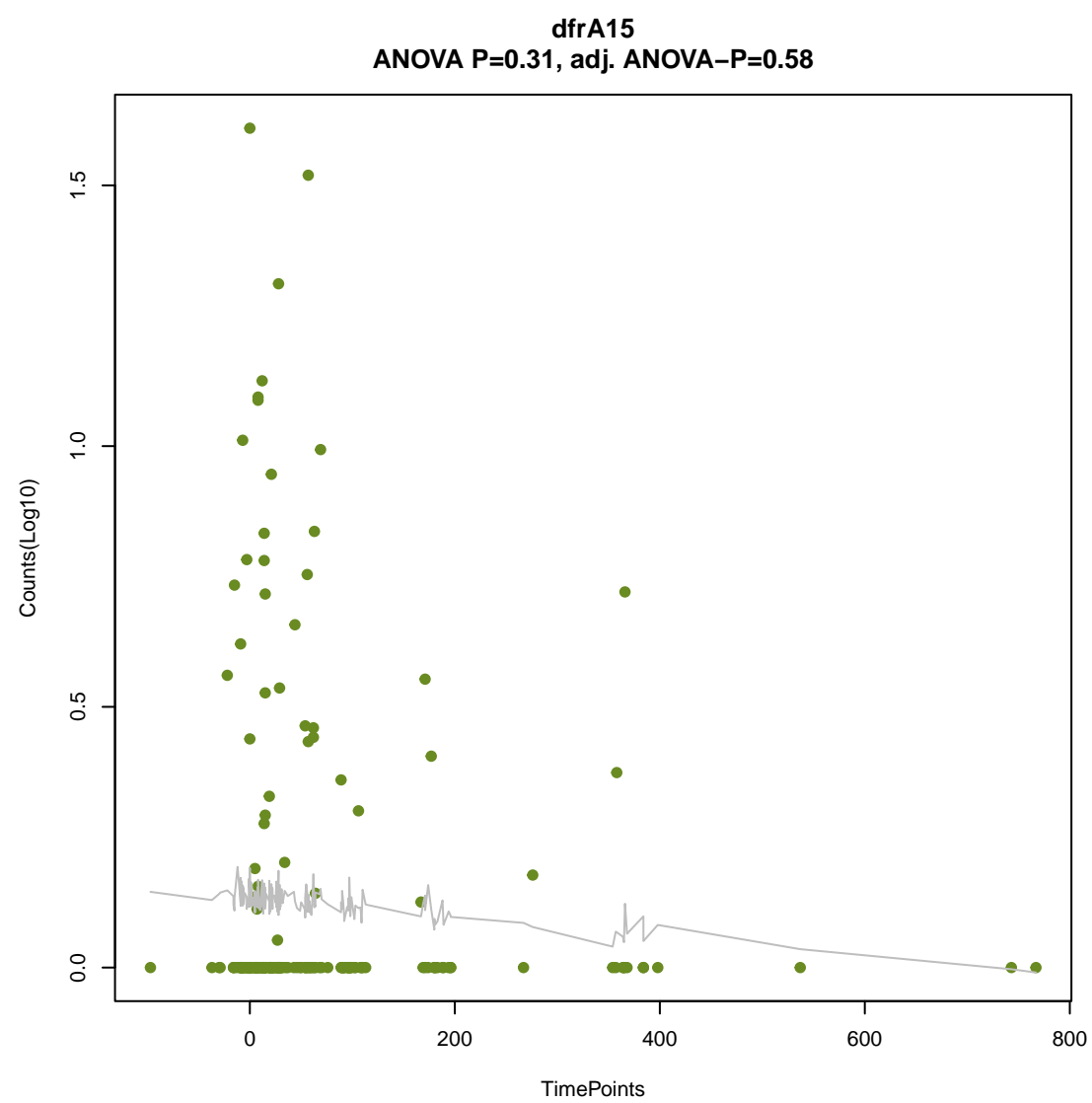
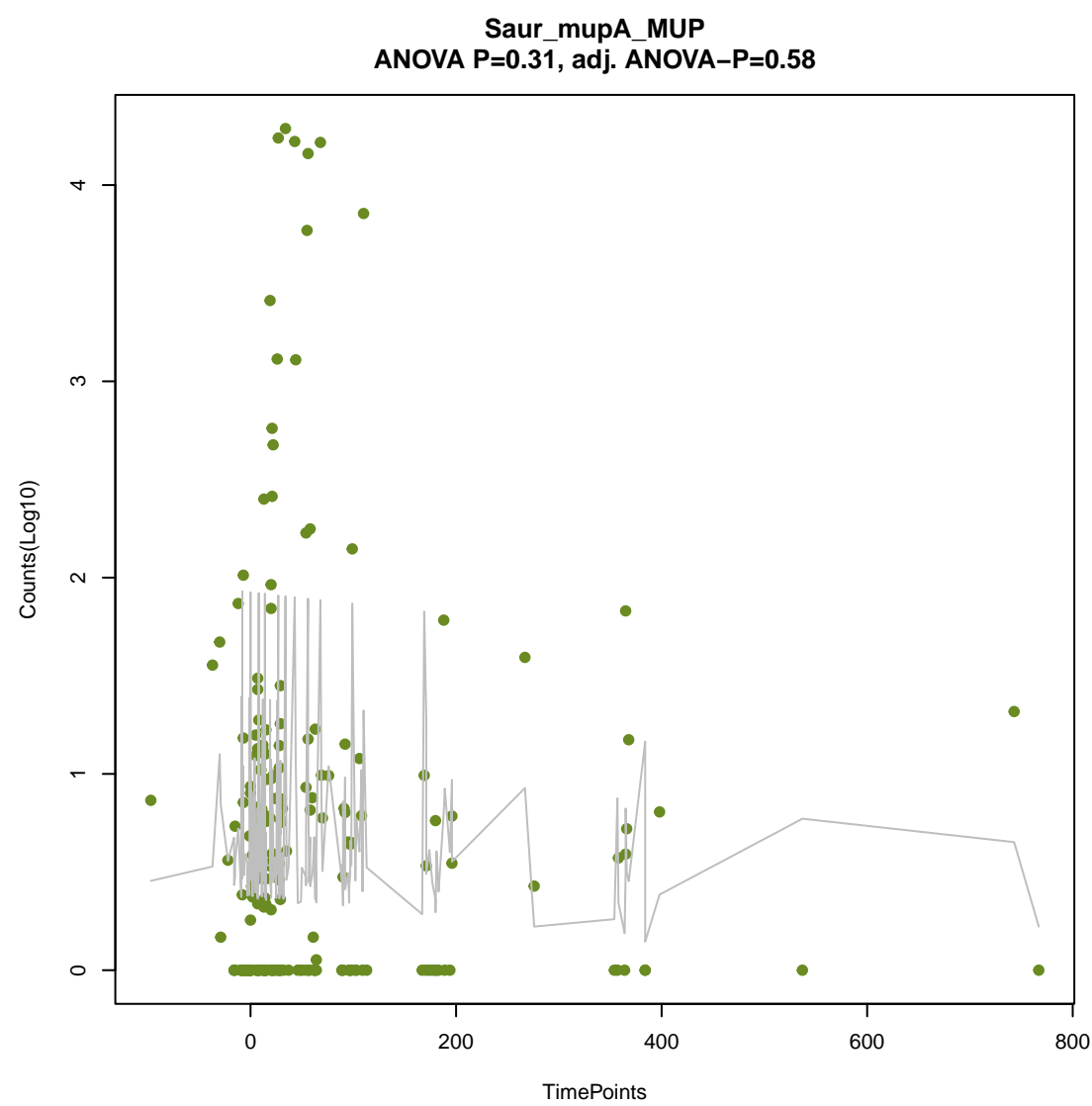
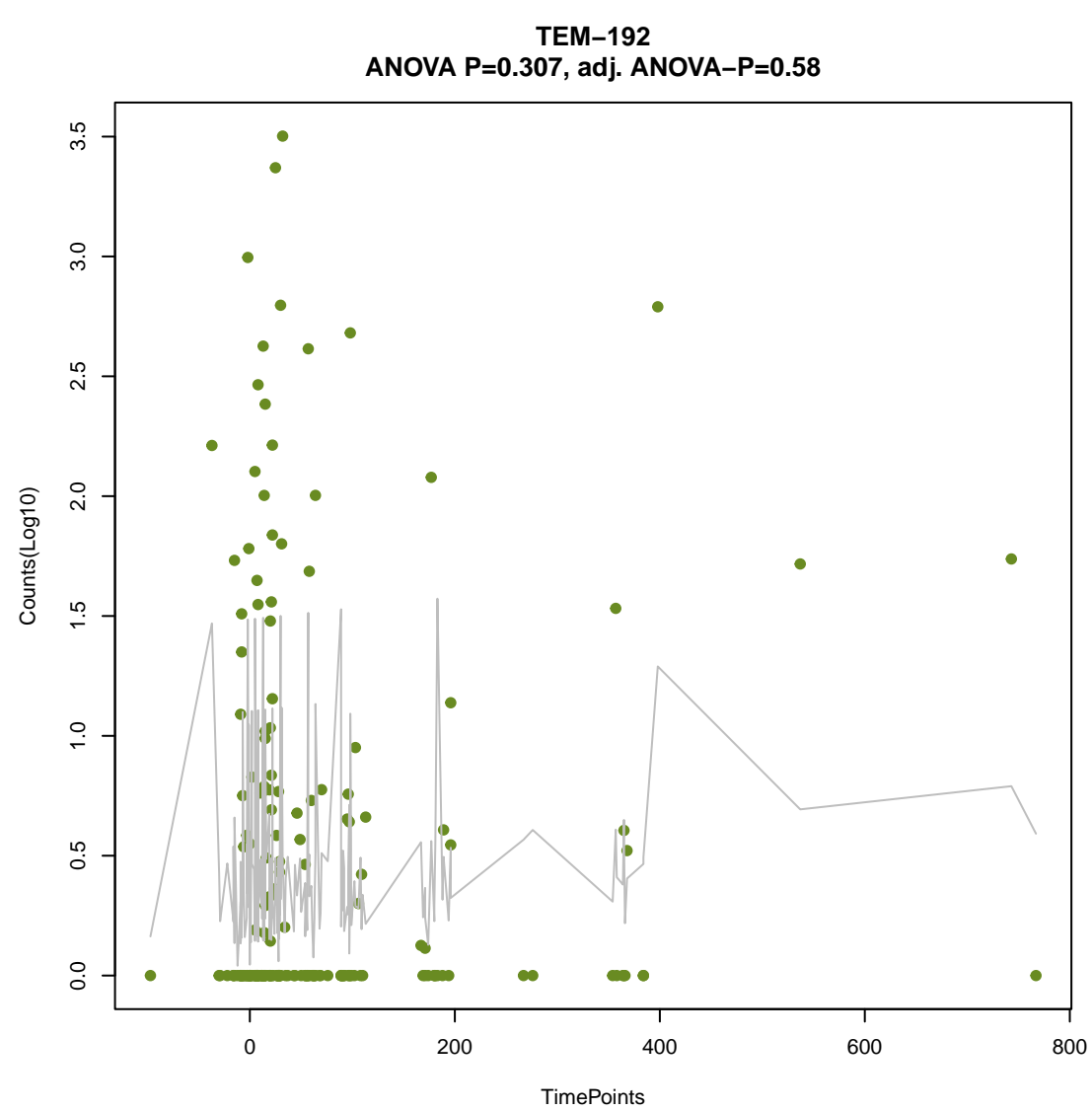
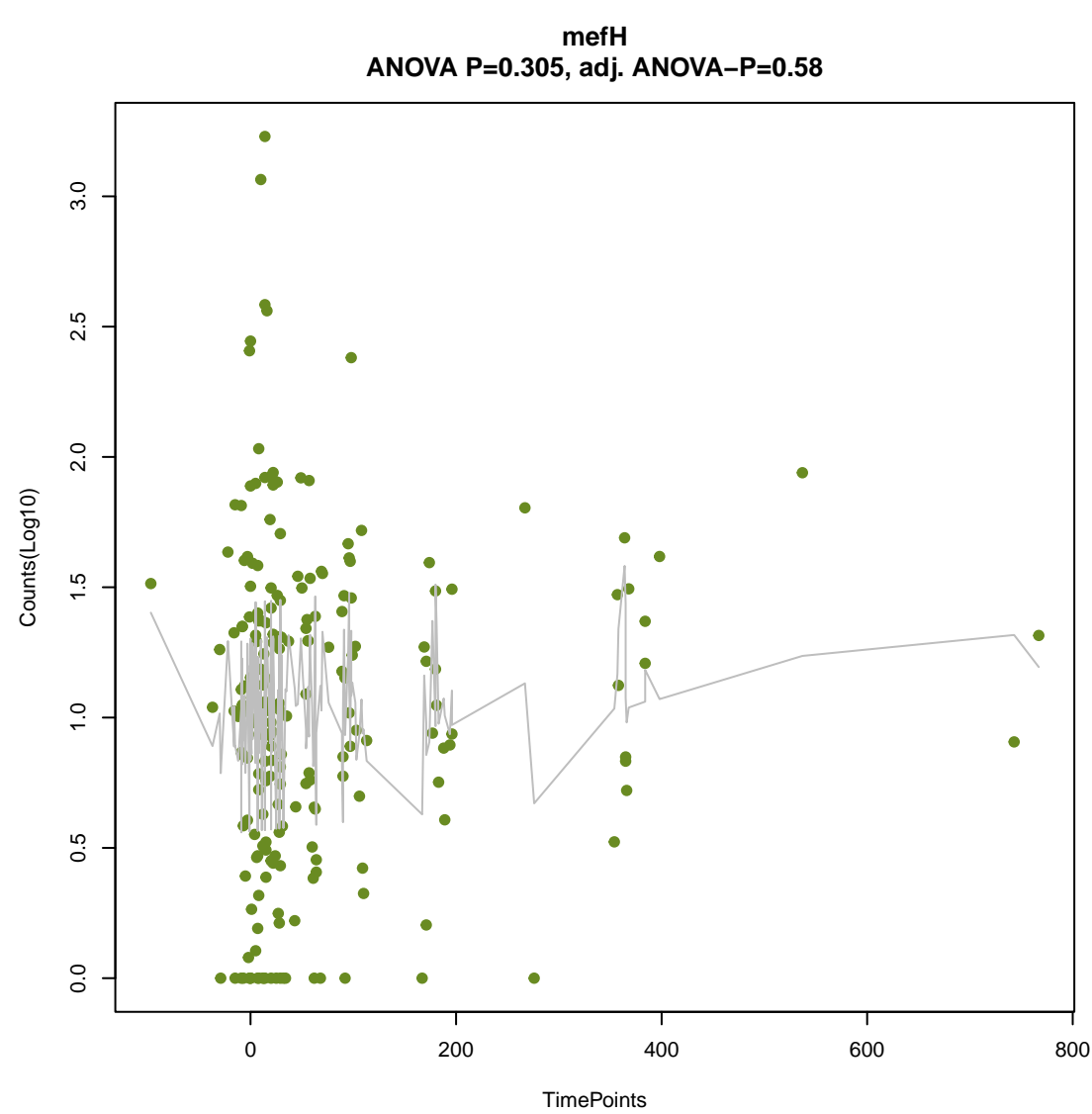


smeE
ANOVA P=0.3, adj. ANOVA-P=0.577

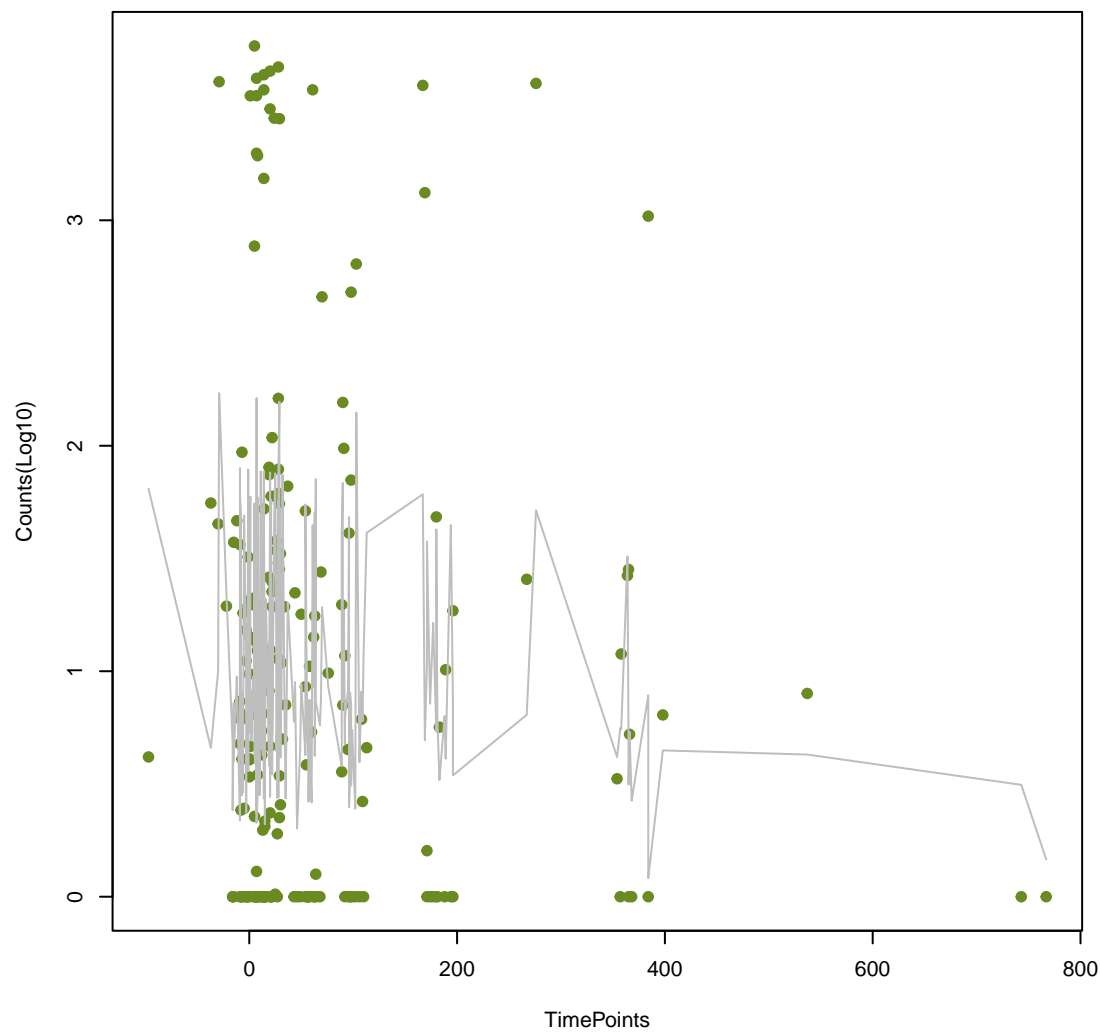


cepA
ANOVA P=0.301, adj. ANOVA-P=0.577

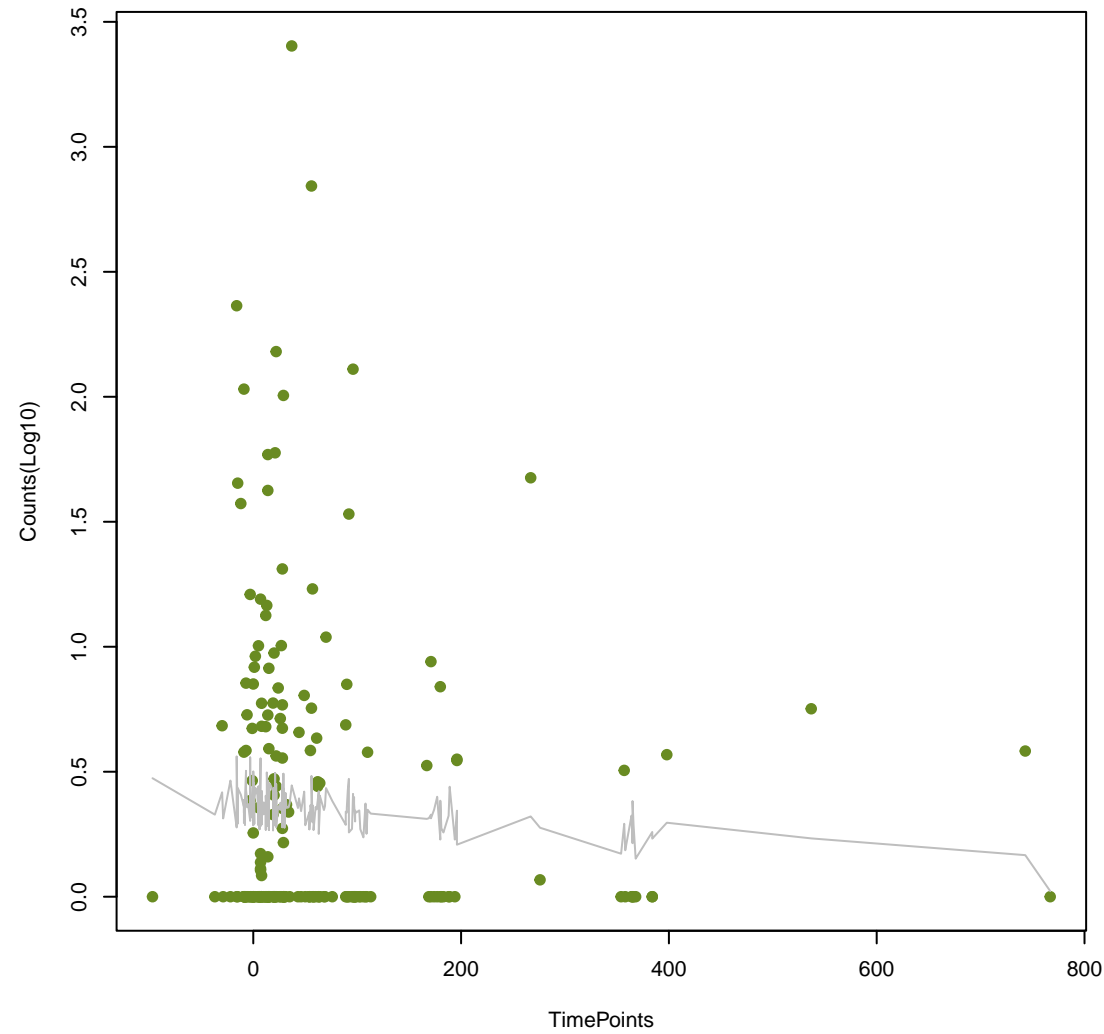




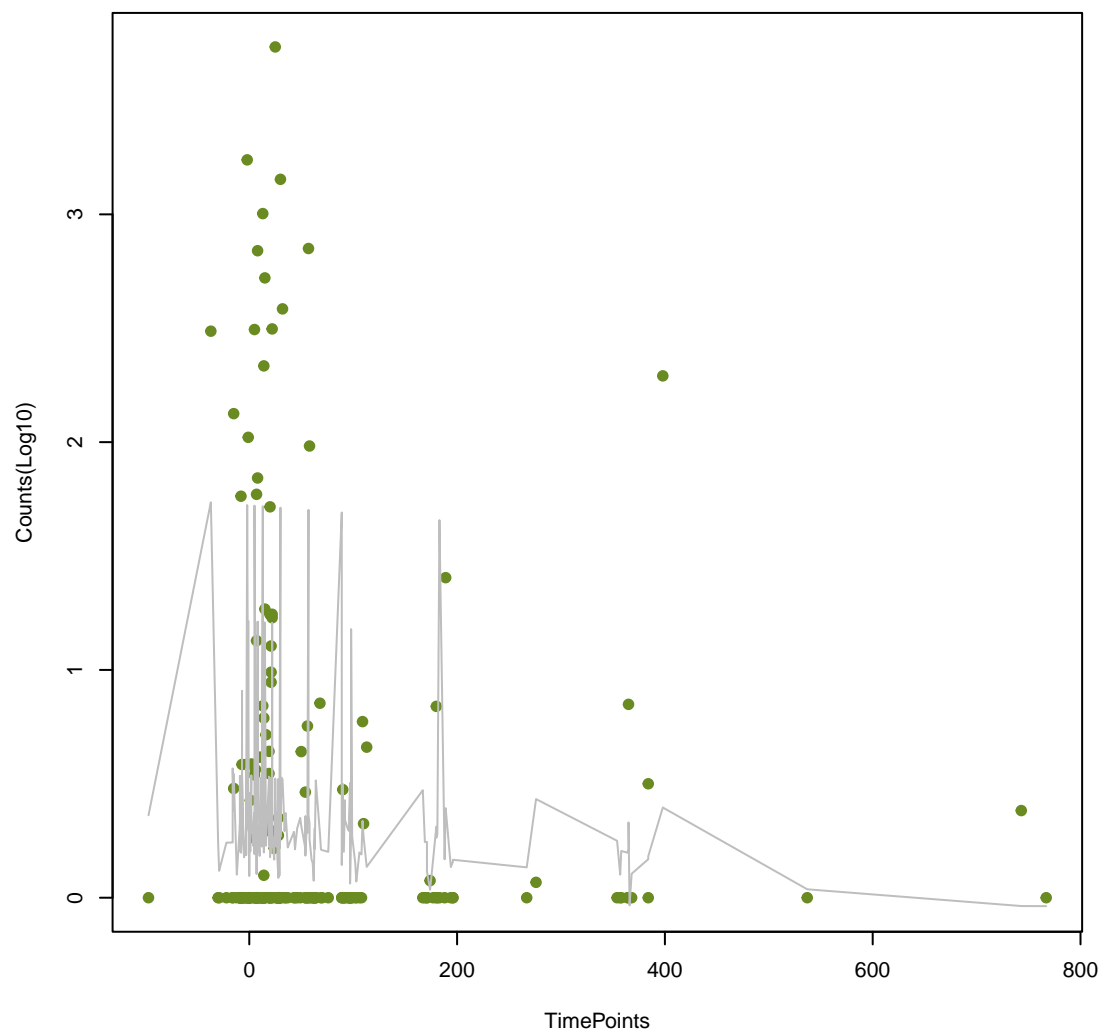
vanS_in_vanA_cl
ANOVA P=0.322, adj. ANOVA-P=0.59



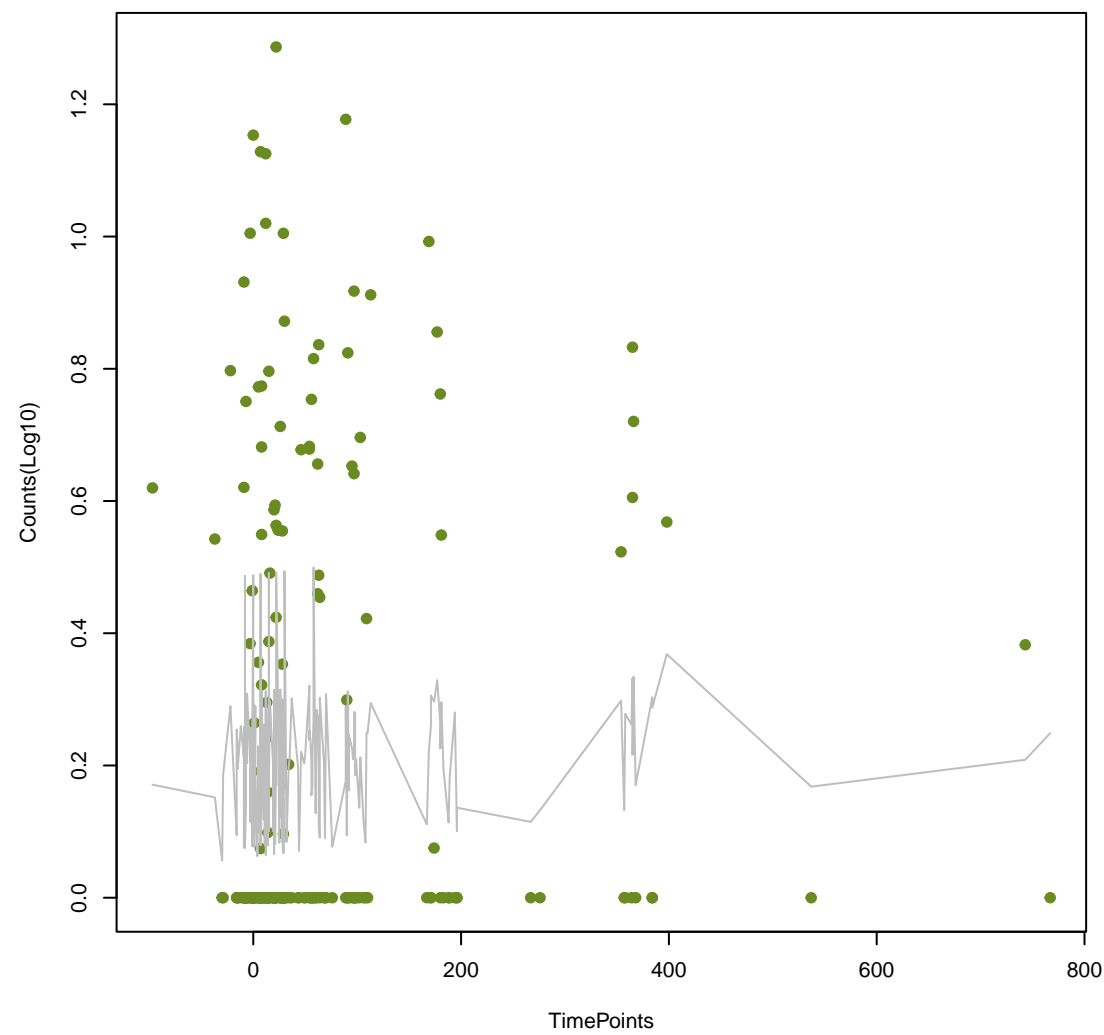
tetS
ANOVA P=0.324, adj. ANOVA-P=0.59



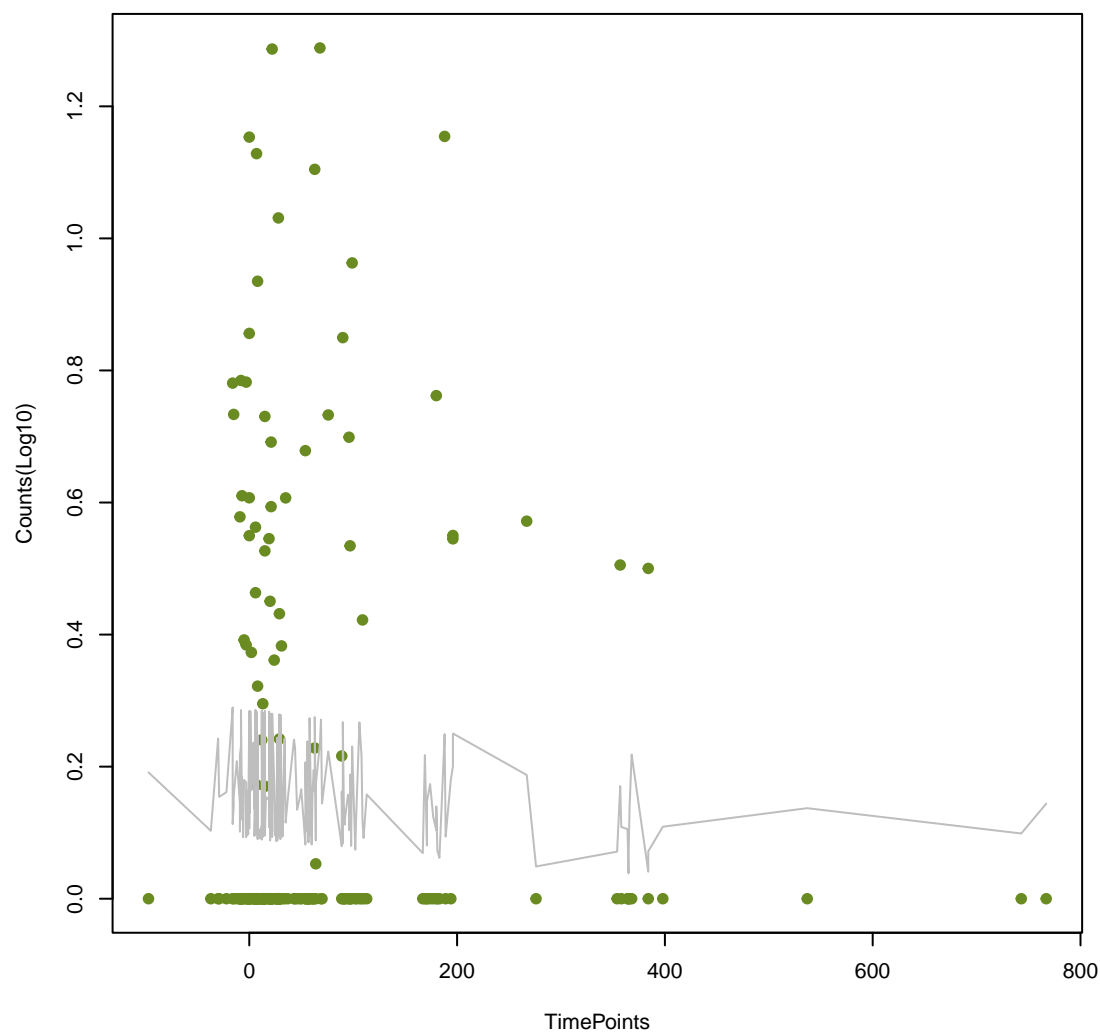
mphA
ANOVA P=0.329, adj. ANOVA-P=0.596



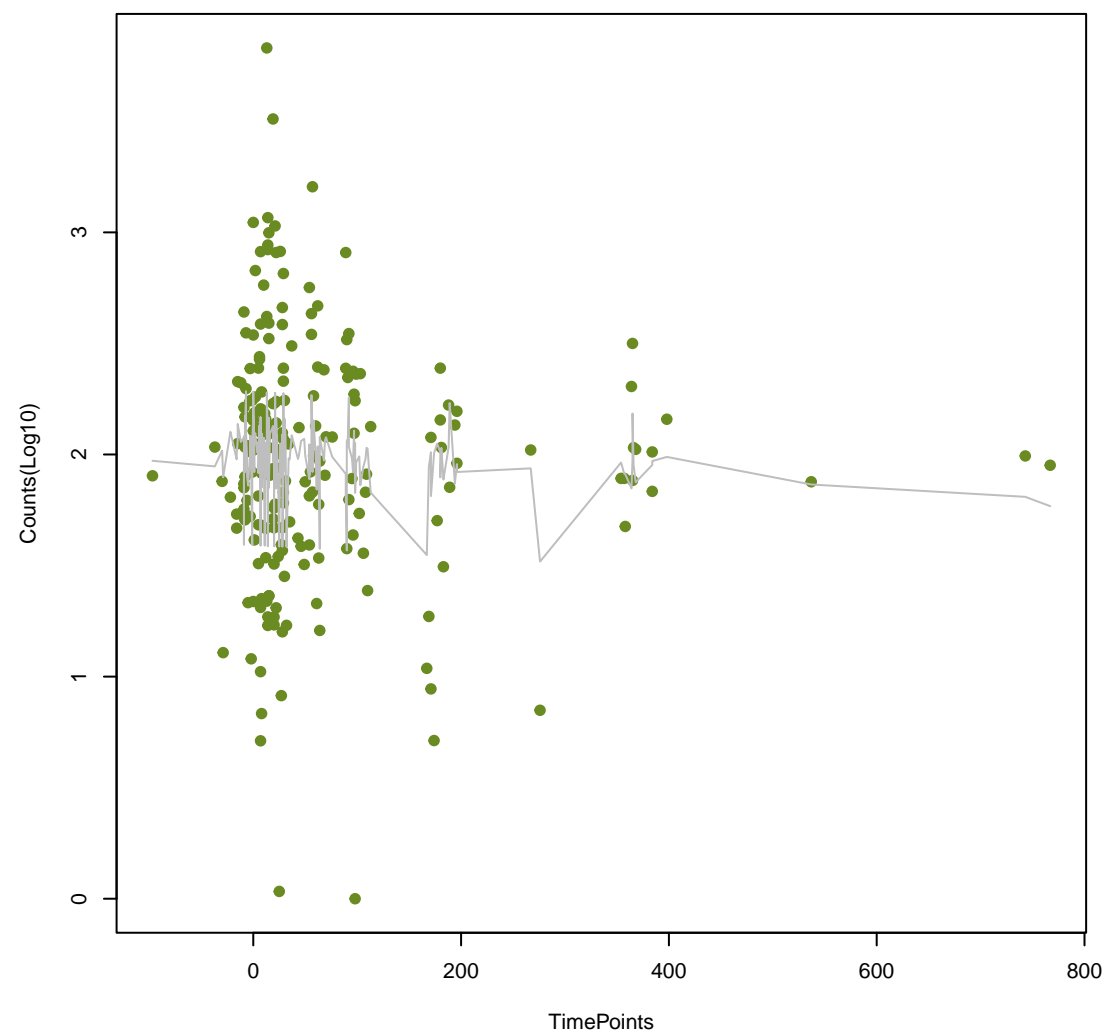
ceoB
ANOVA P=0.331, adj. ANOVA-P=0.597



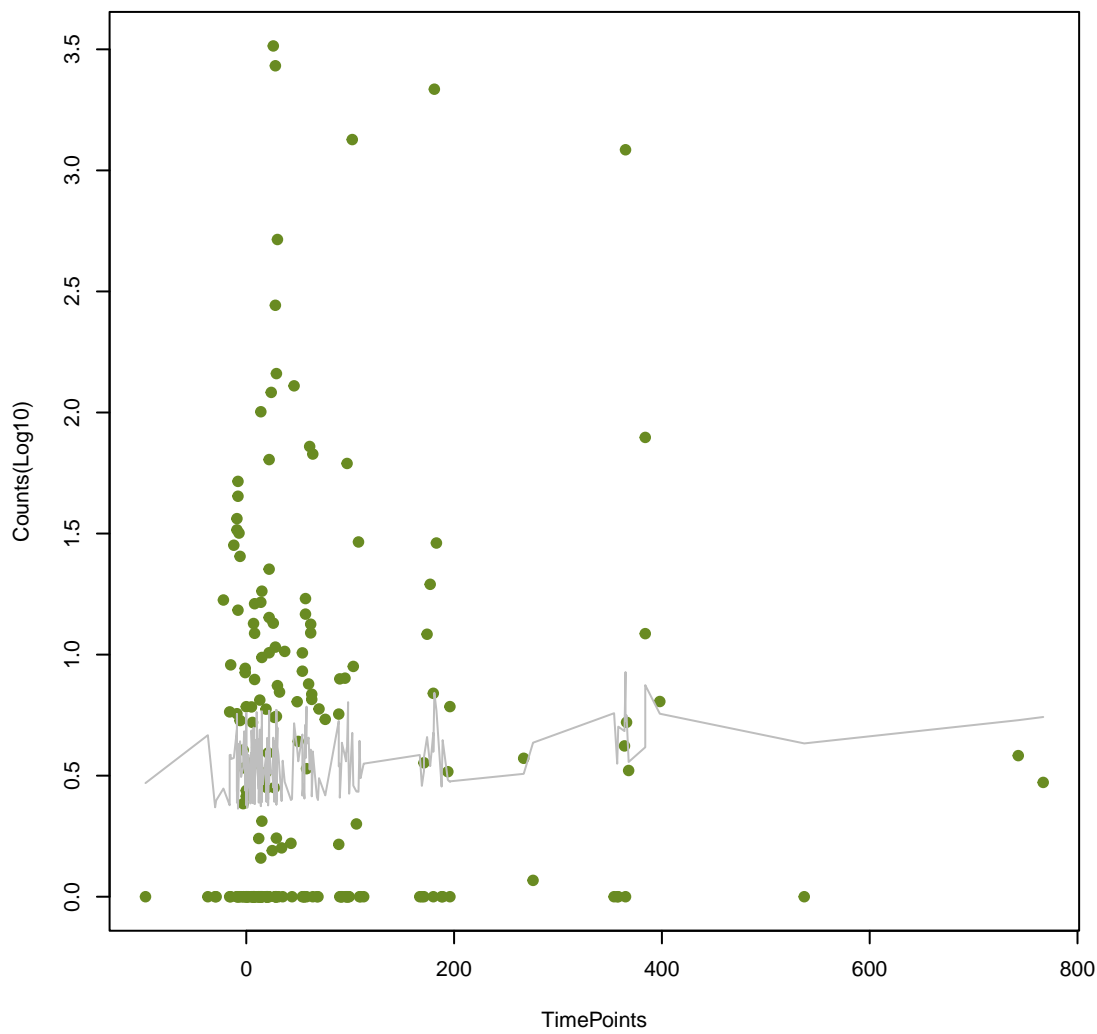
mecB
ANOVA P=0.339, adj. ANOVA-P=0.606



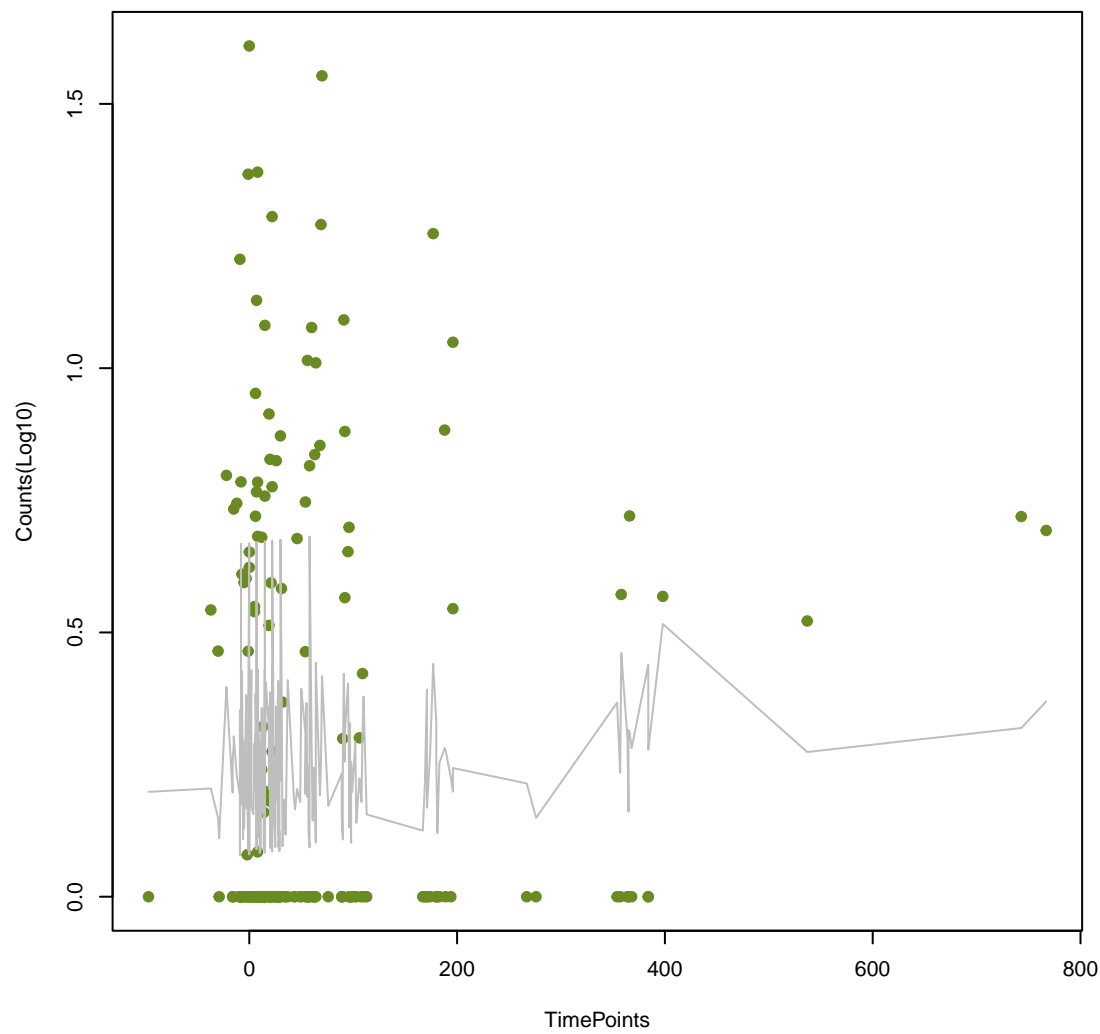
Paer_emrE
ANOVA P=0.347, adj. ANOVA-P=0.613



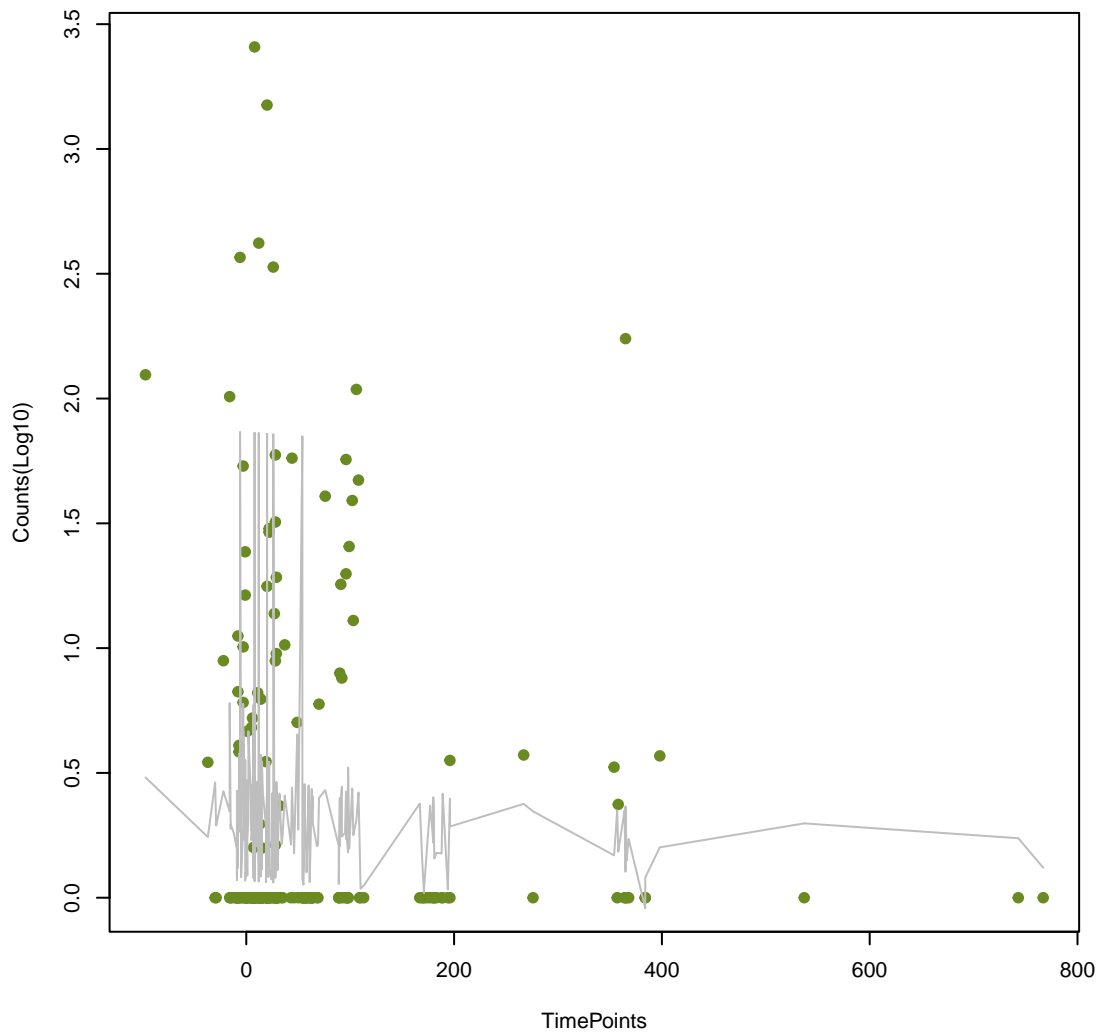
LptD
ANOVA P=0.348, adj. ANOVA-P=0.613



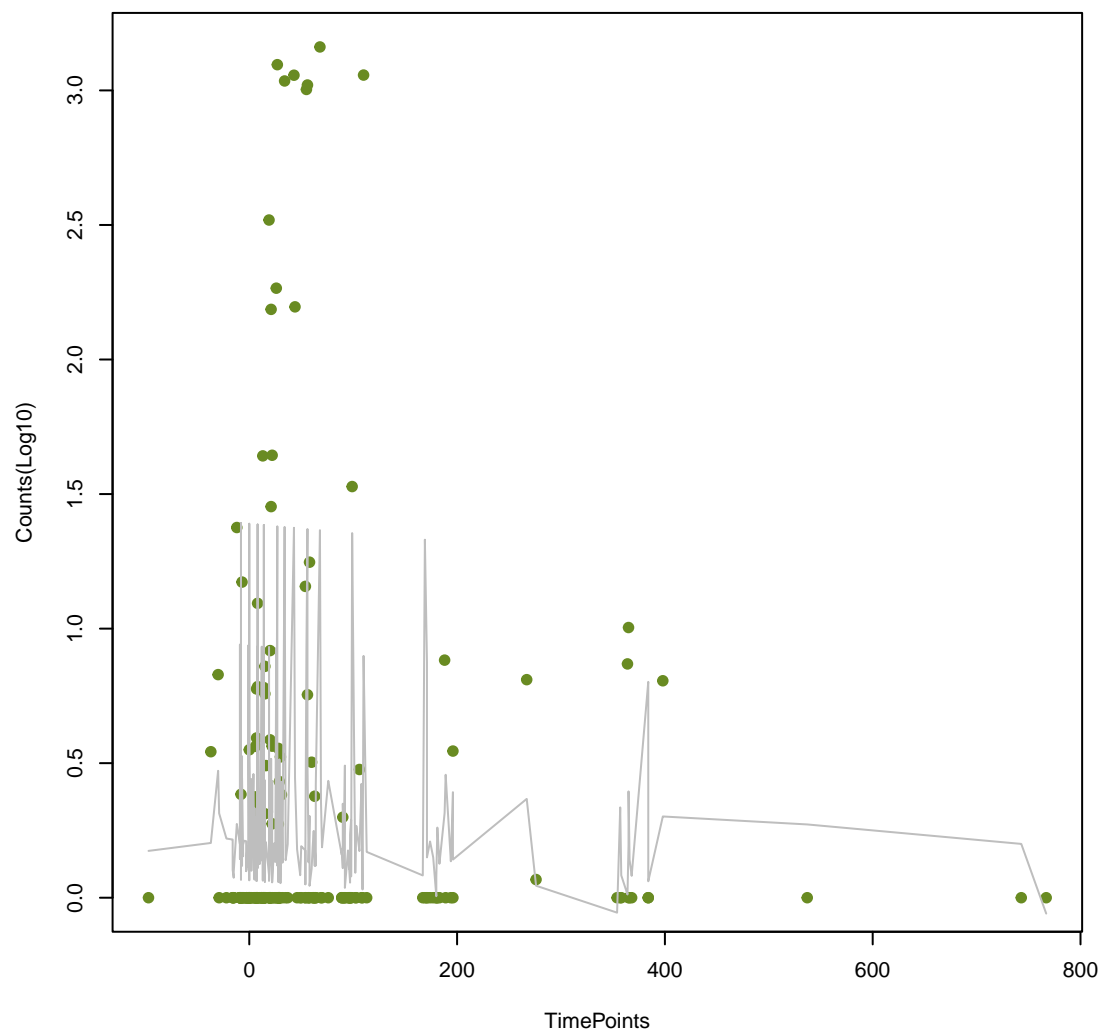
rmtB
ANOVA P=0.349, adj. ANOVA-P=0.613



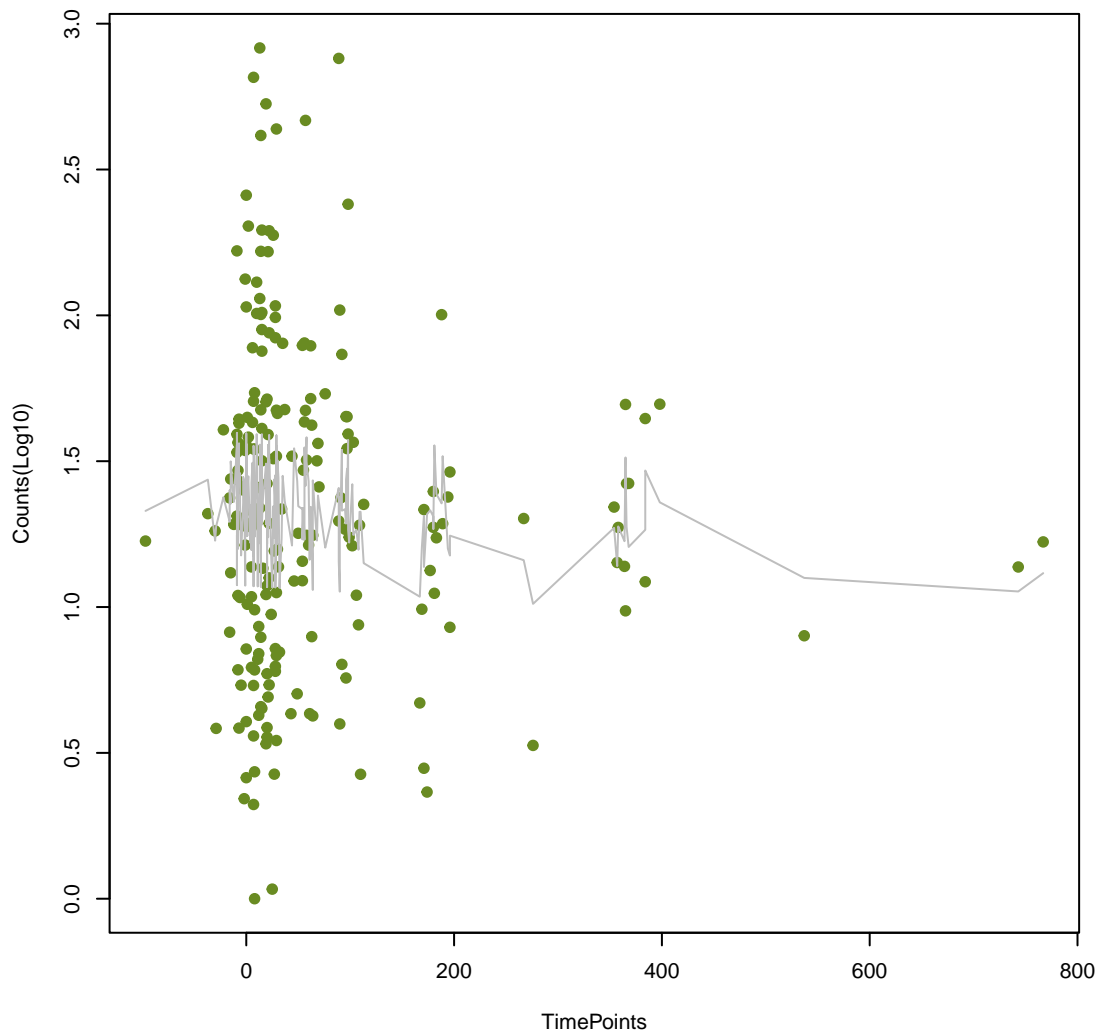
ErmQ
ANOVA P=0.372, adj. ANOVA-P=0.65



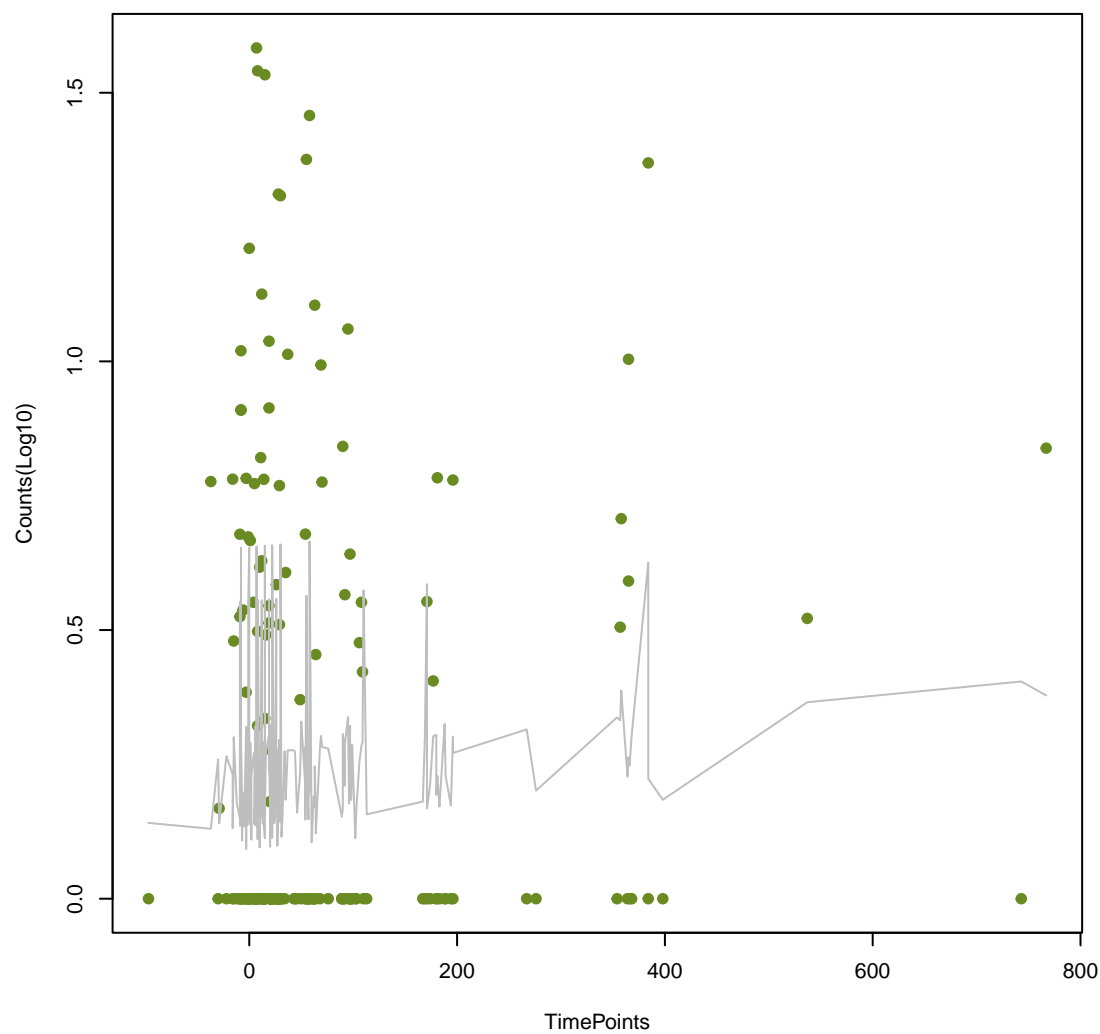
dfrC
ANOVA P=0.377, adj. ANOVA-P=0.656

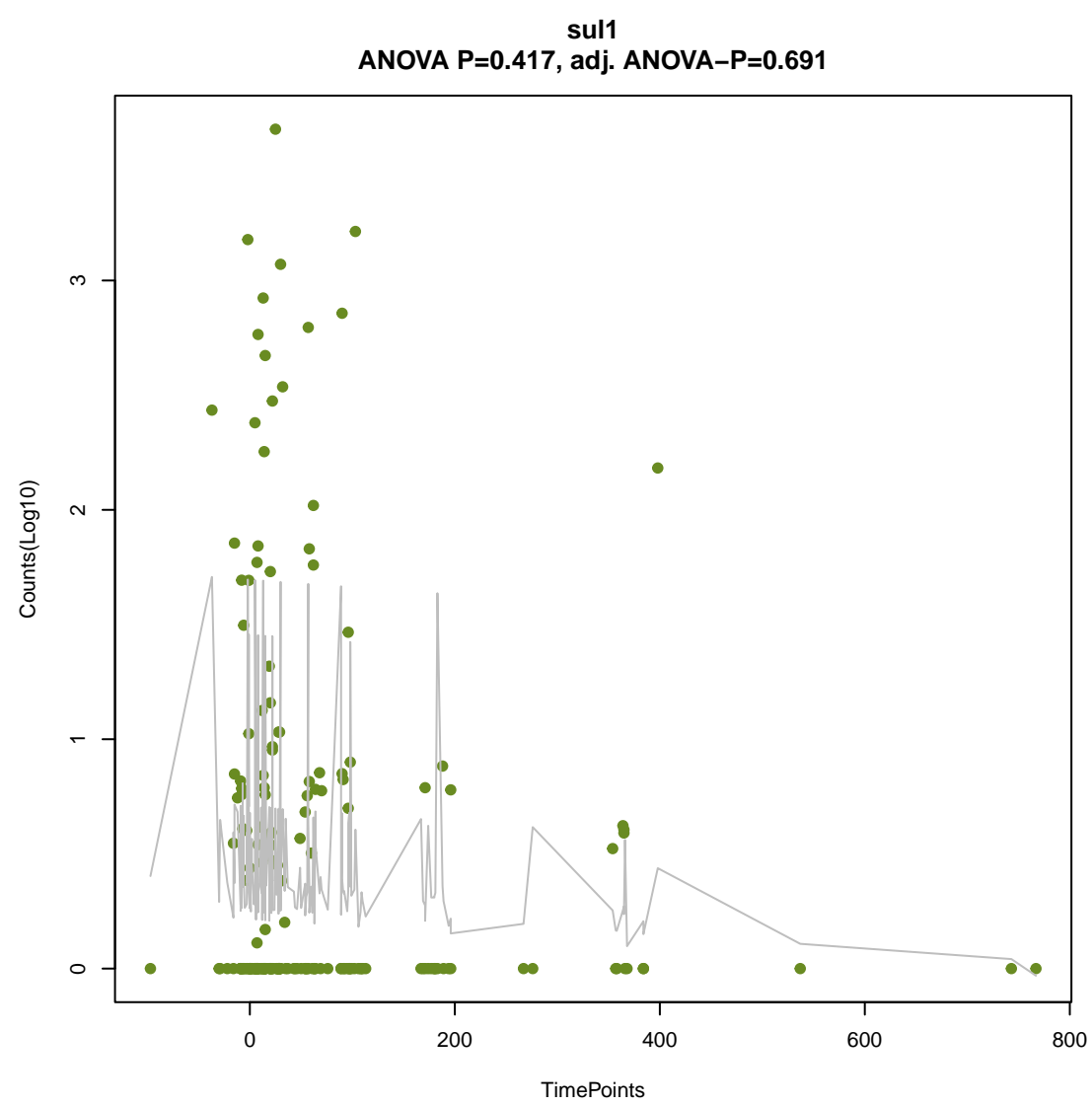
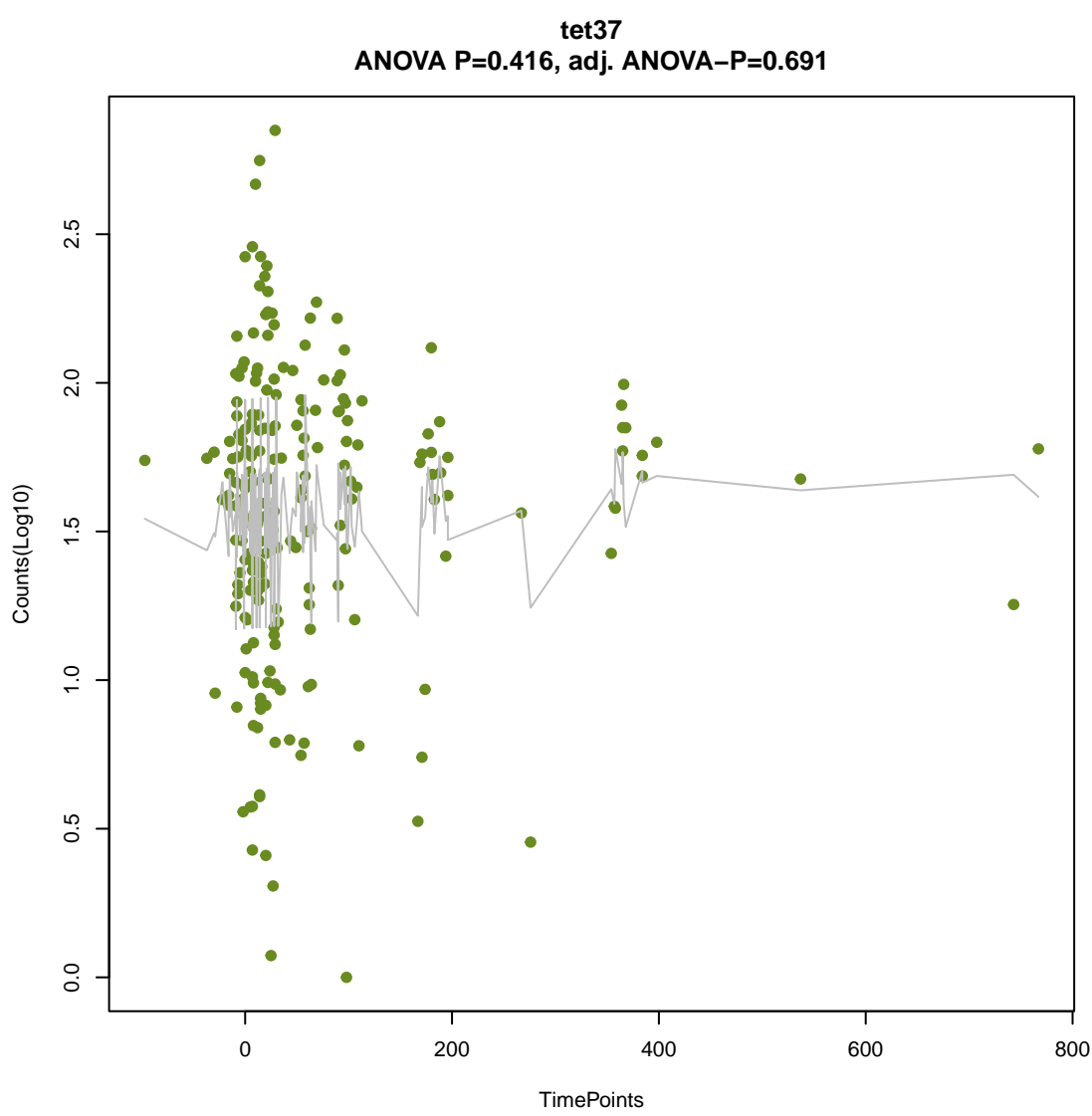
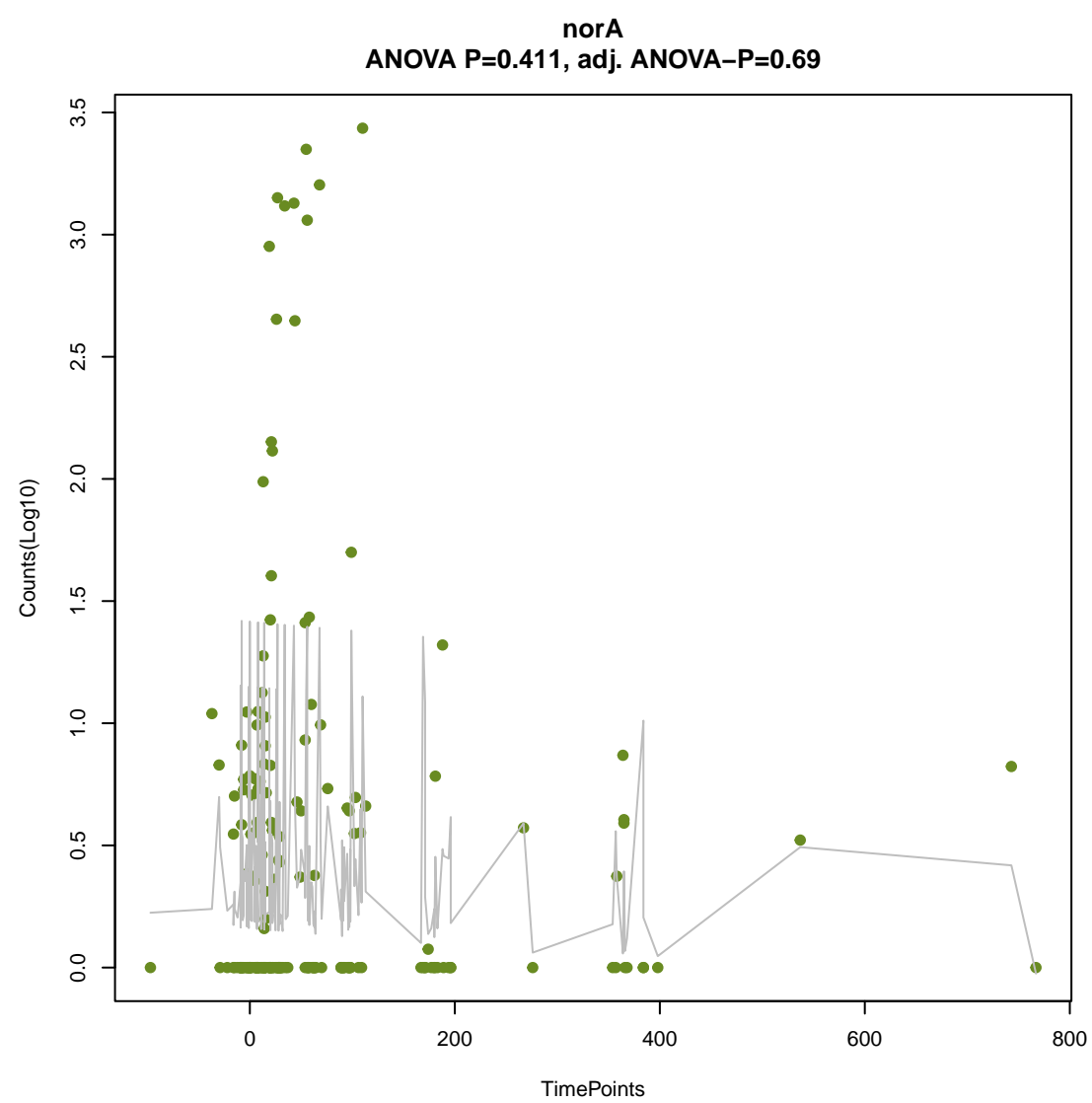
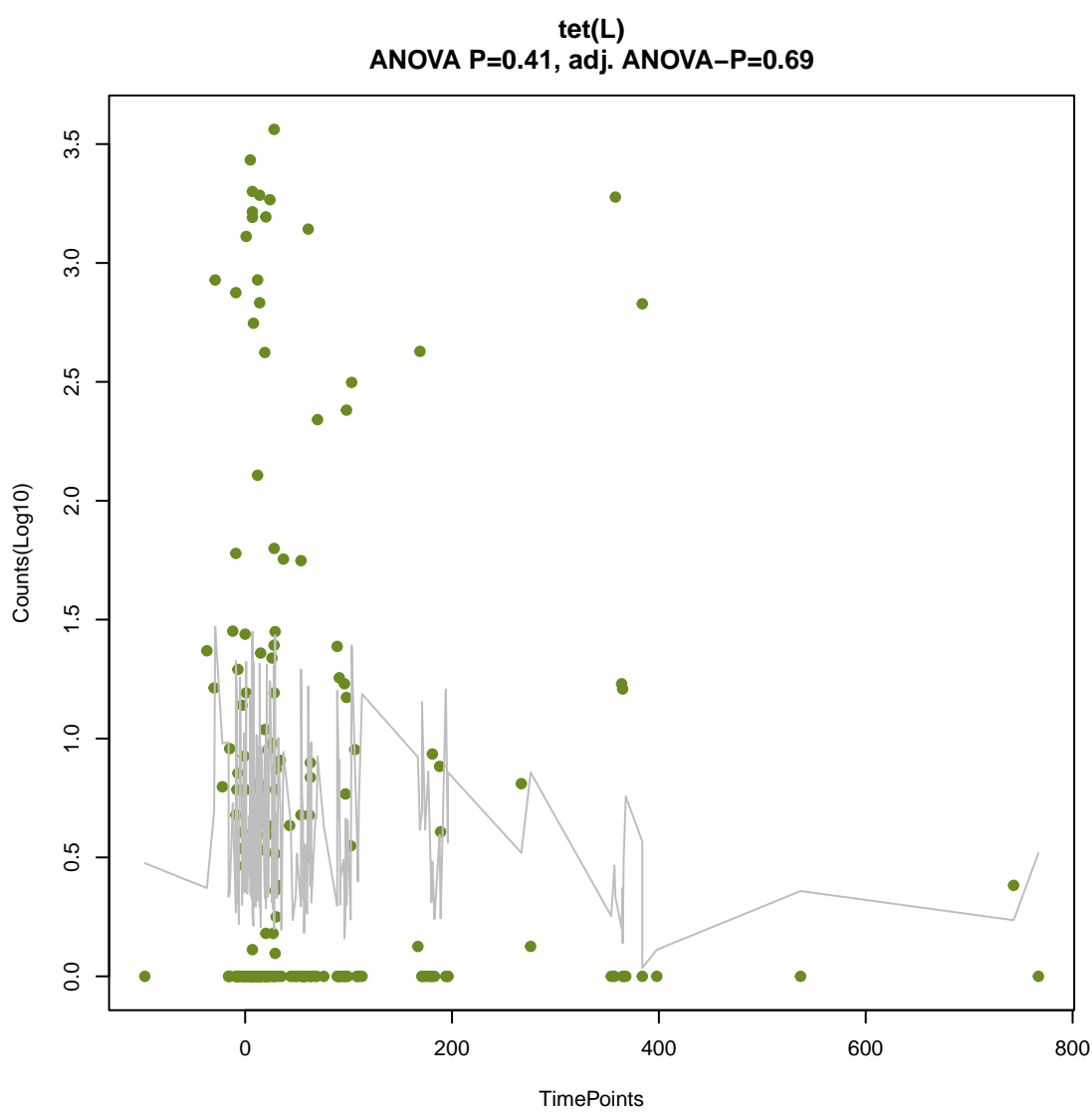
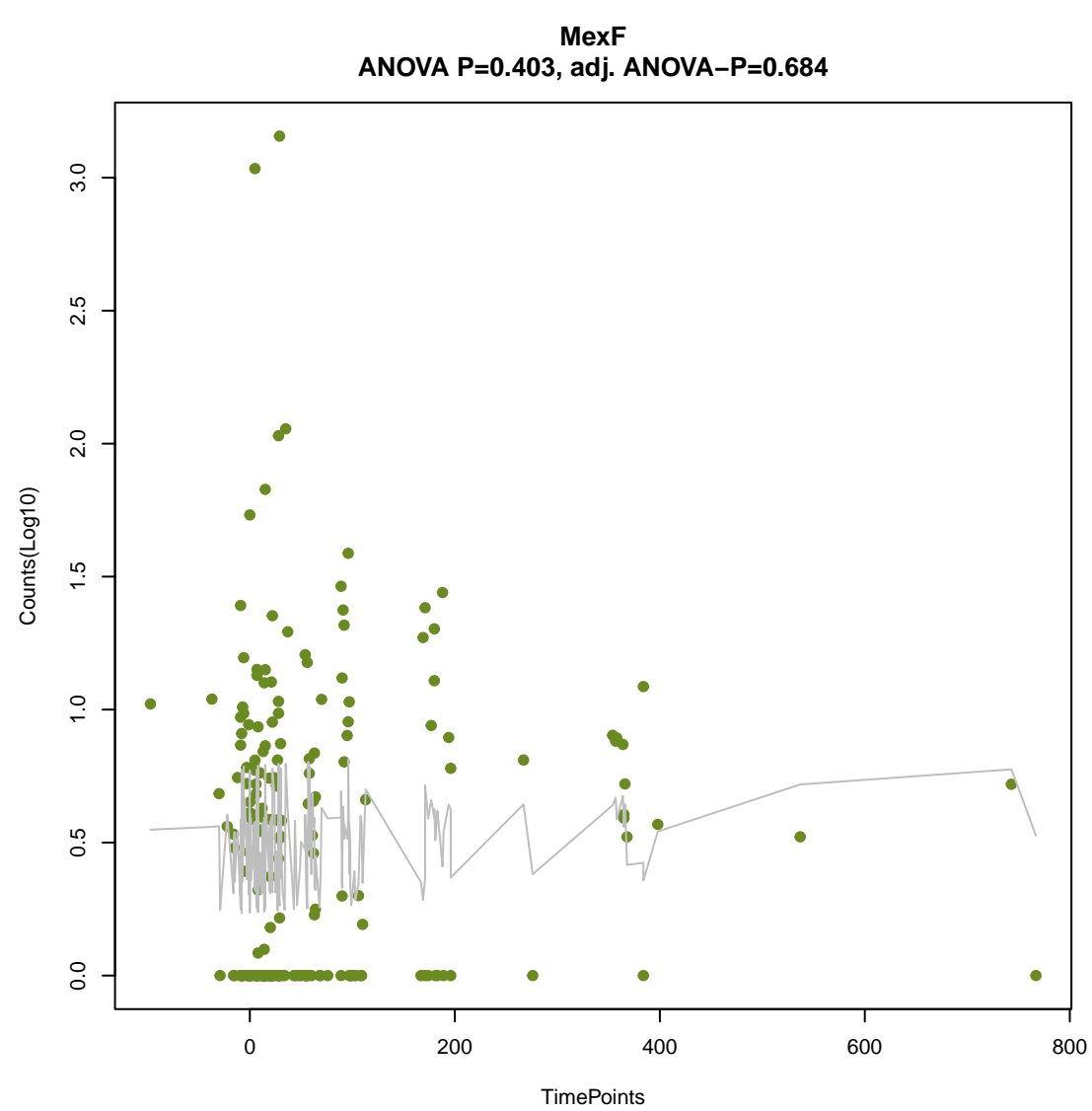
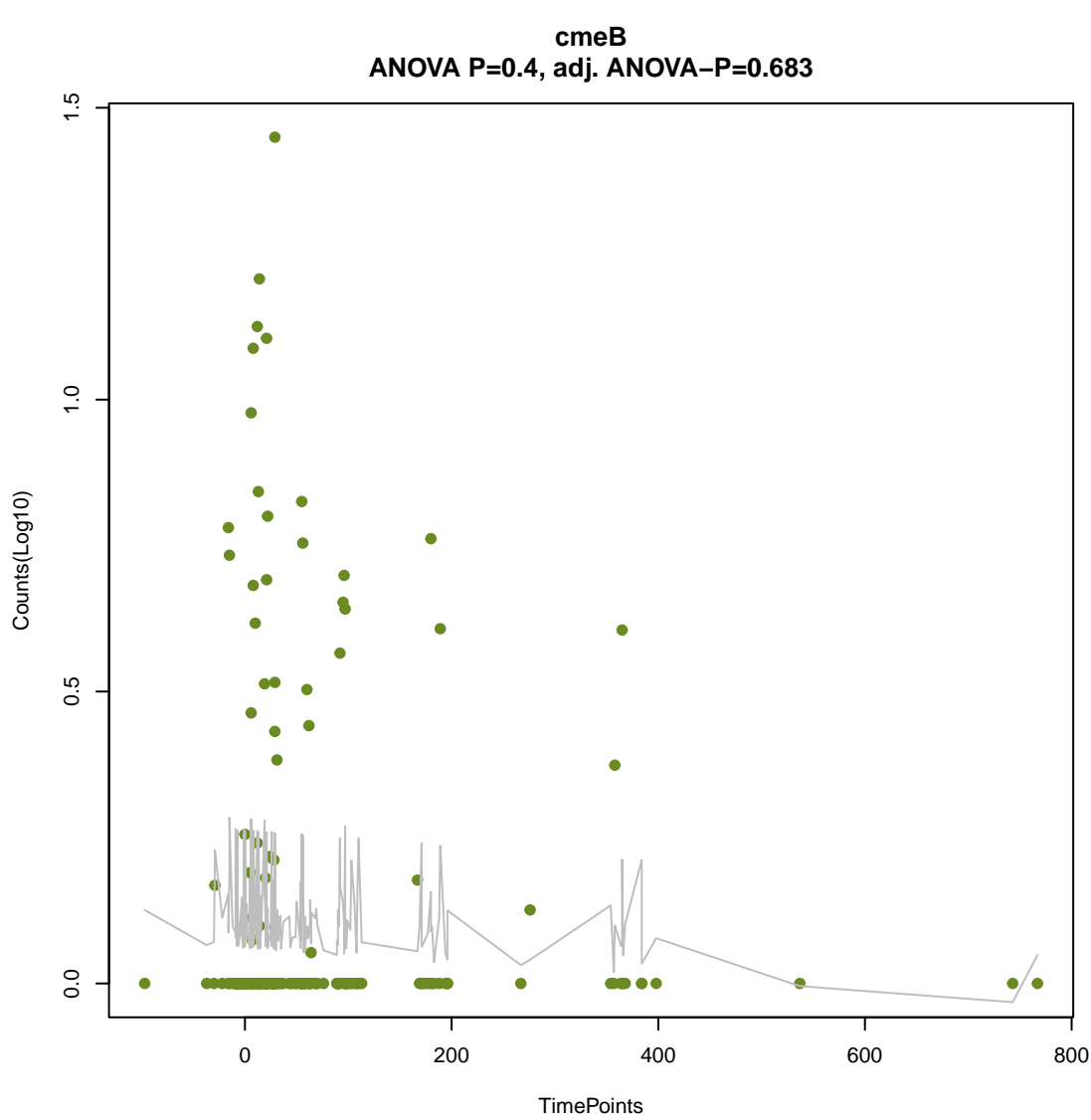


dfrB6
ANOVA P=0.382, adj. ANOVA-P=0.66

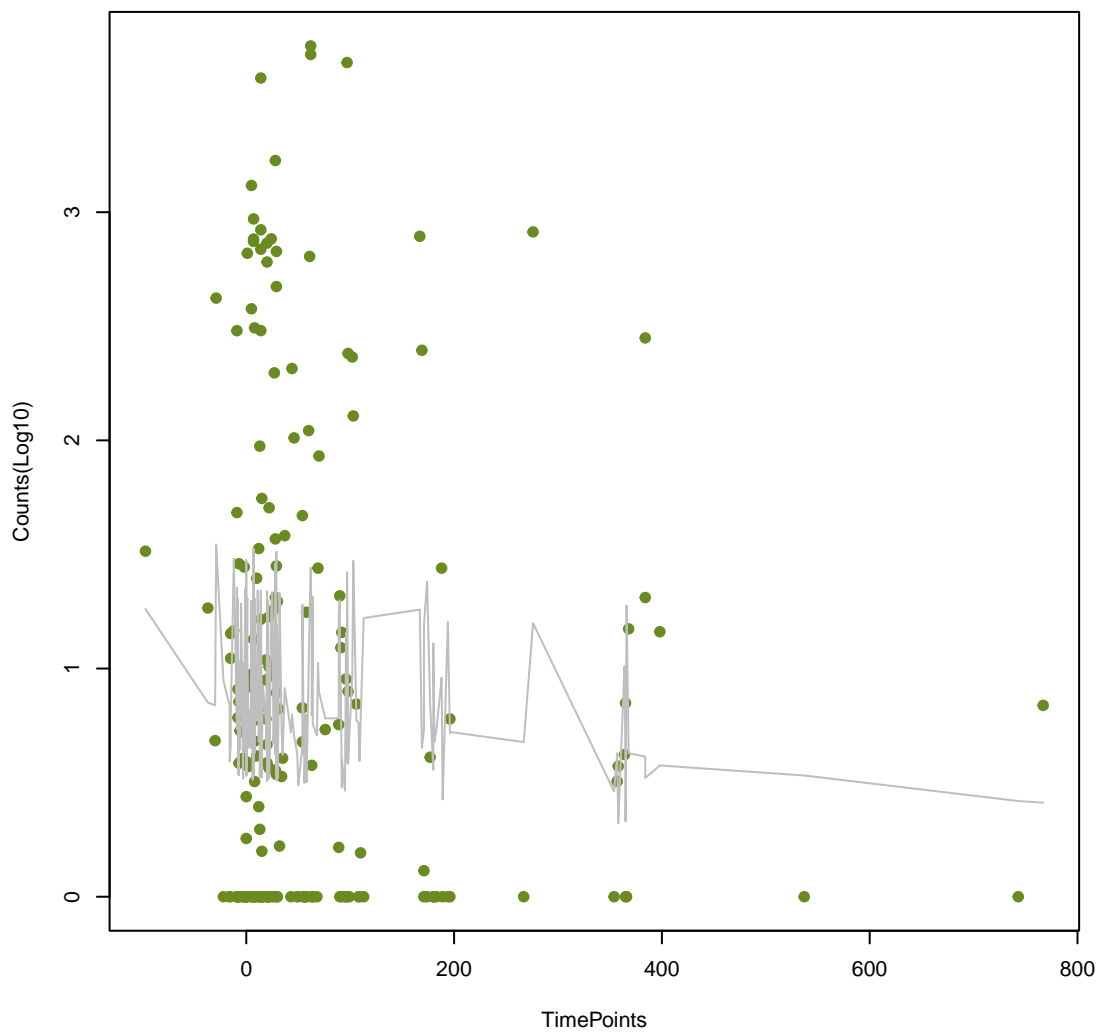


blt
ANOVA P=0.397, adj. ANOVA-P=0.683

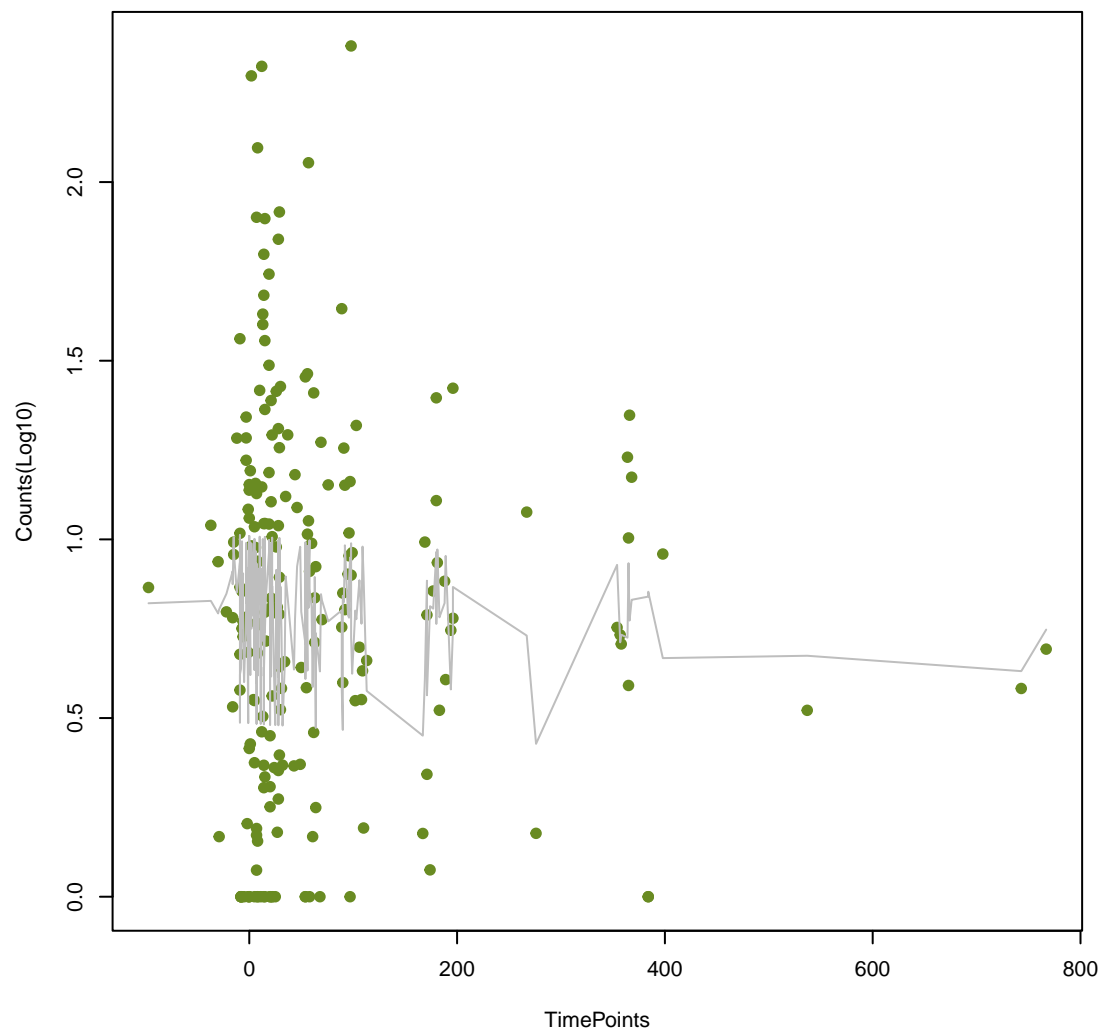




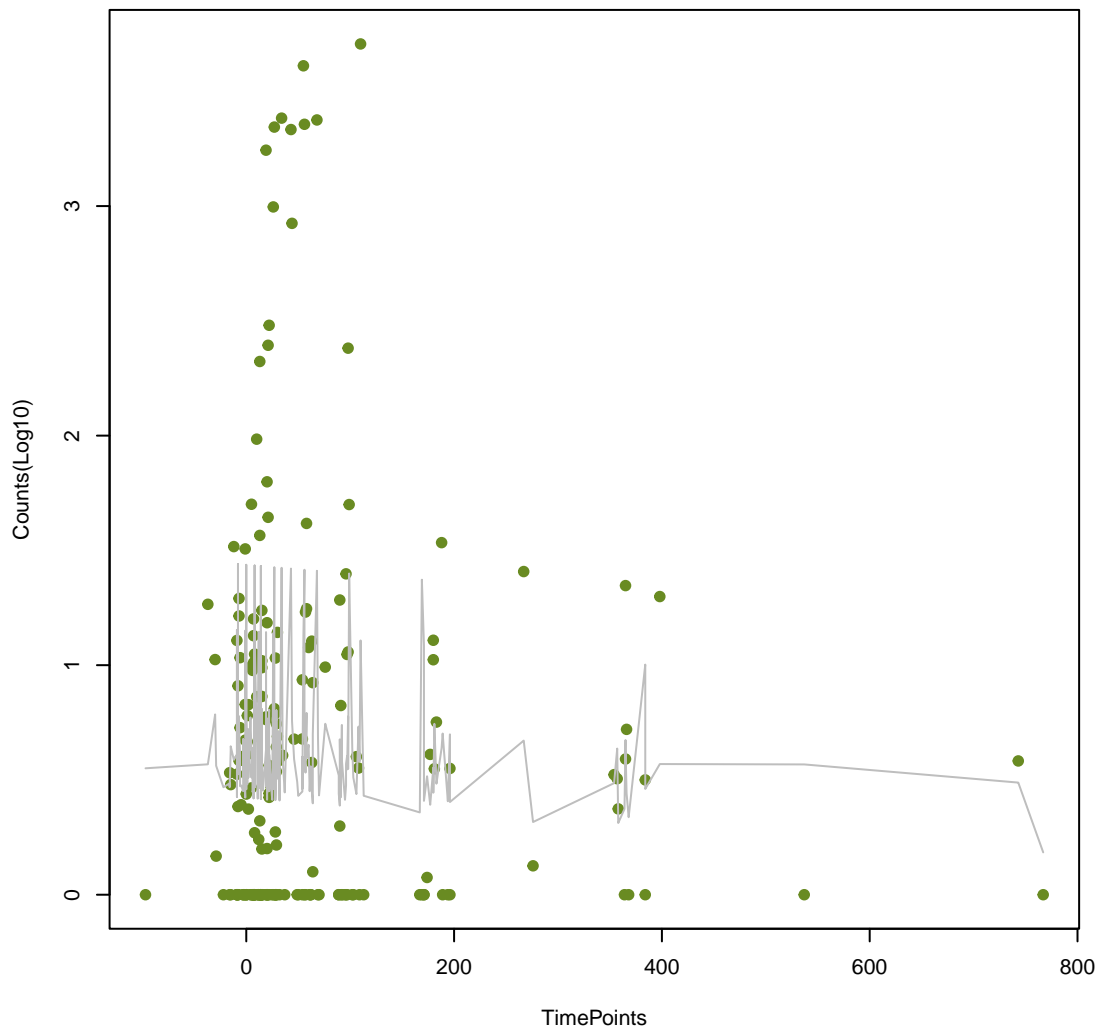
AAC(6')-li
ANOVA P=0.418, adj. ANOVA-P=0.691



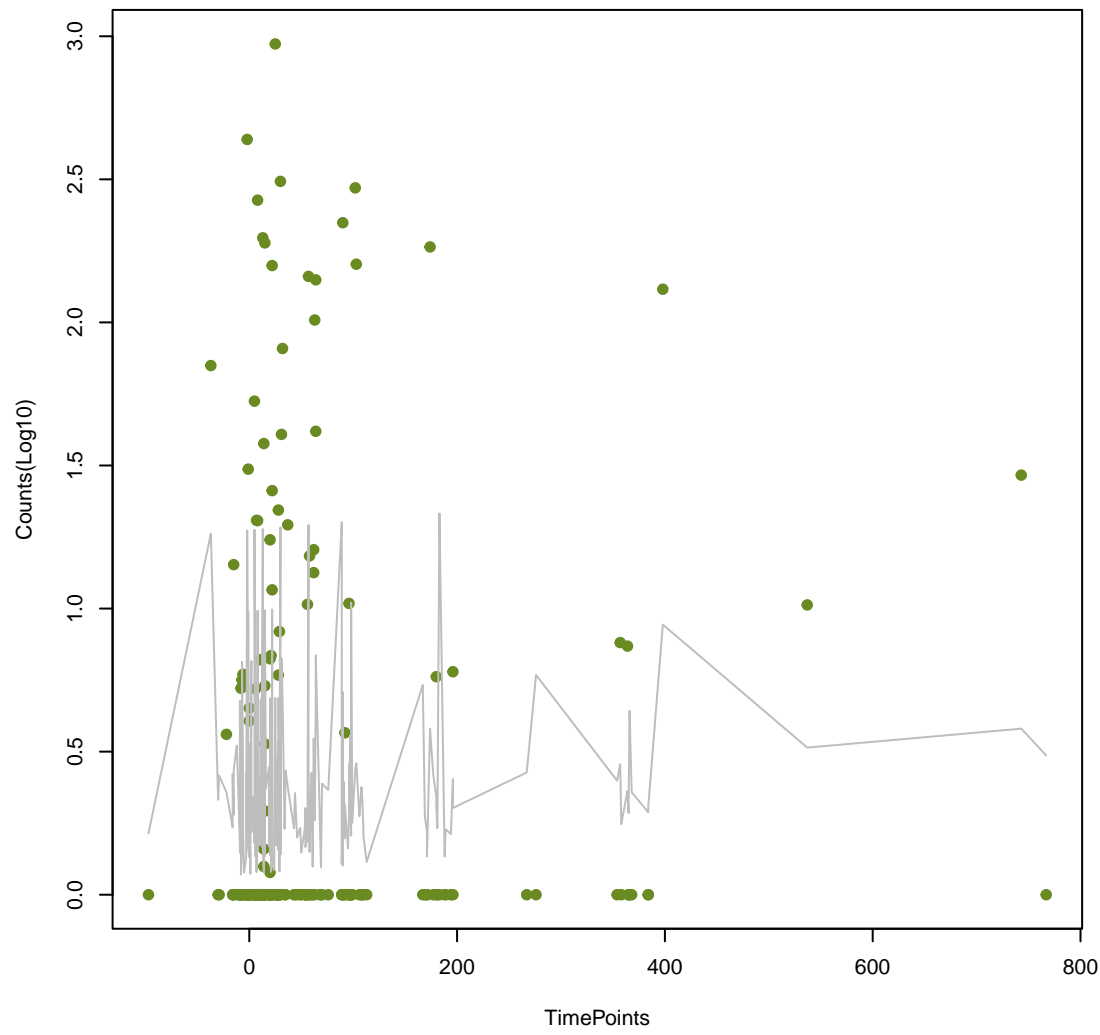
DfrB9
ANOVA P=0.423, adj. ANOVA-P=0.696



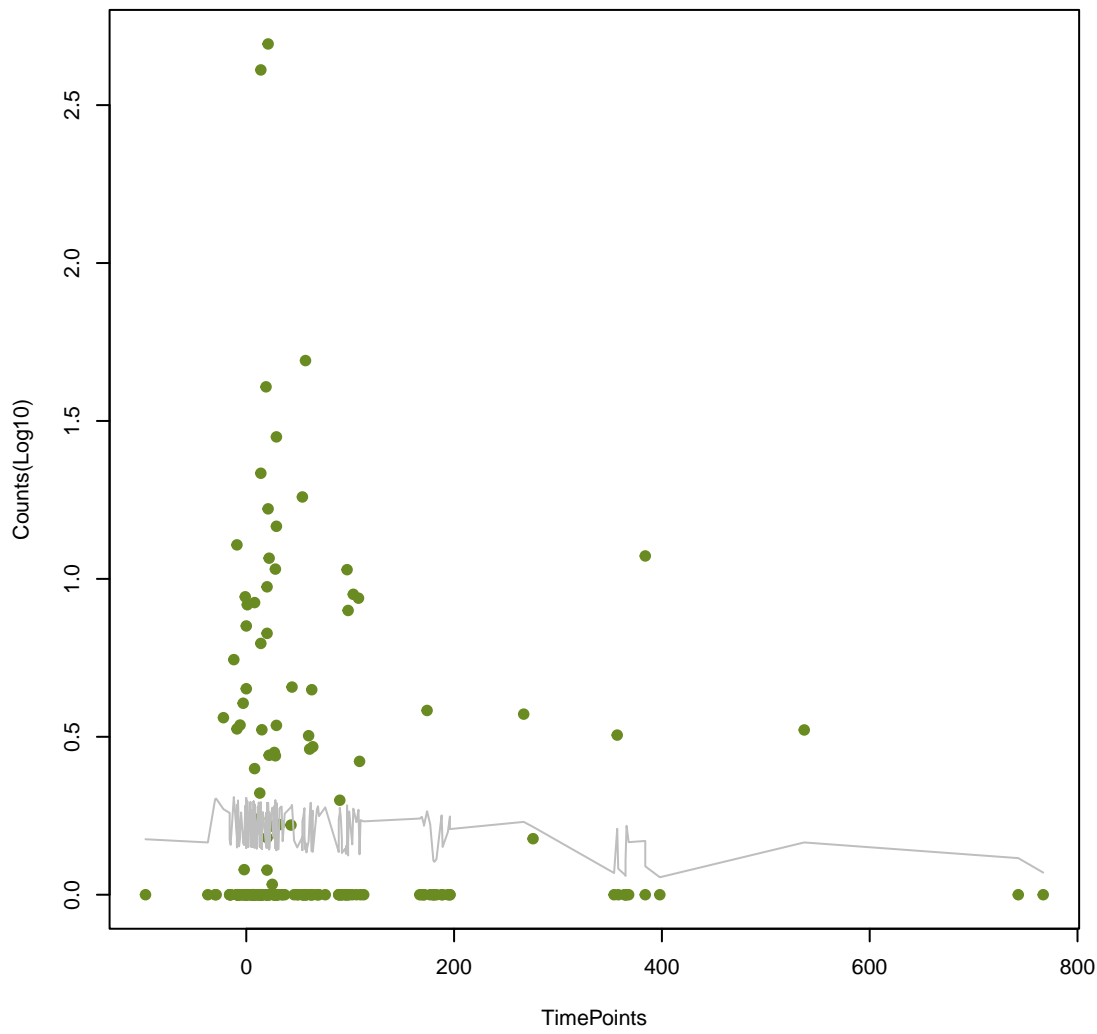
mecA
ANOVA P=0.429, adj. ANOVA-P=0.702



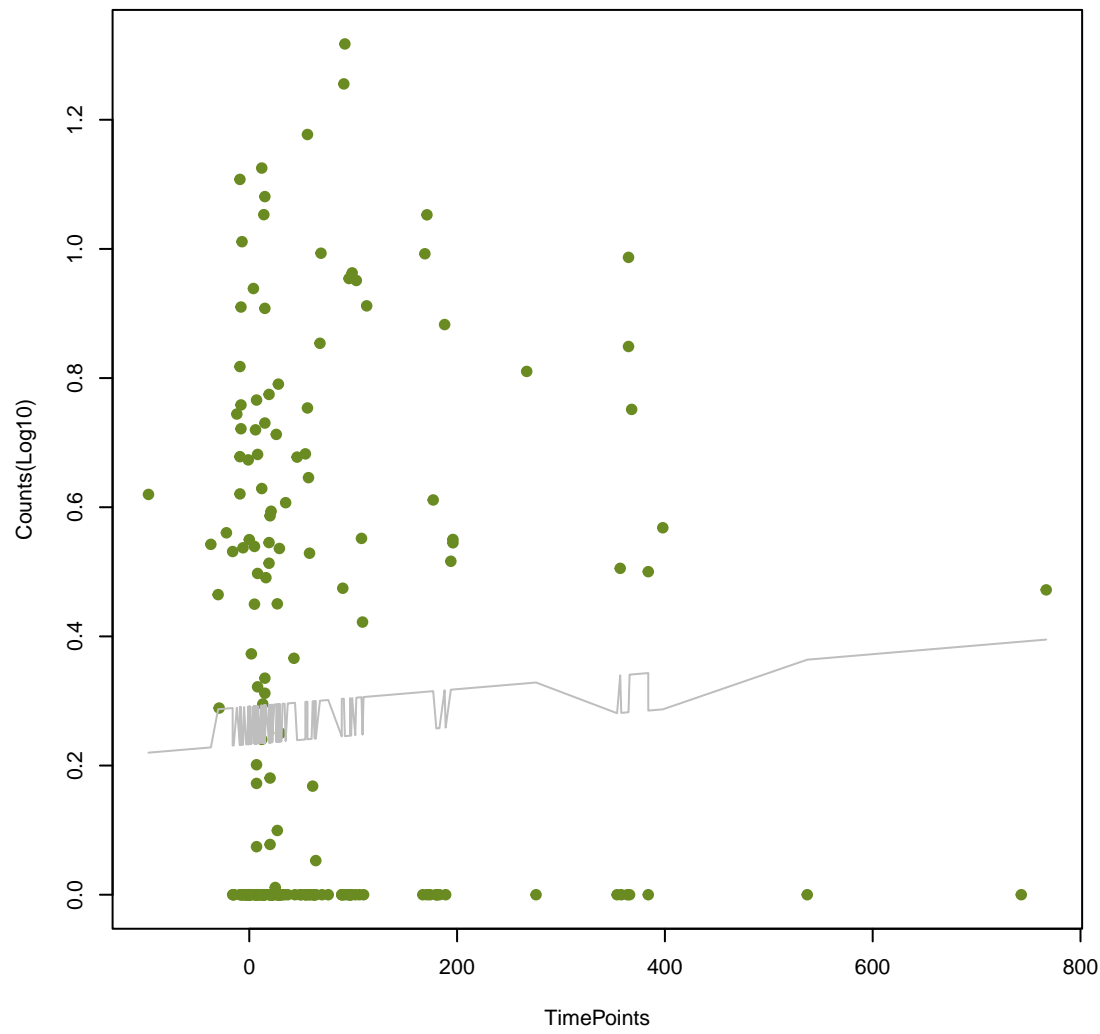
AAC(6')-lb7
ANOVA P=0.432, adj. ANOVA-P=0.702



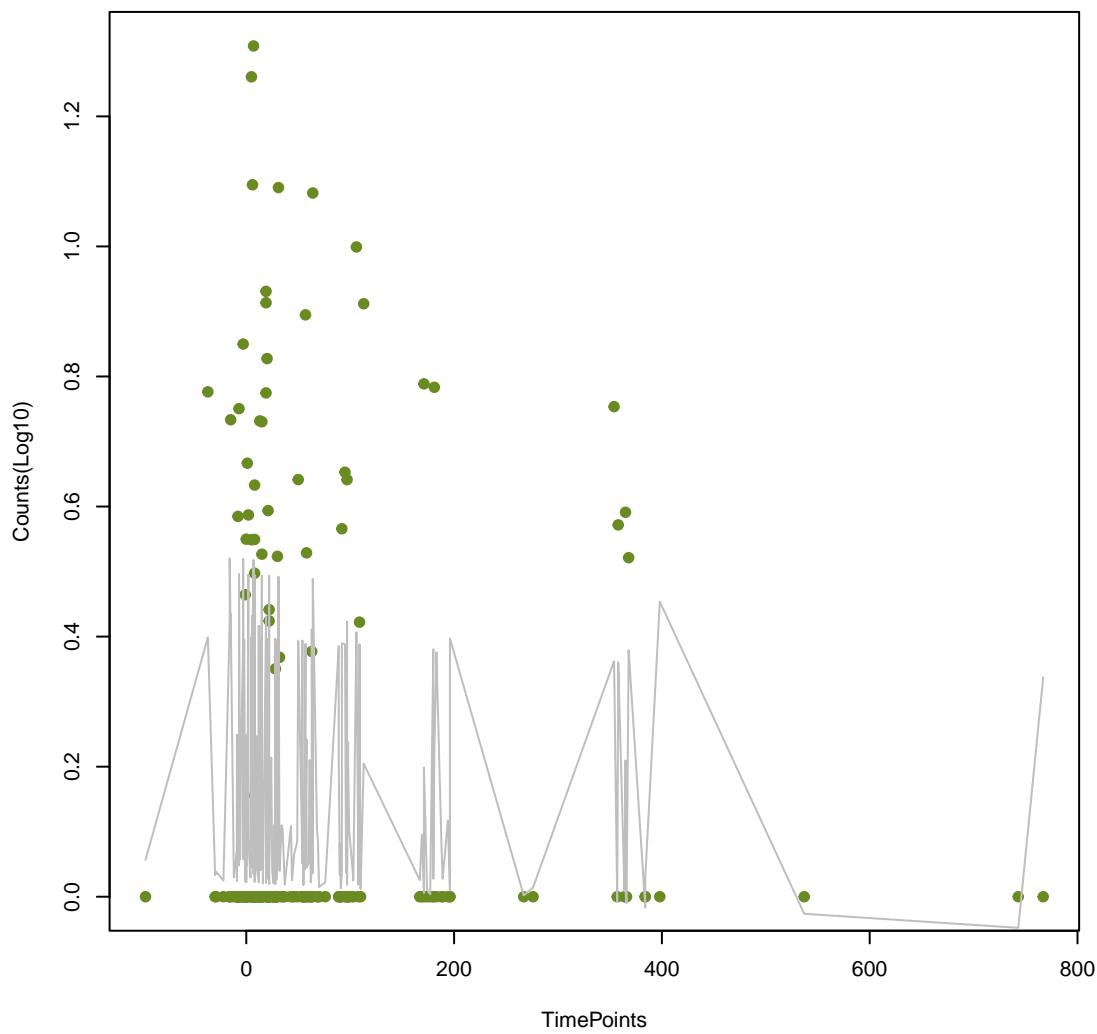
MdtK
ANOVA P=0.439, adj. ANOVA-P=0.709



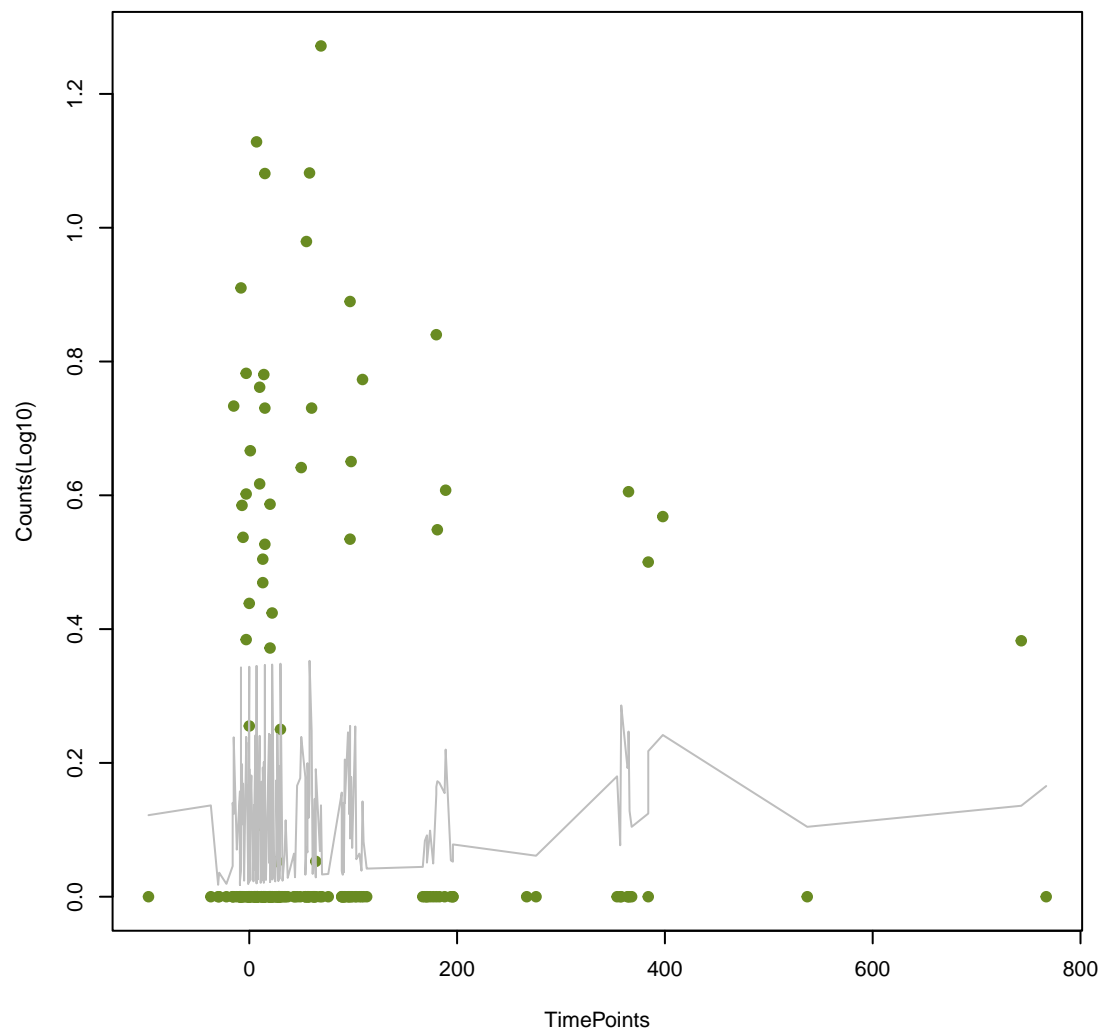
LHK-2
ANOVA P=0.441, adj. ANOVA-P=0.709



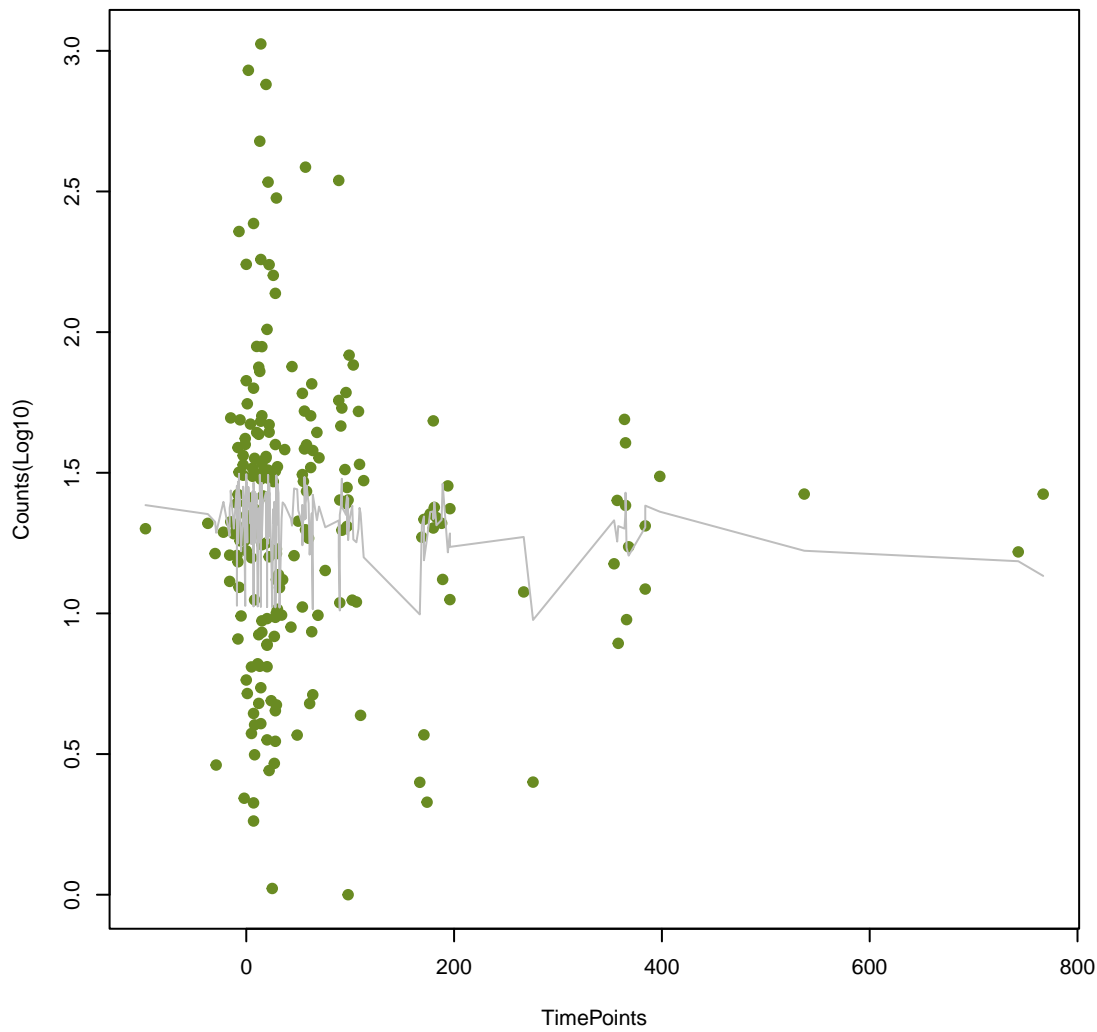
CfxA
ANOVA P=0.457, adj. ANOVA-P=0.723



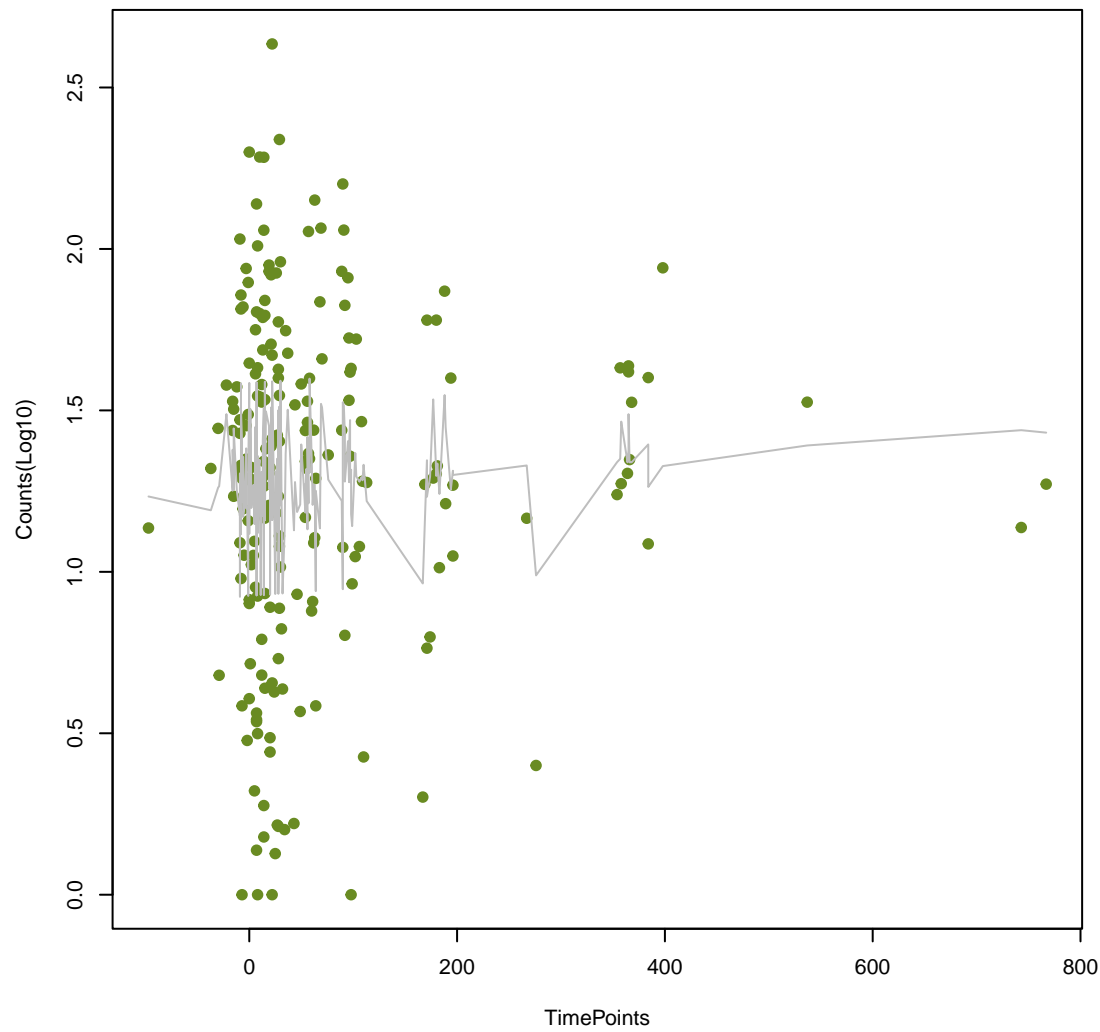
OXA-85
ANOVA P=0.459, adj. ANOVA-P=0.723



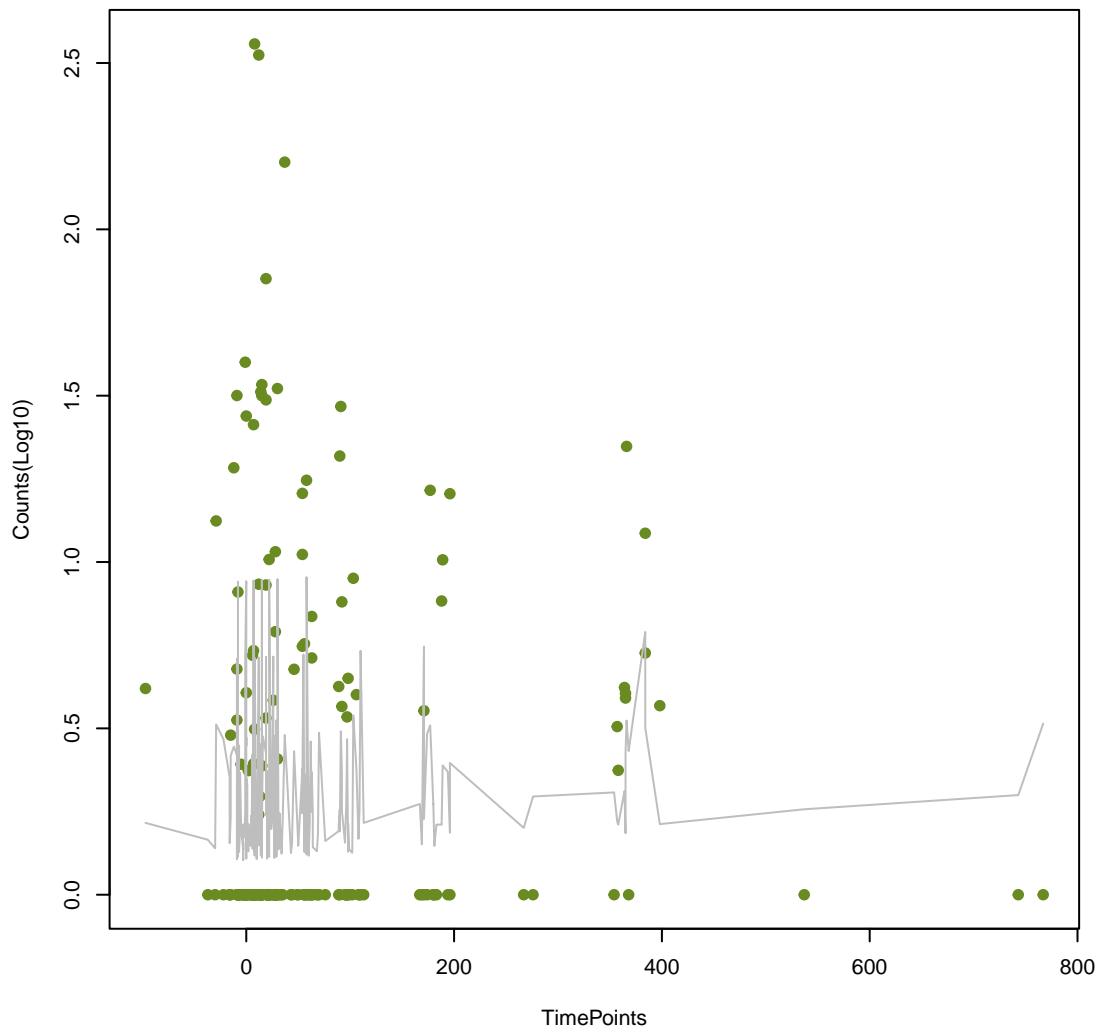
dfrB7
ANOVA P=0.461, adj. ANOVA-P=0.723



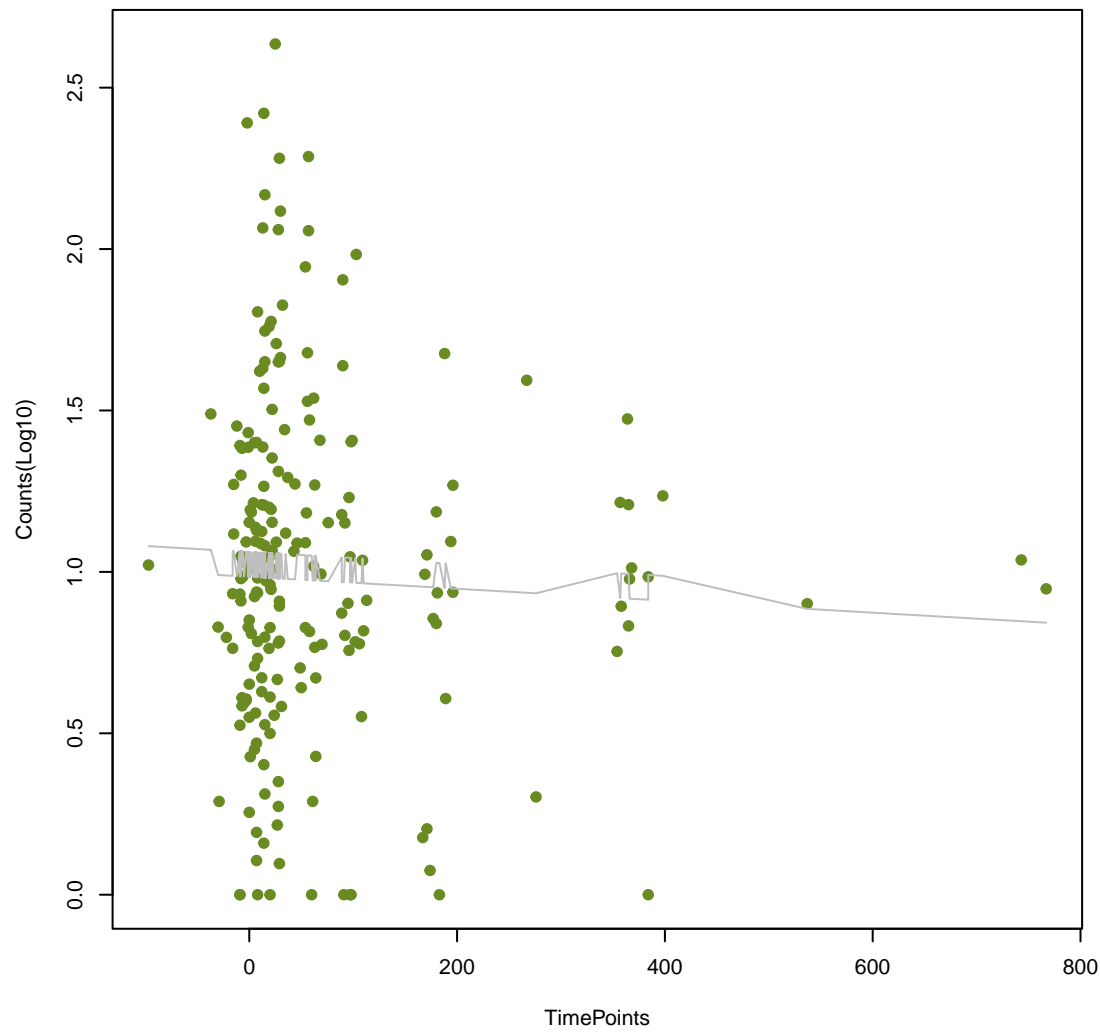
qacG
ANOVA P=0.461, adj. ANOVA-P=0.723

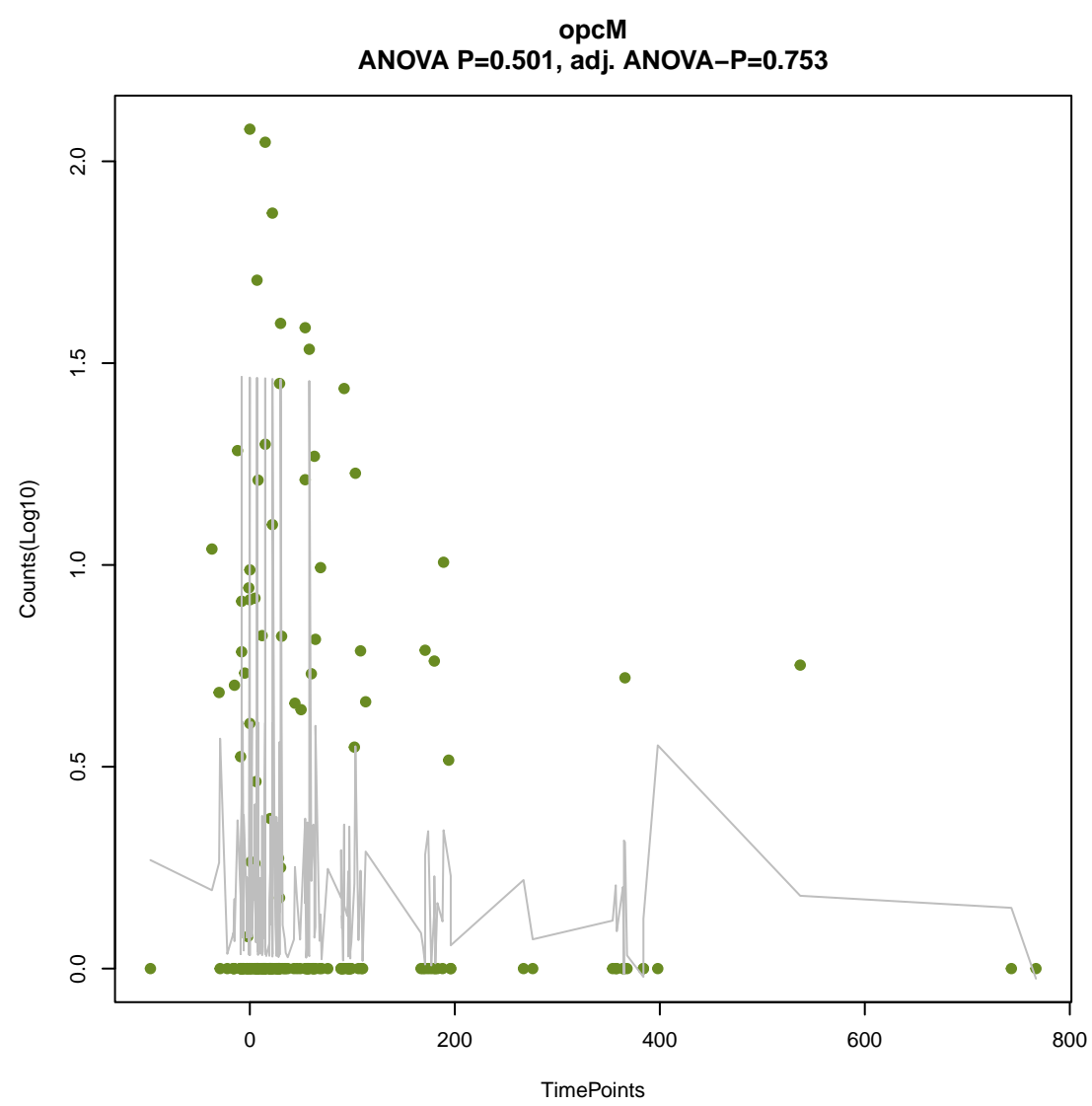
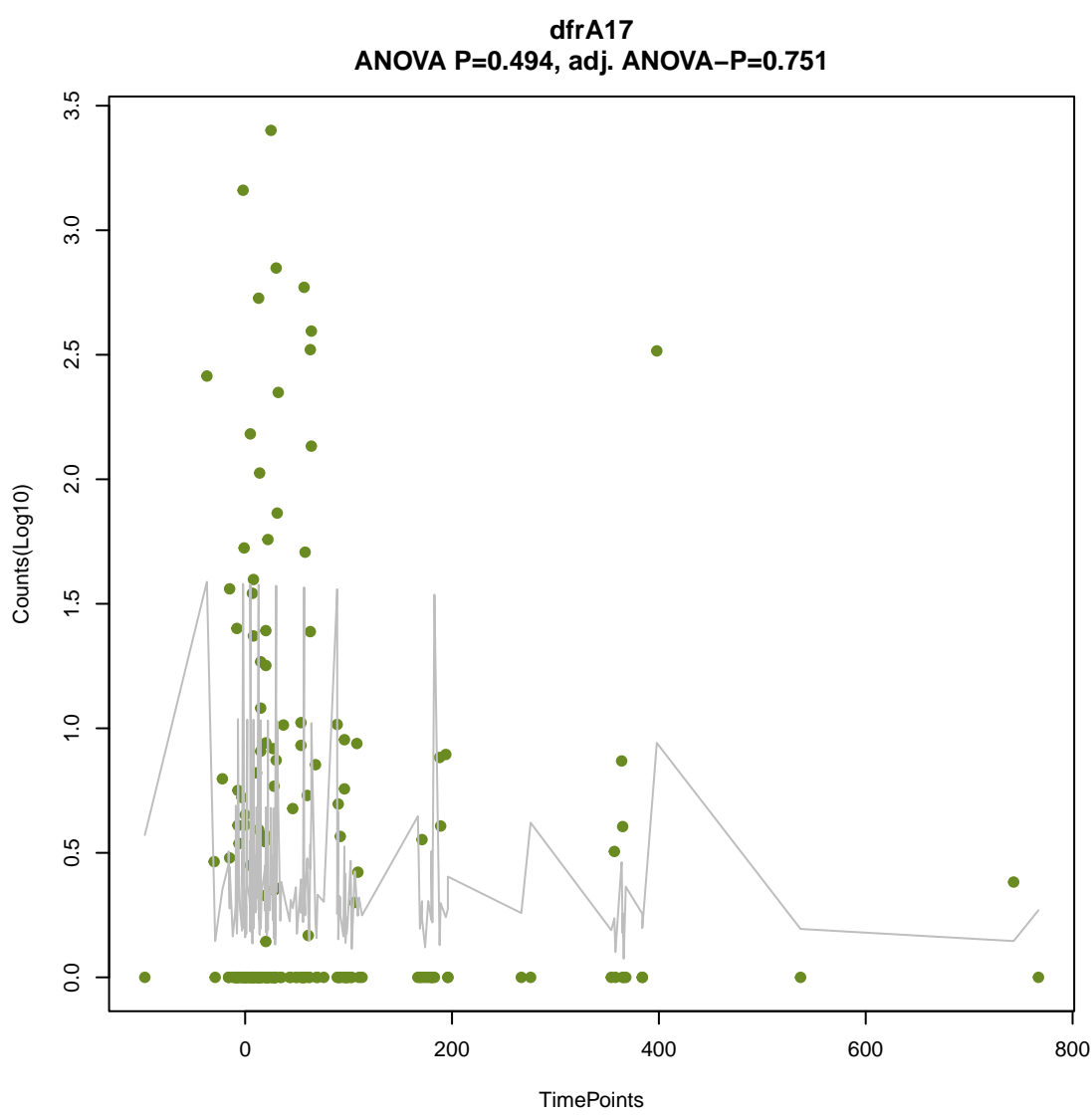
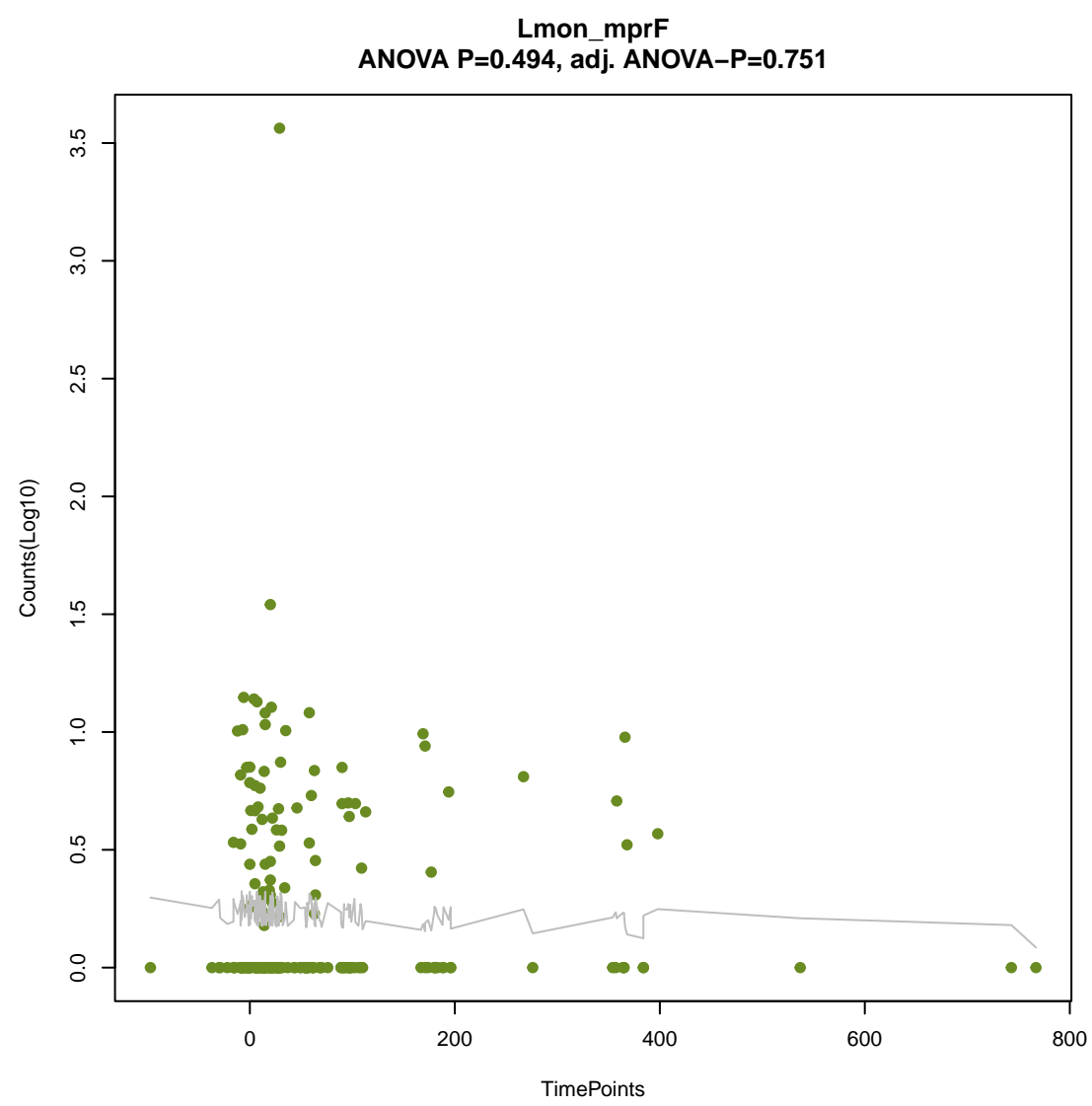
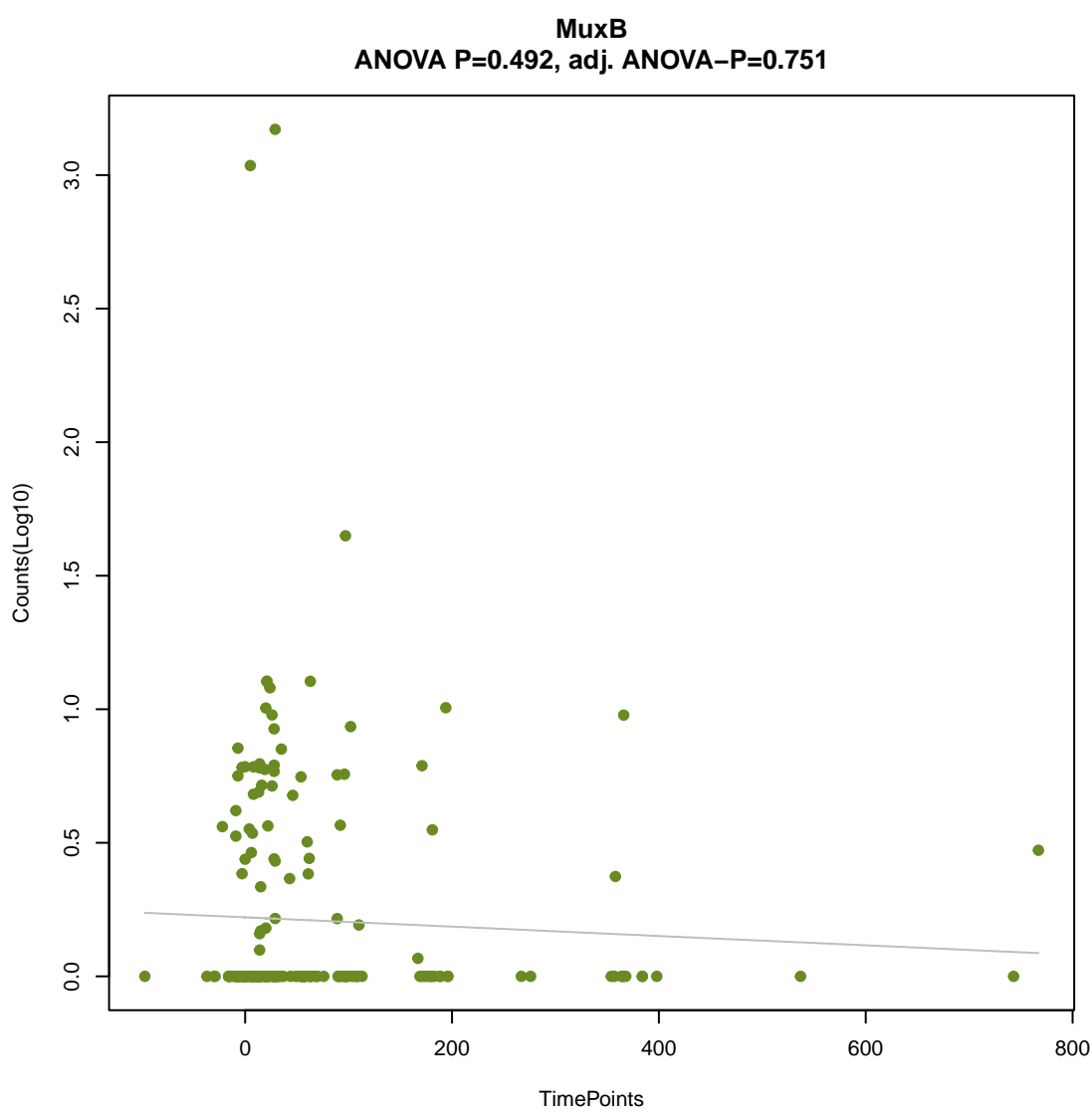
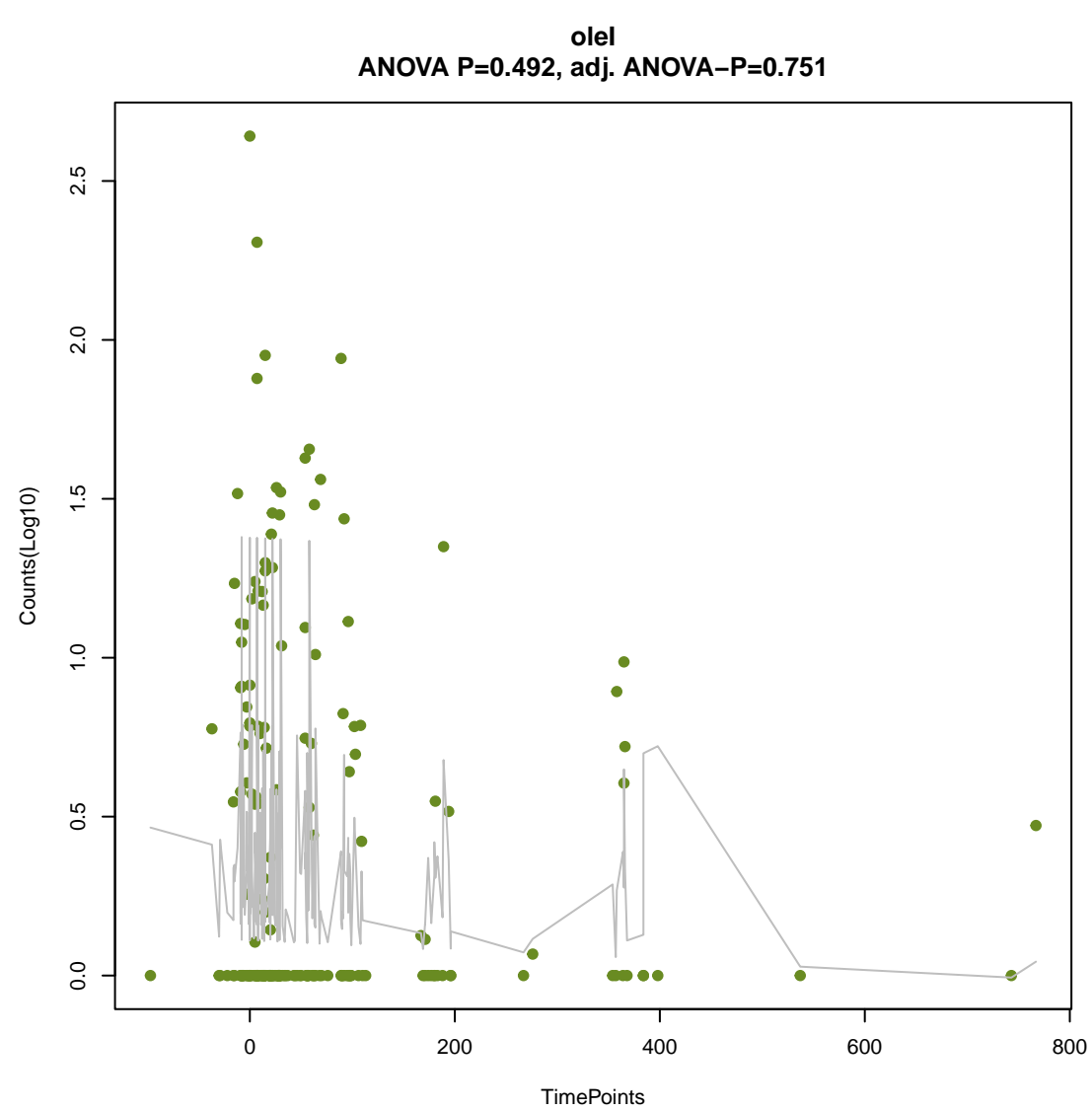
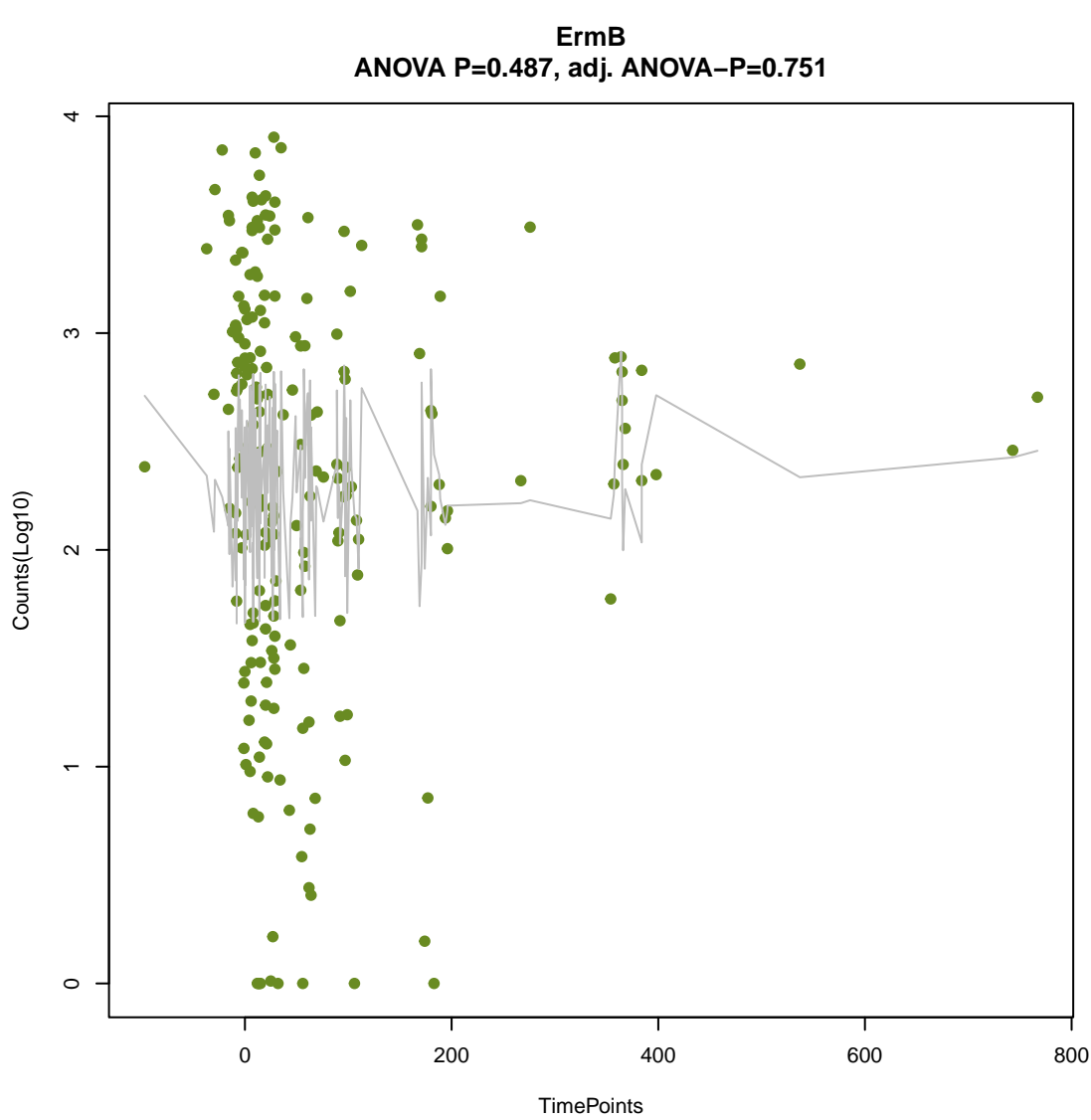


otr(B)
ANOVA P=0.462, adj. ANOVA-P=0.723

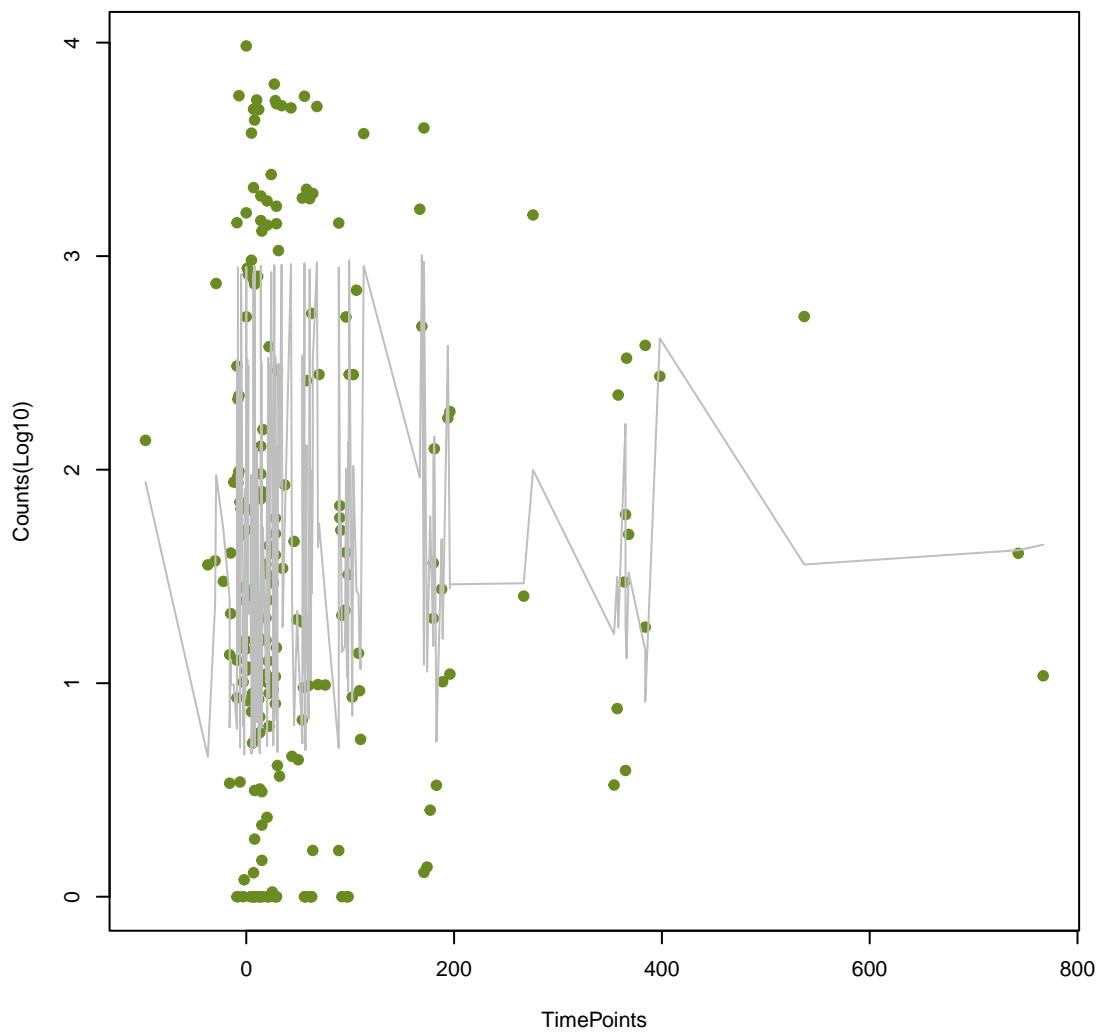


qacE
ANOVA P=0.465, adj. ANOVA-P=0.724

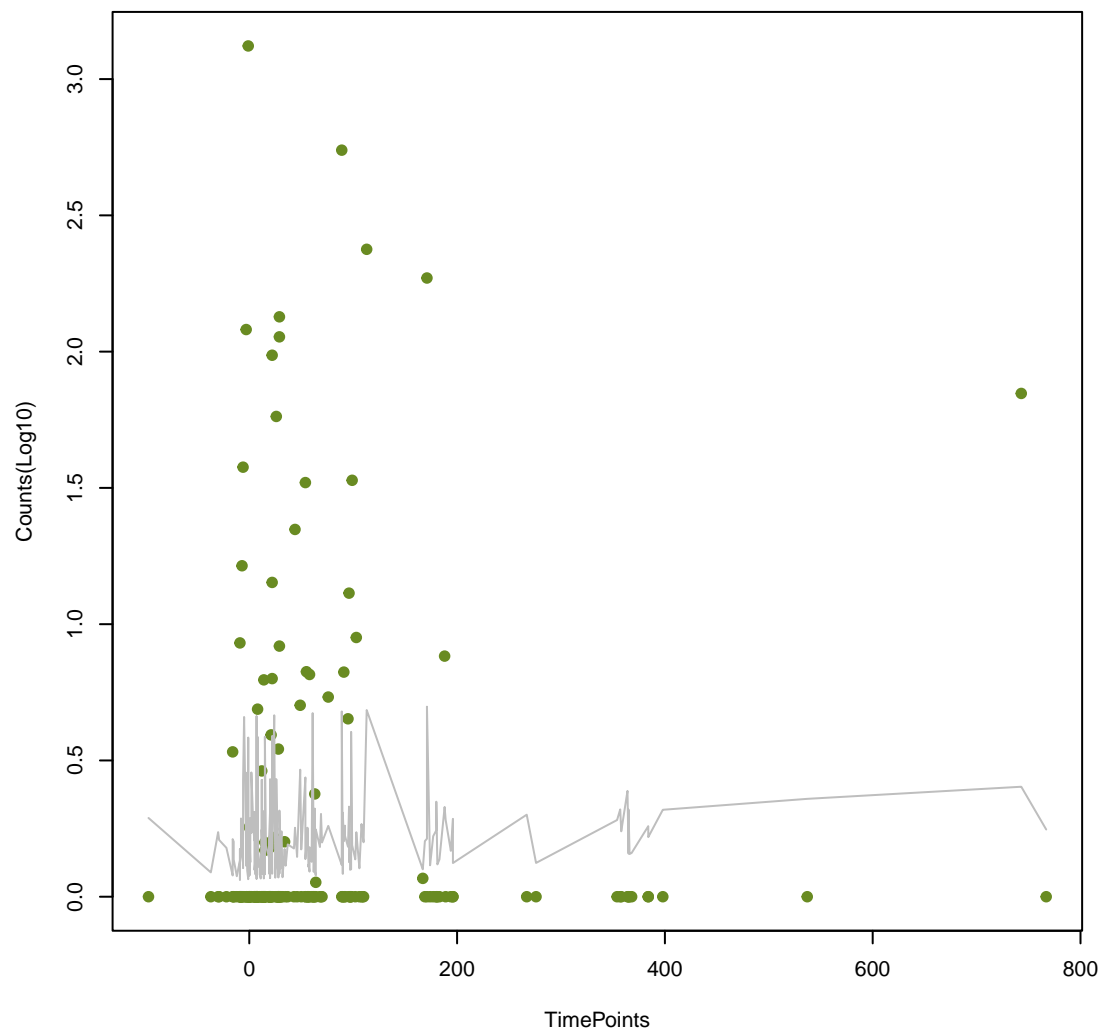




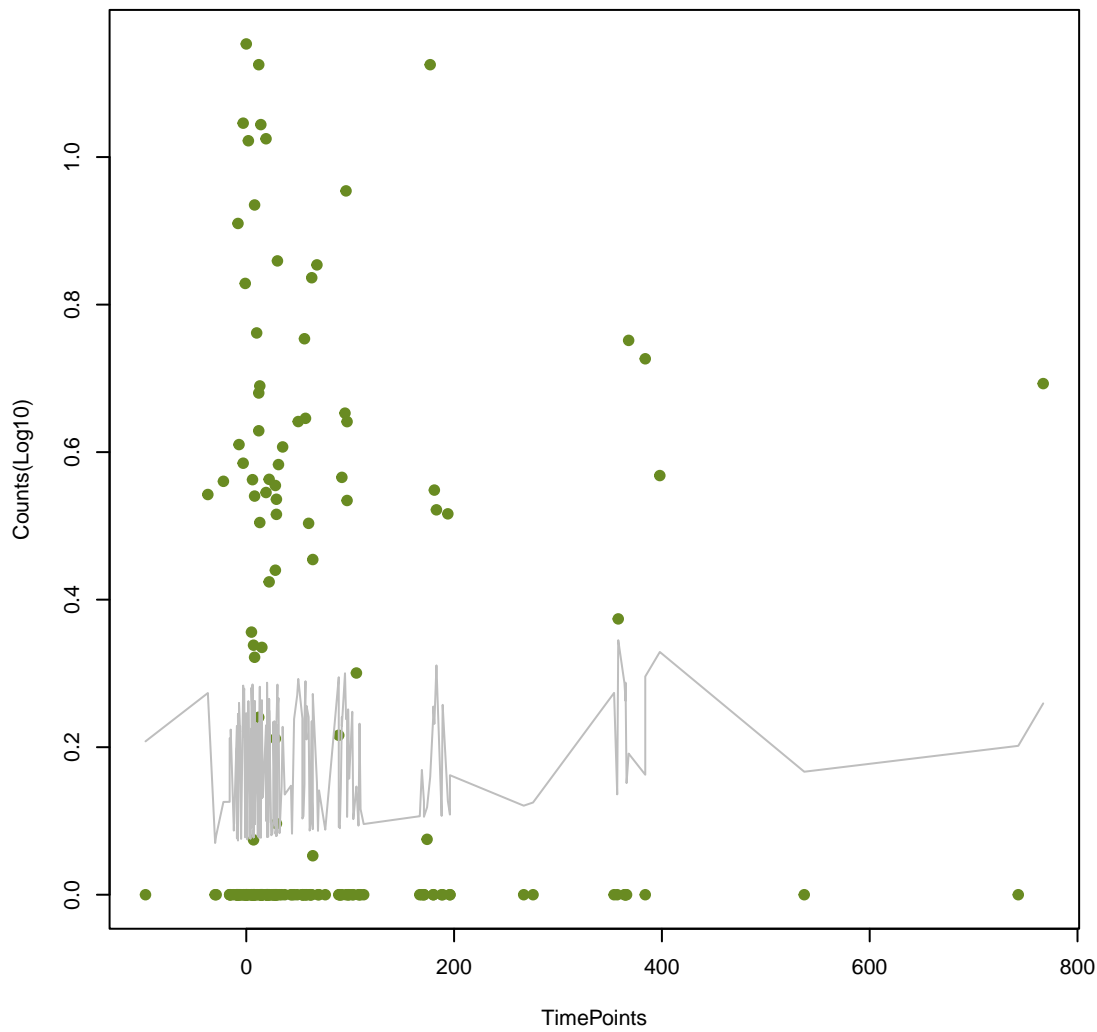
AAC6_le_APH2_la
ANOVA P=0.501, adj. ANOVA-P=0.753



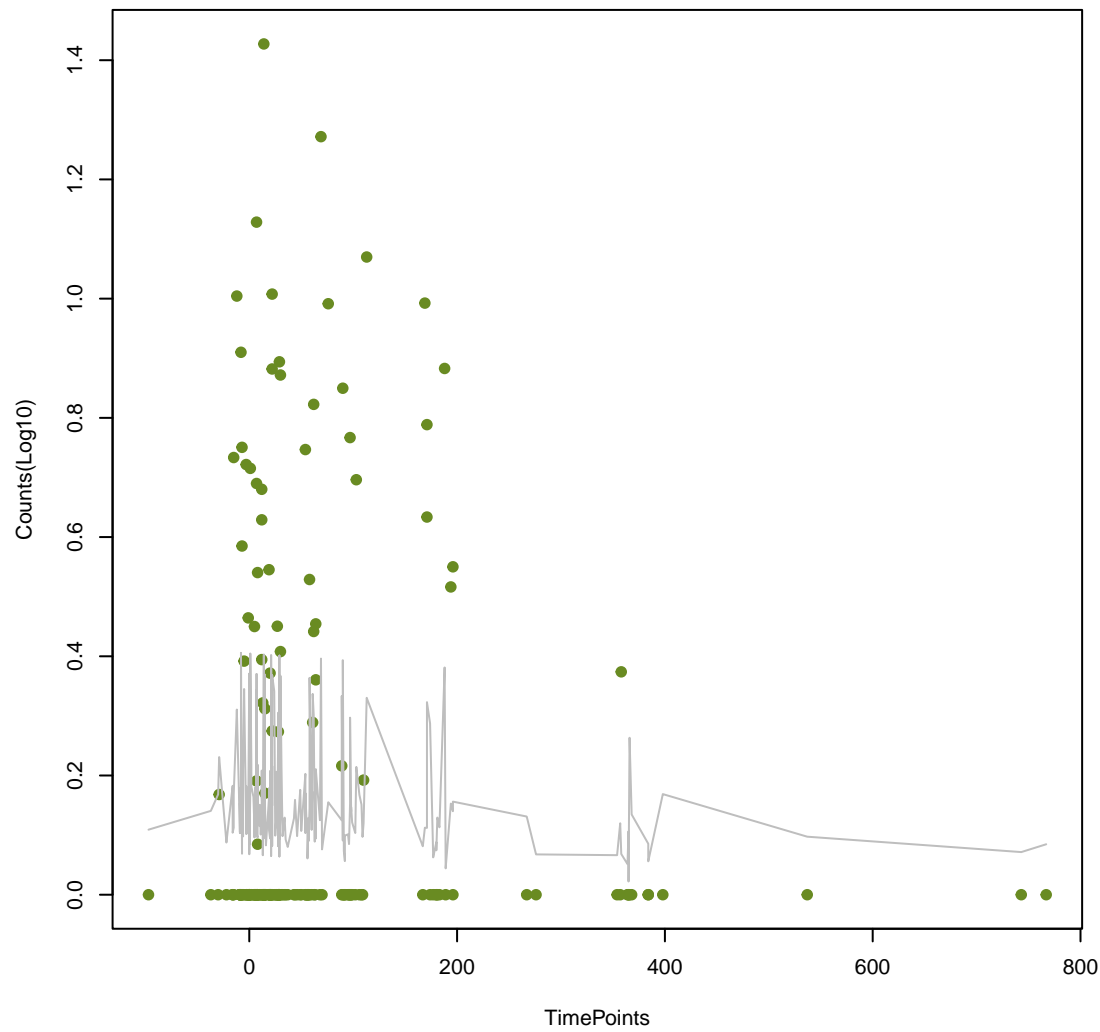
LnuP
ANOVA P=0.509, adj. ANOVA-P=0.759



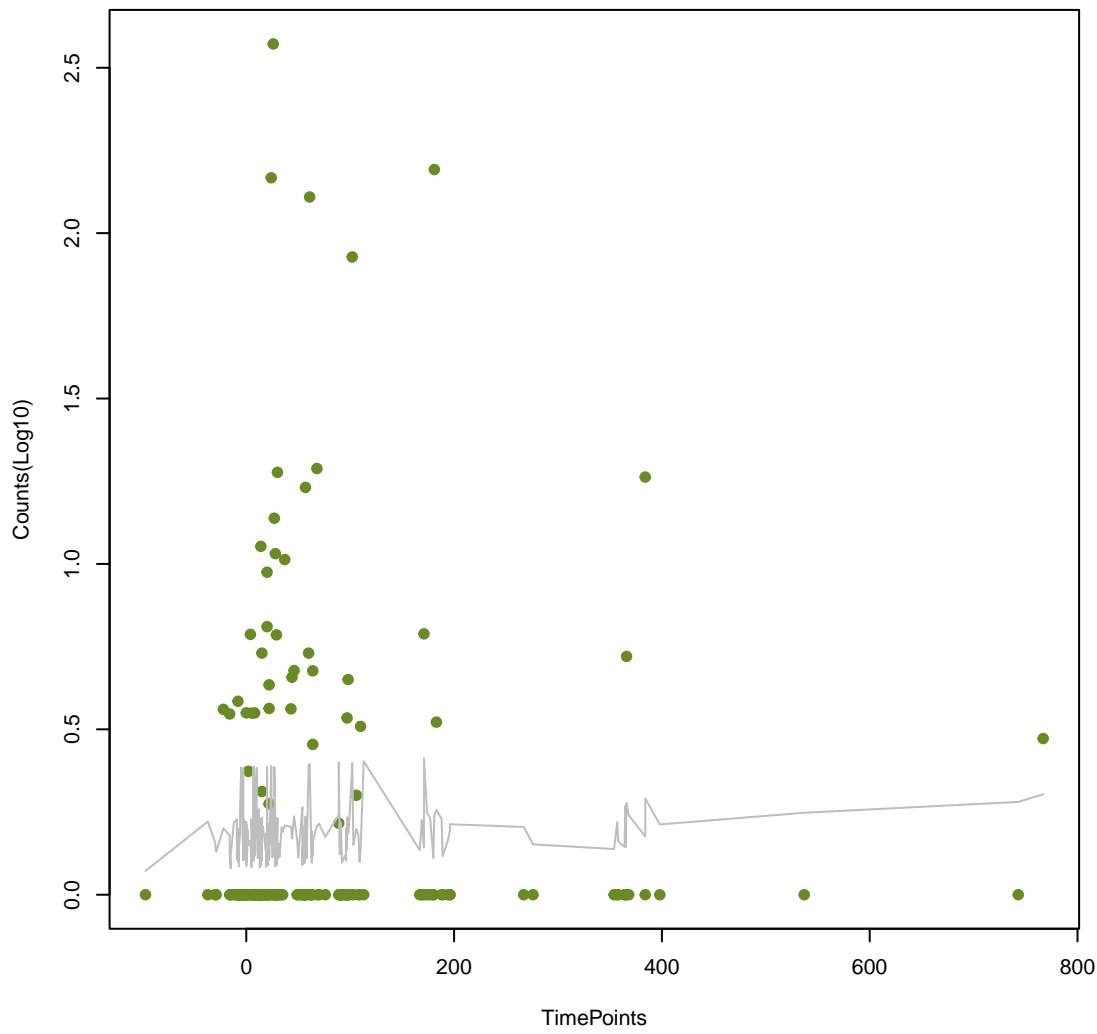
tlrC
ANOVA P=0.51, adj. ANOVA-P=0.759



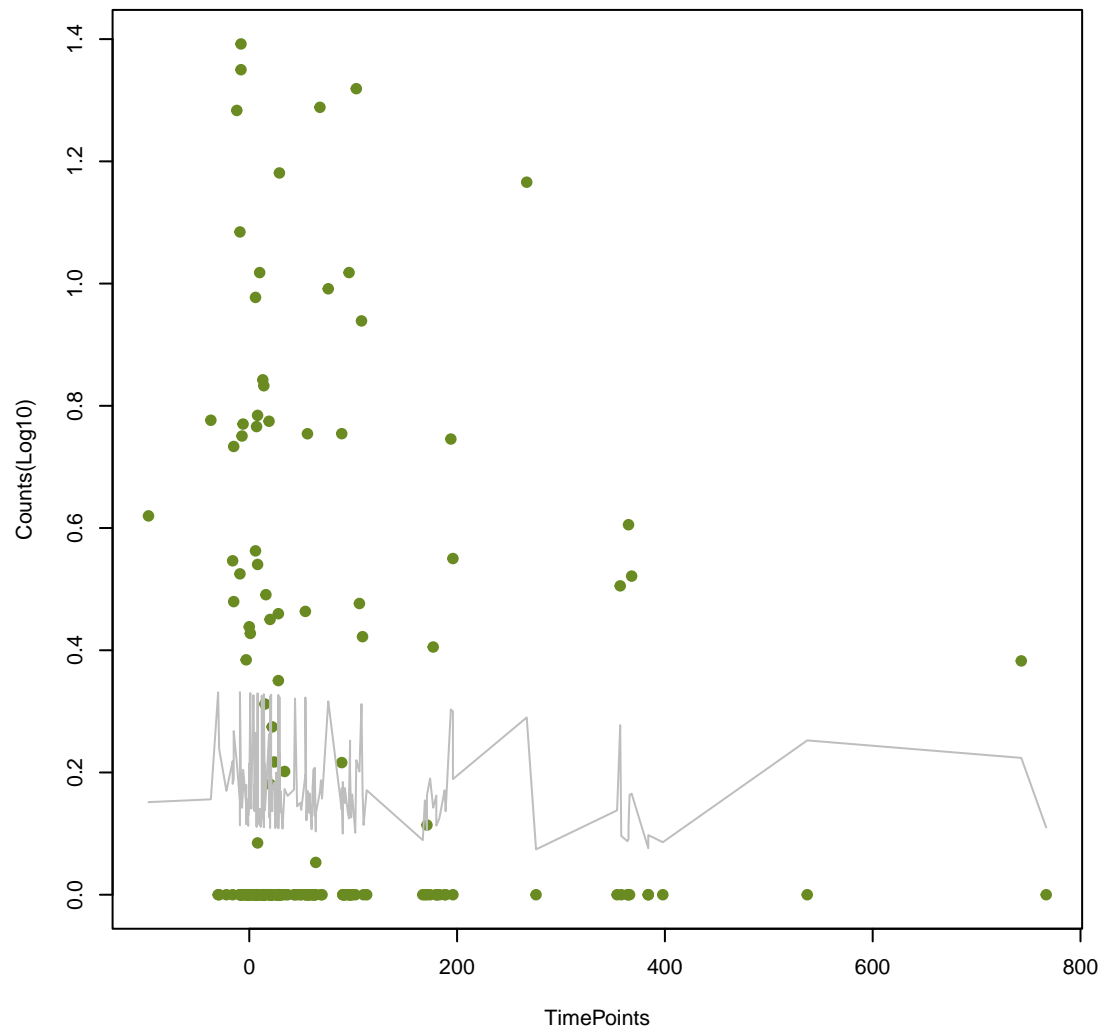
ERP-1
ANOVA P=0.515, adj. ANOVA-P=0.759



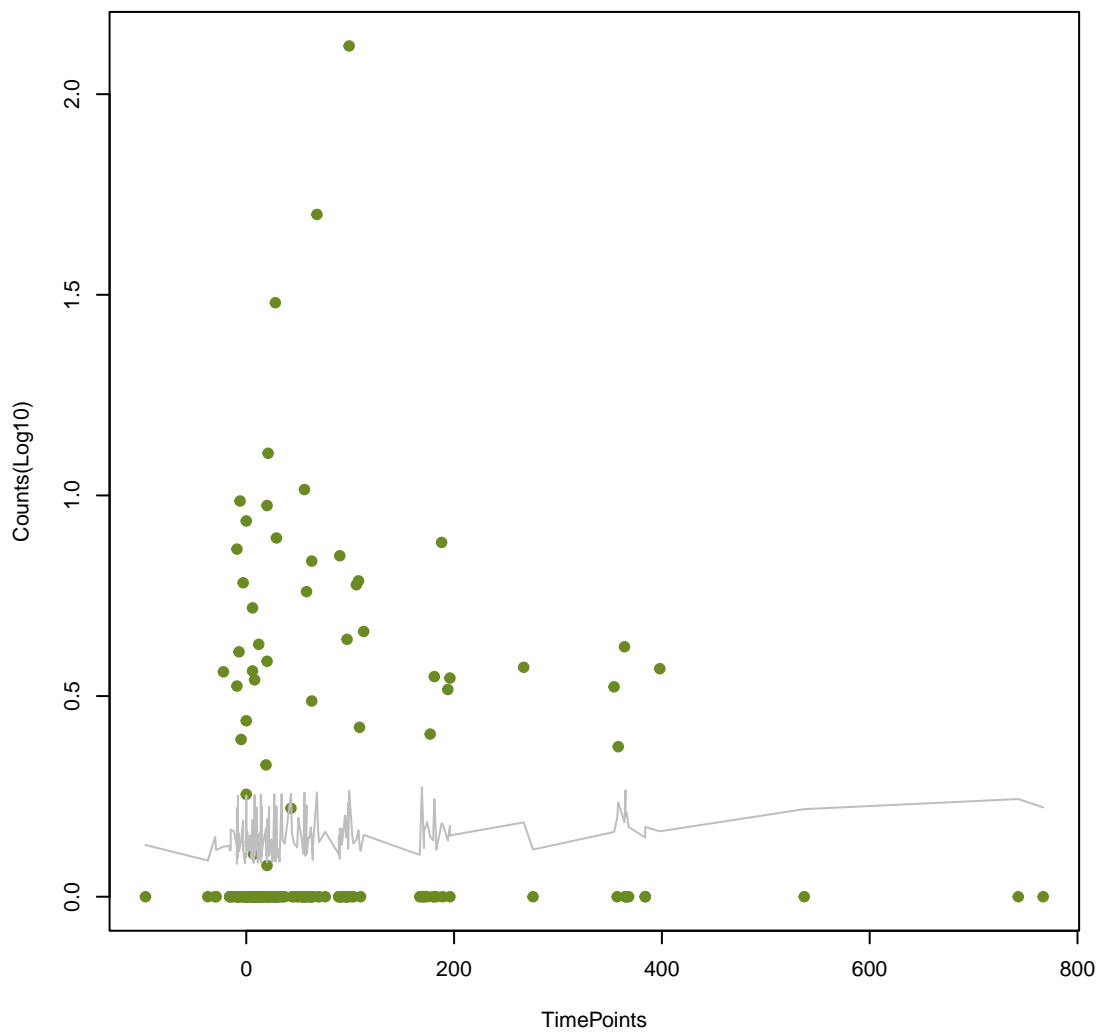
SHV-53
ANOVA P=0.516, adj. ANOVA-P=0.759



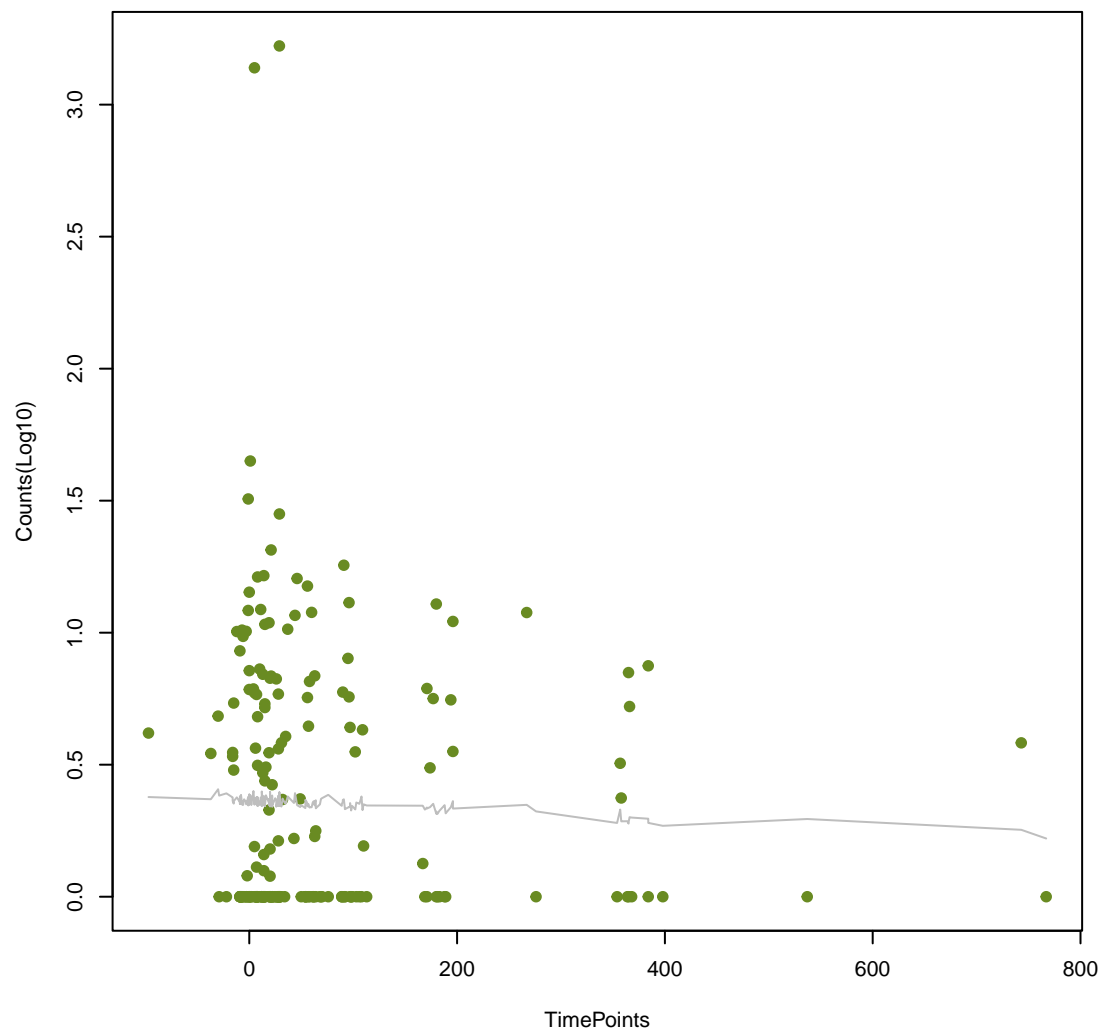
bmr
ANOVA P=0.523, adj. ANOVA-P=0.759



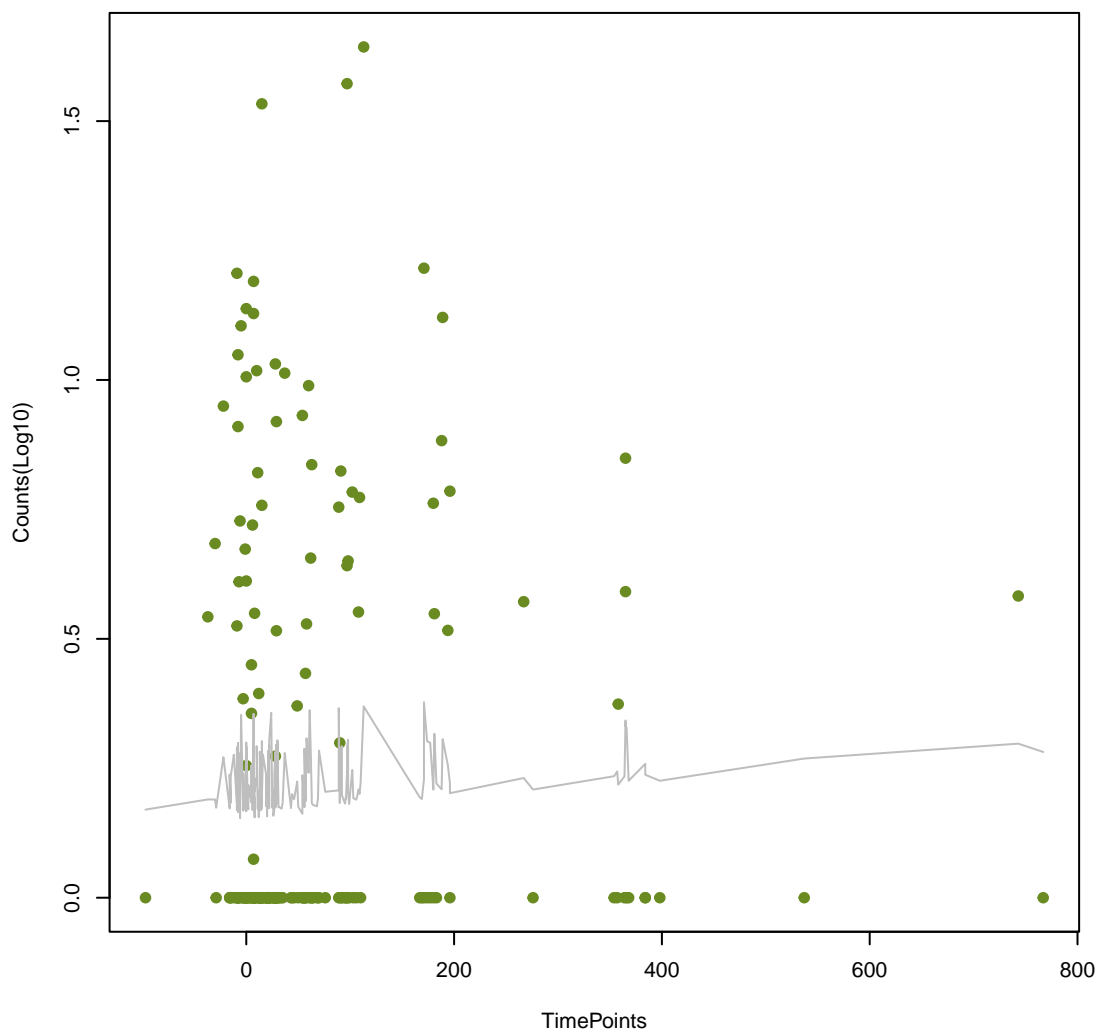
PME-1
ANOVA P=0.524, adj. ANOVA-P=0.759



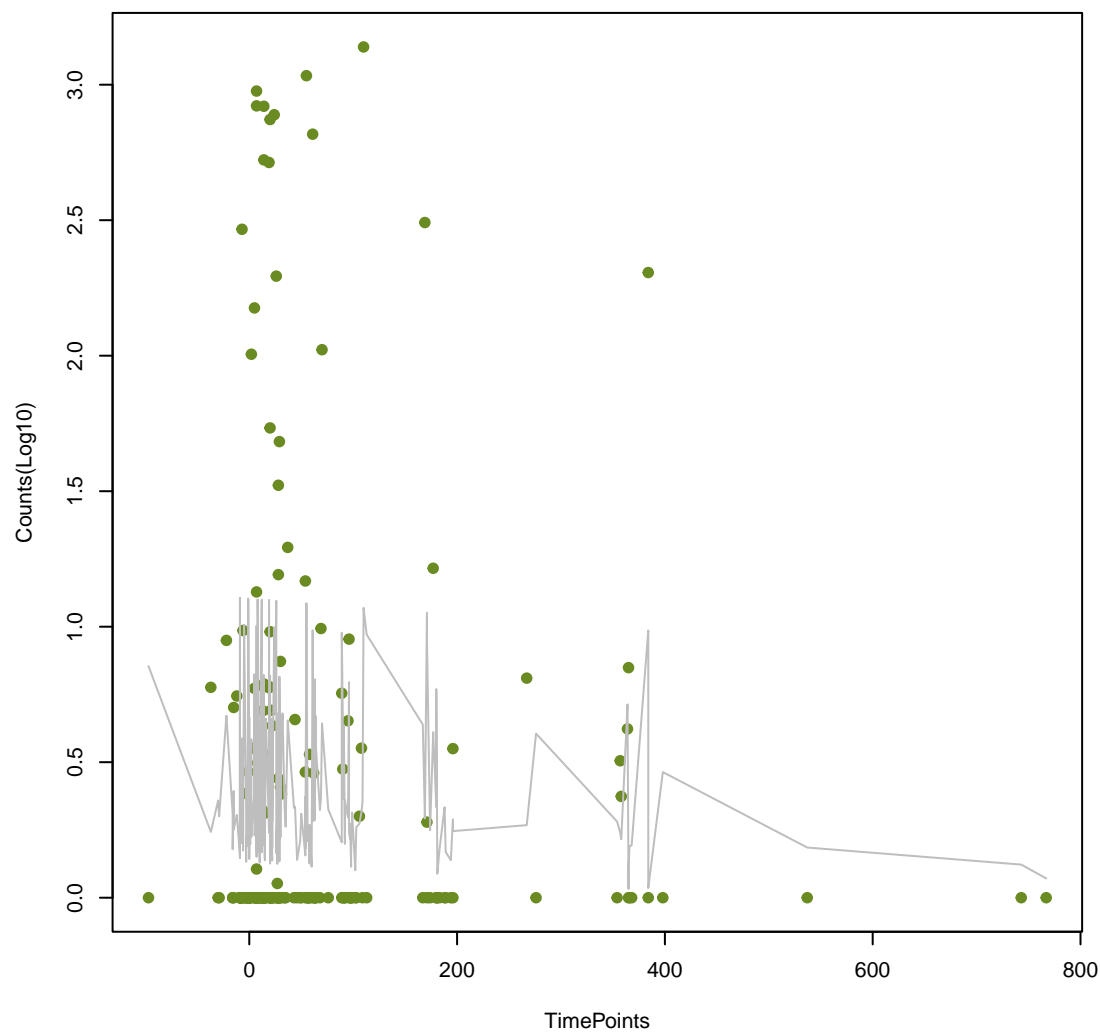
MexD
ANOVA P=0.528, adj. ANOVA-P=0.759



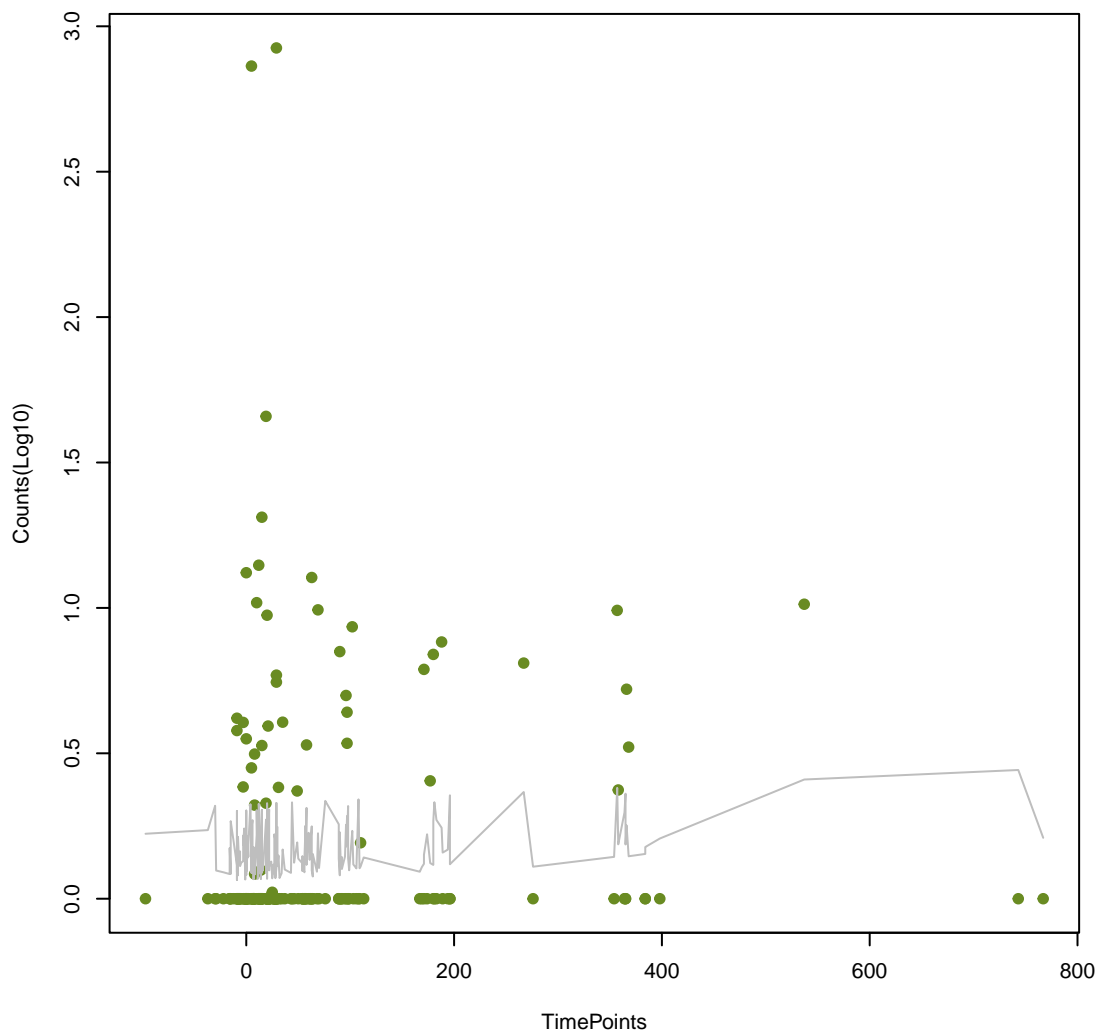
DHA-28
ANOVA P=0.529, adj. ANOVA-P=0.759



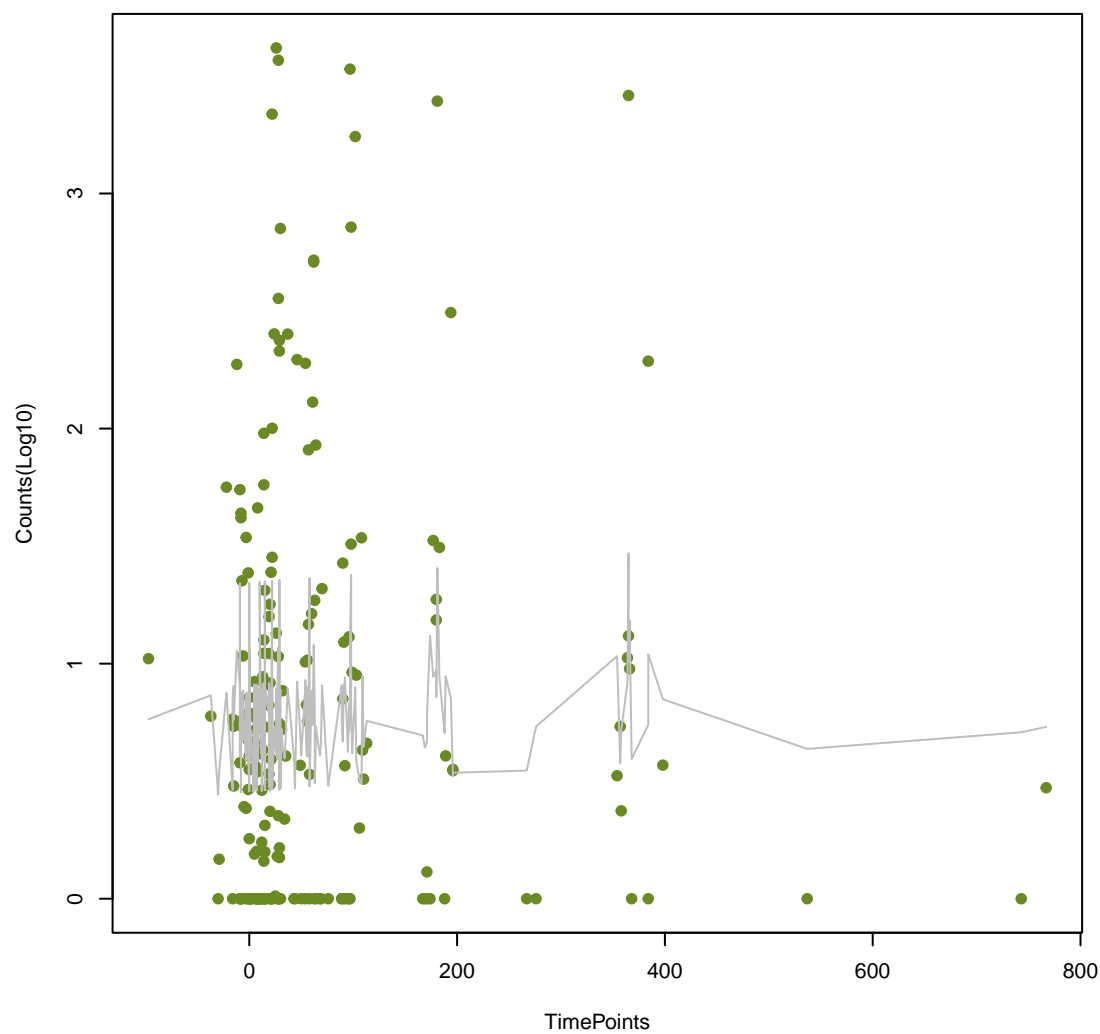
dfrG
ANOVA P=0.529, adj. ANOVA-P=0.759



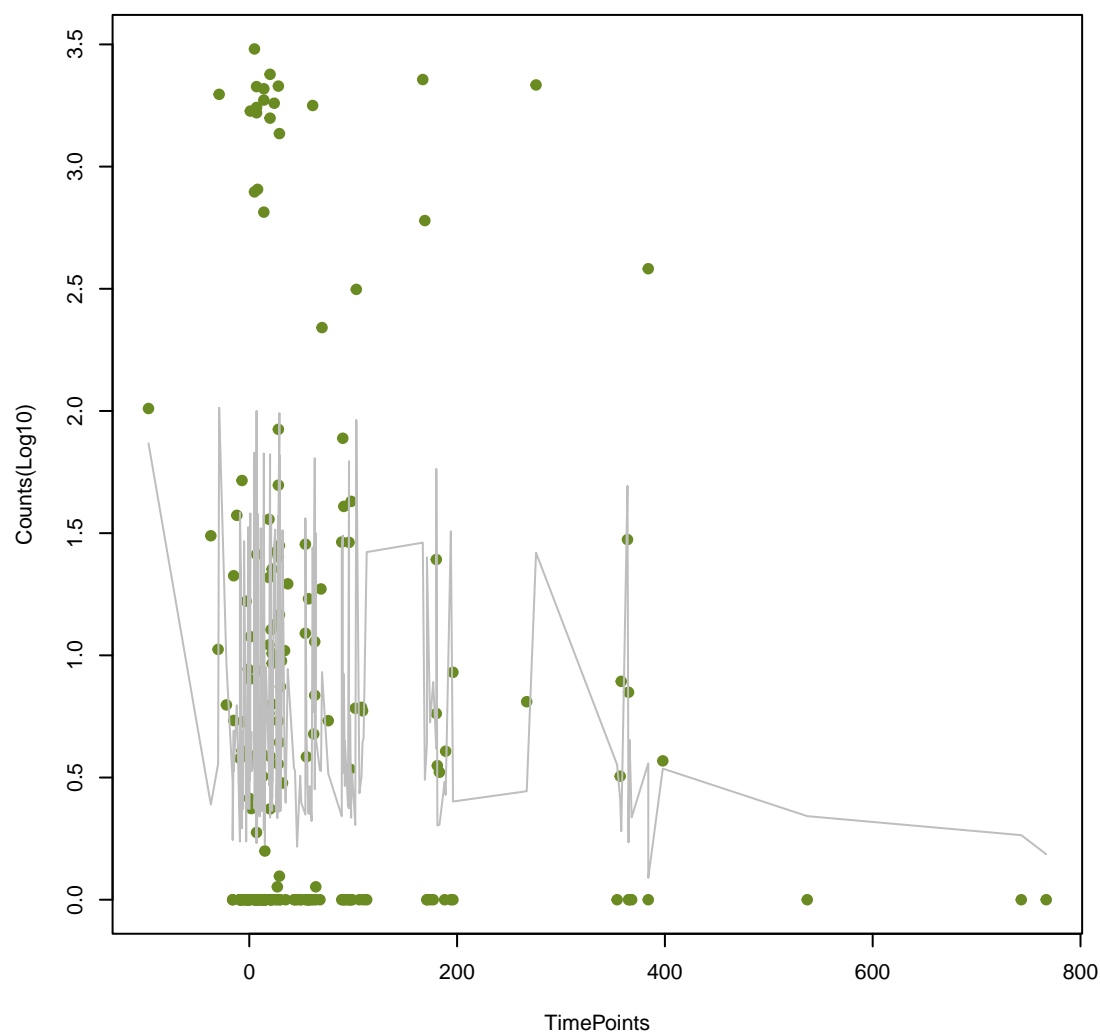
OpmD
ANOVA P=0.53, adj. ANOVA-P=0.759



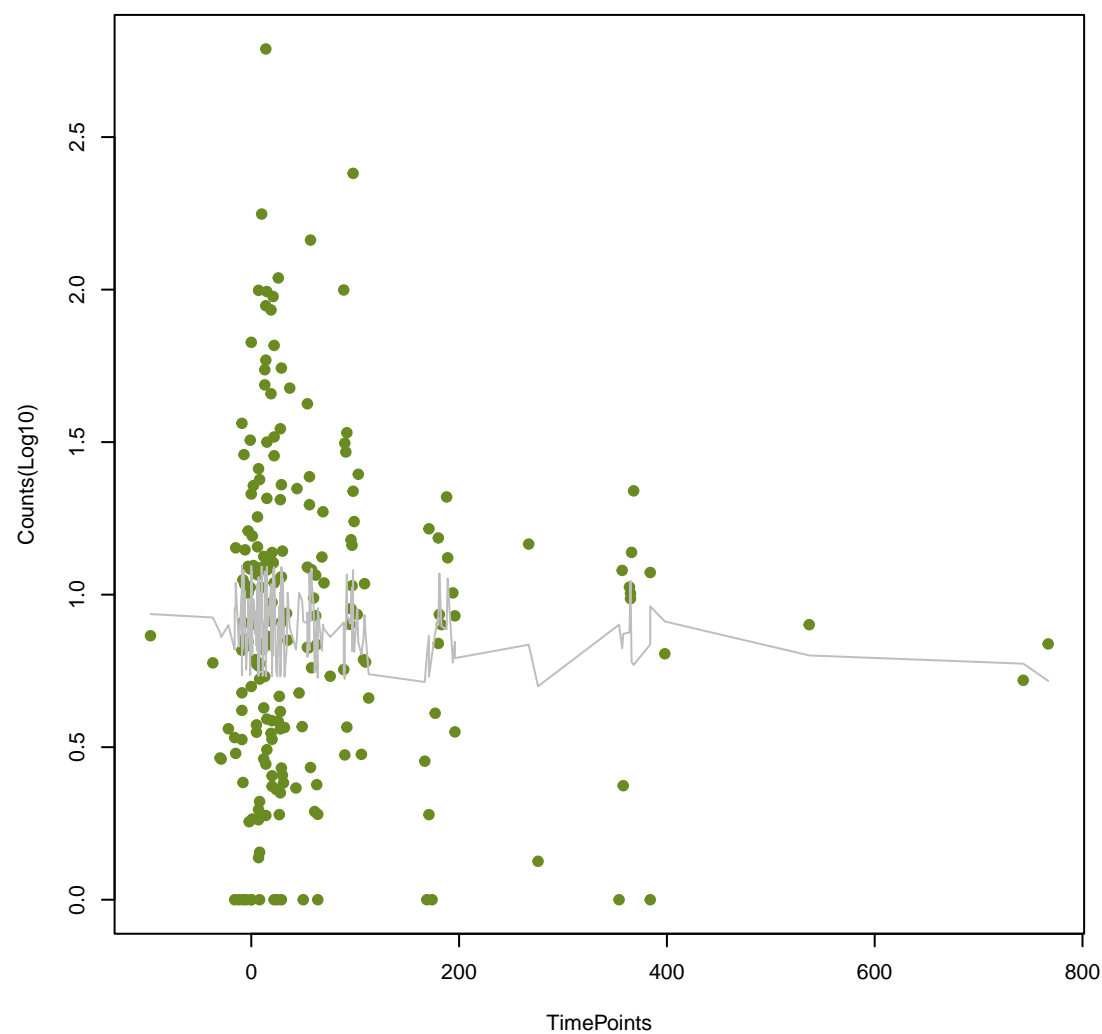
oqxB
ANOVA P=0.542, adj. ANOVA-P=0.77



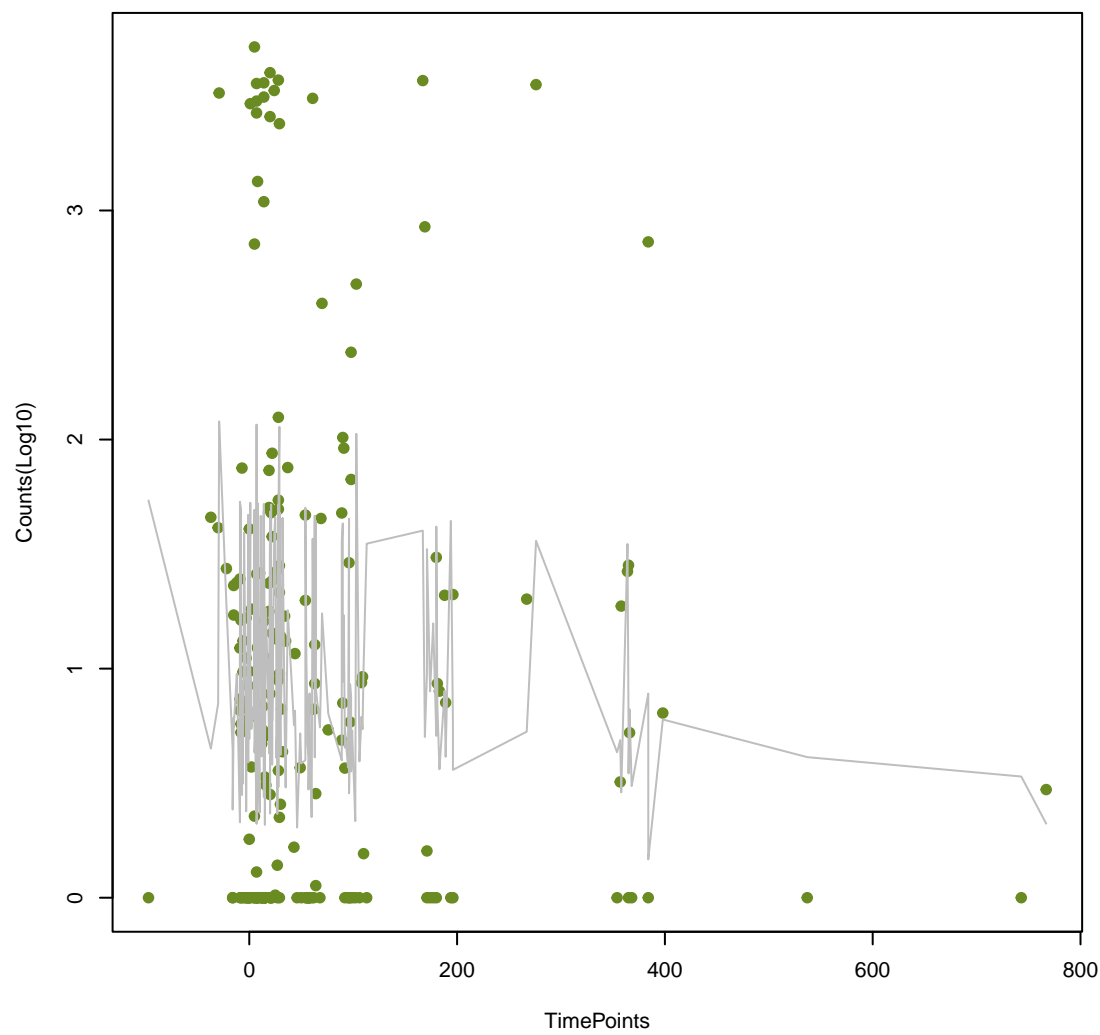
vanZ_in_vanA_cl
ANOVA P=0.544, adj. ANOVA-P=0.77



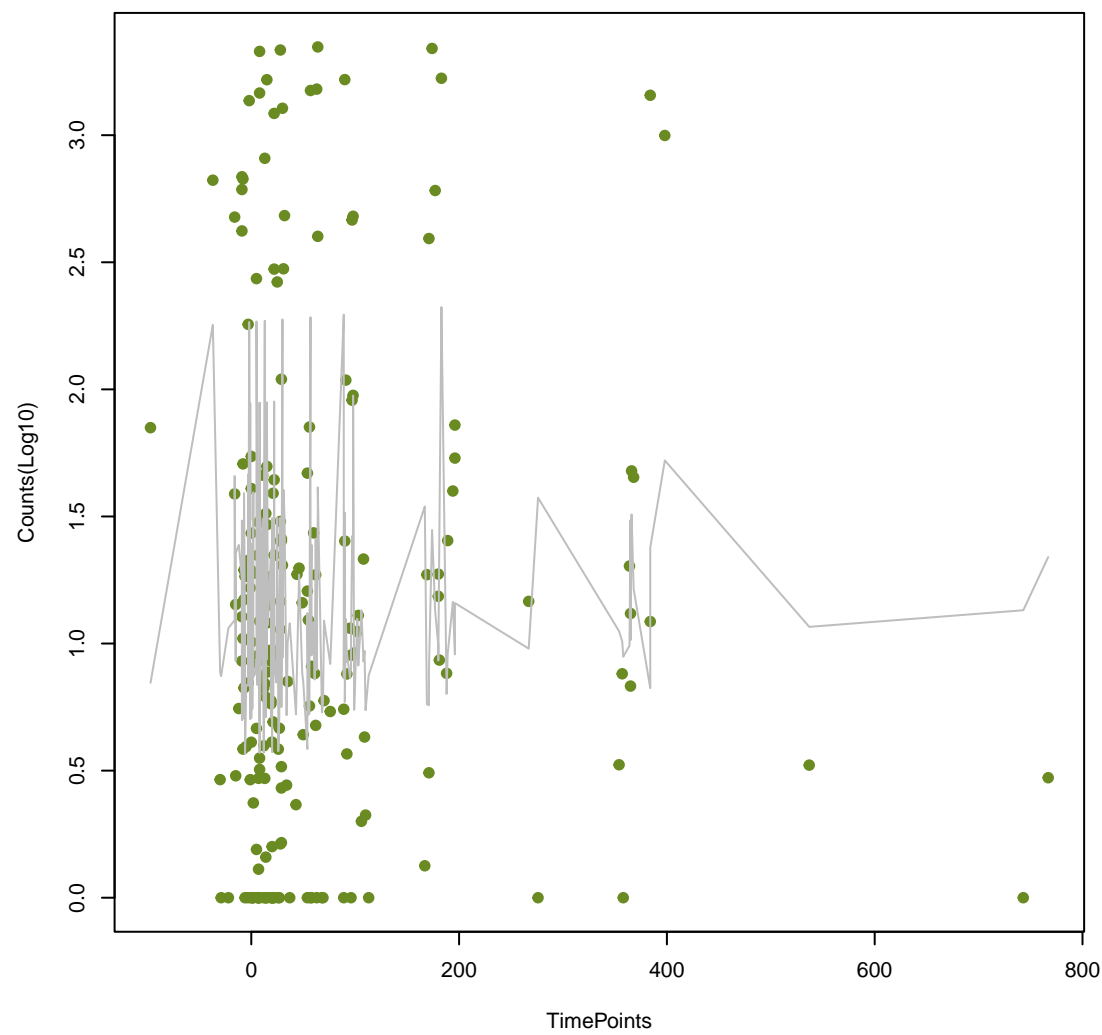
ykkC
ANOVA P=0.55, adj. ANOVA-P=0.775



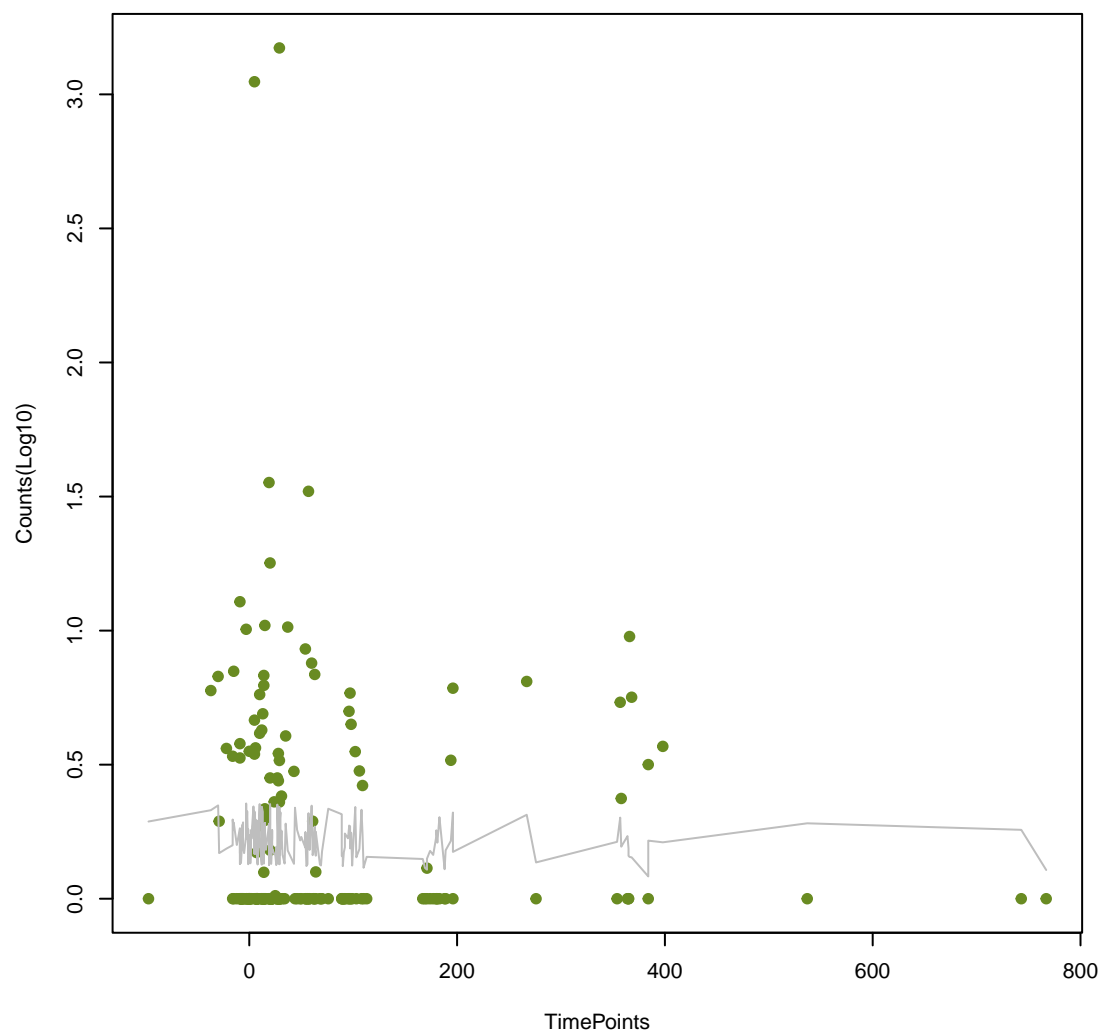
vanY_in_vanA_cl
ANOVA P=0.566, adj. ANOVA-P=0.795



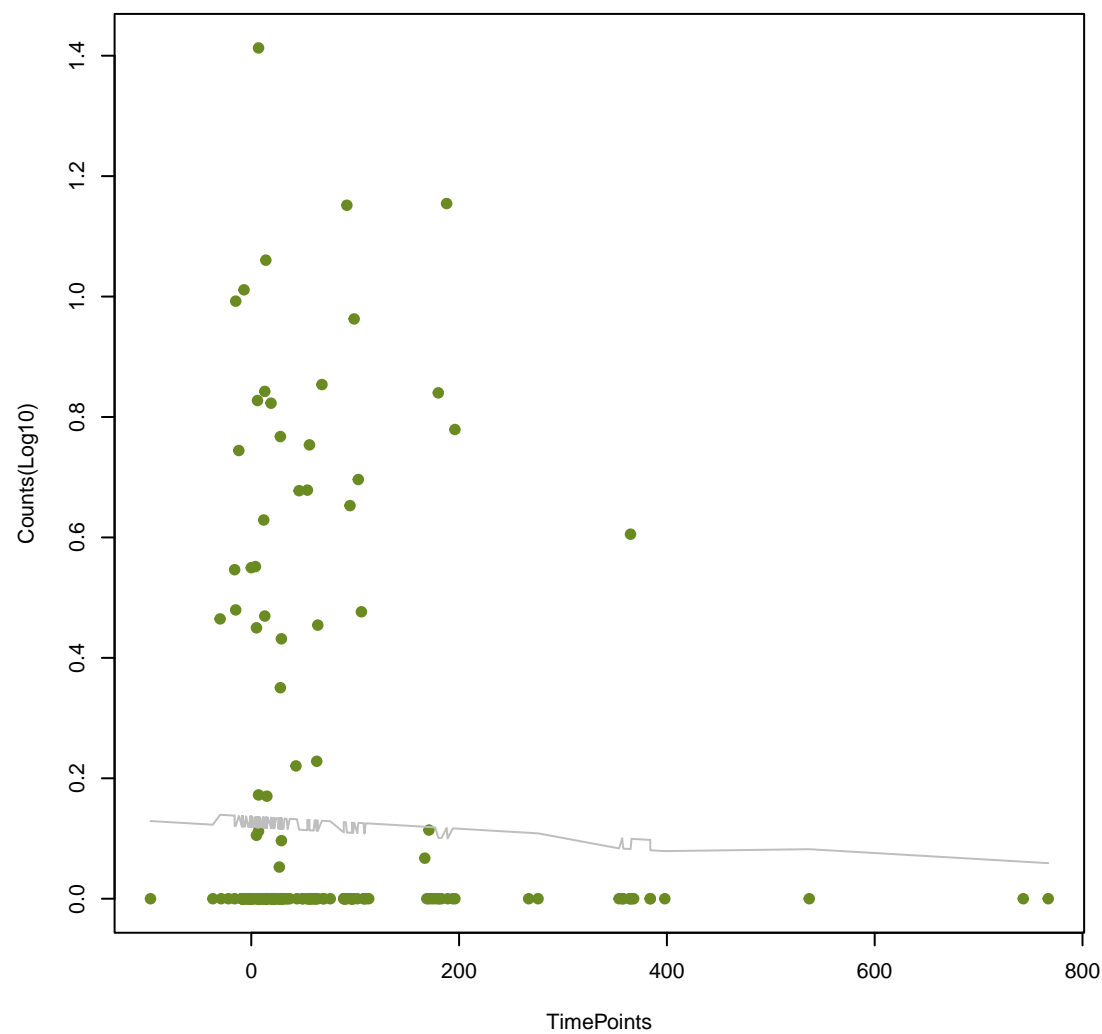
AcrF
ANOVA P=0.57, adj. ANOVA-P=0.796



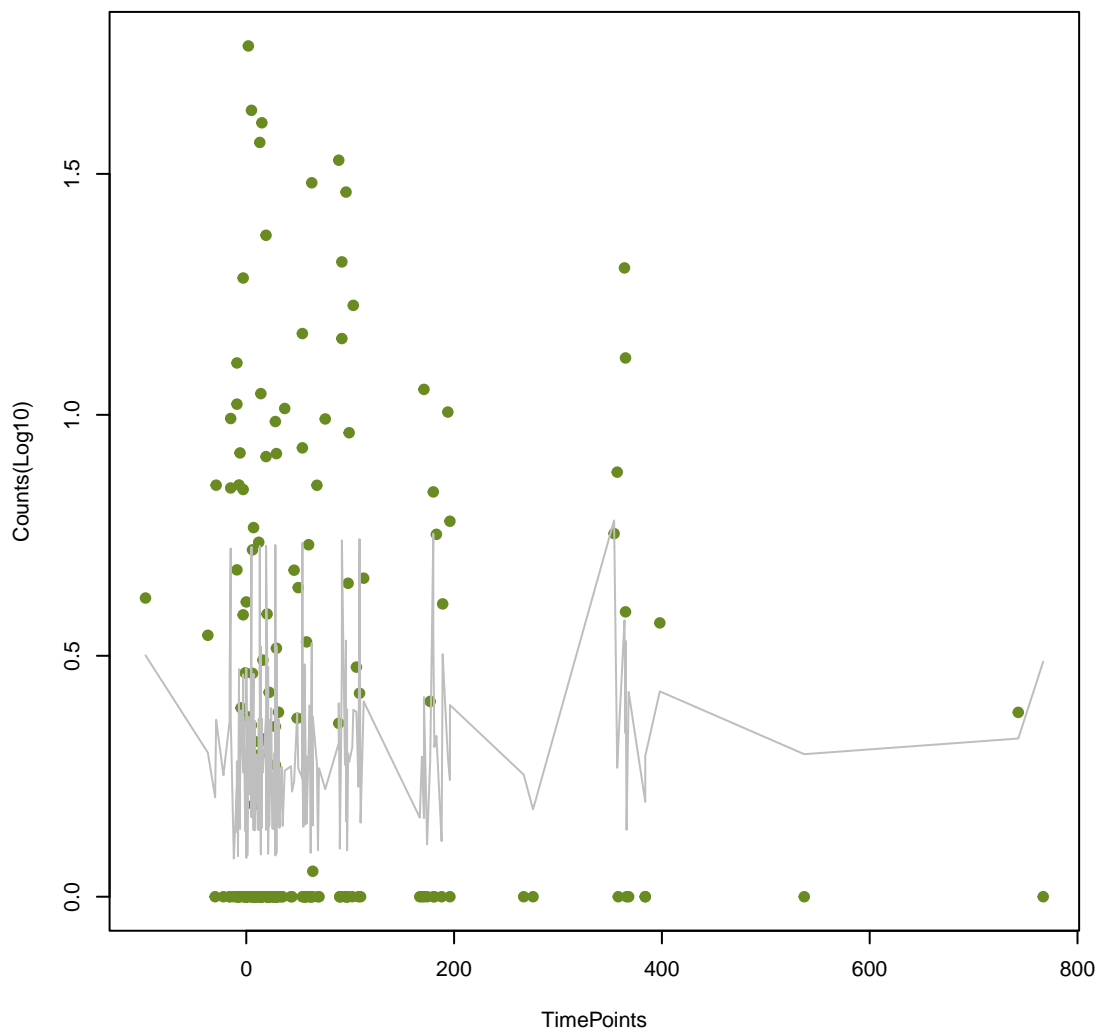
MexW
ANOVA P=0.572, adj. ANOVA-P=0.796



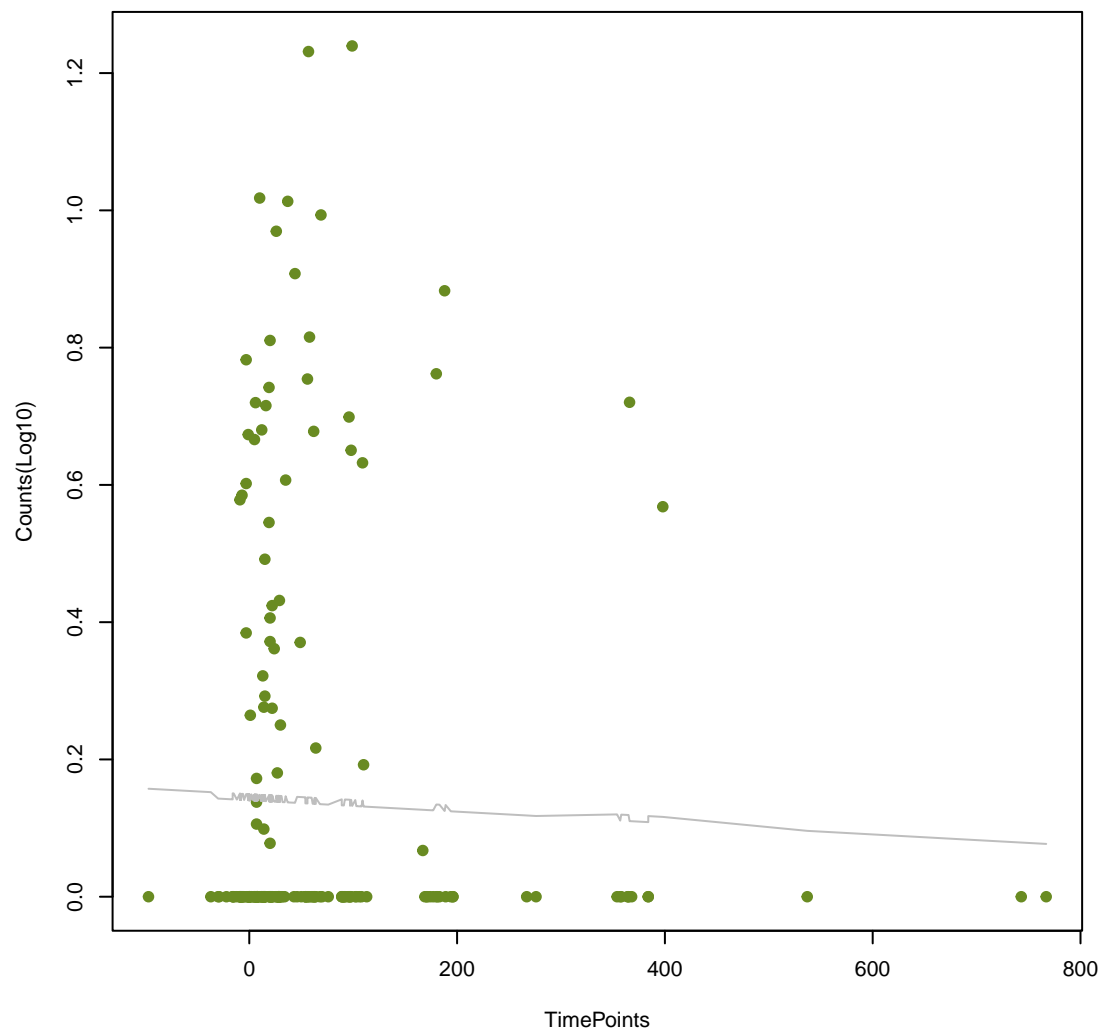
RAHN-1
ANOVA P=0.575, adj. ANOVA-P=0.796



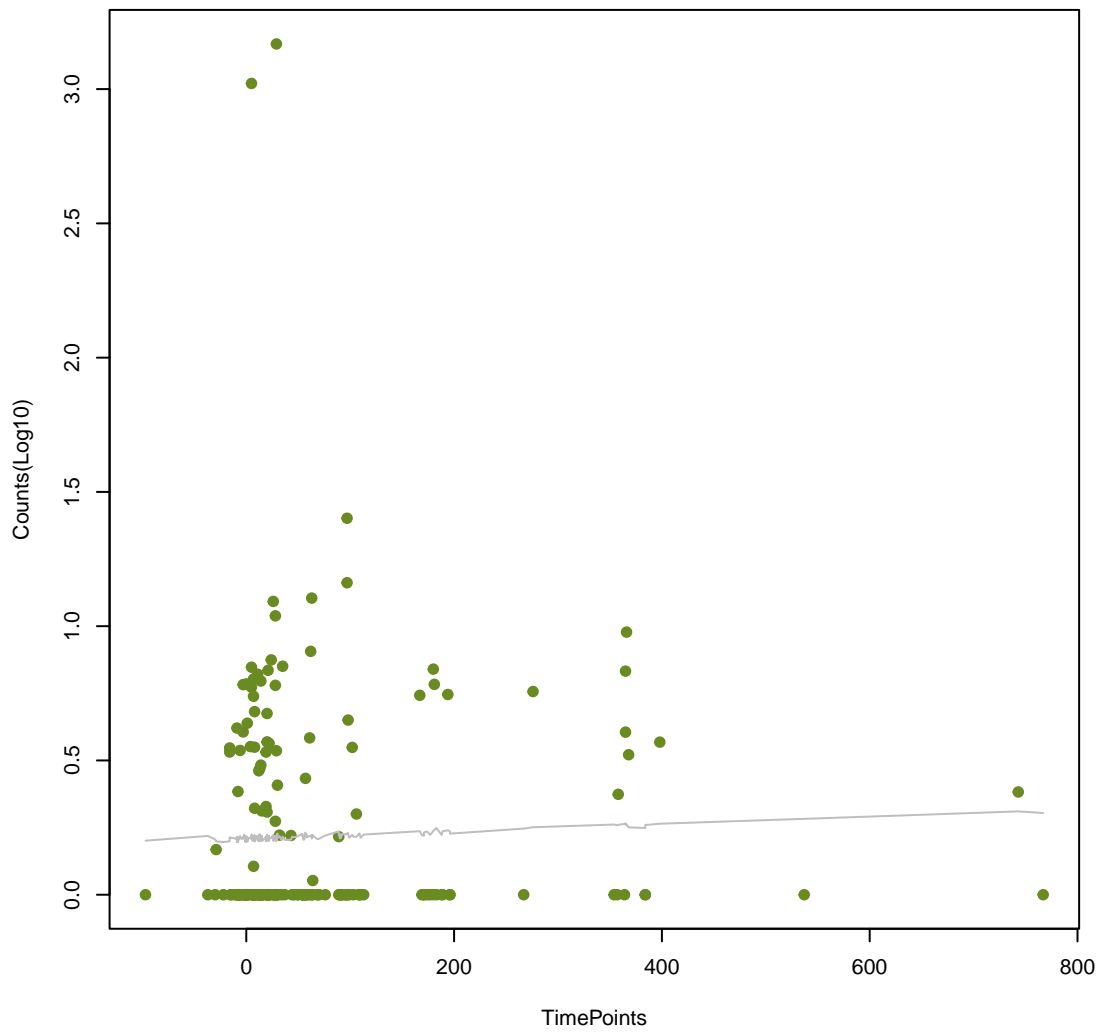
CDD-1
ANOVA P=0.585, adj. ANOVA-P=0.807



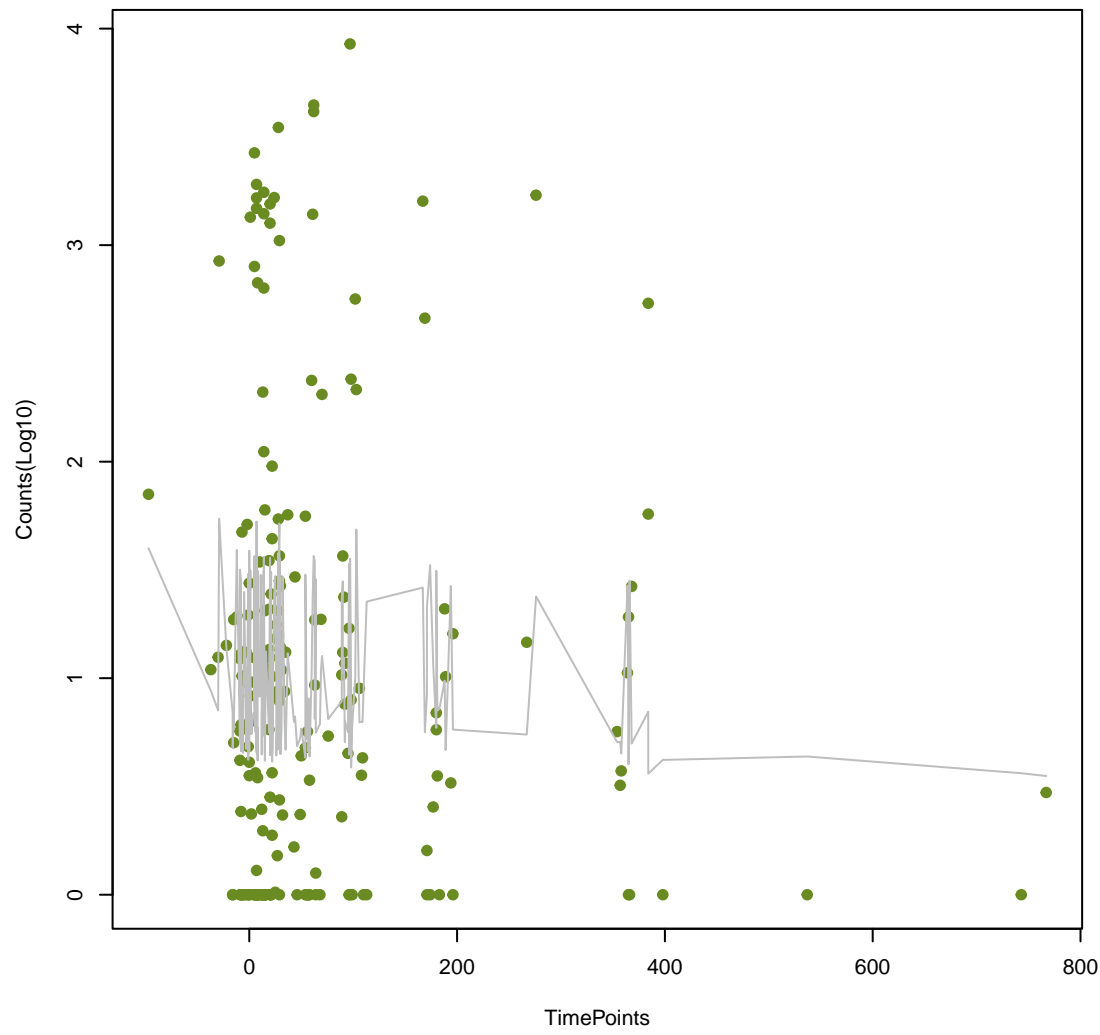
MCR-4.2
ANOVA P=0.599, adj. ANOVA-P=0.818



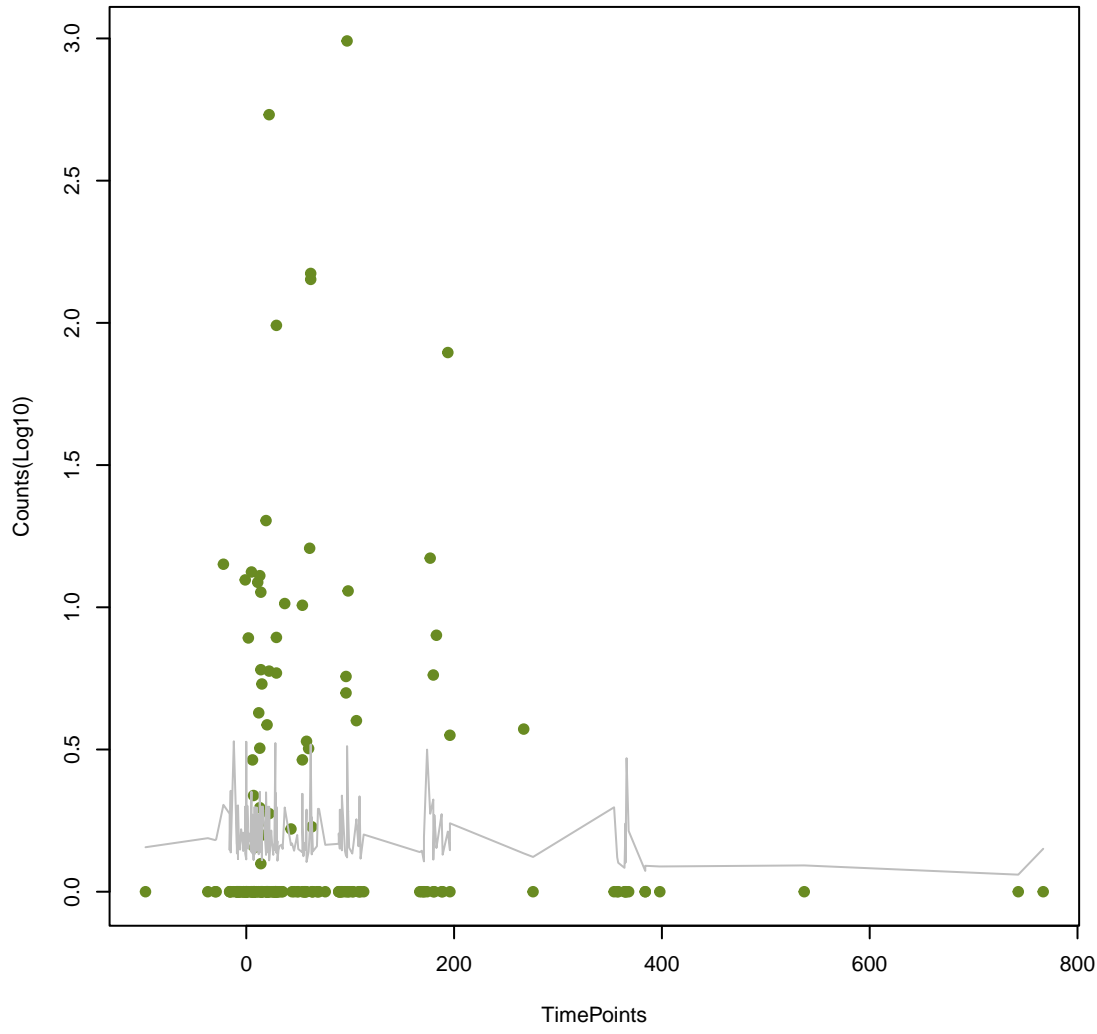
MuxC
ANOVA P=0.599, adj. ANOVA-P=0.818



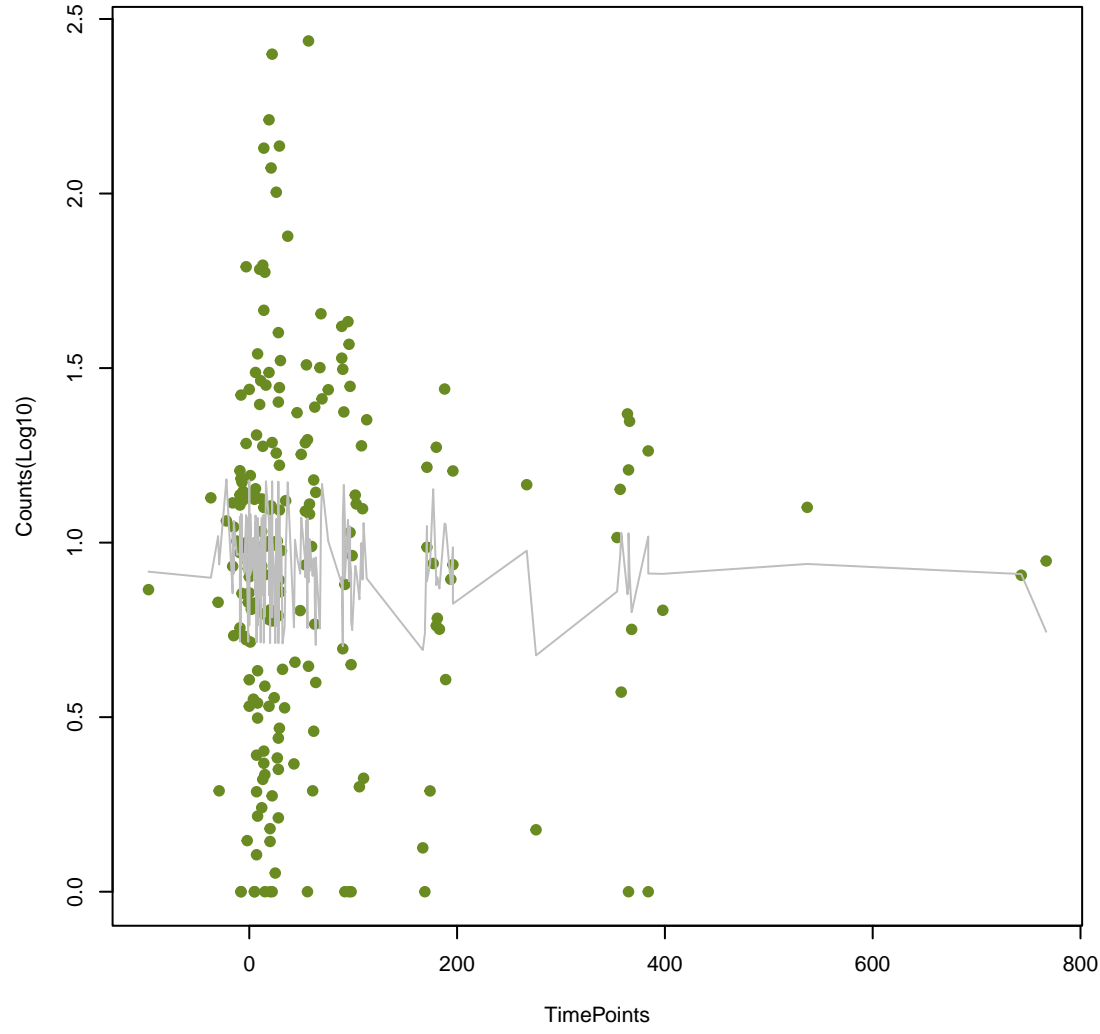
efmA
ANOVA P=0.611, adj. ANOVA-P=0.83

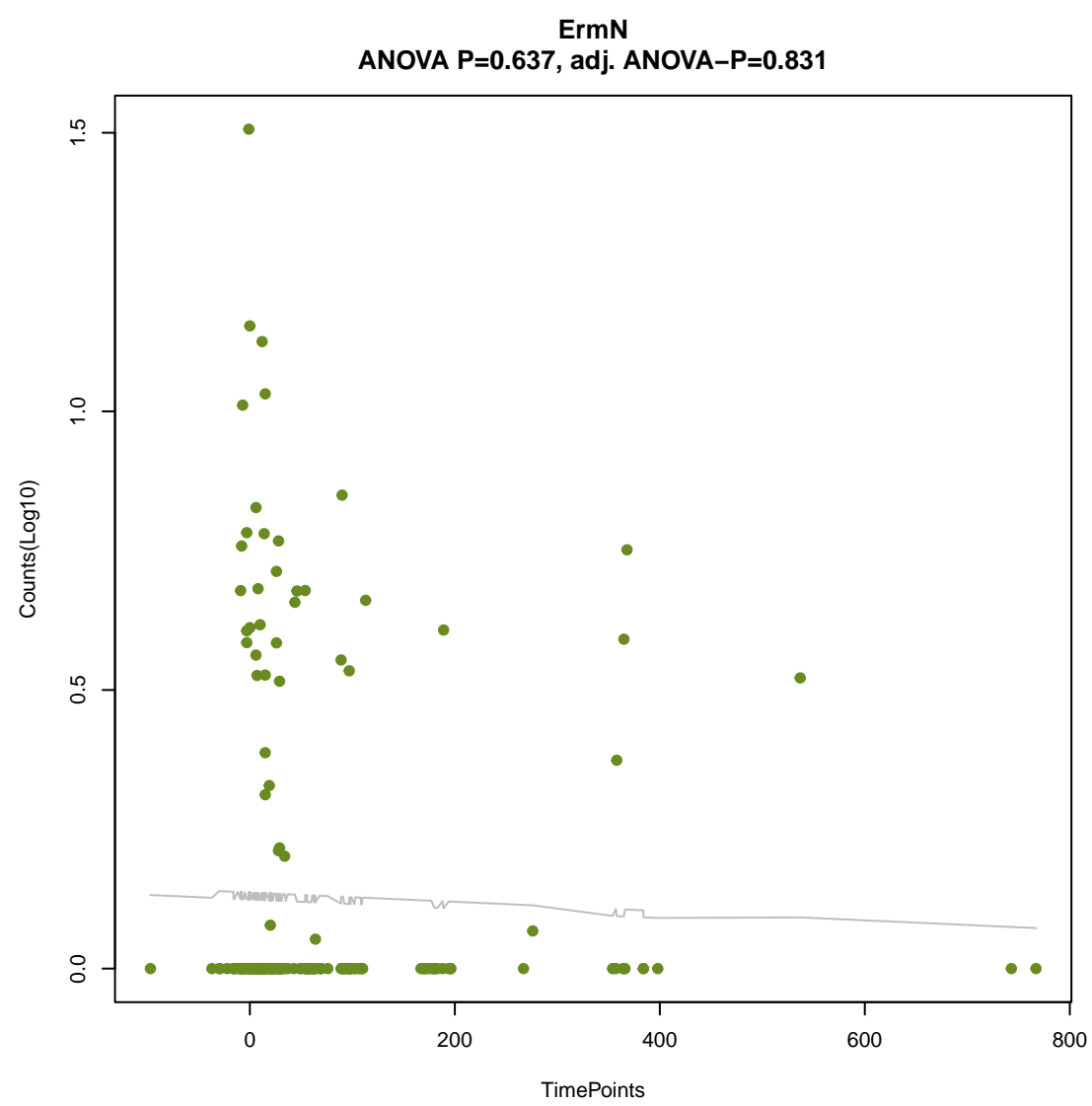
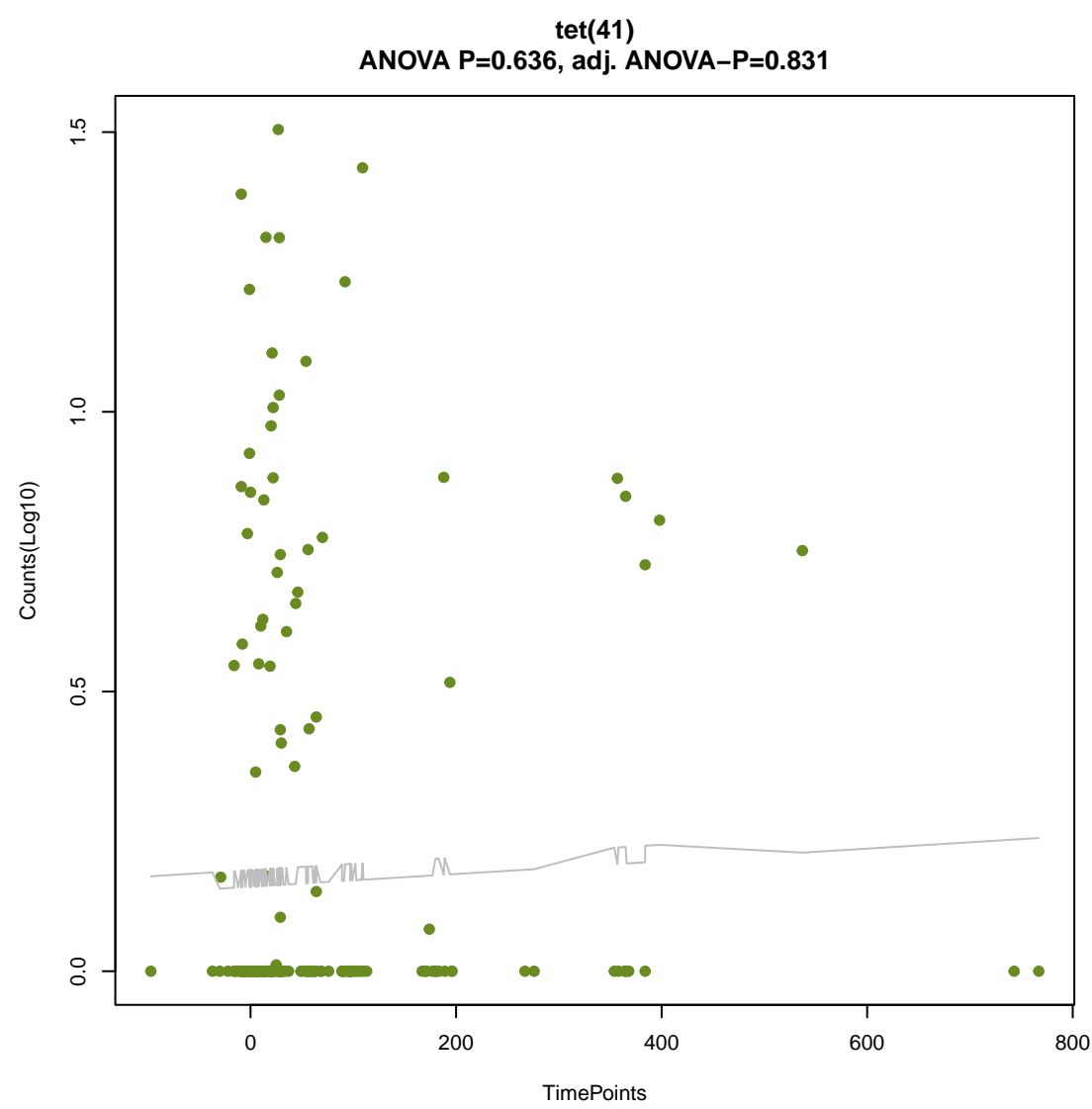
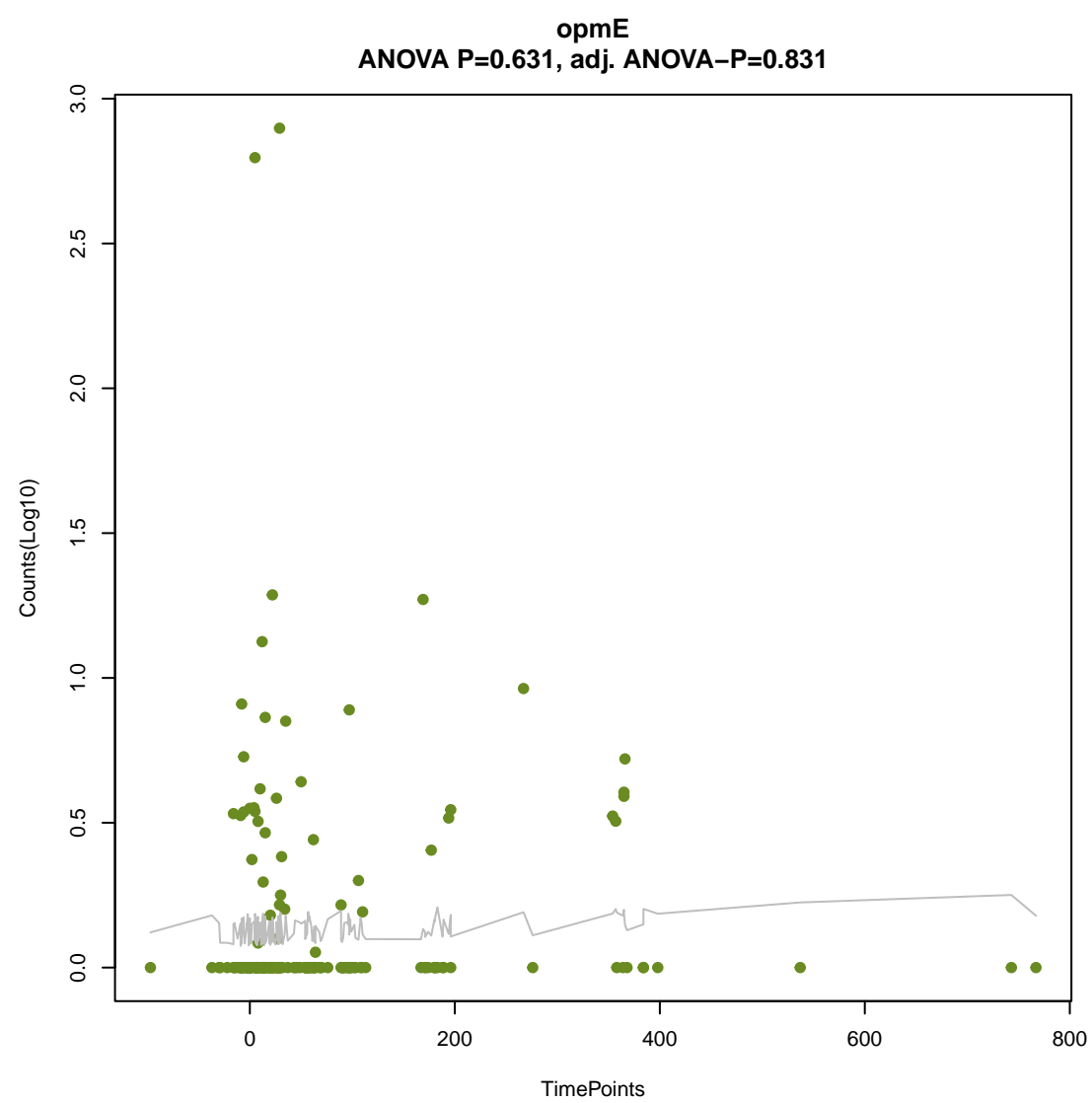
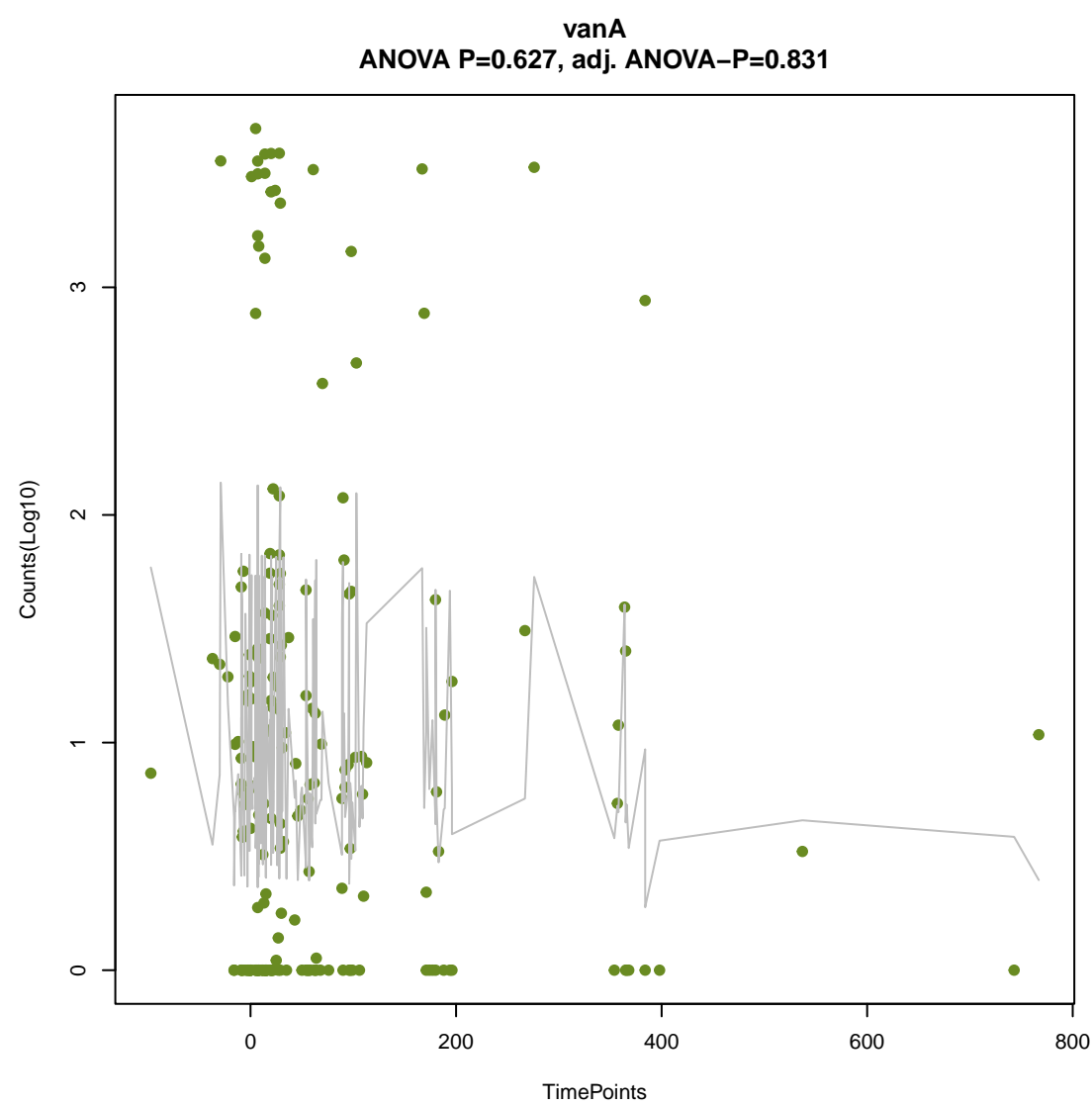
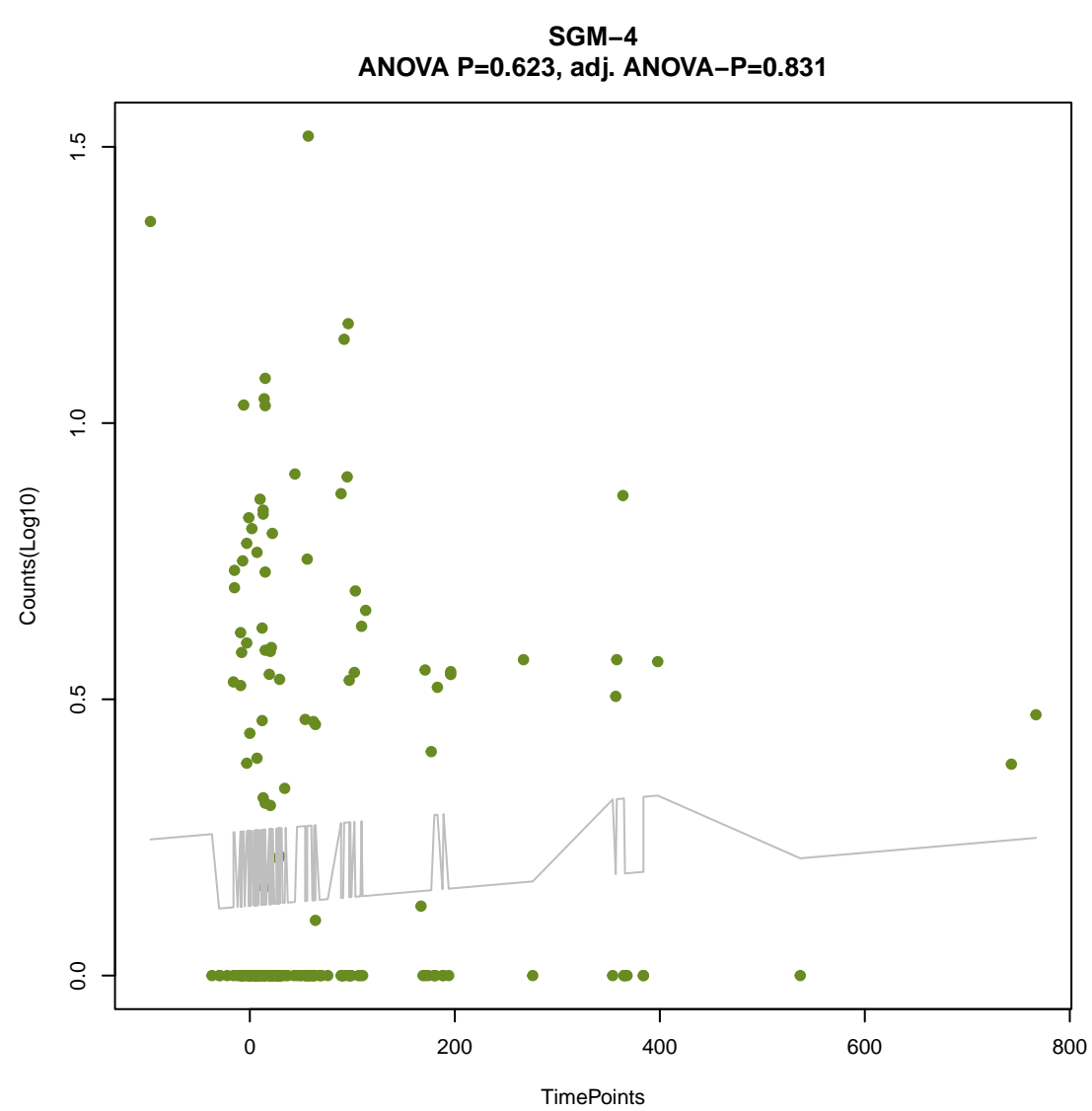
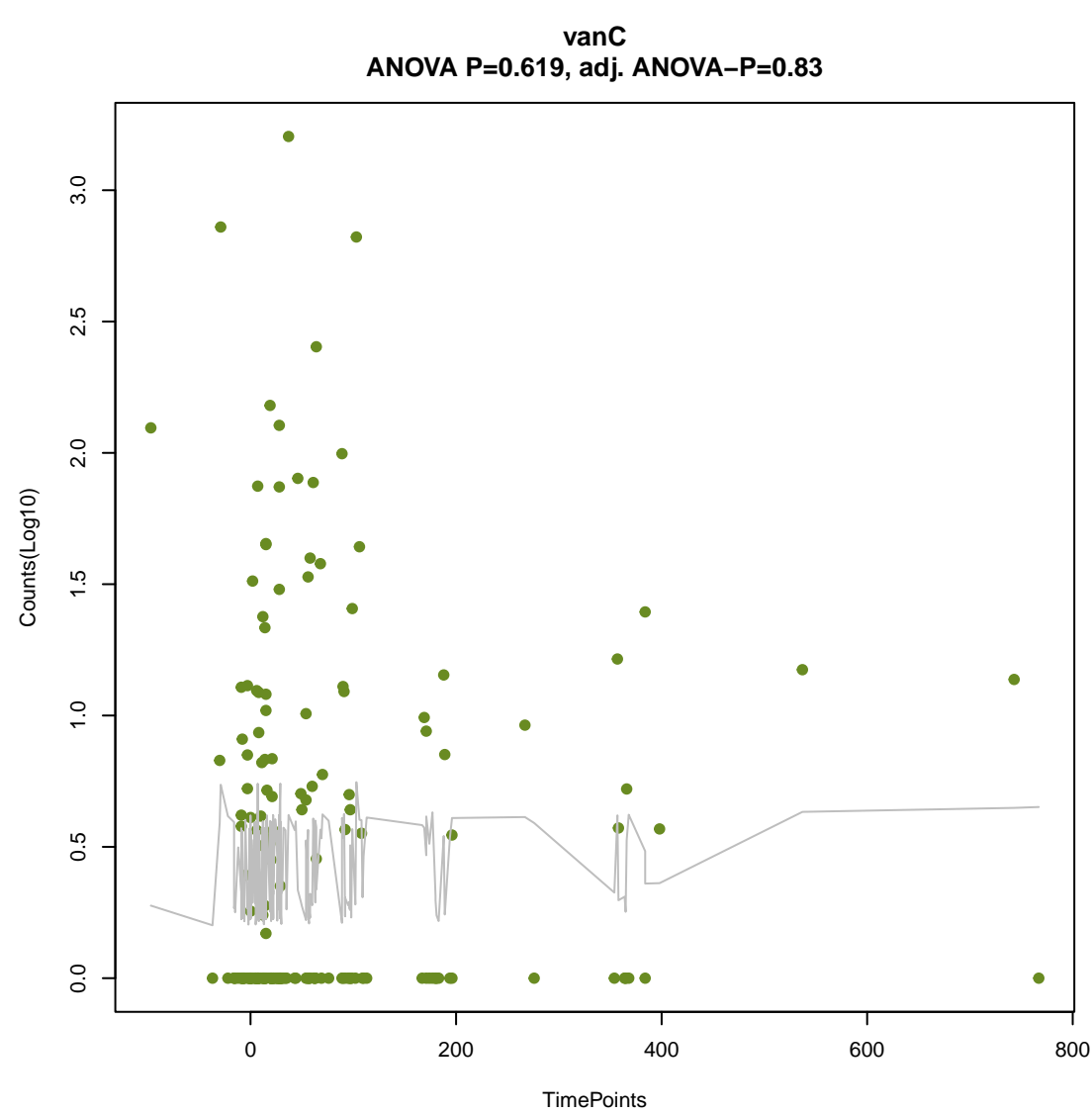


FosA2
ANOVA P=0.617, adj. ANOVA-P=0.83

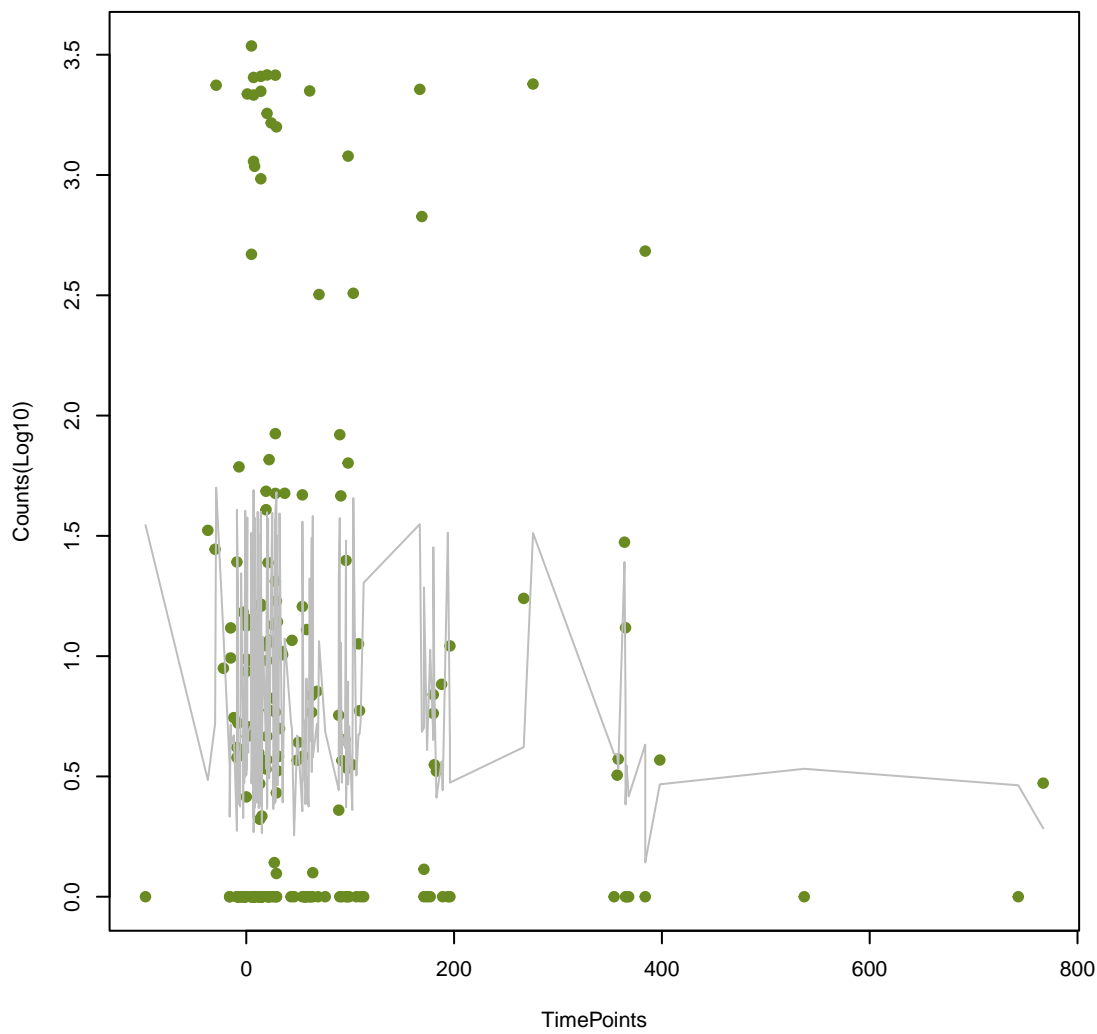


vanU_in_vanG_cl
ANOVA P=0.618, adj. ANOVA-P=0.83

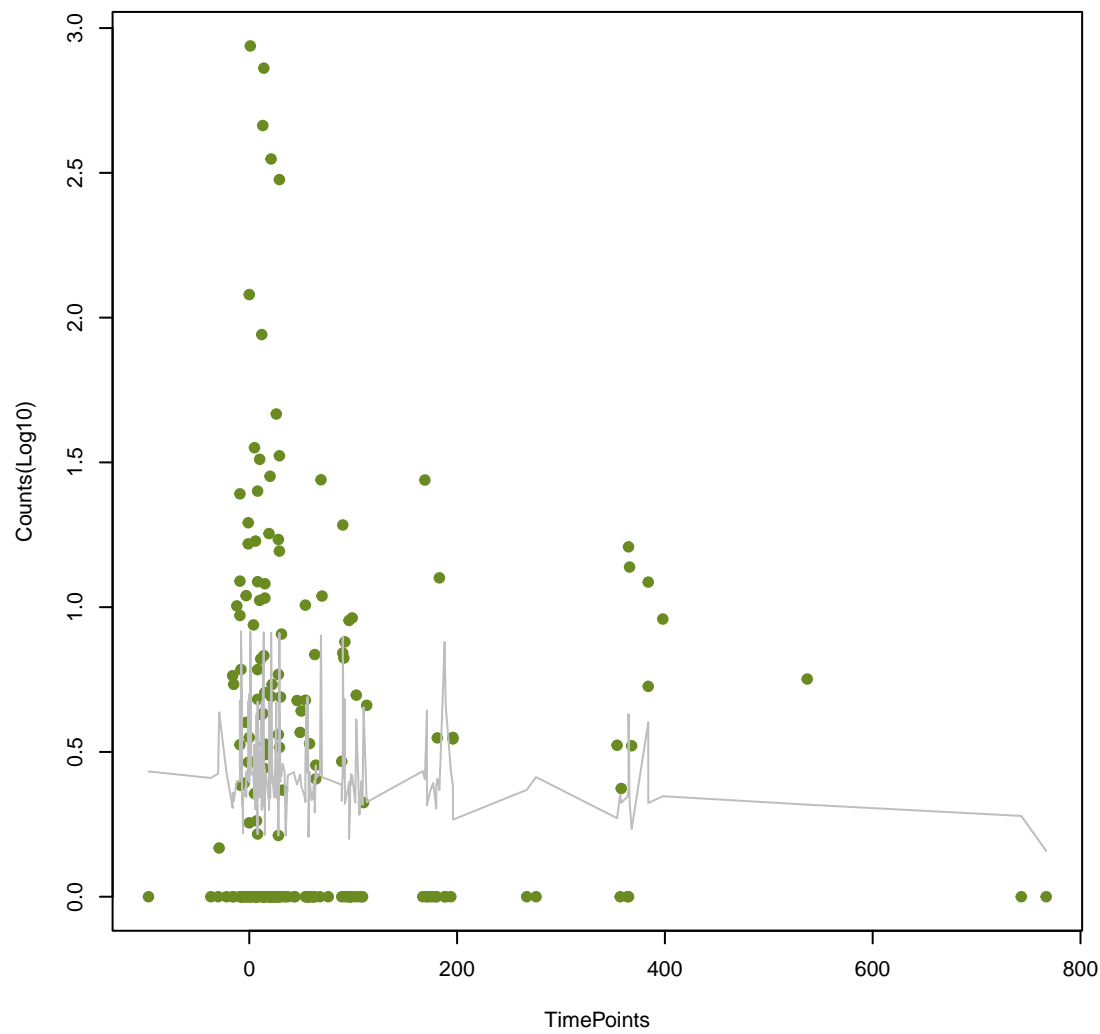




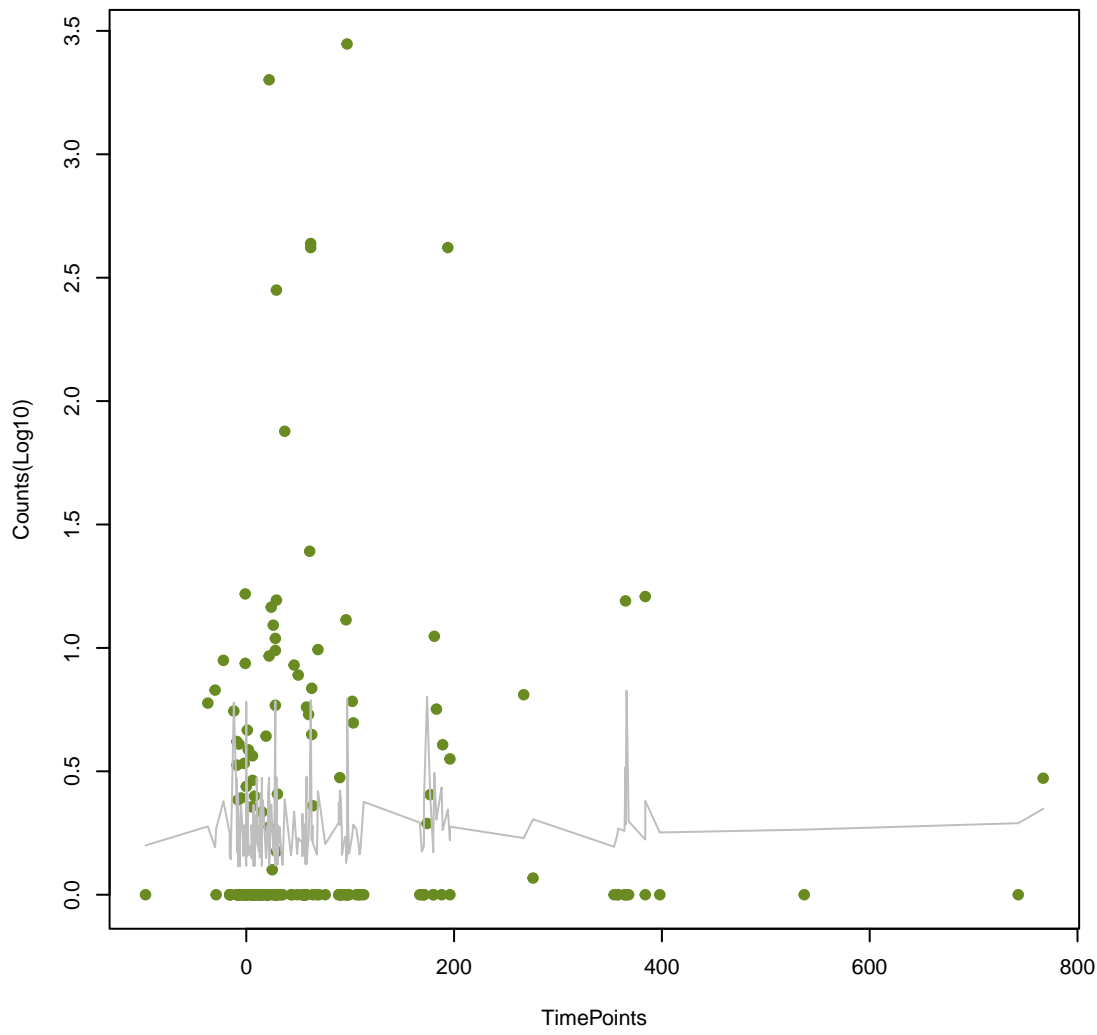
vanX_in_vanA_cl
ANOVA P=0.638, adj. ANOVA-P=0.831



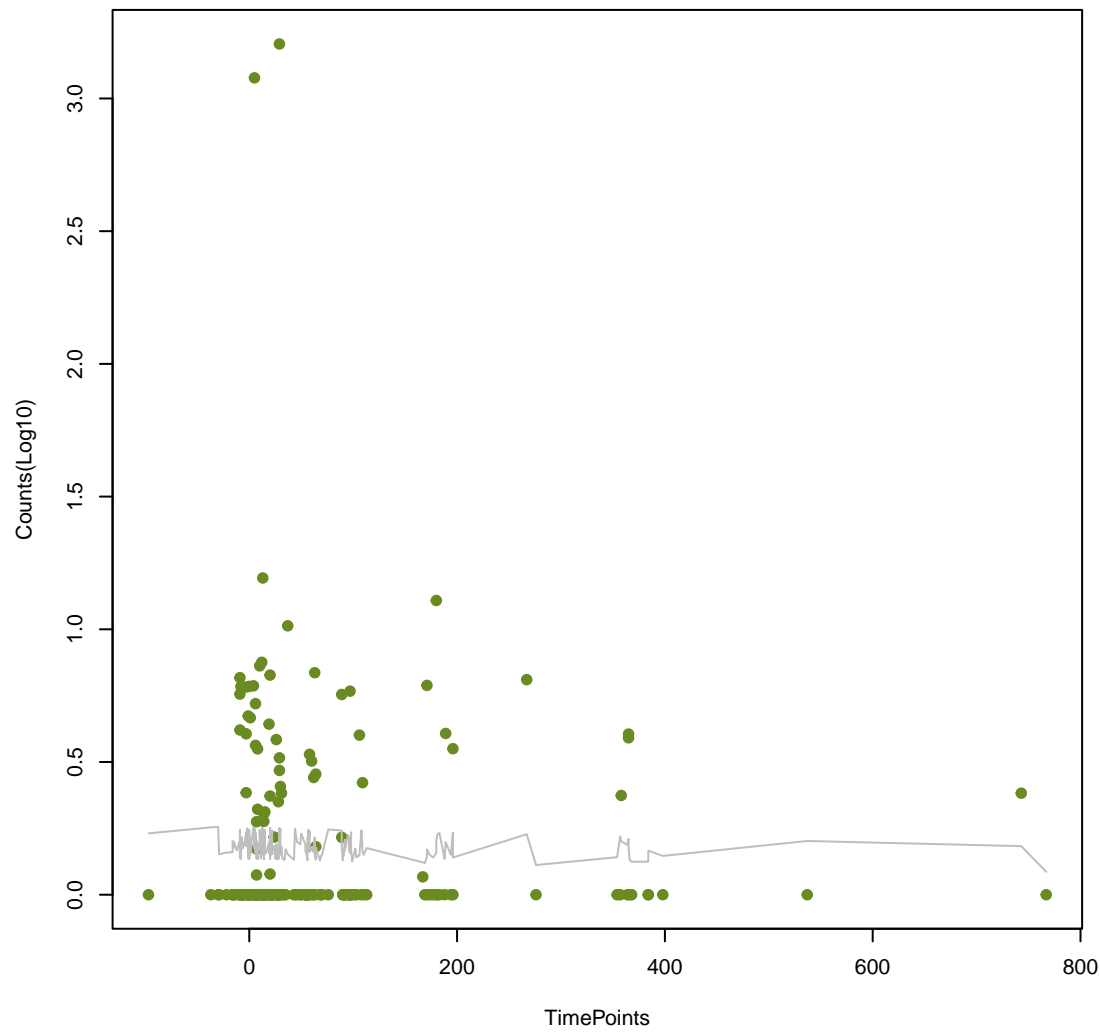
pmrA
ANOVA P=0.639, adj. ANOVA-P=0.831



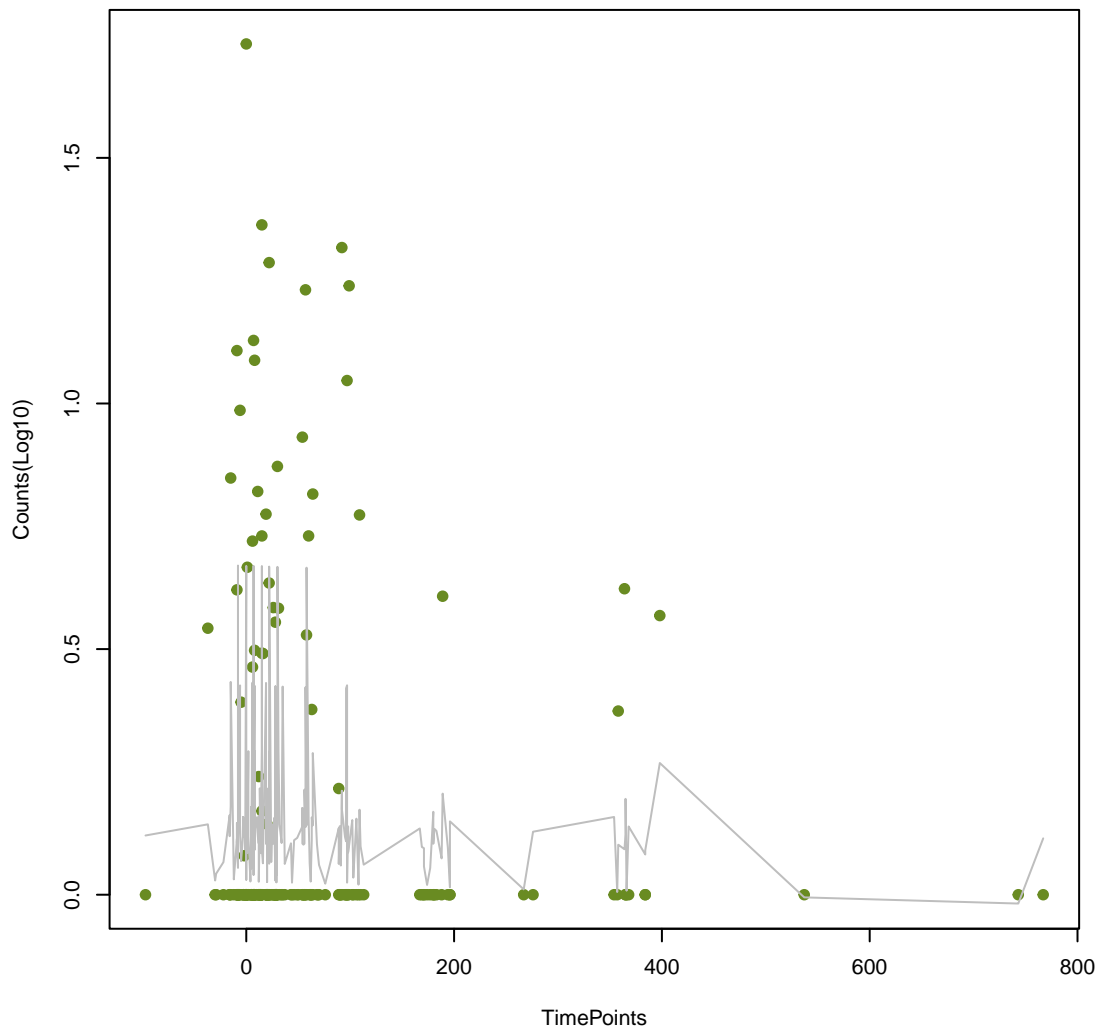
Eclo_acrA
ANOVA P=0.645, adj. ANOVA-P=0.834



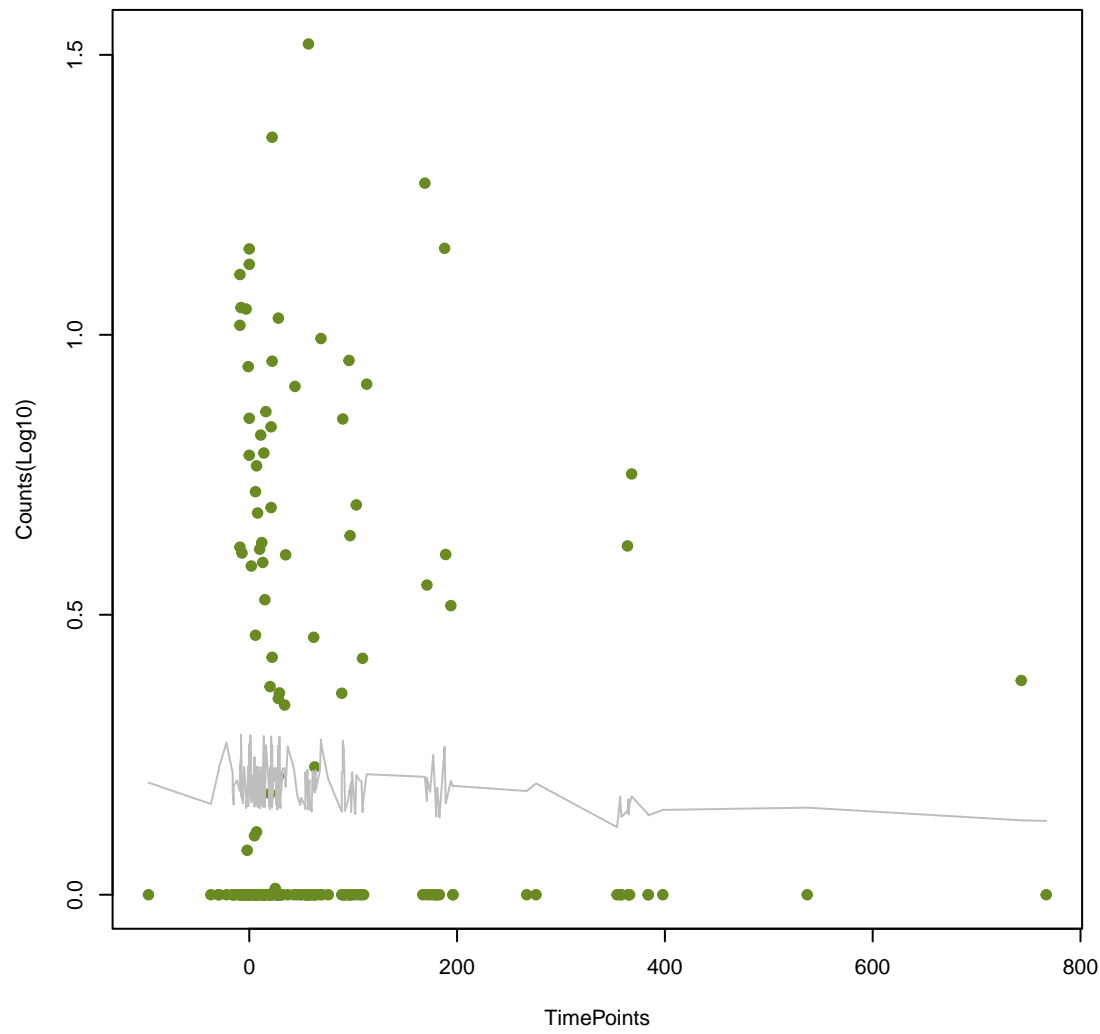
mexQ
ANOVA P=0.649, adj. ANOVA-P=0.837



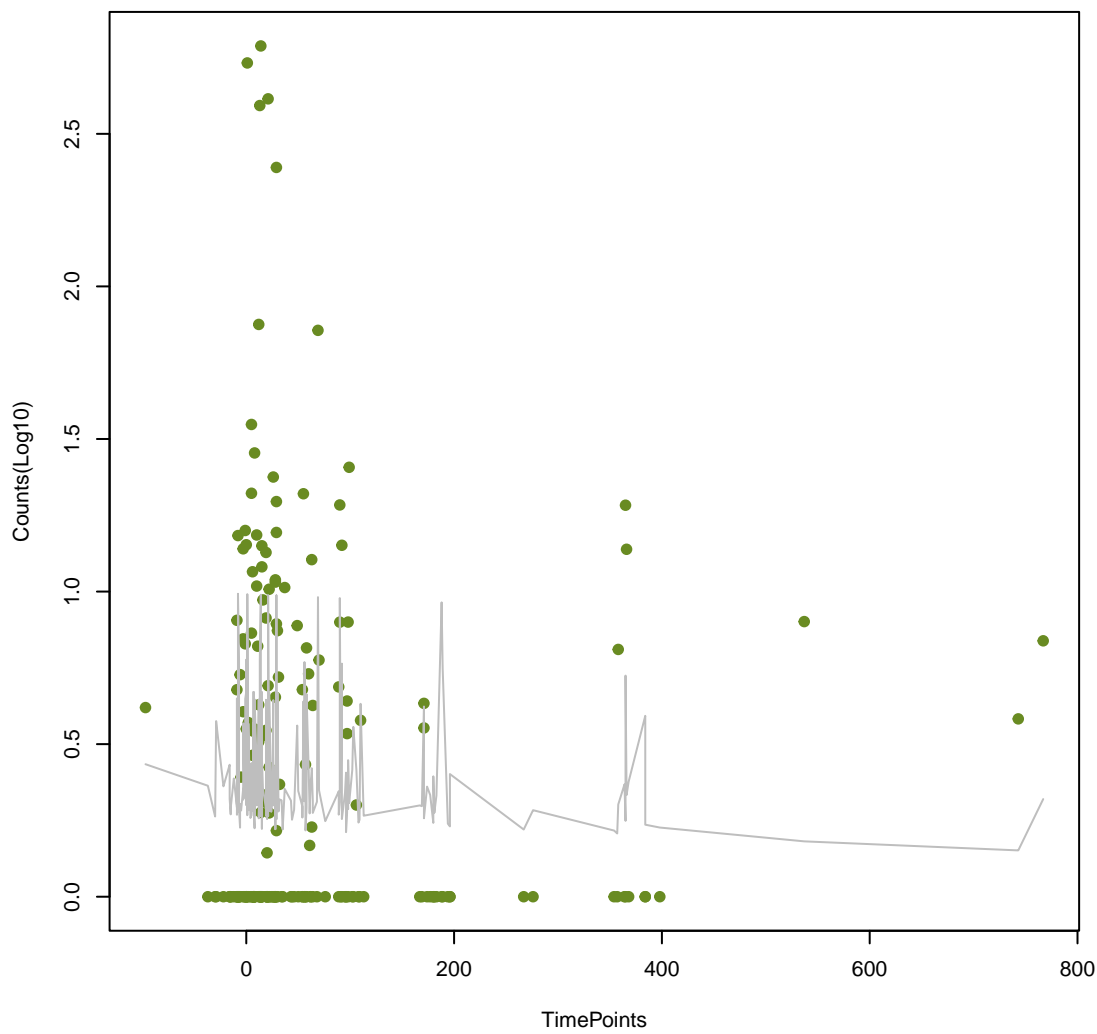
CFE-2
ANOVA P=0.659, adj. ANOVA-P=0.845



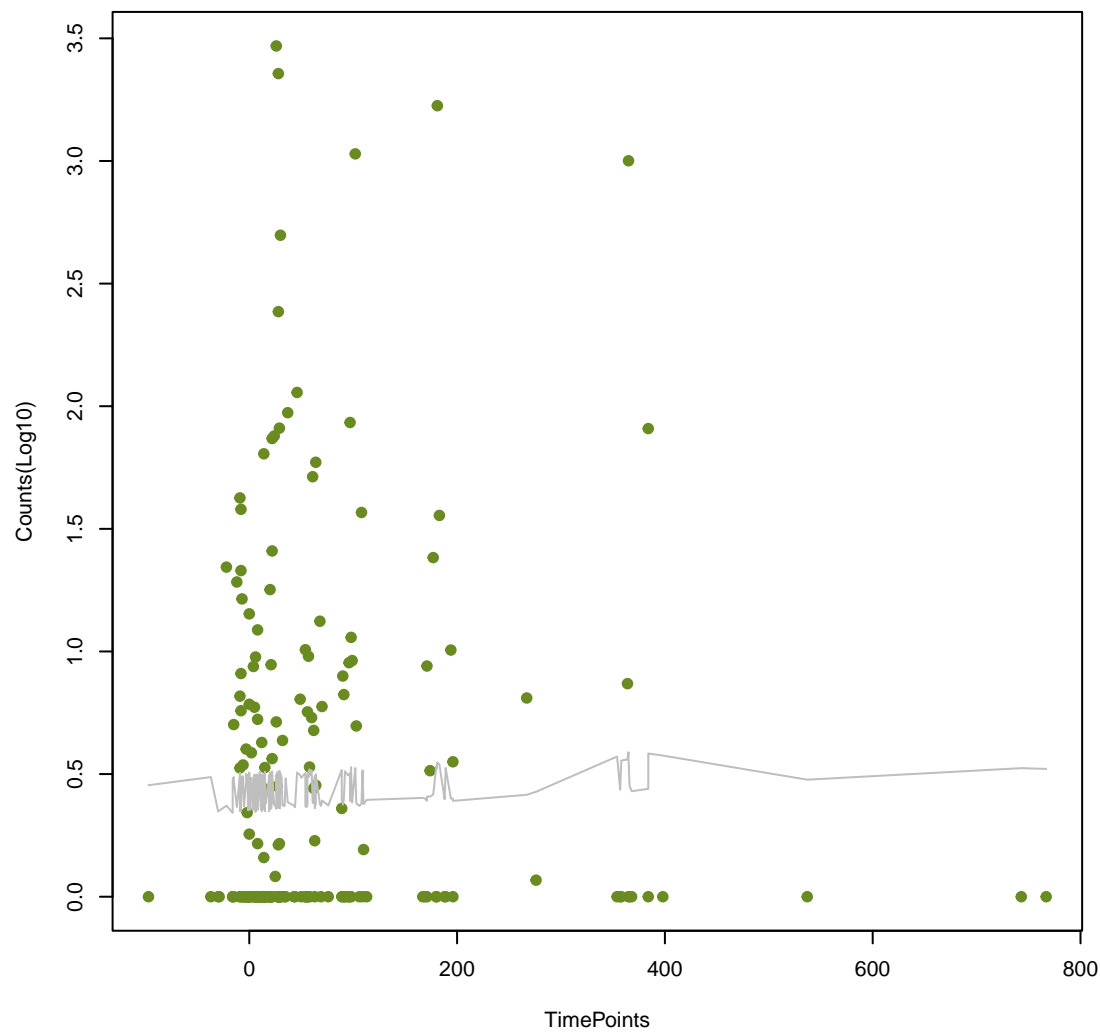
TaeA
ANOVA P=0.67, adj. ANOVA-P=0.856



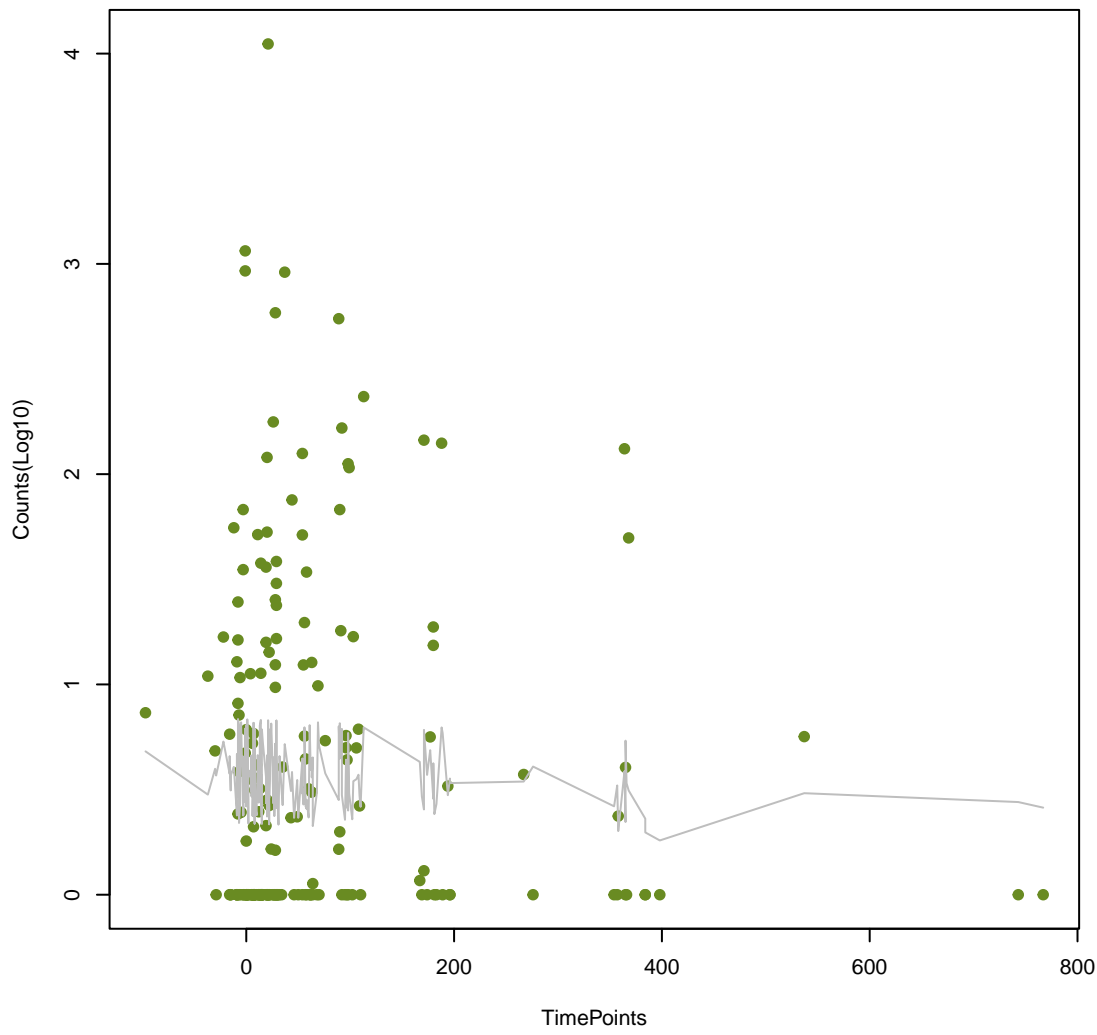
RlmA(II)
ANOVA P=0.681, adj. ANOVA-P=0.867



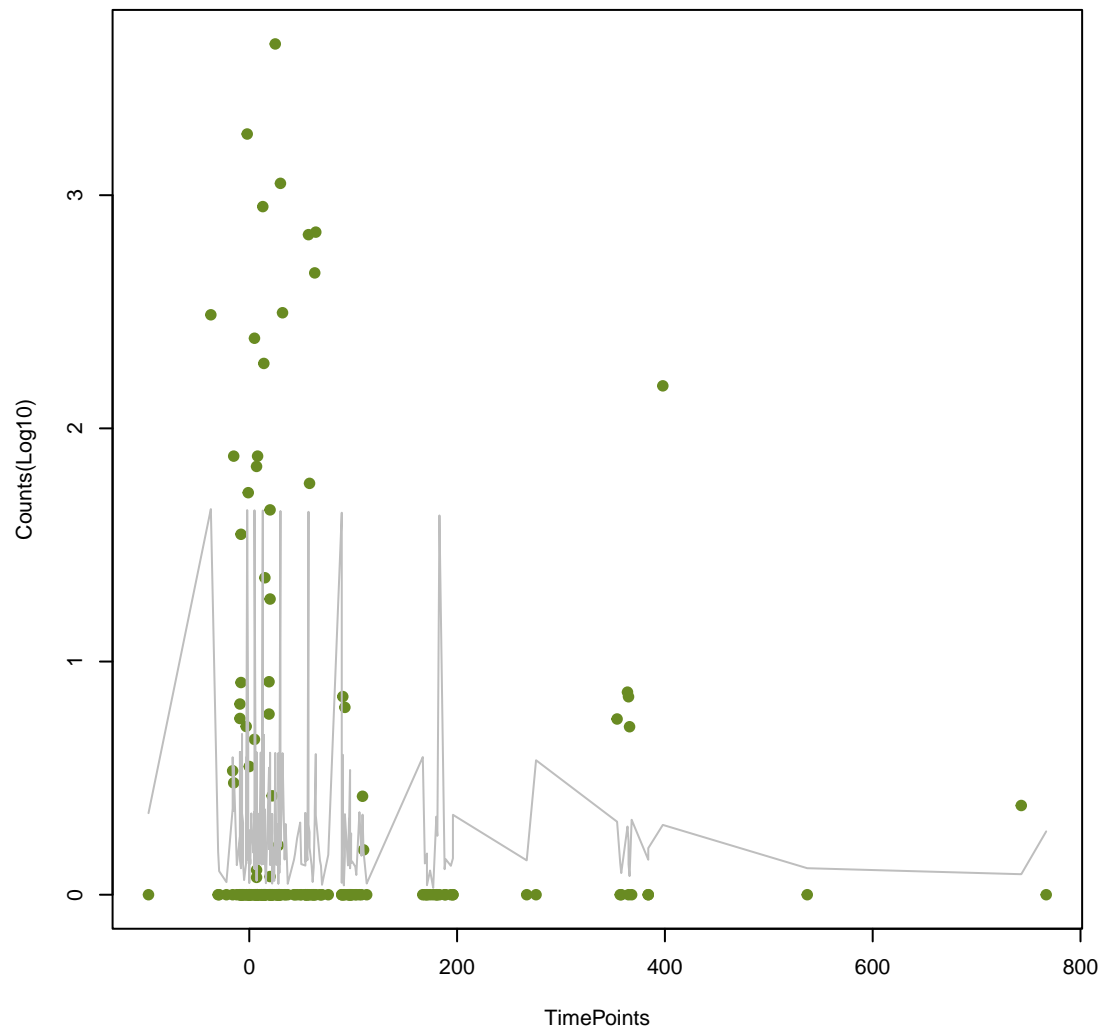
eptB
ANOVA P=0.689, adj. ANOVA-P=0.871



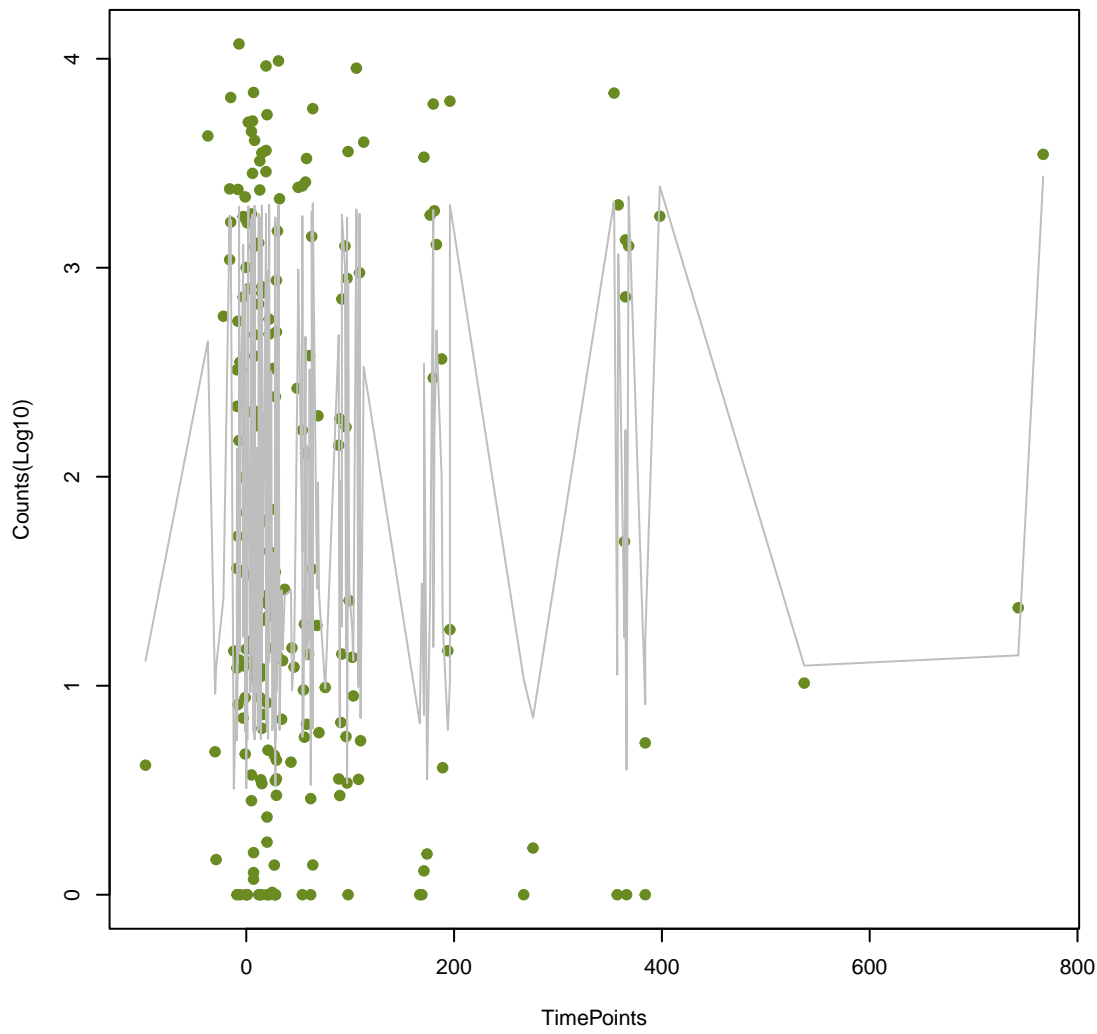
tetA(P)
ANOVA P=0.691, adj. ANOVA-P=0.871



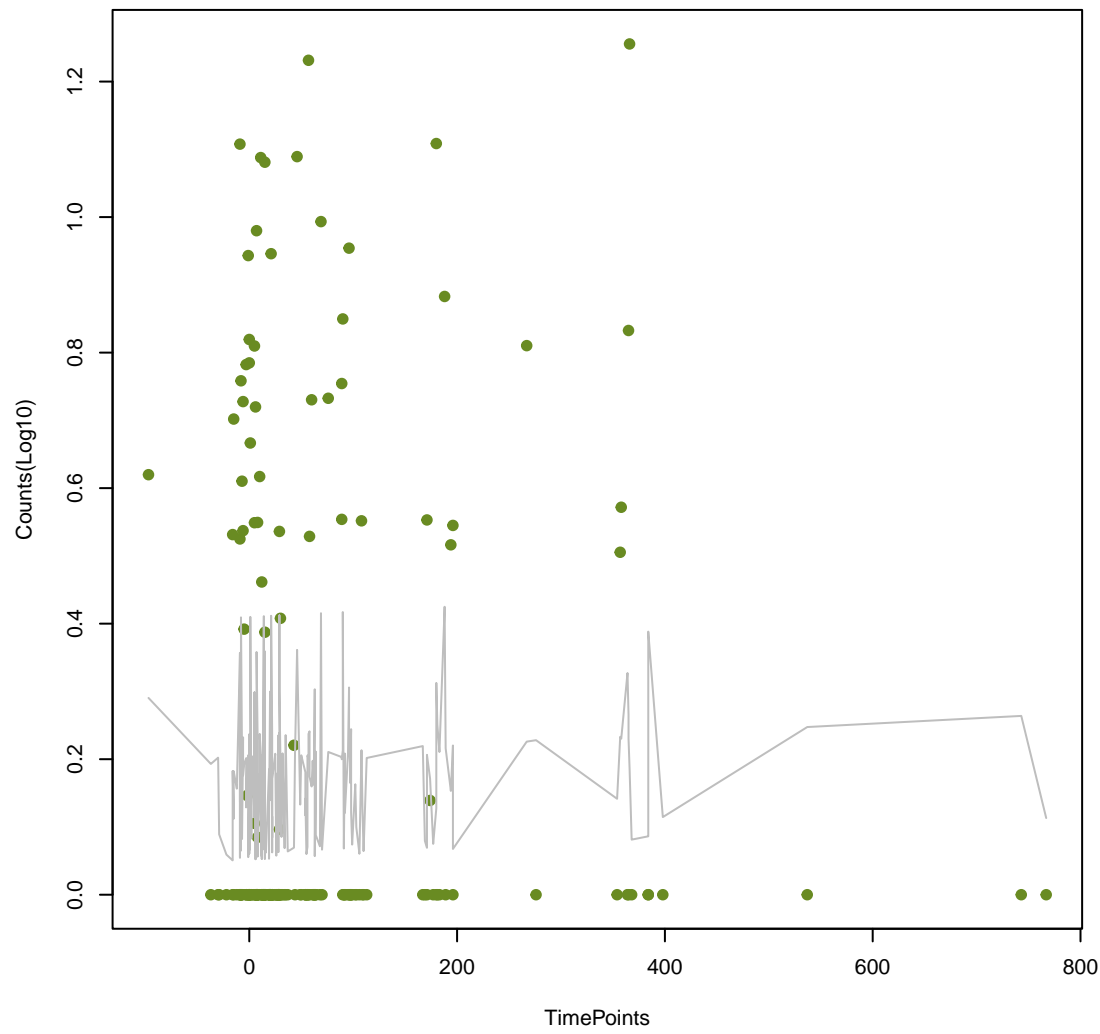
aadA5
ANOVA P=0.693, adj. ANOVA-P=0.871



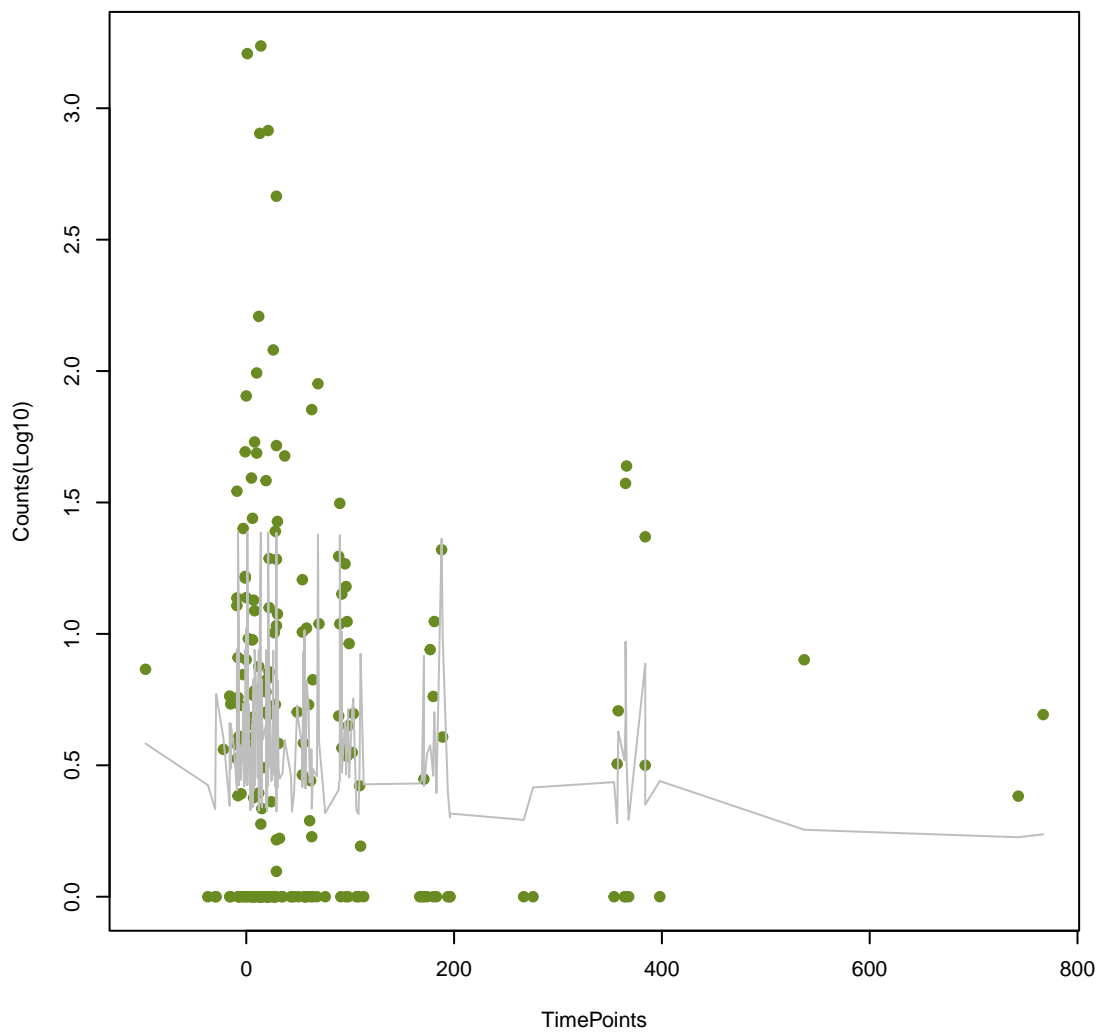
CfxA2
ANOVA P=0.696, adj. ANOVA-P=0.871



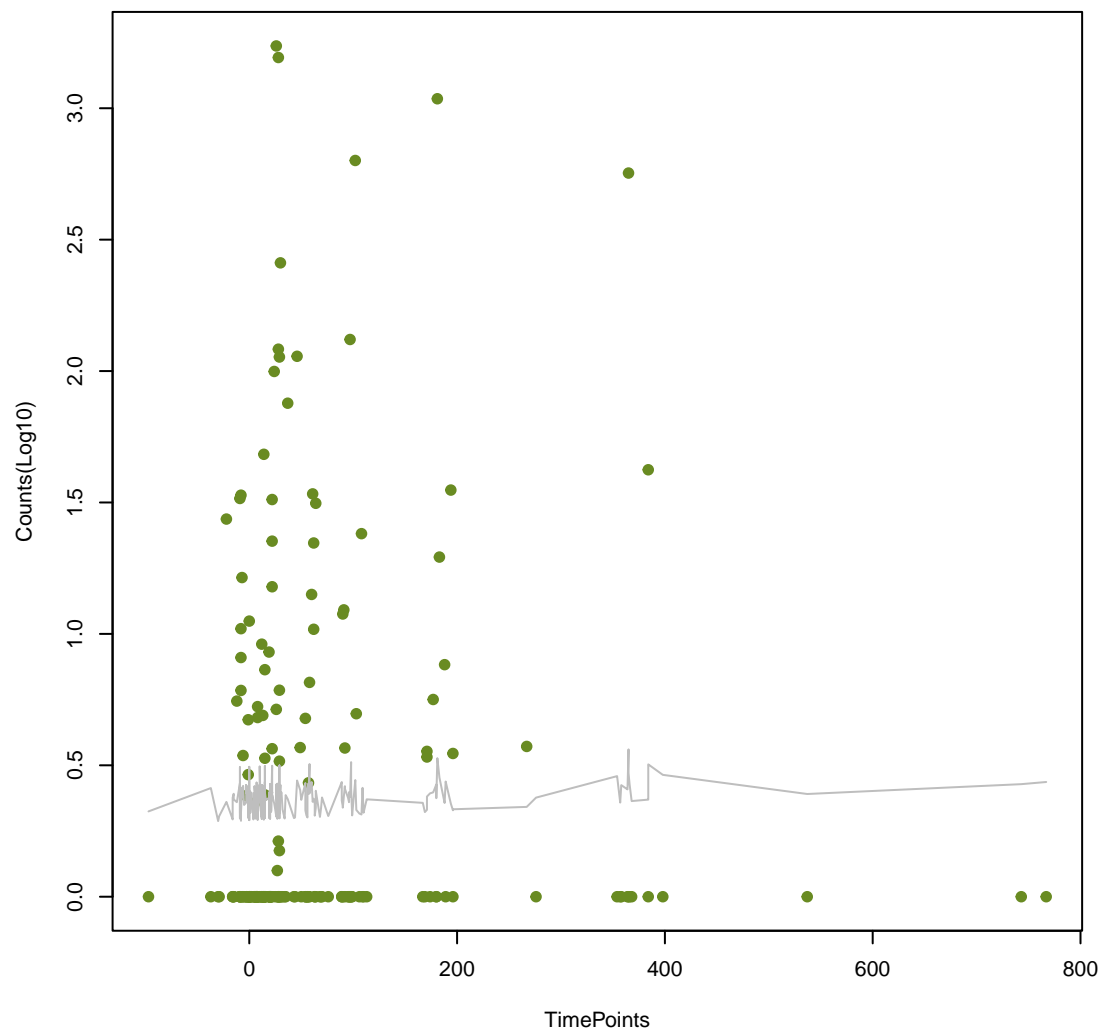
oleB
ANOVA P=0.706, adj. ANOVA-P=0.877



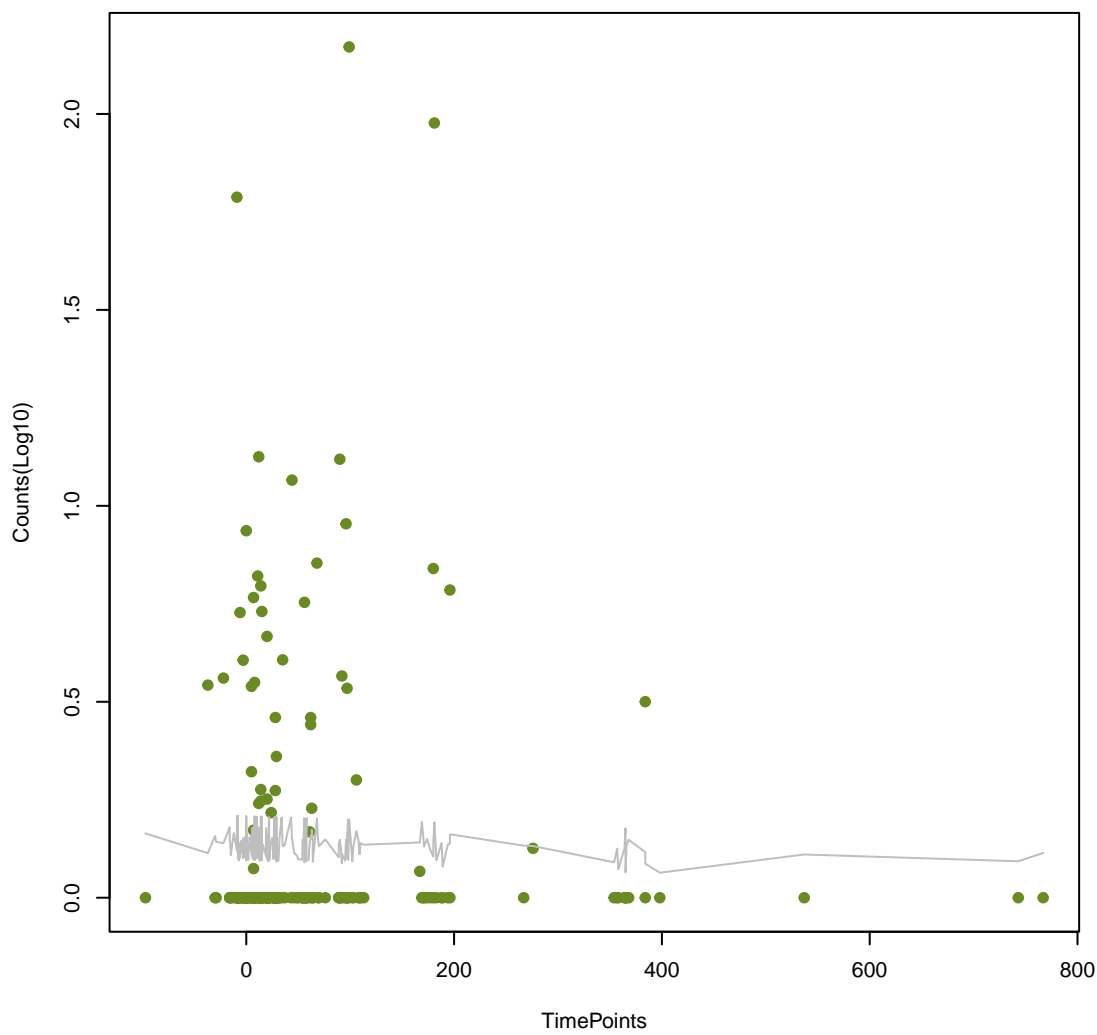
patB
ANOVA P=0.707, adj. ANOVA-P=0.877



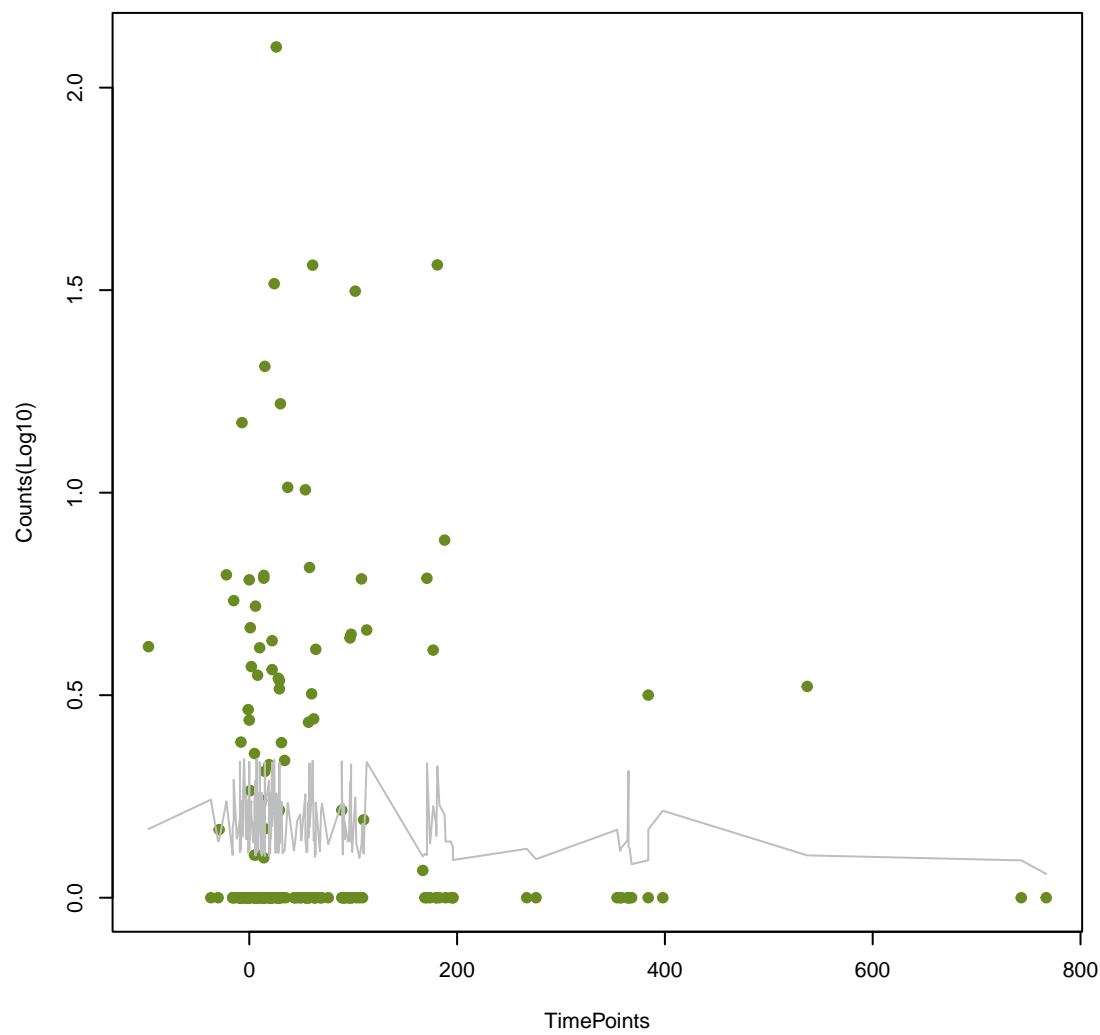
Kpne_KpnG
ANOVA P=0.711, adj. ANOVA-P=0.879



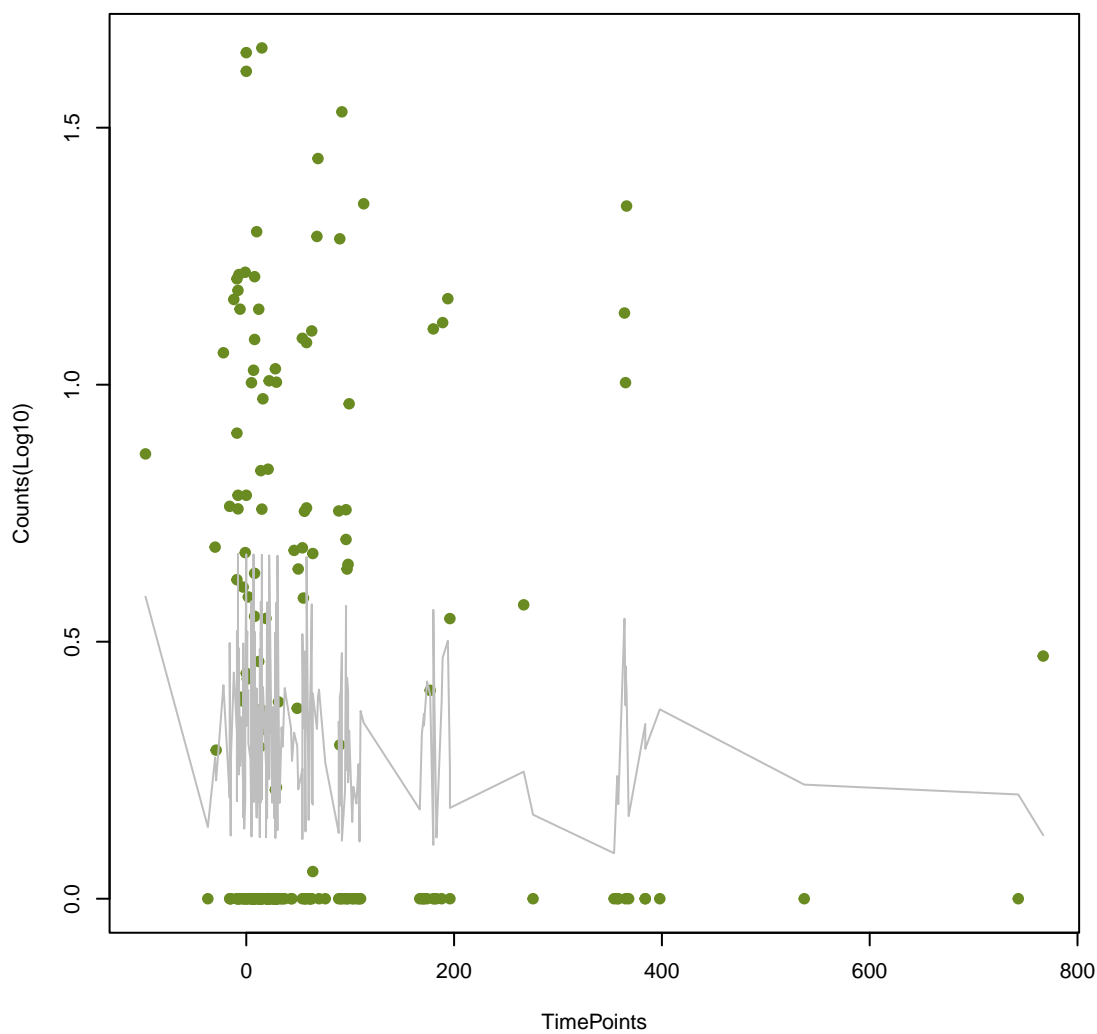
Cper_mprF
ANOVA P=0.723, adj. ANOVA-P=0.887



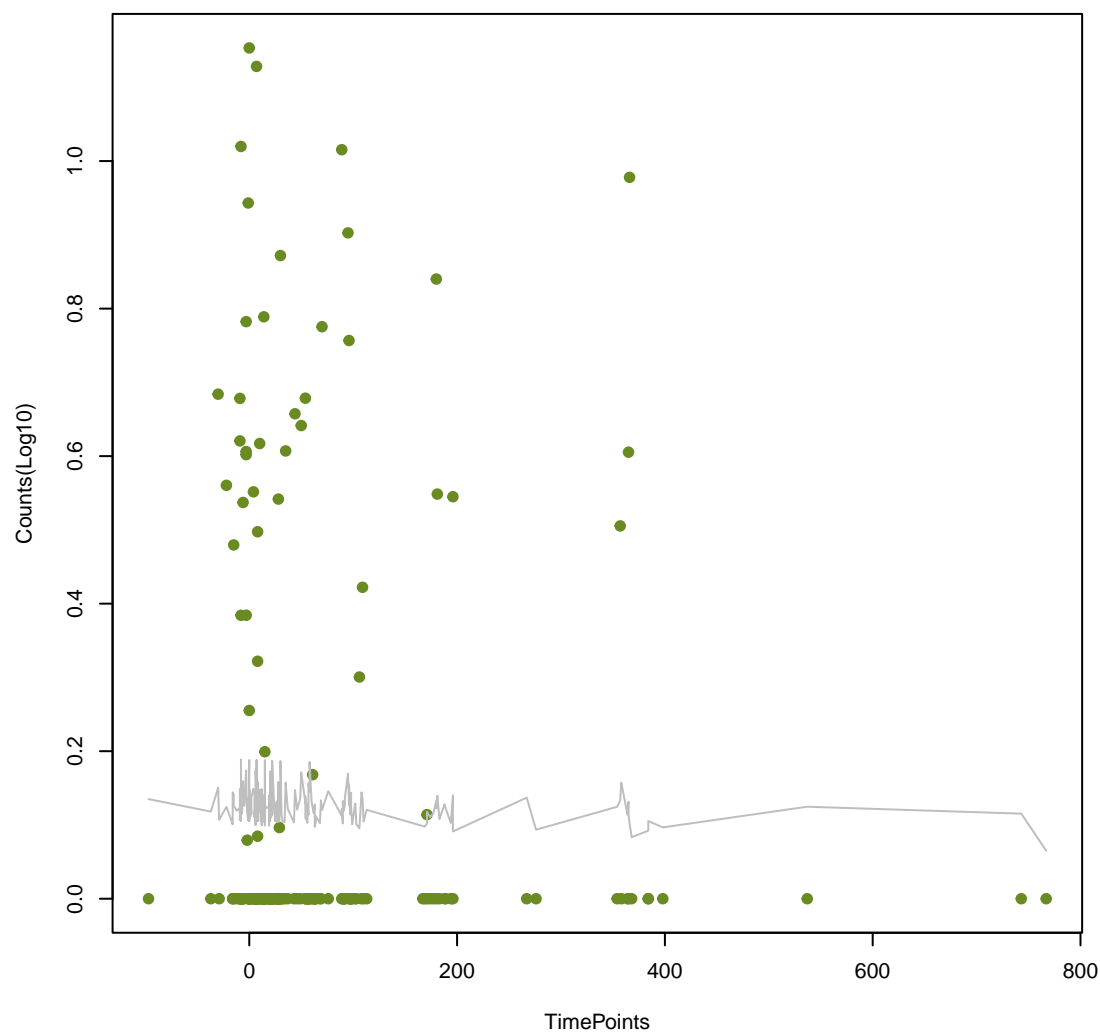
SHV-6
ANOVA P=0.724, adj. ANOVA-P=0.887



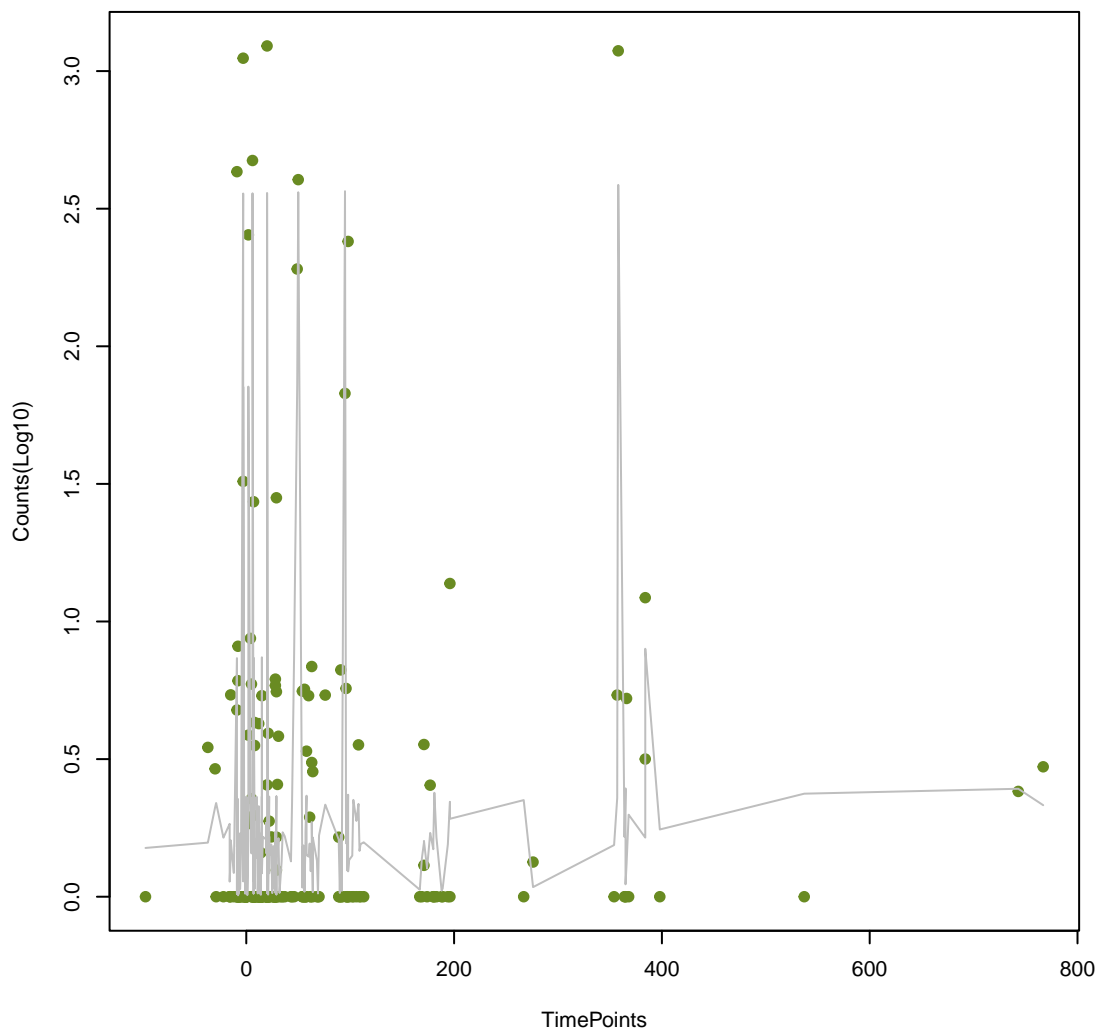
Rm3
ANOVA P=0.73, adj. ANOVA-P=0.887



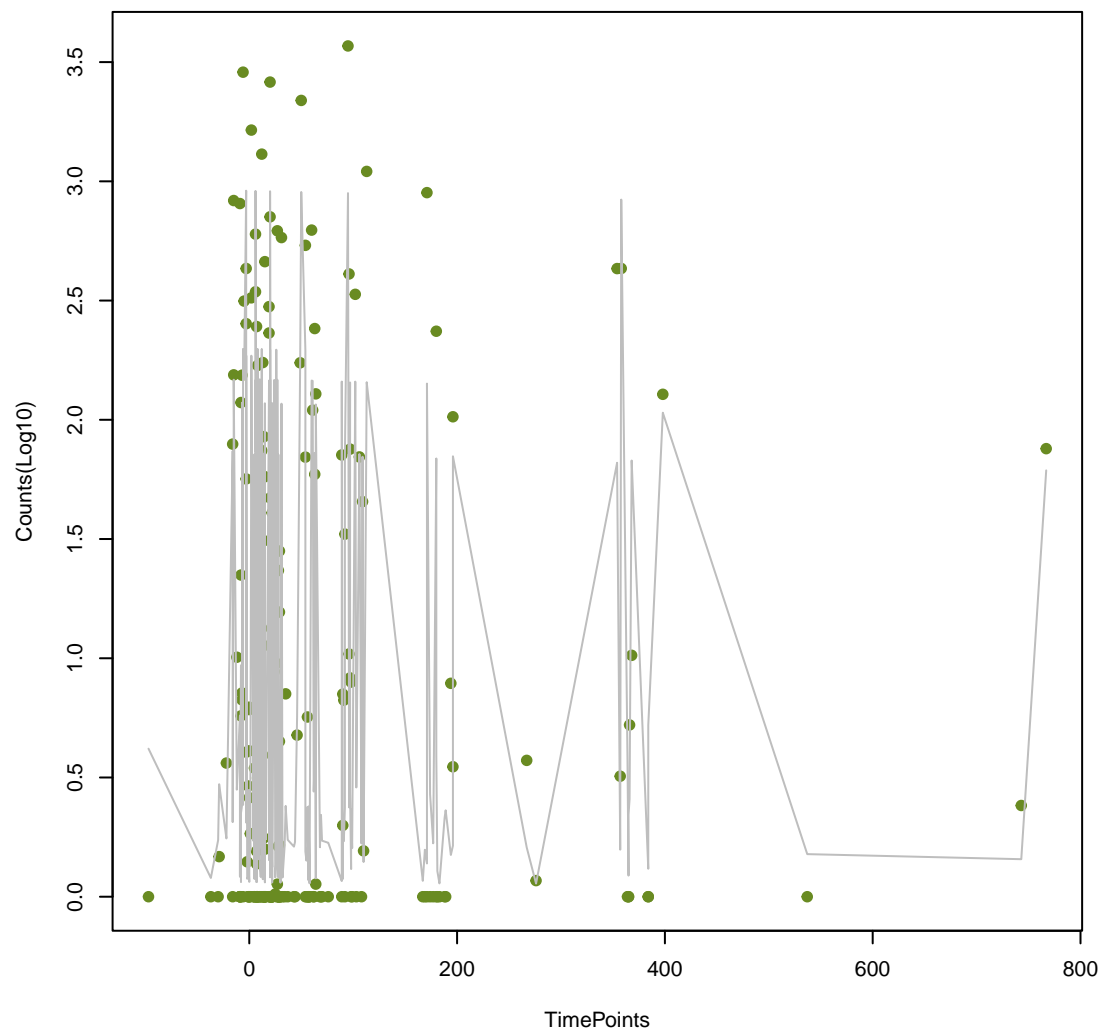
OCH-3
ANOVA P=0.734, adj. ANOVA-P=0.887



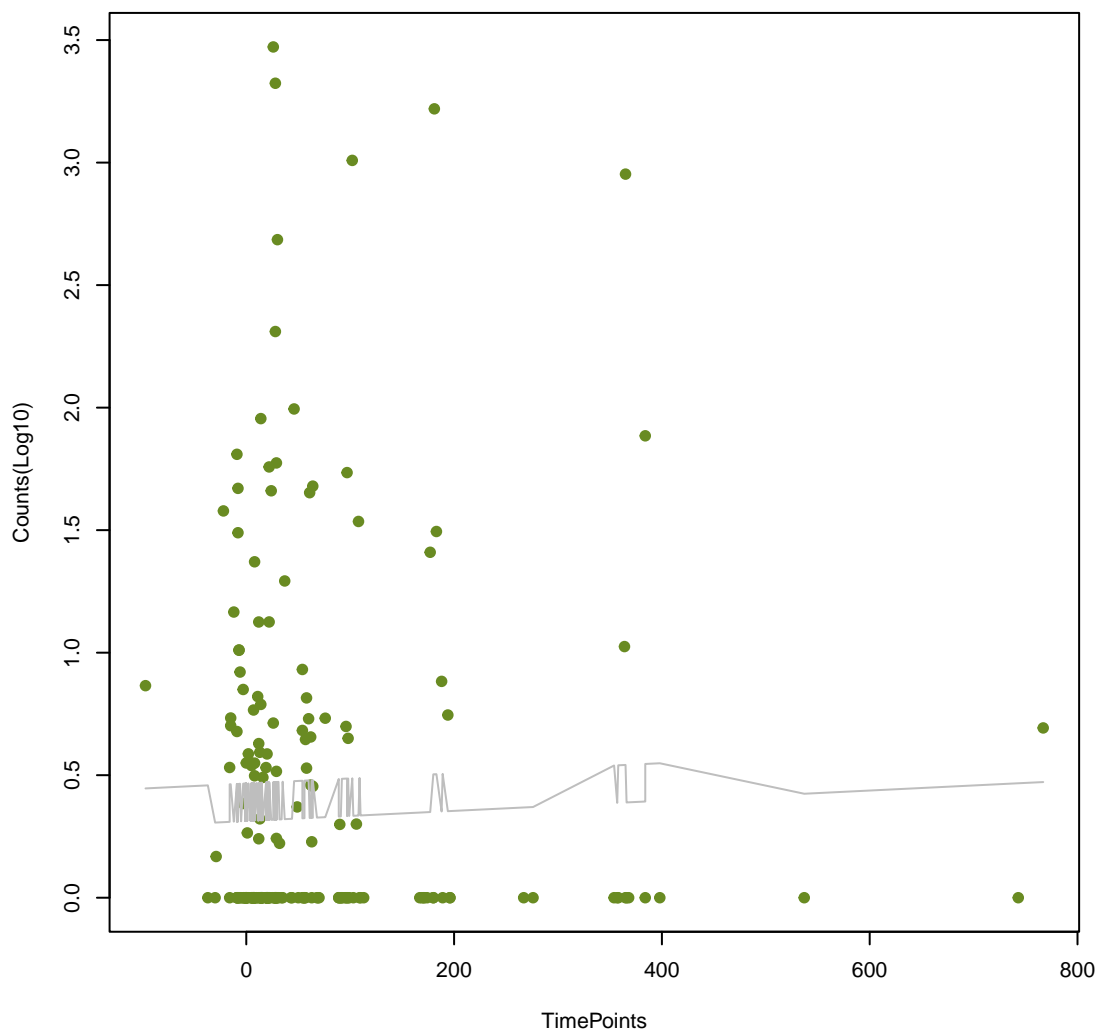
OXA-347
ANOVA P=0.735, adj. ANOVA-P=0.887



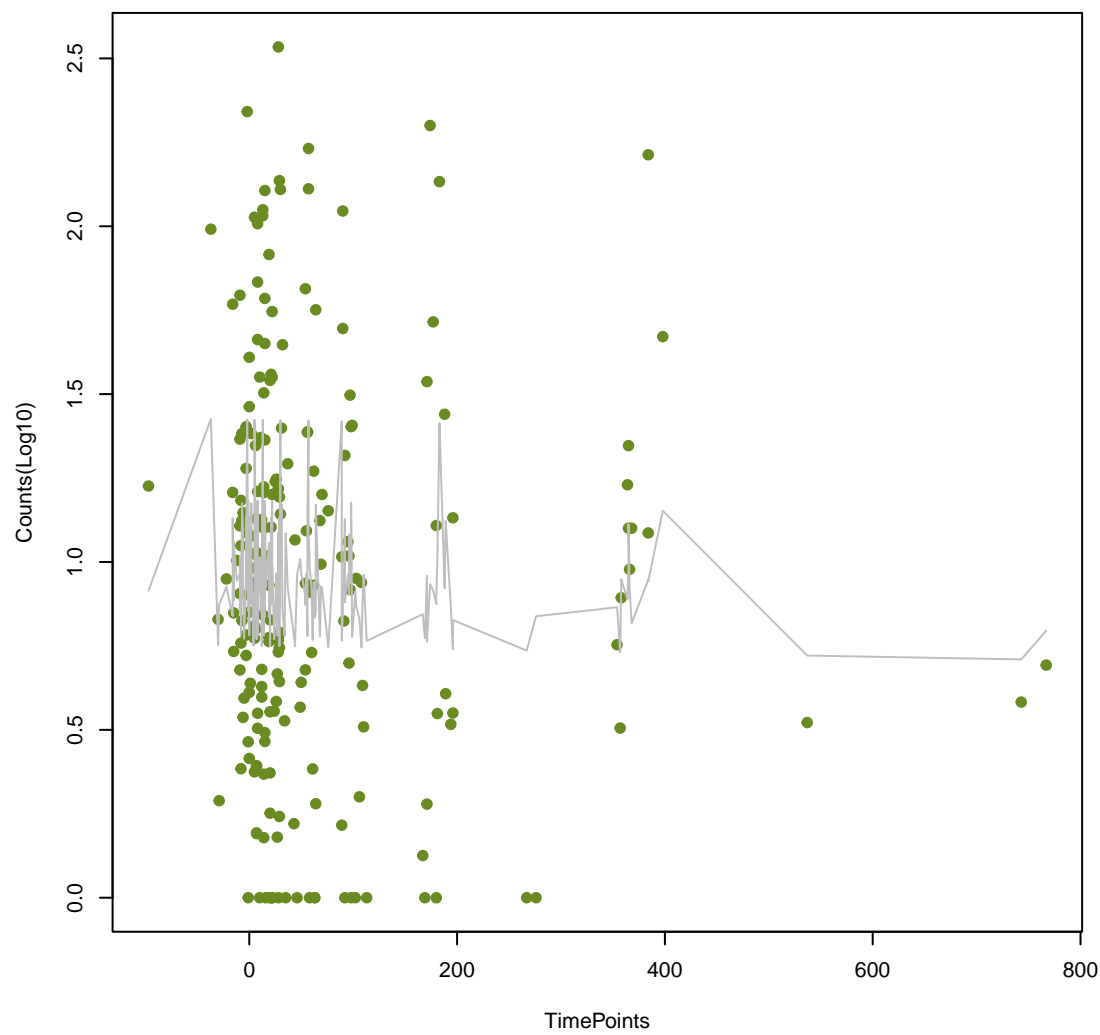
Tet(X1)
ANOVA P=0.736, adj. ANOVA-P=0.887



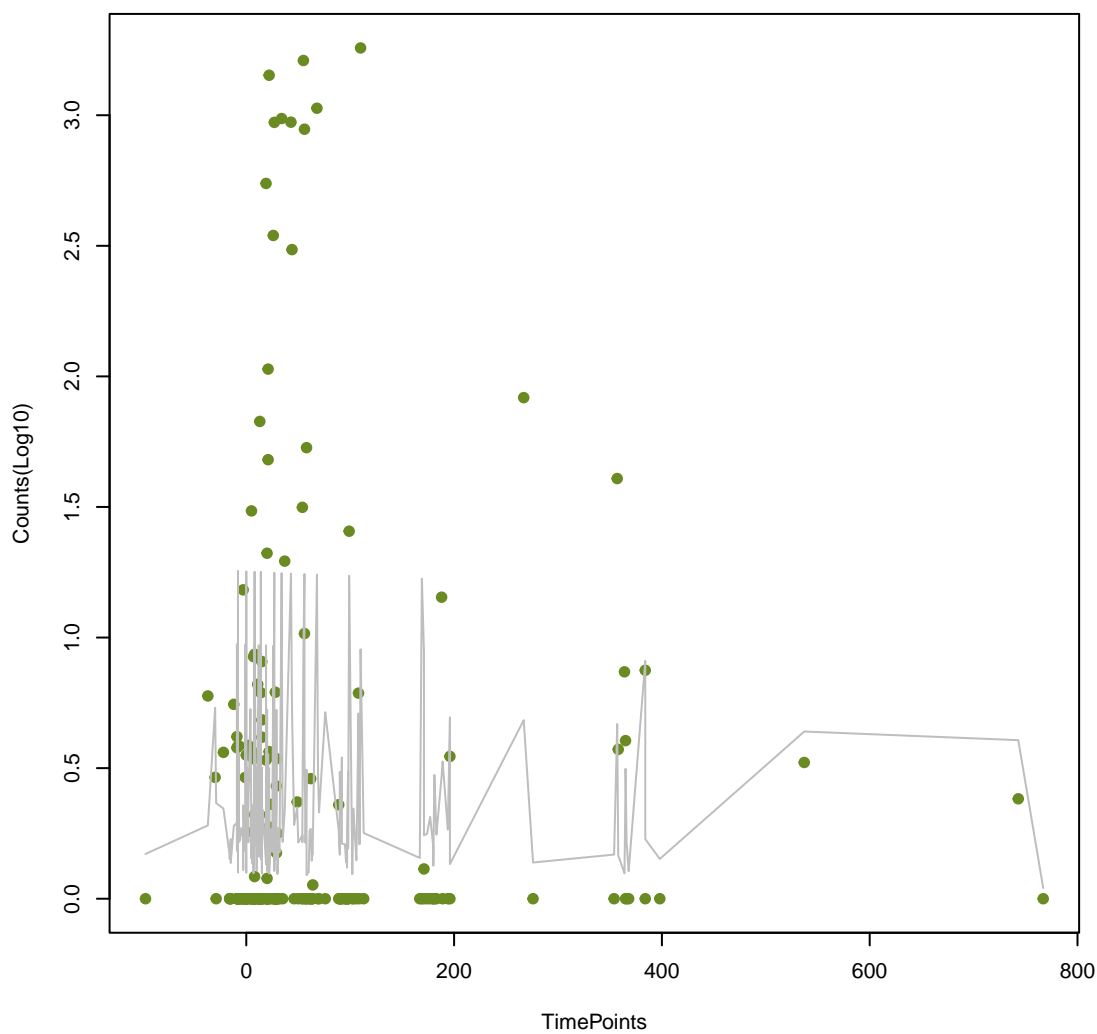
ArnT
ANOVA P=0.744, adj. ANOVA-P=0.894



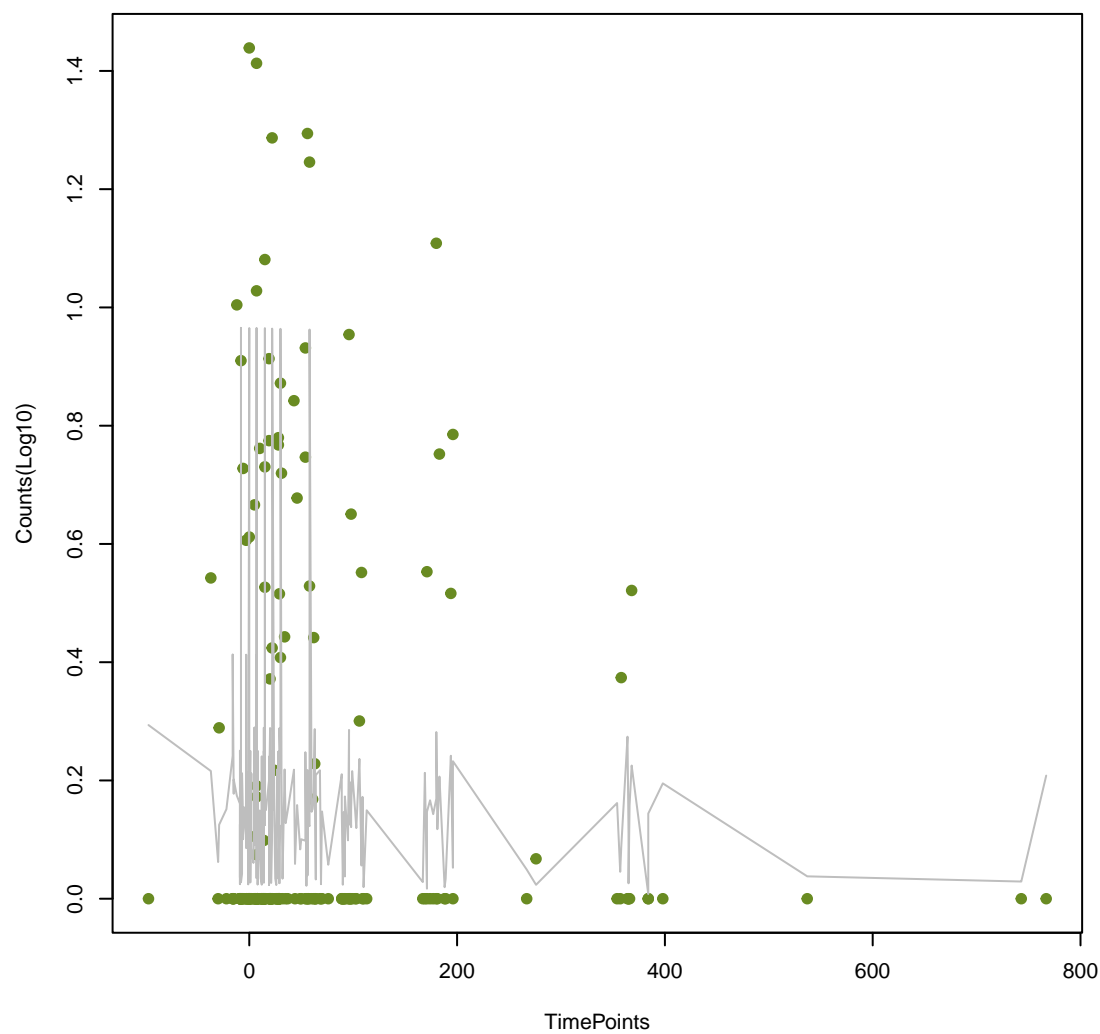
Ecol_emrE
ANOVA P=0.755, adj. ANOVA-P=0.903



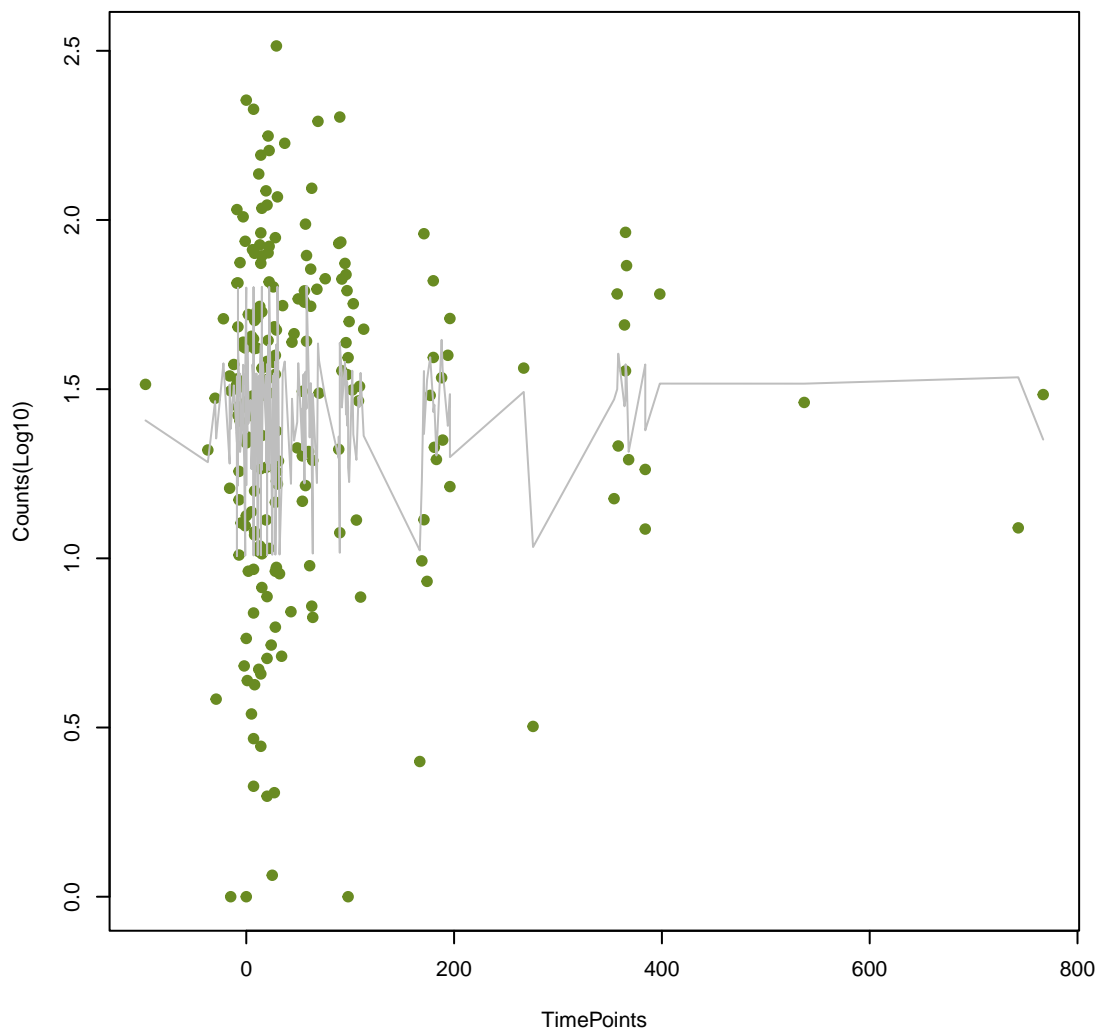
PC1_blaZ
ANOVA P=0.764, adj. ANOVA-P=0.908



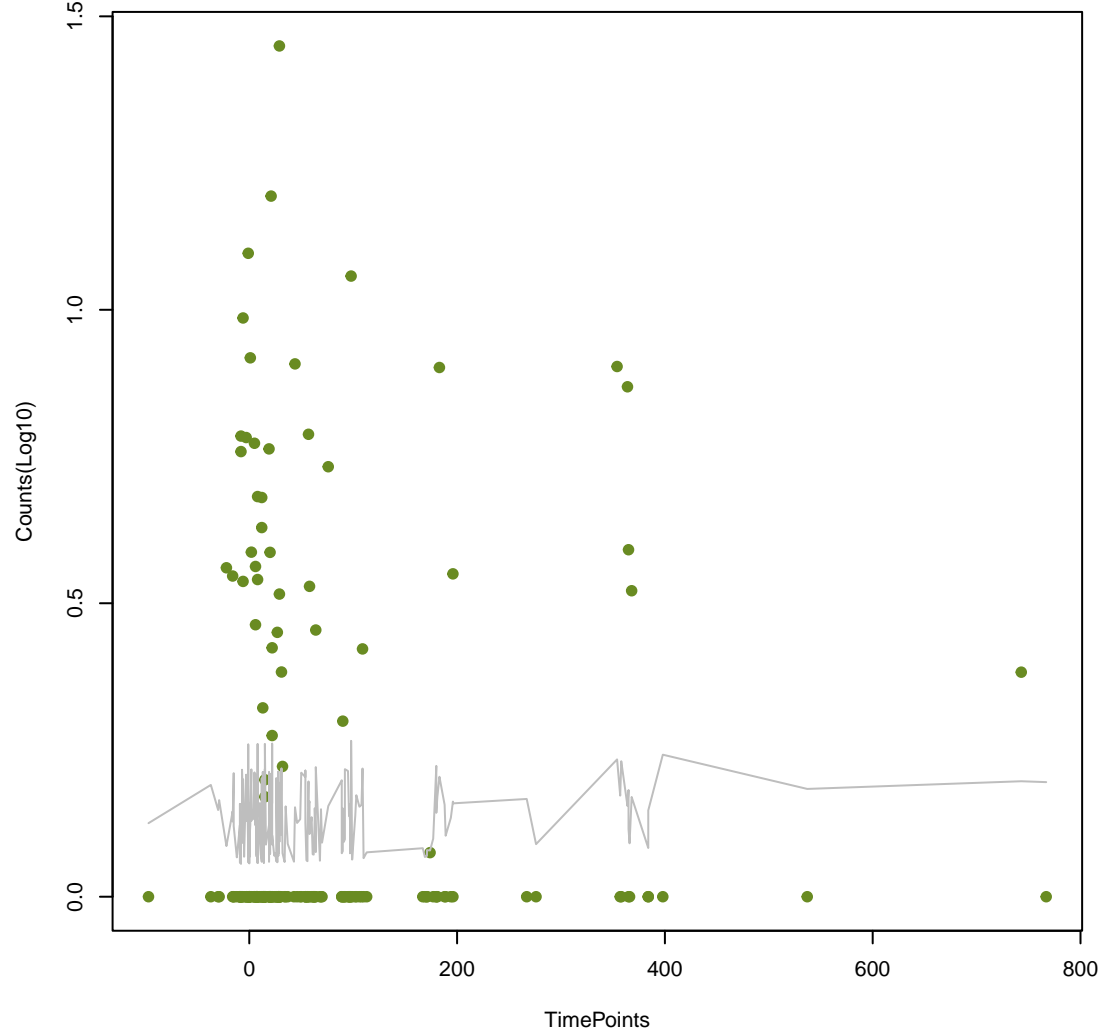
BahA
ANOVA P=0.766, adj. ANOVA-P=0.908



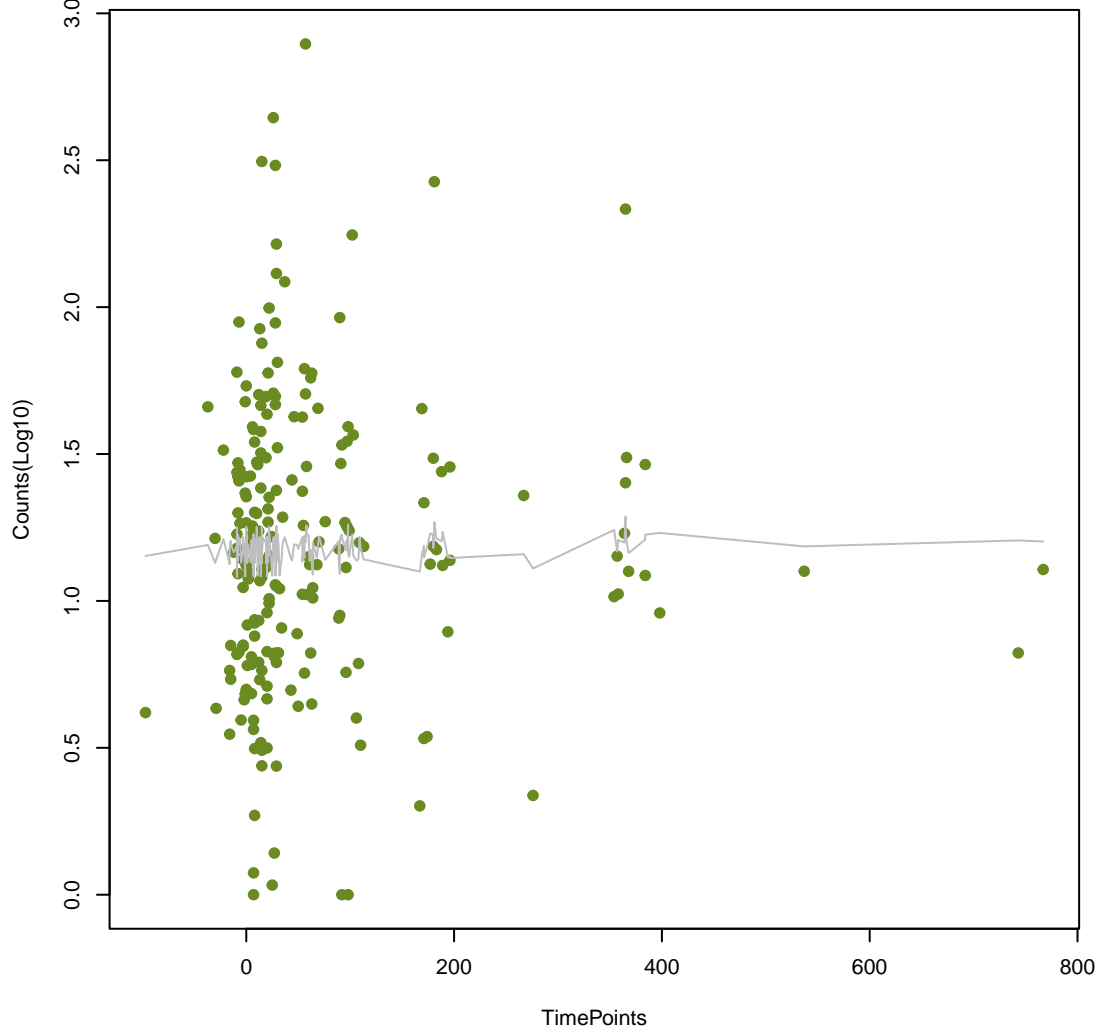
qacJ
ANOVA P=0.774, adj. ANOVA-P=0.914



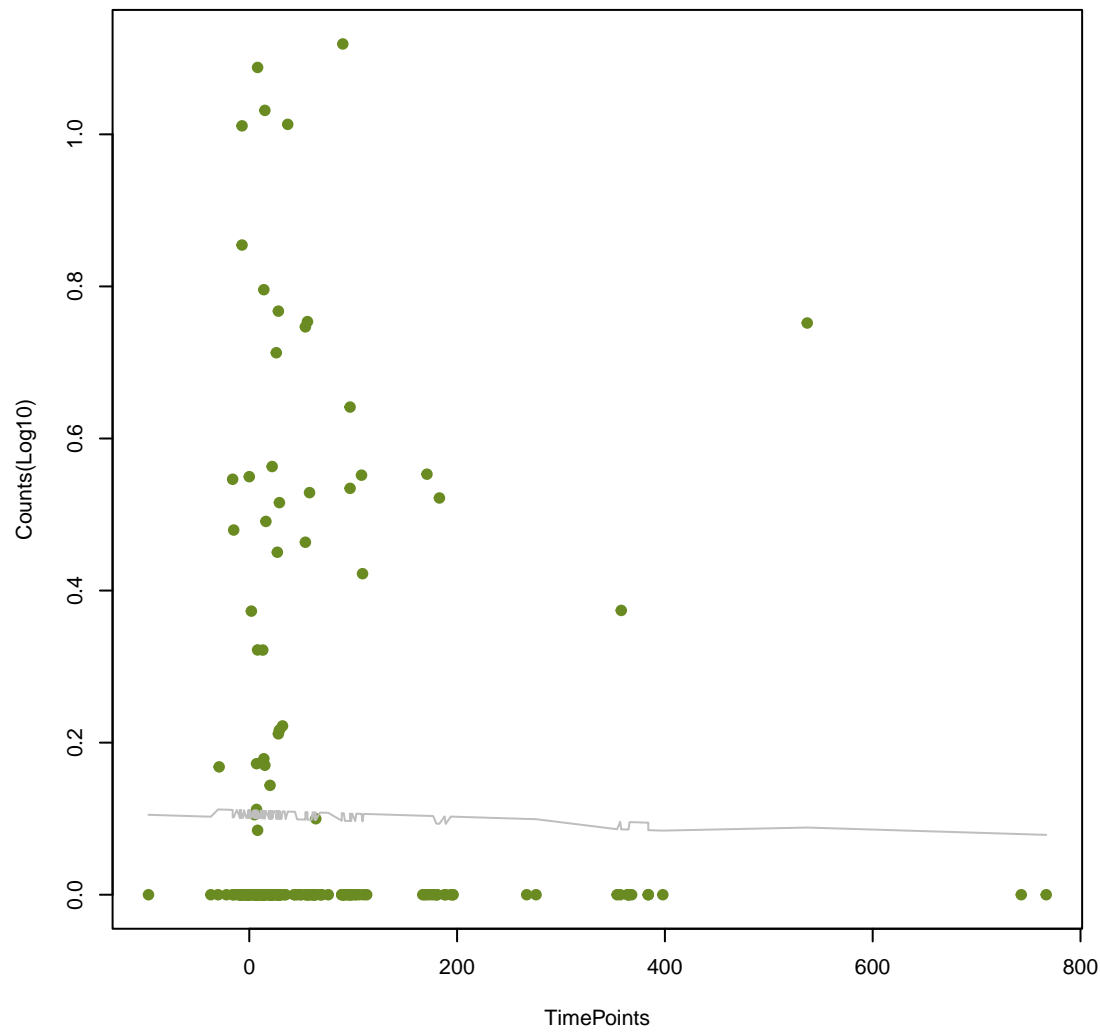
CMY-20
ANOVA P=0.776, adj. ANOVA-P=0.914



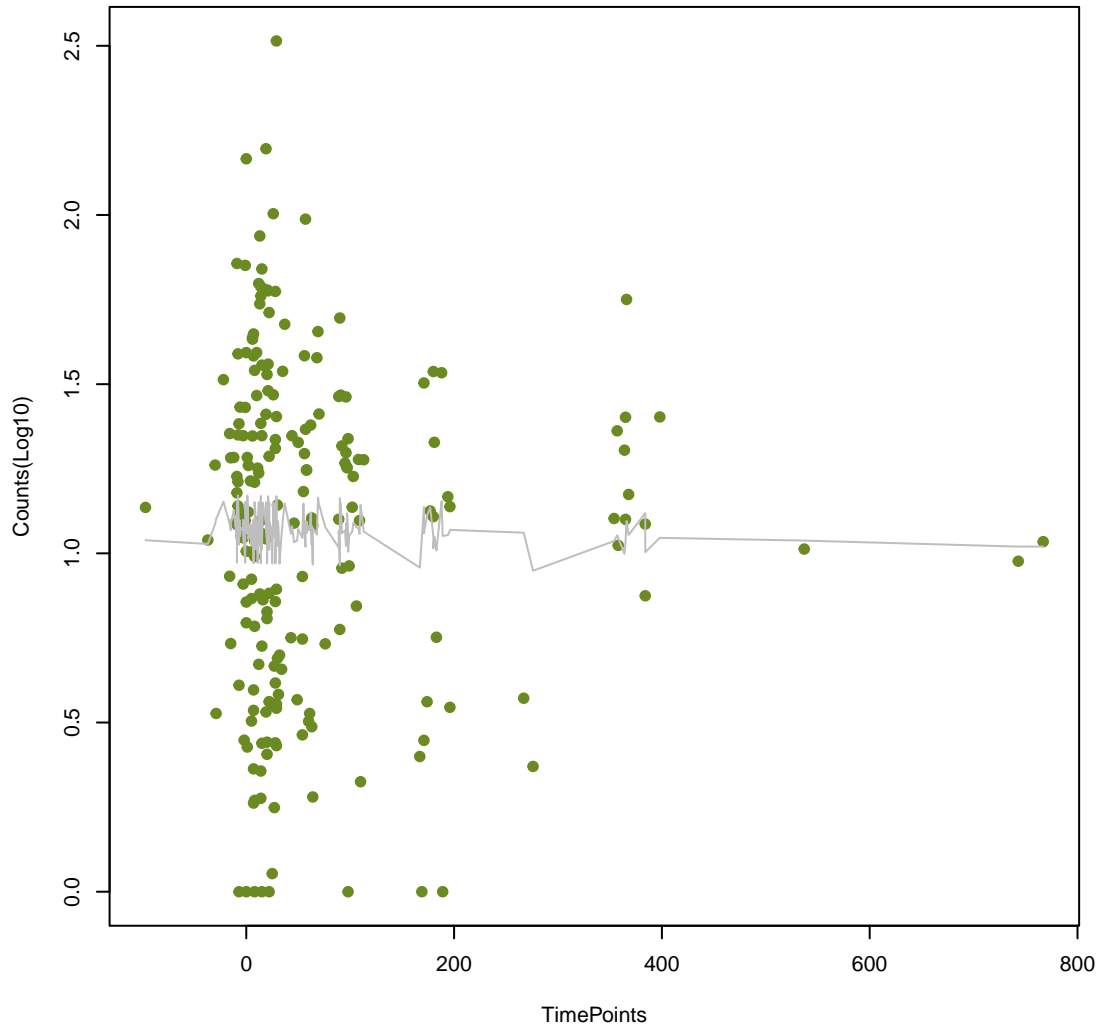
Kpne_KpnE
ANOVA P=0.788, adj. ANOVA-P=0.924



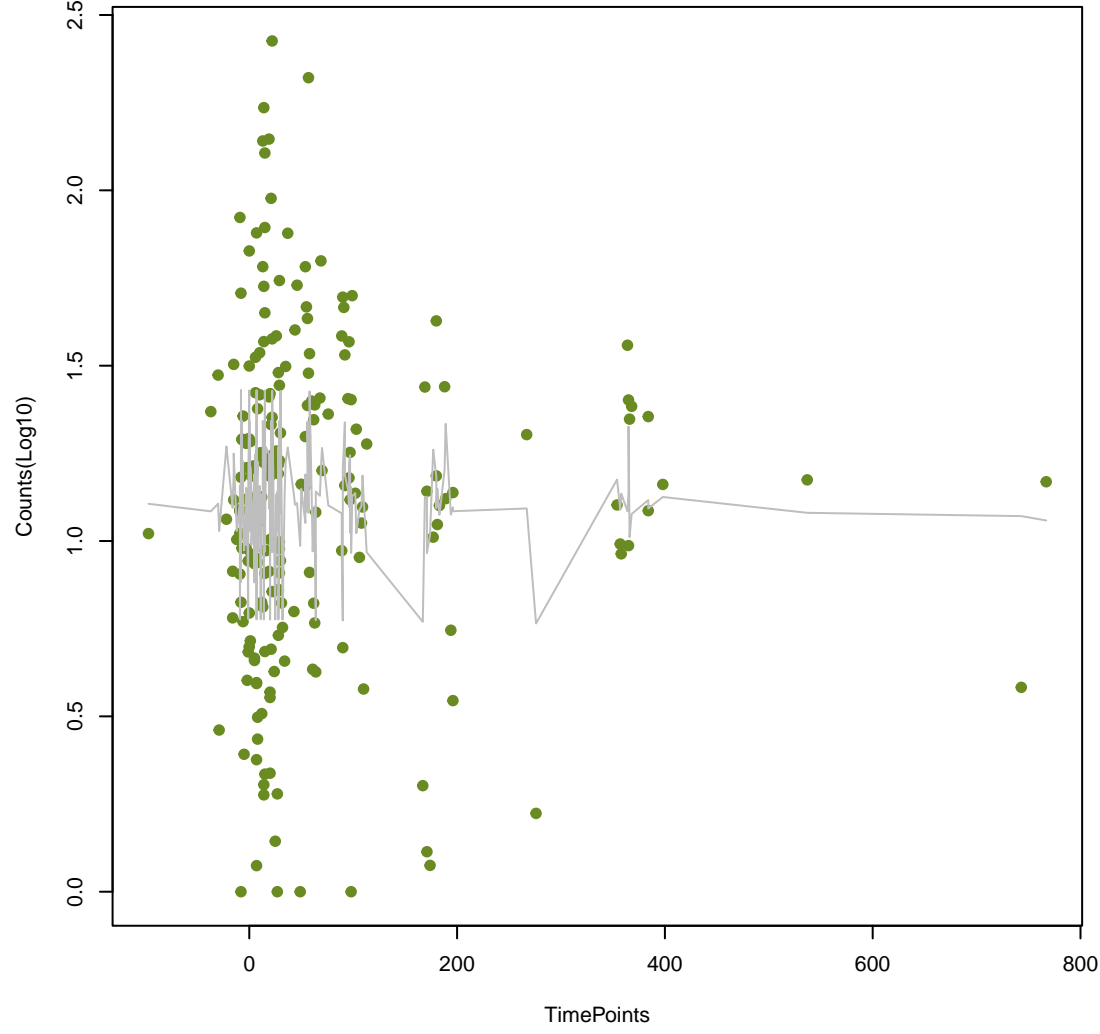
SAT-3
ANOVA P=0.793, adj. ANOVA-P=0.925



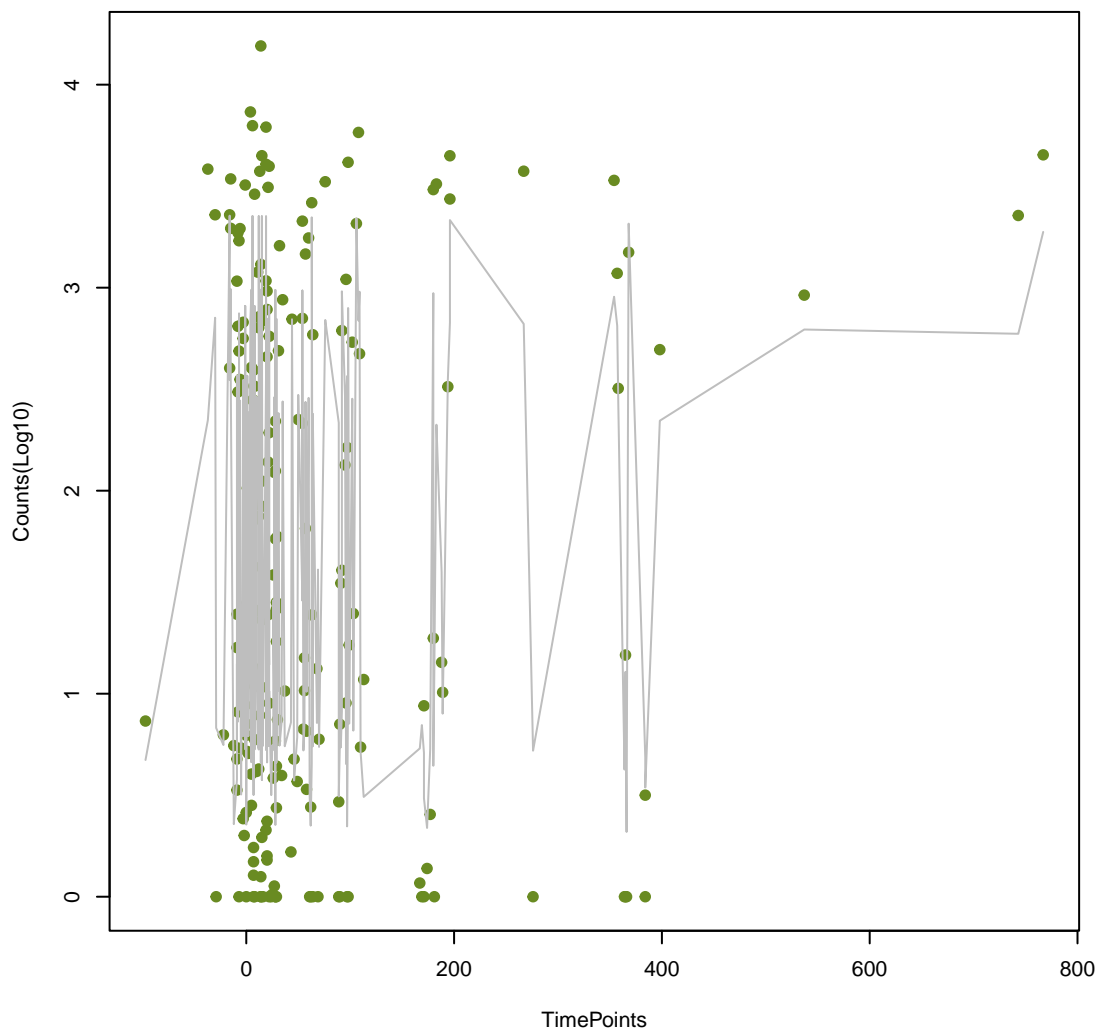
dfrB1
ANOVA P=0.796, adj. ANOVA-P=0.925



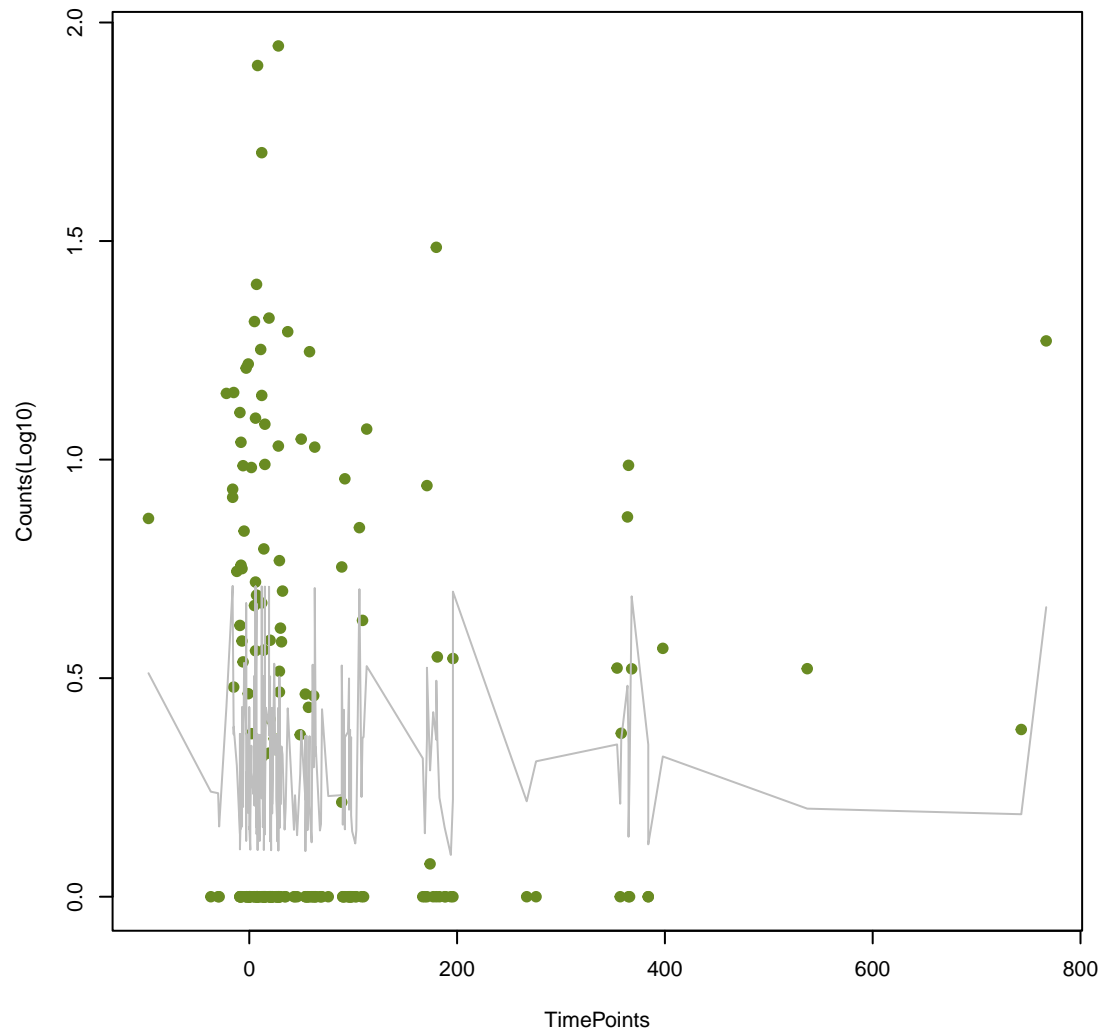
ykkD
ANOVA P=0.801, adj. ANOVA-P=0.925



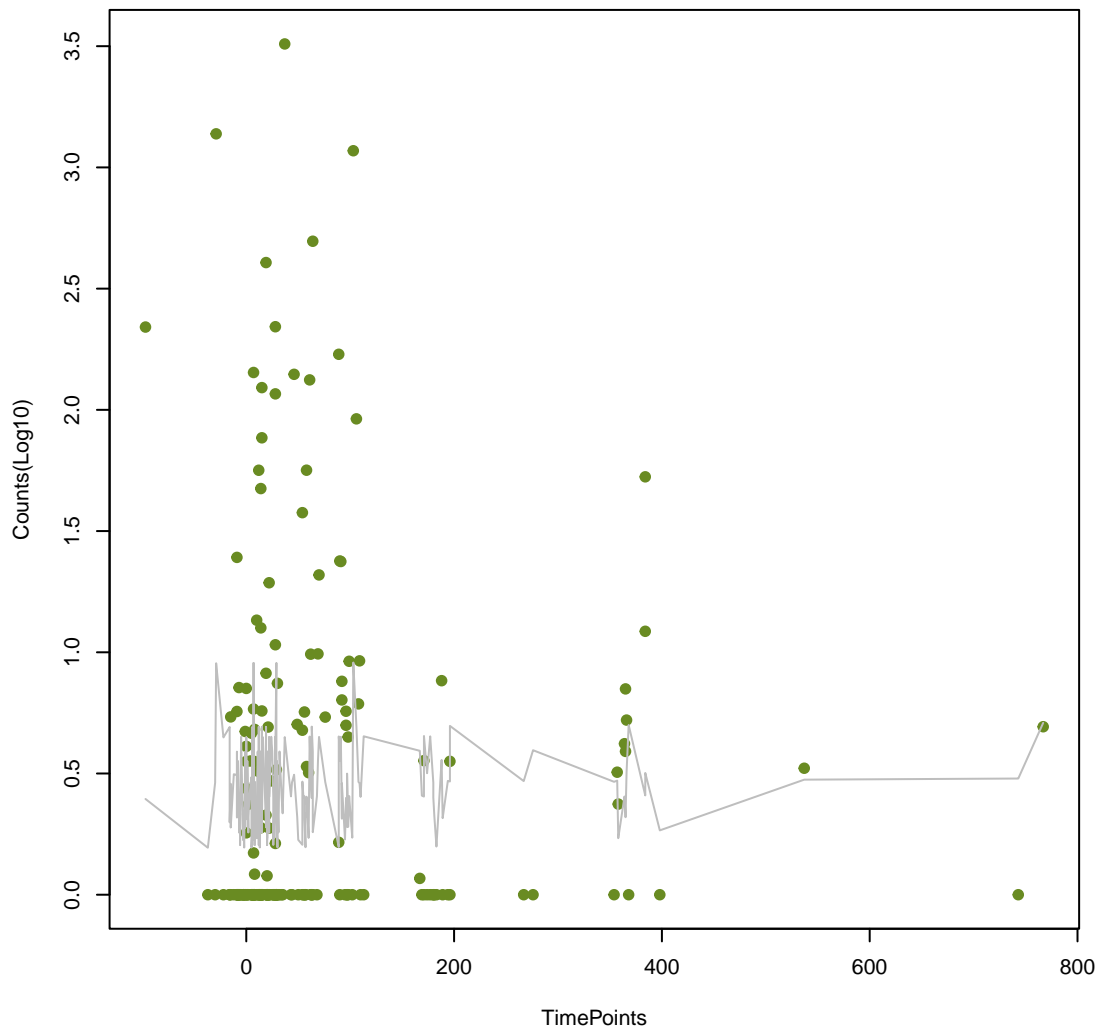
Mef(En2)
ANOVA P=0.801, adj. ANOVA-P=0.925



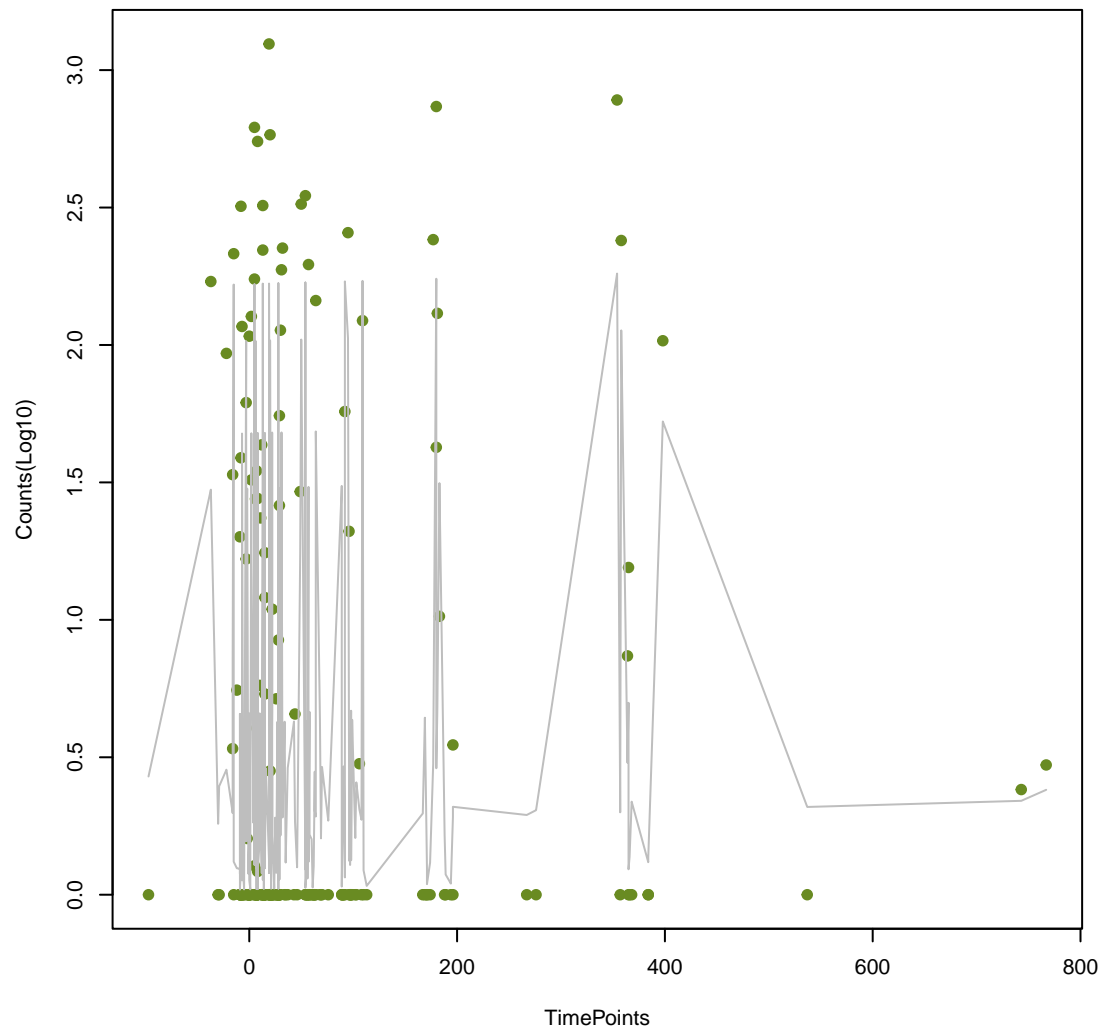
vanO
ANOVA P=0.808, adj. ANOVA-P=0.929



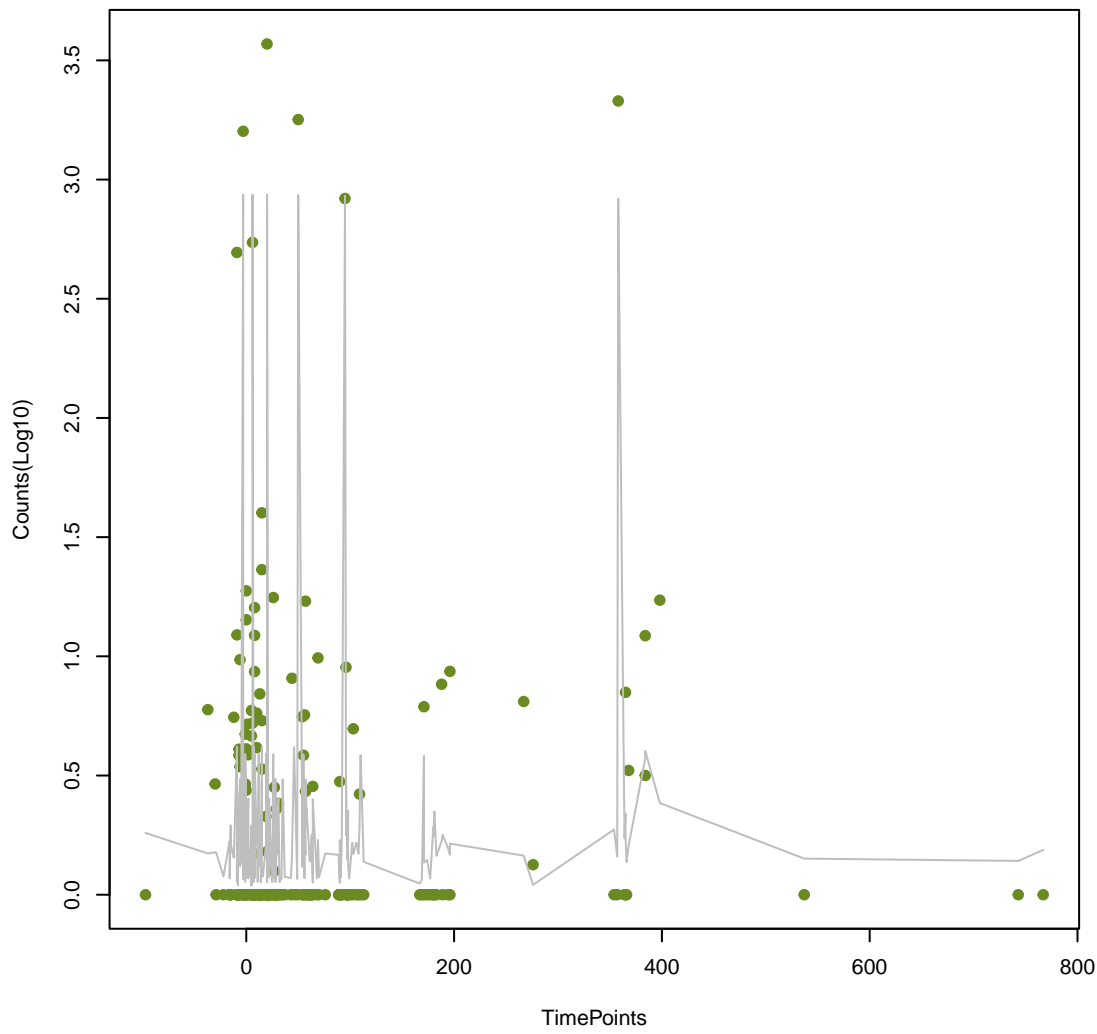
vanT_in_vanC_cl
ANOVA P=0.811, adj. ANOVA-P=0.93



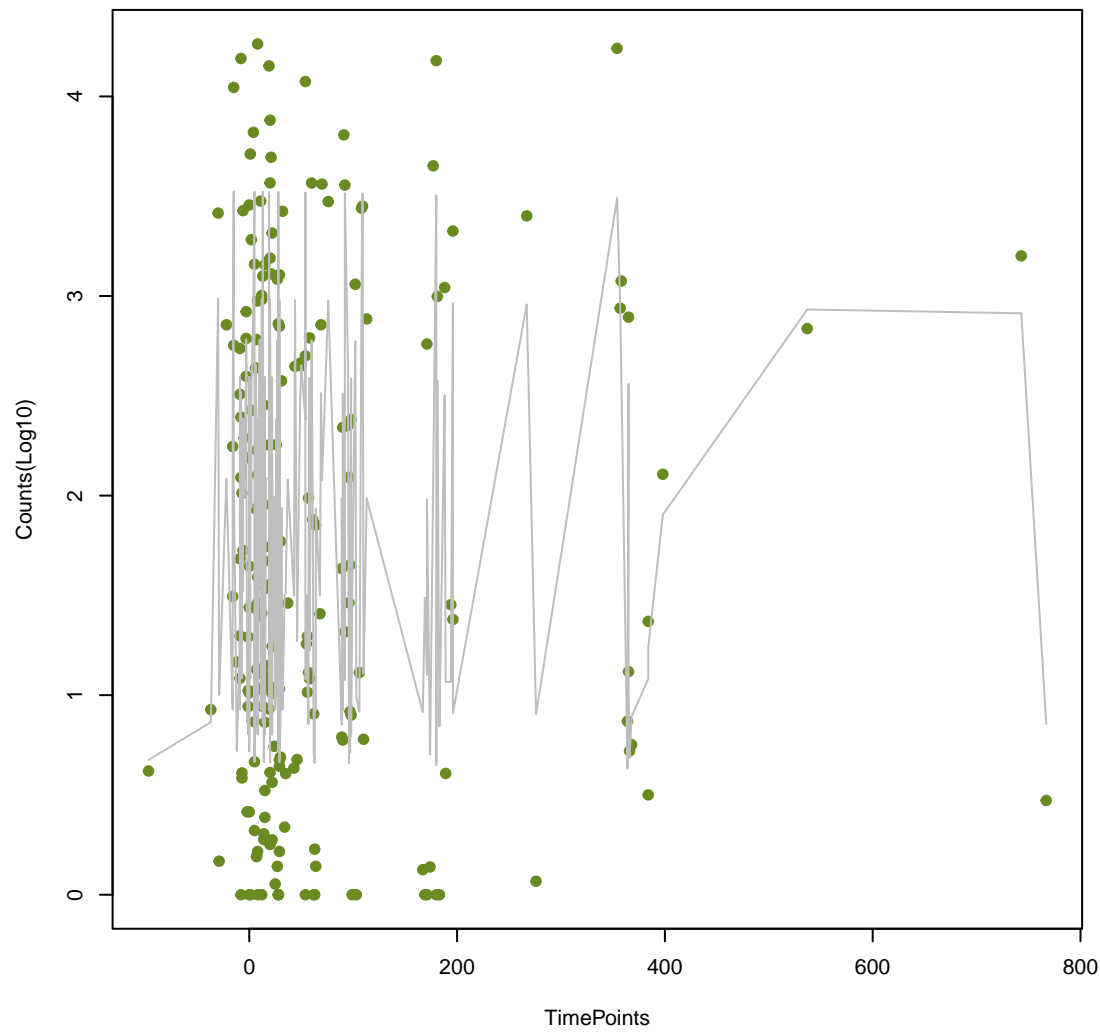
CfxA3
ANOVA P=0.815, adj. ANOVA-P=0.93



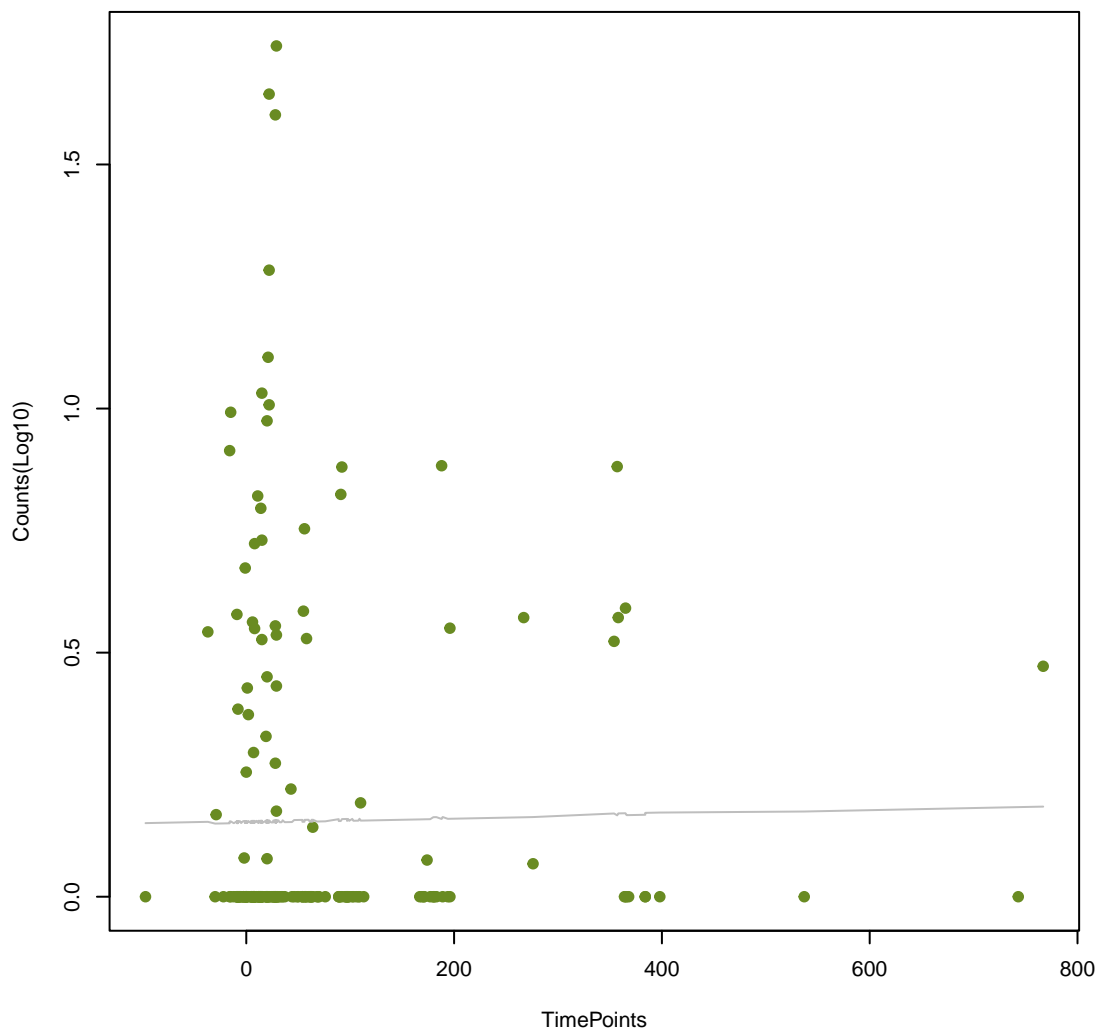
EreD
ANOVA P=0.828, adj. ANOVA-P=0.936



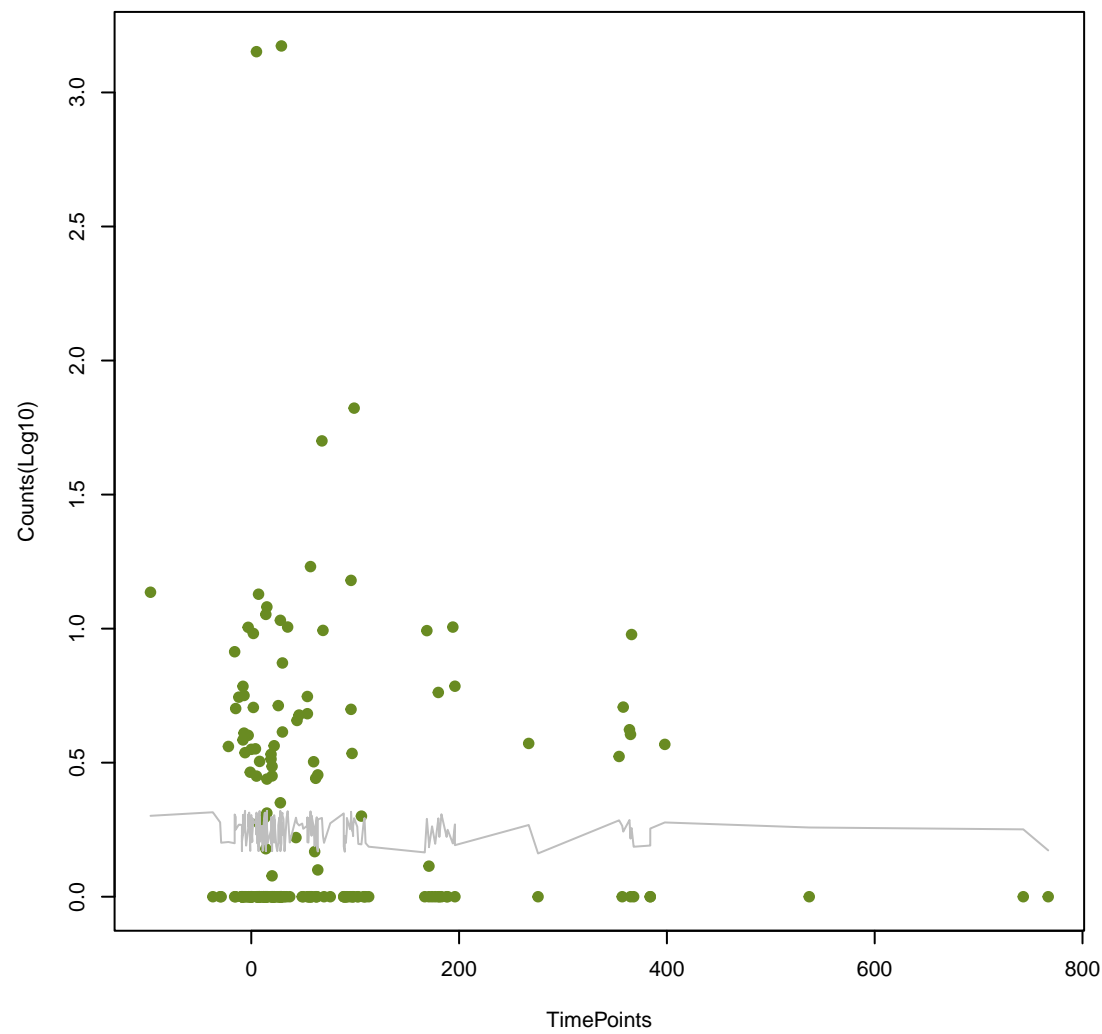
ErmF
ANOVA P=0.829, adj. ANOVA-P=0.936



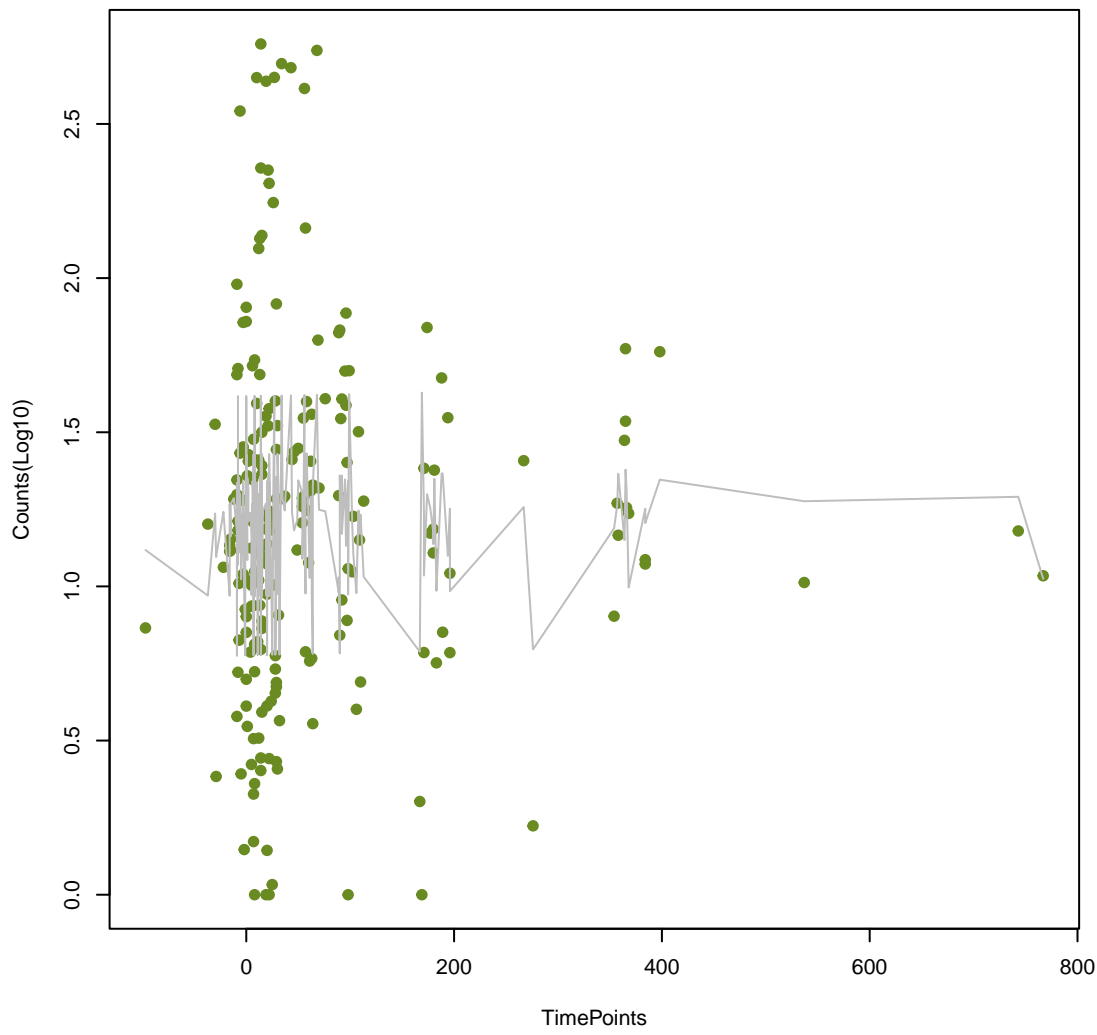
vgaD
ANOVA P=0.83, adj. ANOVA-P=0.936



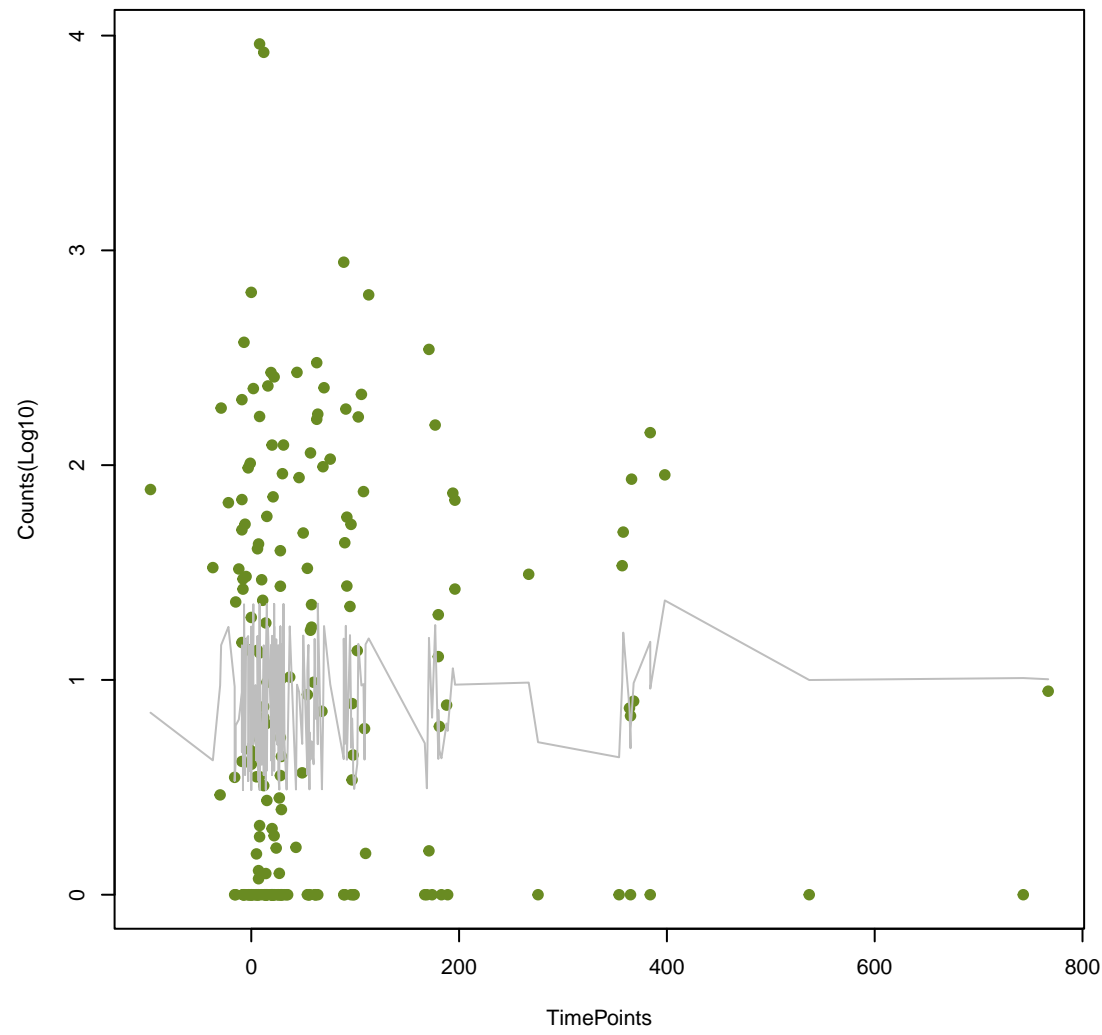
TriC
ANOVA P=0.838, adj. ANOVA-P=0.942



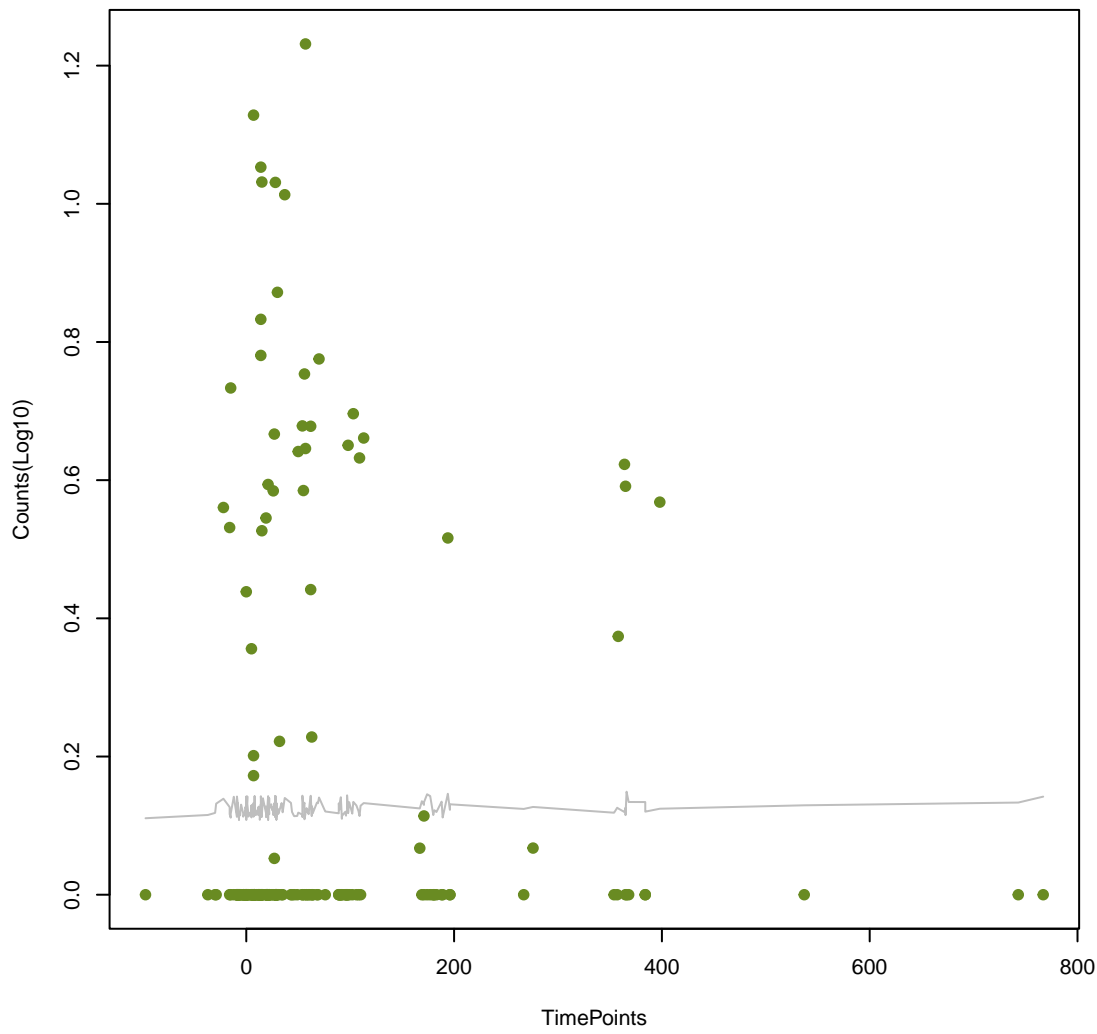
mecl
ANOVA P=0.854, adj. ANOVA-P=0.957



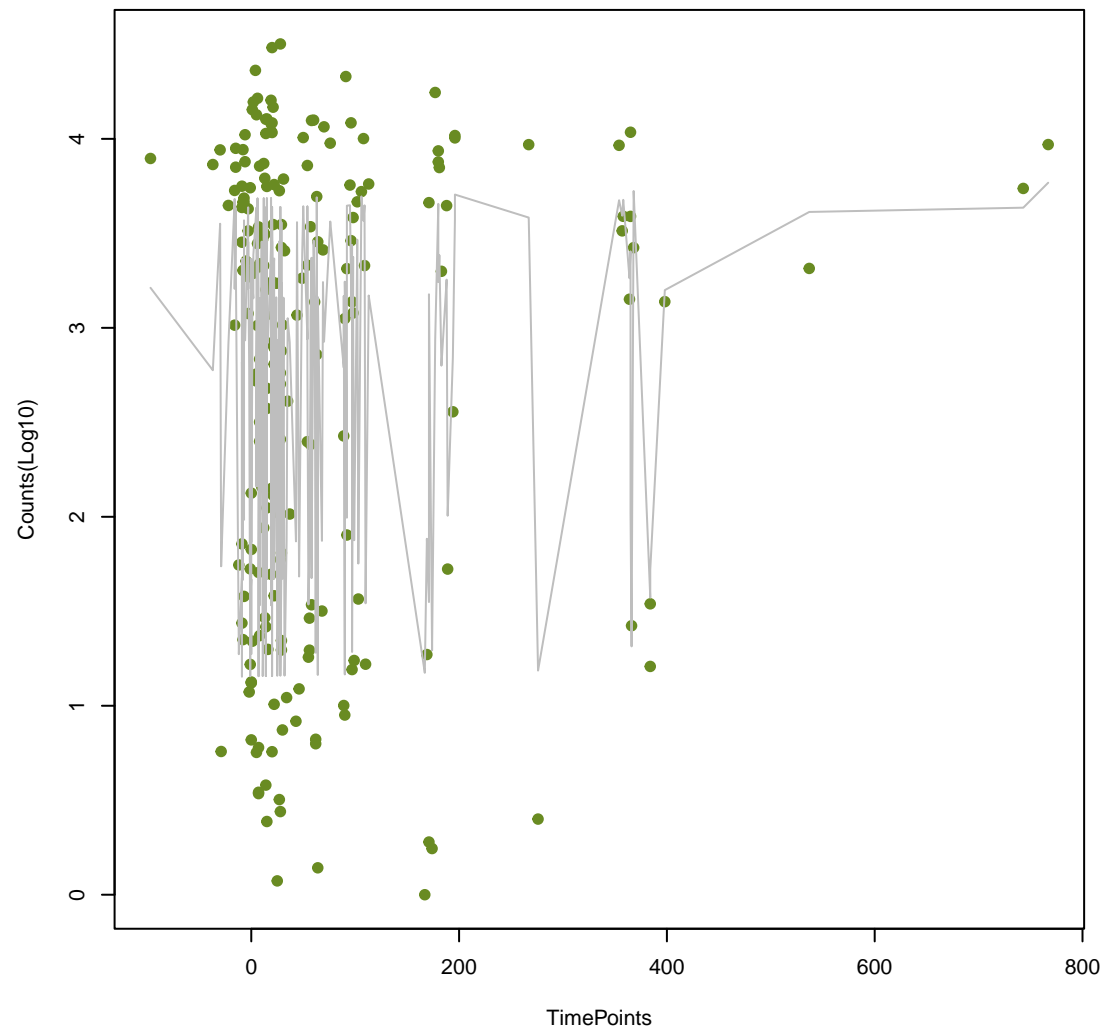
vanS_in_vanD_cl
ANOVA P=0.862, adj. ANOVA-P=0.962



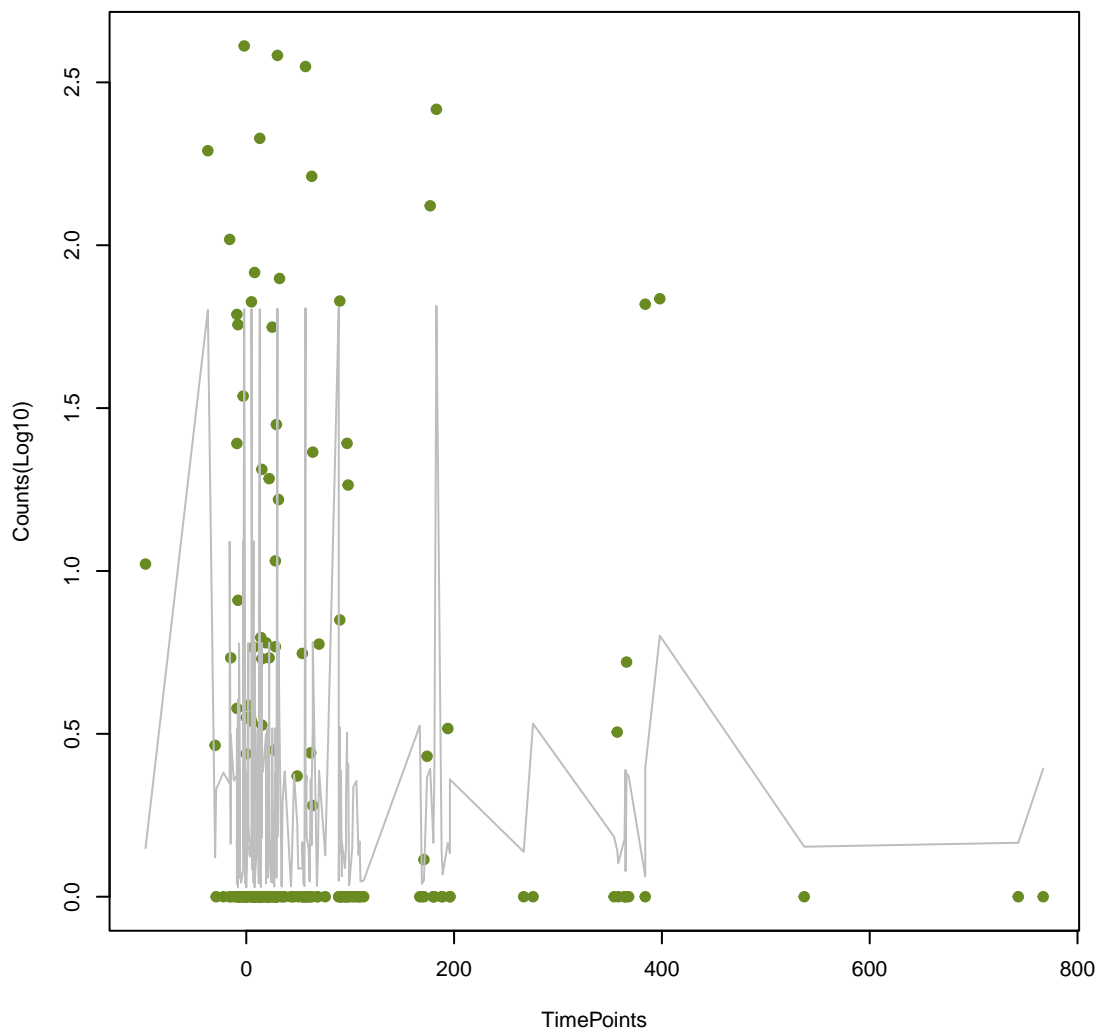
OXA-113
ANOVA P=0.87, adj. ANOVA-P=0.967



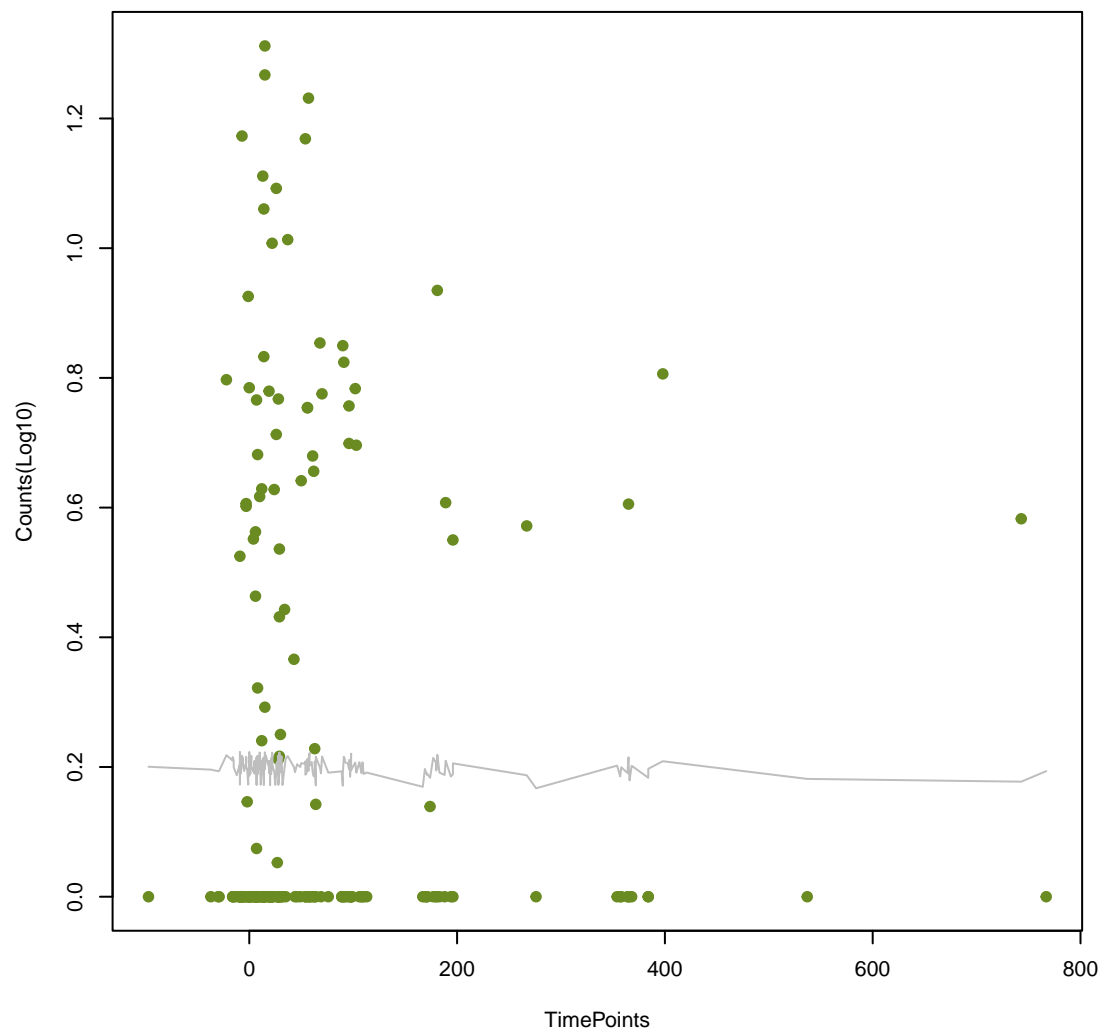
tetQ
ANOVA P=0.882, adj. ANOVA-P=0.976



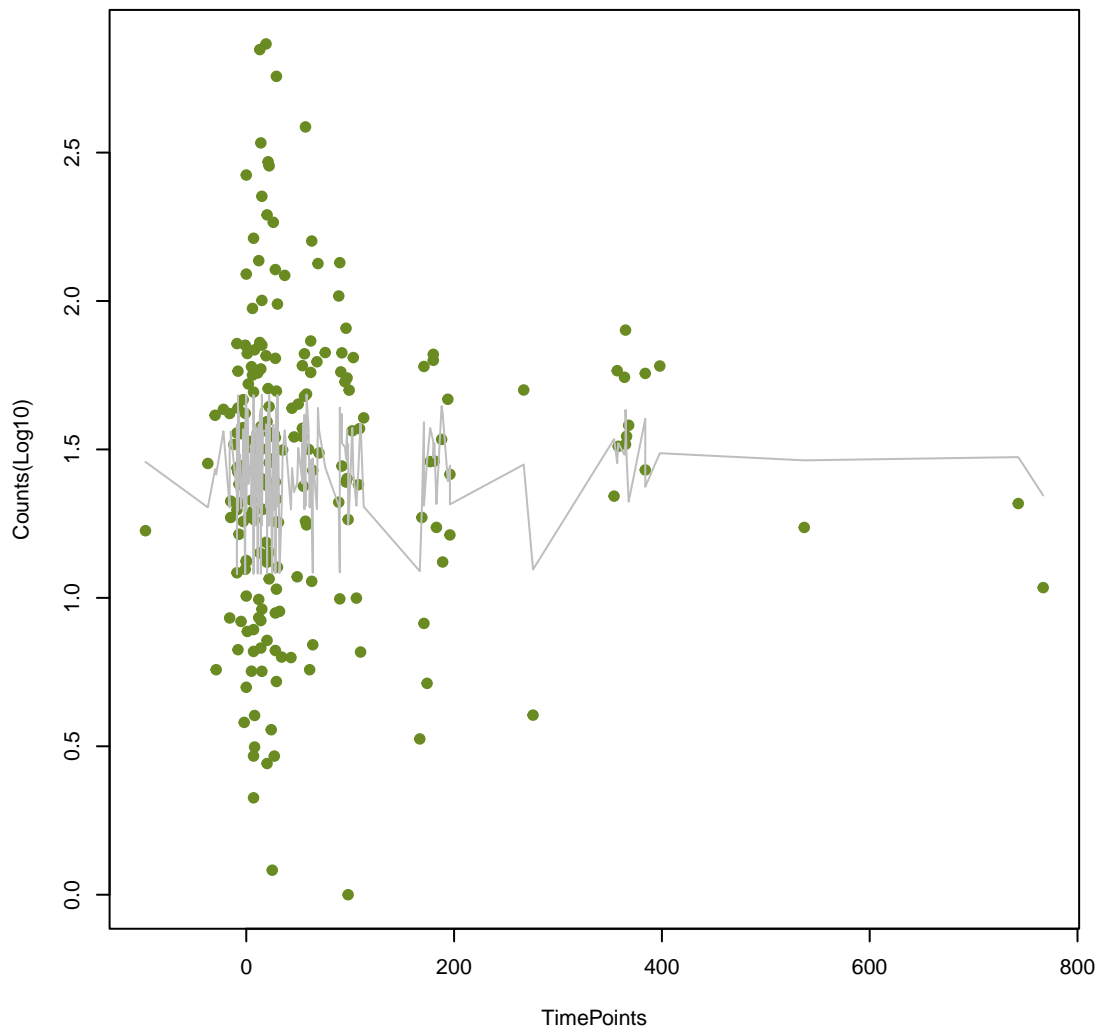
EC-19
ANOVA P=0.888, adj. ANOVA-P=0.978



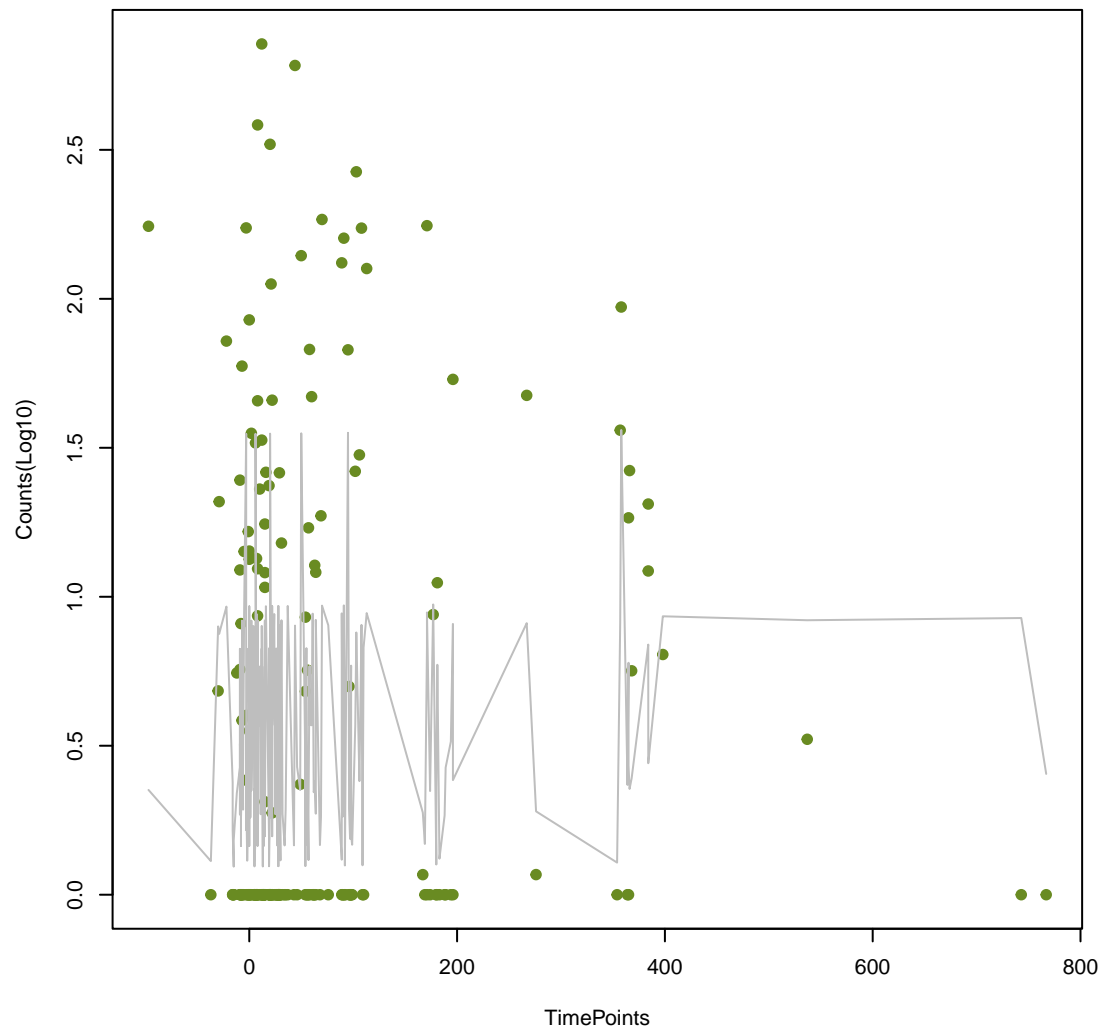
SHV-12
ANOVA P=0.895, adj. ANOVA-P=0.978



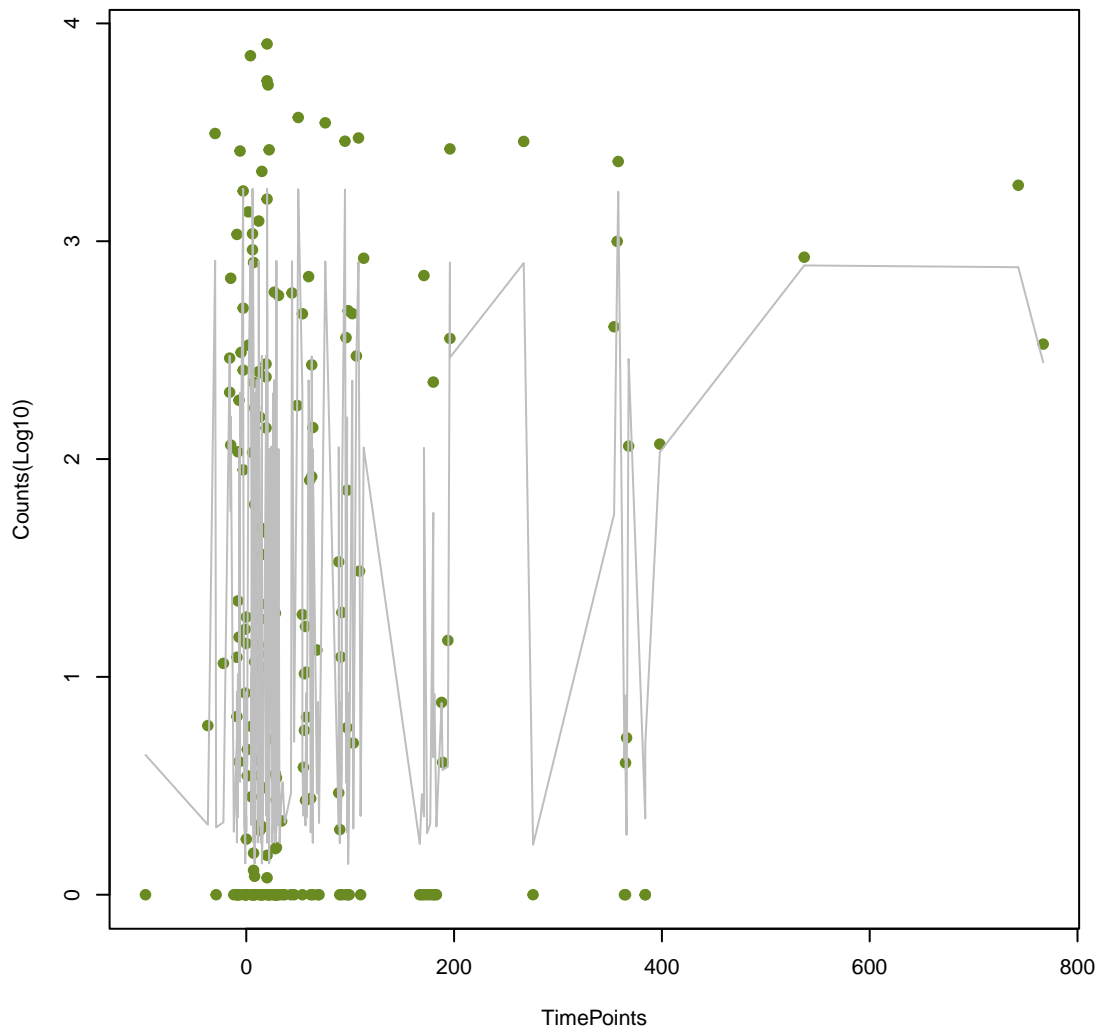
abeS
ANOVA P=0.895, adj. ANOVA-P=0.978



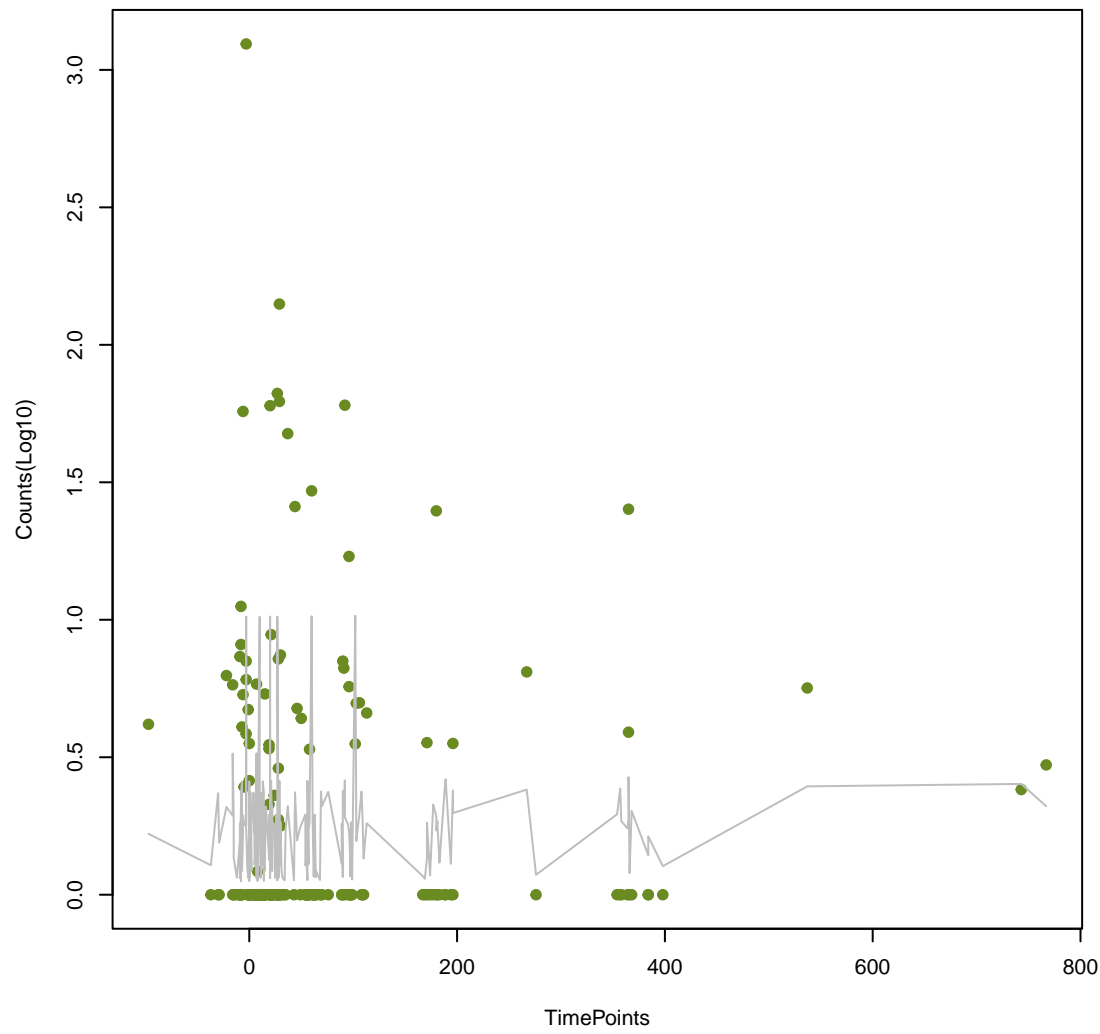
vanD
ANOVA P=0.903, adj. ANOVA-P=0.978



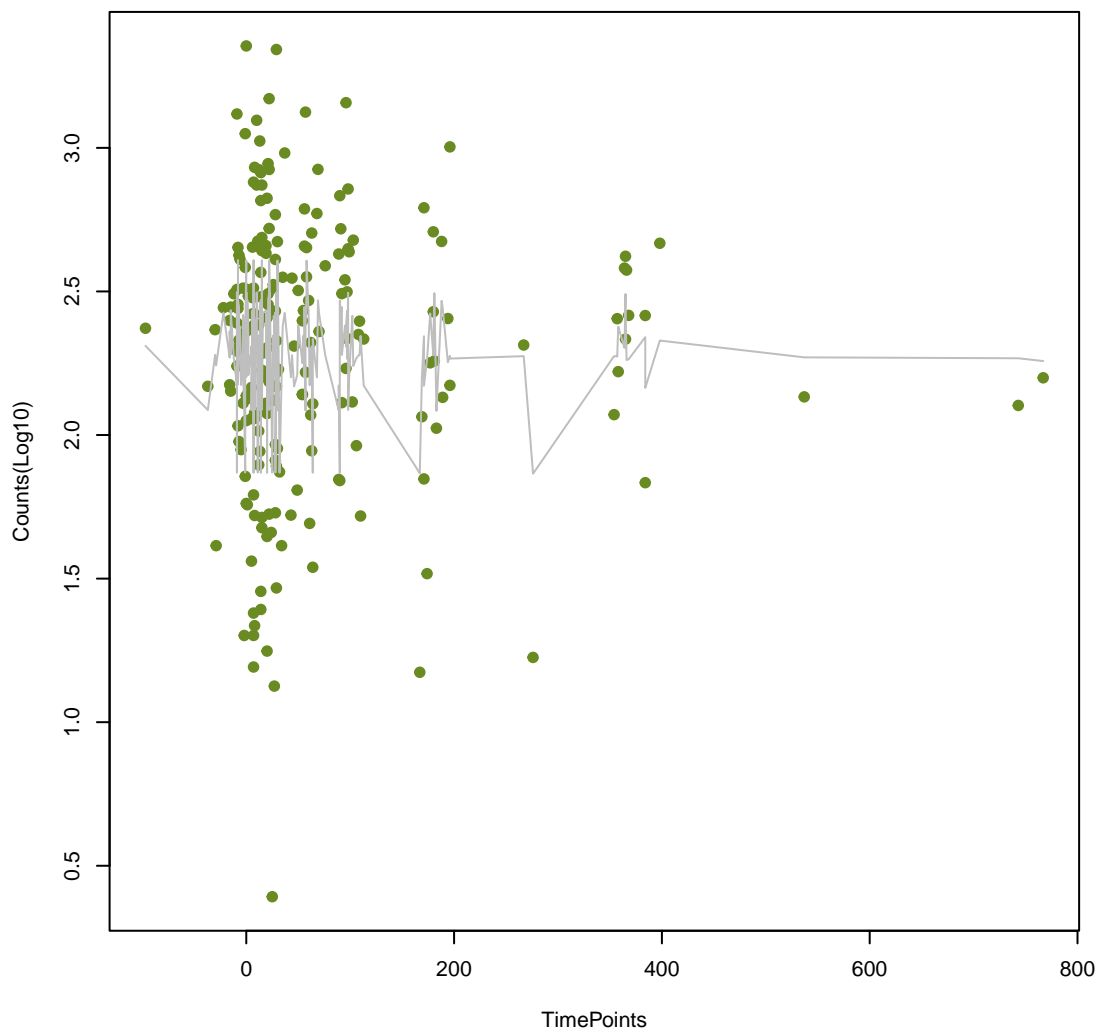
aadS
ANOVA P=0.905, adj. ANOVA-P=0.978



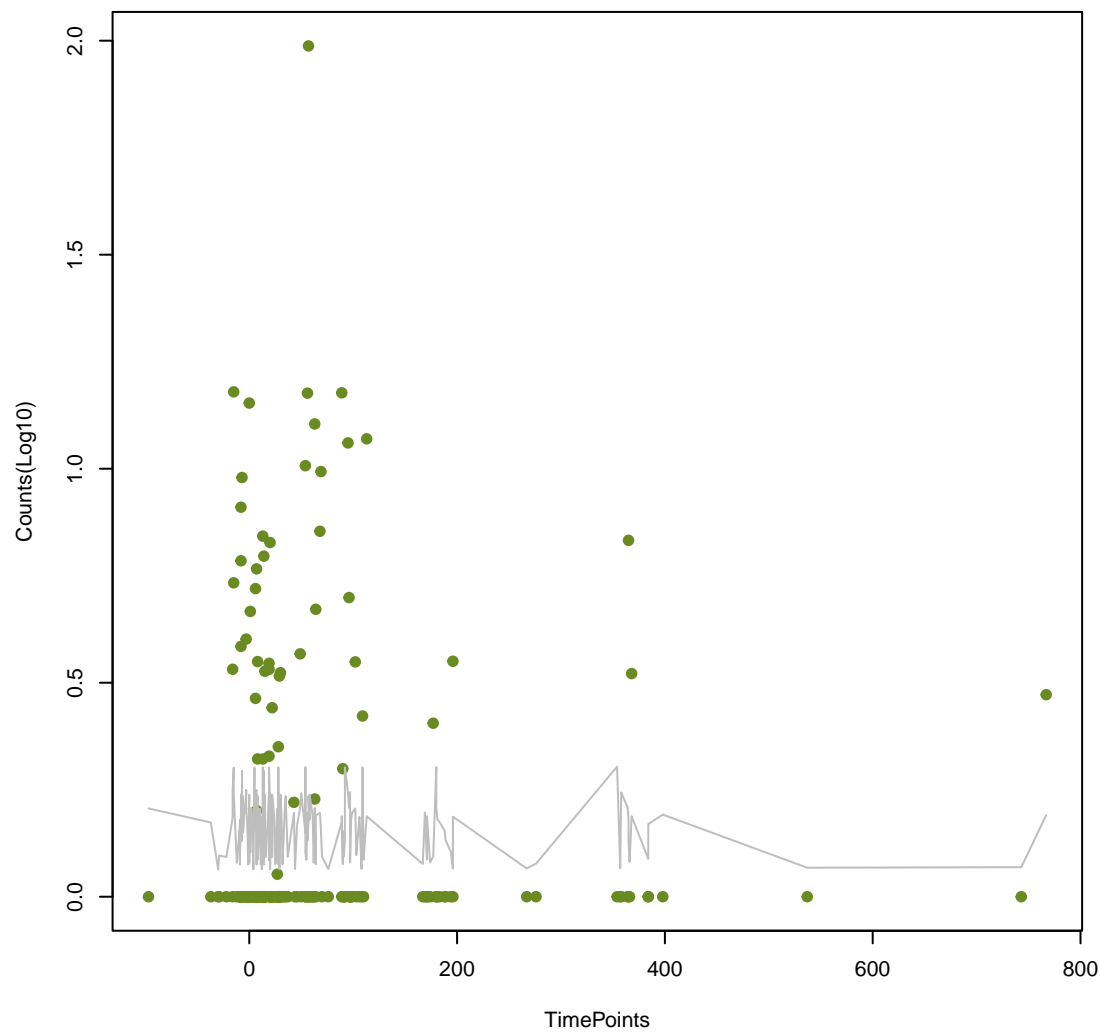
ANT(6)-Ib
ANOVA P=0.905, adj. ANOVA-P=0.978



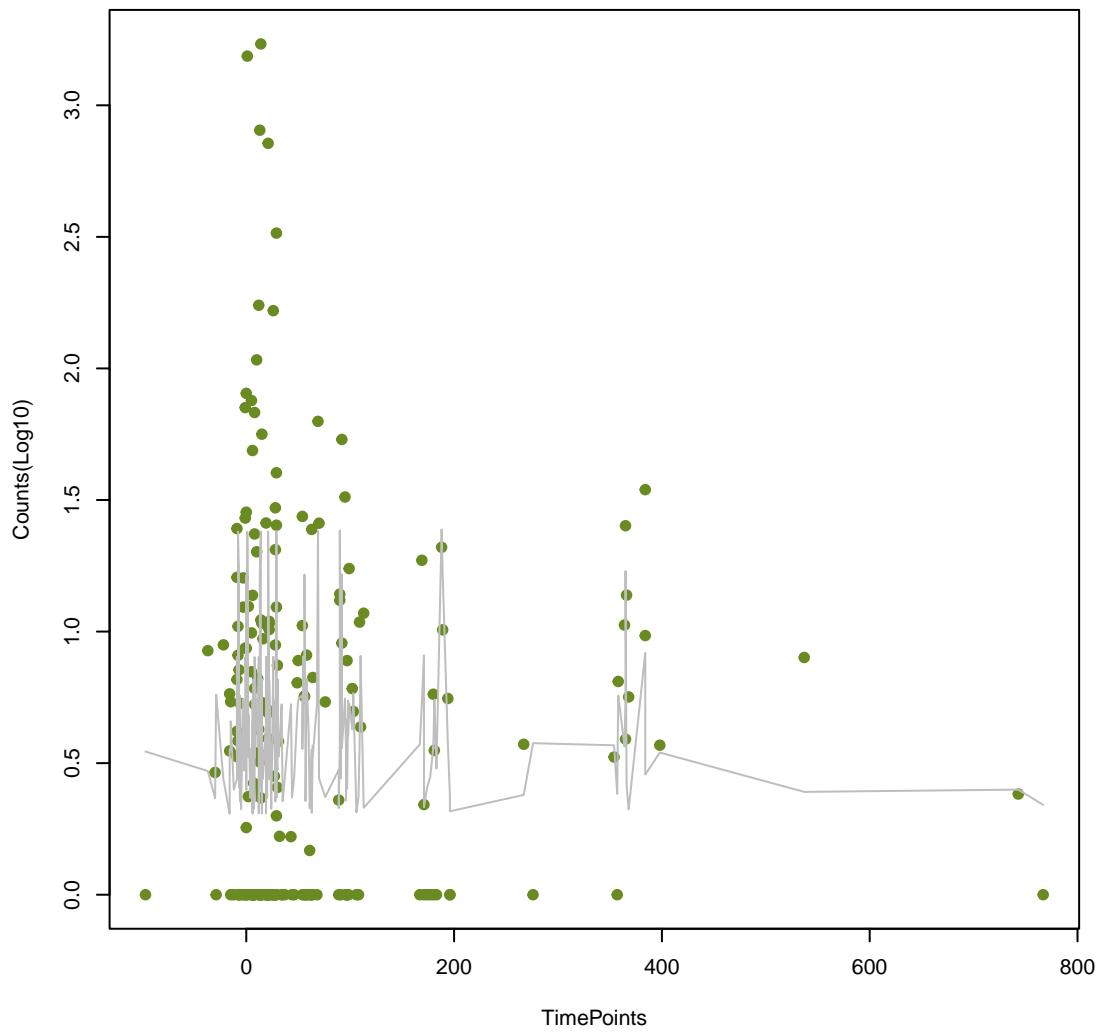
qacH
ANOVA P=0.906, adj. ANOVA-P=0.978



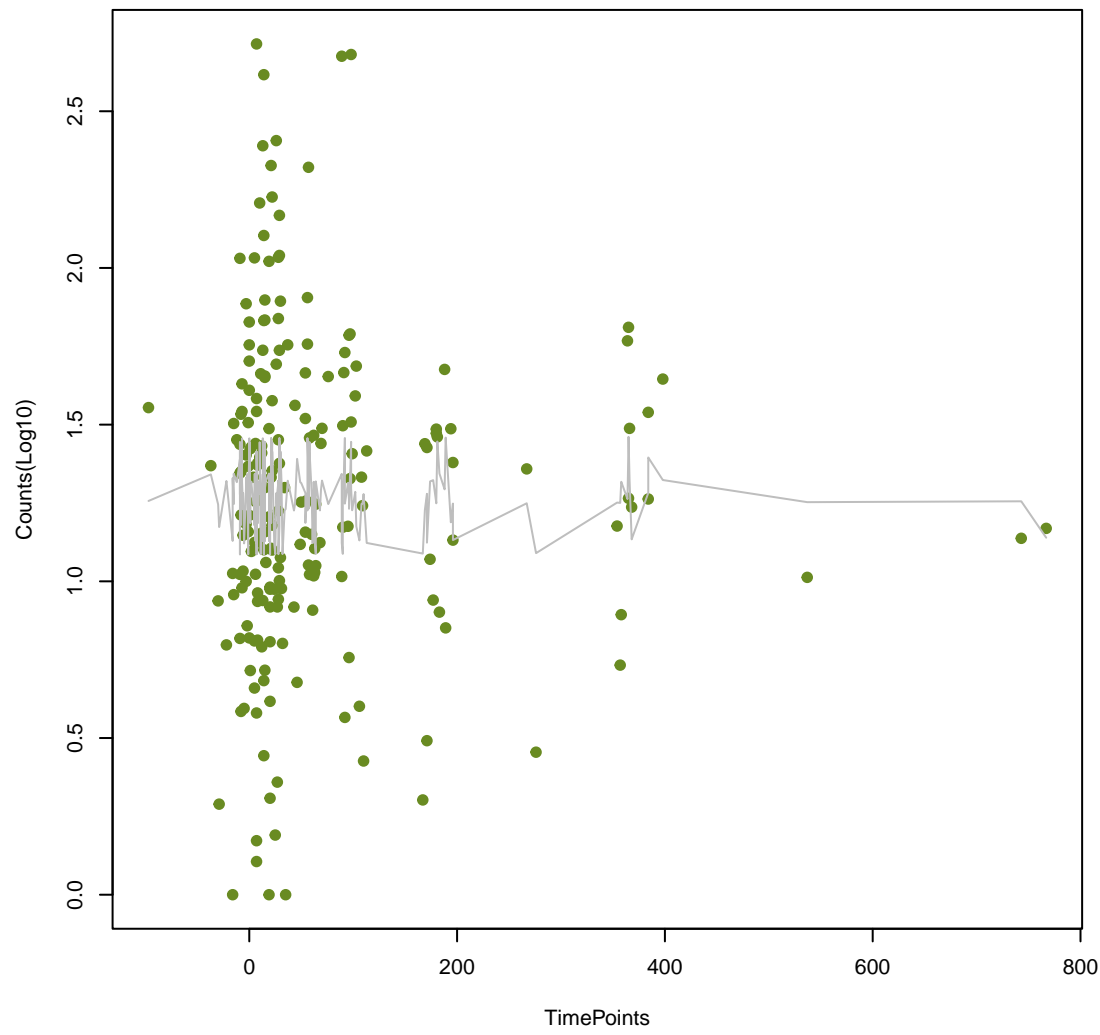
facT
ANOVA P=0.912, adj. ANOVA-P=0.981



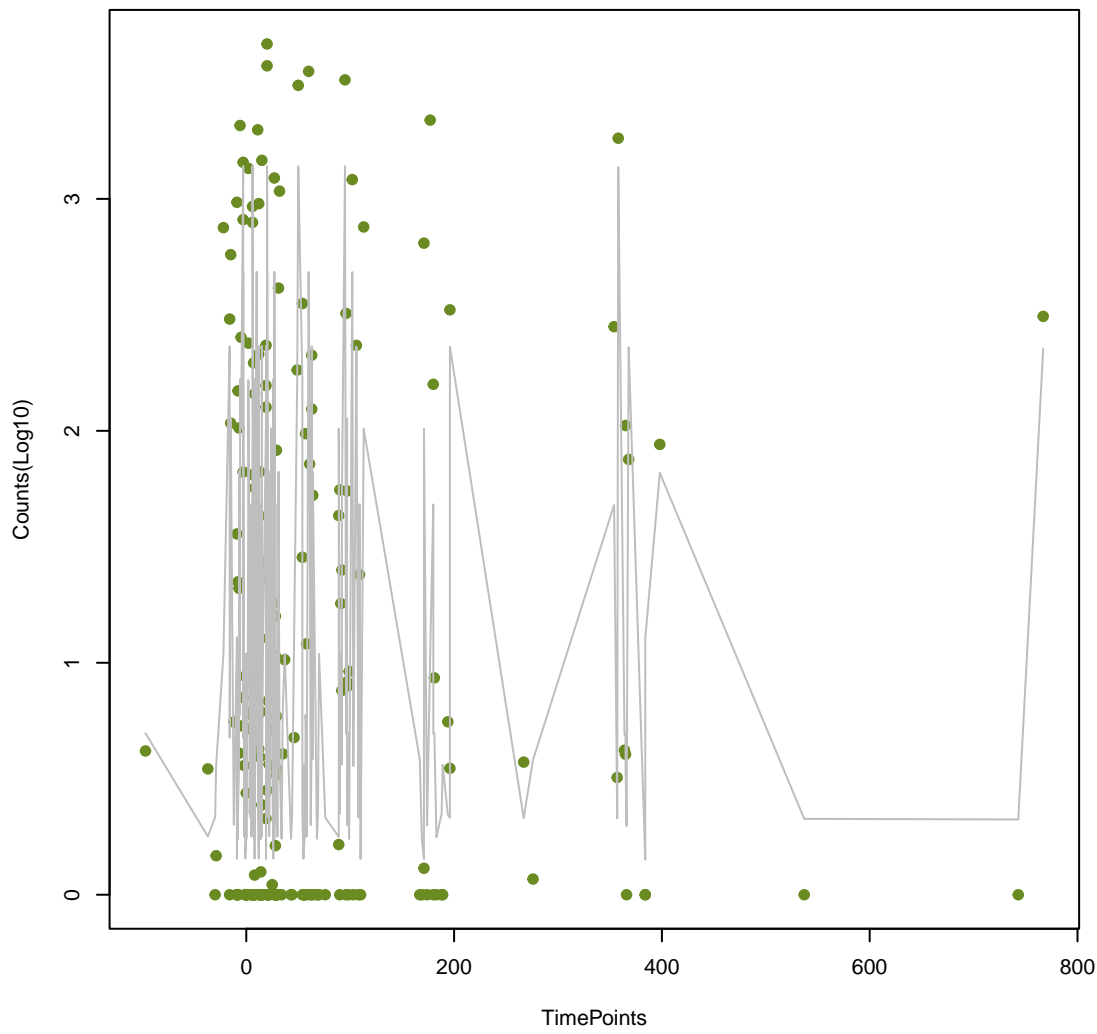
patA
ANOVA P=0.916, adj. ANOVA-P=0.982



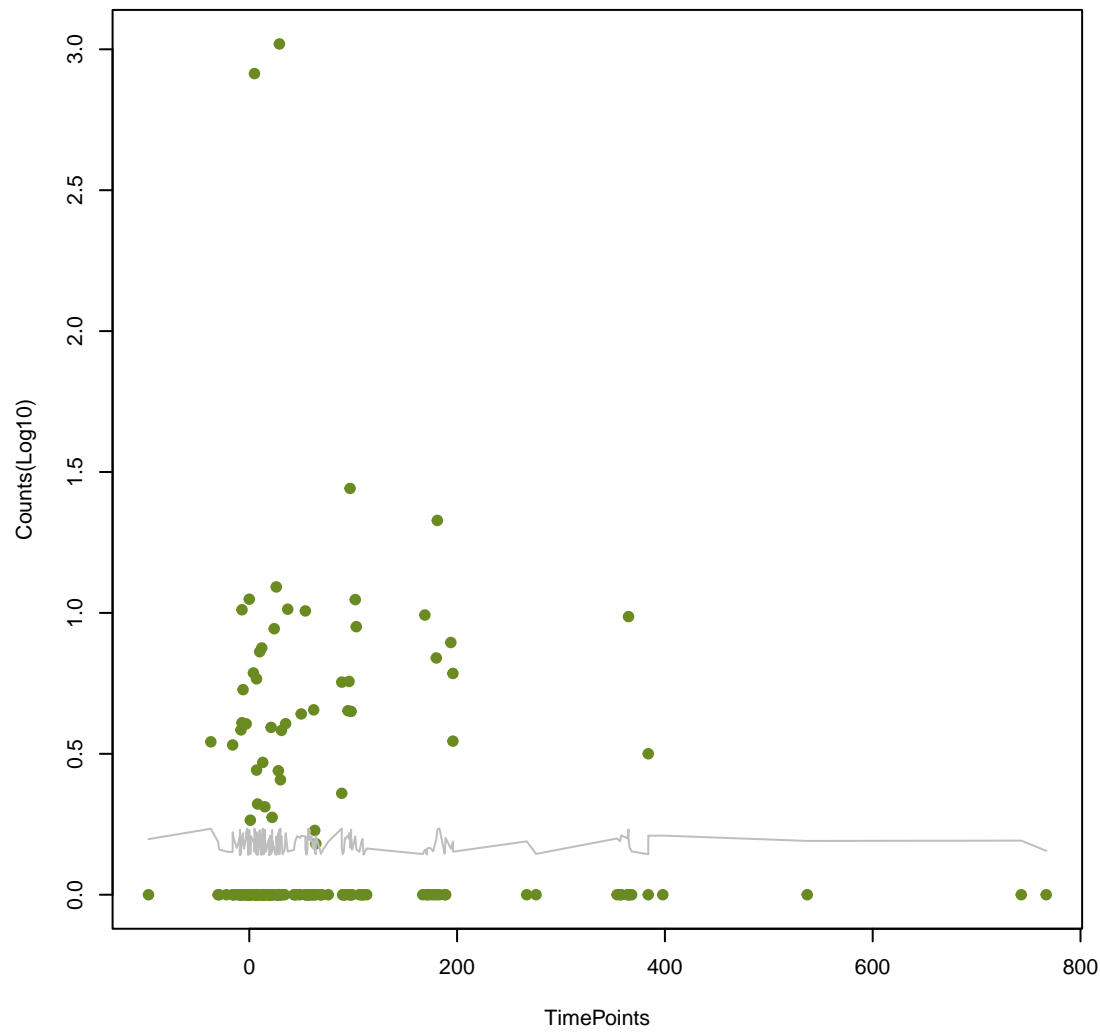
rsmA
ANOVA P=0.934, adj. ANOVA-P=0.987



tetX
ANOVA P=0.938, adj. ANOVA-P=0.987

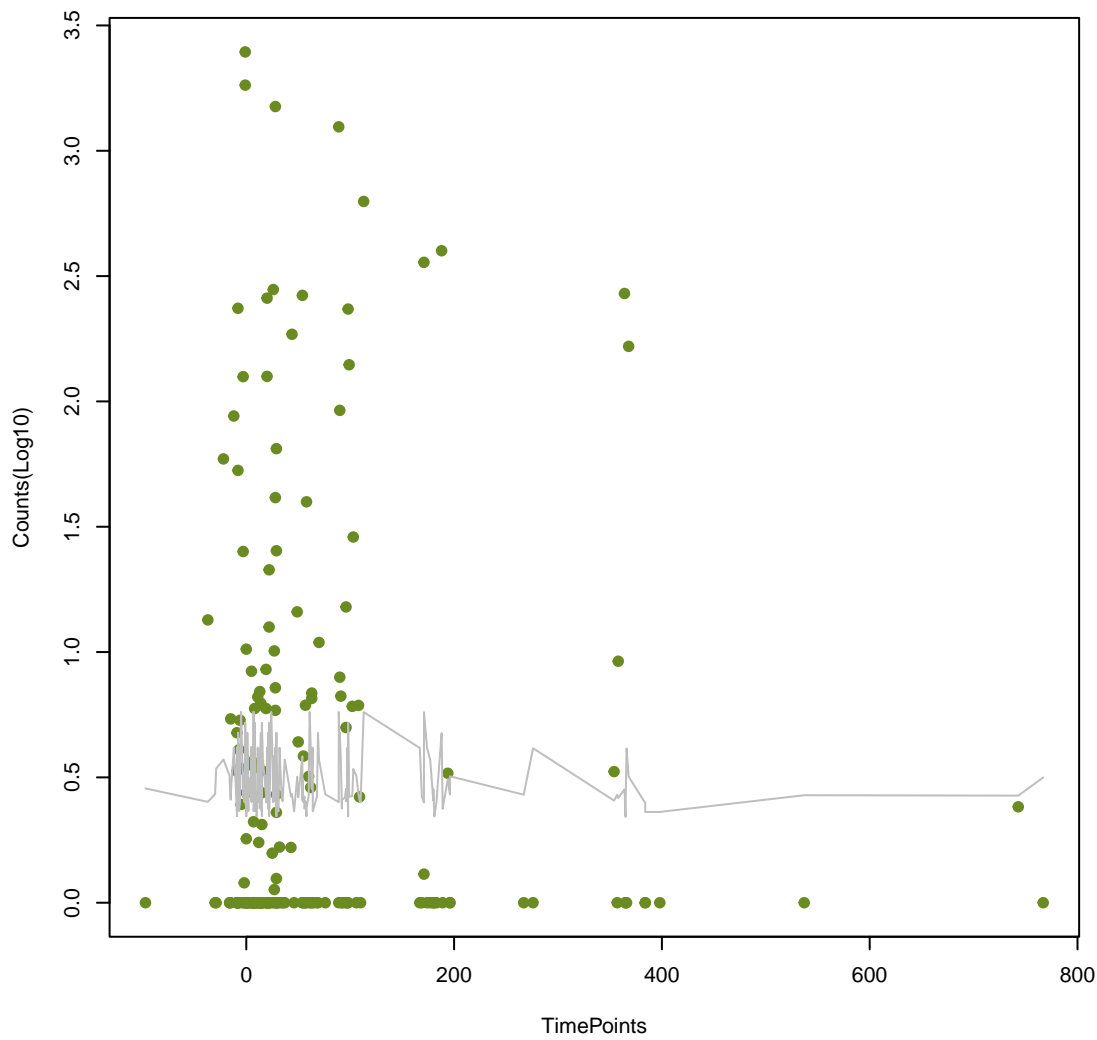


arnA
ANOVA P=0.945, adj. ANOVA-P=0.987



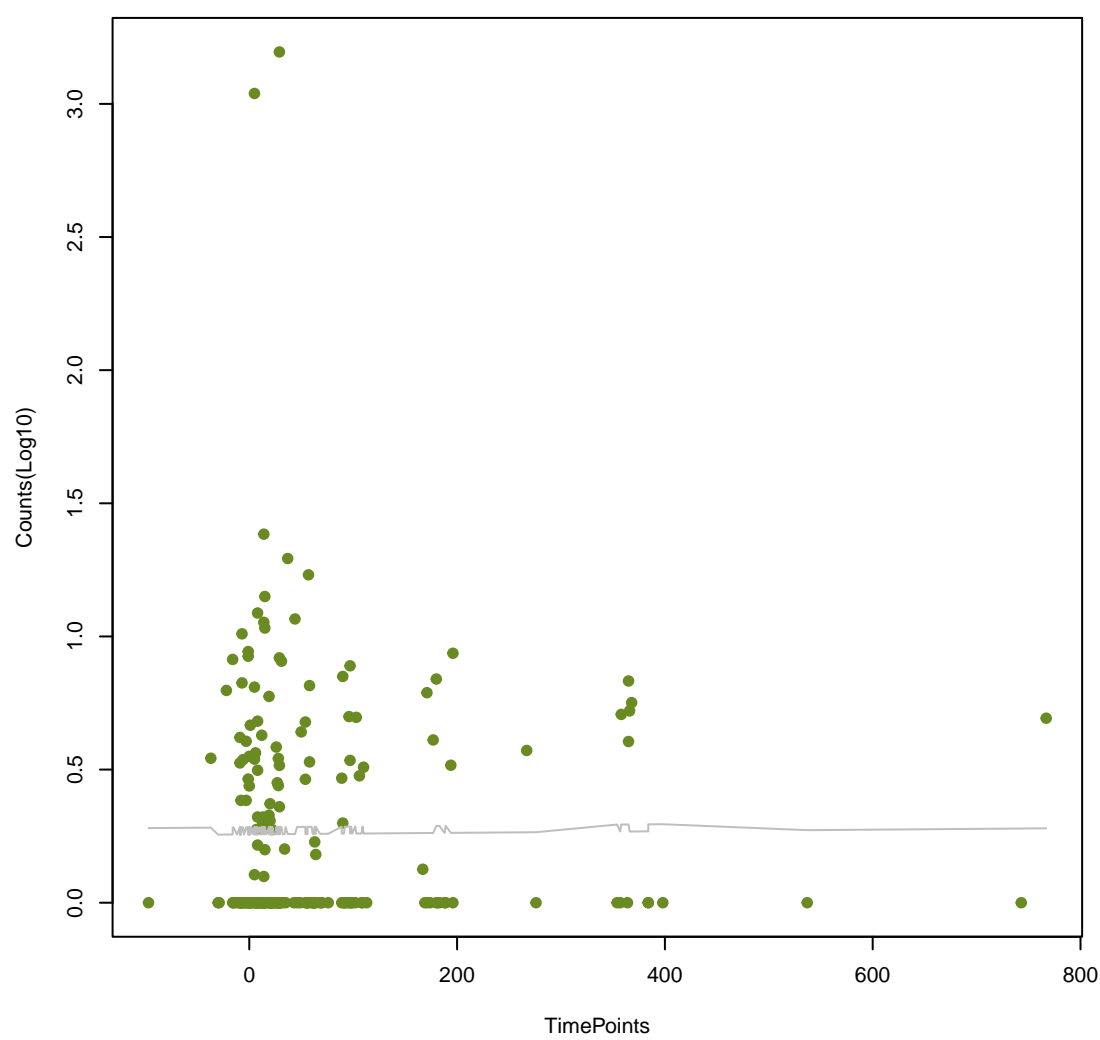
tetB(P)

ANOVA P=0.949, adj. ANOVA-P=0.987



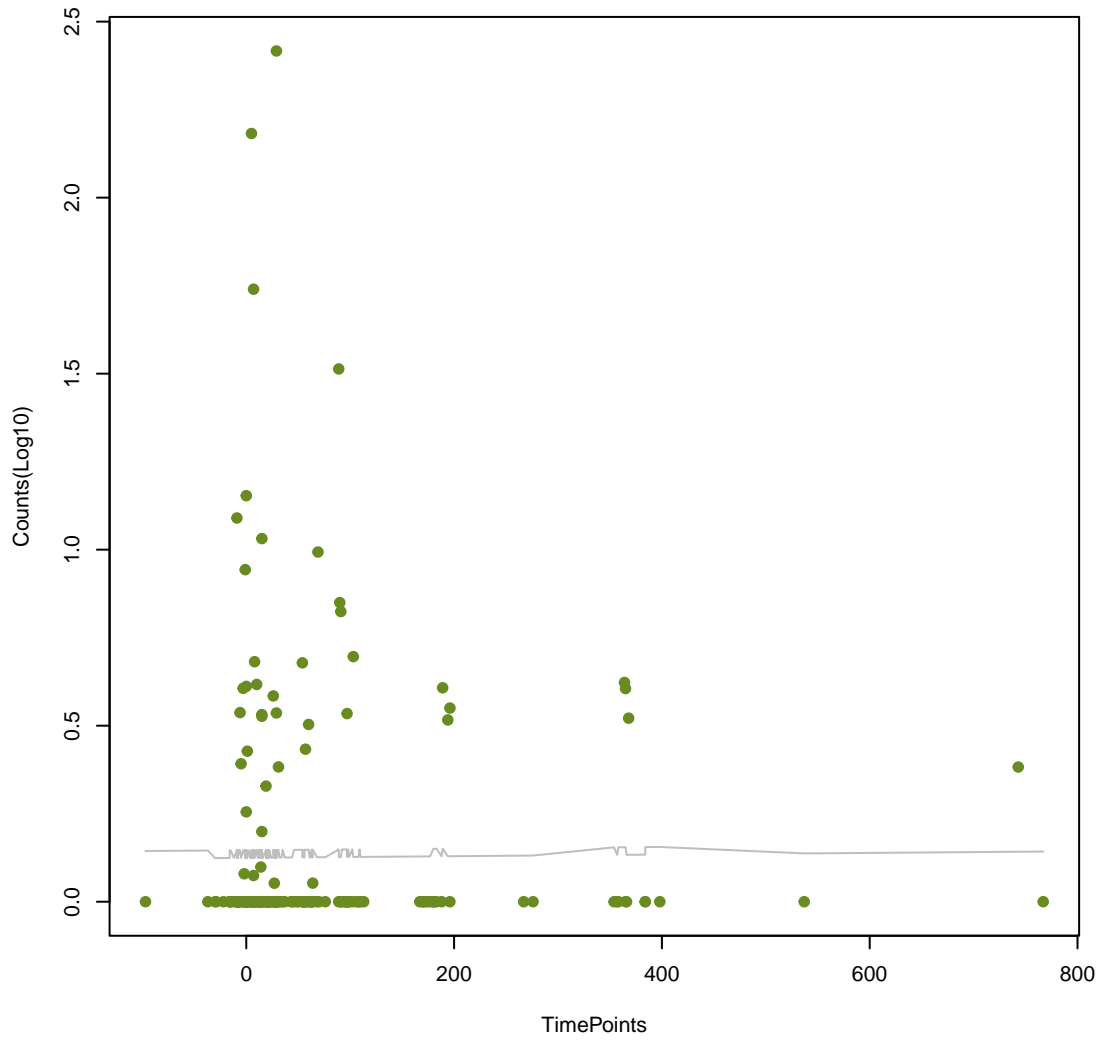
mexY

ANOVA P=0.949, adj. ANOVA-P=0.987



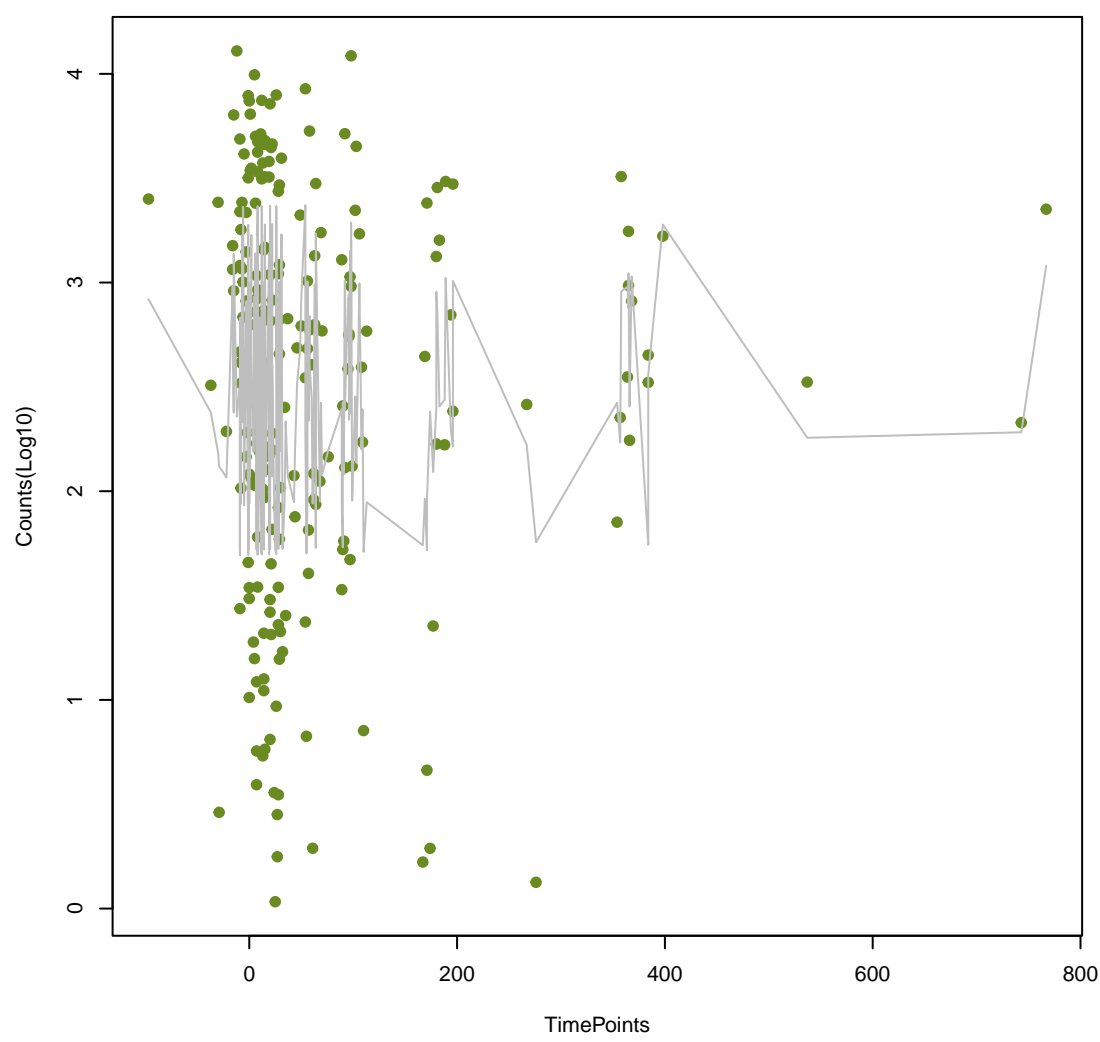
OXA-50

ANOVA P=0.95, adj. ANOVA-P=0.987



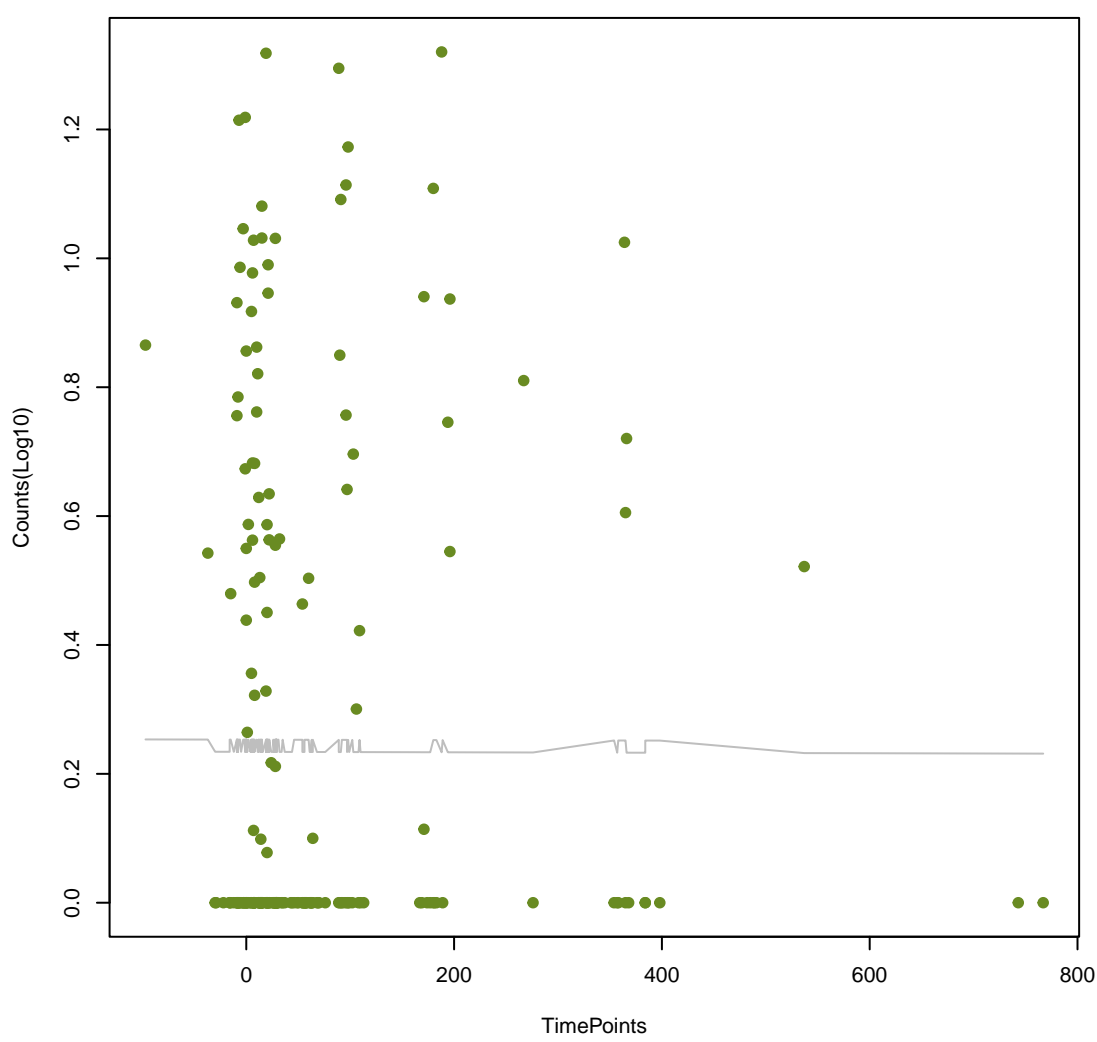
mel

ANOVA P=0.955, adj. ANOVA-P=0.987



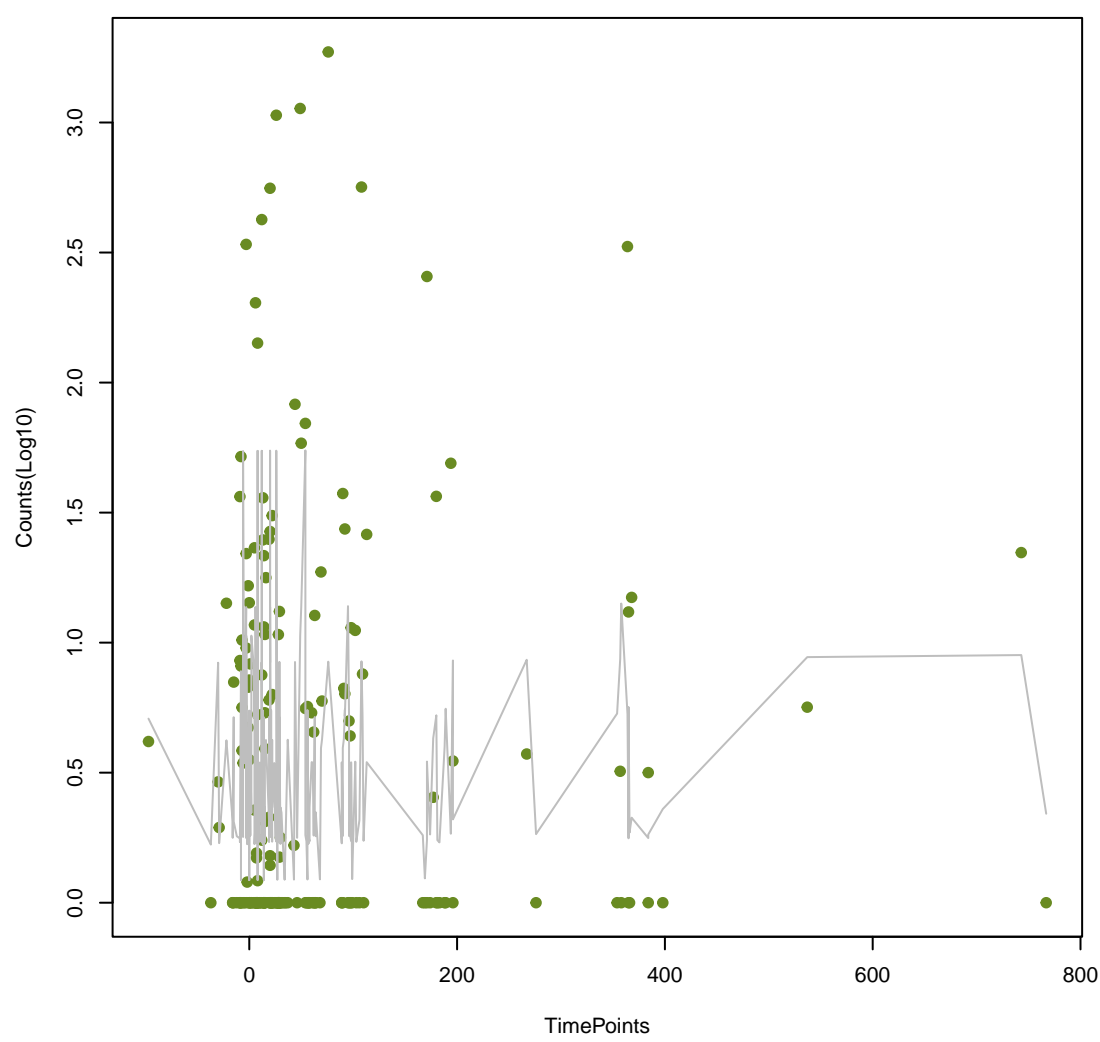
vanL

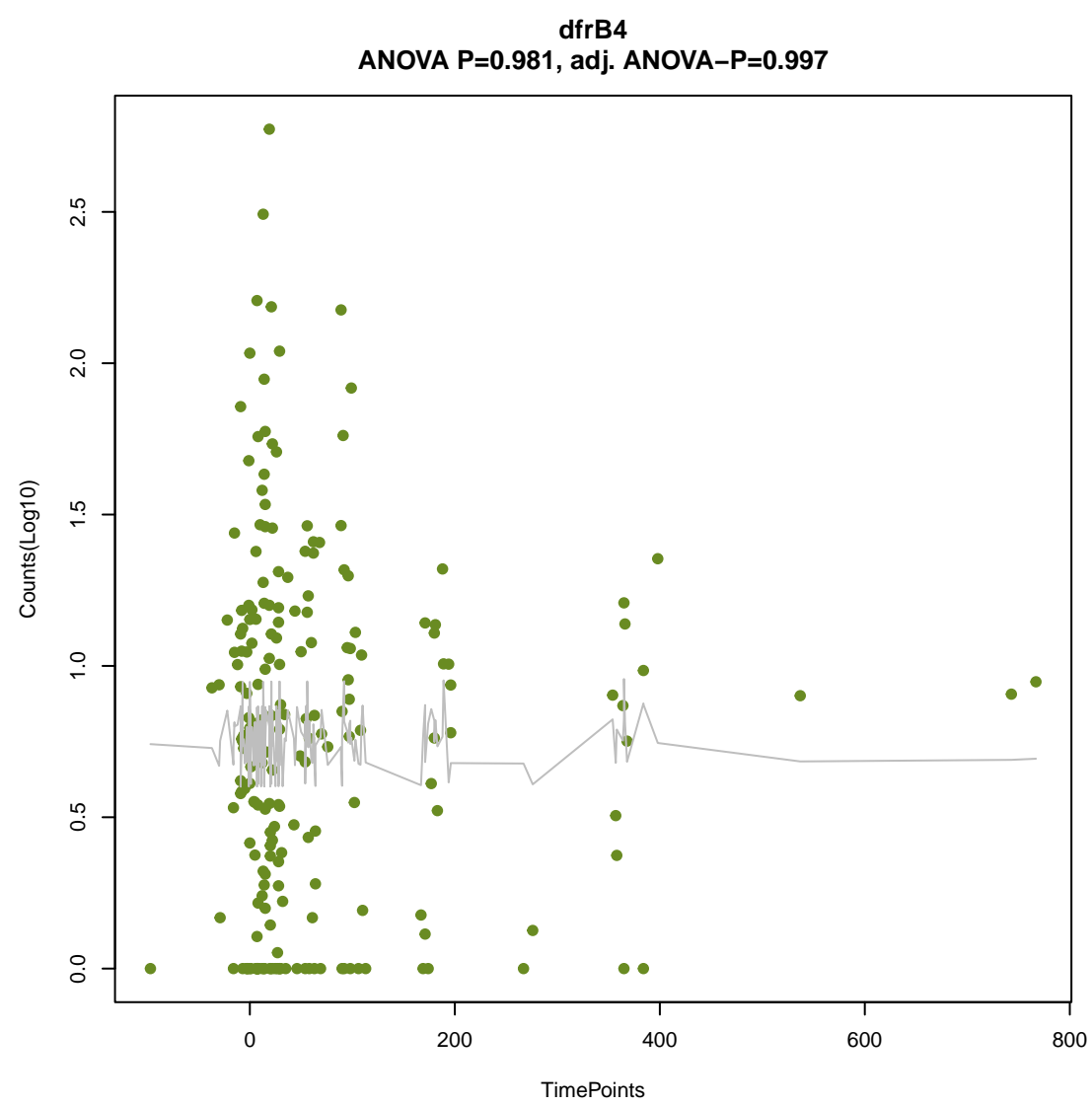
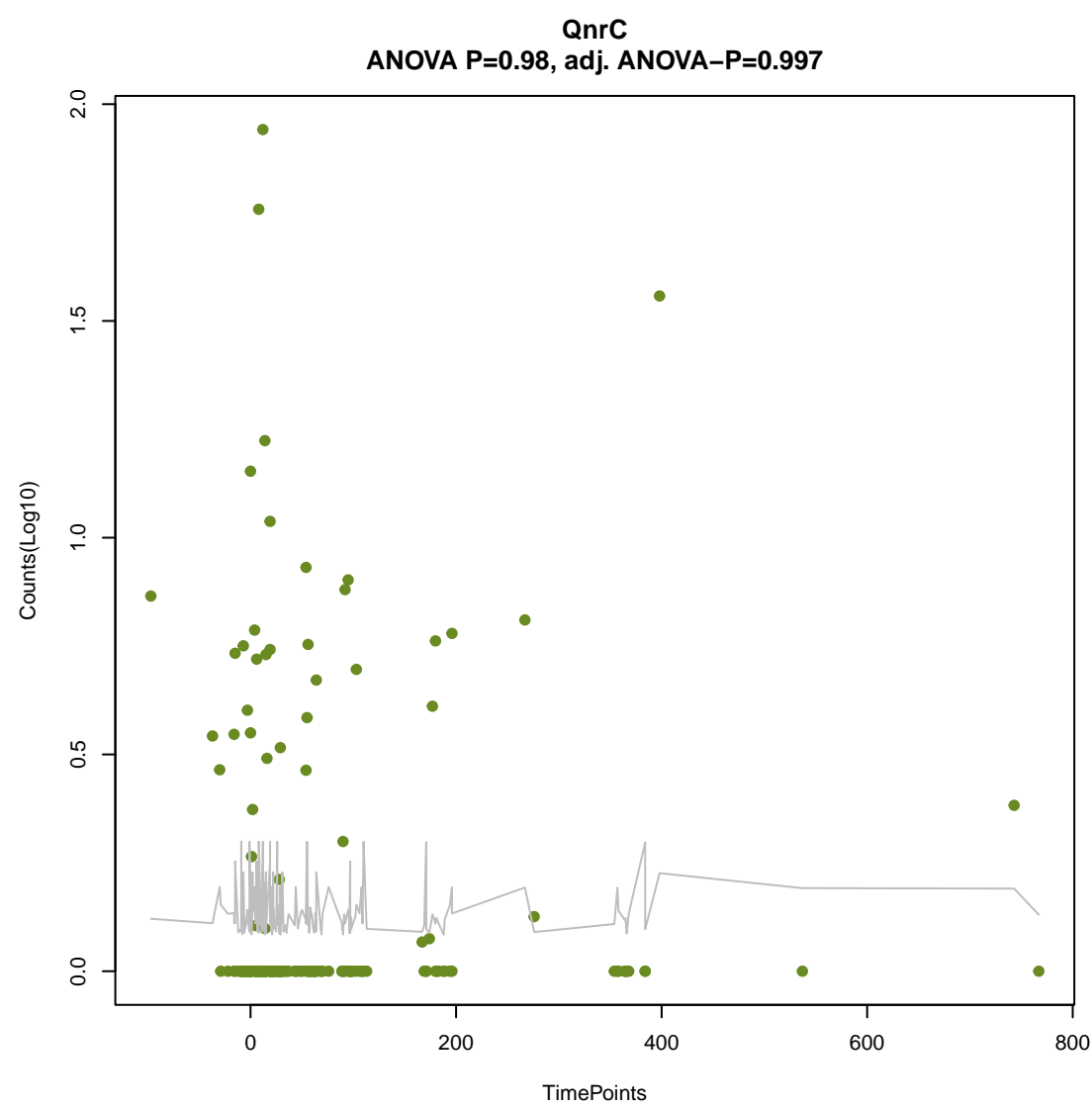
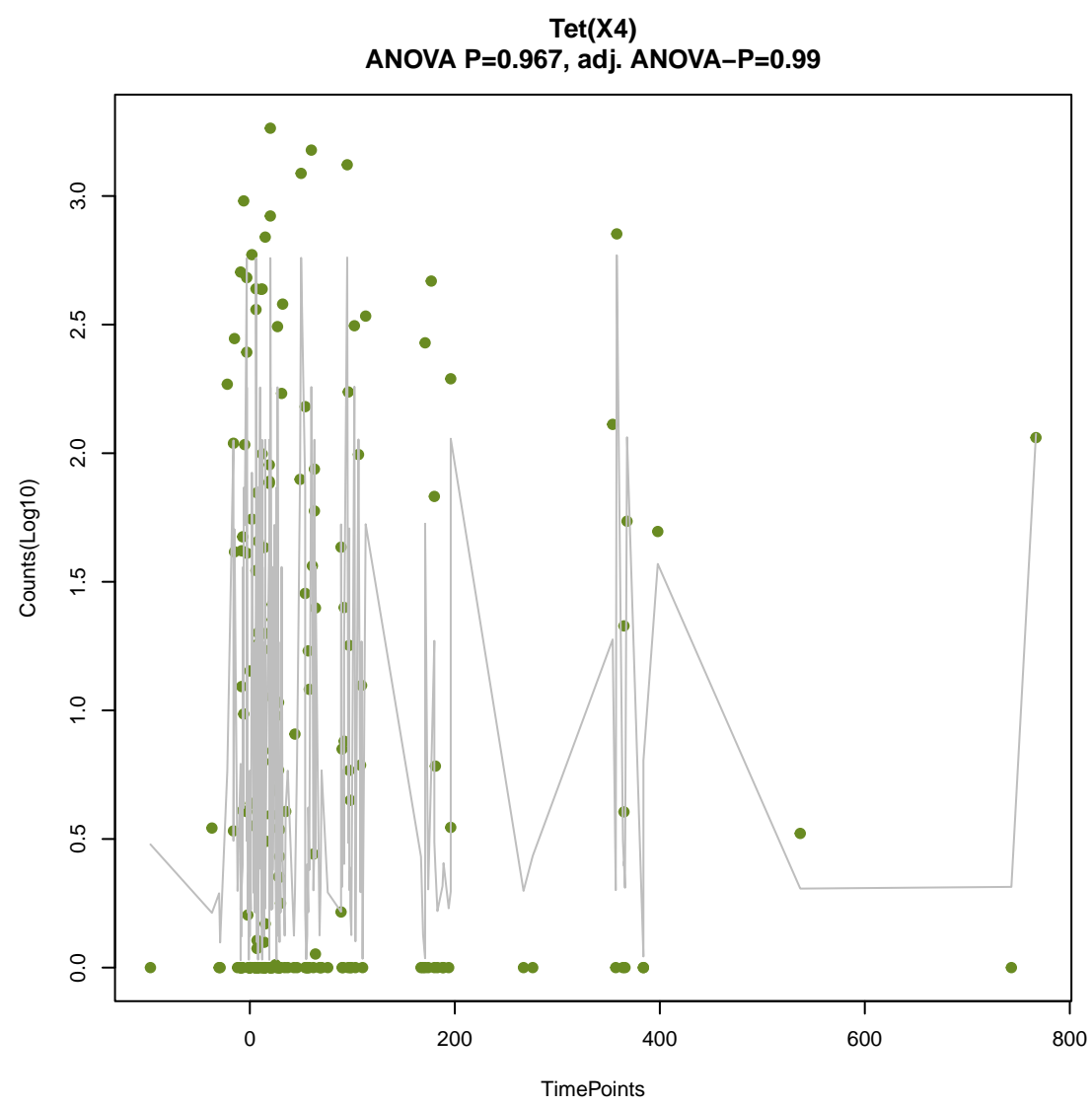
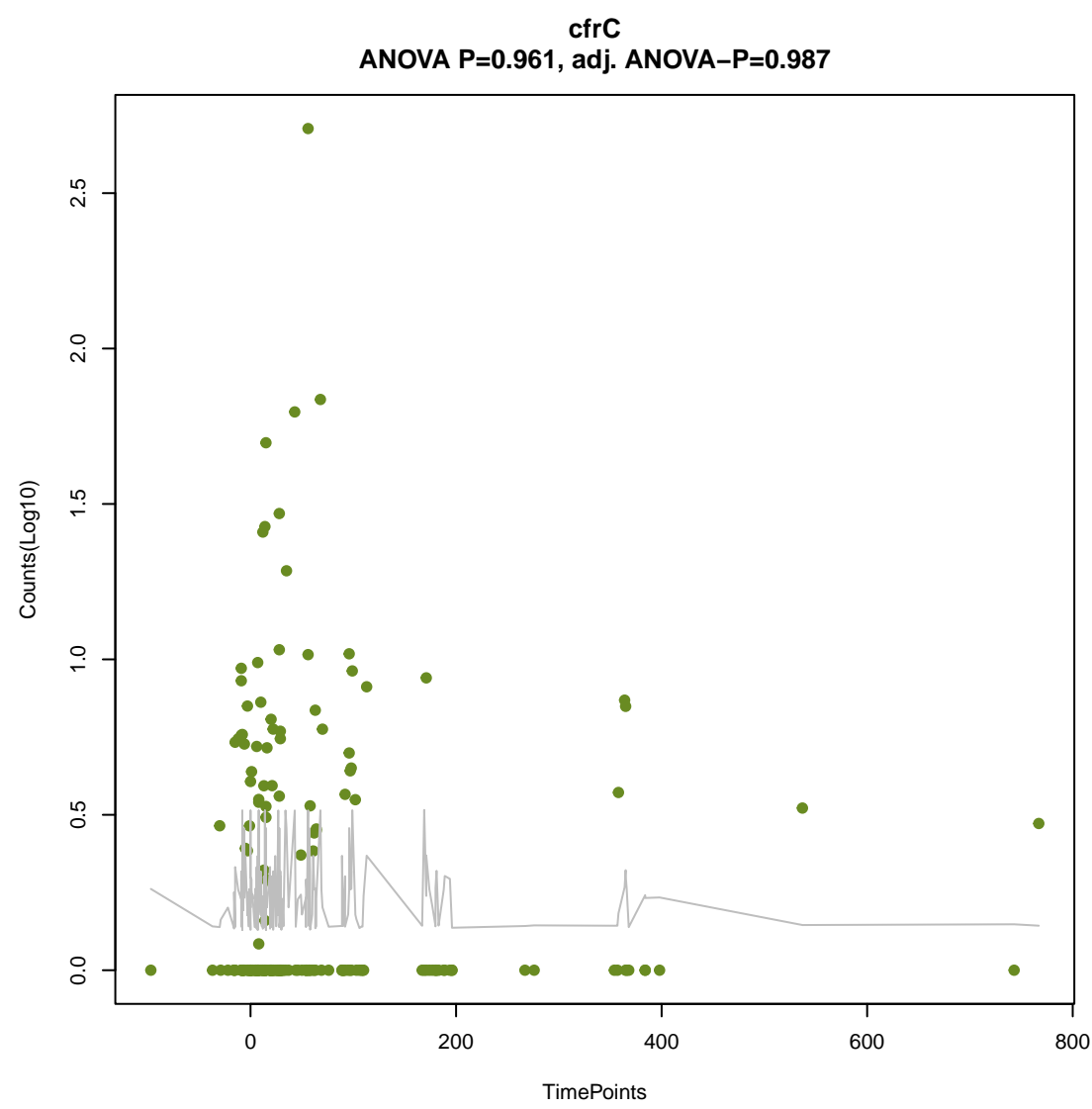
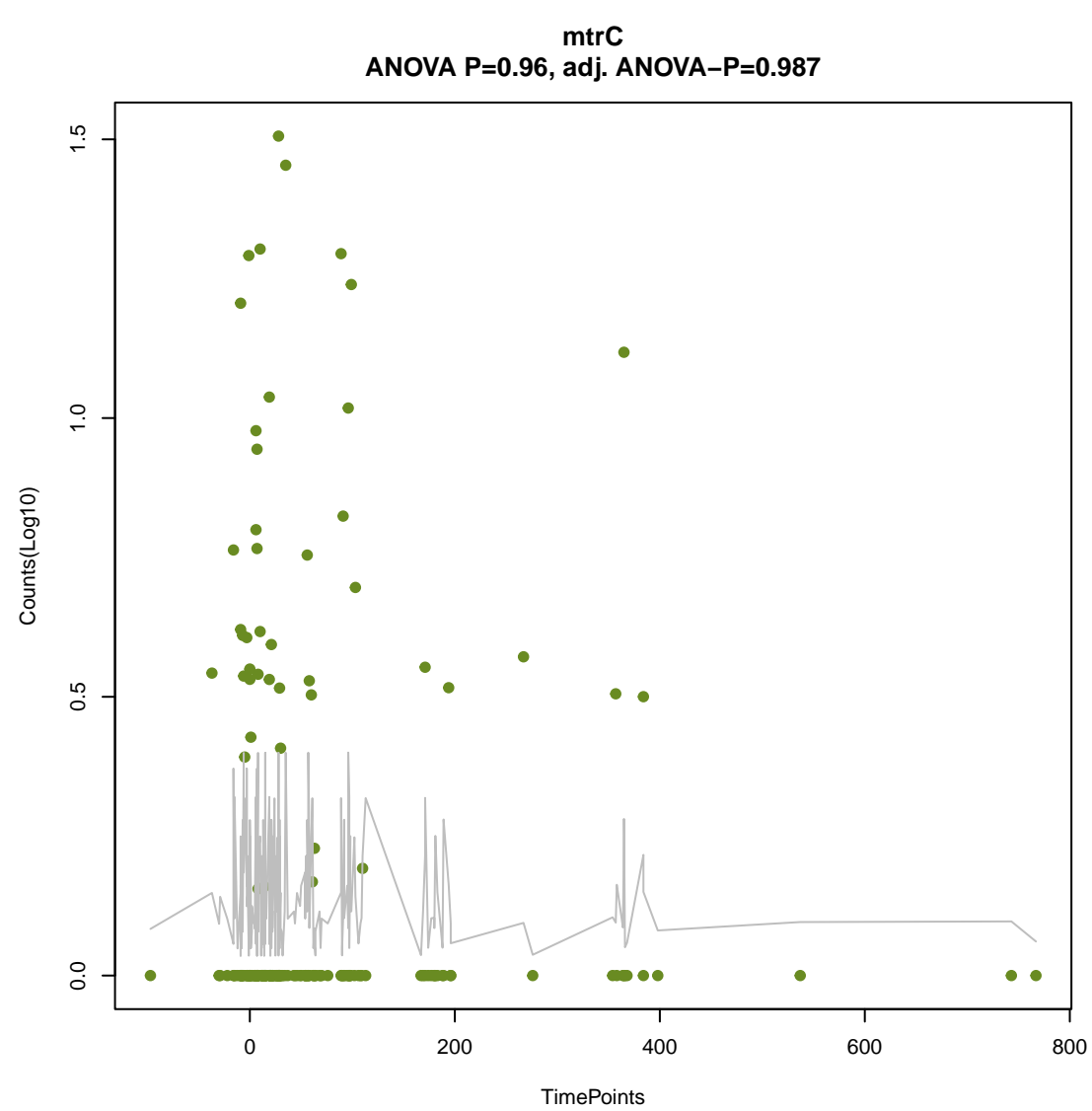
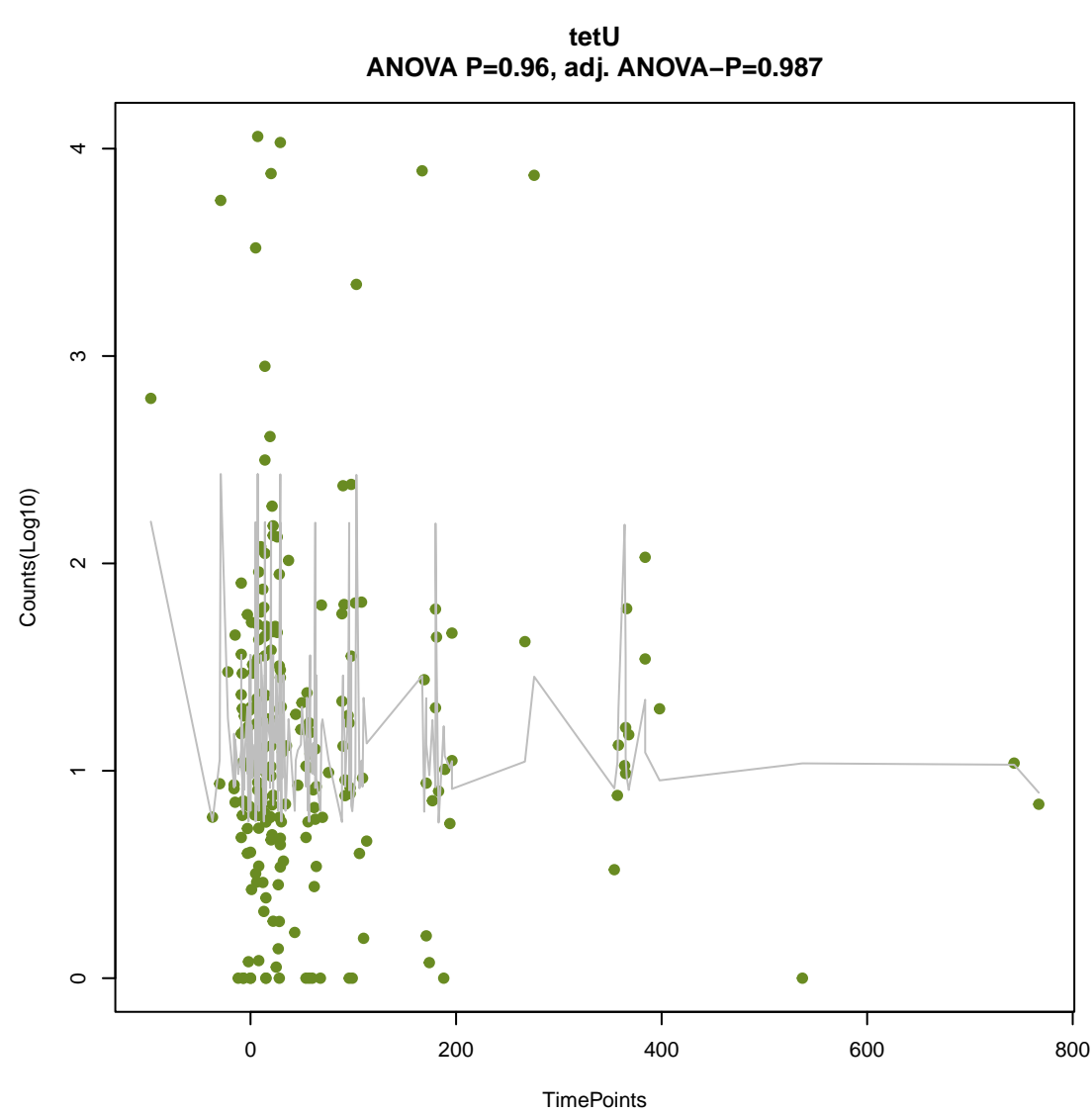
ANOVA P=0.955, adj. ANOVA-P=0.987



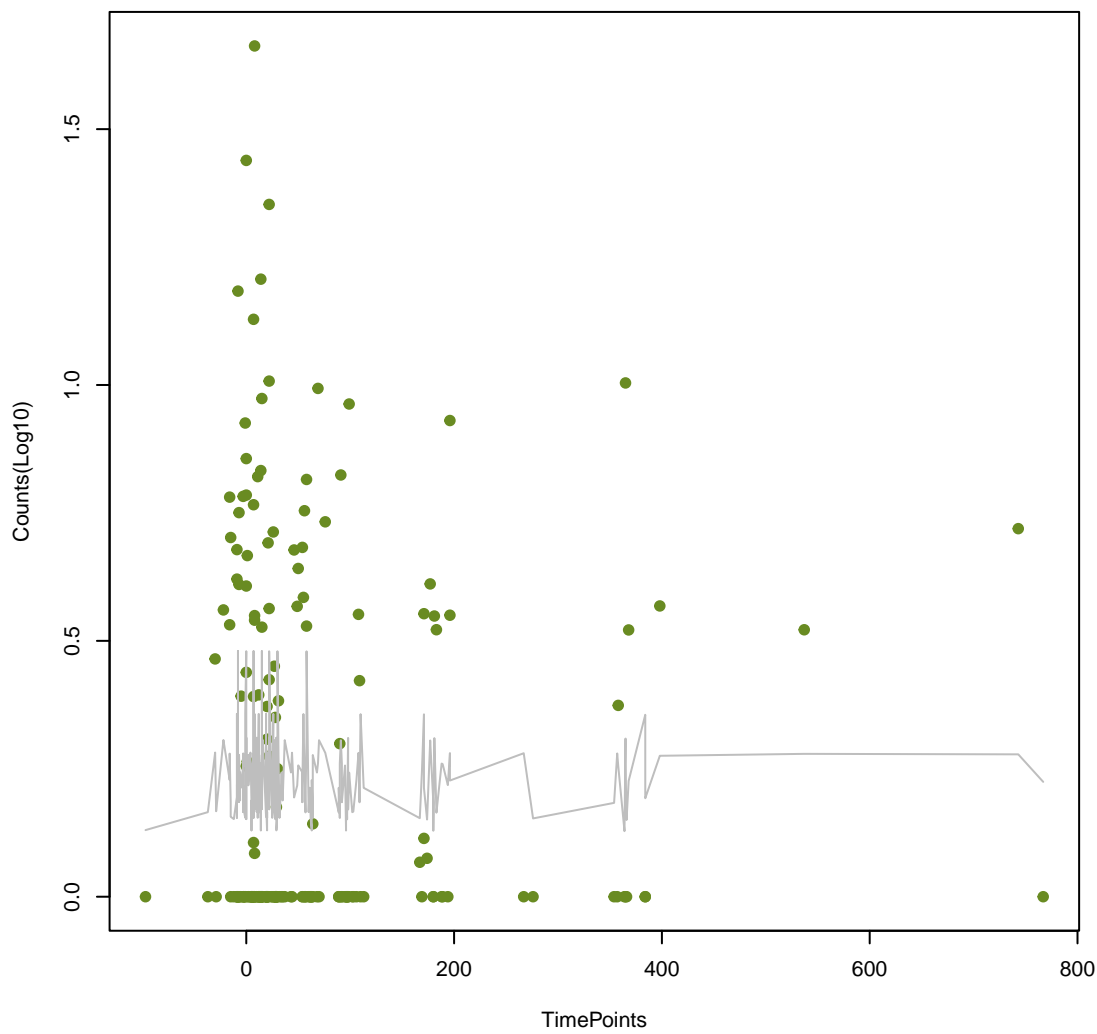
mdeA

ANOVA P=0.957, adj. ANOVA-P=0.987

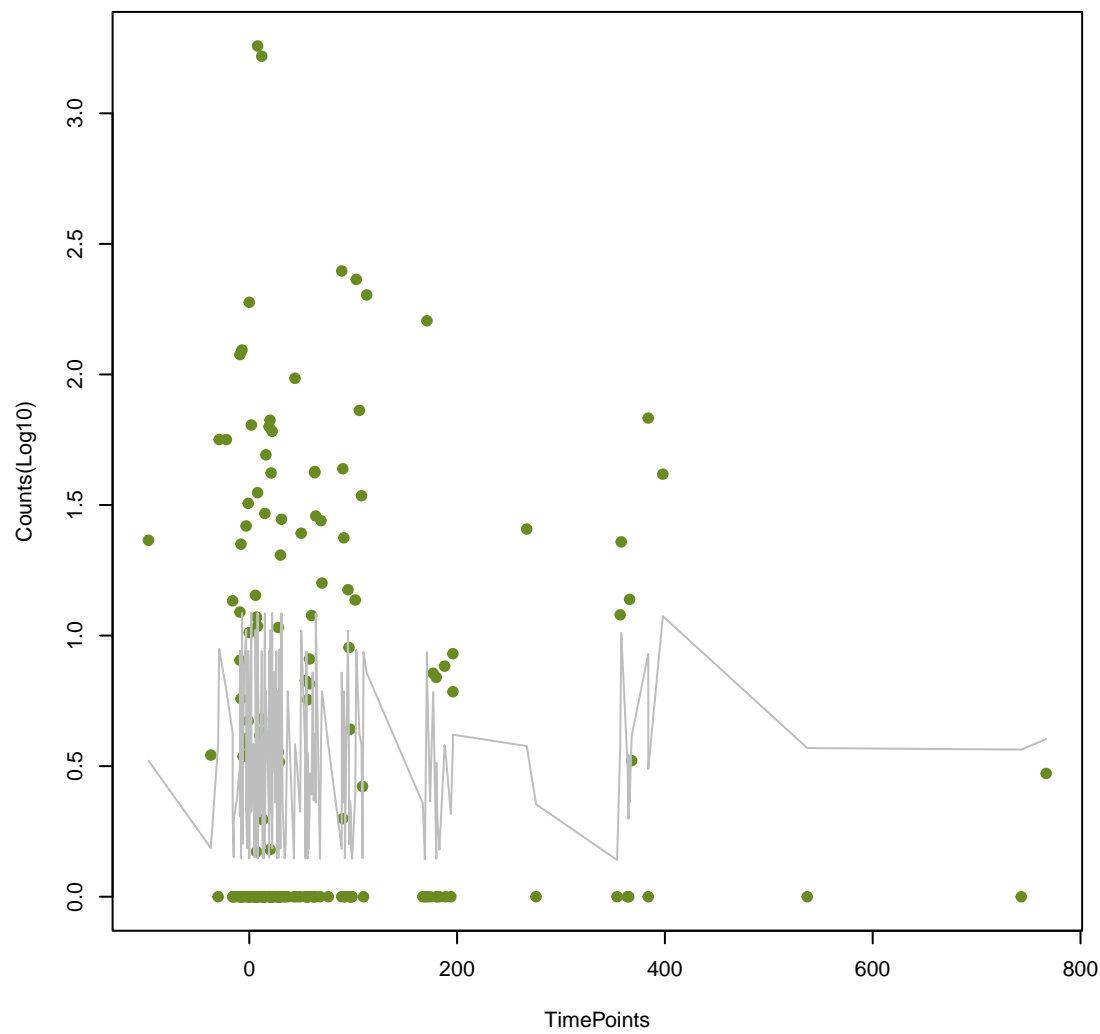




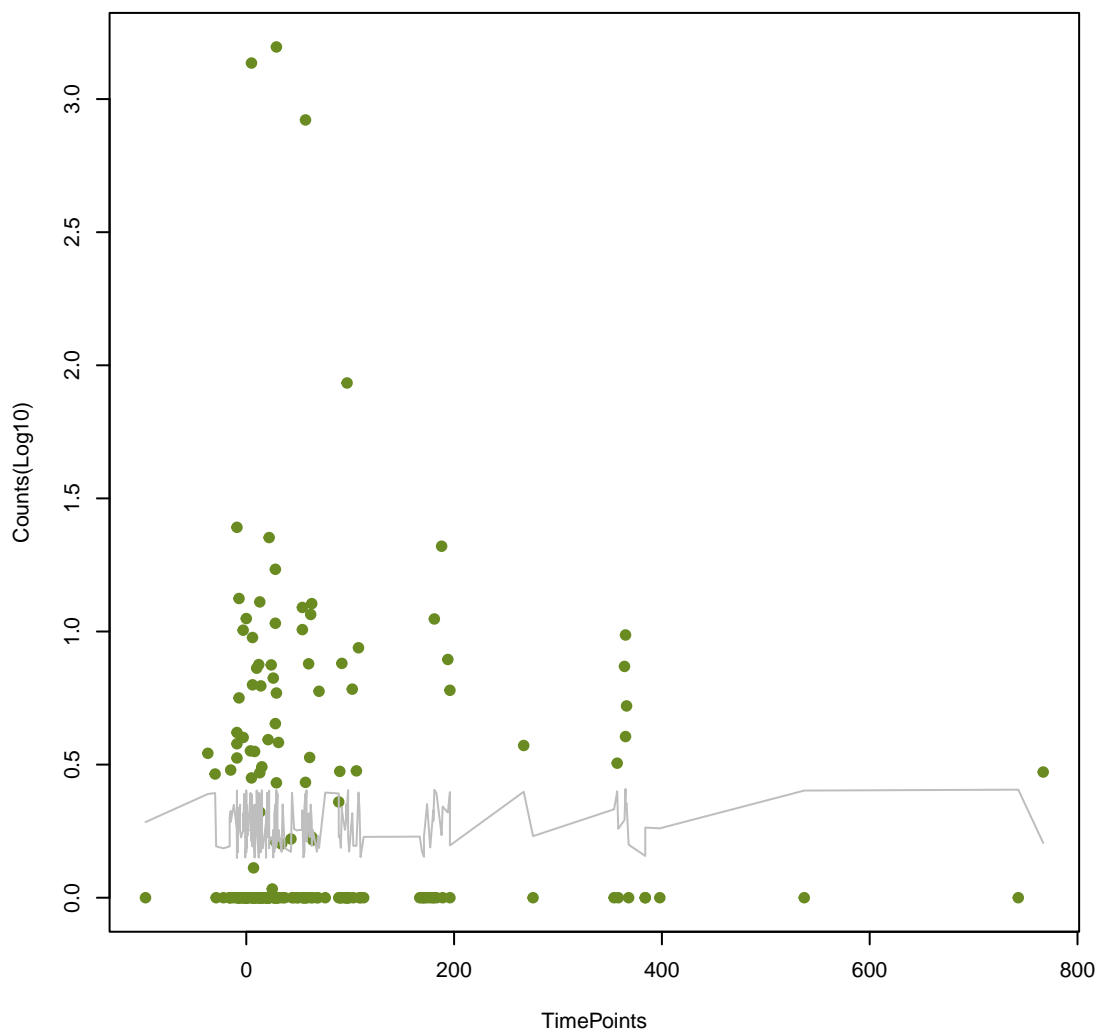
OCH-1
ANOVA P=0.986, adj. ANOVA-P=0.997



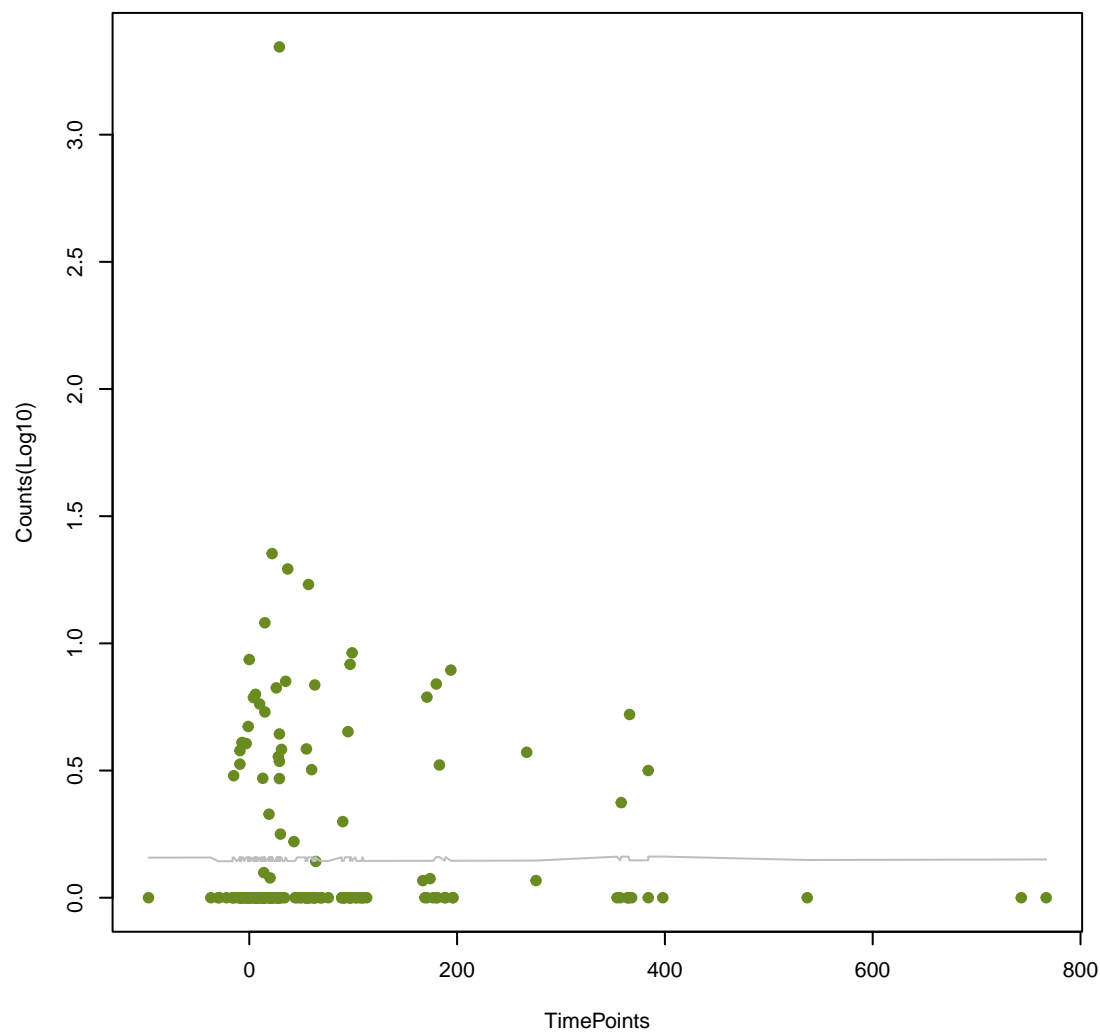
vanX_in_vanD_cl
ANOVA P=0.988, adj. ANOVA-P=0.997



MexB
ANOVA P=0.993, adj. ANOVA-P=0.997



norB
ANOVA P=0.994, adj. ANOVA-P=0.997



IND-7
ANOVA P=0.997, adj. ANOVA-P=0.997

